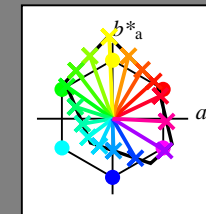


Ein und Ausgabe:  
Farbmetrisches Drucker-Reflektiv-System FRS09\_92aM  
Daten für jede Farbe:  
 $lab^{*}ch^{*}$  und  $lab^{*}icu^{*}$   
Elementar-Bunttontext:  
 $u^{*} = 16$  Bunttöne  $r00j$ ,  $r25j$ , ...,  $b75r$   
Kontrastreduzierungsfaktor:  
 $c_R = 1.0$

FRS09\_92aM; adaptierte CIELAB-Daten

	$L^{*}=L^{*}_a$	$a^{*}_a$	$b^{*}_a$	$C^{*}_{ab,a}$	$h^{*}_{ab,a}$
r00j	35.47	63.32	30.17	70.15	25
r25j	39.12	54.56	49.45	73.64	42
r50j	50.64	39.15	64.89	75.79	59
r75j	64.01	21.26	82.83	85.52	76
j00g	83.18	-4.37	108.53	108.62	92
j25g	66.73	-29.88	83.06	88.28	110
j50g	54.03	-48.3	63.49	79.78	127
j75g	44.73	-60.32	42.64	73.88	145
g00b	47.59	-49.07	15.74	51.54	162
g25b	49.97	-39.69	-6.71	40.27	190
g50b	51.85	-32.32	-24.34	40.48	217
g75b	46.92	-17.28	-36.01	39.96	244
b00r	37.91	1.28	-42.34	42.37	272
b25r	23.81	30.38	-52.25	60.45	300
b50r	29.52	69.06	-42.13	80.9	329
b75r	36.48	71.47	-3.68	71.57	357



%Umfang

$u^{*}_{rel} = 109$

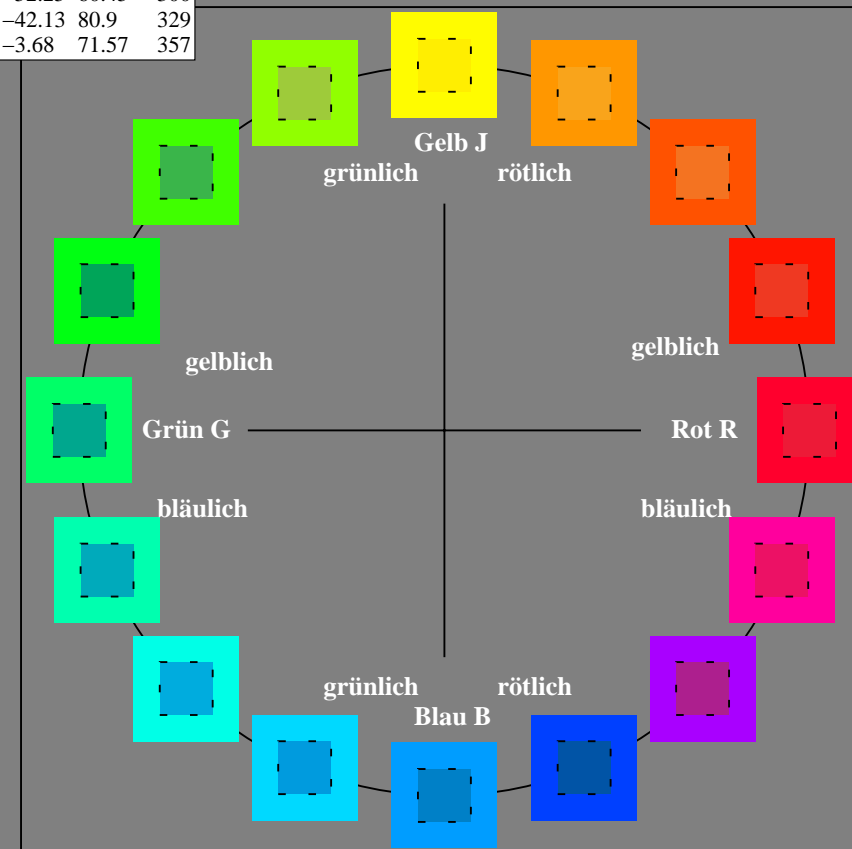
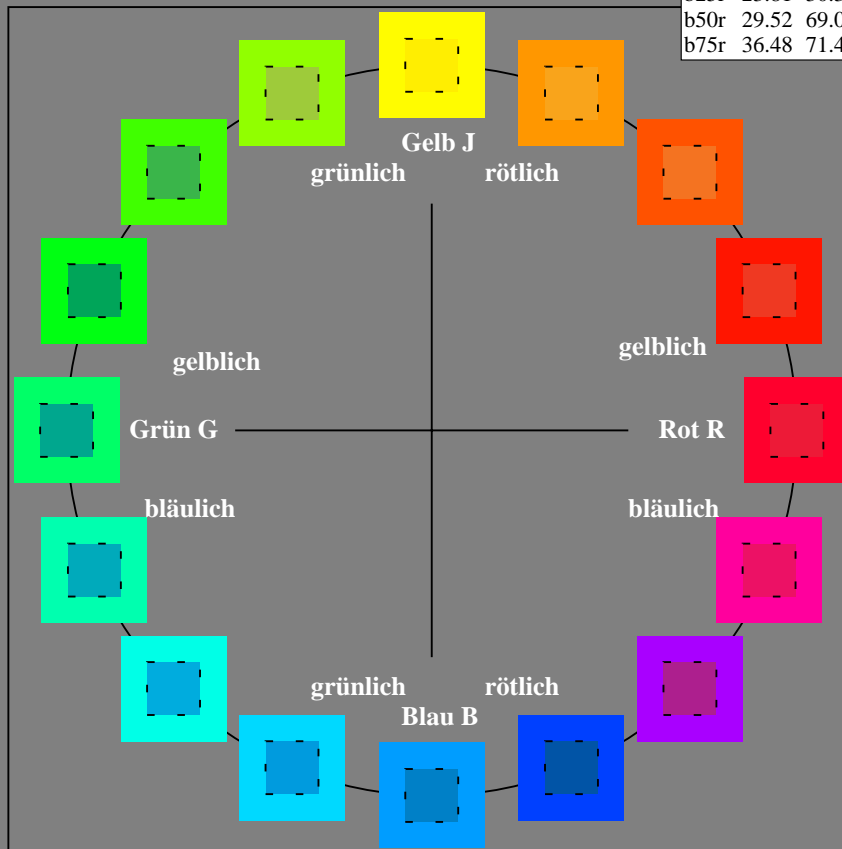
%Regularität

$g^{*}_{H,rel} = 31$

$g^{*}_{C,rel} = 40$

FRS09\_92aM; adaptierte CIELAB-Daten

	$L^{*}=L^{*}_a$	$a^{*}_a$	$b^{*}_a$	$C^{*}_{ab,a}$	$h^{*}_{ab,a}$
OMa	35.06	60.0	44.0	74.4	36
YMa	83.77	-5.16	109.32	109.44	93
LMa	44.13	-62.66	48.24	79.09	142
CMa	52.66	-29.13	-31.98	43.27	228
VMa	14.15	50.3	-59.03	77.57	310
MMa	37.37	78.64	-33.49	85.48	337
NMa	8.58	0.0	0.0	0.0	0
WMa	92.02	0.0	0.0	0.0	0
RCIE	39.92	58.74	27.99	65.07	25
JCIE	81.26	-2.88	71.56	71.62	92
GCIE	52.23	-42.41	13.6	44.55	162
BCIE	30.57	1.41	-46.46	46.49	272



Ein und Ausgabe: Farbmetrisches Drucker-Reflektiv-System FRS09\_92aM für relativen CIELAB-Buntton  $h^* = lab^*h^* = h_{ab}/360 = 25/360 = 0.071$   $u^* = r00j$

Daten für jede Farbe:

$lab^*ch^*$  und  $lab^*icu^*$

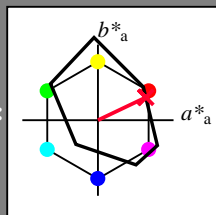
Elementar-Bunttontext:

$u^* = r00j$

Kontrastreduzierungsfaktor:

$c_R = 1.0$

Dreiecks-Helligkeit  $i^*$



FRS09\_92aM; adaptierte CIELAB-Daten

	$L^*=L_a^*$	$a_a^*$	$b_a^*$	$C_{ab,a}^*$	$h_{ab,a}^*$
O <sub>Ma</sub>	35.06	60.0	44.0	74.4	36
Y <sub>Ma</sub>	83.77	-5.16	109.32	109.44	93
L <sub>Ma</sub>	44.13	-62.66	48.24	79.09	142
C <sub>Ma</sub>	52.66	-29.13	-31.98	43.27	228
V <sub>Ma</sub>	14.15	50.3	-59.03	77.57	310
M <sub>Ma</sub>	37.37	78.64	-33.49	85.48	337
N <sub>Ma</sub>	8.58	0.0	0.0	0.0	0
W <sub>Ma</sub>	92.02	0.0	0.0	0.0	0
R <sub>CIE</sub>	39.92	58.74	27.99	65.07	25
J <sub>CIE</sub>	81.26	-2.88	71.56	71.62	92
G <sub>CIE</sub>	52.23	-42.41	13.6	44.55	162
B <sub>CIE</sub>	30.57	1.41	-46.46	46.49	272

Daten für Maximalfarbe (Ma):

$LAB^*LAB^*_{Ma}$ : 35 63 30

$LAB^*LCH^*_{Ma}$ : 35 70 25

$lab^*rgb^*_{Ma}$ : 1.0 0.0 0.0

$lab^*olv^*_{Ma}$ : 1.0 0.0 0.18

Dreiecks-Helligkeit  $i^*$

%Umfang

$u^*_{rel} = 109$

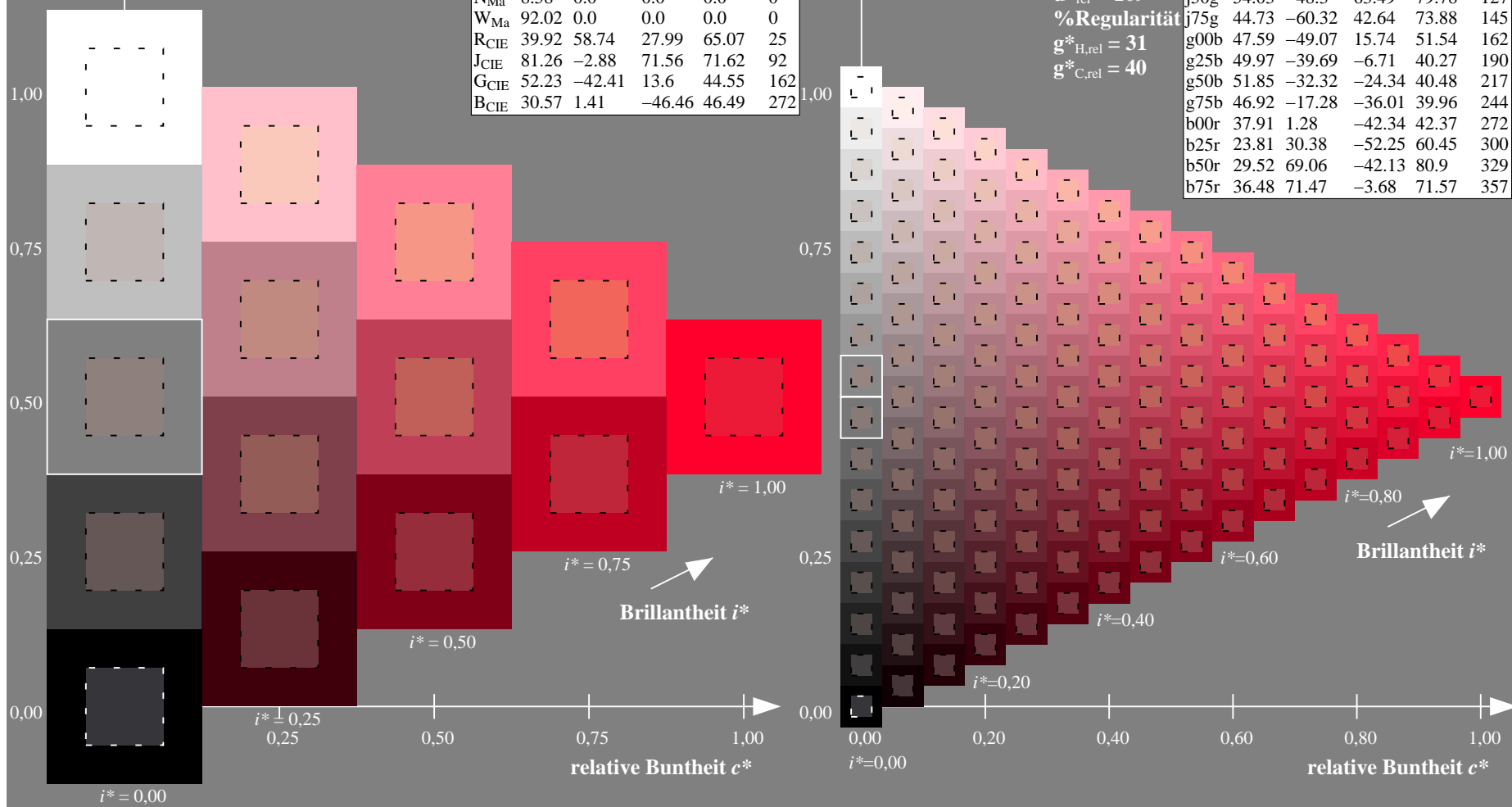
%Regularität

$g^*_{H,rel} = 31$

$g^*_{C,rel} = 40$

FRS09\_92aM; adaptierte CIELAB-Daten

	$L^*=L_a^*$	$a_a^*$	$b_a^*$	$C_{ab,a}^*$	$h_{ab,a}^*$
r00j	35.47	63.32	30.17	70.15	25
r25j	39.12	54.56	49.45	73.64	42
r50j	50.64	39.15	64.89	75.79	59
r75j	64.01	21.26	82.83	85.52	76
j00g	83.18	-4.37	108.53	108.62	92
j25g	66.73	-29.88	83.06	88.28	110
j50g	54.03	-48.3	63.49	79.78	127
j75g	44.73	-60.32	42.64	73.88	145
g00b	47.59	-49.07	15.74	51.54	162
g25b	49.97	-39.69	-6.71	40.27	190
g50b	51.85	-32.32	-24.34	40.48	217
g75b	46.92	-17.28	-36.01	39.96	244
b00r	37.91	1.28	-42.34	42.37	272
b25r	23.81	30.38	-52.25	60.45	300
b50r	29.52	69.06	-42.13	80.9	329
b75r	36.48	71.47	-3.68	71.57	357



Ein und Ausgabe: Farbmetrisches Drucker-Reflektiv-System FRS09\_92aM für relativen CIELAB-Buntton  $h^* = lab^*h^* = h_{ab}/360 = 42/360 = 0.117$   $u^* = r25j$

Daten für jede Farbe:

$lab^*ch^*$  und  $lab^*icu^*$

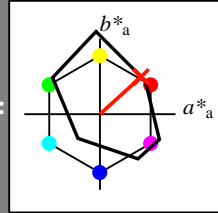
Elementar-Bunttontext:

$u^* = r25j$

Kontrastreduzierungsfaktor:

$c_R = 1.0$

Dreiecks-Helligkeit  $i^*$



FRS09\_92aM; adaptierte CIELAB-Daten

	$L^*=L_a^*$	$a_a^*$	$b_a^*$	$C_{ab,a}^*$	$h_{ab,a}^*$
O <sub>Ma</sub>	35.06	60.0	44.0	74.4	36
Y <sub>Ma</sub>	83.77	-5.16	109.32	109.44	93
L <sub>Ma</sub>	44.13	-62.66	48.24	79.09	142
C <sub>Ma</sub>	52.66	-29.13	-31.98	43.27	228
V <sub>Ma</sub>	14.15	50.3	-59.03	77.57	310
M <sub>Ma</sub>	37.37	78.64	-33.49	85.48	337
N <sub>Ma</sub>	8.58	0.0	0.0	0.0	0
W <sub>Ma</sub>	92.02	0.0	0.0	0.0	0
R <sub>CIE</sub>	39.92	58.74	27.99	65.07	25
J <sub>CIE</sub>	81.26	-2.88	71.56	71.62	92
G <sub>CIE</sub>	52.23	-42.41	13.6	44.55	162
B <sub>CIE</sub>	30.57	1.41	-46.46	46.49	272

Daten für Maximalfarbe (Ma):

$LAB^*LAB^*_{Ma}$ : 39 55 49

$LAB^*LCH^*_{Ma}$ : 39 74 42

$lab^*rgb^*_{Ma}$ : 1.0 0.25 0.0

$lab^*olv^*_{Ma}$ : 1.0 0.08 0.0

Dreiecks-Helligkeit  $i^*$

%Umfang

$u^*_{rel} = 109$

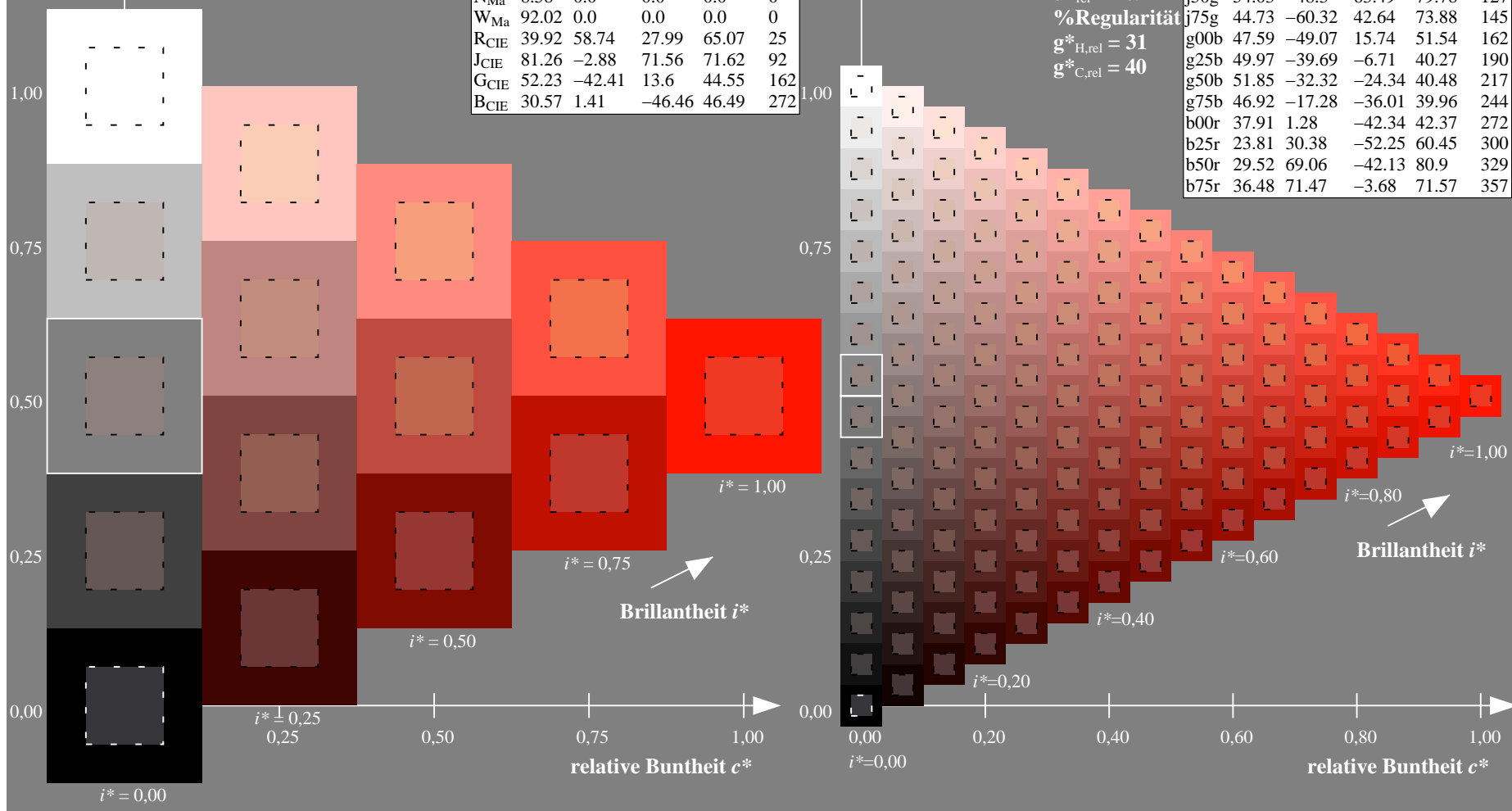
%Regularität

$g^*_{H,rel} = 31$

$g^*_{C,rel} = 40$

FRS09\_92aM; adaptierte CIELAB-Daten

	$L^*=L_a^*$	$a_a^*$	$b_a^*$	$C_{ab,a}^*$	$h_{ab,a}^*$
r00j	35.47	63.32	30.17	70.15	25
r25j	39.12	54.56	49.45	73.64	42
r50j	50.64	39.15	64.89	75.79	59
r75j	64.01	21.26	82.83	85.52	76
j00g	83.18	-4.37	108.53	108.62	92
j25g	66.73	-29.88	83.06	88.28	110
j50g	54.03	-48.3	63.49	79.78	127
j75g	44.73	-60.32	42.64	73.88	145
g00b	47.59	-49.07	15.74	51.54	162
g25b	49.97	-39.69	-6.71	40.27	190
g50b	51.85	-32.32	-24.34	40.48	217
g75b	46.92	-17.28	-36.01	39.96	244
b00r	37.91	1.28	-42.34	42.37	272
b25r	23.81	30.38	-52.25	60.45	300
b50r	29.52	69.06	-42.13	80.9	329
b75r	36.48	71.47	-3.68	71.57	357



Ein und Ausgabe: Farbmetrisches Drucker-Reflektiv-System FRS09\_92aM für relativen CIELAB-Buntton  $h^* = lab^*h^* = h_{ab}/360 = 59/360 = 0.164$   $u^* = r50j$

Daten für jede Farbe:

$lab^*ch^*$  und  $lab^*icu^*$

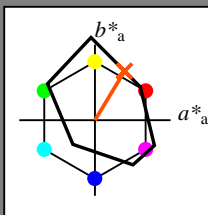
Elementar-Bunttontext:

$u^* = r50j$

Kontrastreduzierungsfaktor:

$c_R = 1.0$

Dreiecks-Helligkeit  $i^*$



FRS09\_92aM; adaptierte CIELAB-Daten

	$L^*=L_a^*$	$a_a^*$	$b_a^*$	$C_{ab,a}^*$	$h_{ab,a}^*$
O <sub>Ma</sub>	35.06	60.0	44.0	74.4	36
Y <sub>Ma</sub>	83.77	-5.16	109.32	109.44	93
L <sub>Ma</sub>	44.13	-62.66	48.24	79.09	142
C <sub>Ma</sub>	52.66	-29.13	-31.98	43.27	228
V <sub>Ma</sub>	14.15	50.3	-59.03	77.57	310
M <sub>Ma</sub>	37.37	78.64	-33.49	85.48	337
N <sub>Ma</sub>	8.58	0.0	0.0	0.0	0
W <sub>Ma</sub>	92.02	0.0	0.0	0.0	0
R <sub>CIE</sub>	39.92	58.74	27.99	65.07	25
J <sub>CIE</sub>	81.26	-2.88	71.56	71.62	92
G <sub>CIE</sub>	52.23	-42.41	13.6	44.55	162
B <sub>CIE</sub>	30.57	1.41	-46.46	46.49	272

Daten für Maximalfarbe (Ma):

$LAB^*LAB^*_{Ma}$ : 51 39 65

$LAB^*LCH^*_{Ma}$ : 51 76 59

$lab^*rgb^*_{Ma}$ : 1.0 0.5 0.0

$lab^*olv^*_{Ma}$ : 1.0 0.32 0.0

Dreiecks-Helligkeit  $i^*$

%Umfang

$u^*_{rel} = 109$

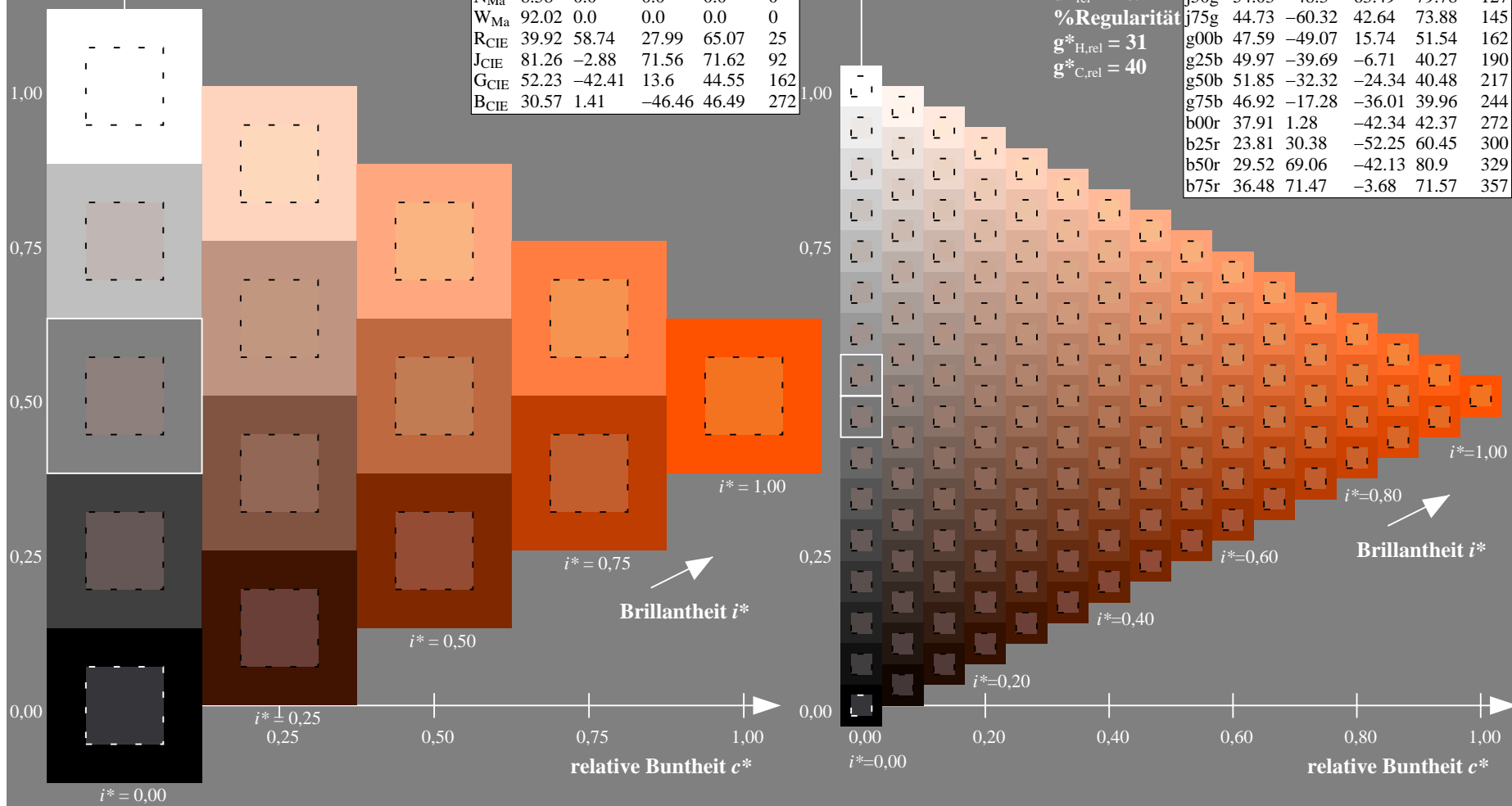
%Regularität

$g^*_{H,rel} = 31$

$g^*_{C,rel} = 40$

FRS09\_92aM; adaptierte CIELAB-Daten

	$L^*=L_a^*$	$a_a^*$	$b_a^*$	$C_{ab,a}^*$	$h_{ab,a}^*$
r00j	35.47	63.32	30.17	70.15	25
r25j	39.12	54.56	49.45	73.64	42
r50j	50.64	39.15	64.89	75.79	59
r75j	64.01	21.26	82.83	85.52	76
j00g	83.18	-4.37	108.53	108.62	92
j25g	66.73	-29.88	83.06	88.28	110
j50g	54.03	-48.3	63.49	79.78	127
j75g	44.73	-60.32	42.64	73.88	145
g00b	47.59	-49.07	15.74	51.54	162
g25b	49.97	-39.69	-6.71	40.27	190
g50b	51.85	-32.32	-24.34	40.48	217
g75b	46.92	-17.28	-36.01	39.96	244
b00r	37.91	1.28	-42.34	42.37	272
b25r	23.81	30.38	-52.25	60.45	300
b50r	29.52	69.06	-42.13	80.9	329
b75r	36.48	71.47	-3.68	71.57	357







Ein und Ausgabe: Farbmetrisches Drucker-Reflektiv-System FRS09\_92aM für relativen CIELAB-Buntton  $h^* = lab^*h^* = h_{ab}/360 = 92/360 = 0.256$   $u^* = j00g$

Daten für jede Farbe:

$lab^*ch^*$  und  $lab^*icu^*$

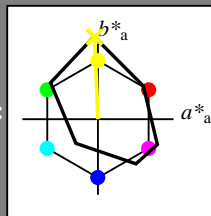
Elementar-Bunttontext:

$u^* = j00g$

Kontrastreduzierungsfaktor:

$c_R = 1.0$

Dreiecks-Helligkeit  $i^*$



FRS09\_92aM; adaptierte CIELAB-Daten

	$L^*=L_a^*$	$a_a^*$	$b_a^*$	$C^*_{ab,a}$	$h^*_{ab,a}$
O <sub>Ma</sub>	35.06	60.0	44.0	74.4	36
Y <sub>Ma</sub>	83.77	-5.16	109.32	109.44	93
L <sub>Ma</sub>	44.13	-62.66	48.24	79.09	142
C <sub>Ma</sub>	52.66	-29.13	-31.98	43.27	228
V <sub>Ma</sub>	14.15	50.3	-59.03	77.57	310
M <sub>Ma</sub>	37.37	78.64	-33.49	85.48	337
N <sub>Ma</sub>	8.58	0.0	0.0	0.0	0
W <sub>Ma</sub>	92.02	0.0	0.0	0.0	0
R <sub>CIE</sub>	39.92	58.74	27.99	65.07	25
J <sub>CIE</sub>	81.26	-2.88	71.56	71.62	92
G <sub>CIE</sub>	52.23	-42.41	13.6	44.55	162
B <sub>CIE</sub>	30.57	1.41	-46.46	46.49	272

Daten für Maximalfarbe (Ma):

$LAB^*LAB^*_{Ma}$ : 83 -3 109

$LAB^*LCH^*_{Ma}$ : 83 109 92

$lab^*rgb^*_{Ma}$ : 1.0 1.0 0.0

$lab^*olv^*_{Ma}$ : 1.0 0.99 0.0

Dreiecks-Helligkeit  $i^*$

%Umfang

$u^*_{rel} = 109$

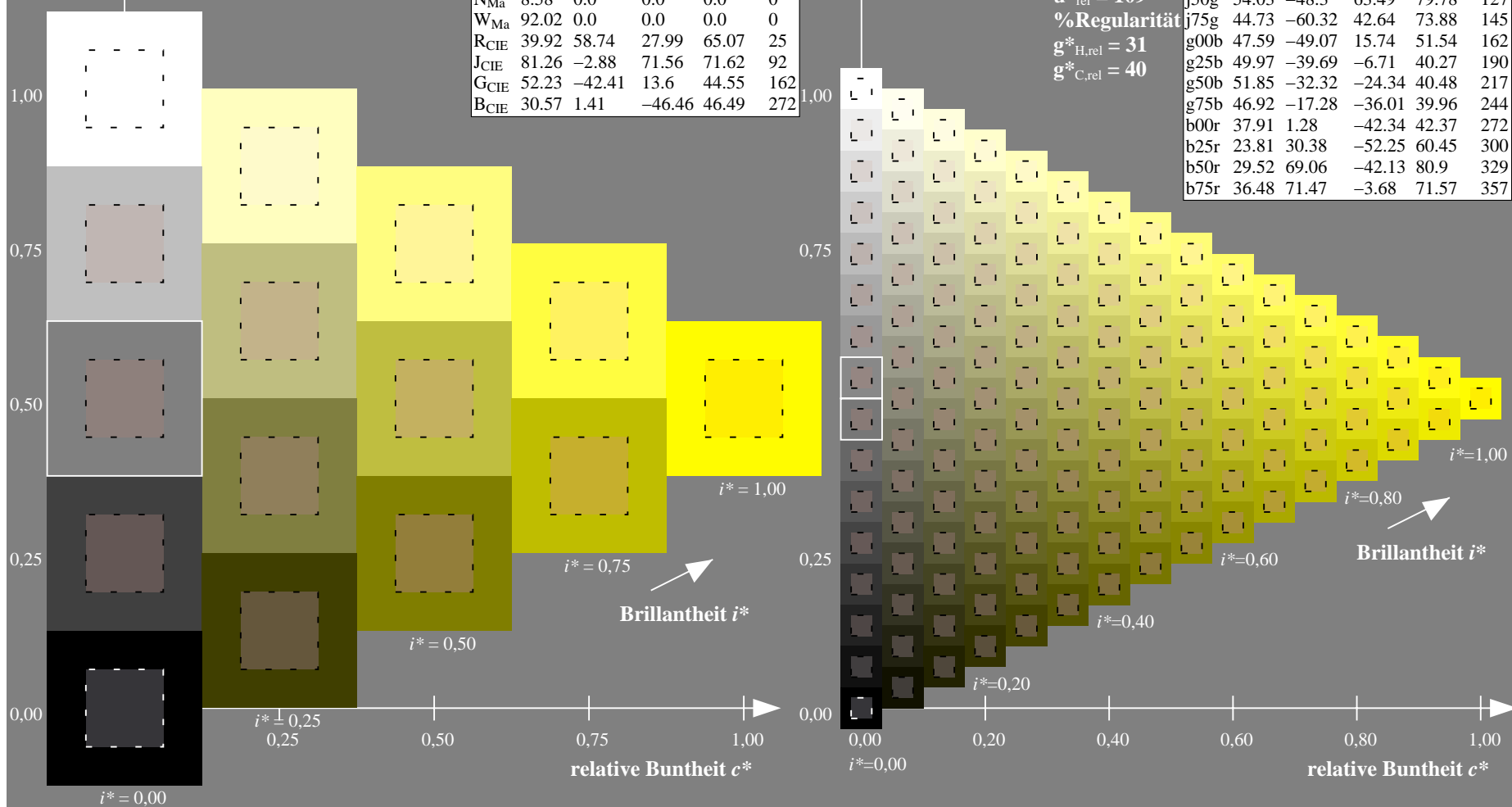
%Regularität

$g^*_{H,rel} = 31$

$g^*_{C,rel} = 40$

FRS09\_92aM; adaptierte CIELAB-Daten

	$L^*=L_a^*$	$a_a^*$	$b_a^*$	$C^*_{ab,a}$	$h^*_{ab,a}$
r00j	35.47	63.32	30.17	70.15	25
r25j	39.12	54.56	49.45	73.64	42
r50j	50.64	39.15	64.89	75.79	59
r75j	64.01	21.26	82.83	85.52	76
j00g	83.18	-4.37	108.53	108.62	92
j25g	66.73	-29.88	83.06	88.28	110
j50g	54.03	-48.3	63.49	79.78	127
j75g	44.73	-60.32	42.64	73.88	145
g00b	47.59	-49.07	15.74	51.54	162
g25b	49.97	-39.69	-6.71	40.27	190
g50b	51.85	-32.32	-24.34	40.48	217
g75b	46.92	-17.28	-36.01	39.96	244
b00r	37.91	1.28	-42.34	42.37	272
b25r	23.81	30.38	-52.25	60.45	300
b50r	29.52	69.06	-42.13	80.9	329
b75r	36.48	71.47	-3.68	71.57	357



Ein und Ausgabe: Farbmetrisches Drucker-Reflektiv-System FRS09\_92aM für relativen CIELAB-Buntton  $h^* = lab^*h^* = h_{ab}/360 = 110/360 = 0.305$   $u^* = j25g$

Daten für jede Farbe:

$lab^*ch^*$  und  $lab^*icu^*$

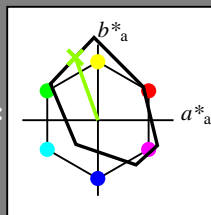
Elementar-Bunttontext:

$u^* = j25g$

Kontrastreduzierungsfaktor:

$c_R = 1.0$

Dreiecks-Helligkeit  $i^*$



FRS09\_92aM; adaptierte CIELAB-Daten

	$L^*=L^*_a$	$a^*_a$	$b^*_a$	$C^*_{ab,a}$	$h^*_{ab,a}$
O <sub>Ma</sub>	35.06	60.0	44.0	74.4	36
Y <sub>Ma</sub>	83.77	-5.16	109.32	109.44	93
L <sub>Ma</sub>	44.13	-62.66	48.24	79.09	142
C <sub>Ma</sub>	52.66	-29.13	-31.98	43.27	228
V <sub>Ma</sub>	14.15	50.3	-59.03	77.57	310
M <sub>Ma</sub>	37.37	78.64	-33.49	85.48	337
N <sub>Ma</sub>	8.58	0.0	0.0	0.0	0
W <sub>Ma</sub>	92.02	0.0	0.0	0.0	0
R <sub>CIE</sub>	39.92	58.74	27.99	65.07	25
J <sub>CIE</sub>	81.26	-2.88	71.56	71.62	92
G <sub>CIE</sub>	52.23	-42.41	13.6	44.55	162
B <sub>CIE</sub>	30.57	1.41	-46.46	46.49	272

Daten für Maximalfarbe (Ma):

$LAB^*LAB^*_{Ma}$ : 67 -29 83

$LAB^*LCH^*_{Ma}$ : 67 88 110

$lab^*rgb^*_{Ma}$ : 0.75 1.0 0.0

$lab^*olv^*_{Ma}$ : 0.57 1.0 0.0

Dreiecks-Helligkeit  $i^*$

%Umfang

$u^*_{rel} = 109$

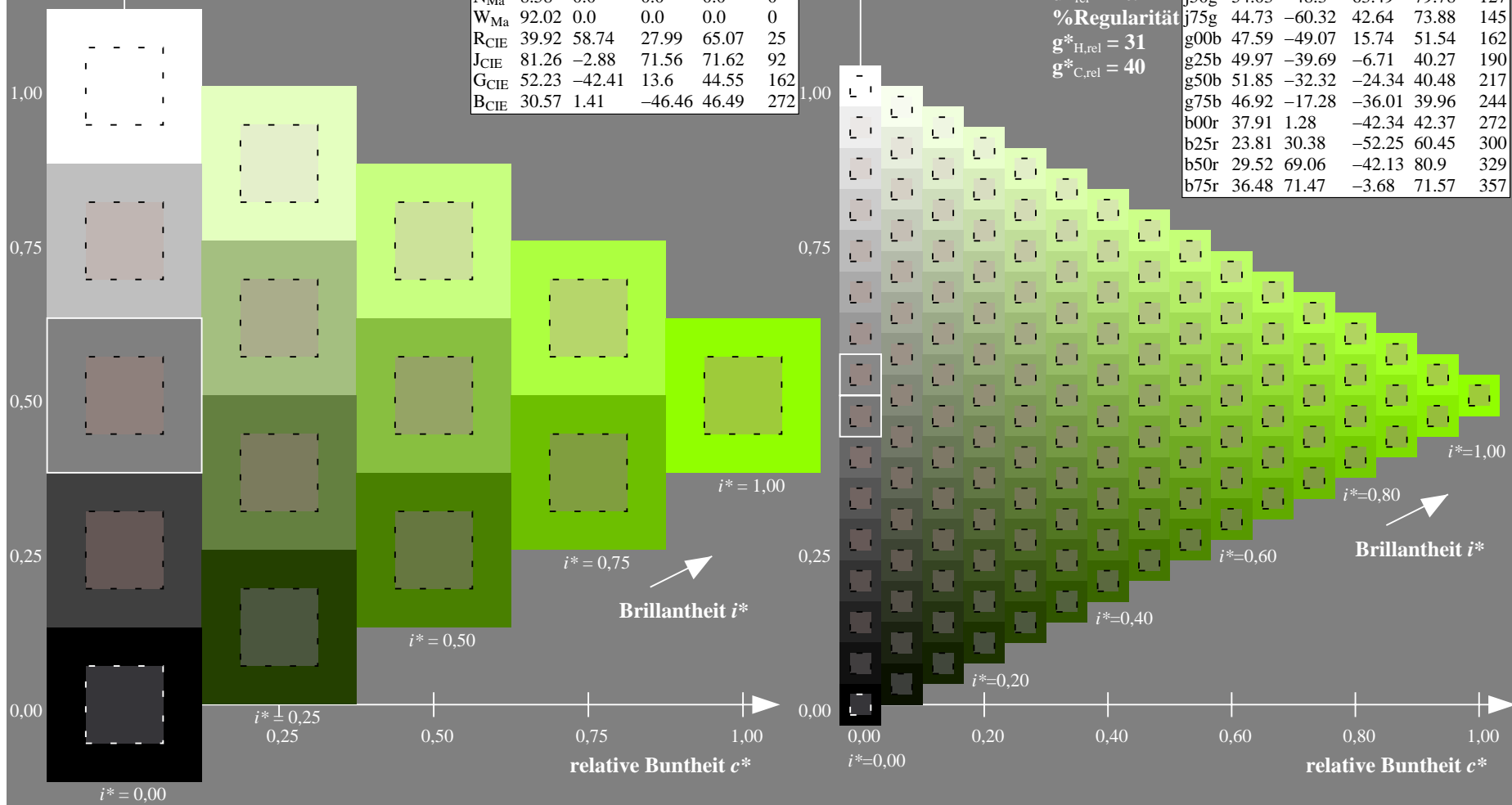
%Regularität

$g^*_{H,rel} = 31$

$g^*_{C,rel} = 40$

FRS09\_92aM; adaptierte CIELAB-Daten

	$L^*=L^*_a$	$a^*_a$	$b^*_a$	$C^*_{ab,a}$	$h^*_{ab,a}$
r00j	35.47	63.32	30.17	70.15	25
r25j	39.12	54.56	49.45	73.64	42
r50j	50.64	39.15	64.89	75.79	59
r75j	64.01	21.26	82.83	85.52	76
j00g	83.18	-4.37	108.53	108.62	92
j25g	66.73	-29.88	83.06	88.28	110
j50g	54.03	-48.3	63.49	79.78	127
j75g	44.73	-60.32	42.64	73.88	145
g00b	47.59	-49.07	15.74	51.54	162
g25b	49.97	-39.69	-6.71	40.27	190
g50b	51.85	-32.32	-24.34	40.48	217
g75b	46.92	-17.28	-36.01	39.96	244
b00r	37.91	1.28	-42.34	42.37	272
b25r	23.81	30.38	-52.25	60.45	300
b50r	29.52	69.06	-42.13	80.9	329
b75r	36.48	71.47	-3.68	71.57	357



Ein und Ausgabe: Farbmetrisches Drucker-Reflektiv-System FRS09\_92aM für relativen CIELAB-Buntton  $h^* = lab^*h^* = h_{ab}/360 = 127/360 = 0.354$   $u^* = j50g$

Daten für jede Farbe:

$lab^*ch^*$  und  $lab^*icu^*$

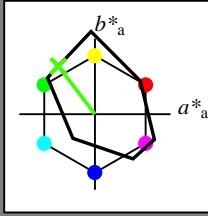
Elementar-Bunttontext:

$u^* = j50g$

Kontrastreduzierungsfaktor:

$c_R = 1.0$

Dreiecks-Helligkeit  $i^*$



FRS09\_92aM; adaptierte CIELAB-Daten

	$L^*=L^*_a$	$a^*_a$	$b^*_a$	$C^*_{ab,a}$	$h^*_{ab,a}$
O <sub>Ma</sub>	35.06	60.0	44.0	74.4	36
Y <sub>Ma</sub>	83.77	-5.16	109.32	109.44	93
L <sub>Ma</sub>	44.13	-62.66	48.24	79.09	142
C <sub>Ma</sub>	52.66	-29.13	-31.98	43.27	228
V <sub>Ma</sub>	14.15	50.3	-59.03	77.57	310
M <sub>Ma</sub>	37.37	78.64	-33.49	85.48	337
N <sub>Ma</sub>	8.58	0.0	0.0	0.0	0
W <sub>Ma</sub>	92.02	0.0	0.0	0.0	0
R <sub>CIE</sub>	39.92	58.74	27.99	65.07	25
J <sub>CIE</sub>	81.26	-2.88	71.56	71.62	92
G <sub>CIE</sub>	52.23	-42.41	13.6	44.55	162
B <sub>CIE</sub>	30.57	1.41	-46.46	46.49	272

Daten für Maximalfarbe (Ma):

$LAB^*LAB^*_{Ma}$ : 54 -47 63

$LAB^*LCH^*_{Ma}$ : 54 80 127

$lab^*rgb^*_{Ma}$ : 0.5 1.0 0.0

$lab^*olv^*_{Ma}$ : 0.25 1.0 0.0

Dreiecks-Helligkeit  $i^*$

%Umfang

$u^*_{rel} = 109$

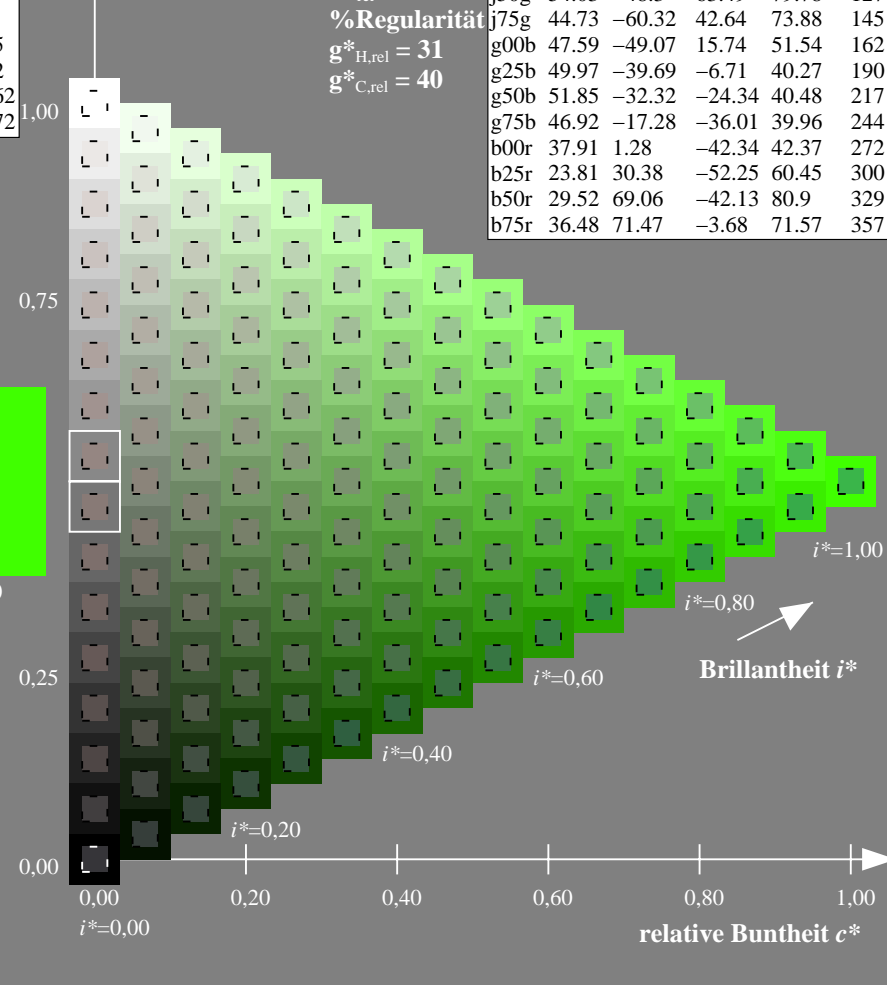
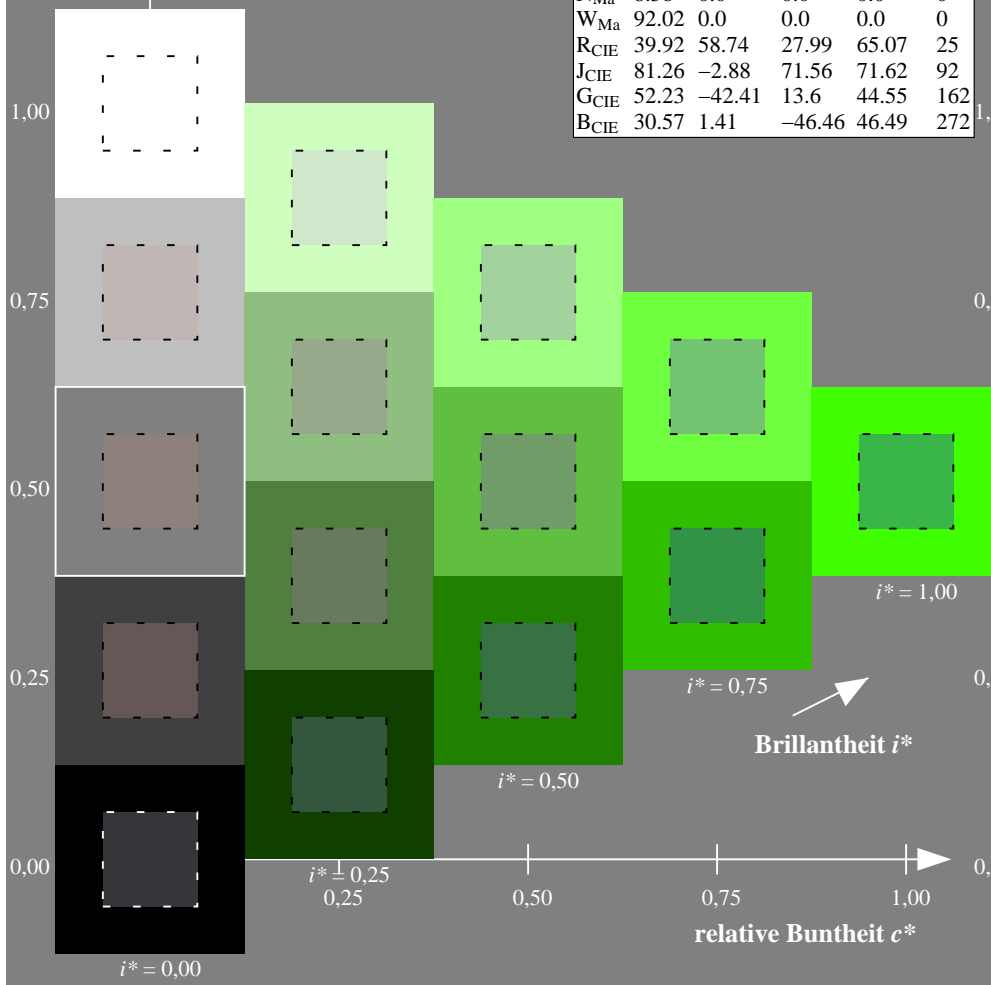
%Regularität

$g^*_{H,rel} = 31$

$g^*_{C,rel} = 40$

FRS09\_92aM; adaptierte CIELAB-Daten

	$L^*=L^*_a$	$a^*_a$	$b^*_a$	$C^*_{ab,a}$	$h^*_{ab,a}$
r00j	35.47	63.32	30.17	70.15	25
r25j	39.12	54.56	49.45	73.64	42
r50j	50.64	39.15	64.89	75.79	59
r75j	64.01	21.26	82.83	85.52	76
j00g	83.18	-4.37	108.53	108.62	92
j25g	66.73	-29.88	83.06	88.28	110
j50g	54.03	-48.3	63.49	79.78	127
j75g	44.73	-60.32	42.64	73.88	145
g00b	47.59	-49.07	15.74	51.54	162
g25b	49.97	-39.69	-6.71	40.27	190
g50b	51.85	-32.32	-24.34	40.48	217
g75b	46.92	-17.28	-36.01	39.96	244
b00r	37.91	1.28	-42.34	42.37	272
b25r	23.81	30.38	-52.25	60.45	300
b50r	29.52	69.06	-42.13	80.9	329
b75r	36.48	71.47	-3.68	71.57	357



Ein und Ausgabe: Farbmetrisches Drucker-Reflektiv-System FRS09\_92aM für relativen CIELAB-Buntton  $h^* = lab^*h^* = h_{ab}/360 = 145/360 = 0.402$   $u^* = j75g$

Daten für jede Farbe:

$lab^*ch^*$  und  $lab^*icu^*$

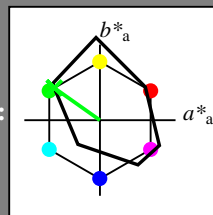
Elementar-Bunttontext:

$u^* = j75g$

Kontrastreduzierungsfaktor:

$c_R = 1.0$

Dreiecks-Helligkeit  $i^*$



FRS09\_92aM; adaptierte CIELAB-Daten

	$L^*=L_a^*$	$a_a^*$	$b_a^*$	$C^*_{ab,a}$	$h^*_{ab,a}$
O <sub>Ma</sub>	35.06	60.0	44.0	74.4	36
Y <sub>Ma</sub>	83.77	-5.16	109.32	109.44	93
L <sub>Ma</sub>	44.13	-62.66	48.24	79.09	142
C <sub>Ma</sub>	52.66	-29.13	-31.98	43.27	228
V <sub>Ma</sub>	14.15	50.3	-59.03	77.57	310
M <sub>Ma</sub>	37.37	78.64	-33.49	85.48	337
N <sub>Ma</sub>	8.58	0.0	0.0	0.0	0
W <sub>Ma</sub>	92.02	0.0	0.0	0.0	0
R <sub>CIE</sub>	39.92	58.74	27.99	65.07	25
J <sub>CIE</sub>	81.26	-2.88	71.56	71.62	92
G <sub>CIE</sub>	52.23	-42.41	13.6	44.55	162
B <sub>CIE</sub>	30.57	1.41	-46.46	46.49	272

Daten für Maximalfarbe (Ma):

$LAB^*LAB^*_{Ma}$ : 45 -59 43

$LAB^*LCH^*_{Ma}$ : 45 74 145

$lab^*rgb^*_{Ma}$ : 0.25 1.0 0.0

$lab^*olv^*_{Ma}$ : 0.0 1.0 0.07

Dreiecks-Helligkeit  $i^*$

%Umfang

$u^*_{rel} = 109$

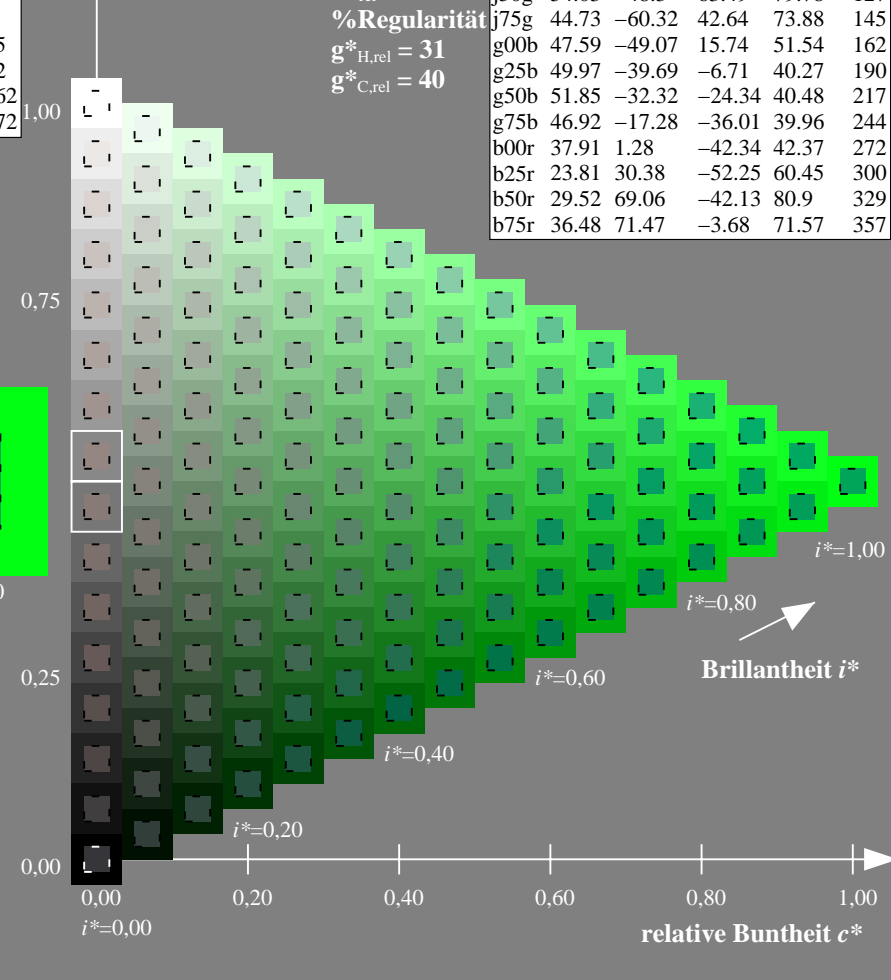
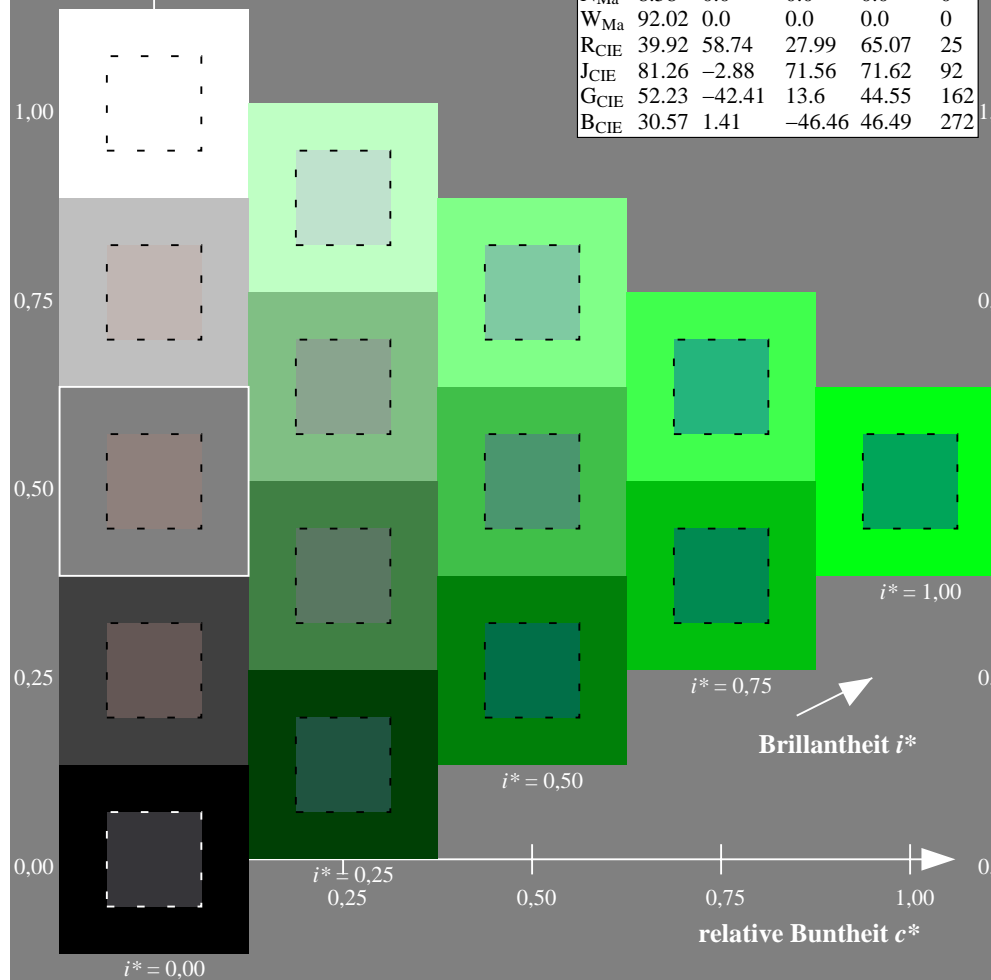
%Regularität

$g^*_{H,rel} = 31$

$g^*_{C,rel} = 40$

FRS09\_92aM; adaptierte CIELAB-Daten

	$L^*=L_a^*$	$a_a^*$	$b_a^*$	$C^*_{ab,a}$	$h^*_{ab,a}$
r00j	35.47	63.32	30.17	70.15	25
r25j	39.12	54.56	49.45	73.64	42
r50j	50.64	39.15	64.89	75.79	59
r75j	64.01	21.26	82.83	85.52	76
j00g	83.18	-4.37	108.53	108.62	92
j25g	66.73	-29.88	83.06	88.28	110
j50g	54.03	-48.3	63.49	79.78	127
j75g	44.73	-60.32	42.64	73.88	145
g00b	47.59	-49.07	15.74	51.54	162
g25b	49.97	-39.69	-6.71	40.27	190
g50b	51.85	-32.32	-24.34	40.48	217
g75b	46.92	-17.28	-36.01	39.96	244
b00r	37.91	1.28	-42.34	42.37	272
b25r	23.81	30.38	-52.25	60.45	300
b50r	29.52	69.06	-42.13	80.9	329
b75r	36.48	71.47	-3.68	71.57	357



Ein und Ausgabe: Farbmetrisches Drucker-Reflektiv-System FRS09\_92aM für relativen CIELAB-Buntton  $h^* = lab^*h^* = h_{ab}/360 = 162/360 = 0.451$   $u^* = g00b$

Daten für jede Farbe:

$lab^*ch^*$  und  $lab^*icu^*$

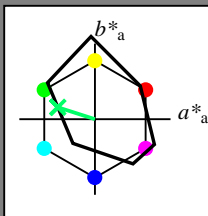
Elementar-Bunttontext:

$u^* = g00b$

Kontrastreduzierungsfaktor:

$c_R = 1.0$

Dreiecks-Helligkeit  $i^*$



FRS09\_92aM; adaptierte CIELAB-Daten

	$L^*=L^*_a$	$a^*_a$	$b^*_a$	$C^*_{ab,a}$	$h^*_{ab,a}$
O <sub>Ma</sub>	35.06	60.0	44.0	74.4	36
Y <sub>Ma</sub>	83.77	-5.16	109.32	109.44	93
L <sub>Ma</sub>	44.13	-62.66	48.24	79.09	142
C <sub>Ma</sub>	52.66	-29.13	-31.98	43.27	228
V <sub>Ma</sub>	14.15	50.3	-59.03	77.57	310
M <sub>Ma</sub>	37.37	78.64	-33.49	85.48	337
N <sub>Ma</sub>	8.58	0.0	0.0	0.0	0
W <sub>Ma</sub>	92.02	0.0	0.0	0.0	0
R <sub>CIE</sub>	39.92	58.74	27.99	65.07	25
J <sub>CIE</sub>	81.26	-2.88	71.56	71.62	92
G <sub>CIE</sub>	52.23	-42.41	13.6	44.55	162
B <sub>CIE</sub>	30.57	1.41	-46.46	46.49	272

Daten für Maximalfarbe (Ma):

$LAB^*LAB^*_{Ma}$ : 48 -48 16

$LAB^*LCH^*_{Ma}$ : 48 52 162

$lab^*rgb^*_{Ma}$ : 0.0 1.0 0.0

$lab^*olv^*_{Ma}$ : 0.0 1.0 0.41

Dreiecks-Helligkeit  $i^*$

%Umfang

$u^*_{rel} = 109$

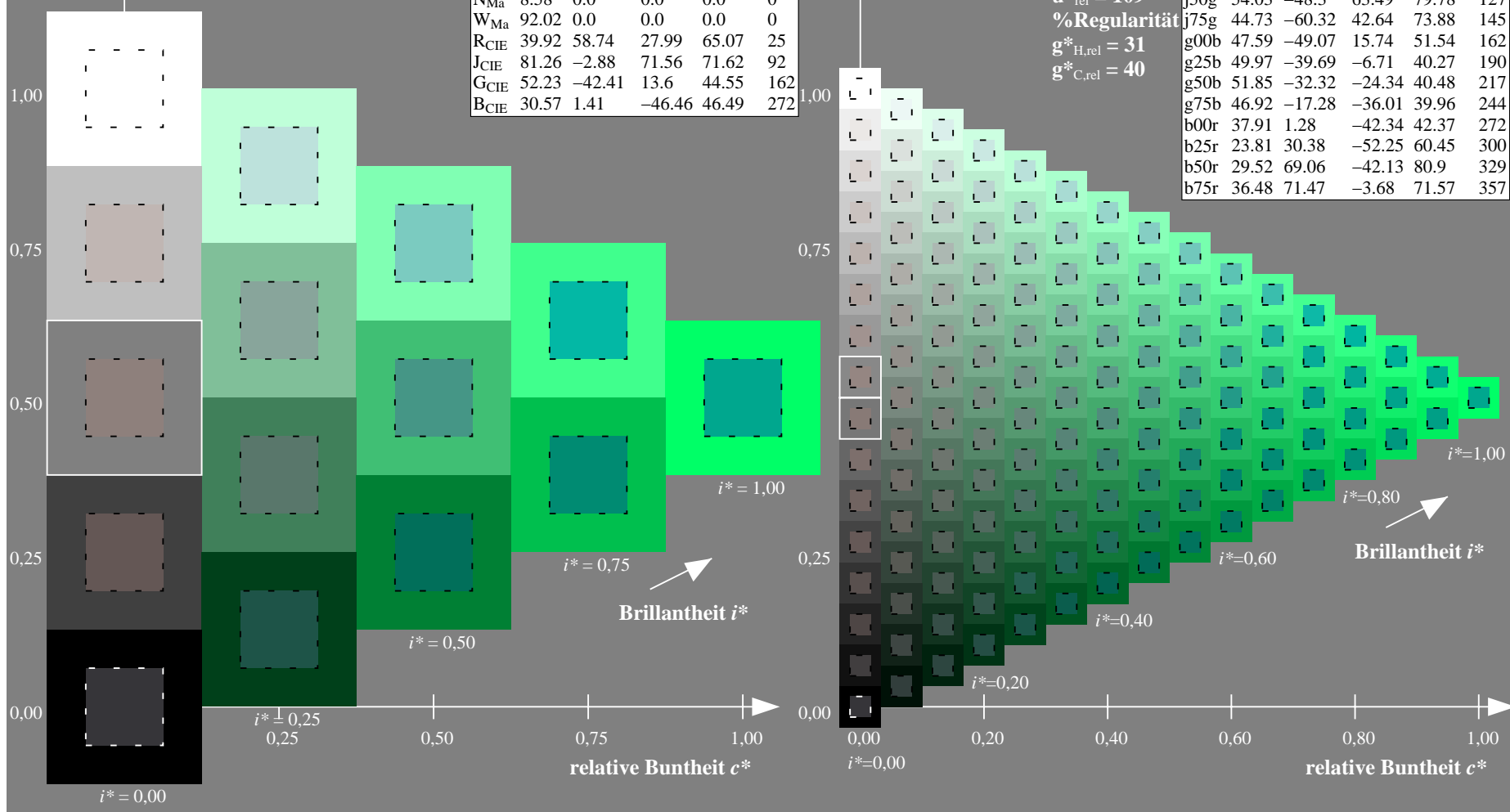
%Regularität

$g^*_{H,rel} = 31$

$g^*_{C,rel} = 40$

FRS09\_92aM; adaptierte CIELAB-Daten

	$L^*=L^*_a$	$a^*_a$	$b^*_a$	$C^*_{ab,a}$	$h^*_{ab,a}$
r00j	35.47	63.32	30.17	70.15	25
r25j	39.12	54.56	49.45	73.64	42
r50j	50.64	39.15	64.89	75.79	59
r75j	64.01	21.26	82.83	85.52	76
j00g	83.18	-4.37	108.53	108.62	92
j25g	66.73	-29.88	83.06	88.28	110
j50g	54.03	-48.3	63.49	79.78	127
j75g	44.73	-60.32	42.64	73.88	145
g00b	47.59	-49.07	15.74	51.54	162
g25b	49.97	-39.69	-6.71	40.27	190
g50b	51.85	-32.32	-24.34	40.48	217
g75b	46.92	-17.28	-36.01	39.96	244
b00r	37.91	1.28	-42.34	42.37	272
b25r	23.81	30.38	-52.25	60.45	300
b50r	29.52	69.06	-42.13	80.9	329
b75r	36.48	71.47	-3.68	71.57	357





Ein und Ausgabe: Farbmetrisches Drucker-Reflektiv-System FRS09\_92aM für relativen CIELAB-Buntton  $h^* = lab^*h^* = h_{ab}/360 = 190/360 = 0.527$   $u^* = g25b$

Daten für jede Farbe:

$lab^*ch^*$  und  $lab^*icu^*$

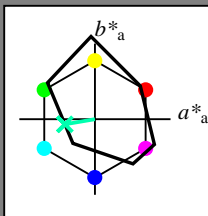
Elementar-Bunttontext:

$u^* = g25b$

Kontrastreduzierungsfaktor:

$c_R = 1.0$

Dreiecks-Helligkeit  $i^*$



FRS09\_92aM; adaptierte CIELAB-Daten

	$L^*=L^*_a$	$a^*_a$	$b^*_a$	$C^*_{ab,a}$	$h^*_{ab,a}$
O <sub>Ma</sub>	35.06	60.0	44.0	74.4	36
Y <sub>Ma</sub>	83.77	-5.16	109.32	109.44	93
L <sub>Ma</sub>	44.13	-62.66	48.24	79.09	142
C <sub>Ma</sub>	52.66	-29.13	-31.98	43.27	228
V <sub>Ma</sub>	14.15	50.3	-59.03	77.57	310
M <sub>Ma</sub>	37.37	78.64	-33.49	85.48	337
N <sub>Ma</sub>	8.58	0.0	0.0	0.0	0
W <sub>Ma</sub>	92.02	0.0	0.0	0.0	0
R <sub>CIE</sub>	39.92	58.74	27.99	65.07	25
J <sub>CIE</sub>	81.26	-2.88	71.56	71.62	92
G <sub>CIE</sub>	52.23	-42.41	13.6	44.55	162
B <sub>CIE</sub>	30.57	1.41	-46.46	46.49	272

Daten für Maximalfarbe (Ma):

$LAB^*LAB^*_{Ma}$ : 50 -39 -6

$LAB^*LCH^*_{Ma}$ : 50 40 190

$lab^*rgb^*_{Ma}$ : 0.0 1.0 0.5

$lab^*olv^*_{Ma}$ : 0.0 1.0 0.69

Dreiecks-Helligkeit  $i^*$

%Umfang

$u^*_{rel} = 109$

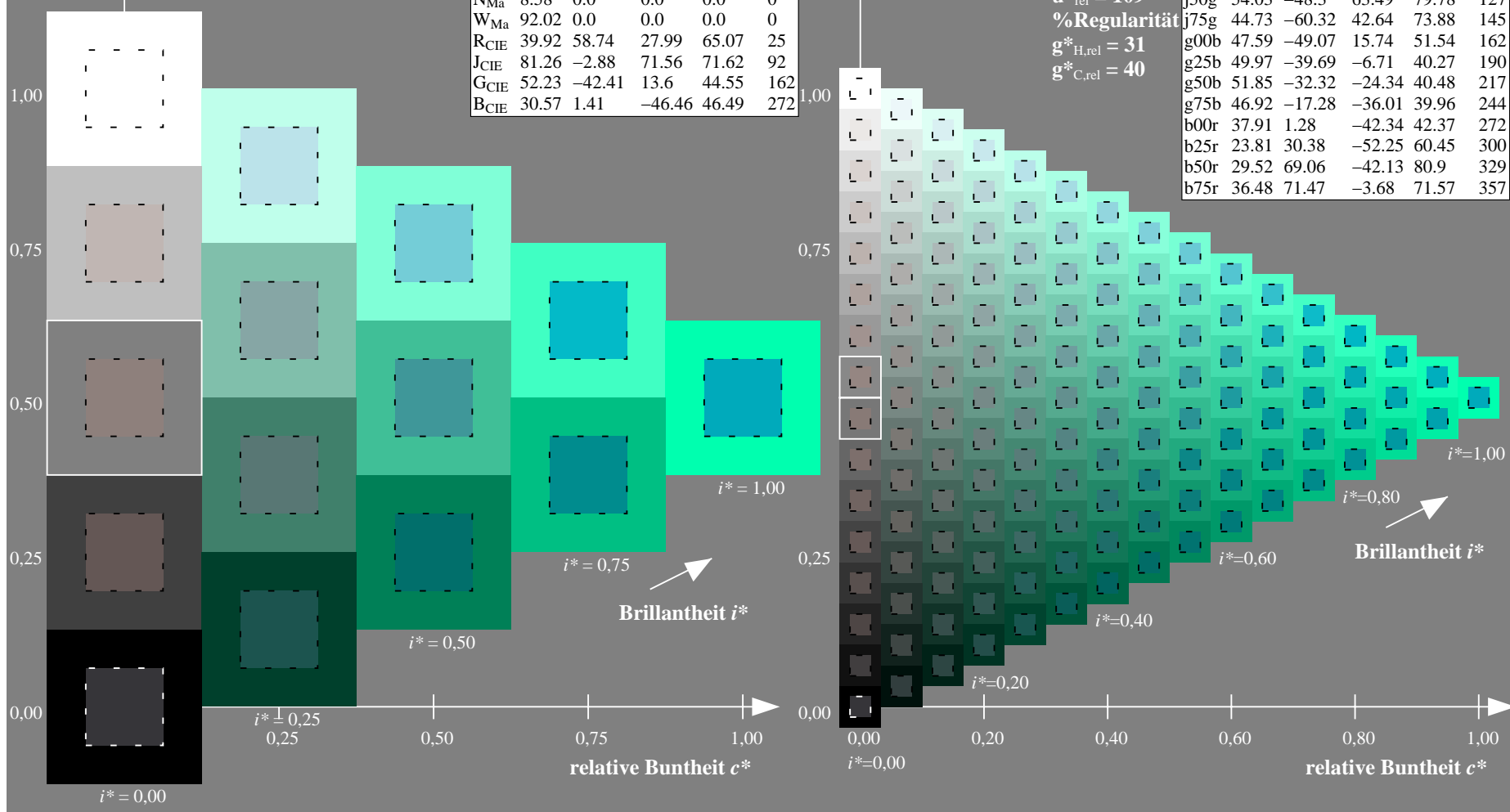
%Regularität

$g^*_{H,rel} = 31$

$g^*_{C,rel} = 40$

FRS09\_92aM; adaptierte CIELAB-Daten

	$L^*=L^*_a$	$a^*_a$	$b^*_a$	$C^*_{ab,a}$	$h^*_{ab,a}$
r00j	35.47	63.32	30.17	70.15	25
r25j	39.12	54.56	49.45	73.64	42
r50j	50.64	39.15	64.89	75.79	59
r75j	64.01	21.26	82.83	85.52	76
j00g	83.18	-4.37	108.53	108.62	92
j25g	66.73	-29.88	83.06	88.28	110
j50g	54.03	-48.3	63.49	79.78	127
j75g	44.73	-60.32	42.64	73.88	145
g00b	47.59	-49.07	15.74	51.54	162
g25b	49.97	-39.69	-6.71	40.27	190
g50b	51.85	-32.32	-24.34	40.48	217
g75b	46.92	-17.28	-36.01	39.96	244
b00r	37.91	1.28	-42.34	42.37	272
b25r	23.81	30.38	-52.25	60.45	300
b50r	29.52	69.06	-42.13	80.9	329
b75r	36.48	71.47	-3.68	71.57	357



Ein und Ausgabe: Farbmetrisches Drucker-Reflektiv-System FRS09\_92aM für relativen CIELAB-Buntton  $h^* = lab^*h^* = h_{ab}/360 = 217/360 = 0.603$   $u^* = g50b$

Daten für jede Farbe:

$lab^*ch^*$  und  $lab^*icu^*$

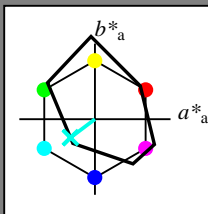
Elementar-Bunttontext:

$u^* = g50b$

Kontrastreduzierungsfaktor:

$c_R = 1.0$

Dreiecks-Helligkeit  $i^*$



FRS09\_92aM; adaptierte CIELAB-Daten

	$L^*=L^*_a$	$a^*_a$	$b^*_a$	$C^*_{ab,a}$	$h^*_{ab,a}$
O <sub>Ma</sub>	35.06	60.0	44.0	74.4	36
Y <sub>Ma</sub>	83.77	-5.16	109.32	109.44	93
L <sub>Ma</sub>	44.13	-62.66	48.24	79.09	142
C <sub>Ma</sub>	52.66	-29.13	-31.98	43.27	228
V <sub>Ma</sub>	14.15	50.3	-59.03	77.57	310
M <sub>Ma</sub>	37.37	78.64	-33.49	85.48	337
N <sub>Ma</sub>	8.58	0.0	0.0	0.0	0
W <sub>Ma</sub>	92.02	0.0	0.0	0.0	0
R <sub>CIE</sub>	39.92	58.74	27.99	65.07	25
J <sub>CIE</sub>	81.26	-2.88	71.56	71.62	92
G <sub>CIE</sub>	52.23	-42.41	13.6	44.55	162
B <sub>CIE</sub>	30.57	1.41	-46.46	46.49	272

Daten für Maximalfarbe (Ma):

$LAB^*LAB^*_{Ma}$ : 52 -31 -23

$LAB^*LCH^*_{Ma}$ : 52 40 217

$lab^*rgb^*_{Ma}$ : 0.0 1.0 1.0

$lab^*olv^*_{Ma}$ : 0.0 1.0 0.9

Dreiecks-Helligkeit  $i^*$

%Umfang

$u^*_{rel} = 109$

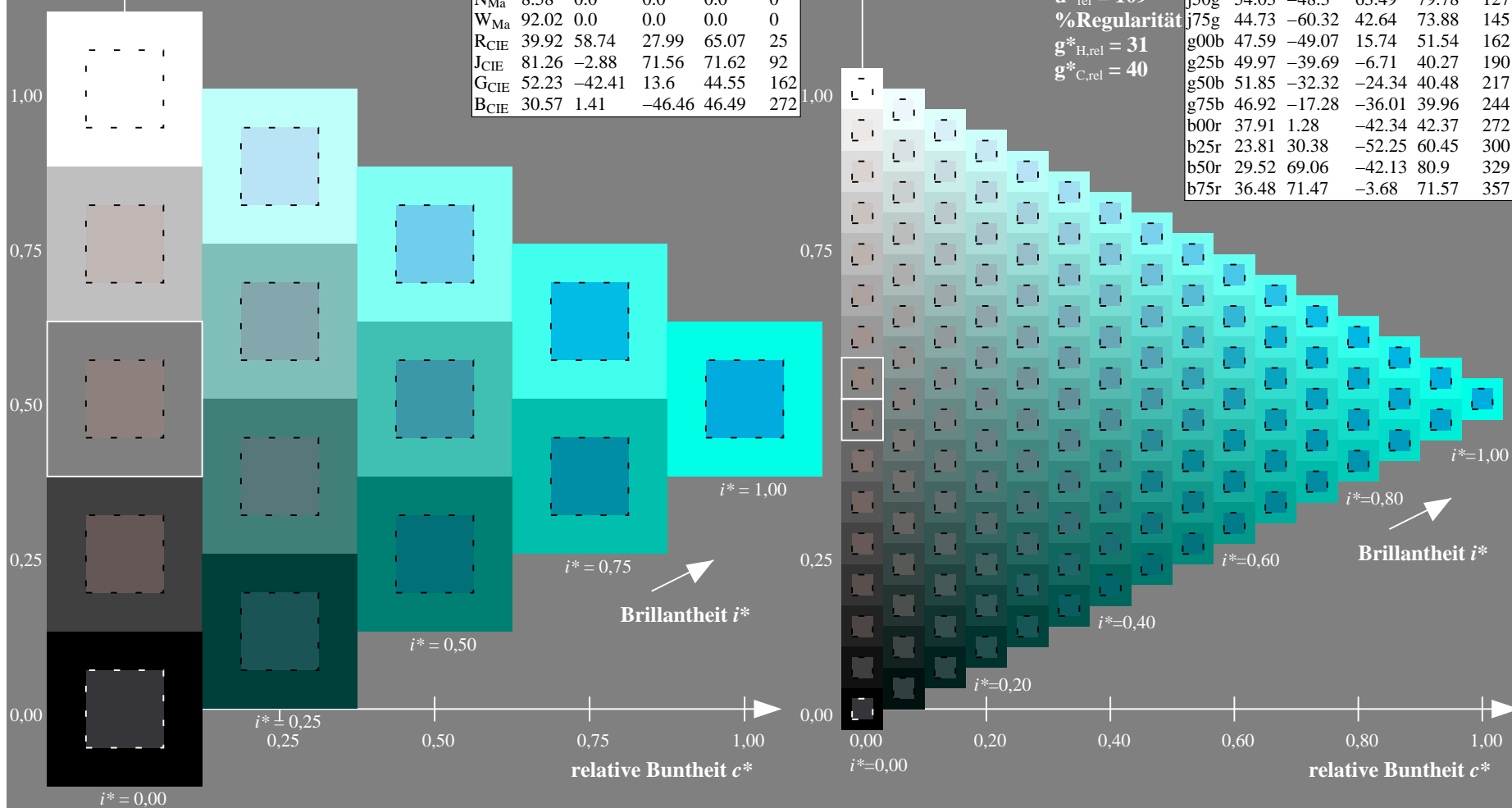
%Regularität

$g^*_{H,rel} = 31$

$g^*_{C,rel} = 40$

FRS09\_92aM; adaptierte CIELAB-Daten

	$L^*=L^*_a$	$a^*_a$	$b^*_a$	$C^*_{ab,a}$	$h^*_{ab,a}$
r00j	35.47	63.32	30.17	70.15	25
r25j	39.12	54.56	49.45	73.64	42
r50j	50.64	39.15	64.89	75.79	59
r75j	64.01	21.26	82.83	85.52	76
j00g	83.18	-4.37	108.53	108.62	92
j25g	66.73	-29.88	83.06	88.28	110
j50g	54.03	-48.3	63.49	79.78	127
j75g	44.73	-60.32	42.64	73.88	145
g00b	47.59	-49.07	15.74	51.54	162
g25b	49.97	-39.69	-6.71	40.27	190
g50b	51.85	-32.32	-24.34	40.48	217
g75b	46.92	-17.28	-36.01	39.96	244
b00r	37.91	1.28	-42.34	42.37	272
b25r	23.81	30.38	-52.25	60.45	300
b50r	29.52	69.06	-42.13	80.9	329
b75r	36.48	71.47	-3.68	71.57	357



Ein und Ausgabe: Farbmetrisches Drucker-Reflektiv-System FRS09\_92aM für relativen CIELAB-Buntton  $h^* = lab^*h^* = h_{ab}/360 = 244/360 = 0.679$   $u^* = g75b$

Daten für jede Farbe:

$lab^*ch^*$  und  $lab^*icu^*$

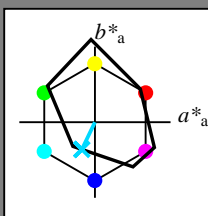
Elementar-Bunttontext:

$u^* = g75b$

Kontrastreduzierungsfaktor:

$c_R = 1.0$

Dreiecks-Helligkeit  $i^*$



FRS09\_92aM; adaptierte CIELAB-Daten

	$L^*=L^*_a$	$a^*_a$	$b^*_a$	$C^*_{ab,a}$	$h^*_{ab,a}$
O <sub>Ma</sub>	35.06	60.0	44.0	74.4	36
Y <sub>Ma</sub>	83.77	-5.16	109.32	109.44	93
L <sub>Ma</sub>	44.13	-62.66	48.24	79.09	142
C <sub>Ma</sub>	52.66	-29.13	-31.98	43.27	228
V <sub>Ma</sub>	14.15	50.3	-59.03	77.57	310
M <sub>Ma</sub>	37.37	78.64	-33.49	85.48	337
N <sub>Ma</sub>	8.58	0.0	0.0	0.0	0
W <sub>Ma</sub>	92.02	0.0	0.0	0.0	0
R <sub>CIE</sub>	39.92	58.74	27.99	65.07	25
J <sub>CIE</sub>	81.26	-2.88	71.56	71.62	92
G <sub>CIE</sub>	52.23	-42.41	13.6	44.55	162
B <sub>CIE</sub>	30.57	1.41	-46.46	46.49	272

Daten für Maximalfarbe (Ma):

$LAB^*LAB^*_{Ma}$ : 47 -16 -35

$LAB^*LCH^*_{Ma}$ : 47 40 244

$lab^*rgb^*_{Ma}$ : 0.0 0.5 1.0

$lab^*olv^*_{Ma}$ : 0.0 0.85 1.0

Dreiecks-Helligkeit  $i^*$

%Umfang

$u^*_{rel} = 109$

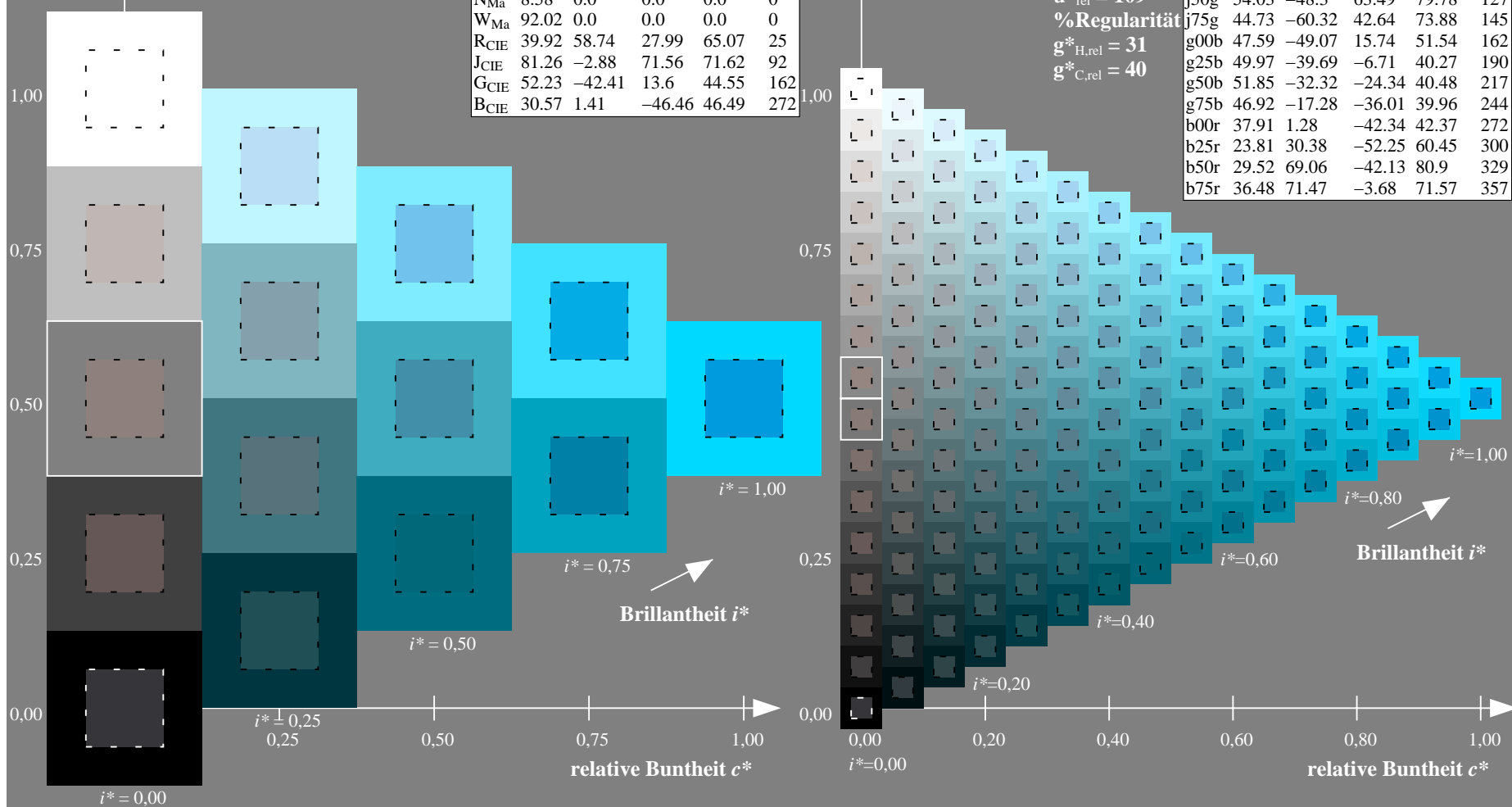
%Regularität


$g^*_{H,rel} = 31$

$g^*_{C,rel} = 40$

FRS09\_92aM; adaptierte CIELAB-Daten

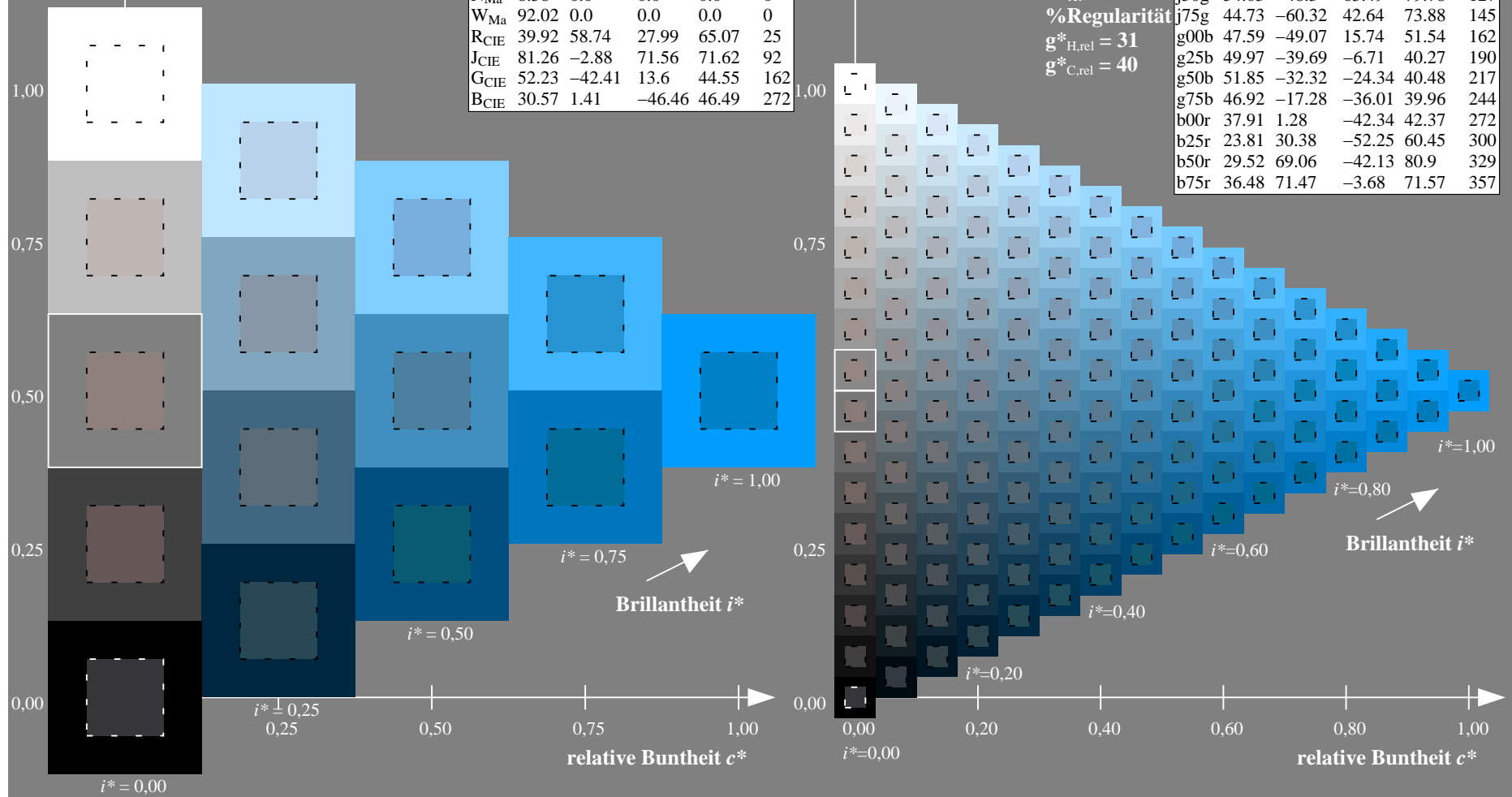
	$L^*=L^*_a$	$a^*_a$	$b^*_a$	$C^*_{ab,a}$	$h^*_{ab,a}$
r00j	35.47	63.32	30.17	70.15	25
r25j	39.12	54.56	49.45	73.64	42
r50j	50.64	39.15	64.89	75.79	59
r75j	64.01	21.26	82.83	85.52	76
j00g	83.18	-4.37	108.53	108.62	92
j25g	66.73	-29.88	83.06	88.28	110
j50g	54.03	-48.3	63.49	79.78	127
j75g	44.73	-60.32	42.64	73.88	145
g00b	47.59	-49.07	15.74	51.54	162
g25b	49.97	-39.69	-6.71	40.27	190
g50b	51.85	-32.32	-24.34	40.48	217
g75b	46.92	-17.28	-36.01	39.96	244
b00r	37.91	1.28	-42.34	42.37	272
b25r	23.81	30.38	-52.25	60.45	300
b50r	29.52	69.06	-42.13	80.9	329
b75r	36.48	71.47	-3.68	71.57	357



Ein und Ausgabe: Farbmétrisches Drucker-Reflektiv-System FRS09_92aM für relativen CIELAB-Buntton $h^* = lab^*h^* = h_{ab}/360 = 272/360 = 0.755$ $u^* = b00r$			Daten für jede Farbe:			Daten für Maximalfarbe (Ma):					
$lab^*tch^*$ und $lab^*icu^*$ Elementar-Bunttonstext: $u^* = b00r$ Kontrastreduzierungsfaktor: $c_R = 1.0$ Dreiecks-Helligkeit $t^*$				FRS09_92aM; adaptierte CIELAB-Daten		LAB*LAB*Ma: 38 1 -41		FRS09_92aM; adaptierte CIELAB-Daten			
				$L^*=L^*_a$	$a^*_a$	$b^*_a$	$C^*_{ab,a}$	$h^*_{ab,a}$			
				O <sub>Ma</sub>	35.06	60.0	44.0	74.4	36		
				Y <sub>Ma</sub>	83.77	-5.16	109.32	109.44	93		
				L <sub>Ma</sub>	44.13	-62.66	48.24	79.09	142		
				C <sub>Ma</sub>	52.66	-29.13	-31.98	43.27	228		
				V <sub>Ma</sub>	14.15	50.3	-59.03	77.57	310		
								LAB*LCH*Ma: 38 42 272			
								$lab^*rgb^*_{Ma}: 0.0 \ 0.0 \ 1.0$			
								$lab^*olv^*_{Ma}: 0.0 \ 0.62 \ 1.0$			
								Dreiecks-Helligkeit $t^*$			
								%Umfang			

FRS09_92aM; adaptierte CIELAB-Daten						
	$L^*_a$	$a^*_a$	$b^*_a$	$C^*_{ab,a}$	$h^*_{ab,a}$	
O <sub>Ma</sub>	35.06	60.0	44.0	74.4	36	
Y <sub>Ma</sub>	83.77	-5.16	109.32	109.44	93	
L <sub>Ma</sub>	44.13	-62.66	48.24	79.09	142	
C <sub>Ma</sub>	52.66	-29.13	-31.98	43.27	228	
V <sub>Ma</sub>	14.15	50.3	-59.03	77.57	310	
M <sub>Ma</sub>	37.37	78.64	-33.49	85.48	337	
N <sub>Ma</sub>	8.58	0.0	0.0	0.0	0	
W <sub>Ma</sub>	92.02	0.0	0.0	0.0	0	
R <sub>CIE</sub>	39.92	58.74	27.99	65.07	25	
J <sub>CIE</sub>	81.26	-2.88	71.56	71.62	92	
G <sub>CIE</sub>	52.23	-42.41	13.6	44.55	162	
B <sub>CIE</sub>	30.57	1.41	-46.46	46.49	272	

FRS09_92aM; adaptierte CIELAB-Daten						
	$L^*_a$	$a^*_a$	$b^*_a$	$C^*_{ab,a}$	$h^*_{ab,a}$	
r00j	35.47	63.32	30.17	70.15	25	
r25j	39.12	54.56	49.45	73.64	42	
r50j	50.64	39.15	64.89	75.79	59	
r75j	64.01	21.26	82.83	85.52	76	
j00g	83.18	-4.37	108.53	108.62	92	
j25g	66.73	-29.88	83.06	88.28	110	
j50g	54.03	-48.3	63.49	79.78	127	
j75g	44.73	-60.32	42.64	73.88	145	
g00b	47.59	-49.07	15.74	51.54	162	
g25b	49.97	-39.69	-6.71	40.27	190	
g50b	51.85	-32.32	-24.34	40.48	217	
g75b	46.92	-17.28	-36.01	39.96	244	
b00r	37.91	1.28	-42.34	42.37	272	
b25r	23.81	30.38	-52.25	60.45	300	
b50r	29.52	69.06	-42.13	80.9	329	
b75r	36.48	71.47	-3.68	71.57	357	



Ein und Ausgabe: Farbmetrisches Drucker-Reflektiv-System FRS09\_92aM für relativen CIELAB-Buntton  $h^* = lab^*h^* = h_{ab}/360 = 300/360 = 0.834$   $u^* = b25r$

Daten für jede Farbe:

$lab^*ch^*$  und  $lab^*icu^*$

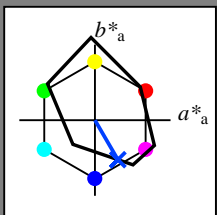
Elementar-Bunttontext:

$u^* = b25r$

Kontrastreduzierungsfaktor:

$c_R = 1.0$

Dreiecks-Helligkeit  $i^*$



FRS09\_92aM; adaptierte CIELAB-Daten

	$L^*=L_a^*$	$a_a^*$	$b_a^*$	$C_{ab,a}^*$	$h_{ab,a}^*$
O <sub>Ma</sub>	35.06	60.0	44.0	74.4	36
Y <sub>Ma</sub>	83.77	-5.16	109.32	109.44	93
L <sub>Ma</sub>	44.13	-62.66	48.24	79.09	142
C <sub>Ma</sub>	52.66	-29.13	-31.98	43.27	228
V <sub>Ma</sub>	14.15	50.3	-59.03	77.57	310
M <sub>Ma</sub>	37.37	78.64	-33.49	85.48	337
N <sub>Ma</sub>	8.58	0.0	0.0	0.0	0
W <sub>Ma</sub>	92.02	0.0	0.0	0.0	0
R <sub>CIE</sub>	39.92	58.74	27.99	65.07	25
J <sub>CIE</sub>	81.26	-2.88	71.56	71.62	92
G <sub>CIE</sub>	52.23	-42.41	13.6	44.55	162
B <sub>CIE</sub>	30.57	1.41	-46.46	46.49	272

Daten für Maximalfarbe (Ma):

$LAB^*LAB^*_{Ma}$ : 24 30 -51

$LAB^*LCH^*_{Ma}$ : 24 60 300

$lab^*rgb^*_{Ma}$ : 0.5 0.0 1.0

$lab^*olv^*_{Ma}$ : 0.0 0.25 1.0

Dreiecks-Helligkeit  $i^*$

%Umfang

$u^*_{rel} = 109$

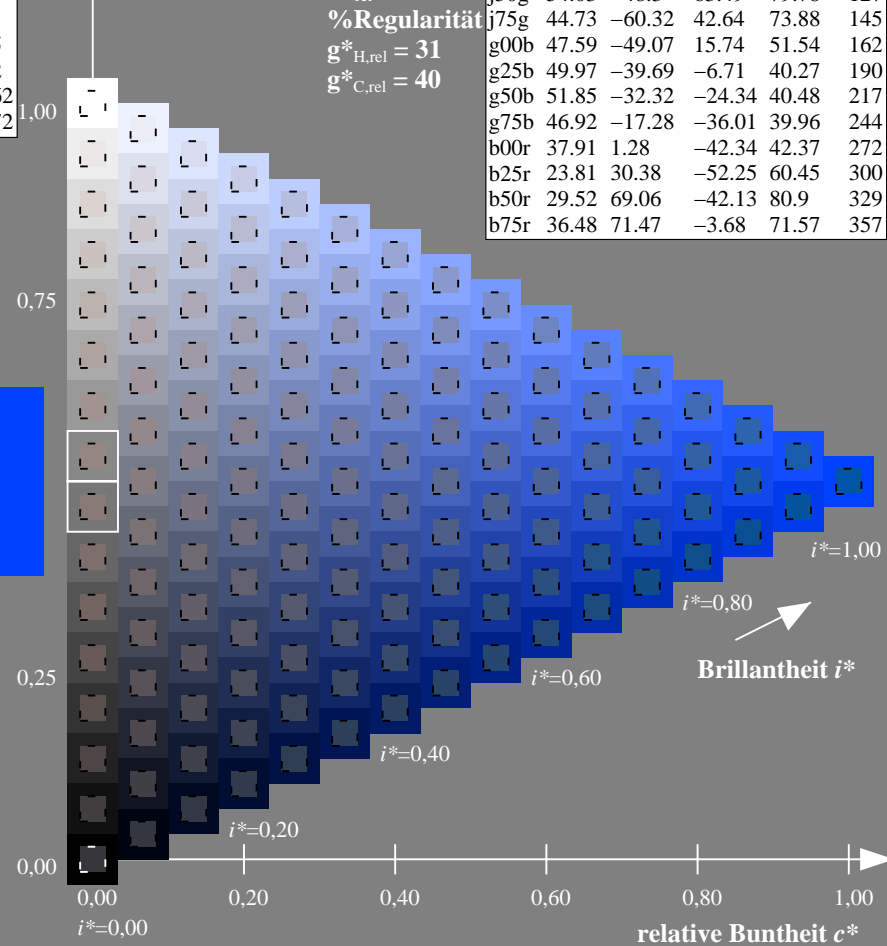
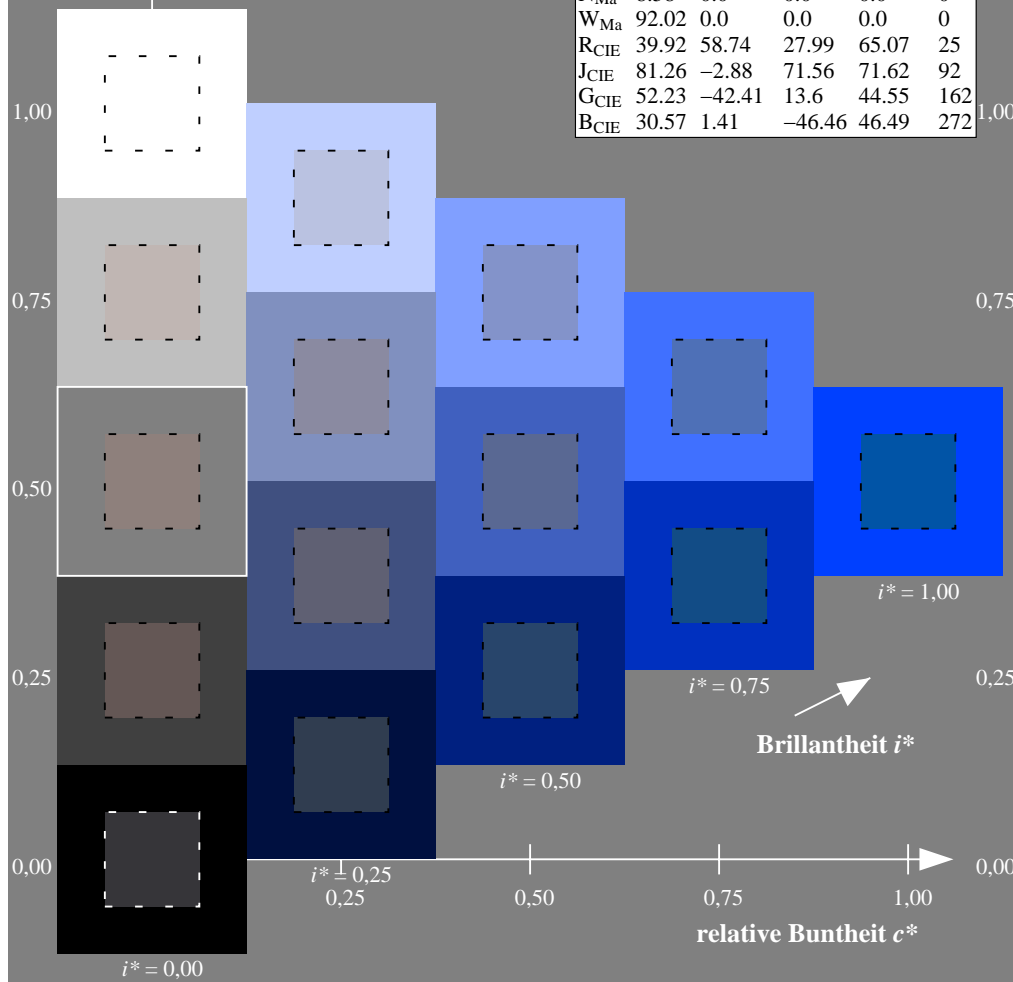
%Regularität

$g^*_{H,rel} = 31$

$g^*_{C,rel} = 40$

FRS09\_92aM; adaptierte CIELAB-Daten

	$L^*=L_a^*$	$a_a^*$	$b_a^*$	$C_{ab,a}^*$	$h_{ab,a}^*$
r00j	35.47	63.32	30.17	70.15	25
r25j	39.12	54.56	49.45	73.64	42
r50j	50.64	39.15	64.89	75.79	59
r75j	64.01	21.26	82.83	85.52	76
j00g	83.18	-4.37	108.53	108.62	92
j25g	66.73	-29.88	83.06	88.28	110
j50g	54.03	-48.3	63.49	79.78	127
j75g	44.73	-60.32	42.64	73.88	145
g00b	47.59	-49.07	15.74	51.54	162
g25b	49.97	-39.69	-6.71	40.27	190
g50b	51.85	-32.32	-24.34	40.48	217
g75b	46.92	-17.28	-36.01	39.96	244
b00r	37.91	1.28	-42.34	42.37	272
b25r	23.81	30.38	-52.25	60.45	300
b50r	29.52	69.06	-42.13	80.9	329
b75r	36.48	71.47	-3.68	71.57	357



Ein und Ausgabe: Farbmetrisches Drucker-Reflektiv-System FRS09\_92aM für relativen CIELAB-Buntton  $h^* = lab^*h^* = h_{ab}/360 = 329/360 = 0.913$   $u^* = b50r$

Daten für jede Farbe:

$lab^*ch^*$  und  $lab^*icu^*$

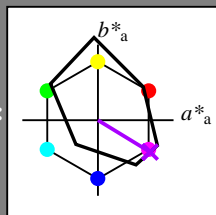
Elementar-Bunttontext:

$u^* = b50r$

Kontrastreduzierungsfaktor:

$c_R = 1.0$

Dreiecks-Helligkeit  $t^*$



FRS09\_92aM; adaptierte CIELAB-Daten

	$L^*=L_a^*$	$a_a^*$	$b_a^*$	$C^*_{ab,a}$	$h^*_{ab,a}$
O <sub>Ma</sub>	35.06	60.0	44.0	74.4	36
Y <sub>Ma</sub>	83.77	-5.16	109.32	109.44	93
L <sub>Ma</sub>	44.13	-62.66	48.24	79.09	142
C <sub>Ma</sub>	52.66	-29.13	-31.98	43.27	228
V <sub>Ma</sub>	14.15	50.3	-59.03	77.57	310
M <sub>Ma</sub>	37.37	78.64	-33.49	85.48	337
N <sub>Ma</sub>	8.58	0.0	0.0	0.0	0
W <sub>Ma</sub>	92.02	0.0	0.0	0.0	0
R <sub>CIE</sub>	39.92	58.74	27.99	65.07	25
J <sub>CIE</sub>	81.26	-2.88	71.56	71.62	92
G <sub>CIE</sub>	52.23	-42.41	13.6	44.55	162
B <sub>CIE</sub>	30.57	1.41	-46.46	46.49	272

Daten für Maximalfarbe (Ma):

$LAB^*LAB^*_{Ma}$ : 30 69 -41

$LAB^*LCH^*_{Ma}$ : 30 81 329

$lab^*rgb^*_{Ma}$ : 1.0 0.0 1.0

$lab^*olv^*_{Ma}$ : 0.66 0.0 1.0

Dreiecks-Helligkeit  $t^*$

%Umfang

$u^*_{rel} = 109$

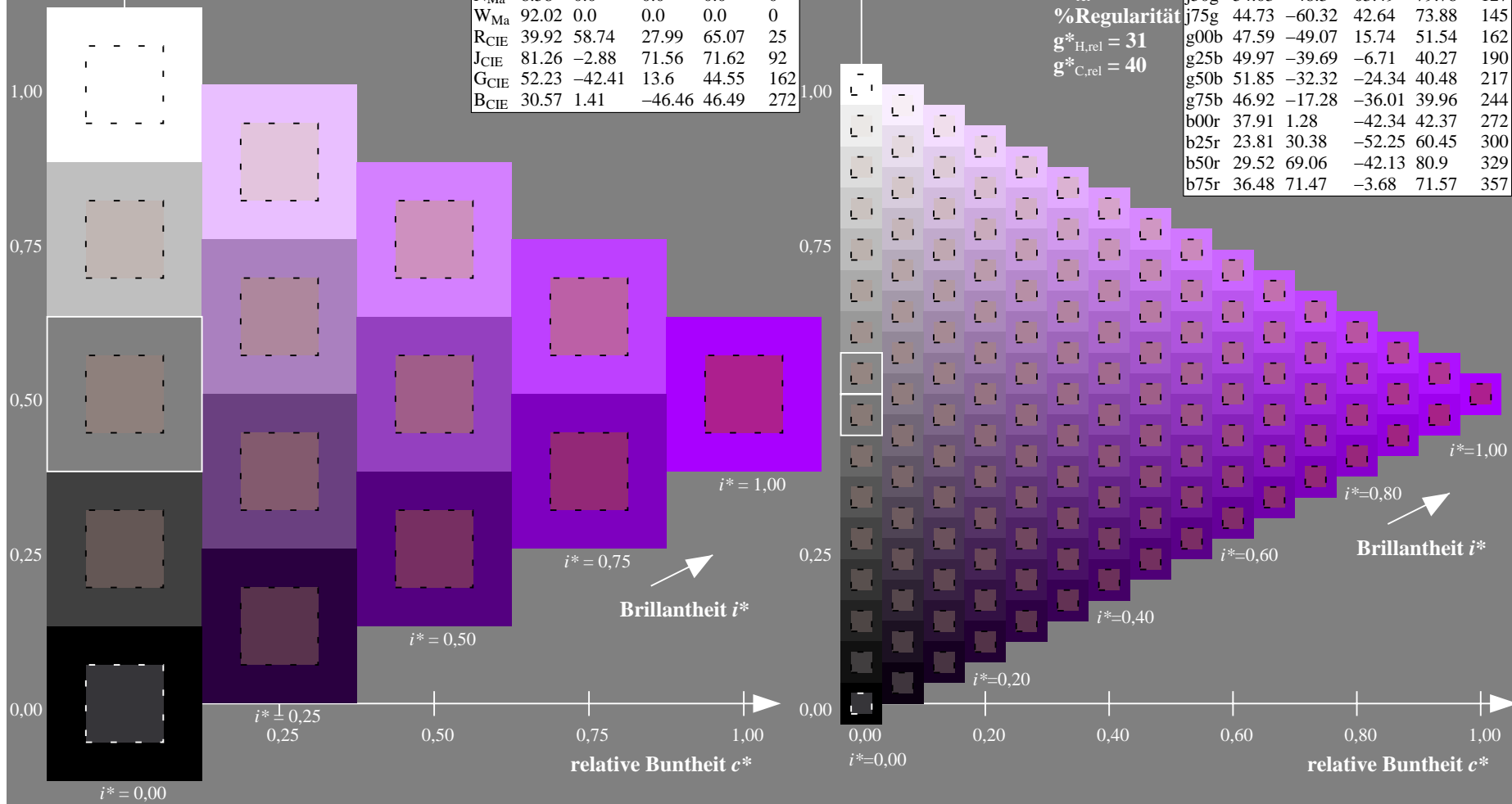
%Regularität

$g^*_{H,rel} = 31$

$g^*_{C,rel} = 40$

FRS09\_92aM; adaptierte CIELAB-Daten

	$L^*=L_a^*$	$a_a^*$	$b_a^*$	$C^*_{ab,a}$	$h^*_{ab,a}$
r00j	35.47	63.32	30.17	70.15	25
r25j	39.12	54.56	49.45	73.64	42
r50j	50.64	39.15	64.89	75.79	59
r75j	64.01	21.26	82.83	85.52	76
j00g	83.18	-4.37	108.53	108.62	92
j25g	66.73	-29.88	83.06	88.28	110
j50g	54.03	-48.3	63.49	79.78	127
j75g	44.73	-60.32	42.64	73.88	145
g00b	47.59	-49.07	15.74	51.54	162
g25b	49.97	-39.69	-6.71	40.27	190
g50b	51.85	-32.32	-24.34	40.48	217
g75b	46.92	-17.28	-36.01	39.96	244
b00r	37.91	1.28	-42.34	42.37	272
b25r	23.81	30.38	-52.25	60.45	300
b50r	29.52	69.06	-42.13	80.9	329
b75r	36.48	71.47	-3.68	71.57	357





Ein und Ausgabe: Farbmetrisches Drucker-Reflektiv-System FRS09\_92aM für relativen CIELAB-Buntton  $h^* = lab^*h^* = h_{ab}/360 = 357/360 = 0.992$   $u^* = b75r$

Daten für jede Farbe:

$lab^*ch^*$  und  $lab^*icu^*$

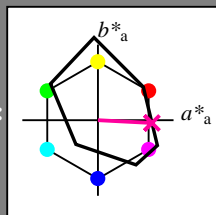
Elementar-Bunttontext:

$u^* = b75r$

Kontrastreduzierungsfaktor:

$c_R = 1.0$

Dreiecks-Helligkeit  $i^*$



FRS09\_92aM; adaptierte CIELAB-Daten

	$L^*=L_a^*$	$a_a^*$	$b_a^*$	$C^*_{ab,a}$	$h^*_{ab,a}$
O <sub>Ma</sub>	35.06	60.0	44.0	74.4	36
Y <sub>Ma</sub>	83.77	-5.16	109.32	109.44	93
L <sub>Ma</sub>	44.13	-62.66	48.24	79.09	142
C <sub>Ma</sub>	52.66	-29.13	-31.98	43.27	228
V <sub>Ma</sub>	14.15	50.3	-59.03	77.57	310
M <sub>Ma</sub>	37.37	78.64	-33.49	85.48	337
N <sub>Ma</sub>	8.58	0.0	0.0	0.0	0
W <sub>Ma</sub>	92.02	0.0	0.0	0.0	0
R <sub>CIE</sub>	39.92	58.74	27.99	65.07	25
J <sub>CIE</sub>	81.26	-2.88	71.56	71.62	92
G <sub>CIE</sub>	52.23	-42.41	13.6	44.55	162
B <sub>CIE</sub>	30.57	1.41	-46.46	46.49	272

Daten für Maximalfarbe (Ma):

$LAB^*LAB^*_{Ma}$ : 36 71 -3

$LAB^*LCH^*_{Ma}$ : 36 72 357

$lab^*rgb^*_{Ma}$ : 1.0 0.0 0.5

$lab^*olv^*_{Ma}$ : 1.0 0.0 0.62

Dreiecks-Helligkeit  $i^*$

%Umfang

$u^*_{rel} = 109$

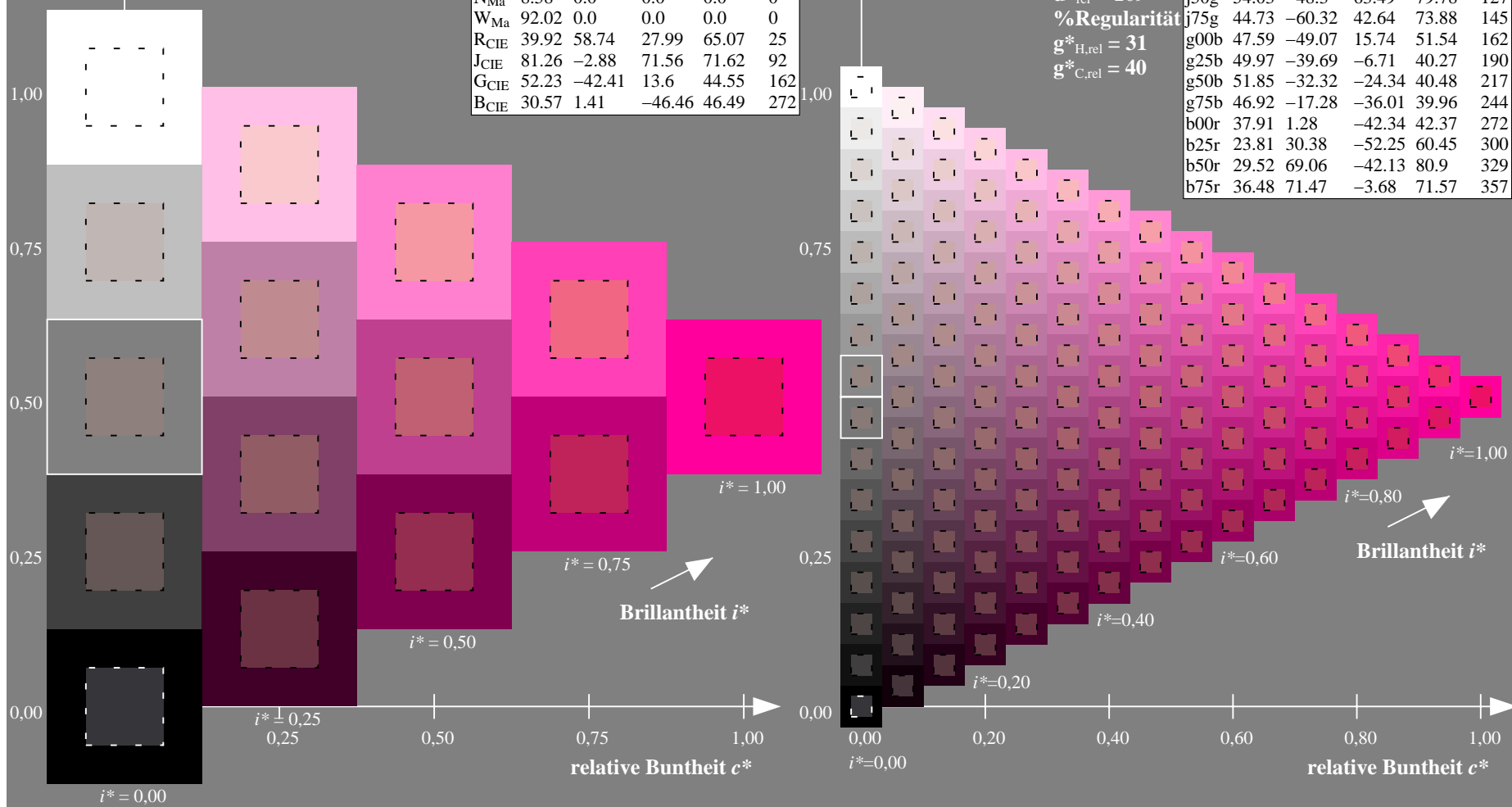
%Regularität

$g^*_{H,rel} = 31$

$g^*_{C,rel} = 40$

FRS09\_92aM; adaptierte CIELAB-Daten

	$L^*=L_a^*$	$a_a^*$	$b_a^*$	$C^*_{ab,a}$	$h^*_{ab,a}$
r00j	35.47	63.32	30.17	70.15	25
r25j	39.12	54.56	49.45	73.64	42
r50j	50.64	39.15	64.89	75.79	59
r75j	64.01	21.26	82.83	85.52	76
j00g	83.18	-4.37	108.53	108.62	92
j25g	66.73	-29.88	83.06	88.28	110
j50g	54.03	-48.3	63.49	79.78	127
j75g	44.73	-60.32	42.64	73.88	145
g00b	47.59	-49.07	15.74	51.54	162
g25b	49.97	-39.69	-6.71	40.27	190
g50b	51.85	-32.32	-24.34	40.48	217
g75b	46.92	-17.28	-36.01	39.96	244
b00r	37.91	1.28	-42.34	42.37	272
b25r	23.81	30.38	-52.25	60.45	300
b50r	29.52	69.06	-42.13	80.9	329
b75r	36.48	71.47	-3.68	71.57	357



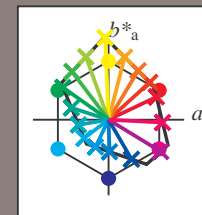
Siehe ähnliche Dateien: <http://www.ps.bam.de/Dg92/>; [www.ps.bam.de/Dg92/HTML](http://www.ps.bam.de/Dg92/HTML)  
Technische Information: [http://www.ps.bam.de/Version 2.1, io=1,1, ColSpx=0](http://www.ps.bam.de/Version%202.1,io=1,1,ColSpx=0)



Ein und Ausgabe:  
Farbmetrisches Drucker-Reflektiv-System FRS09\_92aM  
Daten für jede Farbe:  
*lab\*<sub>ich</sub>*\* und *lab\*<sub>icu</sub>*\*  
Elementar-Bunttontext:  
*u\** = 16 Bunttöne *r00j*, *r25j*, ..., *b75r*  
Kontrastreduzierungsfaktor:  
*c<sub>R</sub>* = 1.0

FRS09\_92aM; adaptierte CIELAB-Daten

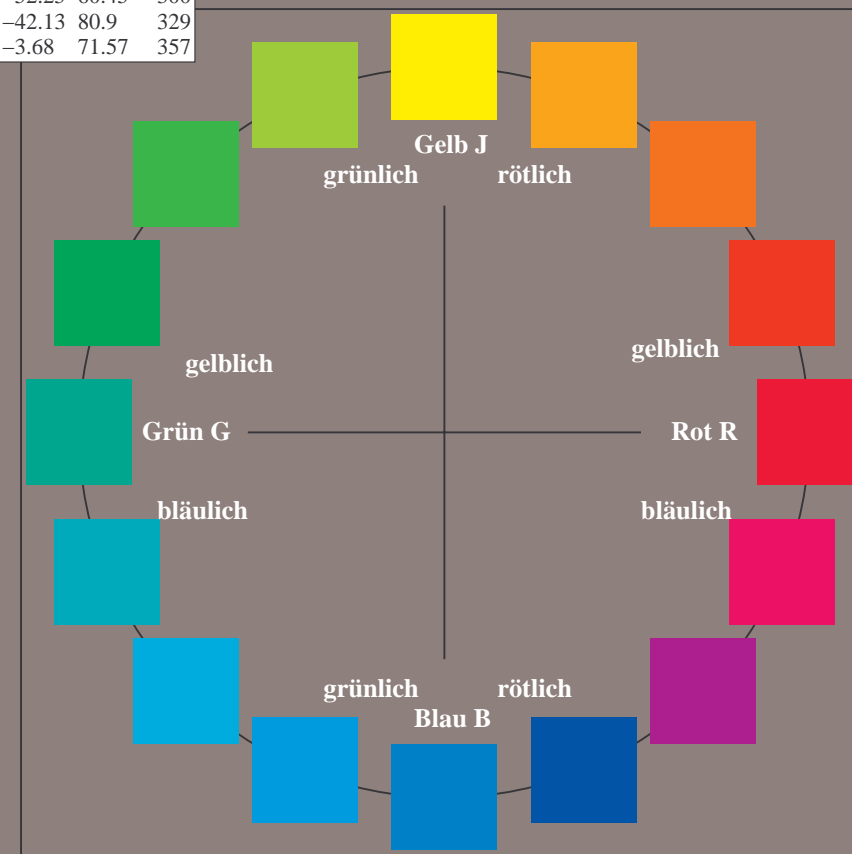
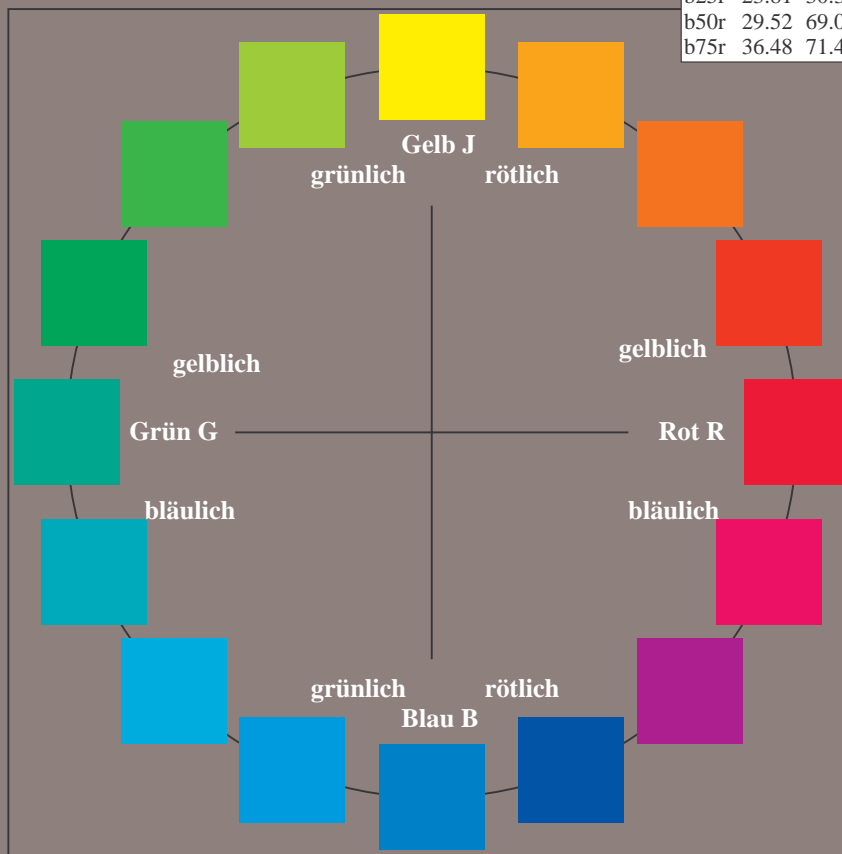
	<i>L*</i> = <i>L*</i> <sub>a</sub>	<i>a*</i> <sub>a</sub>	<i>b*</i> <sub>a</sub>	<i>C*</i> <sub>ab,a</sub>	<i>h*</i> <sub>ab,a</sub>
r00j	35.47	63.32	30.17	70.15	25
r25j	39.12	54.56	49.45	73.64	42
r50j	50.64	39.15	64.89	75.79	59
r75j	64.01	21.26	82.83	85.52	76
j00g	83.18	-4.37	108.53	108.62	92
j25g	66.73	-29.88	83.06	88.28	110
j50g	54.03	-48.3	63.49	79.78	127
j75g	44.73	-60.32	42.64	73.88	145
g00b	47.59	-49.07	15.74	51.54	162
g25b	49.97	-39.69	-6.71	40.27	190
g50b	51.85	-32.32	-24.34	40.48	217
g75b	46.92	-17.28	-36.01	39.96	244
b00r	37.91	1.28	-42.34	42.37	272
b25r	23.81	30.38	-52.25	60.45	300
b50r	29.52	69.06	-42.13	80.9	329
b75r	36.48	71.47	-3.68	71.57	357



%Umfang  
*u\**<sub>rel</sub> = 109  
%Regularität  
*g\**<sub>H,rel</sub> = 31  
*g\**<sub>C,rel</sub> = 40

FRS09\_92aM; adaptierte CIELAB-Daten

	<i>L*</i> = <i>L*</i> <sub>a</sub>	<i>a*</i> <sub>a</sub>	<i>b*</i> <sub>a</sub>	<i>C*</i> <sub>ab,a</sub>	<i>h*</i> <sub>ab,a</sub>
OMa	35.06	60.0	44.0	74.4	36
YMa	83.77	-5.16	109.32	109.44	93
LMa	44.13	-62.66	48.24	79.09	142
CMa	52.66	-29.13	-31.98	43.27	228
VMa	14.15	50.3	-59.03	77.57	310
MMa	37.37	78.64	-33.49	85.48	337
NMa	8.58	0.0	0.0	0.0	0
WMa	92.02	0.0	0.0	0.0	0
RCIE	39.92	58.74	27.99	65.07	25
JCIE	81.26	-2.88	71.56	71.62	92
GCIE	52.23	-42.41	13.6	44.55	162
BCIE	30.57	1.41	-46.46	46.49	272



Ein und Ausgabe: Farbmetrisches Drucker-Reflektiv-System FRS09\_92aM für relativen CIELAB-Buntton  $h^* = lab^*h^* = h_{ab}/360 = 25/360 = 0.071$   $u^* = r00j$

Daten für jede Farbe:

$lab^*ch^*$  und  $lab^*icu^*$

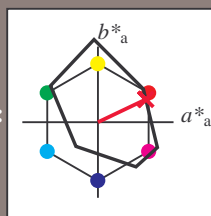
Elementar-Bunttontext:

$u^* = r00j$

Kontrastreduzierungsfaktor:

$c_R = 1.0$

Dreiecks-Helligkeit  $i^*$



FRS09\_92aM; adaptierte CIELAB-Daten

	$L^*=L_a^*$	$a_a^*$	$b_a^*$	$C^*_{ab,a}$	$h^*_{ab,a}$
O <sub>Ma</sub>	35.06	60.0	44.0	74.4	36
Y <sub>Ma</sub>	83.77	-5.16	109.32	109.44	93
L <sub>Ma</sub>	44.13	-62.66	48.24	79.09	142
C <sub>Ma</sub>	52.66	-29.13	-31.98	43.27	228
V <sub>Ma</sub>	14.15	50.3	-59.03	77.57	310
M <sub>Ma</sub>	37.37	78.64	-33.49	85.48	337
N <sub>Ma</sub>	8.58	0.0	0.0	0.0	0
W <sub>Ma</sub>	92.02	0.0	0.0	0.0	0
R <sub>CIE</sub>	39.92	58.74	27.99	65.07	25
J <sub>CIE</sub>	81.26	-2.88	71.56	71.62	92
G <sub>CIE</sub>	52.23	-42.41	13.6	44.55	162
B <sub>CIE</sub>	30.57	1.41	-46.46	46.49	272

Daten für Maximalfarbe (Ma):

$LAB^*LAB^*_{Ma}$ : 35 63 30

$LAB^*LCH^*_{Ma}$ : 35 70 25

$lab^*rgb^*_{Ma}$ : 1.0 0.0 0.0

$lab^*olv^*_{Ma}$ : 1.0 0.0 0.18

Dreiecks-Helligkeit  $i^*$

%Umfang

$u^*_{rel} = 109$

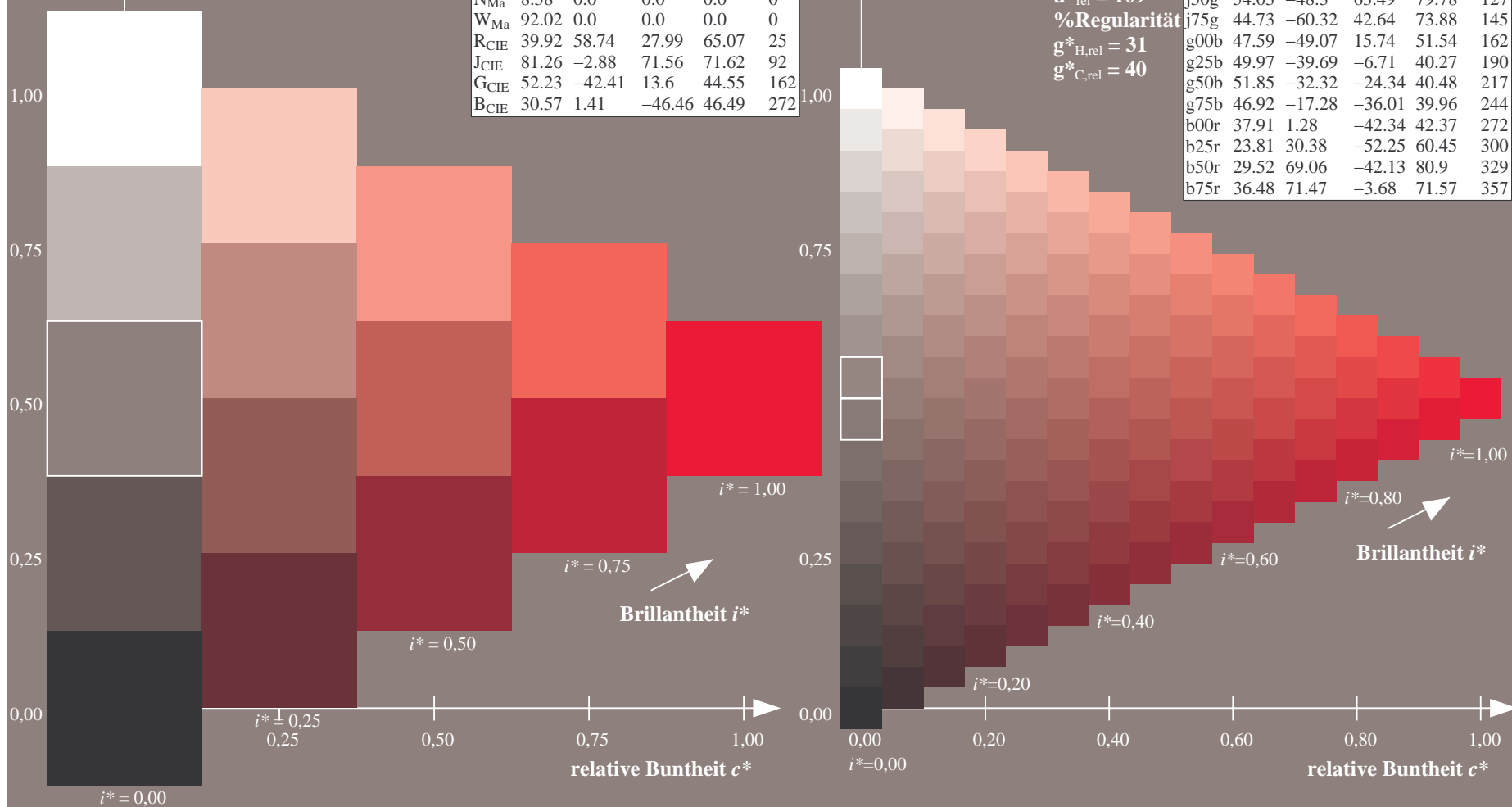
%Regularität

$g^*_{H,rel} = 31$

$g^*_{C,rel} = 40$

FRS09\_92aM; adaptierte CIELAB-Daten

	$L^*=L_a^*$	$a_a^*$	$b_a^*$	$C^*_{ab,a}$	$h^*_{ab,a}$
r00j	35.47	63.32	30.17	70.15	25
r25j	39.12	54.56	49.45	73.64	42
r50j	50.64	39.15	64.89	75.79	59
r75j	64.01	21.26	82.83	85.52	76
j00g	83.18	-4.37	108.53	108.62	92
j25g	66.73	-29.88	83.06	88.28	110
j50g	54.03	-48.3	63.49	79.78	127
j75g	44.73	-60.32	42.64	73.88	145
g00b	47.59	-49.07	15.74	51.54	162
g25b	49.97	-39.69	-6.71	40.27	190
g50b	51.85	-32.32	-24.34	40.48	217
g75b	46.92	-17.28	-36.01	39.96	244
b00r	37.91	1.28	-42.34	42.37	272
b25r	23.81	30.38	-52.25	60.45	300
b50r	29.52	69.06	-42.13	80.9	329
b75r	36.48	71.47	-3.68	71.57	357



Ein und Ausgabe: Farbmetrisches Drucker-Reflektiv-System FRS09\_92aM für relativen CIELAB-Buntton  $h^* = lab^*h^* = h_{ab}/360 = 42/360 = 0.117$   $u^* = r25j$

Daten für jede Farbe:

$lab^*ch^*$  und  $lab^*icu^*$

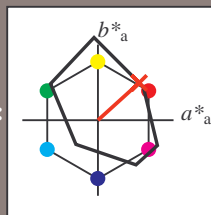
Elementar-Bunttontext:

$u^* = r25j$

Kontrastreduzierungsfaktor:

$c_R = 1.0$

Dreiecks-Helligkeit  $i^*$



FRS09\_92aM; adaptierte CIELAB-Daten

	$L^*=L_a^*$	$a_a^*$	$b_a^*$	$C^*_{ab,a}$	$h^*_{ab,a}$
O <sub>Ma</sub>	35.06	60.0	44.0	74.4	36
Y <sub>Ma</sub>	83.77	-5.16	109.32	109.44	93
L <sub>Ma</sub>	44.13	-62.66	48.24	79.09	142
C <sub>Ma</sub>	52.66	-29.13	-31.98	43.27	228
V <sub>Ma</sub>	14.15	50.3	-59.03	77.57	310
M <sub>Ma</sub>	37.37	78.64	-33.49	85.48	337
N <sub>Ma</sub>	8.58	0.0	0.0	0.0	0
W <sub>Ma</sub>	92.02	0.0	0.0	0.0	0
R <sub>CIE</sub>	39.92	58.74	27.99	65.07	25
J <sub>CIE</sub>	81.26	-2.88	71.56	71.62	92
G <sub>CIE</sub>	52.23	-42.41	13.6	44.55	162
B <sub>CIE</sub>	30.57	1.41	-46.46	46.49	272

Daten für Maximalfarbe (Ma):

$LAB^*LAB^*_{Ma}$ : 39 55 49

$LAB^*LCH^*_{Ma}$ : 39 74 42

$lab^*rgb^*_{Ma}$ : 1.0 0.25 0.0

$lab^*olv^*_{Ma}$ : 1.0 0.08 0.0

Dreiecks-Helligkeit  $i^*$

%Umfang

$u^*_{rel} = 109$

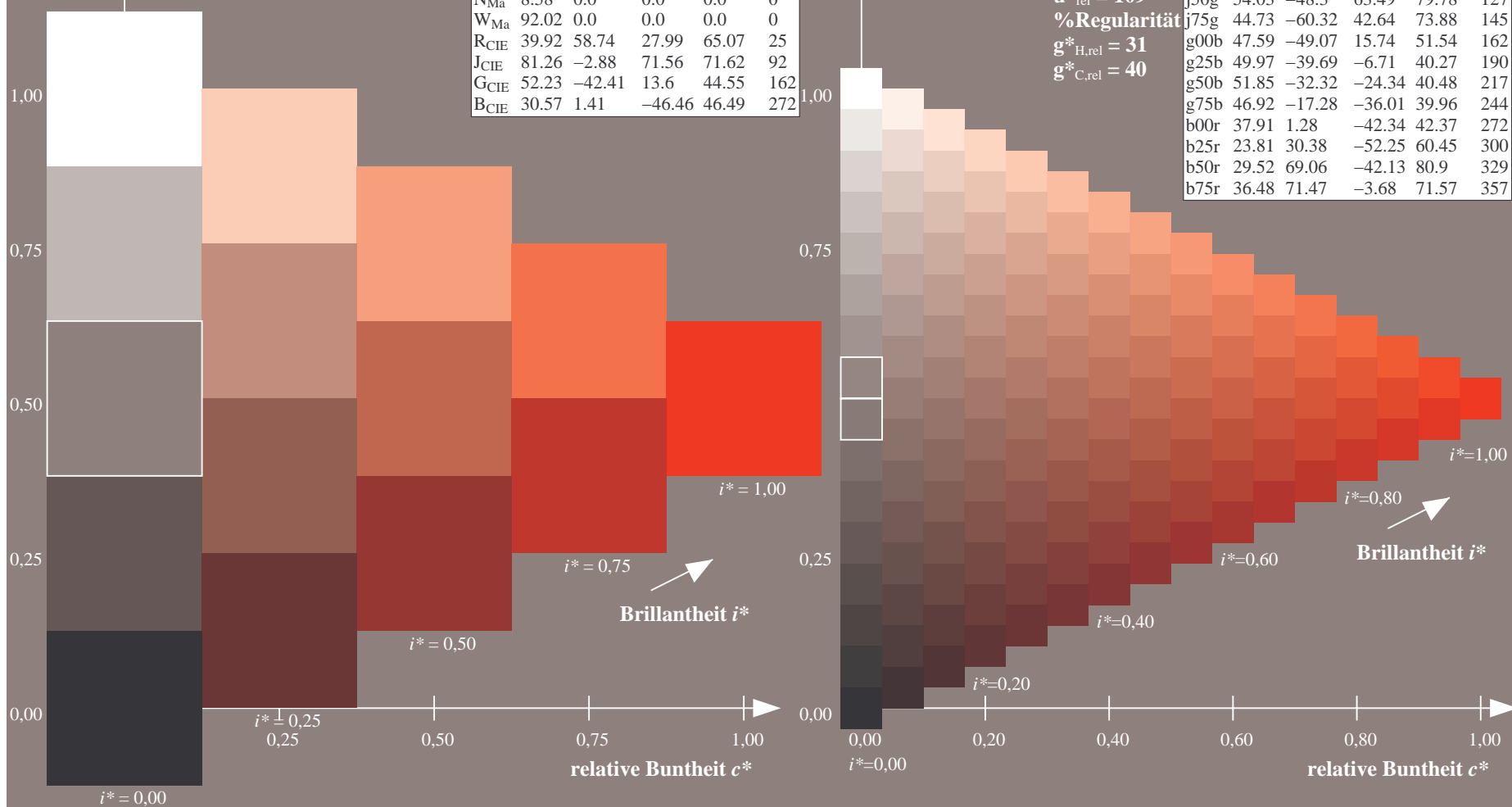
%Regularität

$g^*_{H,rel} = 31$

$g^*_{C,rel} = 40$

FRS09\_92aM; adaptierte CIELAB-Daten

	$L^*=L_a^*$	$a_a^*$	$b_a^*$	$C^*_{ab,a}$	$h^*_{ab,a}$
r00j	35.47	63.32	30.17	70.15	25
r25j	39.12	54.56	49.45	73.64	42
r50j	50.64	39.15	64.89	75.79	59
r75j	64.01	21.26	82.83	85.52	76
j00g	83.18	-4.37	108.53	108.62	92
j25g	66.73	-29.88	83.06	88.28	110
j50g	54.03	-48.3	63.49	79.78	127
j75g	44.73	-60.32	42.64	73.88	145
g00b	47.59	-49.07	15.74	51.54	162
g25b	49.97	-39.69	-6.71	40.27	190
g50b	51.85	-32.32	-24.34	40.48	217
g75b	46.92	-17.28	-36.01	39.96	244
b00r	37.91	1.28	-42.34	42.37	272
b25r	23.81	30.38	-52.25	60.45	300
b50r	29.52	69.06	-42.13	80.9	329
b75r	36.48	71.47	-3.68	71.57	357



Ein und Ausgabe: Farbmetrisches Drucker-Reflektiv-System FRS09\_92aM für relativen CIELAB-Buntton  $h^* = lab^*h^* = h_{ab}/360 = 59/360 = 0.164$   $u^* = r50j$

Daten für jede Farbe:

$lab^*ch^*$  und  $lab^*icu^*$

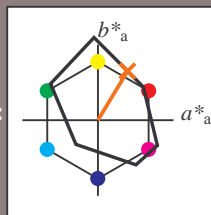
Elementar-Bunttontext:

$u^* = r50j$

Kontrastreduzierungsfaktor:

$c_R = 1.0$

Dreiecks-Helligkeit  $i^*$



FRS09\_92aM; adaptierte CIELAB-Daten

	$L^*=L_a^*$	$a_a^*$	$b_a^*$	$C^*_{ab,a}$	$h^*_{ab,a}$
O <sub>Ma</sub>	35.06	60.0	44.0	74.4	36
Y <sub>Ma</sub>	83.77	-5.16	109.32	109.44	93
L <sub>Ma</sub>	44.13	-62.66	48.24	79.09	142
C <sub>Ma</sub>	52.66	-29.13	-31.98	43.27	228
V <sub>Ma</sub>	14.15	50.3	-59.03	77.57	310
M <sub>Ma</sub>	37.37	78.64	-33.49	85.48	337
N <sub>Ma</sub>	8.58	0.0	0.0	0.0	0
W <sub>Ma</sub>	92.02	0.0	0.0	0.0	0
R <sub>CIE</sub>	39.92	58.74	27.99	65.07	25
J <sub>CIE</sub>	81.26	-2.88	71.56	71.62	92
G <sub>CIE</sub>	52.23	-42.41	13.6	44.55	162
B <sub>CIE</sub>	30.57	1.41	-46.46	46.49	272

Daten für Maximalfarbe (Ma):

$LAB^*LAB^*_{Ma}$ : 51 39 65

$LAB^*LCH^*_{Ma}$ : 51 76 59

$lab^*rgb^*_{Ma}$ : 1.0 0.5 0.0

$lab^*olv^*_{Ma}$ : 1.0 0.32 0.0

Dreiecks-Helligkeit  $i^*$

%Umfang

$u^*_{rel} = 109$

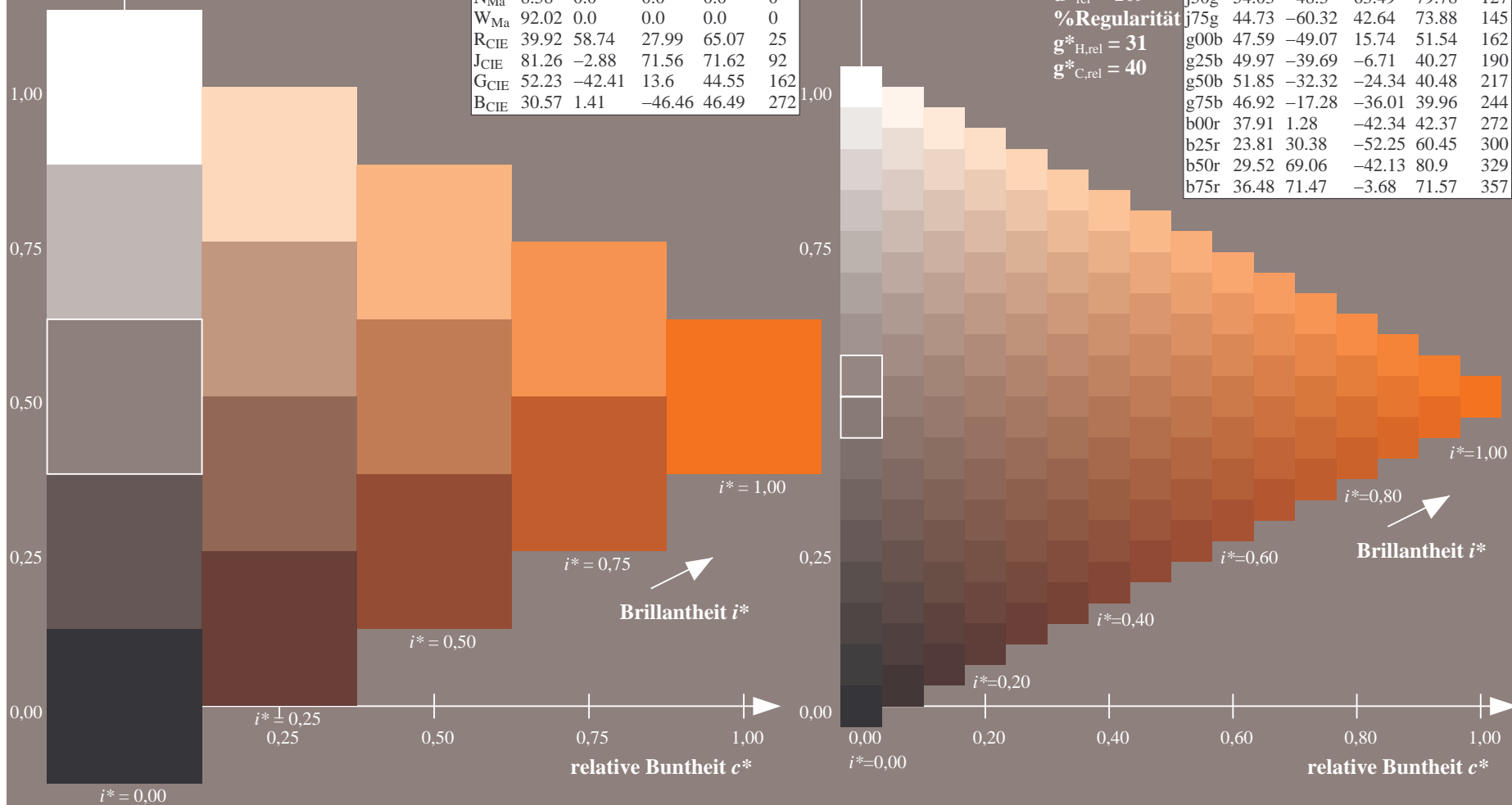
%Regularität

$g^*_{H,rel} = 31$

$g^*_{C,rel} = 40$

FRS09\_92aM; adaptierte CIELAB-Daten

	$L^*=L_a^*$	$a_a^*$	$b_a^*$	$C^*_{ab,a}$	$h^*_{ab,a}$
r00j	35.47	63.32	30.17	70.15	25
r25j	39.12	54.56	49.45	73.64	42
r50j	50.64	39.15	64.89	75.79	59
r75j	64.01	21.26	82.83	85.52	76
j00g	83.18	-4.37	108.53	108.62	92
j25g	66.73	-29.88	83.06	88.28	110
j50g	54.03	-48.3	63.49	79.78	127
j75g	44.73	-60.32	42.64	73.88	145
g00b	47.59	-49.07	15.74	51.54	162
g25b	49.97	-39.69	-6.71	40.27	190
g50b	51.85	-32.32	-24.34	40.48	217
g75b	46.92	-17.28	-36.01	39.96	244
b00r	37.91	1.28	-42.34	42.37	272
b25r	23.81	30.38	-52.25	60.45	300
b50r	29.52	69.06	-42.13	80.9	329
b75r	36.48	71.47	-3.68	71.57	357





Ein und Ausgabe: Farbmetrisches Drucker-Reflektiv-System FRS09\_92aM für relativen CIELAB-Buntton  $h^* = lab^*h^* = h_{ab}/360 = 76/360 = 0.21$   $u^* = r75j$

Daten für jede Farbe:

$lab^*ch^*$  und  $lab^*icu^*$

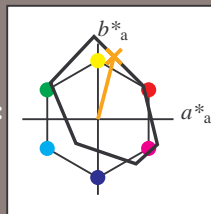
Elementar-Bunttontext:

$u^* = r75j$

Kontrastreduzierungsfaktor:

$c_R = 1.0$

Dreiecks-Helligkeit  $i^*$



FRS09\_92aM; adaptierte CIELAB-Daten

	$L^*=L_a^*$	$a_a^*$	$b_a^*$	$C^*_{ab,a}$	$h^*_{ab,a}$
O <sub>Ma</sub>	35.06	60.0	44.0	74.4	36
Y <sub>Ma</sub>	83.77	-5.16	109.32	109.44	93
L <sub>Ma</sub>	44.13	-62.66	48.24	79.09	142
C <sub>Ma</sub>	52.66	-29.13	-31.98	43.27	228
V <sub>Ma</sub>	14.15	50.3	-59.03	77.57	310
M <sub>Ma</sub>	37.37	78.64	-33.49	85.48	337
N <sub>Ma</sub>	8.58	0.0	0.0	0.0	0
W <sub>Ma</sub>	92.02	0.0	0.0	0.0	0
R <sub>CIE</sub>	39.92	58.74	27.99	65.07	25
J <sub>CIE</sub>	81.26	-2.88	71.56	71.62	92
G <sub>CIE</sub>	52.23	-42.41	13.6	44.55	162
B <sub>CIE</sub>	30.57	1.41	-46.46	46.49	272

Daten für Maximalfarbe (Ma):

$LAB^*LAB^*_{Ma}$ : 64 21 83

$LAB^*LCH^*_{Ma}$ : 64 86 76

$lab^*rgb^*_{Ma}$ : 1.0 0.75 0.0

$lab^*olv^*_{Ma}$ : 1.0 0.59 0.0

Dreiecks-Helligkeit  $i^*$

%Umfang

$u^*_{rel} = 109$

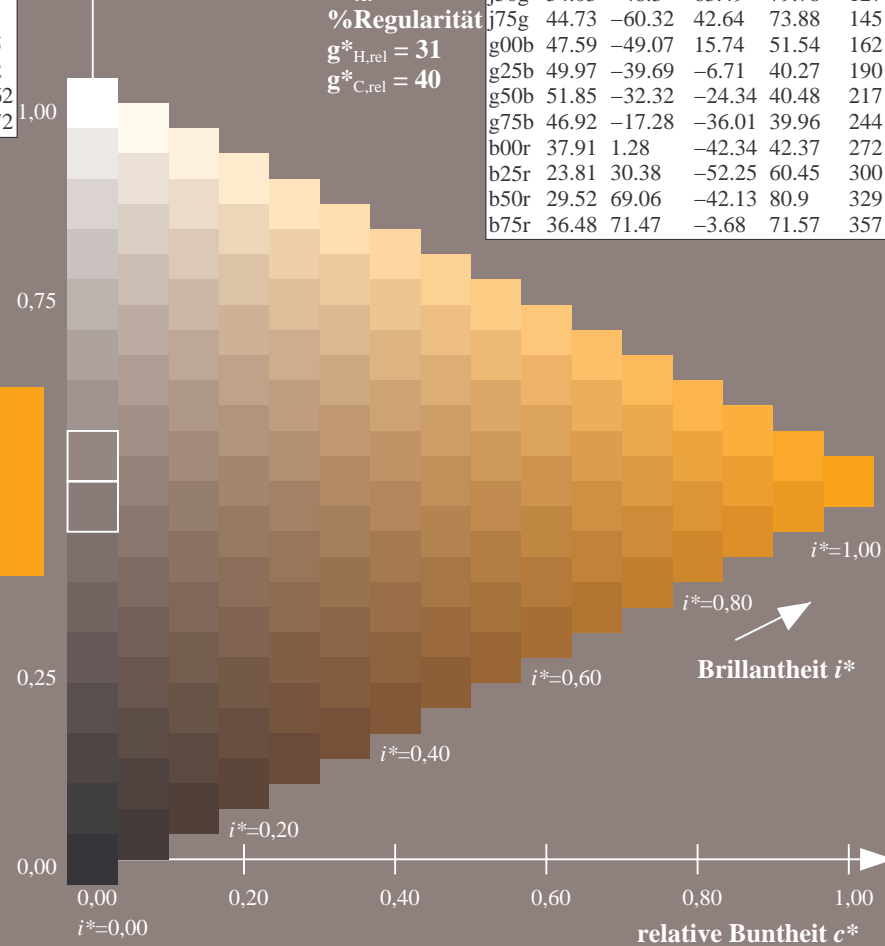
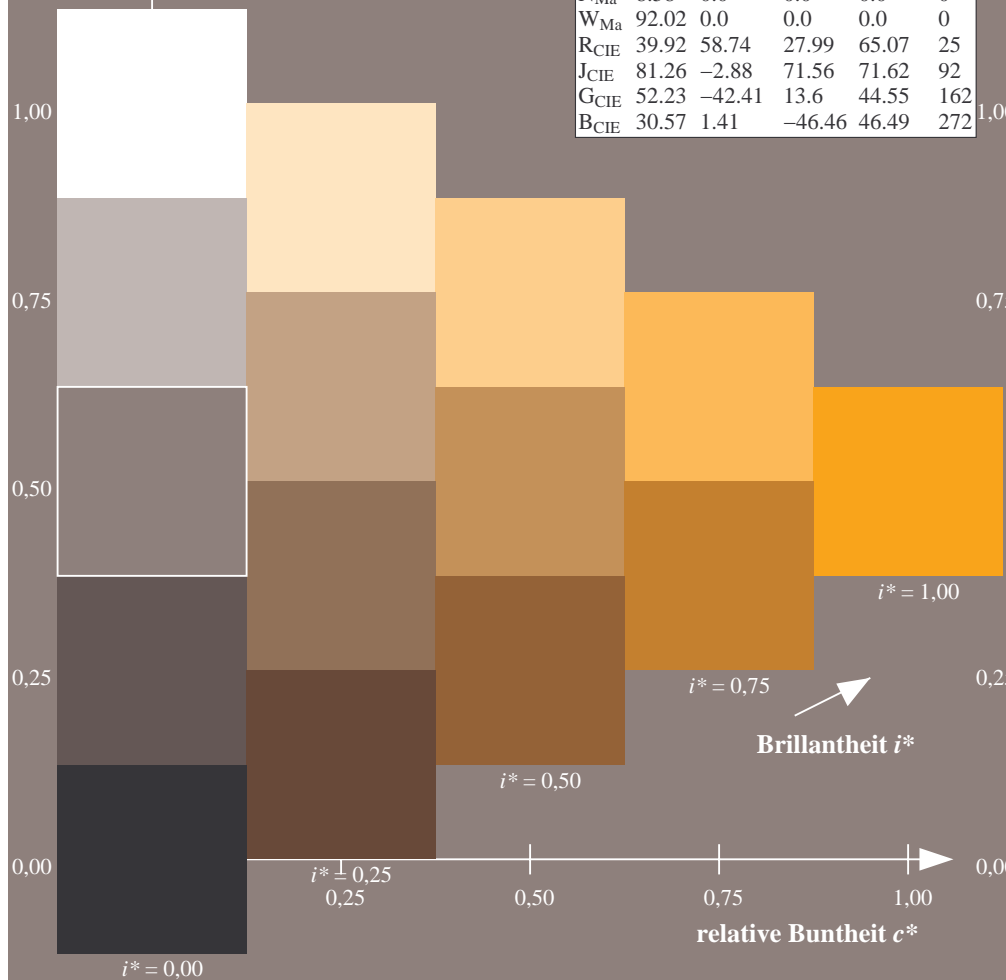
%Regularität

$g^*_{H,rel} = 31$

$g^*_{C,rel} = 40$

FRS09\_92aM; adaptierte CIELAB-Daten

	$L^*=L_a^*$	$a_a^*$	$b_a^*$	$C^*_{ab,a}$	$h^*_{ab,a}$
r00j	35.47	63.32	30.17	70.15	25
r25j	39.12	54.56	49.45	73.64	42
r50j	50.64	39.15	64.89	75.79	59
r75j	64.01	21.26	82.83	85.52	76
j00g	83.18	-4.37	108.53	108.62	92
j25g	66.73	-29.88	83.06	88.28	110
j50g	54.03	-48.3	63.49	79.78	127
j75g	44.73	-60.32	42.64	73.88	145
g00b	47.59	-49.07	15.74	51.54	162
g25b	49.97	-39.69	-6.71	40.27	190
g50b	51.85	-32.32	-24.34	40.48	217
g75b	46.92	-17.28	-36.01	39.96	244
b00r	37.91	1.28	-42.34	42.37	272
b25r	23.81	30.38	-52.25	60.45	300
b50r	29.52	69.06	-42.13	80.9	329
b75r	36.48	71.47	-3.68	71.57	357



Ein und Ausgabe: Farbmetrisches Drucker-Reflektiv-System FRS09\_92aM für relativen CIELAB-Buntton  $h^* = lab^*h^* = h_{ab}/360 = 92/360 = 0.256$   $u^* = j00g$

Daten für jede Farbe:

$lab^*ch^*$  und  $lab^*icu^*$

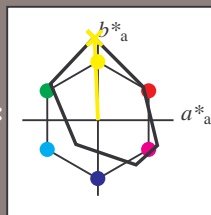
Elementar-Bunttontext:

$u^* = j00g$

Kontrastreduzierungsfaktor:

$c_R = 1.0$

Dreiecks-Helligkeit  $i^*$



FRS09\_92aM; adaptierte CIELAB-Daten

	$L^*=L^*_a$	$a^*_a$	$b^*_a$	$C^*_{ab,a}$	$h^*_{ab,a}$
O <sub>Ma</sub>	35.06	60.0	44.0	74.4	36
Y <sub>Ma</sub>	83.77	-5.16	109.32	109.44	93
L <sub>Ma</sub>	44.13	-62.66	48.24	79.09	142
C <sub>Ma</sub>	52.66	-29.13	-31.98	43.27	228
V <sub>Ma</sub>	14.15	50.3	-59.03	77.57	310
M <sub>Ma</sub>	37.37	78.64	-33.49	85.48	337
N <sub>Ma</sub>	8.58	0.0	0.0	0.0	0
W <sub>Ma</sub>	92.02	0.0	0.0	0.0	0
R <sub>CIE</sub>	39.92	58.74	27.99	65.07	25
J <sub>CIE</sub>	81.26	-2.88	71.56	71.62	92
G <sub>CIE</sub>	52.23	-42.41	13.6	44.55	162
B <sub>CIE</sub>	30.57	1.41	-46.46	46.49	272

Daten für Maximalfarbe (Ma):

$LAB^*LAB^*_{Ma}$ : 83 -3 109

$LAB^*LCH^*_{Ma}$ : 83 109 92

$lab^*rgb^*_{Ma}$ : 1.0 1.0 0.0

$lab^*olv^*_{Ma}$ : 1.0 0.99 0.0

Dreiecks-Helligkeit  $i^*$

%Umfang

$u^*_{rel} = 109$

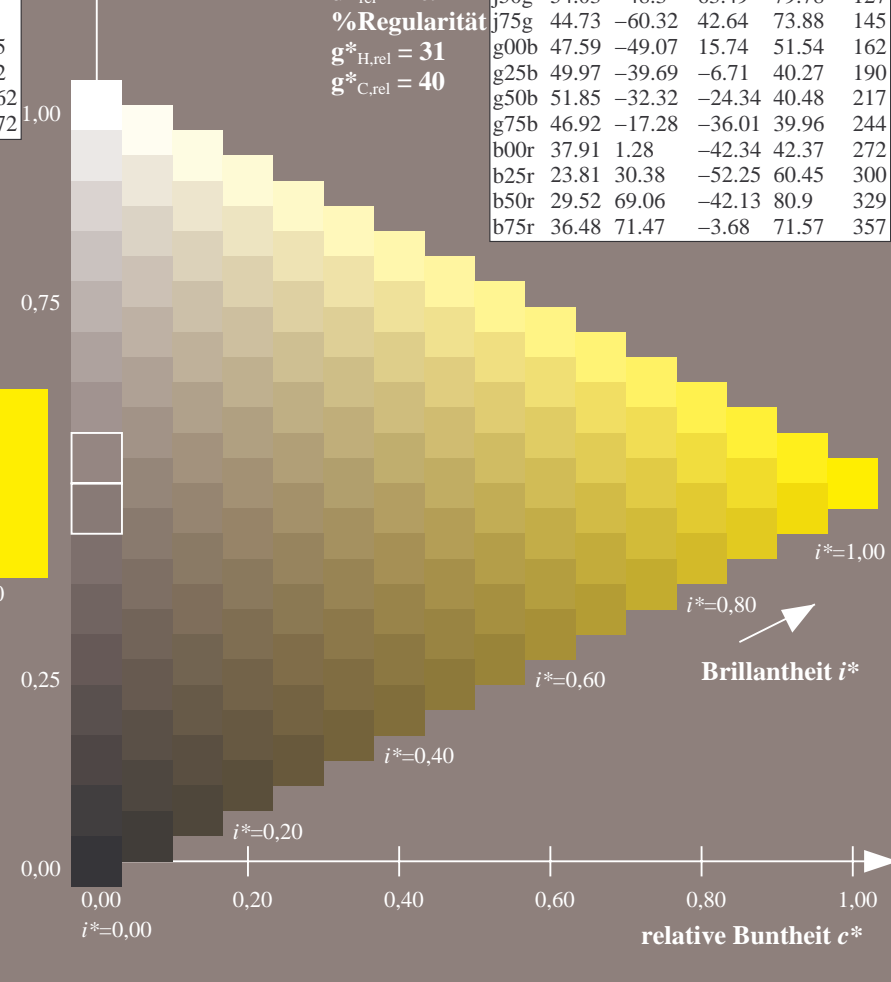
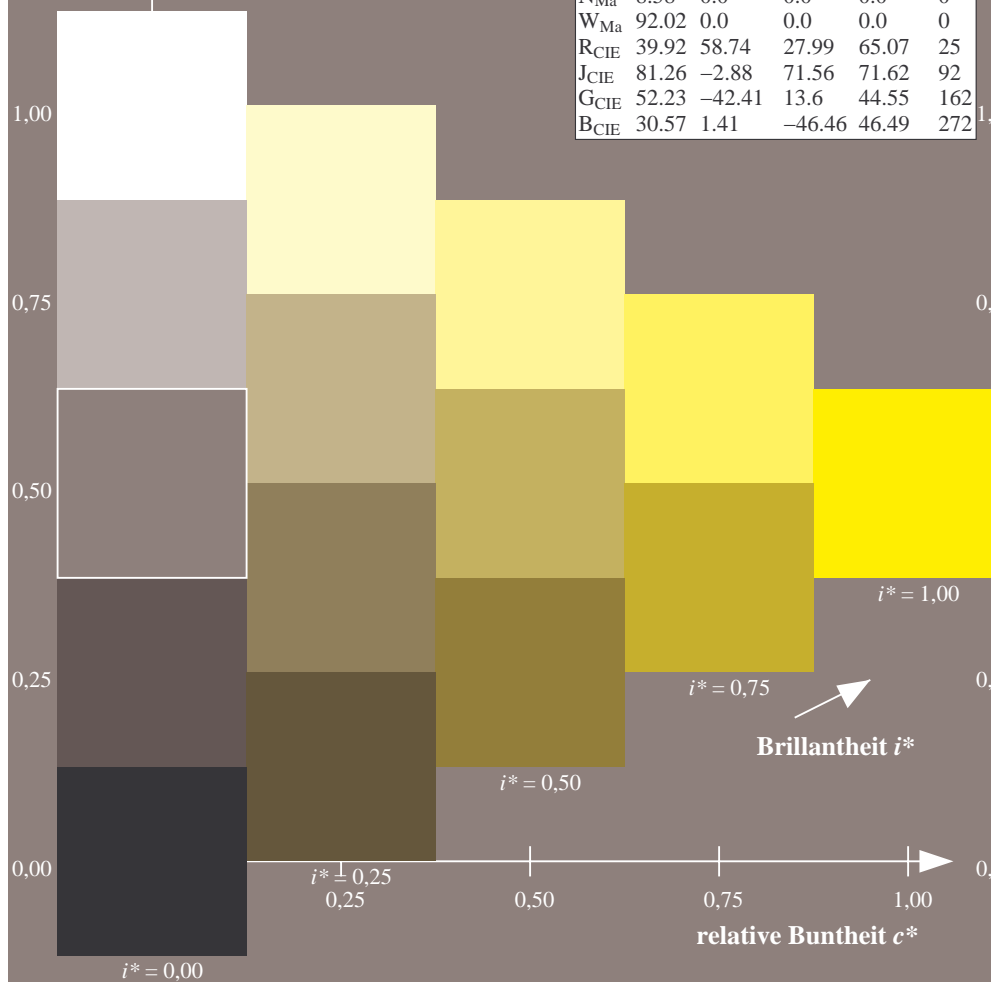
%Regularität

$g^*_{H,rel} = 31$

$g^*_{C,rel} = 40$

FRS09\_92aM; adaptierte CIELAB-Daten

	$L^*=L^*_a$	$a^*_a$	$b^*_a$	$C^*_{ab,a}$	$h^*_{ab,a}$
r00j	35.47	63.32	30.17	70.15	25
r25j	39.12	54.56	49.45	73.64	42
r50j	50.64	39.15	64.89	75.79	59
r75j	64.01	21.26	82.83	85.52	76
j00g	83.18	-4.37	108.53	108.62	92
j25g	66.73	-29.88	83.06	88.28	110
j50g	54.03	-48.3	63.49	79.78	127
j75g	44.73	-60.32	42.64	73.88	145
g00b	47.59	-49.07	15.74	51.54	162
g25b	49.97	-39.69	-6.71	40.27	190
g50b	51.85	-32.32	-24.34	40.48	217
g75b	46.92	-17.28	-36.01	39.96	244
b00r	37.91	1.28	-42.34	42.37	272
b25r	23.81	30.38	-52.25	60.45	300
b50r	29.52	69.06	-42.13	80.9	329
b75r	36.48	71.47	-3.68	71.57	357



Ein und Ausgabe: Farbmetrisches Drucker-Reflektiv-System FRS09\_92aM für relativen CIELAB-Buntton  $h^* = lab^*h^* = h_{ab}/360 = 110/360 = 0.305$   $u^* = j25g$

Daten für jede Farbe:

$lab^*ch^*$  und  $lab^*icu^*$

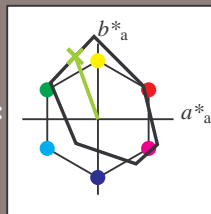
Elementar-Bunttontext:

$u^* = j25g$

Kontrastreduzierungsfaktor:

$c_R = 1.0$

Dreiecks-Helligkeit  $i^*$



FRS09\_92aM; adaptierte CIELAB-Daten

	$L^*=L_a^*$	$a_a^*$	$b_a^*$	$C^*_{ab,a}$	$h^*_{ab,a}$
O <sub>Ma</sub>	35.06	60.0	44.0	74.4	36
Y <sub>Ma</sub>	83.77	-5.16	109.32	109.44	93
L <sub>Ma</sub>	44.13	-62.66	48.24	79.09	142
C <sub>Ma</sub>	52.66	-29.13	-31.98	43.27	228
V <sub>Ma</sub>	14.15	50.3	-59.03	77.57	310
M <sub>Ma</sub>	37.37	78.64	-33.49	85.48	337
N <sub>Ma</sub>	8.58	0.0	0.0	0.0	0
W <sub>Ma</sub>	92.02	0.0	0.0	0.0	0
R <sub>CIE</sub>	39.92	58.74	27.99	65.07	25
J <sub>CIE</sub>	81.26	-2.88	71.56	71.62	92
G <sub>CIE</sub>	52.23	-42.41	13.6	44.55	162
B <sub>CIE</sub>	30.57	1.41	-46.46	46.49	272

Daten für Maximalfarbe (Ma):

$LAB^*LAB^*_{Ma}$ : 67 -29 83

$LAB^*LCH^*_{Ma}$ : 67 88 110

$lab^*rgb^*_{Ma}$ : 0.75 1.0 0.0

$lab^*olv^*_{Ma}$ : 0.57 1.0 0.0

Dreiecks-Helligkeit  $i^*$

%Umfang

$u^*_{rel} = 109$

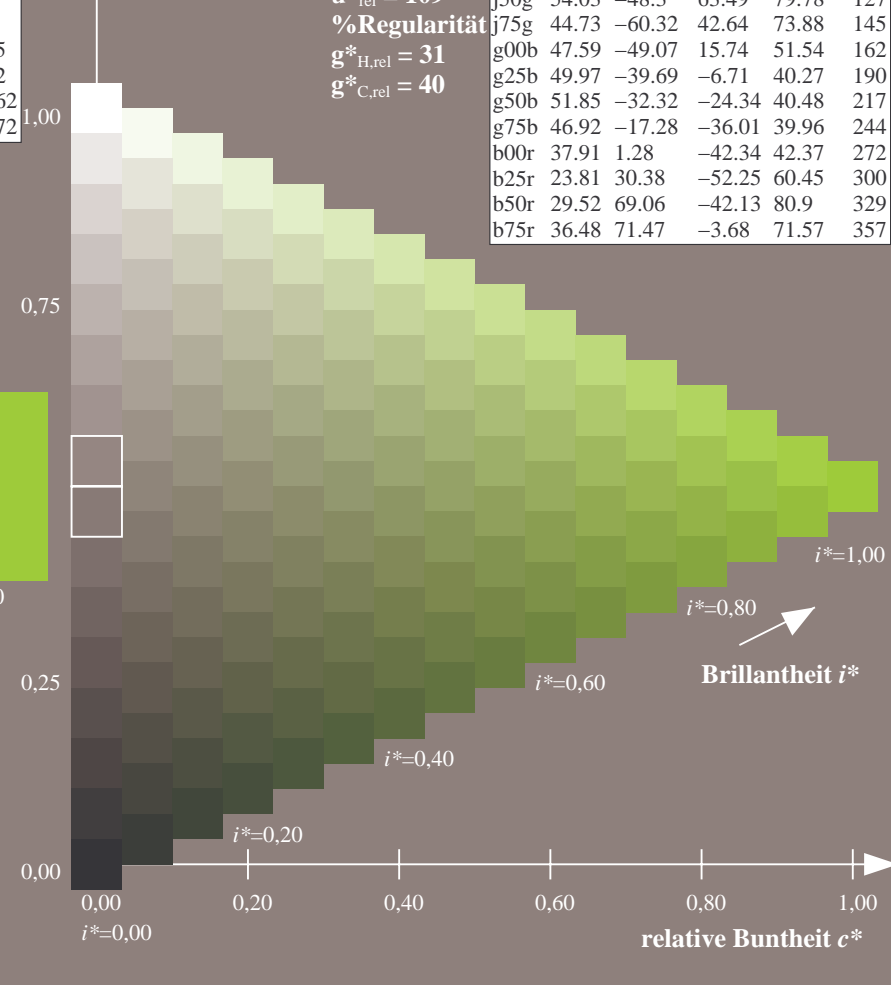
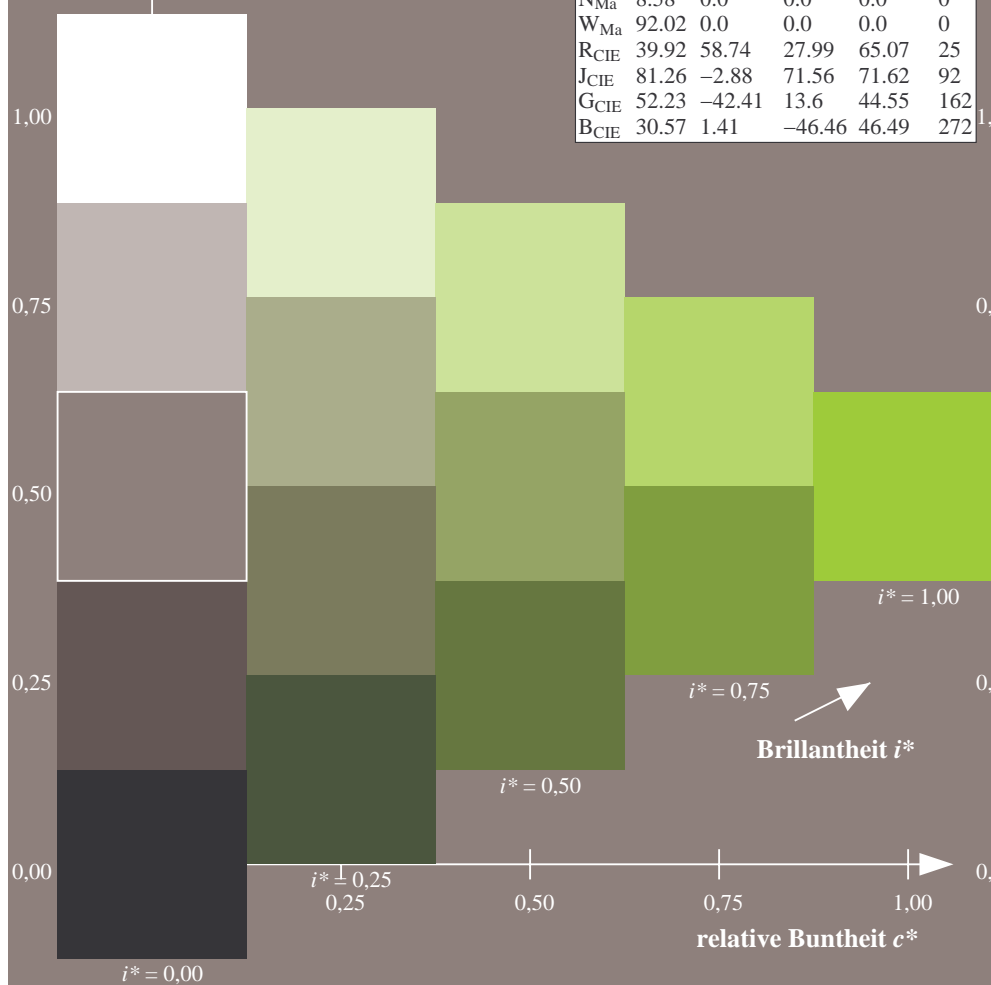
%Regularität

$g^*_{H,rel} = 31$

$g^*_{C,rel} = 40$

FRS09\_92aM; adaptierte CIELAB-Daten

	$L^*=L_a^*$	$a_a^*$	$b_a^*$	$C^*_{ab,a}$	$h^*_{ab,a}$
r00j	35.47	63.32	30.17	70.15	25
r25j	39.12	54.56	49.45	73.64	42
r50j	50.64	39.15	64.89	75.79	59
r75j	64.01	21.26	82.83	85.52	76
j00g	83.18	-4.37	108.53	108.62	92
j25g	66.73	-29.88	83.06	88.28	110
j50g	54.03	-48.3	63.49	79.78	127
j75g	44.73	-60.32	42.64	73.88	145
g00b	47.59	-49.07	15.74	51.54	162
g25b	49.97	-39.69	-6.71	40.27	190
g50b	51.85	-32.32	-24.34	40.48	217
g75b	46.92	-17.28	-36.01	39.96	244
b00r	37.91	1.28	-42.34	42.37	272
b25r	23.81	30.38	-52.25	60.45	300
b50r	29.52	69.06	-42.13	80.9	329
b75r	36.48	71.47	-3.68	71.57	357



Ein und Ausgabe: Farbmetrisches Drucker-Reflektiv-System FRS09\_92aM für relativen CIELAB-Buntton  $h^* = lab^*h^* = h_{ab}/360 = 127/360 = 0.354$   $u^* = j50g$

Daten für jede Farbe:

$lab^*ch^*$  und  $lab^*icu^*$

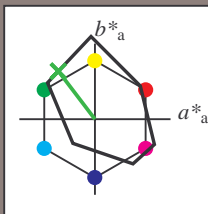
Elementar-Bunttontext:

$u^* = j50g$

Kontrastreduzierungsfaktor:

$c_R = 1.0$

Dreiecks-Helligkeit  $i^*$



FRS09\_92aM; adaptierte CIELAB-Daten

	$L^*=L_a^*$	$a_a^*$	$b_a^*$	$C_{ab,a}^*$	$h_{ab,a}^*$
O <sub>Ma</sub>	35.06	60.0	44.0	74.4	36
Y <sub>Ma</sub>	83.77	-5.16	109.32	109.44	93
L <sub>Ma</sub>	44.13	-62.66	48.24	79.09	142
C <sub>Ma</sub>	52.66	-29.13	-31.98	43.27	228
V <sub>Ma</sub>	14.15	50.3	-59.03	77.57	310
M <sub>Ma</sub>	37.37	78.64	-33.49	85.48	337
N <sub>Ma</sub>	8.58	0.0	0.0	0.0	0
W <sub>Ma</sub>	92.02	0.0	0.0	0.0	0
R <sub>CIE</sub>	39.92	58.74	27.99	65.07	25
J <sub>CIE</sub>	81.26	-2.88	71.56	71.62	92
G <sub>CIE</sub>	52.23	-42.41	13.6	44.55	162
B <sub>CIE</sub>	30.57	1.41	-46.46	46.49	272

Daten für Maximalfarbe (Ma):

$LAB^*LAB^*_{Ma}$ : 54 -47 63

$LAB^*LCH^*_{Ma}$ : 54 80 127

$lab^*rgb^*_{Ma}$ : 0.5 1.0 0.0

$lab^*olv^*_{Ma}$ : 0.25 1.0 0.0

Dreiecks-Helligkeit  $i^*$

%Umfang

$u^*_{rel} = 109$

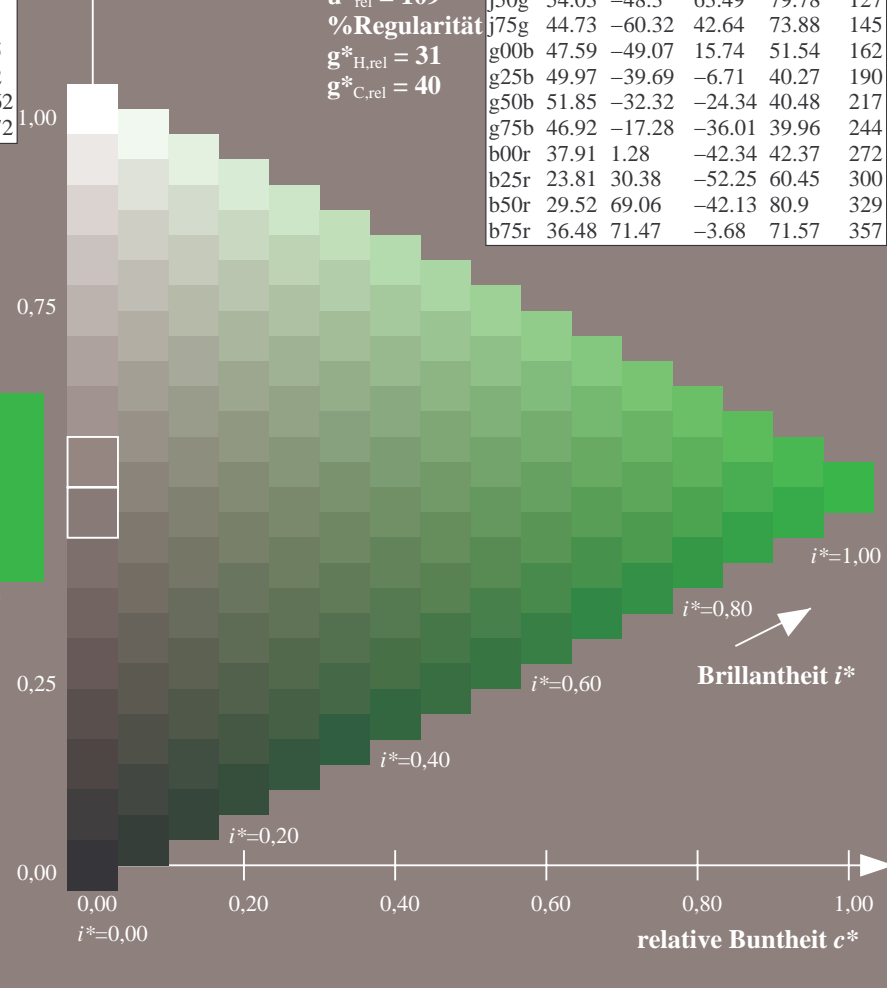
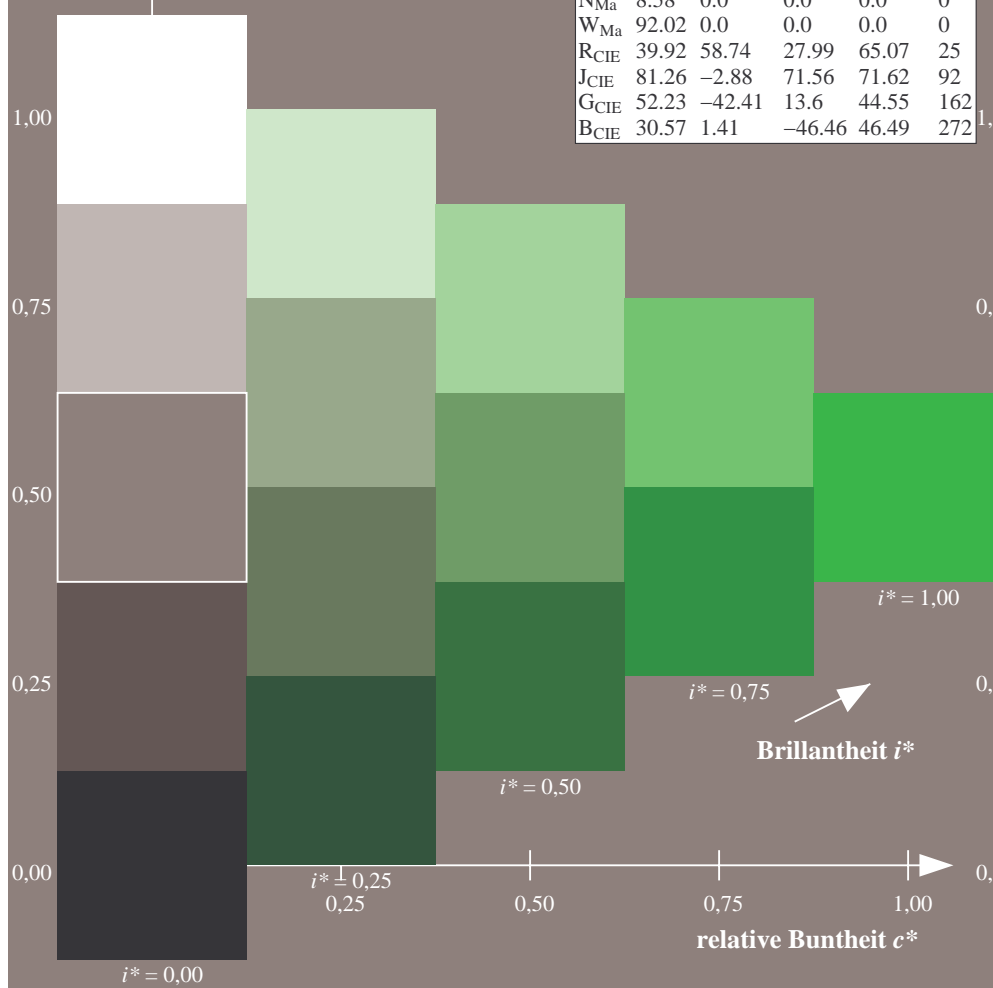
%Regularität

$g^*_{H,rel} = 31$

$g^*_{C,rel} = 40$

FRS09\_92aM; adaptierte CIELAB-Daten

	$L^*=L_a^*$	$a_a^*$	$b_a^*$	$C_{ab,a}^*$	$h_{ab,a}^*$
r00j	35.47	63.32	30.17	70.15	25
r25j	39.12	54.56	49.45	73.64	42
r50j	50.64	39.15	64.89	75.79	59
r75j	64.01	21.26	82.83	85.52	76
j00g	83.18	-4.37	108.53	108.62	92
j25g	66.73	-29.88	83.06	88.28	110
j50g	54.03	-48.3	63.49	79.78	127
j75g	44.73	-60.32	42.64	73.88	145
g00b	47.59	-49.07	15.74	51.54	162
g25b	49.97	-39.69	-6.71	40.27	190
g50b	51.85	-32.32	-24.34	40.48	217
g75b	46.92	-17.28	-36.01	39.96	244
b00r	37.91	1.28	-42.34	42.37	272
b25r	23.81	30.38	-52.25	60.45	300
b50r	29.52	69.06	-42.13	80.9	329
b75r	36.48	71.47	-3.68	71.57	357



Ein und Ausgabe: Farbmetrisches Drucker-Reflektiv-System FRS09\_92aM für relativen CIELAB-Buntton  $h^* = lab^*h^* = h_{ab}/360 = 145/360 = 0.402$   $u^* = j75g$

Daten für jede Farbe:

$lab^*ch^*$  und  $lab^*icu^*$

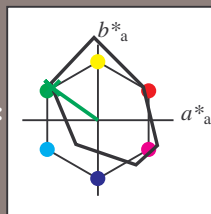
Elementar-Bunttontext:

$u^* = j75g$

Kontrastreduzierungsfaktor:

$c_R = 1.0$

Dreiecks-Helligkeit  $i^*$



FRS09\_92aM; adaptierte CIELAB-Daten

	$L^*=L_a^*$	$a_a^*$	$b_a^*$	$C_{ab,a}^*$	$h_{ab,a}^*$
O <sub>Ma</sub>	35.06	60.0	44.0	74.4	36
Y <sub>Ma</sub>	83.77	-5.16	109.32	109.44	93
L <sub>Ma</sub>	44.13	-62.66	48.24	79.09	142
C <sub>Ma</sub>	52.66	-29.13	-31.98	43.27	228
V <sub>Ma</sub>	14.15	50.3	-59.03	77.57	310
M <sub>Ma</sub>	37.37	78.64	-33.49	85.48	337
N <sub>Ma</sub>	8.58	0.0	0.0	0.0	0
W <sub>Ma</sub>	92.02	0.0	0.0	0.0	0
R <sub>CIE</sub>	39.92	58.74	27.99	65.07	25
J <sub>CIE</sub>	81.26	-2.88	71.56	71.62	92
G <sub>CIE</sub>	52.23	-42.41	13.6	44.55	162
B <sub>CIE</sub>	30.57	1.41	-46.46	46.49	272

Daten für Maximalfarbe (Ma):

$LAB^*LAB^*_{Ma}$ : 45 -59 43

$LAB^*LCH^*_{Ma}$ : 45 74 145

$lab^*rgb^*_{Ma}$ : 0.25 1.0 0.0

$lab^*olv^*_{Ma}$ : 0.0 1.0 0.07

Dreiecks-Helligkeit  $i^*$

%Umfang

$u^*_{rel} = 109$

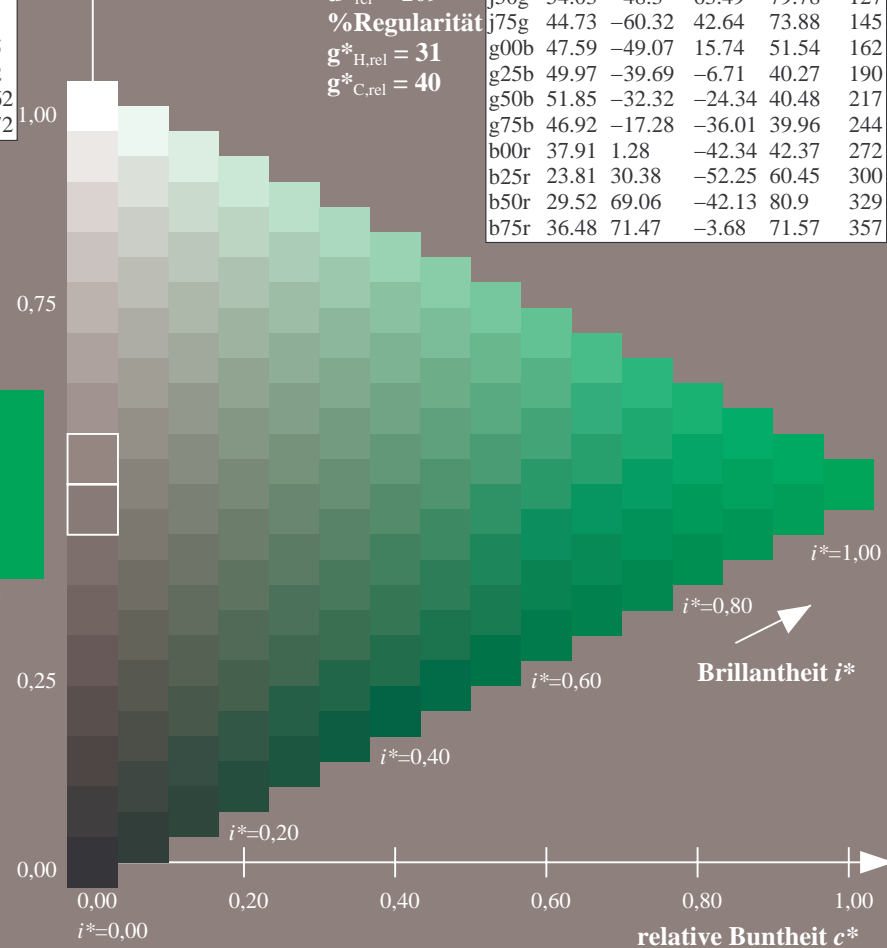
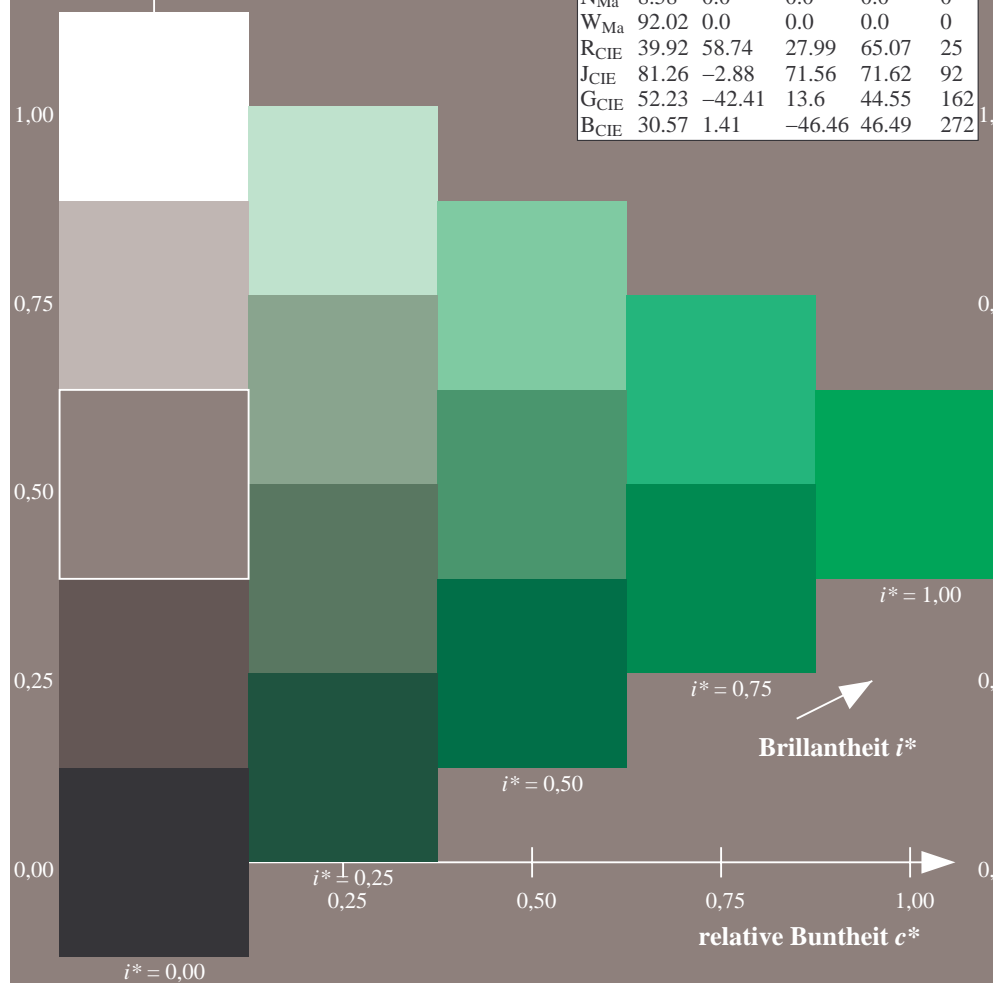
%Regularität

$g^*_{H,rel} = 31$

$g^*_{C,rel} = 40$

FRS09\_92aM; adaptierte CIELAB-Daten

	$L^*=L_a^*$	$a_a^*$	$b_a^*$	$C_{ab,a}^*$	$h_{ab,a}^*$
r00j	35.47	63.32	30.17	70.15	25
r25j	39.12	54.56	49.45	73.64	42
r50j	50.64	39.15	64.89	75.79	59
r75j	64.01	21.26	82.83	85.52	76
j00g	83.18	-4.37	108.53	108.62	92
j25g	66.73	-29.88	83.06	88.28	110
j50g	54.03	-48.3	63.49	79.78	127
j75g	44.73	-60.32	42.64	73.88	145
g00b	47.59	-49.07	15.74	51.54	162
g25b	49.97	-39.69	-6.71	40.27	190
g50b	51.85	-32.32	-24.34	40.48	217
g75b	46.92	-17.28	-36.01	39.96	244
b00r	37.91	1.28	-42.34	42.37	272
b25r	23.81	30.38	-52.25	60.45	300
b50r	29.52	69.06	-42.13	80.9	329
b75r	36.48	71.47	-3.68	71.57	357



Ein und Ausgabe: Farbmetrisches Drucker-Reflektiv-System FRS09\_92aM für relativen CIELAB-Buntton  $h^* = lab^*h^* = h_{ab}/360 = 162/360 = 0.451$   $u^* = g00b$

Daten für jede Farbe:

$lab^*ch^*$  und  $lab^*icu^*$

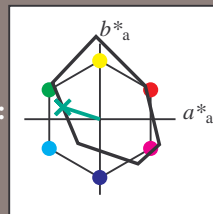
Elementar-Bunttontext:

$u^* = g00b$

Kontrastreduzierungsfaktor:

$c_R = 1.0$

Dreiecks-Helligkeit  $i^*$



FRS09\_92aM; adaptierte CIELAB-Daten

	$L^*=L_a^*$	$a_a^*$	$b_a^*$	$C_{ab,a}^*$	$h_{ab,a}^*$
O <sub>Ma</sub>	35.06	60.0	44.0	74.4	36
Y <sub>Ma</sub>	83.77	-5.16	109.32	109.44	93
L <sub>Ma</sub>	44.13	-62.66	48.24	79.09	142
C <sub>Ma</sub>	52.66	-29.13	-31.98	43.27	228
V <sub>Ma</sub>	14.15	50.3	-59.03	77.57	310
M <sub>Ma</sub>	37.37	78.64	-33.49	85.48	337
N <sub>Ma</sub>	8.58	0.0	0.0	0.0	0
W <sub>Ma</sub>	92.02	0.0	0.0	0.0	0
R <sub>CIE</sub>	39.92	58.74	27.99	65.07	25
J <sub>CIE</sub>	81.26	-2.88	71.56	71.62	92
G <sub>CIE</sub>	52.23	-42.41	13.6	44.55	162
B <sub>CIE</sub>	30.57	1.41	-46.46	46.49	272

Daten für Maximalfarbe (Ma):

$LAB^*LAB^*_{Ma}$ : 48 -48 16

$LAB^*LCH^*_{Ma}$ : 48 52 162

$lab^*rgb^*_{Ma}$ : 0.0 1.0 0.0

$lab^*olv^*_{Ma}$ : 0.0 1.0 0.41

Dreiecks-Helligkeit  $i^*$

%Umfang

$u^*_{rel} = 109$

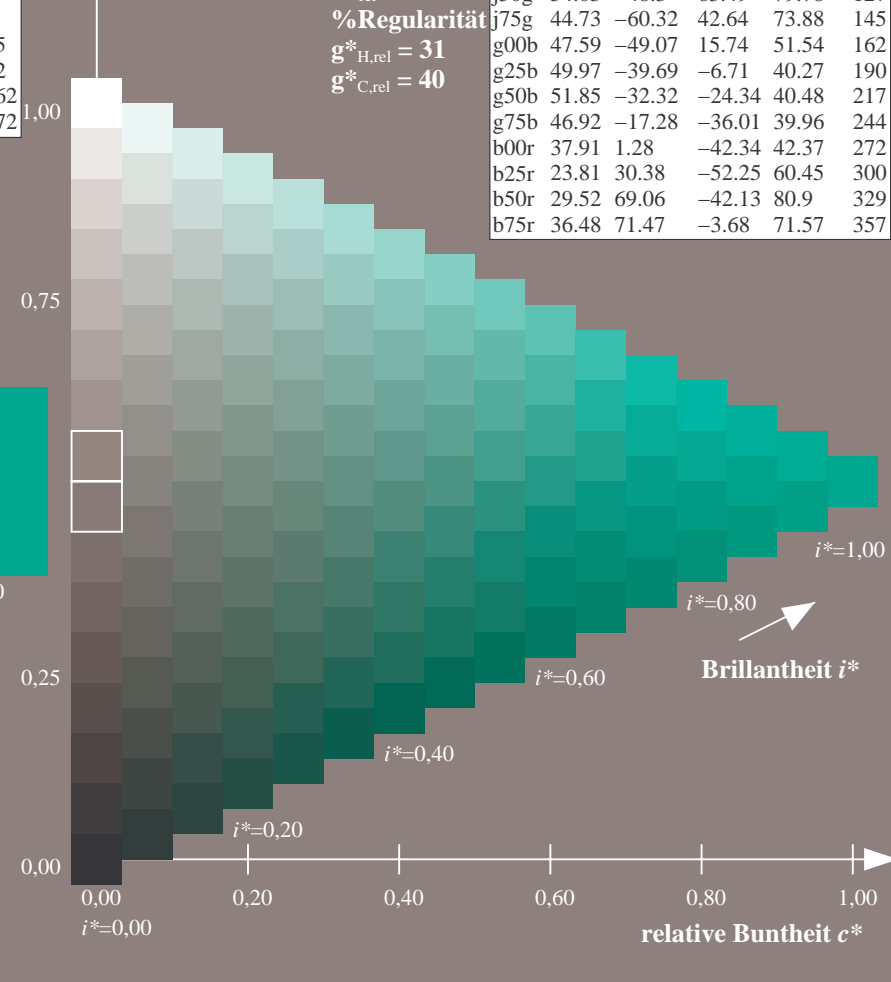
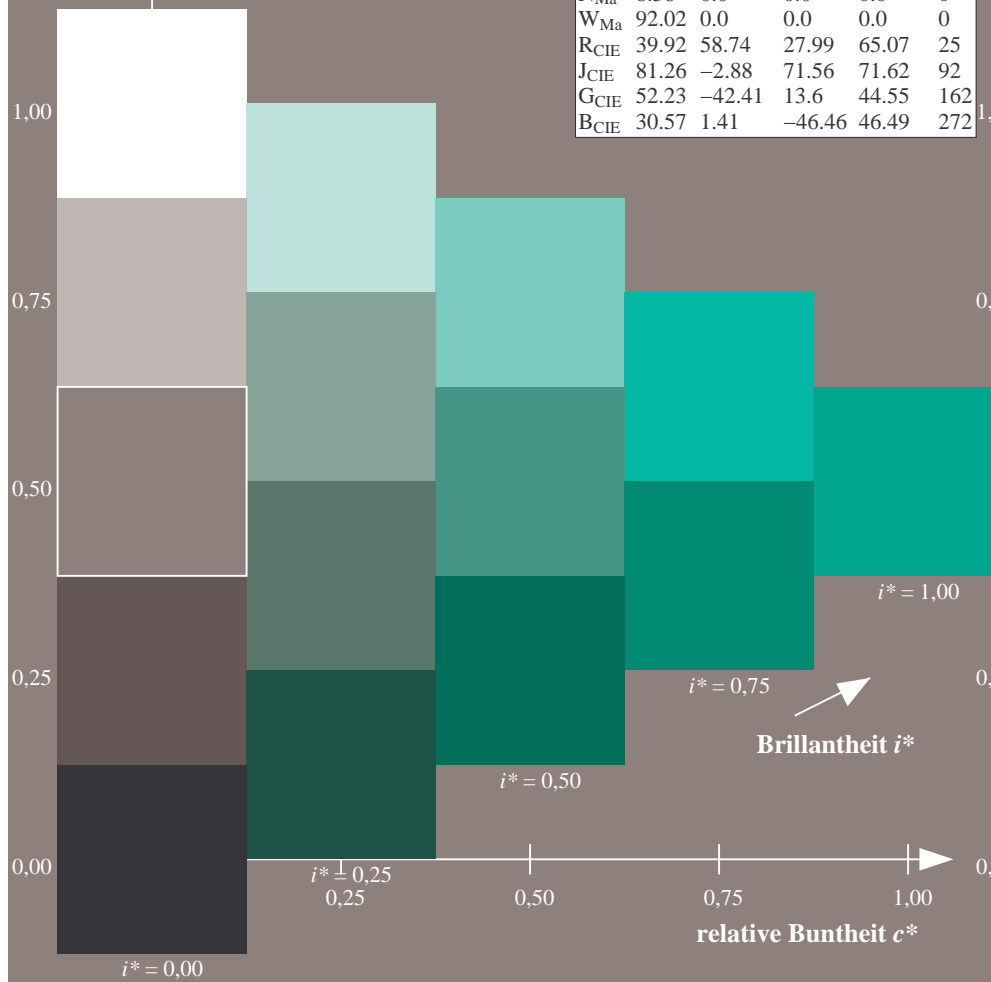
%Regularität

$g^*_{H,rel} = 31$

$g^*_{C,rel} = 40$

FRS09\_92aM; adaptierte CIELAB-Daten

	$L^*=L_a^*$	$a_a^*$	$b_a^*$	$C_{ab,a}^*$	$h_{ab,a}^*$
r00j	35.47	63.32	30.17	70.15	25
r25j	39.12	54.56	49.45	73.64	42
r50j	50.64	39.15	64.89	75.79	59
r75j	64.01	21.26	82.83	85.52	76
j00g	83.18	-4.37	108.53	108.62	92
j25g	66.73	-29.88	83.06	88.28	110
j50g	54.03	-48.3	63.49	79.78	127
j75g	44.73	-60.32	42.64	73.88	145
g00b	47.59	-49.07	15.74	51.54	162
g25b	49.97	-39.69	-6.71	40.27	190
g50b	51.85	-32.32	-24.34	40.48	217
g75b	46.92	-17.28	-36.01	39.96	244
b00r	37.91	1.28	-42.34	42.37	272
b25r	23.81	30.38	-52.25	60.45	300
b50r	29.52	69.06	-42.13	80.9	329
b75r	36.48	71.47	-3.68	71.57	357





Ein und Ausgabe: Farbmetrisches Drucker-Reflektiv-System FRS09\_92aM für relativen CIELAB-Buntton  $h^* = lab^*h^* = h_{ab}/360 = 190/360 = 0.527$   $u^* = g25b$

Daten für jede Farbe:

$lab^*ch^*$  und  $lab^*icu^*$

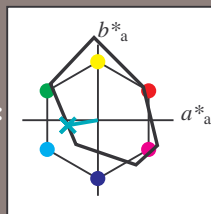
Elementar-Bunttontext:

$u^* = g25b$

Kontrastreduzierungsfaktor:

$c_R = 1.0$

Dreiecks-Helligkeit  $i^*$



FRS09\_92aM; adaptierte CIELAB-Daten

	$L^*=L_a^*$	$a_a^*$	$b_a^*$	$C^*_{ab,a}$	$h^*_{ab,a}$
O <sub>Ma</sub>	35.06	60.0	44.0	74.4	36
Y <sub>Ma</sub>	83.77	-5.16	109.32	109.44	93
L <sub>Ma</sub>	44.13	-62.66	48.24	79.09	142
C <sub>Ma</sub>	52.66	-29.13	-31.98	43.27	228
V <sub>Ma</sub>	14.15	50.3	-59.03	77.57	310
M <sub>Ma</sub>	37.37	78.64	-33.49	85.48	337
N <sub>Ma</sub>	8.58	0.0	0.0	0.0	0
W <sub>Ma</sub>	92.02	0.0	0.0	0.0	0
R <sub>CIE</sub>	39.92	58.74	27.99	65.07	25
J <sub>CIE</sub>	81.26	-2.88	71.56	71.62	92
G <sub>CIE</sub>	52.23	-42.41	13.6	44.55	162
B <sub>CIE</sub>	30.57	1.41	-46.46	46.49	272

Daten für Maximalfarbe (Ma):

$LAB^*LAB^*_{Ma}$ : 50 -39 -6

$LAB^*LCH^*_{Ma}$ : 50 40 190

$lab^*rgb^*_{Ma}$ : 0.0 1.0 0.5

$lab^*olv^*_{Ma}$ : 0.0 1.0 0.69

Dreiecks-Helligkeit  $i^*$

%Umfang

$u^*_{rel} = 109$

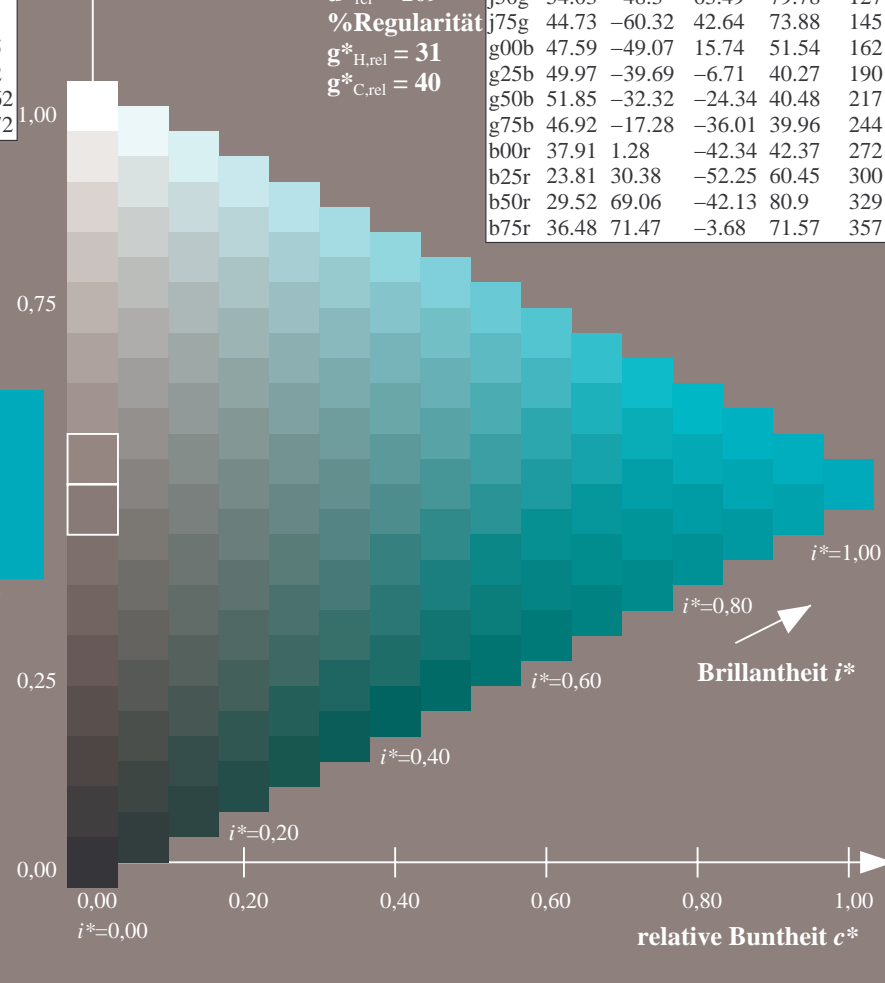
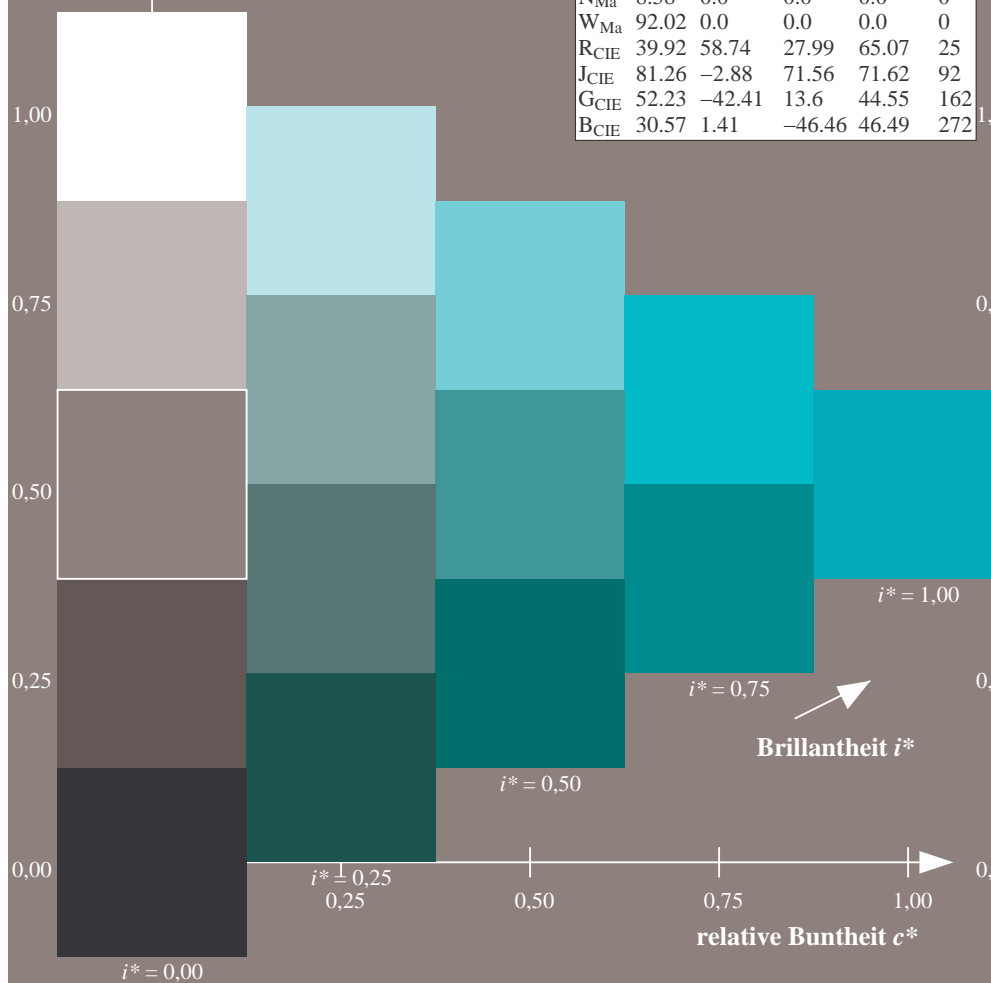
%Regularität

$g^*_{H,rel} = 31$

$g^*_{C,rel} = 40$

FRS09\_92aM; adaptierte CIELAB-Daten

	$L^*=L_a^*$	$a_a^*$	$b_a^*$	$C^*_{ab,a}$	$h^*_{ab,a}$
r00j	35.47	63.32	30.17	70.15	25
r25j	39.12	54.56	49.45	73.64	42
r50j	50.64	39.15	64.89	75.79	59
r75j	64.01	21.26	82.83	85.52	76
j00g	83.18	-4.37	108.53	108.62	92
j25g	66.73	-29.88	83.06	88.28	110
j50g	54.03	-48.3	63.49	79.78	127
j75g	44.73	-60.32	42.64	73.88	145
g00b	47.59	-49.07	15.74	51.54	162
g25b	49.97	-39.69	-6.71	40.27	190
g50b	51.85	-32.32	-24.34	40.48	217
g75b	46.92	-17.28	-36.01	39.96	244
b00r	37.91	1.28	-42.34	42.37	272
b25r	23.81	30.38	-52.25	60.45	300
b50r	29.52	69.06	-42.13	80.9	329
b75r	36.48	71.47	-3.68	71.57	357



Ein und Ausgabe: Farbmetrisches Drucker-Reflektiv-System FRS09\_92aM für relativen CIELAB-Buntton  $h^* = lab^*h^* = h_{ab}/360 = 217/360 = 0.603$   $u^* = g50b$

Daten für jede Farbe:

$lab^*ch^*$  und  $lab^*icu^*$

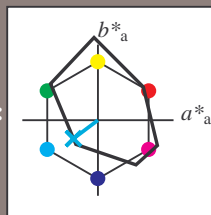
Elementar-Bunttontext:

$u^* = g50b$

Kontrastreduzierungsfaktor:

$c_R = 1.0$

Dreiecks-Helligkeit  $i^*$



FRS09\_92aM; adaptierte CIELAB-Daten

	$L^*=L_a^*$	$a_a^*$	$b_a^*$	$C_{ab,a}^*$	$h_{ab,a}^*$
O <sub>Ma</sub>	35.06	60.0	44.0	74.4	36
Y <sub>Ma</sub>	83.77	-5.16	109.32	109.44	93
L <sub>Ma</sub>	44.13	-62.66	48.24	79.09	142
C <sub>Ma</sub>	52.66	-29.13	-31.98	43.27	228
V <sub>Ma</sub>	14.15	50.3	-59.03	77.57	310
M <sub>Ma</sub>	37.37	78.64	-33.49	85.48	337
N <sub>Ma</sub>	8.58	0.0	0.0	0.0	0
W <sub>Ma</sub>	92.02	0.0	0.0	0.0	0
R <sub>CIE</sub>	39.92	58.74	27.99	65.07	25
J <sub>CIE</sub>	81.26	-2.88	71.56	71.62	92
G <sub>CIE</sub>	52.23	-42.41	13.6	44.55	162
B <sub>CIE</sub>	30.57	1.41	-46.46	46.49	272

Daten für Maximalfarbe (Ma):

$LAB^*LAB^*_{Ma}$ : 52 -31 -23

$LAB^*LCH^*_{Ma}$ : 52 40 217

$lab^*rgb^*_{Ma}$ : 0.0 1.0 1.0

$lab^*olv^*_{Ma}$ : 0.0 1.0 0.9

Dreiecks-Helligkeit  $i^*$

%Umfang

$u^*_{rel} = 109$

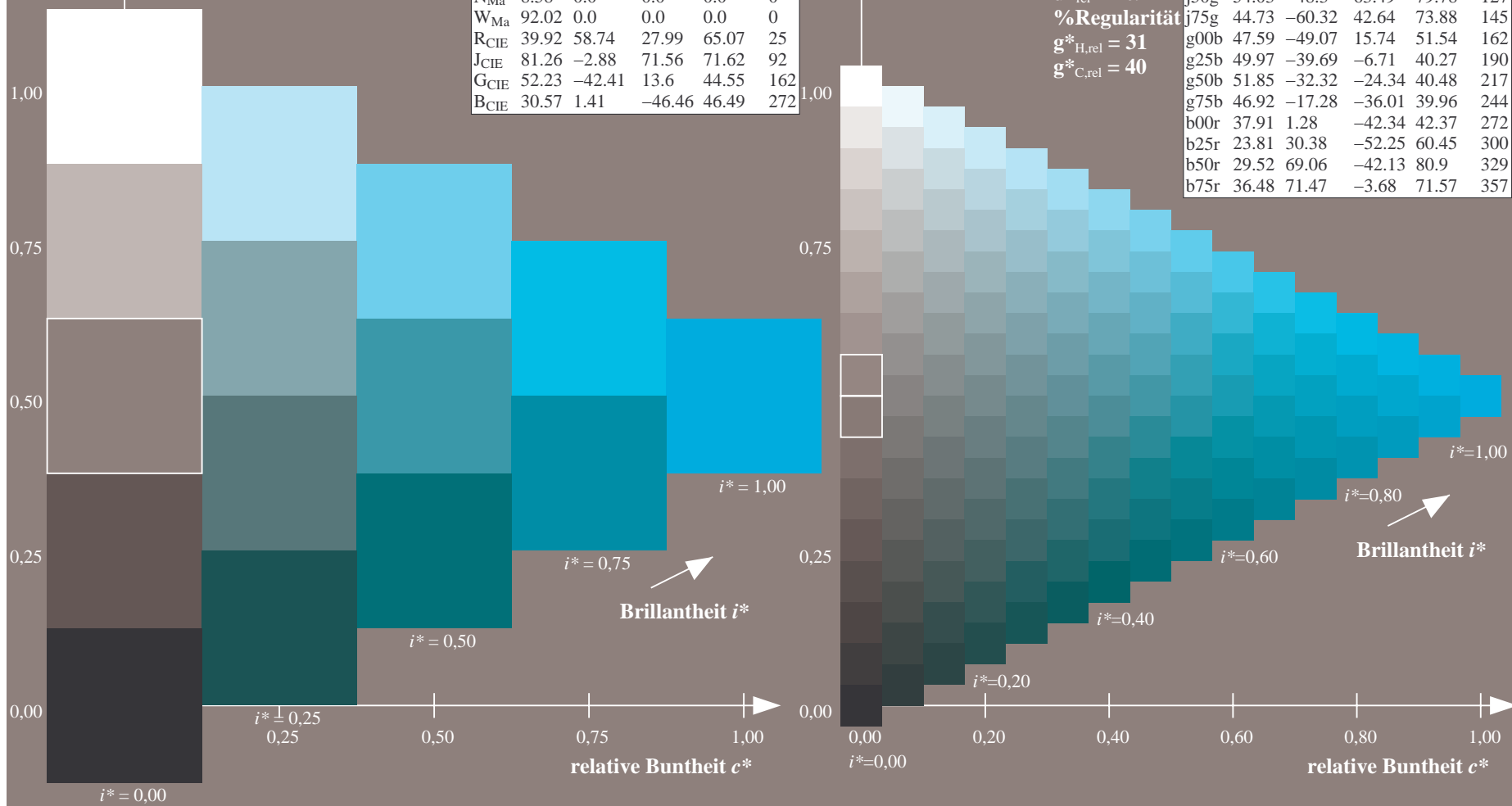
%Regularität

$g^*_{H,rel} = 31$

$g^*_{C,rel} = 40$

FRS09\_92aM; adaptierte CIELAB-Daten

	$L^*=L_a^*$	$a_a^*$	$b_a^*$	$C_{ab,a}^*$	$h_{ab,a}^*$
r00j	35.47	63.32	30.17	70.15	25
r25j	39.12	54.56	49.45	73.64	42
r50j	50.64	39.15	64.89	75.79	59
r75j	64.01	21.26	82.83	85.52	76
j00g	83.18	-4.37	108.53	108.62	92
j25g	66.73	-29.88	83.06	88.28	110
j50g	54.03	-48.3	63.49	79.78	127
j75g	44.73	-60.32	42.64	73.88	145
g00b	47.59	-49.07	15.74	51.54	162
g25b	49.97	-39.69	-6.71	40.27	190
g50b	51.85	-32.32	-24.34	40.48	217
g75b	46.92	-17.28	-36.01	39.96	244
b00r	37.91	1.28	-42.34	42.37	272
b25r	23.81	30.38	-52.25	60.45	300
b50r	29.52	69.06	-42.13	80.9	329
b75r	36.48	71.47	-3.68	71.57	357



Ein und Ausgabe: Farbmetrisches Drucker-Reflektiv-System FRS09\_92aM für relativen CIELAB-Buntton  $h^* = lab^*h^* = h_{ab}/360 = 244/360 = 0.679$   $u^* = g75b$

Daten für jede Farbe:

$lab^*ch^*$  und  $lab^*icu^*$

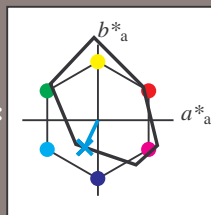
Elementar-Bunttontext:

$u^* = g75b$

Kontrastreduzierungsfaktor:

$c_R = 1.0$

Dreiecks-Helligkeit  $i^*$



FRS09\_92aM; adaptierte CIELAB-Daten

	$L^*=L_a^*$	$a_a^*$	$b_a^*$	$C_{ab,a}^*$	$h_{ab,a}^*$
O <sub>Ma</sub>	35.06	60.0	44.0	74.4	36
Y <sub>Ma</sub>	83.77	-5.16	109.32	109.44	93
L <sub>Ma</sub>	44.13	-62.66	48.24	79.09	142
C <sub>Ma</sub>	52.66	-29.13	-31.98	43.27	228
V <sub>Ma</sub>	14.15	50.3	-59.03	77.57	310
M <sub>Ma</sub>	37.37	78.64	-33.49	85.48	337
N <sub>Ma</sub>	8.58	0.0	0.0	0.0	0
W <sub>Ma</sub>	92.02	0.0	0.0	0.0	0
R <sub>CIE</sub>	39.92	58.74	27.99	65.07	25
J <sub>CIE</sub>	81.26	-2.88	71.56	71.62	92
G <sub>CIE</sub>	52.23	-42.41	13.6	44.55	162
B <sub>CIE</sub>	30.57	1.41	-46.46	46.49	272

Daten für Maximalfarbe (Ma):

$LAB^*LAB^*_{Ma}$ : 47 -16 -35

$LAB^*LCH^*_{Ma}$ : 47 40 244

$lab^*rgb^*_{Ma}$ : 0.0 0.5 1.0

$lab^*olv^*_{Ma}$ : 0.0 0.85 1.0

Dreiecks-Helligkeit  $i^*$

%Umfang

$u^*_{rel} = 109$

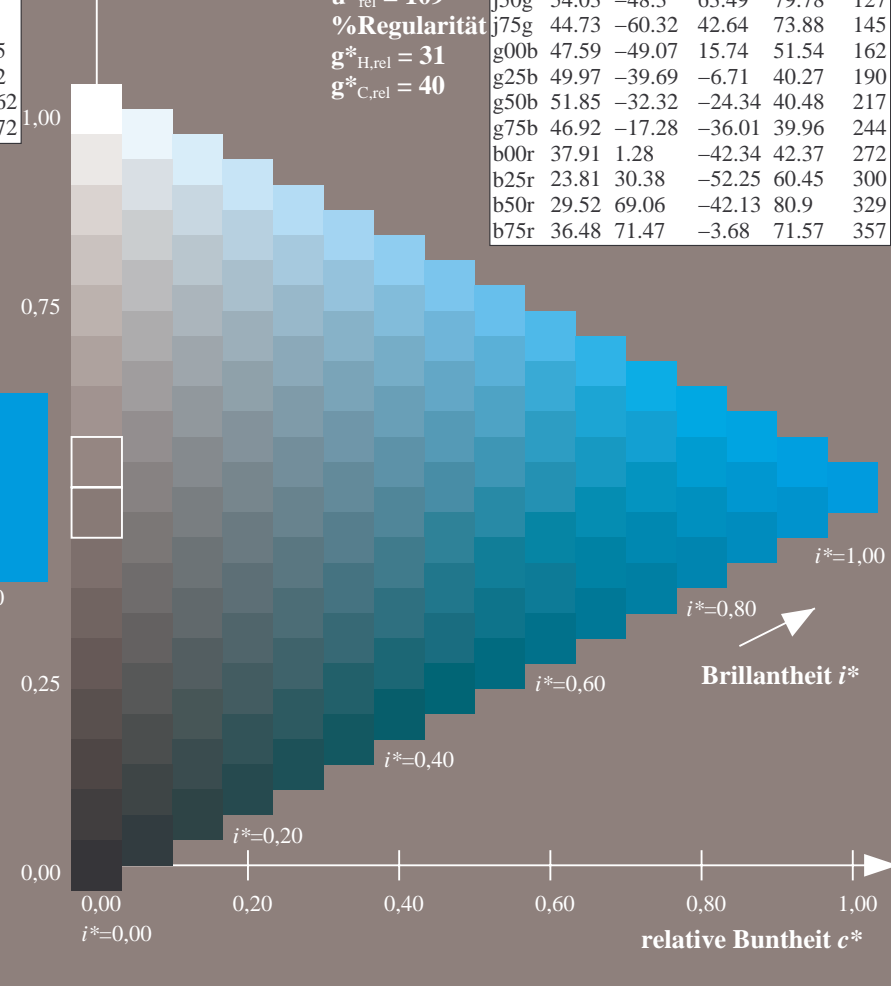
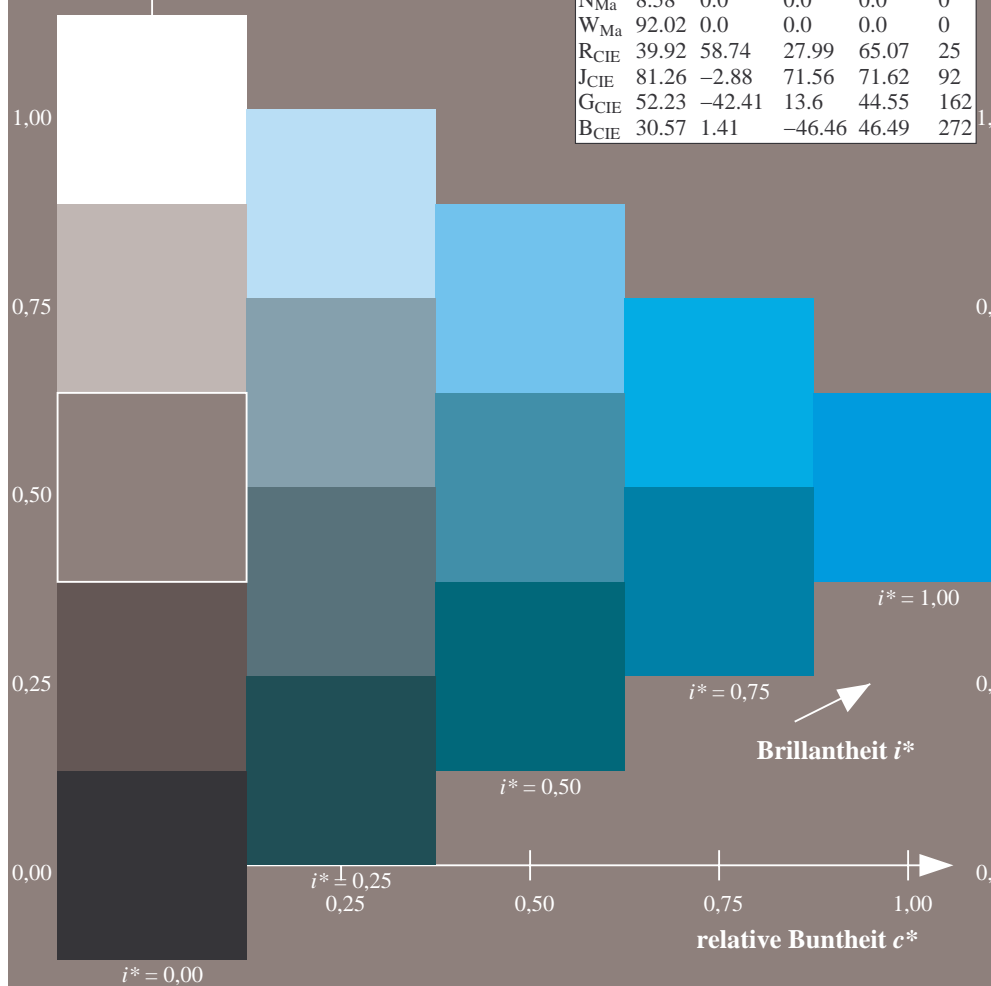
%Regularität

$g^*_{H,rel} = 31$

$g^*_{C,rel} = 40$

FRS09\_92aM; adaptierte CIELAB-Daten

	$L^*=L_a^*$	$a_a^*$	$b_a^*$	$C_{ab,a}^*$	$h_{ab,a}^*$
r00j	35.47	63.32	30.17	70.15	25
r25j	39.12	54.56	49.45	73.64	42
r50j	50.64	39.15	64.89	75.79	59
r75j	64.01	21.26	82.83	85.52	76
j00g	83.18	-4.37	108.53	108.62	92
j25g	66.73	-29.88	83.06	88.28	110
j50g	54.03	-48.3	63.49	79.78	127
j75g	44.73	-60.32	42.64	73.88	145
g00b	47.59	-49.07	15.74	51.54	162
g25b	49.97	-39.69	-6.71	40.27	190
g50b	51.85	-32.32	-24.34	40.48	217
g75b	46.92	-17.28	-36.01	39.96	244
b00r	37.91	1.28	-42.34	42.37	272
b25r	23.81	30.38	-52.25	60.45	300
b50r	29.52	69.06	-42.13	80.9	329
b75r	36.48	71.47	-3.68	71.57	357



Ein und Ausgabe: Farbmetrisches Drucker-Reflektiv-System FRS09\_92aM für relativen CIELAB-Buntton  $h^* = lab^*h^* = h_{ab}/360 = 272/360 = 0.755$   $u^* = b00r$

Daten für jede Farbe:

$lab^*ch^*$  und  $lab^*icu^*$

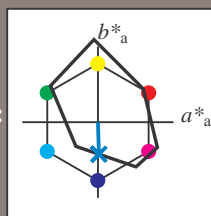
Elementar-Bunttontext:

$u^* = b00r$

Kontrastreduzierungsfaktor:

$c_R = 1.0$

Dreiecks-Helligkeit  $i^*$



FRS09\_92aM; adaptierte CIELAB-Daten

	$L^*=L_a^*$	$a_a^*$	$b_a^*$	$C^*_{ab,a}$	$h^*_{ab,a}$
O <sub>Ma</sub>	35.06	60.0	44.0	74.4	36
Y <sub>Ma</sub>	83.77	-5.16	109.32	109.44	93
L <sub>Ma</sub>	44.13	-62.66	48.24	79.09	142
C <sub>Ma</sub>	52.66	-29.13	-31.98	43.27	228
V <sub>Ma</sub>	14.15	50.3	-59.03	77.57	310
M <sub>Ma</sub>	37.37	78.64	-33.49	85.48	337
N <sub>Ma</sub>	8.58	0.0	0.0	0.0	0
W <sub>Ma</sub>	92.02	0.0	0.0	0.0	0
R <sub>CIE</sub>	39.92	58.74	27.99	65.07	25
J <sub>CIE</sub>	81.26	-2.88	71.56	71.62	92
G <sub>CIE</sub>	52.23	-42.41	13.6	44.55	162
B <sub>CIE</sub>	30.57	1.41	-46.46	46.49	272

Daten für Maximalfarbe (Ma):

$LAB^*LAB^*_{Ma}$ : 38 1 -41

$LAB^*LCH^*_{Ma}$ : 38 42 272

$lab^*rgb^*_{Ma}$ : 0.0 0.0 1.0

$lab^*olv^*_{Ma}$ : 0.0 0.62 1.0

Dreiecks-Helligkeit  $i^*$

%Umfang

$u^*_{rel} = 109$

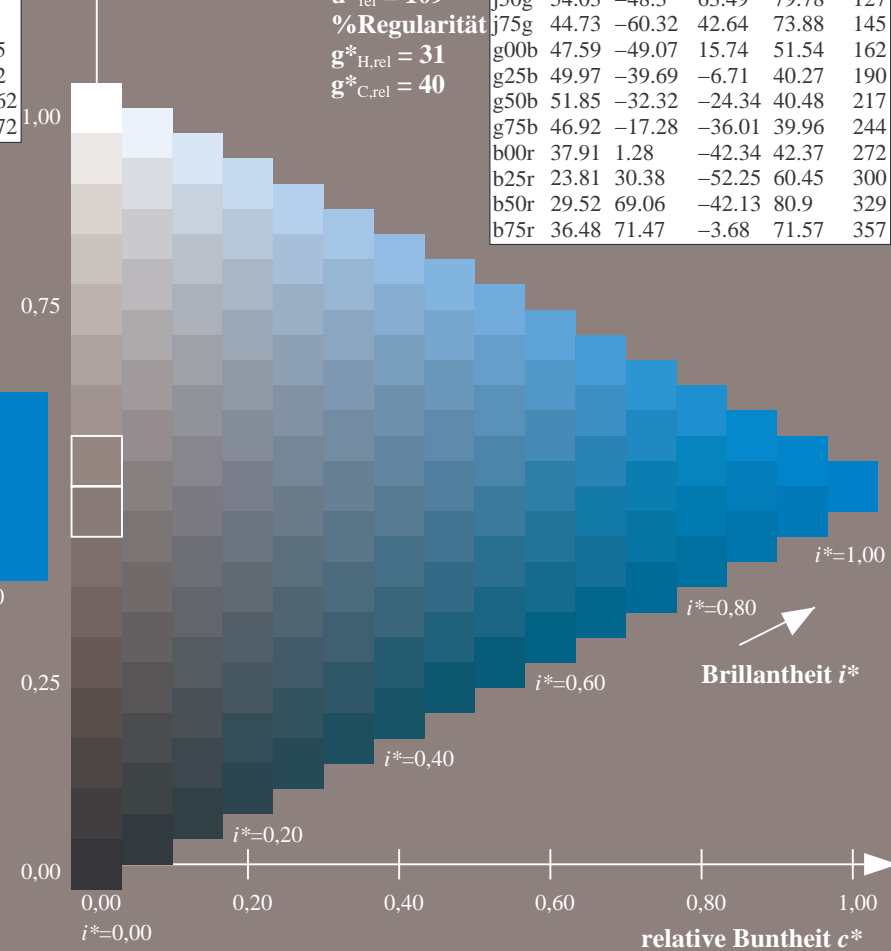
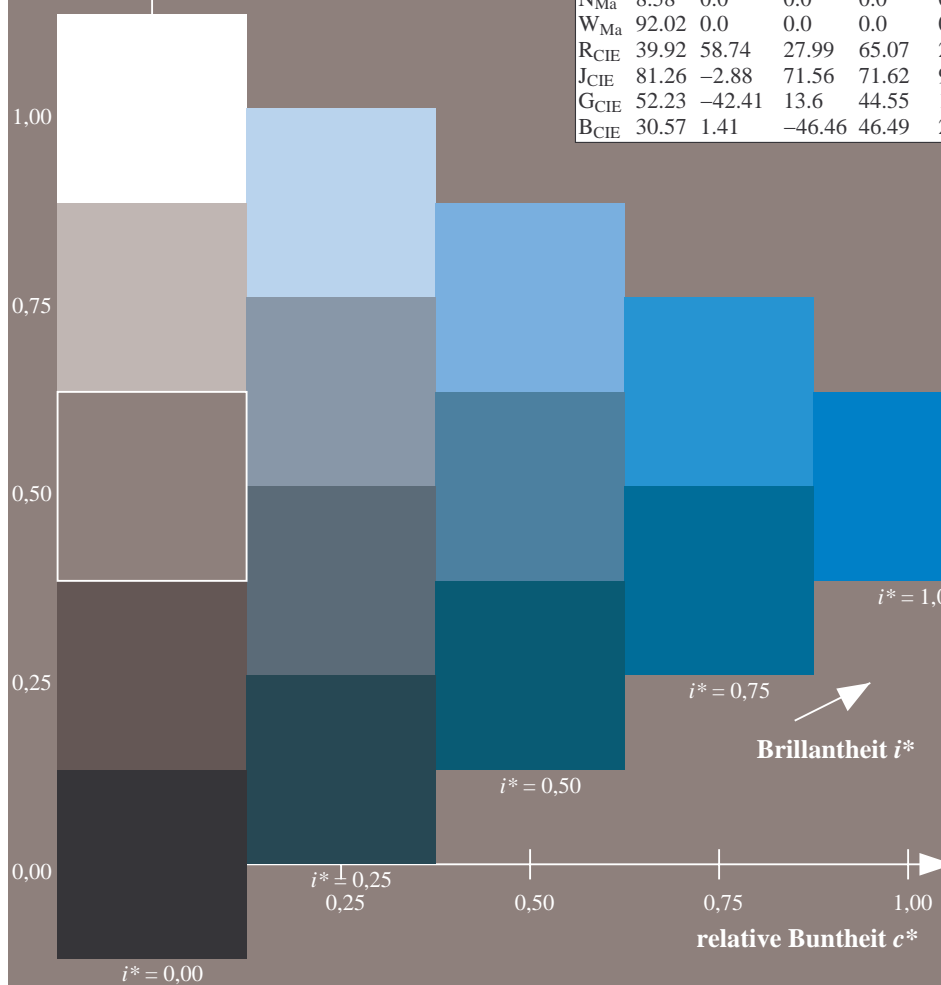
%Regularität

$g^*_{H,rel} = 31$

$g^*_{C,rel} = 40$

FRS09\_92aM; adaptierte CIELAB-Daten

	$L^*=L_a^*$	$a_a^*$	$b_a^*$	$C^*_{ab,a}$	$h^*_{ab,a}$
r00j	35.47	63.32	30.17	70.15	25
r25j	39.12	54.56	49.45	73.64	42
r50j	50.64	39.15	64.89	75.79	59
r75j	64.01	21.26	82.83	85.52	76
j00g	83.18	-4.37	108.53	108.62	92
j25g	66.73	-29.88	83.06	88.28	110
j50g	54.03	-48.3	63.49	79.78	127
j75g	44.73	-60.32	42.64	73.88	145
g00b	47.59	-49.07	15.74	51.54	162
g25b	49.97	-39.69	-6.71	40.27	190
g50b	51.85	-32.32	-24.34	40.48	217
g75b	46.92	-17.28	-36.01	39.96	244
b00r	37.91	1.28	-42.34	42.37	272
b25r	23.81	30.38	-52.25	60.45	300
b50r	29.52	69.06	-42.13	80.9	329
b75r	36.48	71.47	-3.68	71.57	357



Ein und Ausgabe: Farbmetrisches Drucker-Reflektiv-System FRS09\_92aM für relativen CIELAB-Buntton  $h^* = lab^*h^* = h_{ab}/360 = 300/360 = 0.834$   $u^* = b25r$

Daten für jede Farbe:

$lab^*ch^*$  und  $lab^*icu^*$

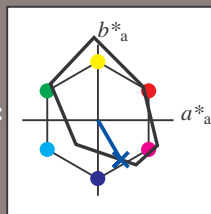
Elementar-Bunttontext:

$u^* = b25r$

Kontrastreduzierungsfaktor:

$c_R = 1.0$

Dreiecks-Helligkeit  $i^*$



FRS09\_92aM; adaptierte CIELAB-Daten

	$L^*=L_a^*$	$a_a^*$	$b_a^*$	$C_{ab,a}^*$	$h_{ab,a}^*$
O <sub>Ma</sub>	35.06	60.0	44.0	74.4	36
Y <sub>Ma</sub>	83.77	-5.16	109.32	109.44	93
L <sub>Ma</sub>	44.13	-62.66	48.24	79.09	142
C <sub>Ma</sub>	52.66	-29.13	-31.98	43.27	228
V <sub>Ma</sub>	14.15	50.3	-59.03	77.57	310
M <sub>Ma</sub>	37.37	78.64	-33.49	85.48	337
N <sub>Ma</sub>	8.58	0.0	0.0	0.0	0
W <sub>Ma</sub>	92.02	0.0	0.0	0.0	0
R <sub>CIE</sub>	39.92	58.74	27.99	65.07	25
J <sub>CIE</sub>	81.26	-2.88	71.56	71.62	92
G <sub>CIE</sub>	52.23	-42.41	13.6	44.55	162
B <sub>CIE</sub>	30.57	1.41	-46.46	46.49	272

Daten für Maximalfarbe (Ma):

$LAB^*LAB^*_{Ma}$ : 24 30 -51

$LAB^*LCH^*_{Ma}$ : 24 60 300

$lab^*rgb^*_{Ma}$ : 0.5 0.0 1.0

$lab^*olv^*_{Ma}$ : 0.0 0.25 1.0

Dreiecks-Helligkeit  $i^*$

%Umfang

$u^*_{rel} = 109$

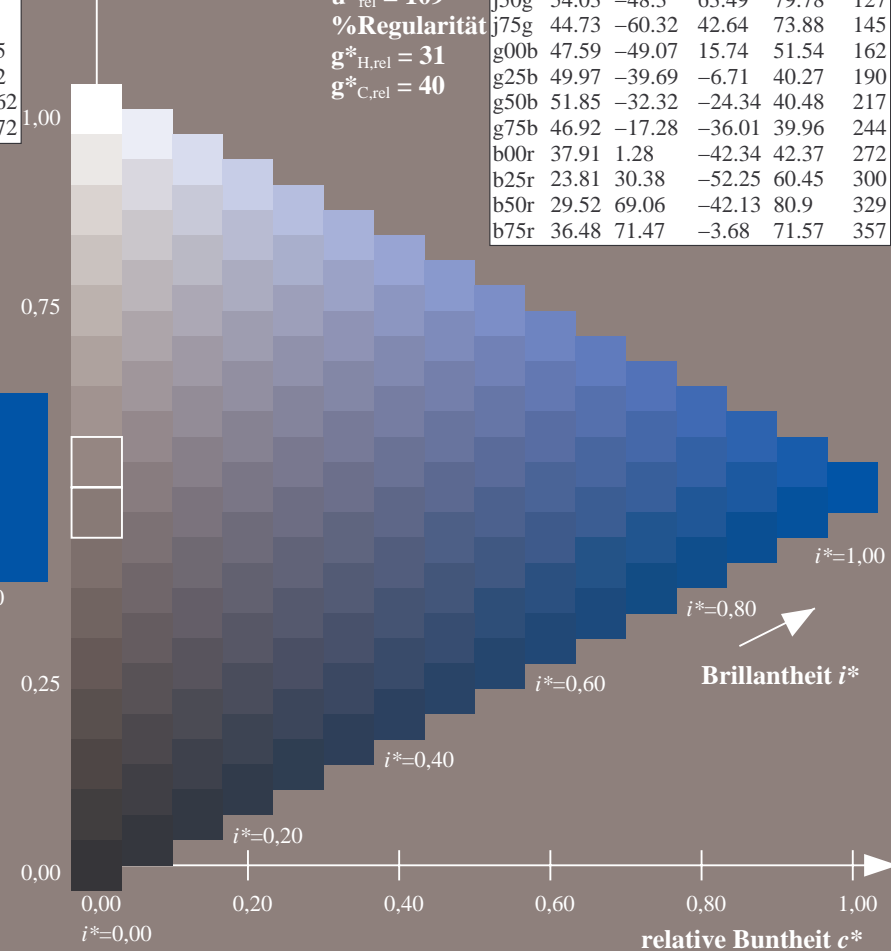
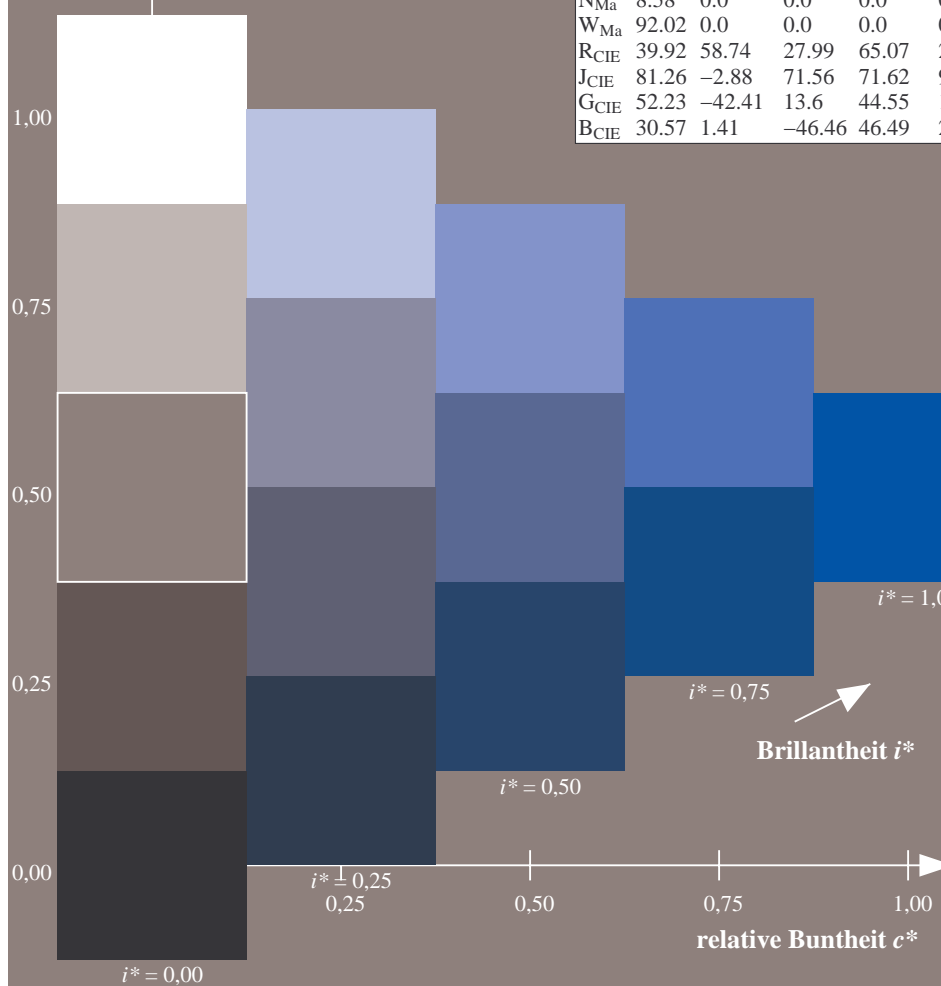
%Regularität

$g^*_{H,rel} = 31$

$g^*_{C,rel} = 40$

FRS09\_92aM; adaptierte CIELAB-Daten

	$L^*=L_a^*$	$a_a^*$	$b_a^*$	$C_{ab,a}^*$	$h_{ab,a}^*$
r00j	35.47	63.32	30.17	70.15	25
r25j	39.12	54.56	49.45	73.64	42
r50j	50.64	39.15	64.89	75.79	59
r75j	64.01	21.26	82.83	85.52	76
j00g	83.18	-4.37	108.53	108.62	92
j25g	66.73	-29.88	83.06	88.28	110
j50g	54.03	-48.3	63.49	79.78	127
j75g	44.73	-60.32	42.64	73.88	145
g00b	47.59	-49.07	15.74	51.54	162
g25b	49.97	-39.69	-6.71	40.27	190
g50b	51.85	-32.32	-24.34	40.48	217
g75b	46.92	-17.28	-36.01	39.96	244
b00r	37.91	1.28	-42.34	42.37	272
b25r	23.81	30.38	-52.25	60.45	300
b50r	29.52	69.06	-42.13	80.9	329
b75r	36.48	71.47	-3.68	71.57	357



Ein und Ausgabe: Farbmetrisches Drucker-Reflektiv-System FRS09\_92aM für relativen CIELAB-Buntton  $h^* = lab^*h^* = h_{ab}/360 = 329/360 = 0.913$   $u^* = b50r$

Daten für jede Farbe:

$lab^*ch^*$  und  $lab^*icu^*$

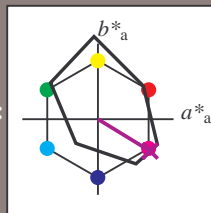
Elementar-Bunttontext:

$u^* = b50r$

Kontrastreduzierungsfaktor:

$c_R = 1.0$

Dreiecks-Helligkeit  $i^*$



FRS09\_92aM; adaptierte CIELAB-Daten

	$L^*=L_a^*$	$a_a^*$	$b_a^*$	$C^*_{ab,a}$	$h^*_{ab,a}$
O <sub>Ma</sub>	35.06	60.0	44.0	74.4	36
Y <sub>Ma</sub>	83.77	-5.16	109.32	109.44	93
L <sub>Ma</sub>	44.13	-62.66	48.24	79.09	142
C <sub>Ma</sub>	52.66	-29.13	-31.98	43.27	228
V <sub>Ma</sub>	14.15	50.3	-59.03	77.57	310
M <sub>Ma</sub>	37.37	78.64	-33.49	85.48	337
N <sub>Ma</sub>	8.58	0.0	0.0	0.0	0
W <sub>Ma</sub>	92.02	0.0	0.0	0.0	0
R <sub>CIE</sub>	39.92	58.74	27.99	65.07	25
J <sub>CIE</sub>	81.26	-2.88	71.56	71.62	92
G <sub>CIE</sub>	52.23	-42.41	13.6	44.55	162
B <sub>CIE</sub>	30.57	1.41	-46.46	46.49	272

Daten für Maximalfarbe (Ma):

$LAB^*LAB^*_{Ma}$ : 30 69 -41

$LAB^*LCH^*_{Ma}$ : 30 81 329

$lab^*rgb^*_{Ma}$ : 1.0 0.0 1.0

$lab^*olv^*_{Ma}$ : 0.66 0.0 1.0

Dreiecks-Helligkeit  $i^*$

%Umfang

$u^*_{rel} = 109$

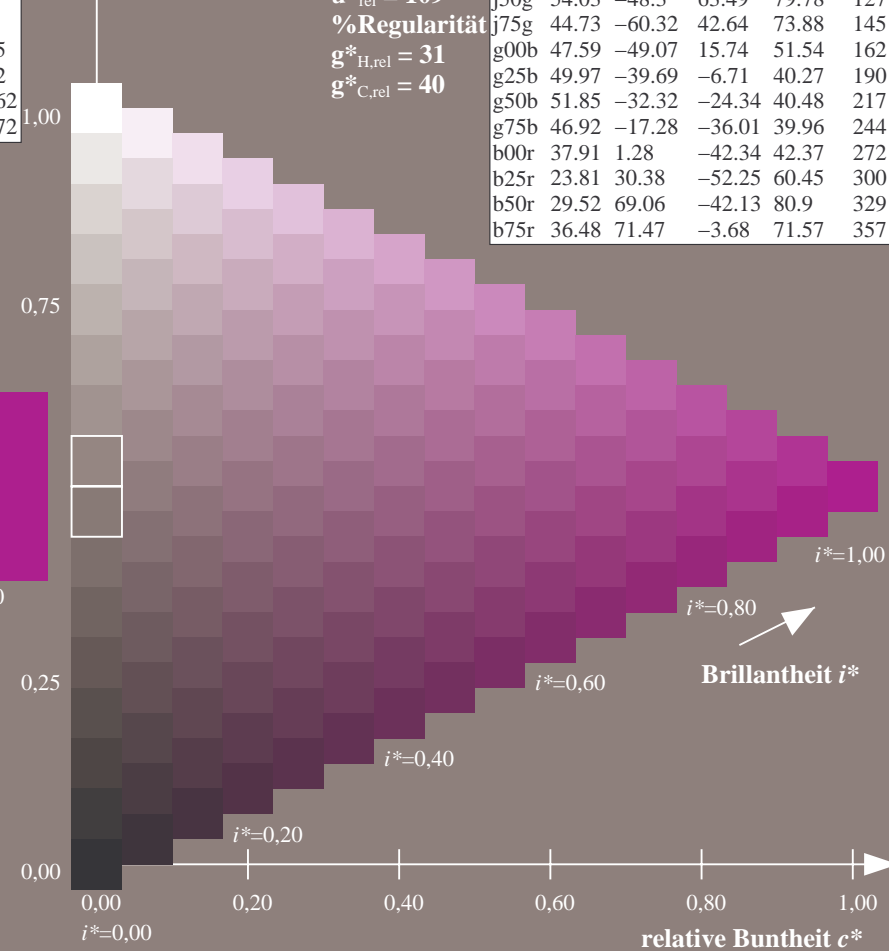
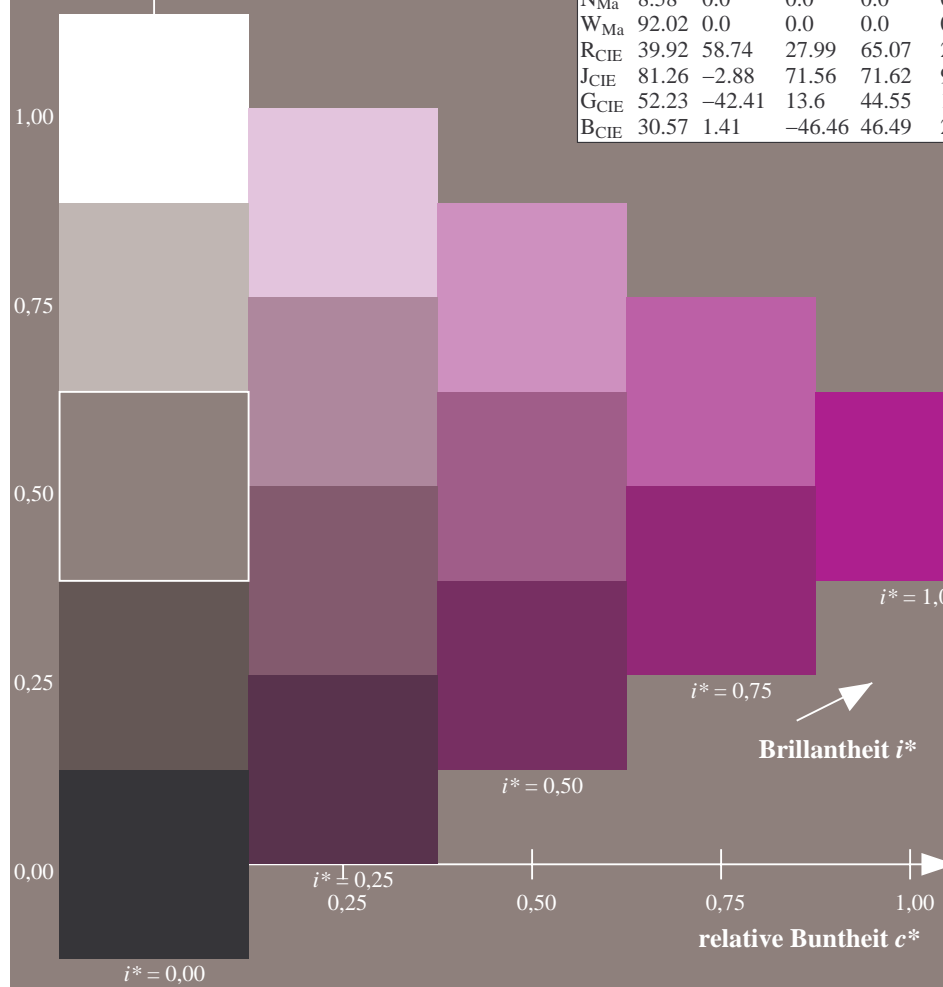
%Regularität

$g^*_{H,rel} = 31$

$g^*_{C,rel} = 40$

FRS09\_92aM; adaptierte CIELAB-Daten

	$L^*=L_a^*$	$a_a^*$	$b_a^*$	$C^*_{ab,a}$	$h^*_{ab,a}$
r00j	35.47	63.32	30.17	70.15	25
r25j	39.12	54.56	49.45	73.64	42
r50j	50.64	39.15	64.89	75.79	59
r75j	64.01	21.26	82.83	85.52	76
j00g	83.18	-4.37	108.53	108.62	92
j25g	66.73	-29.88	83.06	88.28	110
j50g	54.03	-48.3	63.49	79.78	127
j75g	44.73	-60.32	42.64	73.88	145
g00b	47.59	-49.07	15.74	51.54	162
g25b	49.97	-39.69	-6.71	40.27	190
g50b	51.85	-32.32	-24.34	40.48	217
g75b	46.92	-17.28	-36.01	39.96	244
b00r	37.91	1.28	-42.34	42.37	272
b25r	23.81	30.38	-52.25	60.45	300
b50r	29.52	69.06	-42.13	80.9	329
b75r	36.48	71.47	-3.68	71.57	357





Ein und Ausgabe: Farbmetrisches Drucker-Reflektiv-System FRS09\_92aM für relativen CIELAB-Buntton  $h^* = lab^*h^* = h_{ab}/360 = 357/360 = 0.992$   $u^* = b75r$

Daten für jede Farbe:

$lab^*ch^*$  und  $lab^*icu^*$

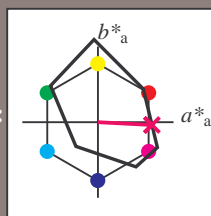
Elementar-Bunttontext:

$u^* = b75r$

Kontrastreduzierungsfaktor:

$c_R = 1.0$

Dreiecks-Helligkeit  $i^*$



FRS09\_92aM; adaptierte CIELAB-Daten

	$L^*=L_a^*$	$a_a^*$	$b_a^*$	$C_{ab,a}^*$	$h_{ab,a}^*$
O <sub>Ma</sub>	35.06	60.0	44.0	74.4	36
Y <sub>Ma</sub>	83.77	-5.16	109.32	109.44	93
L <sub>Ma</sub>	44.13	-62.66	48.24	79.09	142
C <sub>Ma</sub>	52.66	-29.13	-31.98	43.27	228
V <sub>Ma</sub>	14.15	50.3	-59.03	77.57	310
M <sub>Ma</sub>	37.37	78.64	-33.49	85.48	337
N <sub>Ma</sub>	8.58	0.0	0.0	0.0	0
W <sub>Ma</sub>	92.02	0.0	0.0	0.0	0
R <sub>CIE</sub>	39.92	58.74	27.99	65.07	25
J <sub>CIE</sub>	81.26	-2.88	71.56	71.62	92
G <sub>CIE</sub>	52.23	-42.41	13.6	44.55	162
B <sub>CIE</sub>	30.57	1.41	-46.46	46.49	272

Daten für Maximalfarbe (Ma):

$LAB^*LAB^*_{Ma}$ : 36 71 -3

$LAB^*LCH^*_{Ma}$ : 36 72 357

$lab^*rgb^*_{Ma}$ : 1.0 0.0 0.5

$lab^*olv^*_{Ma}$ : 1.0 0.0 0.62

Dreiecks-Helligkeit  $i^*$

%Umfang

$u^*_{rel} = 109$

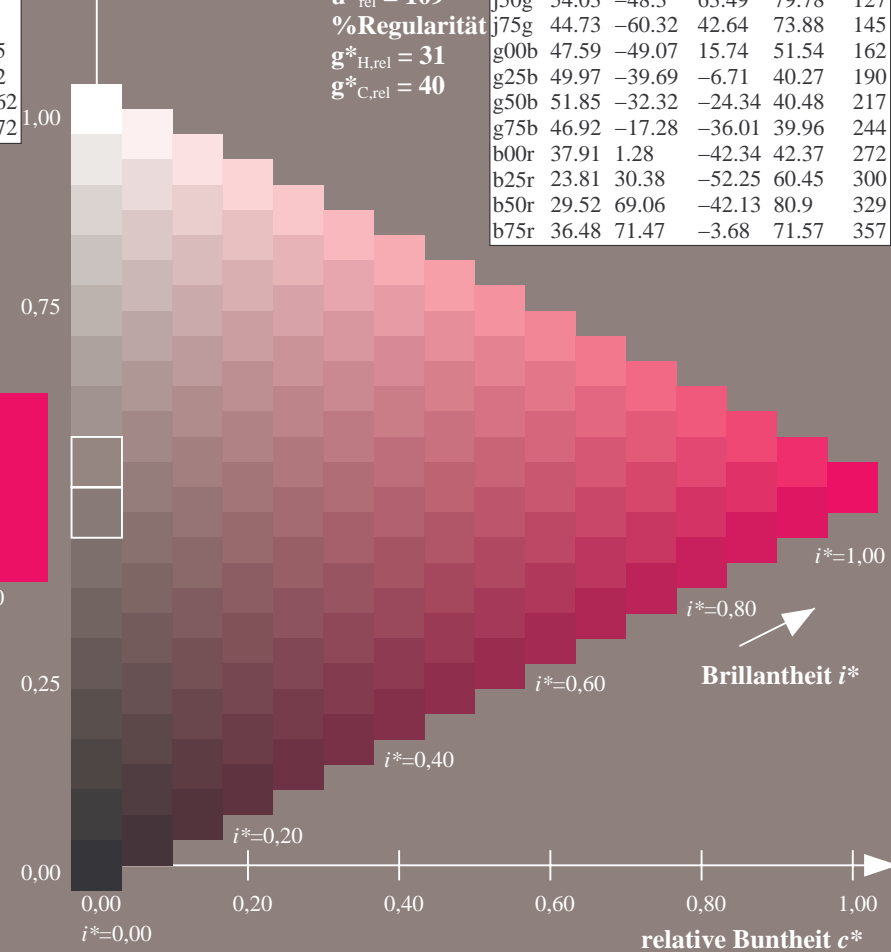
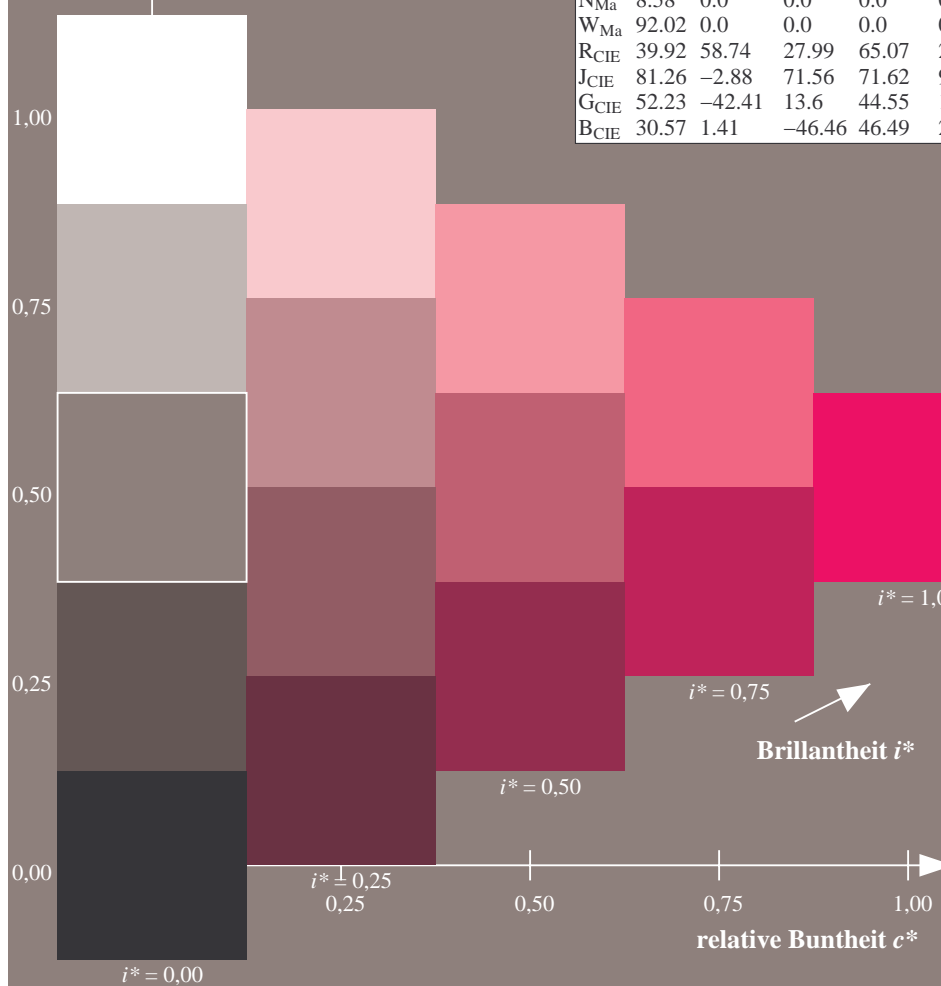
%Regularität

$g^*_{H,rel} = 31$

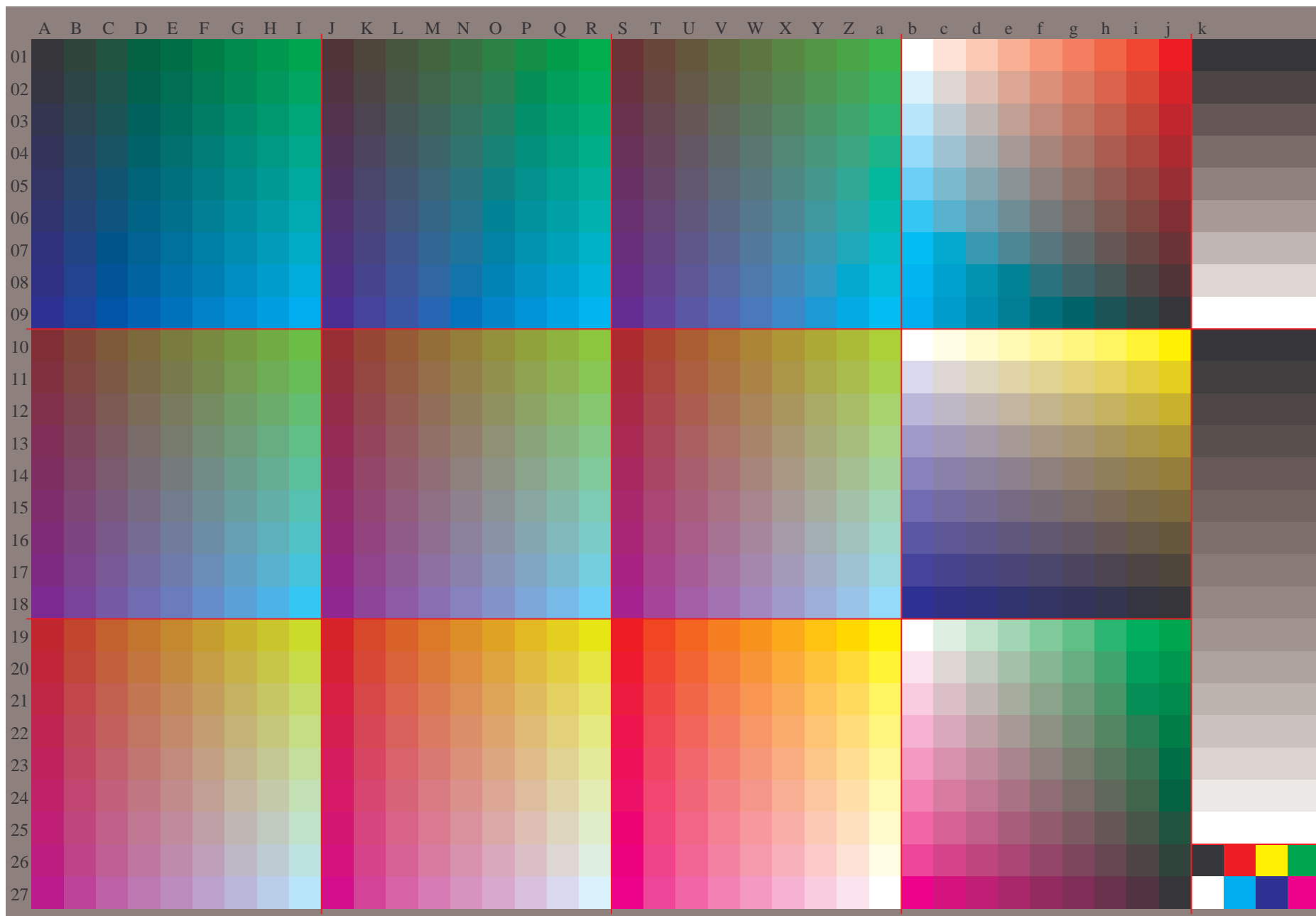
$g^*_{C,rel} = 40$

FRS09\_92aM; adaptierte CIELAB-Daten

	$L^*=L_a^*$	$a_a^*$	$b_a^*$	$C_{ab,a}^*$	$h_{ab,a}^*$
r00j	35.47	63.32	30.17	70.15	25
r25j	39.12	54.56	49.45	73.64	42
r50j	50.64	39.15	64.89	75.79	59
r75j	64.01	21.26	82.83	85.52	76
j00g	83.18	-4.37	108.53	108.62	92
j25g	66.73	-29.88	83.06	88.28	110
j50g	54.03	-48.3	63.49	79.78	127
j75g	44.73	-60.32	42.64	73.88	145
g00b	47.59	-49.07	15.74	51.54	162
g25b	49.97	-39.69	-6.71	40.27	190
g50b	51.85	-32.32	-24.34	40.48	217
g75b	46.92	-17.28	-36.01	39.96	244
b00r	37.91	1.28	-42.34	42.37	272
b25r	23.81	30.38	-52.25	60.45	300
b50r	29.52	69.06	-42.13	80.9	329
b75r	36.48	71.47	-3.68	71.57	357

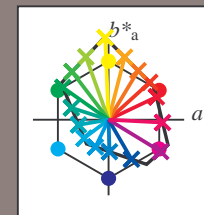


Siehe ähnliche Dateien: <http://www.ps.bam.de/Dg92/>; [www.ps.bam.de/Dg92/](http://www.ps.bam.de/Dg92/Version%202.1%20io%3D1%20ColSp%3D0); [www.ps.bam.de/Dg92/](http://www.ps.bam.de/Dg92/Version%202.1%20io%3D1%20ColSp%3D0)  
Technische Information: [http://www.ps.bam.de/Version 2.1, io=1,1, ColSp=0](http://www.ps.bam.de/Version%202.1%20io%3D1%20ColSp%3D0)



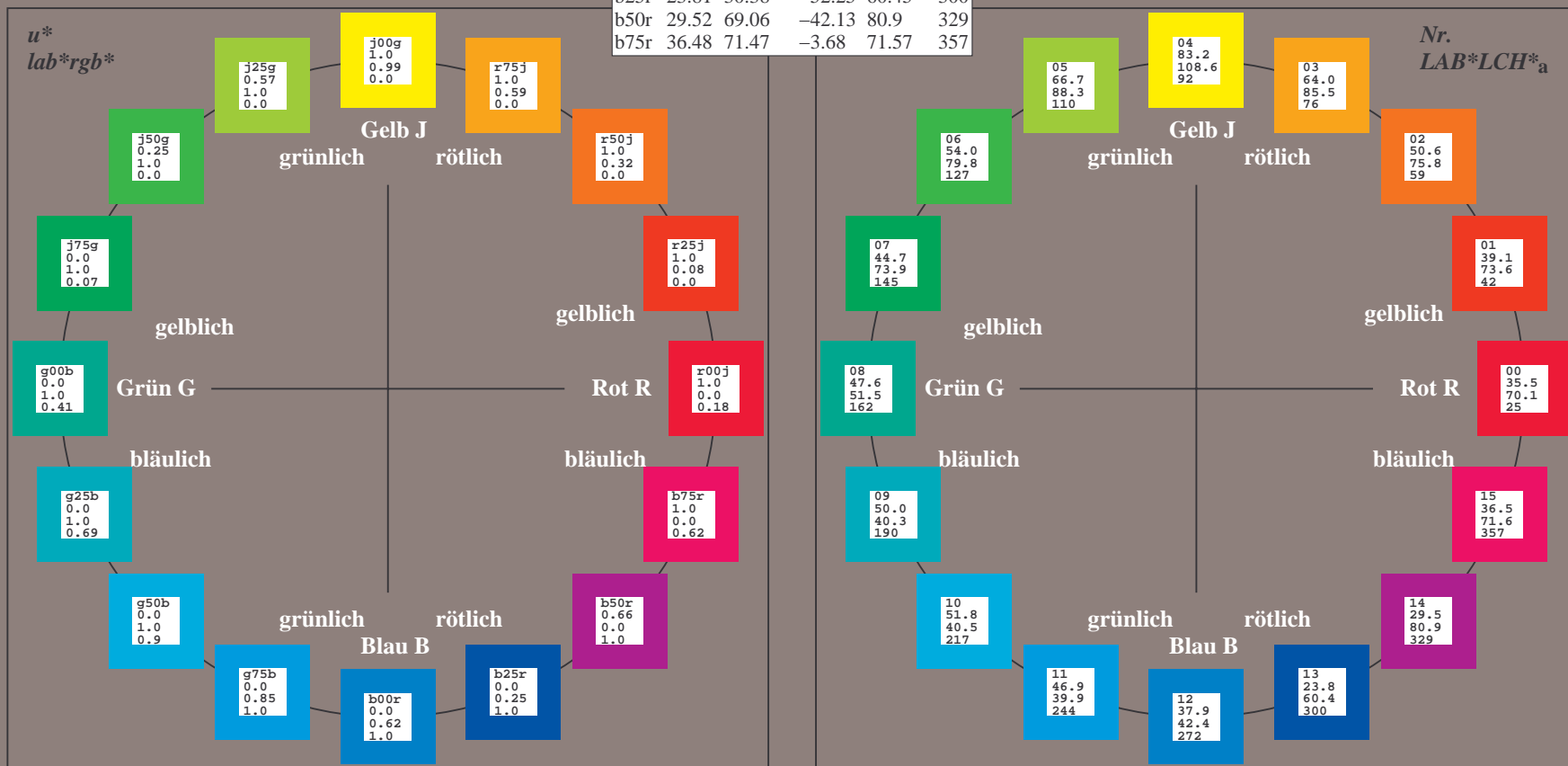
Ein und Ausgabe:  
Farbmetrisches Drucker-Reflektiv-System FRS09\_92aM  
Daten für jede Farbe:  
*lab\*<sub>rgb</sub>\** und *lab\*<sub>icu</sub>\**  
Elementar-Bunttontext:  
*u\* = 16 Buntttöne r00j, r25j, ..., b75r*  
Kontrastreduzierungsfaktor:  
 $c_R = 1.0$

FRS09_92aM; adaptierte CIELAB-Daten					
	$L^*_{ab,a}$	$a^*_{ab,a}$	$b^*_{ab,a}$	$C^*_{ab,a}$	$h^*_{ab,a}$
r00j	35.47	63.32	30.17	70.15	25
r25j	39.12	54.56	49.45	73.64	42
r50j	50.64	39.15	64.89	75.79	59
r75j	64.01	21.26	82.83	85.52	76
j00g	83.18	-4.37	108.53	108.62	92
j25g	66.73	-29.88	83.06	88.28	110
j50g	54.03	-48.3	63.49	79.78	127
j75g	44.73	-60.32	42.64	73.88	145
g00b	47.59	-49.07	15.74	51.54	162
g25b	49.97	-39.69	-6.71	40.27	190
g50b	51.85	-32.32	-24.34	40.48	217
g75b	46.92	-17.28	-36.01	39.96	244
b00r	37.91	1.28	-42.34	42.37	272
b25r	23.81	30.38	-52.25	60.45	300
b50r	29.52	69.06	-42.13	80.9	329
b75r	36.48	71.47	-3.68	71.57	357



%Umfang  
 $u^*_{rel} = 109$   
%Regularität  
 $g^*_{H,rel} = 31$   
 $g^*_{C,rel} = 40$

FRS09_92aM; adaptierte CIELAB-Daten					
	$L^*_{ab,a}$	$a^*_{ab,a}$	$b^*_{ab,a}$	$C^*_{ab,a}$	$h^*_{ab,a}$
OMa	35.06	60.0	44.0	74.4	36
YMa	83.77	-5.16	109.32	109.44	93
LMa	44.13	-62.66	48.24	79.09	142
CMa	52.66	-29.13	-31.98	43.27	228
VMa	14.15	50.3	-59.03	77.57	310
MMa	37.37	78.64	-33.49	85.48	337
NMa	8.58	0.0	0.0	0.0	0
WMa	92.02	0.0	0.0	0.0	0
RCIE	39.92	58.74	27.99	65.07	25
JCIE	81.26	-2.88	71.56	71.62	92
GCIE	52.23	-42.41	13.6	44.55	162
BCIE	30.57	1.41	-46.46	46.49	272



Ein und Ausgabe: Farbmetrisches Drucker-Reflektiv-System FRS09\_92aM für relativen CIELAB-Buntton  $h^* = lab^*h^* = h_{ab}/360 = 25/360 = 0.071$   $u^* = r00j$

Daten für jede Farbe:

$lab^*ch^*$  und  $lab^*icu^*$

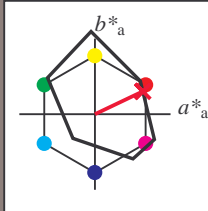
Elementar-Bunttontext:

$u^* = r00j$

Kontrastreduzierungsfaktor:

$c_R = 1.0$

Dreiecks-Helligkeit  $i^*$



FRS09_92aM; adaptierte CIELAB-Daten					
	$L^*=L_a^*$	$a_a^*$	$b_a^*$	$C^*_{ab,a}$	$h^*_{ab,a}$
O <sub>Ma</sub>	35.06	60.0	44.0	74.4	36
Y <sub>Ma</sub>	83.77	-5.16	109.32	109.44	93
L <sub>Ma</sub>	44.13	-62.66	48.24	79.09	142
C <sub>Ma</sub>	52.66	-29.13	-31.98	43.27	228
V <sub>Ma</sub>	14.15	50.3	-59.03	77.57	310
M <sub>Ma</sub>	37.37	78.64	-33.49	85.48	337
N <sub>Ma</sub>	8.58	0.0	0.0	0.0	0
W <sub>Ma</sub>	92.02	0.0	0.0	0.0	0
R <sub>CIE</sub>	39.92	58.74	27.99	65.07	25
J <sub>CIE</sub>	81.26	-2.88	71.56	71.62	92
G <sub>CIE</sub>	52.23	-42.41	13.6	44.55	162
B <sub>CIE</sub>	30.57	1.41	-46.46	46.49	272

Daten für Maximalfarbe (Ma):

$LAB^*LAB^*_{Ma}$ : 35 63 30

$LAB^*LCH^*_{Ma}$ : 35 70 25

$lab^*rgb^*_{Ma}$ : 1.0 0.0 0.0

$lab^*olv^*_{Ma}$ : 1.0 0.0 0.18

Dreiecks-Helligkeit  $i^*$

%Umfang

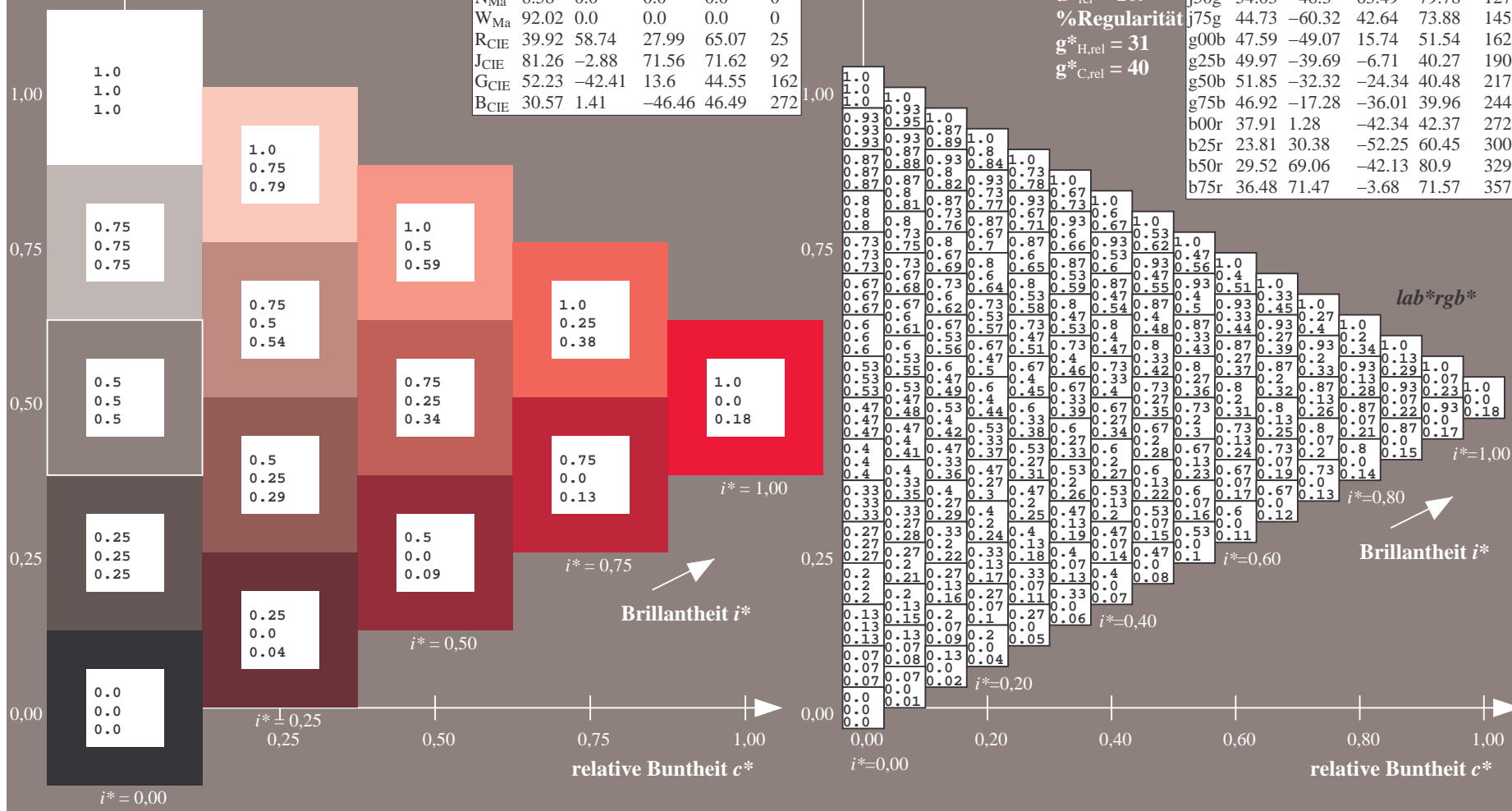
$u^*_{rel} = 109$

%Regularität

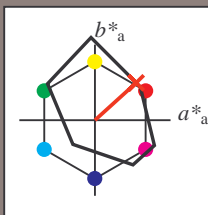
$g^*_{H,rel} = 31$

$g^*_{C,rel} = 40$

FRS09_92aM; adaptierte CIELAB-Daten					
	$L^*=L_a^*$	$a_a^*$	$b_a^*$	$C^*_{ab,a}$	$h^*_{ab,a}$
r00j	35.47	63.32	30.17	70.15	25
r25j	39.12	54.56	49.45	73.64	42
r50j	50.64	39.15	64.89	75.79	59
r75j	64.01	21.26	82.83	85.52	76
j00g	83.18	-4.37	108.53	108.62	92
j25g	66.73	-29.88	83.06	88.28	110
j50g	54.03	-48.3	63.49	79.78	127
j75g	44.73	-60.32	42.64	73.88	145
g00b	47.59	-49.07	15.74	51.54	162
g25b	49.97	-39.69	-6.71	40.27	190
g50b	51.85	-32.32	-24.34	40.48	217
g75b	46.92	-17.28	-36.01	39.96	244
b00r	37.91	1.28	-42.34	42.37	272
b25r	23.81	30.38	-52.25	60.45	300
b50r	29.52	69.06	-42.13	80.9	329
b75r	36.48	71.47	-3.68	71.57	357



Ein und Ausgabe: Farbmetrisches Drucker-Reflektiv-System FRS09\_92aM für relativen CIELAB-Buntton  $h^* = lab^*h^* = h_{ab}/360 = 42/360 = 0.117$   $u^* = r25j$   
Daten für jede Farbe:  
 $lab^*ch^*$  und  $lab^*icu^*$   
Elementar-Bunttontext:  
 $u^* = r25j$   
Kontrastreduzierungsfaktor:  
 $c_R = 1.0$   
Dreiecks-Helligkeit  $t^*$



FRS09_92aM; adaptierte CIELAB-Daten					
	$L^*=L_a^*$	$a_a^*$	$b_a^*$	$C^*_{ab,a}$	$h^*_{ab,a}$
O <sub>Ma</sub>	35.06	60.0	44.0	74.4	36
Y <sub>Ma</sub>	83.77	-5.16	109.32	109.44	93
L <sub>Ma</sub>	44.13	-62.66	48.24	79.09	142
C <sub>Ma</sub>	52.66	-29.13	-31.98	43.27	228
V <sub>Ma</sub>	14.15	50.3	-59.03	77.57	310
M <sub>Ma</sub>	37.37	78.64	-33.49	85.48	337
N <sub>Ma</sub>	8.58	0.0	0.0	0.0	0
W <sub>Ma</sub>	92.02	0.0	0.0	0.0	0
R <sub>CIE</sub>	39.92	58.74	27.99	65.07	25
J <sub>CIE</sub>	81.26	-2.88	71.56	71.62	92
G <sub>CIE</sub>	52.23	-42.41	13.6	44.55	162
B <sub>CIE</sub>	30.57	1.41	-46.46	46.49	272

Daten für Maximalfarbe (Ma):

$LAB^*LAB^*_{Ma}$ : 39 55 49

$LAB^*LCH^*_{Ma}$ : 39 74 42

$lab^*rgb^*_{Ma}$ : 1.0 0.25 0.0

$lab^*olv^*_{Ma}$ : 1.0 0.08 0.0

Dreiecks-Helligkeit  $t^*$

%Umfang

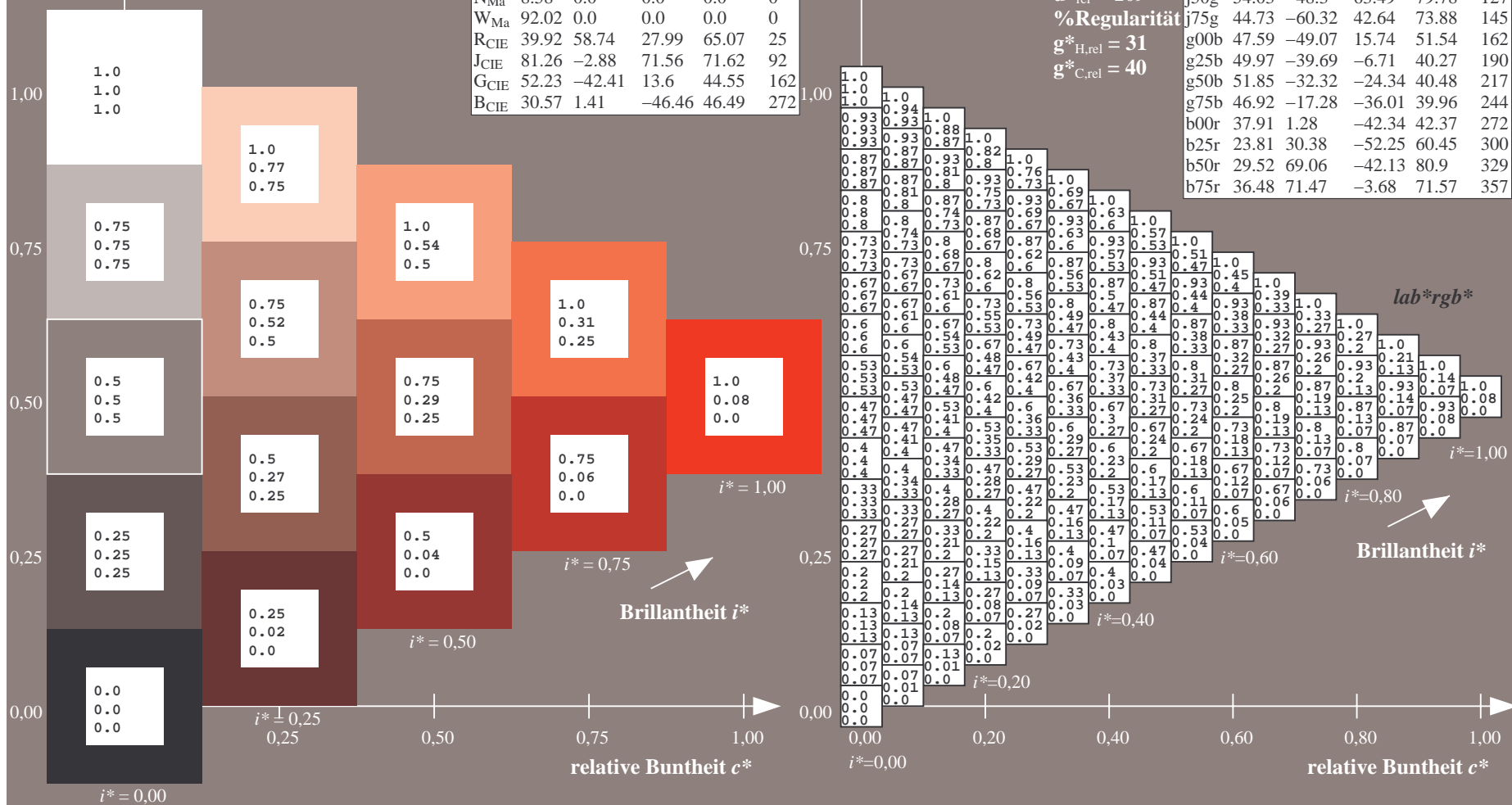
$u^*_{rel} = 109$

%Regularität

$g^*_{H,rel} = 31$

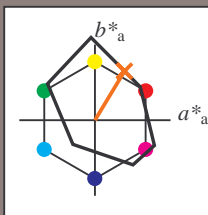
$g^*_{C,rel} = 40$

FRS09_92aM; adaptierte CIELAB-Daten					
	$L^*=L_a^*$	$a_a^*$	$b_a^*$	$C^*_{ab,a}$	$h^*_{ab,a}$
r00j	35.47	63.32	30.17	70.15	25
r25j	39.12	54.56	49.45	73.64	42
r50j	50.64	39.15	64.89	75.79	59
r75j	64.01	21.26	82.83	85.52	76
j00g	83.18	-4.37	108.53	108.62	92
j25g	66.73	-29.88	83.06	88.28	110
j50g	54.03	-48.3	63.49	79.78	127
j75g	44.73	-60.32	42.64	73.88	145
g00b	47.59	-49.07	15.74	51.54	162
g25b	49.97	-39.69	-6.71	40.27	190
g50b	51.85	-32.32	-24.34	40.48	217
g75b	46.92	-17.28	-36.01	39.96	244
b00r	37.91	1.28	-42.34	42.37	272
b25r	23.81	30.38	-52.25	60.45	300
b50r	29.52	69.06	-42.13	80.9	329
b75r	36.48	71.47	-3.68	71.57	357





Ein und Ausgabe: Farbmetrisches Drucker-Reflektiv-System FRS09\_92aM für relativen CIELAB-Buntton  $h^* = lab^*h^* = h_{ab}/360 = 59/360 = 0.164$   $u^* = r50j$   
Daten für jede Farbe:  
 $lab^*ch^*$  und  $lab^*icu^*$   
Elementar-Bunttontext:  
 $u^* = r50j$   
Kontrastreduzierungsfaktor:  
 $c_R = 1.0$   
Dreiecks-Helligkeit  $i^*$



FRS09_92aM; adaptierte CIELAB-Daten					
	$L^*=L^*_a$	$a^*_a$	$b^*_a$	$C^*_{ab,a}$	$h^*_{ab,a}$
O <sub>Ma</sub>	35.06	60.0	44.0	74.4	36
Y <sub>Ma</sub>	83.77	-5.16	109.32	109.44	93
L <sub>Ma</sub>	44.13	-62.66	48.24	79.09	142
C <sub>Ma</sub>	52.66	-29.13	-31.98	43.27	228
V <sub>Ma</sub>	14.15	50.3	-59.03	77.57	310
M <sub>Ma</sub>	37.37	78.64	-33.49	85.48	337
N <sub>Ma</sub>	8.58	0.0	0.0	0.0	0
W <sub>Ma</sub>	92.02	0.0	0.0	0.0	0
R <sub>CIE</sub>	39.92	58.74	27.99	65.07	25
J <sub>CIE</sub>	81.26	-2.88	71.56	71.62	92
G <sub>CIE</sub>	52.23	-42.41	13.6	44.55	162
B <sub>CIE</sub>	30.57	1.41	-46.46	46.49	272

Daten für Maximalfarbe (Ma):

$LAB^*LAB^*_{Ma}$ : 51 39 65

$LAB^*LCH^*_{Ma}$ : 51 76 59

$lab^*rgb^*_{Ma}$ : 1.0 0.5 0.0

$lab^*olv^*_{Ma}$ : 1.0 0.32 0.0

Dreiecks-Helligkeit  $i^*$

%Umfang

$u^*_{rel} = 109$

%Regularität

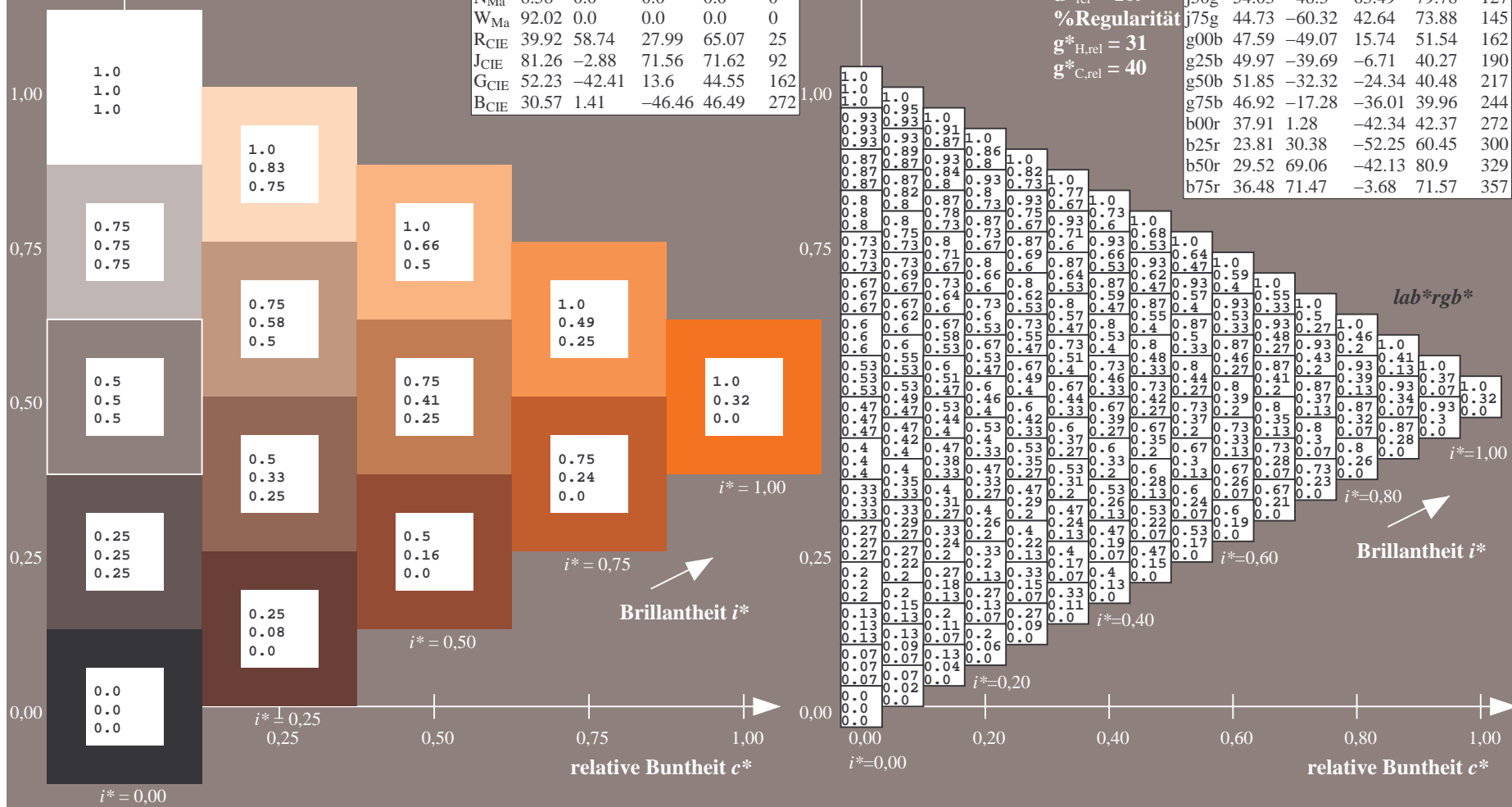
$g^*_{H,rel} = 31$

$g^*_{C,rel} = 40$

FRS09_92aM; adaptierte CIELAB-Daten					
	$L^*=L^*_a$	$a^*_a$	$b^*_a$	$C^*_{ab,a}$	$h^*_{ab,a}$
r00j	35.47	63.32	30.17	70.15	25
r25j	39.12	54.56	49.45	73.64	42
r50j	50.64	39.15	64.89	75.79	59
r75j	64.01	21.26	82.83	85.52	76
j00g	83.18	-4.37	108.53	108.62	92
j25g	66.73	-29.88	83.06	88.28	110
j50g	54.03	-48.3	63.49	79.78	127
j75g	44.73	-60.32	42.64	73.88	145
g00b	47.59	-49.07	15.74	51.54	162
g25b	49.97	-39.69	-6.71	40.27	190
g50b	51.85	-32.32	-24.34	40.48	217
g75b	46.92	-17.28	-36.01	39.96	244
b00r	37.91	1.28	-42.34	42.37	272
b25r	23.81	30.38	-52.25	60.45	300
b50r	29.52	69.06	-42.13	80.9	329
b75r	36.48	71.47	-3.68	71.57	357

Siehe ähnliche Dateien: <http://www.ps.bam.de/Dg92/>; [www.ps.bam.de/Dg92/10L/L92G00NA.PS/.TXT](http://www.ps.bam.de/Dg92/10L/L92G00NA.PS/.TXT)  
Technische Information: <http://www.ps.bam.de> Version 2.1, io=1,1, ColSpx=0

BAM-Registrierung: 20080701-Dg92/10L/L92G00NA.PS/.TXTBAM-Material: Code=rh4ta  
Anwendung für Beurteilung und Messung von Drucker- oder Monitorsystemen





Ein und Ausgabe: Farbmetrisches Drucker-Reflektiv-System FRS09\_92aM für relativen CIELAB-Buntton  $h^* = lab^*h^* = h_{ab}/360 = 76/360 = 0.21$   $u^* = r75j$   $lab^*rgb^*$

Daten für jede Farbe:

$lab^*ch^*$  und  $lab^*icu^*$

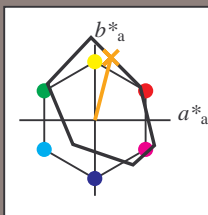
Elementar-Bunttontext:

$u^* = r75j$

Kontrastreduzierungsfaktor:

$c_R = 1.0$

Dreiecks-Helligkeit  $t^*$



FRS09\_92aM; adaptierte CIELAB-Daten

	$L^*=L_a^*$	$a_a^*$	$b_a^*$	$C^*_{ab,a}$	$h^*_{ab,a}$
O <sub>Ma</sub>	35.06	60.0	44.0	74.4	36
Y <sub>Ma</sub>	83.77	-5.16	109.32	109.44	93
L <sub>Ma</sub>	44.13	-62.66	48.24	79.09	142
C <sub>Ma</sub>	52.66	-29.13	-31.98	43.27	228
V <sub>Ma</sub>	14.15	50.3	-59.03	77.57	310
M <sub>Ma</sub>	37.37	78.64	-33.49	85.48	337
N <sub>Ma</sub>	8.58	0.0	0.0	0.0	0
W <sub>Ma</sub>	92.02	0.0	0.0	0.0	0
R <sub>CIE</sub>	39.92	58.74	27.99	65.07	25
J <sub>CIE</sub>	81.26	-2.88	71.56	71.62	92
G <sub>CIE</sub>	52.23	-42.41	13.6	44.55	162
B <sub>CIE</sub>	30.57	1.41	-46.46	46.49	272

Daten für Maximalfarbe (Ma):

$LAB^*LAB^*_{Ma}$ : 64 21 83

$LAB^*LCH^*_{Ma}$ : 64 86 76

$lab^*rgb^*_{Ma}$ : 1.0 0.75 0.0

$lab^*olv^*_{Ma}$ : 1.0 0.59 0.0

Dreiecks-Helligkeit  $t^*$

%Umfang

$u^*_{rel} = 109$

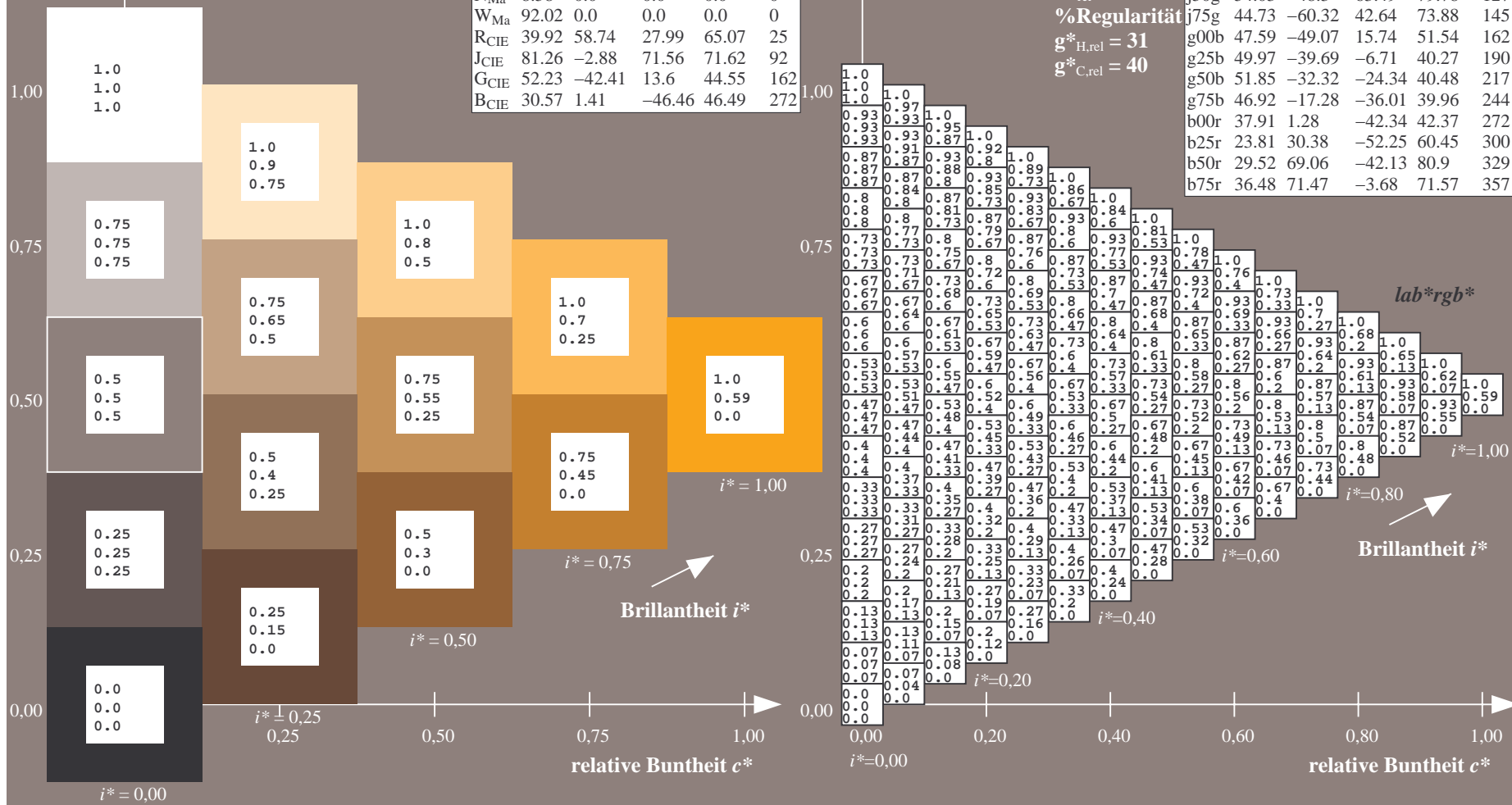
%Regularität

$g^*_{H,rel} = 31$

$g^*_{C,rel} = 40$

FRS09\_92aM; adaptierte CIELAB-Daten

	$L^*=L_a^*$	$a_a^*$	$b_a^*$	$C^*_{ab,a}$	$h^*_{ab,a}$
r00j	35.47	63.32	30.17	70.15	25
r25j	39.12	54.56	49.45	73.64	42
r50j	50.64	39.15	64.89	75.79	59
r75j	64.01	21.26	82.83	85.52	76
j00g	83.18	-4.37	108.53	108.62	92
j25g	66.73	-29.88	83.06	88.28	110
j50g	54.03	-48.3	63.49	79.78	127
j75g	44.73	-60.32	42.64	73.88	145
g00b	47.59	-49.07	15.74	51.54	162
g25b	49.97	-39.69	-6.71	40.27	190
g50b	51.85	-32.32	-24.34	40.48	217
g75b	46.92	-17.28	-36.01	39.96	244
b00r	37.91	1.28	-42.34	42.37	272
b25r	23.81	30.38	-52.25	60.45	300
b50r	29.52	69.06	-42.13	80.9	329
b75r	36.48	71.47	-3.68	71.57	357

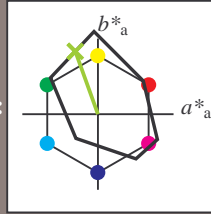


100



Siehe ähnliche Dateien: <http://www.ps.bam.de/Dg92/>; [www.ps.bam.de/Dg.HTM](http://www.ps.bam.de/Dg.HTM)  
Technische Information: <http://www.ps.bam.de> Version 2.1, io=1, ColSp=0

Ein und Ausgabe: Farbm  
Daten für jede Farbe:  
*lab\*<sub>tch</sub>*\* und *lab\*<sub>icu</sub>*\*  
Elementar-Buntpontext:  
*u\** = *j25g*  
Kontrastreduzierungsfa  
*c<sub>R</sub>* = 1.0  
Dreiecks-Helligkeit *t\**



FRS09_92aM; adaptierte CIELAB-Daten					
	$L^*_a$	$a^*_a$	$b^*_a$	$C^*_{ab,a}$	$h^*_{ab,a}$
O <sub>Ma</sub>	35.06	60.0	44.0	74.4	36
Y <sub>Ma</sub>	83.77	-5.16	109.32	109.44	93
L <sub>Ma</sub>	44.13	-62.66	48.24	79.09	142
C <sub>Ma</sub>	52.66	-29.13	-31.98	43.27	228
V <sub>Ma</sub>	14.15	50.3	-59.03	77.57	310
M <sub>Ma</sub>	37.37	78.64	-33.49	85.48	337
N <sub>Ma</sub>	8.58	0.0	0.0	0.0	0
W <sub>Ma</sub>	92.02	0.0	0.0	0.0	0
R <sub>CIE</sub>	39.92	58.74	27.99	65.07	25
J <sub>CIE</sub>	81.26	-2.88	71.56	71.62	92
G <sub>CIE</sub>	52.23	-42.41	13.6	44.55	162
B <sub>CIE</sub>	30.57	1.41	-46.46	46.49	272

### Daten für Maximalfarbe (Ma):

**LAB\*LAB\*<sub>Ma</sub>: 67 -29 83**

***LAB\*LCH\**<sub>Ma</sub>: 67 88 110**

*lab\*rgb*<sub>Ma</sub>: 0.75 1.0 0.0

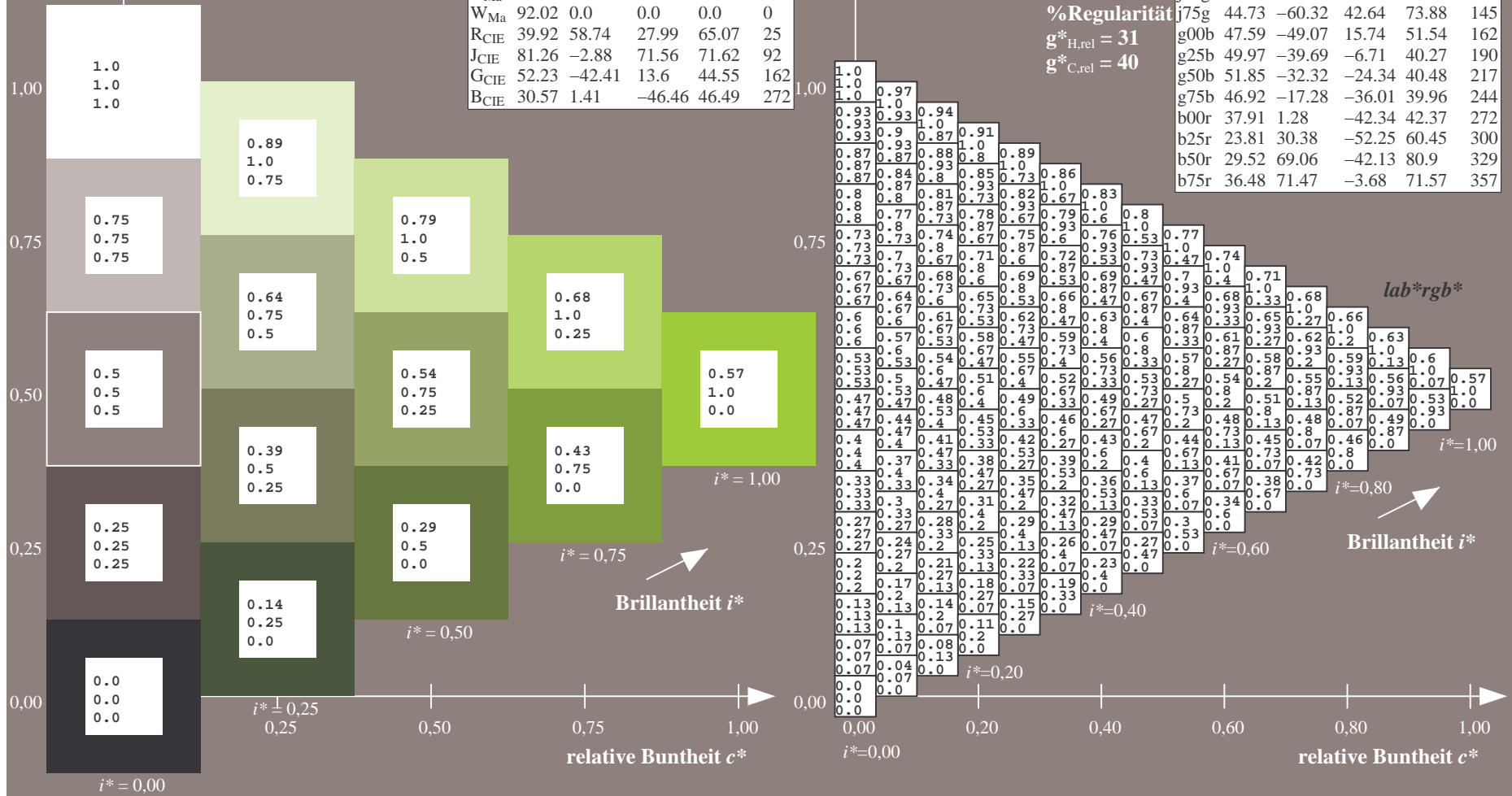
*lab\*olv\**<sub>Ma</sub>: 0.57 1.0 0.0

## Dreiecks-Helligkeit $t^*$

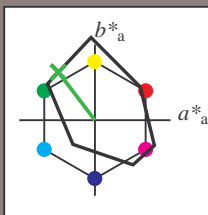
## %Umfang

$$\mathbf{u}_{\text{rel}}^* = 109$$
 $\sigma^* = 31$ 
$$g_{\text{C,rel}}^* = 40$$


FRS09_92aM; adaptierte CIELAB-Daten						
	$L^*_a$	$a^*_a$	$b^*_a$	$C^*_{ab,a}$	$h^*_{ab,a}$	
r00j	35.47	63.32	30.17	70.15	25	
r25j	39.12	54.56	49.45	73.64	42	
r50j	50.64	39.15	64.89	75.79	59	
r75j	64.01	21.26	82.83	85.52	76	
j00g	83.18	-4.37	108.53	108.62	92	
j25g	66.73	-29.88	83.06	88.28	110	
j50g	54.03	-48.3	63.49	79.78	127	
j75g	44.73	-60.32	42.64	73.88	145	
g00b	47.59	-49.07	15.74	51.54	162	
g25b	49.97	-39.69	-6.71	40.27	190	
g50b	51.85	-32.32	-24.34	40.48	217	
g75b	46.92	-17.28	-36.01	39.96	244	
b00r	37.91	1.28	-42.34	42.37	272	
b25r	23.81	30.38	-52.25	60.45	300	
b50r	29.52	69.06	-42.13	80.9	329	
b75r	36.48	71.47	-3.68	71.57	357	



Ein und Ausgabe: Farbmetrisches Drucker-Reflektiv-System FRS09\_92aM für relativen CIELAB-Buntton  $h^* = lab^*h^* = h_{ab}/360 = 127/360 = 0.354$   $u^* = j50g$   
Daten für jede Farbe:  
 $lab^*ch^*$  und  $lab^*icu^*$   
Elementar-Bunttontext:  
 $u^* = j50g$   
Kontrastreduzierungsfaktor:  
 $c_R = 1.0$   
Dreiecks-Helligkeit  $t^*$



FRS09_92aM; adaptierte CIELAB-Daten					
	$L^*=L^*_a$	$a^*_a$	$b^*_a$	$C^*_{ab,a}$	$h^*_{ab,a}$
O <sub>Ma</sub>	35.06	60.0	44.0	74.4	36
Y <sub>Ma</sub>	83.77	-5.16	109.32	109.44	93
L <sub>Ma</sub>	44.13	-62.66	48.24	79.09	142
C <sub>Ma</sub>	52.66	-29.13	-31.98	43.27	228
V <sub>Ma</sub>	14.15	50.3	-59.03	77.57	310
M <sub>Ma</sub>	37.37	78.64	-33.49	85.48	337
N <sub>Ma</sub>	8.58	0.0	0.0	0.0	0
W <sub>Ma</sub>	92.02	0.0	0.0	0.0	0
R <sub>CIE</sub>	39.92	58.74	27.99	65.07	25
J <sub>CIE</sub>	81.26	-2.88	71.56	71.62	92
G <sub>CIE</sub>	52.23	-42.41	13.6	44.55	162
B <sub>CIE</sub>	30.57	1.41	-46.46	46.49	272

Daten für Maximalfarbe (Ma):

$LAB^*LAB^*_{Ma}$ : 54 -47 63

$LAB^*LCH^*_{Ma}$ : 54 80 127

$lab^*rgb^*_{Ma}$ : 0.5 1.0 0.0

$lab^*olv^*_{Ma}$ : 0.25 1.0 0.0

Dreiecks-Helligkeit  $t^*$

%Umfang

$u^*_{rel} = 109$

%Regularität

$g^*_{H,rel} = 31$

$g^*_{C,rel} = 40$

FRS09_92aM; adaptierte CIELAB-Daten					
	$L^*=L^*_a$	$a^*_a$	$b^*_a$	$C^*_{ab,a}$	$h^*_{ab,a}$
r00j	35.47	63.32	30.17	70.15	25
r25j	39.12	54.56	49.45	73.64	42
r50j	50.64	39.15	64.89	75.79	59
r75j	64.01	21.26	82.83	85.52	76
j00g	83.18	-4.37	108.53	108.62	92
j25g	66.73	-29.88	83.06	88.28	110
j50g	54.03	-48.3	63.49	79.78	127
j75g	44.73	-60.32	42.64	73.88	145
g00b	47.59	-49.07	15.74	51.54	162
g25b	49.97	-39.69	-6.71	40.27	190
g50b	51.85	-32.32	-24.34	40.48	217
g75b	46.92	-17.28	-36.01	39.96	244
b00r	37.91	1.28	-42.34	42.37	272
b25r	23.81	30.38	-52.25	60.45	300
b50r	29.52	69.06	-42.13	80.9	329
b75r	36.48	71.47	-3.68	71.57	357

FRS09_92aM; adaptierte CIELAB-Daten					
	$L^*=L^*_a$	$a^*_a$	$b^*_a$	$C^*_{ab,a}$	$h^*_{ab,a}$
r00j	35.47	63.32	30.17	70.15	25
r25j	39.12	54.56	49.45	73.64	42
r50j	50.64	39.15	64.89	75.79	59
r75j	64.01	21.26	82.83	85.52	76
j00g	83.18	-4.37	108.53	108.62	92
j25g	66.73	-29.88	83.06	88.28	110
j50g	54.03	-48.3	63.49	79.78	127
j75g	44.73	-60.32	42.64	73.88	145
g00b	47.59	-49.07	15.74	51.54	162
g25b	49.97	-39.69	-6.71	40.27	190
g50b	51.85	-32.32	-24.34	40.48	217
g75b	46.92	-17.28	-36.01	39.96	244
b00r	37.91	1.28	-42.34	42.37	272
b25r	23.81	30.38	-52.25	60.45	300
b50r	29.52	69.06	-42.13	80.9	329
b75r	36.48	71.47	-3.68	71.57	357

$lab^*rgb^*$

$i^* = 1.00$

Brillantheit  $i^*$

$i^* = 0.80$

$i^* = 0.60$

$i^* = 0.40$

$i^* = 0.20$

$i^* = 0.00$



▲



relative Buntheit  $c^*$

0,60 0,80 1,00

/ www set...  
mykcolor

v

BAM-Registrierung: 20080701-Dg92/10L/L92G00NA.PS/ .TXTBAM-Material: Code=thata - Anwendung für Beurteilung und Messung von Drucker- oder Monitorsystemen

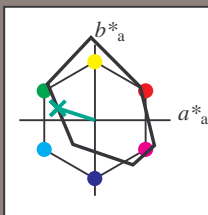
BAM-Prüfvorlage Dg92; Farbmatrik-Systeme, Seite 45/180  
Farbreihen, 8 Datentabellen für 16 Bunttöne *r00j* bis *b75r*

Eingabe: 000n / w / nnn0 / www set...  
Ausgabe: ->cmyn5\* setcmykcolor

Siehe ähnliche Dateien: <http://www.ps.bam.de/Dg92/>; [www.ps.bam.de/Dg.HTM](http://www.ps.bam.de/Dg.HTM)  
Technische Information: <http://www.ps.bam.de> Version 2.1, io=1,1, ColSpx=0

## Brillantheit $i^*$

Ein und Ausgabe: Farbmetrisches Drucker-Reflektiv-System FRS09\_92aM für relativen CIELAB-Buntton  $h^* = lab^*h^* = h_{ab}/360 = 162/360 = 0.451$   $u^* = g00b$   
Daten für jede Farbe:  
 $lab^*ch^*$  und  $lab^*icu^*$   
Elementar-Bunttontext:  
 $u^* = g00b$   
Kontrastreduzierungsfaktor:  
 $c_R = 1.0$   
Dreiecks-Helligkeit  $i^*$



FRS09_92aM; adaptierte CIELAB-Daten					
	$L^*=L^*_a$	$a^*_a$	$b^*_a$	$C^*_{ab,a}$	$h^*_{ab,a}$
O <sub>Ma</sub>	35.06	60.0	44.0	74.4	36
Y <sub>Ma</sub>	83.77	-5.16	109.32	109.44	93
L <sub>Ma</sub>	44.13	-62.66	48.24	79.09	142
C <sub>Ma</sub>	52.66	-29.13	-31.98	43.27	228
V <sub>Ma</sub>	14.15	50.3	-59.03	77.57	310
M <sub>Ma</sub>	37.37	78.64	-33.49	85.48	337
N <sub>Ma</sub>	8.58	0.0	0.0	0.0	0
W <sub>Ma</sub>	92.02	0.0	0.0	0.0	0
R <sub>CIE</sub>	39.92	58.74	27.99	65.07	25
J <sub>CIE</sub>	81.26	-2.88	71.56	71.62	92
G <sub>CIE</sub>	52.23	-42.41	13.6	44.55	162
B <sub>CIE</sub>	30.57	1.41	-46.46	46.49	272

Daten für Maximalfarbe (Ma):

$LAB^*LAB^*_{Ma}$ : 48 -48 16

$LAB^*LCH^*_{Ma}$ : 48 52 162

$lab^*rgb^*_{Ma}$ : 0.0 1.0 0.0

$lab^*olv^*_{Ma}$ : 0.0 1.0 0.41

Dreiecks-Helligkeit  $i^*$

%Umfang

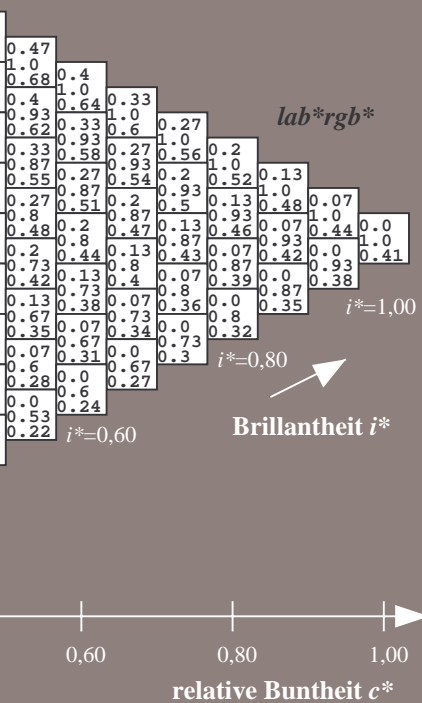
$u^*_{rel} = 109$

%Regularität

$g^*_{H,rel} = 31$

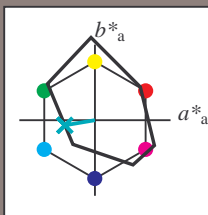
$g^*_{C,rel} = 40$

FRS09_92aM; adaptierte CIELAB-Daten					
	$L^*=L^*_a$	$a^*_a$	$b^*_a$	$C^*_{ab,a}$	$h^*_{ab,a}$
r00j	35.47	63.32	30.17	70.15	25
r25j	39.12	54.56	49.45	73.64	42
r50j	50.64	39.15	64.89	75.79	59
r75j	64.01	21.26	82.83	85.52	76
j00g	83.18	-4.37	108.53	108.62	92
j25g	66.73	-29.88	83.06	88.28	110
j50g	54.03	-48.3	63.49	79.78	127
j75g	44.73	-60.32	42.64	73.88	145
g00b	47.59	-49.07	15.74	51.54	162
g25b	49.97	-39.69	-6.71	40.27	190
g50b	51.85	-32.32	-24.34	40.48	217
g75b	46.92	-17.28	-36.01	39.96	244
b00r	37.91	1.28	-42.34	42.37	272
b25r	23.81	30.38	-52.25	60.45	300
b50r	29.52	69.06	-42.13	80.9	329
b75r	36.48	71.47	-3.68	71.57	357





Ein und Ausgabe: Farbmetrisches Drucker-Reflektiv-System FRS09\_92aM für relativen CIELAB-Buntton  $h^* = lab^*h^* = h_{ab}/360 = 190/360 = 0.527$   $u^* = g25b$   
Daten für jede Farbe:  
 $lab^*ch^*$  und  $lab^*icu^*$   
Elementar-Bunttontext:  
 $u^* = g25b$   
Kontrastreduzierungsfaktor:  
 $c_R = 1.0$   
Dreiecks-Helligkeit  $i^*$



FRS09_92aM; adaptierte CIELAB-Daten					
	$L^*=L^*_a$	$a^*_a$	$b^*_a$	$C^*_{ab,a}$	$h^*_{ab,a}$
O <sub>Ma</sub>	35.06	60.0	44.0	74.4	36
Y <sub>Ma</sub>	83.77	-5.16	109.32	109.44	93
L <sub>Ma</sub>	44.13	-62.66	48.24	79.09	142
C <sub>Ma</sub>	52.66	-29.13	-31.98	43.27	228
V <sub>Ma</sub>	14.15	50.3	-59.03	77.57	310
M <sub>Ma</sub>	37.37	78.64	-33.49	85.48	337
N <sub>Ma</sub>	8.58	0.0	0.0	0.0	0
W <sub>Ma</sub>	92.02	0.0	0.0	0.0	0
R <sub>CIE</sub>	39.92	58.74	27.99	65.07	25
J <sub>CIE</sub>	81.26	-2.88	71.56	71.62	92
G <sub>CIE</sub>	52.23	-42.41	13.6	44.55	162
B <sub>CIE</sub>	30.57	1.41	-46.46	46.49	272

Daten für Maximalfarbe (Ma):

$LAB^*LAB^*_{Ma}$ : 50 -39 -6

$LAB^*LCH^*_{Ma}$ : 50 40 190

$lab^*rgb^*_{Ma}$ : 0.0 1.0 0.5

$lab^*olv^*_{Ma}$ : 0.0 1.0 0.69

Dreiecks-Helligkeit  $i^*$

%Umfang

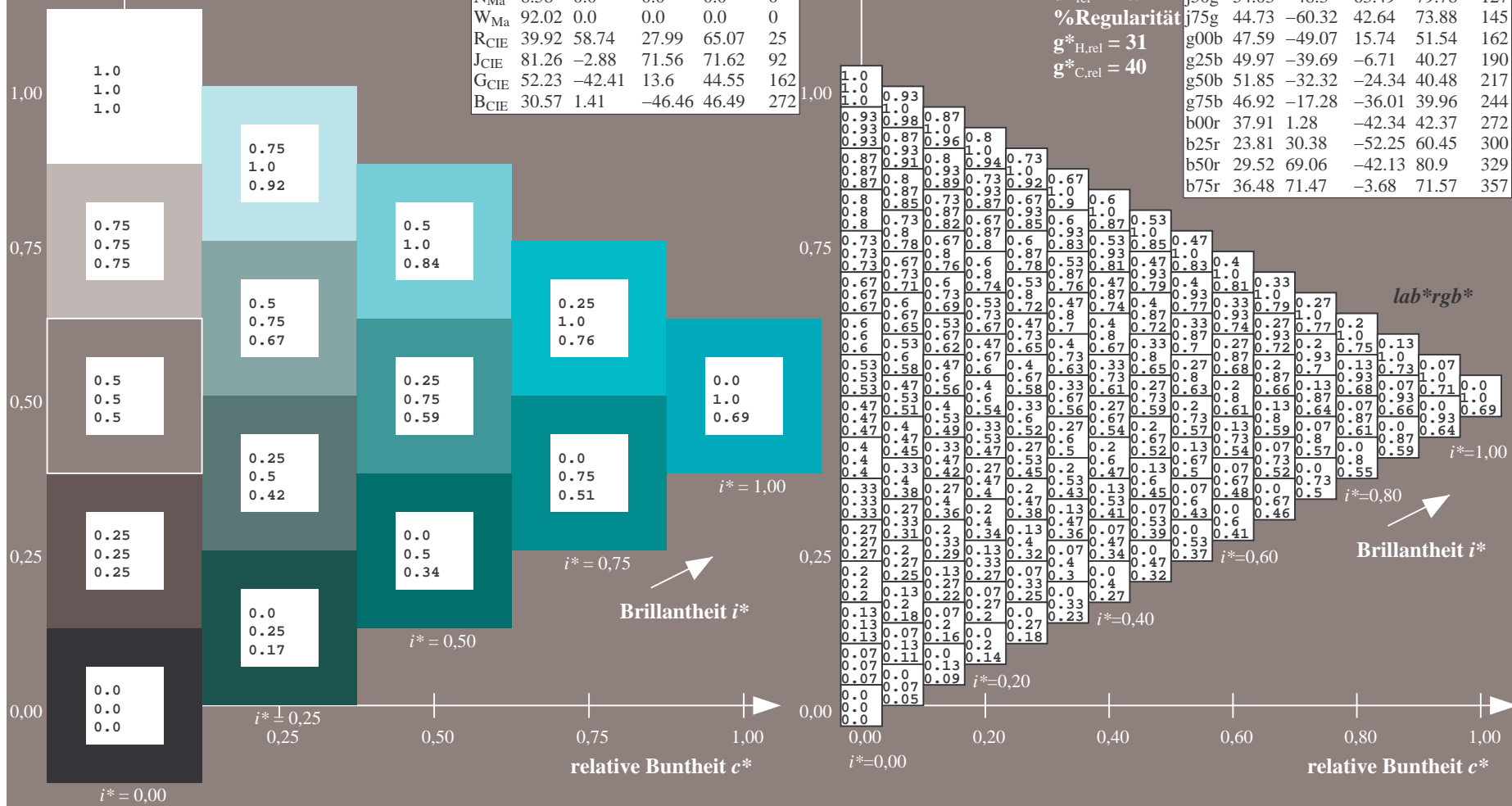
$u^*_{rel} = 109$

%Regularität

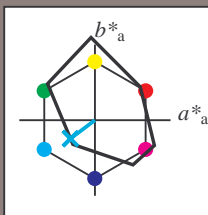
$g^*_{H,rel} = 31$

$g^*_{C,rel} = 40$

FRS09_92aM; adaptierte CIELAB-Daten					
	$L^*=L^*_a$	$a^*_a$	$b^*_a$	$C^*_{ab,a}$	$h^*_{ab,a}$
r00j	35.47	63.32	30.17	70.15	25
r25j	39.12	54.56	49.45	73.64	42
r50j	50.64	39.15	64.89	75.79	59
r75j	64.01	21.26	82.83	85.52	76
j00g	83.18	-4.37	108.53	108.62	92
j25g	66.73	-29.88	83.06	88.28	110
j50g	54.03	-48.3	63.49	79.78	127
j75g	44.73	-60.32	42.64	73.88	145
g00b	47.59	-49.07	15.74	51.54	162
g25b	49.97	-39.69	-6.71	40.27	190
g50b	51.85	-32.32	-24.34	40.48	217
g75b	46.92	-17.28	-36.01	39.96	244
b00r	37.91	1.28	-42.34	42.37	272
b25r	23.81	30.38	-52.25	60.45	300
b50r	29.52	69.06	-42.13	80.9	329
b75r	36.48	71.47	-3.68	71.57	357



Ein und Ausgabe: Farbmetrisches Drucker-Reflektiv-System FRS09\_92aM für relativen CIELAB-Buntton  $h^* = lab^*h^* = h_{ab}/360 = 217/360 = 0.603$   $u^* = g50b$   
Daten für jede Farbe:  
 $lab^*ch^*$  und  $lab^*icu^*$   
Elementar-Bunttontext:  
 $u^* = g50b$   
Kontrastreduzierungsfaktor:  
 $c_R = 1.0$   
Dreiecks-Helligkeit  $t^*$



FRS09_92aM; adaptierte CIELAB-Daten					
	$L^*=L_a^*$	$a_a^*$	$b_a^*$	$C_{ab,a}^*$	$h_{ab,a}^*$
O <sub>Ma</sub>	35.06	60.0	44.0	74.4	36
Y <sub>Ma</sub>	83.77	-5.16	109.32	109.44	93
L <sub>Ma</sub>	44.13	-62.66	48.24	79.09	142
C <sub>Ma</sub>	52.66	-29.13	-31.98	43.27	228
V <sub>Ma</sub>	14.15	50.3	-59.03	77.57	310
M <sub>Ma</sub>	37.37	78.64	-33.49	85.48	337
N <sub>Ma</sub>	8.58	0.0	0.0	0.0	0
W <sub>Ma</sub>	92.02	0.0	0.0	0.0	0
R <sub>CIE</sub>	39.92	58.74	27.99	65.07	25
J <sub>CIE</sub>	81.26	-2.88	71.56	71.62	92
G <sub>CIE</sub>	52.23	-42.41	13.6	44.55	162
B <sub>CIE</sub>	30.57	1.41	-46.46	46.49	272

Daten für Maximalfarbe (Ma):

$LAB^*LAB^*_{Ma}$ : 52 -31 -23

$LAB^*LCH^*_{Ma}$ : 52 40 217

$lab^*rgb^*_{Ma}$ : 0.0 1.0 1.0

$lab^*olv^*_{Ma}$ : 0.0 1.0 0.9

Dreiecks-Helligkeit  $t^*$

%Umfang

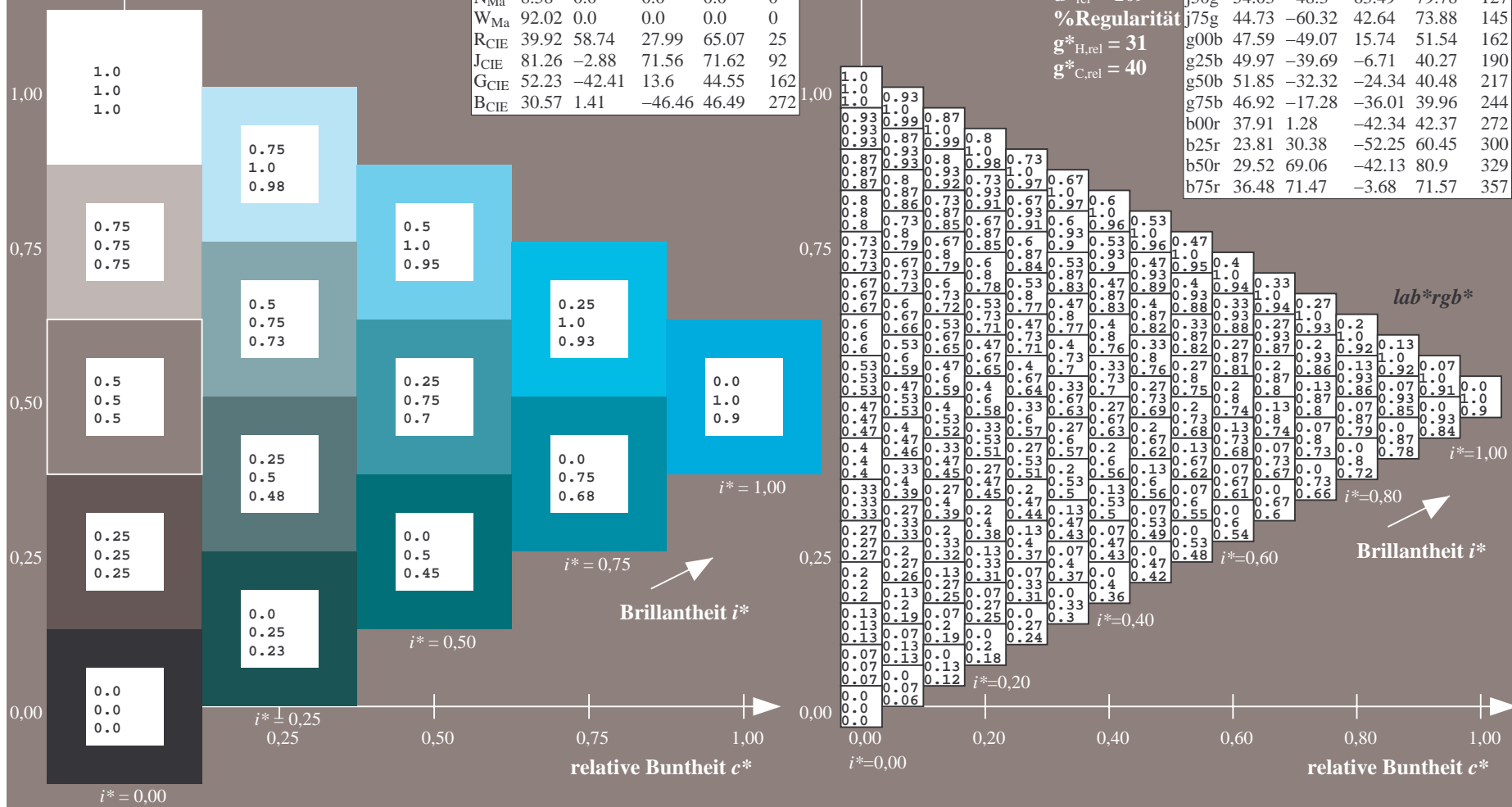
$u^*_{rel} = 109$

%Regularität

$g^*_{H,rel} = 31$

$g^*_{C,rel} = 40$

FRS09_92aM; adaptierte CIELAB-Daten					
	$L^*=L_a^*$	$a_a^*$	$b_a^*$	$C_{ab,a}^*$	$h_{ab,a}^*$
r00j	35.47	63.32	30.17	70.15	25
r25j	39.12	54.56	49.45	73.64	42
r50j	50.64	39.15	64.89	75.79	59
r75j	64.01	21.26	82.83	85.52	76
j00g	83.18	-4.37	108.53	108.62	92
j25g	66.73	-29.88	83.06	88.28	110
j50g	54.03	-48.3	63.49	79.78	127
j75g	44.73	-60.32	42.64	73.88	145
g00b	47.59	-49.07	15.74	51.54	162
g25b	49.97	-39.69	-6.71	40.27	190
g50b	51.85	-32.32	-24.34	40.48	217
g75b	46.92	-17.28	-36.01	39.96	244
b00r	37.91	1.28	-42.34	42.37	272
b25r	23.81	30.38	-52.25	60.45	300
b50r	29.52	69.06	-42.13	80.9	329
b75r	36.48	71.47	-3.68	71.57	357



### Dreiecks-Helligkeit $t^*$

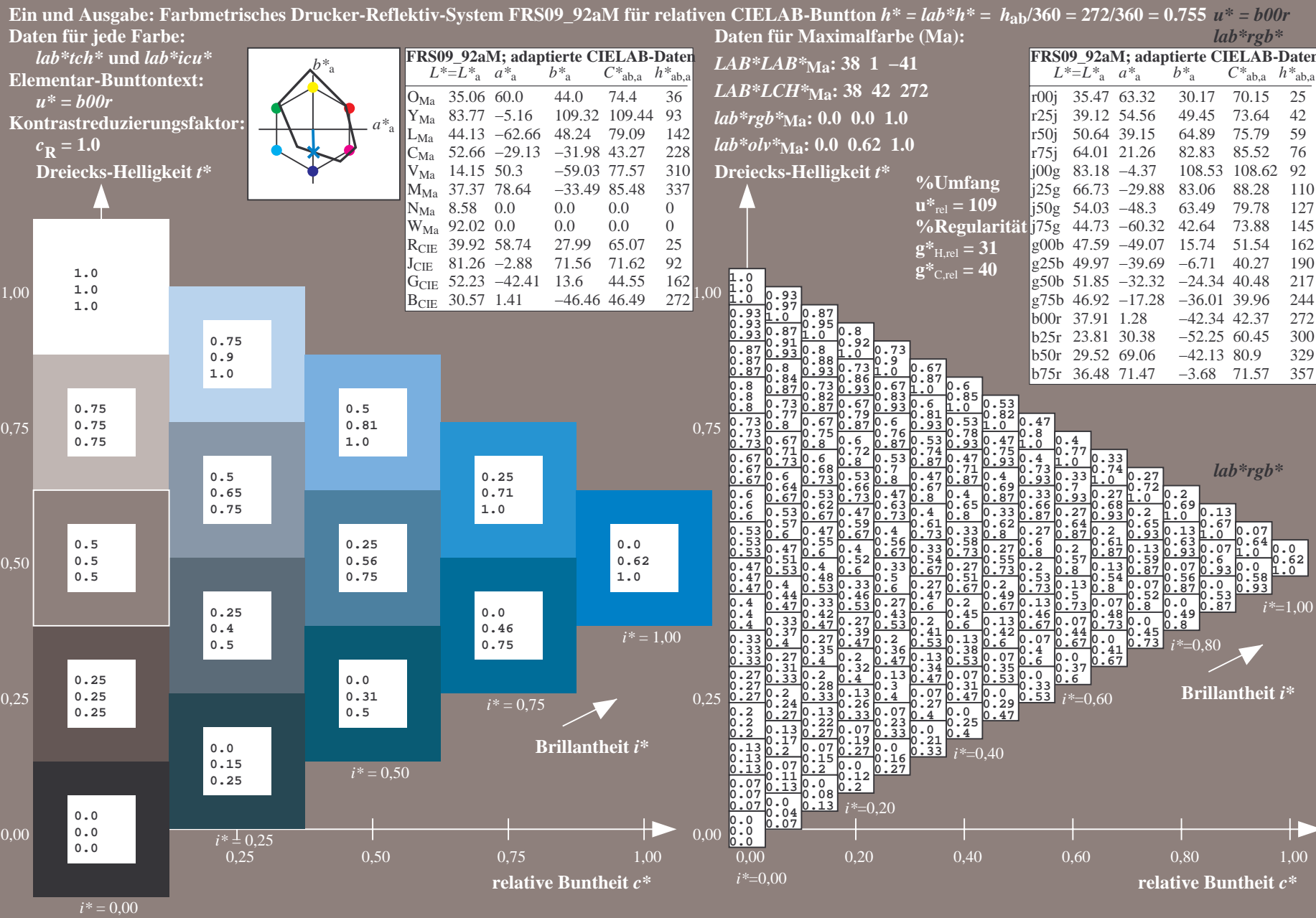


Siehe ähnliche Dateien: <http://www.ps.bam.de/Dg92/>; [www.ps.bam.de/Dg.HTM](http://www.ps.bam.de/Dg.HTM)  
Technische Information: <http://www.ps.bam.de> Version 2.1, io=1, ColSpx=0

BAM-Registrierung: 20080701-Dg92/10L/L92G00NA.PS/ .TXTBAM-Material: Code=rh4ta  
Anwendung für Beurteilung und Messung von Drucker- oder Monitorsystemen

BAM-Prüfvorlage Dg92; Farbmatrik-Systeme, Seite 49/180  
Farbreihen, 8 Datentabellen für 16 Bunttöne *r00j* bis *b75r*

Eingabe: 000n / w / nnn0 / www set...  
Ausgabe: ->cmyn5\* setcmykcolor





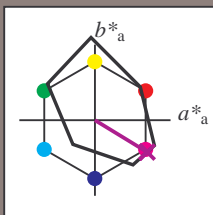
### Dreiecks-Helligkeit $t^*$



Figure 1 illustrates the calculation of the Brillantheit index  $i^*$ . The diagram shows a 5x5 grid of values. The top row is labeled  $i^*=0,80$  and the left column is labeled  $i^*=0,60$ . An arrow points to the value 0,67 in the second row, fourth column, which is labeled Brillantheit  $i^*$ . Below the grid is a horizontal axis with tick marks at 0,60, 0,80, and 1,00, with an arrow pointing to the right.

BAM-Registrierung: 20080701-Dg92/10L/L92G00NA.PS/.TXTBAM-Material: Code=rha4ta  
Anwendung für Beurteilung und Messung von Drucker- oder Monitorsystemen

Ein und Ausgabe: Farbmetrisches Drucker-Reflektiv-System FRS09\_92aM für relativen CIELAB-Buntton  $h^* = lab^*h^* = h_{ab}/360 = 329/360 = 0.913$   $u^* = b50r$   
Daten für jede Farbe:  
 $lab^*ch^*$  und  $lab^*icu^*$   
Elementar-Bunttontext:  
 $u^* = b50r$   
Kontrastreduzierungsfaktor:  
 $c_R = 1.0$   
Dreiecks-Helligkeit  $t^*$



FRS09_92aM; adaptierte CIELAB-Daten					
	$L^*=L^*_a$	$a^*_a$	$b^*_a$	$C^*_{ab,a}$	$h^*_{ab,a}$
O <sub>Ma</sub>	35.06	60.0	44.0	74.4	36
Y <sub>Ma</sub>	83.77	-5.16	109.32	109.44	93
L <sub>Ma</sub>	44.13	-62.66	48.24	79.09	142
C <sub>Ma</sub>	52.66	-29.13	-31.98	43.27	228
V <sub>Ma</sub>	14.15	50.3	-59.03	77.57	310
M <sub>Ma</sub>	37.37	78.64	-33.49	85.48	337
N <sub>Ma</sub>	8.58	0.0	0.0	0.0	0
W <sub>Ma</sub>	92.02	0.0	0.0	0.0	0
R <sub>CIE</sub>	39.92	58.74	27.99	65.07	25
J <sub>CIE</sub>	81.26	-2.88	71.56	71.62	92
G <sub>CIE</sub>	52.23	-42.41	13.6	44.55	162
B <sub>CIE</sub>	30.57	1.41	-46.46	46.49	272

Daten für Maximalfarbe (Ma):

$LAB^*LAB^*_{Ma}$ : 30 69 -41

$LAB^*LCH^*_{Ma}$ : 30 81 329

$lab^*rgb^*_{Ma}$ : 1.0 0.0 1.0

$lab^*olv^*_{Ma}$ : 0.66 0.0 1.0

Dreiecks-Helligkeit  $t^*$

%Umfang

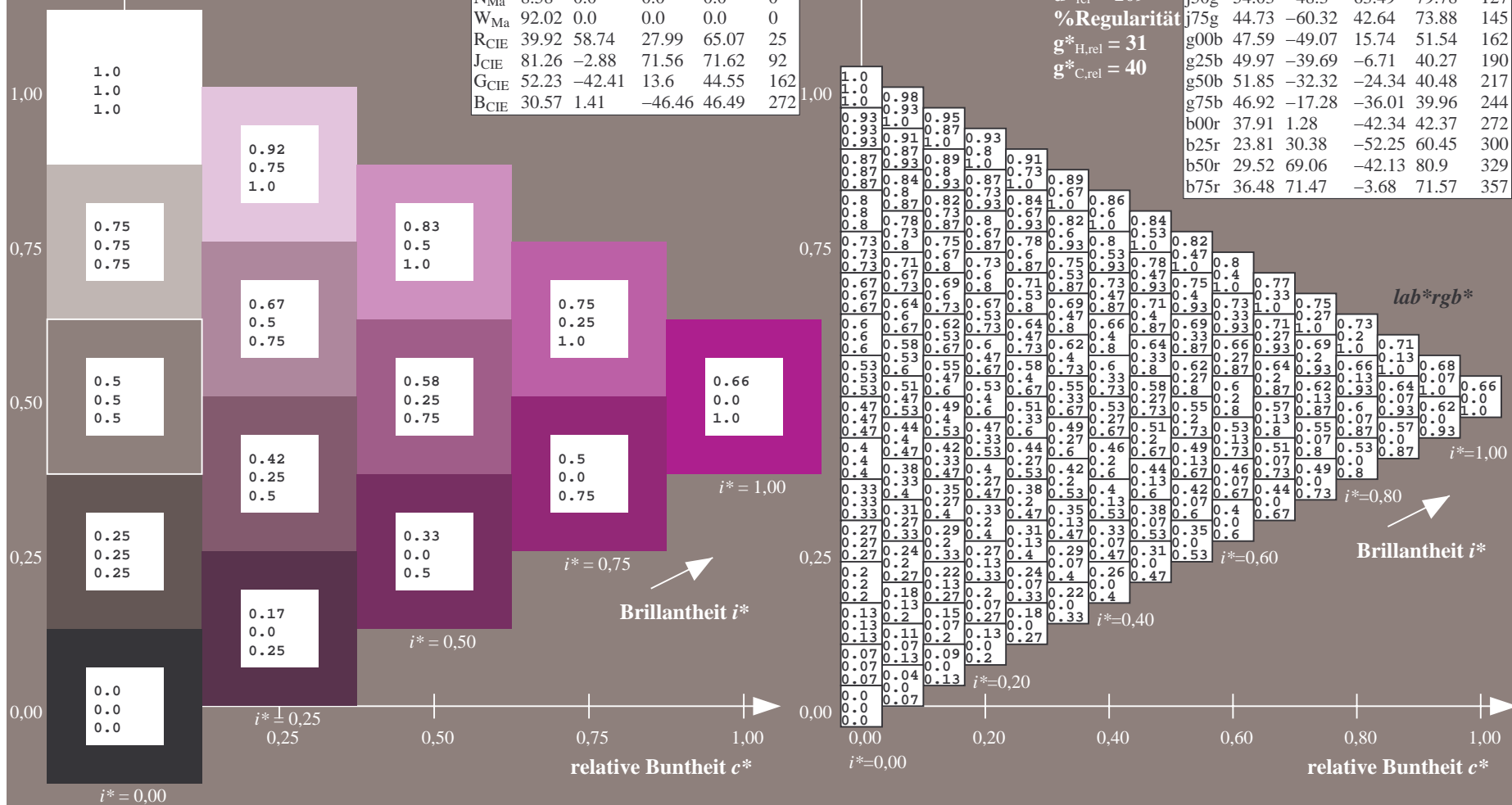
$u^*_{rel} = 109$

%Regularität

$g^*_{H,rel} = 31$

$g^*_{C,rel} = 40$

FRS09_92aM; adaptierte CIELAB-Daten					
	$L^*=L^*_a$	$a^*_a$	$b^*_a$	$C^*_{ab,a}$	$h^*_{ab,a}$
r00j	35.47	63.32	30.17	70.15	25
r25j	39.12	54.56	49.45	73.64	42
r50j	50.64	39.15	64.89	75.79	59
r75j	64.01	21.26	82.83	85.52	76
j00g	83.18	-4.37	108.53	108.62	92
j25g	66.73	-29.88	83.06	88.28	110
j50g	54.03	-48.3	63.49	79.78	127
j75g	44.73	-60.32	42.64	73.88	145
g00b	47.59	-49.07	15.74	51.54	162
g25b	49.97	-39.69	-6.71	40.27	190
g50b	51.85	-32.32	-24.34	40.48	217
g75b	46.92	-17.28	-36.01	39.96	244
b00r	37.91	1.28	-42.34	42.37	272
b25r	23.81	30.38	-52.25	60.45	300
b50r	29.52	69.06	-42.13	80.9	329
b75r	36.48	71.47	-3.68	71.57	357







Siehe ähnliche Dateien: <http://www.ps.bam.de/Dg92/>; [www.ps.bam.de/Dg92/10L/L92G00NA.PS/.TXT](http://www.ps.bam.de/Dg92/10L/L92G00NA.PS/.TXT)  
Technische Information: <http://www.ps.bam.de/Version2.1,io=1.1,ColSpX=0>

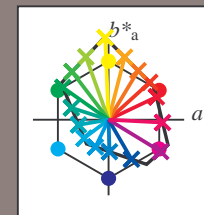
	A	B	C	D	E	F	G	H	I	J	K	L	M	N	O	P	Q	R	S	T	U	V	W	X	Y	Z	a	b	c	d	e	f	g	h	i	j	k	lab*rgb*				
01	0.0	0.0	0.0	0.0	0.0	0.0	0.0	0.0	0.0	0.0	0.13	0.13	0.13	0.13	0.13	0.13	0.13	0.13	0.25	0.25	0.25	0.25	0.25	0.25	0.25	0.25	0.25	1.0	1.0	1.0	1.0	1.0	1.0	1.0	1.0	1.0	1.0	1.0	0.0	0.0	0.0	0.0
	0.0	0.13	0.25	0.38	0.5	0.63	0.75	0.88	1.0	0.0	0.13	0.25	0.38	0.5	0.63	0.75	0.88	1.0	0.0	0.13	0.25	0.38	0.5	0.63	0.75	0.88	1.0	1.0	0.88	0.75	0.63	0.5	0.38	0.25	0.13	0.0	0.0	0.0	0.0	0.0	0.0	
	0.0	0.0	0.0	0.0	0.0	0.0	0.0	0.0	0.0	0.0	0.0	0.0	0.0	0.0	0.0	0.0	0.0	0.0	0.0	0.0	0.0	0.0	0.0	0.0	0.0	0.0	1.0	1.0	0.88	0.75	0.63	0.5	0.38	0.25	0.13	0.0	0.0	0.0	0.0	0.0	0.0	
02	0.0	0.0	0.0	0.0	0.0	0.0	0.0	0.0	0.0	0.13	0.13	0.13	0.13	0.13	0.13	0.13	0.13	0.13	0.25	0.25	0.25	0.25	0.25	0.25	0.25	0.25	0.25	0.88	0.88	0.88	0.88	0.88	0.88	0.88	0.88	0.88	0.88	0.13	0.13	0.13	0.13	
	0.0	0.13	0.25	0.38	0.5	0.63	0.75	0.88	1.0	0.0	0.13	0.25	0.38	0.5	0.63	0.75	0.88	1.0	0.0	0.13	0.25	0.38	0.5	0.63	0.75	0.88	1.0	1.0	0.88	0.75	0.63	0.5	0.38	0.25	0.13	0.0	0.0	0.0	0.0	0.0	0.0	
	0.13	0.13	0.13	0.13	0.13	0.13	0.13	0.13	0.13	0.13	0.13	0.13	0.13	0.13	0.13	0.13	0.13	0.13	0.13	0.13	0.13	0.13	0.13	0.13	0.13	0.13	1.0	1.0	0.88	0.75	0.63	0.5	0.38	0.25	0.13	0.0	0.0	0.0	0.0	0.0	0.0	
03	0.0	0.0	0.0	0.0	0.0	0.0	0.0	0.0	0.0	0.13	0.13	0.13	0.13	0.13	0.13	0.13	0.13	0.13	0.25	0.25	0.25	0.25	0.25	0.25	0.25	0.25	0.25	0.75	0.75	0.75	0.75	0.75	0.75	0.75	0.75	0.75	0.75	0.25	0.25	0.25	0.25	
	0.0	0.13	0.25	0.38	0.5	0.63	0.75	0.88	1.0	0.0	0.13	0.25	0.38	0.5	0.63	0.75	0.88	1.0	0.0	0.13	0.25	0.38	0.5	0.63	0.75	0.88	1.0	1.0	0.88	0.75	0.63	0.5	0.38	0.25	0.13	0.0	0.25	0.25	0.25	0.25		
	0.25	0.25	0.25	0.25	0.25	0.25	0.25	0.25	0.25	0.25	0.25	0.25	0.25	0.25	0.25	0.25	0.25	0.25	0.25	0.25	0.25	0.25	0.25	0.25	0.25	0.25	1.0	1.0	0.88	0.75	0.63	0.5	0.38	0.25	0.13	0.0	0.25	0.25	0.25	0.25		
04	0.0	0.0	0.0	0.0	0.0	0.0	0.0	0.0	0.0	0.13	0.13	0.13	0.13	0.13	0.13	0.13	0.13	0.13	0.25	0.25	0.25	0.25	0.25	0.25	0.25	0.25	0.25	0.63	0.63	0.63	0.63	0.63	0.63	0.63	0.63	0.63	0.63	0.38	0.38	0.38	0.38	
	0.0	0.13	0.25	0.38	0.5	0.63	0.75	0.88	1.0	0.0	0.13	0.25	0.38	0.5	0.63	0.75	0.88	1.0	0.0	0.13	0.25	0.38	0.5	0.63	0.75	0.88	1.0	1.0	0.88	0.75	0.63	0.5	0.38	0.25	0.13	0.0	0.38	0.38	0.38	0.38		
	0.38	0.38	0.38	0.38	0.38	0.38	0.38	0.38	0.38	0.38	0.38	0.38	0.38	0.38	0.38	0.38	0.38	0.38	0.38	0.38	0.38	0.38	0.38	0.38	0.38	0.38	1.0	1.0	0.88	0.75	0.63	0.5	0.38	0.25	0.13	0.0	0.38	0.38	0.38	0.38		
05	0.0	0.0	0.0	0.0	0.0	0.0	0.0	0.0	0.0	0.13	0.13	0.13	0.13	0.13	0.13	0.13	0.13	0.13	0.25	0.25	0.25	0.25	0.25	0.25	0.25	0.25	0.25	0.5	0.5	0.5	0.5	0.5	0.5	0.5	0.5	0.5	0.5	0.5	0.5	0.5		
	0.0	0.13	0.25	0.38	0.5	0.63	0.75	0.88	1.0	0.0	0.13	0.25	0.38	0.5	0.63	0.75	0.88	1.0	0.0	0.13	0.25	0.38	0.5	0.63	0.75	0.88	1.0	1.0	0.88	0.75	0.63	0.5	0.38	0.25	0.13	0.0	0.5	0.5	0.5	0.5		
	0.5	0.5	0.5	0.5	0.5	0.5	0.5	0.5	0.5	0.5	0.5	0.5	0.5	0.5	0.5	0.5	0.5	0.5	0.5	0.5	0.5	0.5	0.5	0.5	0.5	0.5	1.0	1.0	0.88	0.75	0.63	0.5	0.38	0.25	0.13	0.0	0.5	0.5	0.5	0.5		
06	0.0	0.0	0.0	0.0	0.0	0.0	0.0	0.0	0.0	0.13	0.13	0.13	0.13	0.13	0.13	0.13	0.13	0.13	0.25	0.25	0.25	0.25	0.25	0.25	0.25	0.25	0.25	0.38	0.38	0.38	0.38	0.38	0.38	0.38	0.38	0.38	0.38	0.63	0.63	0.63	0.63	
	0.0	0.13	0.25	0.38	0.5	0.63	0.75	0.88	1.0	0.0	0.13	0.25	0.38	0.5	0.63	0.75	0.88	1.0	0.0	0.13	0.25	0.38	0.5	0.63	0.75	0.88	1.0	1.0	0.88	0.75	0.63	0.5	0.38	0.25	0.13	0.0	0.63	0.63	0.63	0.63		
	0.63	0.63	0.63	0.63	0.63	0.63	0.63	0.63	0.63	0.63	0.63	0.63	0.63	0.63	0.63	0.63	0.63	0.63	0.63	0.63	0.63	0.63	0.63	0.63	0.63	0.63	1.0	1.0	0.88	0.75	0.63	0.5	0.38	0.25	0.13	0.0	0.63	0.63	0.63	0.63		
07	0.0	0.0	0.0	0.0	0.0	0.0	0.0	0.0	0.0	0.13	0.13	0.13	0.13	0.13	0.13	0.13	0.13	0.13	0.25	0.25	0.25	0.25	0.25	0.25	0.25	0.25	0.25	0.25	0.25	0.25	0.25	0.25	0.25	0.25	0.25	0.25	0.25	0.75	0.75	0.75	0.75	
	0.0	0.13	0.25	0.38	0.5	0.63	0.75	0.88	1.0	0.0	0.13	0.25	0.38	0.5	0.63	0.75	0.88	1.0	0.0	0.13	0.25	0.38	0.5	0.63	0.75	0.88	1.0	1.0	0.88	0.75	0.63	0.5	0.38	0.25	0.13	0.0	0.75	0.75	0.75	0.75		
	0.75	0.75	0.75	0.75	0.75	0.75	0.75	0.75	0.75	0.75	0.75	0.75	0.75	0.75	0.75	0.75	0.75	0.75	0.75	0.75	0.75	0.75	0.75	0.75	0.75	0.75	1.0	1.0	0.88	0.75	0.63	0.5	0.38	0.25	0.13	0.0	0.75	0.75	0.75	0.75		
08	0.0	0.0	0.0	0.0	0.0	0.0	0.0	0.0	0.0	0.13	0.13	0.13	0.13	0.13	0.13	0.13	0.13	0.13	0.25	0.25	0.25	0.25	0.25	0.25	0.25	0.25	0.25	0.13	0.13	0.13	0.13	0.13	0.13	0.13	0.13	0.88	0.88	0.88	0.88			
	0.0	0.13	0.25	0.38	0.5	0.63	0.75	0.88	1.0	0.0	0.13	0.25	0.38	0.5	0.63	0.75	0.88	1.0	0.0	0.13	0.25	0.38	0.5	0.63	0.75	0.88	1.0	1.0	0.88	0.75	0.63	0.5	0.38	0.25	0.13	0.0	0.88	0.88	0.88	0.88		
	0.88	0.88	0.88	0.88	0.88	0.88	0.88	0.88	0.88	0.88	0.88	0.88	0.88	0.88	0.88	0.88	0.88	0.88	0.88	0.88	0.88	0.88	0.88	0.88	0.88	0.88	1.0	1.0	0.88	0.75	0.63	0.5	0.38	0.25	0.13	0.0	0.88	0.88	0.88	0.88		
09	0.0	0.0	0.0	0.0	0.0	0.0	0.0	0.0	0.0	0.13	0.13	0.13	0.13	0.13	0.13	0.13	0.13	0.13	0.25	0.25	0.25	0.25	0.25	0.25	0.25	0.25	0.25	0.0	0.0	0.0	0.0	0.0	0.0	0.0	0.0	1.0	1.0	1.0	1.0			
	0.0	0.13	0.25	0.38	0.5	0.63	0.75	0.88	1.0	0.0	0.13	0.25	0.38	0.5	0.63	0.75	0.88	1.0	0.0	0.13	0.25	0.38	0.5	0.63	0.75	0.88	1.0	1.0	0.88	0.75	0.63	0.5	0.38	0.25	0.13	0.0	1.0	1.0	1.0	1.0		
	1.0	1.0	1.0	1.0	1.0	1.0	1.0	1.0	1.0	1.0	1.0	1.0	1.0	1.0	1.0	1.0	1.0	1.0	1.0	1.0	1.0	1.0	1.0	1.0	1.0	1.0	1.0	1.0	0.88	0.75	0.63	0.5	0.38	0.25	0.13	0.0	1.0	1.0	1.0	1.0		
10	0.38	0.38	0.38	0.38	0.38	0.38	0.38	0.38	0.38	0.38	0.5	0.5	0.5	0.5	0.5	0.5	0.5	0.5	0.5	0.63	0.63	0.63	0.63	0.63	0.63	0.63	0.63	0.63	1.0	1.0	1.0	1.0	1.0	1.0	1.0	1.0	1.0	0.0	0.0	0.0	0.0	
	0.0	0.13	0.25	0.38	0.5	0.63	0.75	0.88	1.0	0.0	0.13	0.25	0.38	0.5	0.63	0.75	0.88	1.0	0.0	0.13	0.25	0.38	0.5	0.63	0.75	0.88	1.0	1.0	1.0	1.0	1.0	1.0	1.0	1.0	1.0	1.0	0.0	0.0	0.0	0.0		
	0.0	0.0	0.0	0.0	0.0	0.0	0.0	0.0	0.0	0.0	0.0	0.0	0.0	0.0	0.0	0.0	0.0	0.0	0.0	0.0	0.0	0.0	0.0	0.0	0.0	0.0	1.0	1.0	0.88	0.75	0.63	0.5	0.38	0.25	0.13	0.0	0.0	0.0	0.0	0.0		
11	0.13	0.38	0.38	0.38	0.38	0.38	0.38	0.38	0.38	0.38	0.5	0.5	0.5	0.5	0.5	0.5	0.5	0.5	0.63	0.63	0.63	0.63	0.63	0.63	0.63	0.63	0.63															

BAM-Registrierung: 20080701-Dg92/10L/L92G00NA.PS/.TXT  
Anwendung für Beurteilung und Messung von Drucker- oder Monitorsystemen

BAM-Material: Code=th4ta

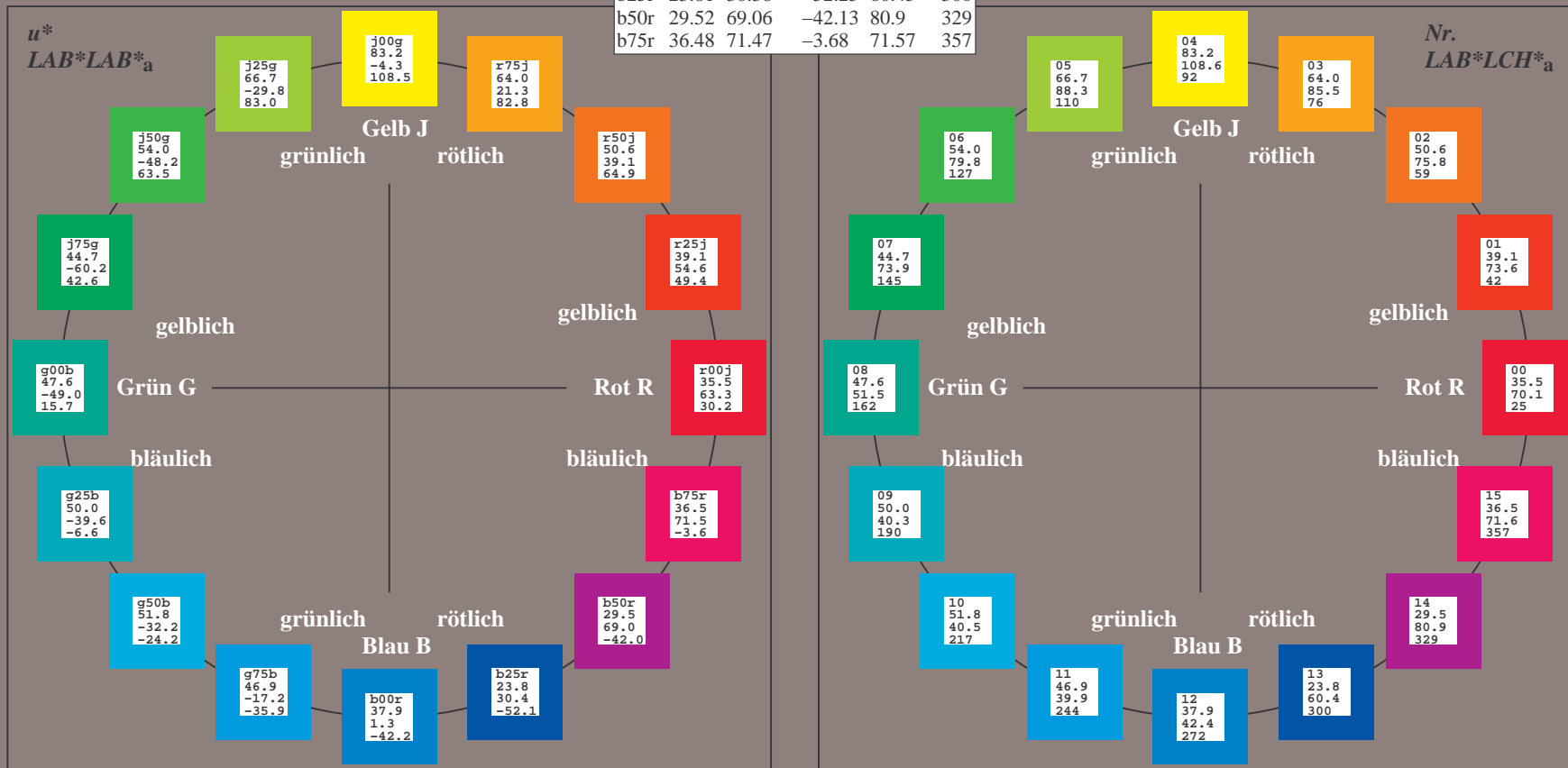
Ein und Ausgabe:  
Farbmetrisches Drucker-Reflektiv-System FRS09\_92aM  
Daten für jede Farbe:  
*lab\*<sub>rch</sub>*\* und *lab\*<sub>icu</sub>*\*  
Elementar-Bunttontext:  
*u\** = 16 Buntttöne *r00j*, *r25j*, ..., *b75r*  
Kontrastreduzierungsfaktor:  
*c<sub>R</sub>* = 1.0

FRS09_92aM; adaptierte CIELAB-Daten					
	<i>L*</i> = <i>L*</i> <sub>a</sub>	<i>a*</i> <sub>a</sub>	<i>b*</i> <sub>a</sub>	<i>C*</i> <sub>ab,a</sub>	<i>h*</i> <sub>ab,a</sub>
r00j	35.47	63.32	30.17	70.15	25
r25j	39.12	54.56	49.45	73.64	42
r50j	50.64	39.15	64.89	75.79	59
r75j	64.01	21.26	82.83	85.52	76
j00g	83.18	-4.37	108.53	108.62	92
j25g	66.73	-29.88	83.06	88.28	110
j50g	54.03	-48.3	63.49	79.78	127
j75g	44.73	-60.32	42.64	73.88	145
g00b	47.59	-49.07	15.74	51.54	162
g25b	49.97	-39.69	-6.71	40.27	190
g50b	51.85	-32.32	-24.34	40.48	217
g75b	46.92	-17.28	-36.01	39.96	244
b00r	37.91	1.28	-42.34	42.37	272
b25r	23.81	30.38	-52.25	60.45	300
b50r	29.52	69.06	-42.13	80.9	329
b75r	36.48	71.47	-3.68	71.57	357



%Umfang  
*u\**<sub>rel</sub> = 109  
%Regularität  
*g\**<sub>H,rel</sub> = 31  
*g\**<sub>C,rel</sub> = 40

FRS09_92aM; adaptierte CIELAB-Daten					
	<i>L*</i> = <i>L*</i> <sub>a</sub>	<i>a*</i> <sub>a</sub>	<i>b*</i> <sub>a</sub>	<i>C*</i> <sub>ab,a</sub>	<i>h*</i> <sub>ab,a</sub>
OMa	35.06	60.0	44.0	74.4	36
YMa	83.77	-5.16	109.32	109.44	93
LMa	44.13	-62.66	48.24	79.09	142
CMa	52.66	-29.13	-31.98	43.27	228
VMa	14.15	50.3	-59.03	77.57	310
MMa	37.37	78.64	-33.49	85.48	337
NMa	8.58	0.0	0.0	0.0	0
WMa	92.02	0.0	0.0	0.0	0
RCIE	39.92	58.74	27.99	65.07	25
JCIE	81.26	-2.88	71.56	71.62	92
GCIE	52.23	-42.41	13.6	44.55	162
BCIE	30.57	1.41	-46.46	46.49	272



Ein und Ausgabe: Farbmetrisches Drucker-Reflektiv-System FRS09\_92aM für relativen CIELAB-Buntton  $h^* = lab^*h^* = h_{ab}/360 = 25/360 = 0.071$   $u^* = r00j$

Daten für jede Farbe:

$lab^*ch^*$  und  $lab^*icu^*$

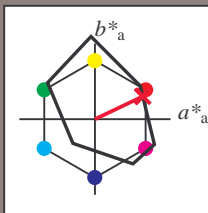
Elementar-Bunttontext:

$u^* = r00j$

Kontrastreduzierungsfaktor:

$c_R = 1.0$

Dreiecks-Helligkeit  $i^*$



FRS09\_92aM; adaptierte CIELAB-Daten

	$L^*=L^*_a$	$a^*_a$	$b^*_a$	$C^*_{ab,a}$	$h^*_{ab,a}$
O <sub>Ma</sub>	35.06	60.0	44.0	74.4	36
Y <sub>Ma</sub>	83.77	-5.16	109.32	109.44	93
L <sub>Ma</sub>	44.13	-62.66	48.24	79.09	142
C <sub>Ma</sub>	52.66	-29.13	-31.98	43.27	228
V <sub>Ma</sub>	14.15	50.3	-59.03	77.57	310
M <sub>Ma</sub>	37.37	78.64	-33.49	85.48	337
N <sub>Ma</sub>	8.58	0.0	0.0	0.0	0
W <sub>Ma</sub>	92.02	0.0	0.0	0.0	0
R <sub>CIE</sub>	39.92	58.74	27.99	65.07	25
J <sub>CIE</sub>	81.26	-2.88	71.56	71.62	92
G <sub>CIE</sub>	52.23	-42.41	13.6	44.55	162
B <sub>CIE</sub>	30.57	1.41	-46.46	46.49	272

Daten für Maximalfarbe (Ma):

$LAB^*LAB^*_{Ma}$ : 35 63 30

$LAB^*LCH^*_{Ma}$ : 35 70 25

$lab^*rgb^*_{Ma}$ : 1.0 0.0 0.0

$lab^*olv^*_{Ma}$ : 1.0 0.0 0.18

Dreiecks-Helligkeit  $i^*$

%Umfang

$u^*_{rel} = 109$

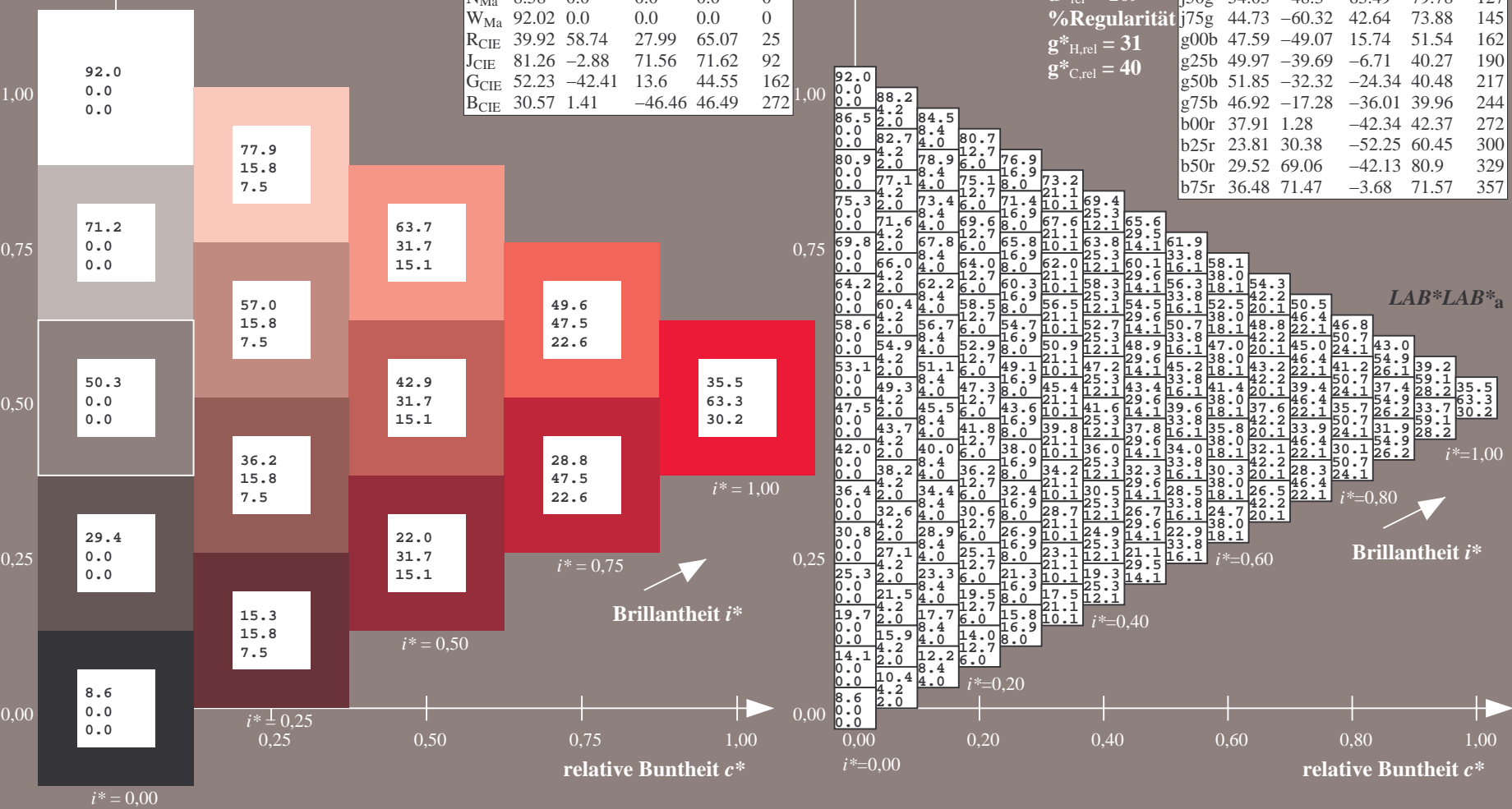
%Regularität

$g^*_{H,rel} = 31$

$g^*_{C,rel} = 40$

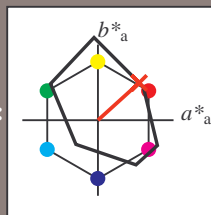
FRS09\_92aM; adaptierte CIELAB-Daten

	$L^*=L^*_a$	$a^*_a$	$b^*_a$	$C^*_{ab,a}$	$h^*_{ab,a}$
r00j	35.47	63.32	30.17	70.15	25
r25j	39.12	54.56	49.45	73.64	42
r50j	50.64	39.15	64.89	75.79	59
r75j	64.01	21.26	82.83	85.52	76
j00g	83.18	-4.37	108.53	108.62	92
j25g	66.73	-29.88	83.06	88.28	110
j50g	54.03	-48.3	63.49	79.78	127
j75g	44.73	-60.32	42.64	73.88	145
g00b	47.59	-49.07	15.74	51.54	162
g25b	49.97	-39.69	-6.71	40.27	190
g50b	51.85	-32.32	-24.34	40.48	217
g75b	46.92	-17.28	-36.01	39.96	244
b00r	37.91	1.28	-42.34	42.37	272
b25r	23.81	30.38	-52.25	60.45	300
b50r	29.52	69.06	-42.13	80.9	329
b75r	36.48	71.47	-3.68	71.57	357





Ein und Ausgabe: Farbmetrisches Drucker-Reflektiv-System FRS09\_92aM für relativen CIELAB-Buntton  $h^* = lab^*h^* = h_{ab}/360 = 42/360 = 0.117$   $u^* = r25j$   
Daten für jede Farbe:  
 $lab^*ch^*$  und  $lab^*icu^*$   
Elementar-Bunttontext:  
 $u^* = r25j$   
Kontrastreduzierungsfaktor:  
 $c_R = 1.0$   
Dreiecks-Helligkeit  $i^*$



FRS09_92aM; adaptierte CIELAB-Daten					
	$L^*=L_a^*$	$a_a^*$	$b_a^*$	$C^*_{ab,a}$	$h^*_{ab,a}$
O <sub>Ma</sub>	35.06	60.0	44.0	74.4	36
Y <sub>Ma</sub>	83.77	-5.16	109.32	109.44	93
L <sub>Ma</sub>	44.13	-62.66	48.24	79.09	142
C <sub>Ma</sub>	52.66	-29.13	-31.98	43.27	228
V <sub>Ma</sub>	14.15	50.3	-59.03	77.57	310
M <sub>Ma</sub>	37.37	78.64	-33.49	85.48	337
N <sub>Ma</sub>	8.58	0.0	0.0	0.0	0
W <sub>Ma</sub>	92.02	0.0	0.0	0.0	0
R <sub>CIE</sub>	39.92	58.74	27.99	65.07	25
J <sub>CIE</sub>	81.26	-2.88	71.56	71.62	92
G <sub>CIE</sub>	52.23	-42.41	13.6	44.55	162
B <sub>CIE</sub>	30.57	1.41	-46.46	46.49	272

Daten für Maximalfarbe (Ma):

$LAB^*LAB^*_{Ma}$ : 39 55 49

$LAB^*LCH^*_{Ma}$ : 39 74 42

$lab^*rgb^*_{Ma}$ : 1.0 0.25 0.0

$lab^*olv^*_{Ma}$ : 1.0 0.08 0.0

Dreiecks-Helligkeit  $i^*$

%Umfang

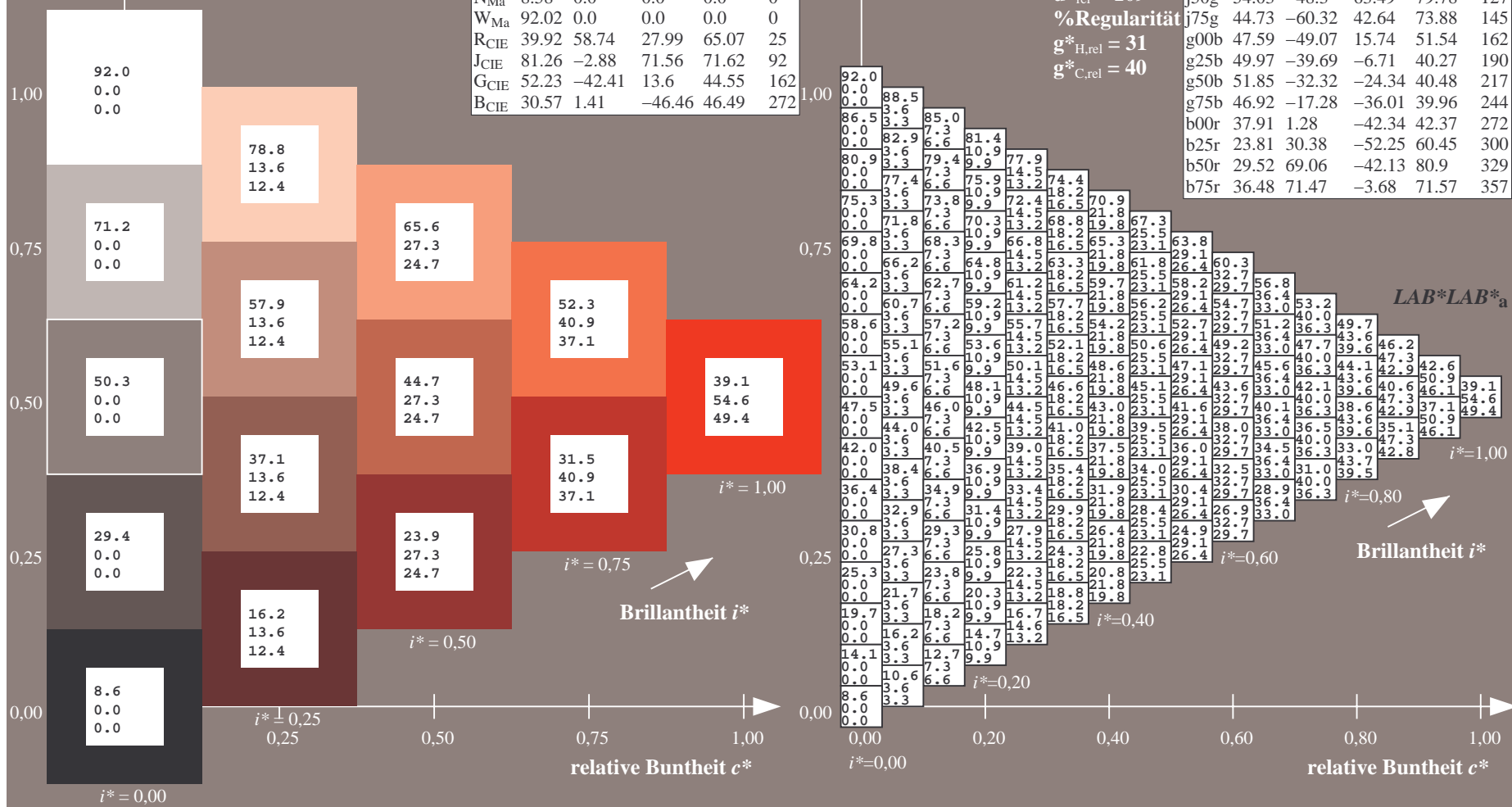
$u^*_{rel} = 109$

%Regularität

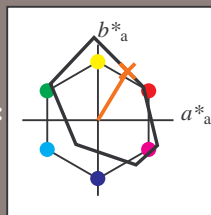
$g^*_{H,rel} = 31$

$g^*_{C,rel} = 40$

FRS09_92aM; adaptierte CIELAB-Daten					
	$L^*=L_a^*$	$a_a^*$	$b_a^*$	$C^*_{ab,a}$	$h^*_{ab,a}$
r00j	35.47	63.32	30.17	70.15	25
r25j	39.12	54.56	49.45	73.64	42
r50j	50.64	39.15	64.89	75.79	59
r75j	64.01	21.26	82.83	85.52	76
j00g	83.18	-4.37	108.53	108.62	92
j25g	66.73	-29.88	83.06	88.28	110
j50g	54.03	-48.3	63.49	79.78	127
j75g	44.73	-60.32	42.64	73.88	145
g00b	47.59	-49.07	15.74	51.54	162
g25b	49.97	-39.69	-6.71	40.27	190
g50b	51.85	-32.32	-24.34	40.48	217
g75b	46.92	-17.28	-36.01	39.96	244
b00r	37.91	1.28	-42.34	42.37	272
b25r	23.81	30.38	-52.25	60.45	300
b50r	29.52	69.06	-42.13	80.9	329
b75r	36.48	71.47	-3.68	71.57	357



Ein und Ausgabe: Farbmetrisches Drucker-Reflektiv-System FRS09\_92aM für relativen CIELAB-Buntton  $h^* = lab^*h^* = h_{ab}/360 = 59/360 = 0.164$   $u^* = r50j$   
Daten für jede Farbe:  
 $lab^*ch^*$  und  $lab^*icu^*$   
Elementar-Bunttontext:  
 $u^* = r50j$   
Kontrastreduzierungsfaktor:  
 $c_R = 1.0$   
Dreiecks-Helligkeit  $i^*$



FRS09_92aM; adaptierte CIELAB-Daten					
	$L^*=L^*_a$	$a^*_a$	$b^*_a$	$C^*_{ab,a}$	$h^*_{ab,a}$
O <sub>Ma</sub>	35.06	60.0	44.0	74.4	36
Y <sub>Ma</sub>	83.77	-5.16	109.32	109.44	93
L <sub>Ma</sub>	44.13	-62.66	48.24	79.09	142
C <sub>Ma</sub>	52.66	-29.13	-31.98	43.27	228
V <sub>Ma</sub>	14.15	50.3	-59.03	77.57	310
M <sub>Ma</sub>	37.37	78.64	-33.49	85.48	337
N <sub>Ma</sub>	8.58	0.0	0.0	0.0	0
W <sub>Ma</sub>	92.02	0.0	0.0	0.0	0
R <sub>CIE</sub>	39.92	58.74	27.99	65.07	25
J <sub>CIE</sub>	81.26	-2.88	71.56	71.62	92
G <sub>CIE</sub>	52.23	-42.41	13.6	44.55	162
B <sub>CIE</sub>	30.57	1.41	-46.46	46.49	272

Daten für Maximalfarbe (Ma):

$LAB^*LAB^*_{Ma}$ : 51 39 65

$LAB^*LCH^*_{Ma}$ : 51 76 59

$lab^*rgb^*_{Ma}$ : 1.0 0.5 0.0

$lab^*olv^*_{Ma}$ : 1.0 0.32 0.0

Dreiecks-Helligkeit  $i^*$

%Umfang

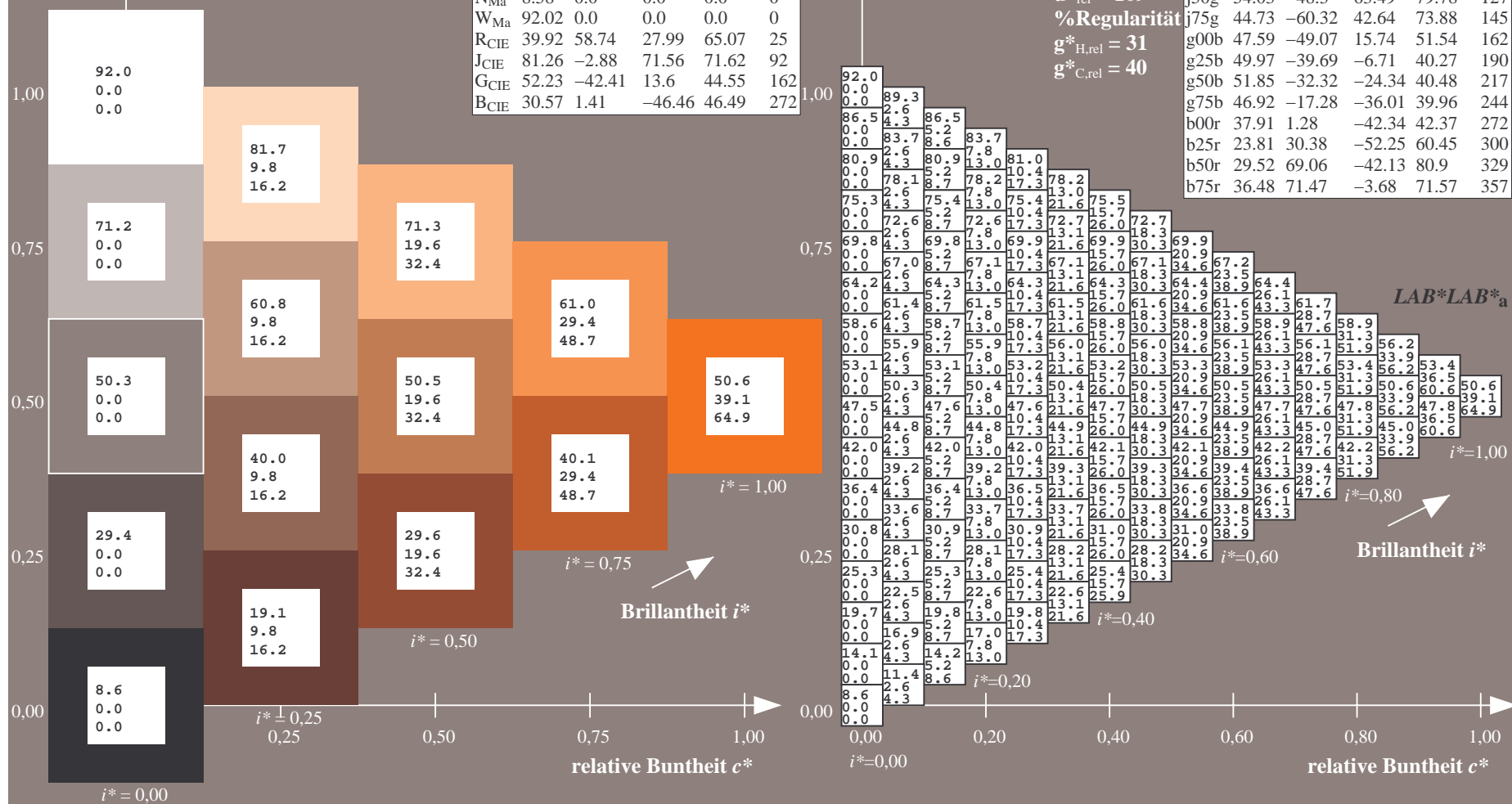
$u^*_{rel} = 109$

%Regularität

$g^*_{H,rel} = 31$

$g^*_{C,rel} = 40$

FRS09_92aM; adaptierte CIELAB-Daten					
	$L^*=L^*_a$	$a^*_a$	$b^*_a$	$C^*_{ab,a}$	$h^*_{ab,a}$
r00j	35.47	63.32	30.17	70.15	25
r25j	39.12	54.56	49.45	73.64	42
r50j	50.64	39.15	64.89	75.79	59
r75j	64.01	21.26	82.83	85.52	76
j00g	83.18	-4.37	108.53	108.62	92
j25g	66.73	-29.88	83.06	88.28	110
j50g	54.03	-48.3	63.49	79.78	127
j75g	44.73	-60.32	42.64	73.88	145
g00b	47.59	-49.07	15.74	51.54	162
g25b	49.97	-39.69	-6.71	40.27	190
g50b	51.85	-32.32	-24.34	40.48	217
g75b	46.92	-17.28	-36.01	39.96	244
b00r	37.91	1.28	-42.34	42.37	272
b25r	23.81	30.38	-52.25	60.45	300
b50r	29.52	69.06	-42.13	80.9	329
b75r	36.48	71.47	-3.68	71.57	357





Ein und Ausgabe: Farbmetrisches Drucker-Reflektiv-System FRS09\_92aM für relativen CIELAB-Buntton  $h^* = lab^*h^* = h_{ab}/360 = 76/360 = 0.21$   $u^* = r75j$

Daten für jede Farbe:

$lab^*ch^*$  und  $lab^*icu^*$

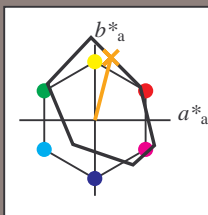
Elementar-Bunttontext:

$u^* = r75j$

Kontrastreduzierungsfaktor:

$c_R = 1.0$

Dreiecks-Helligkeit  $i^*$



FRS09\_92aM; adaptierte CIELAB-Daten

	$L^*=L^*_a$	$a^*_a$	$b^*_a$	$C^*_{ab,a}$	$h^*_{ab,a}$
O <sub>Ma</sub>	35.06	60.0	44.0	74.4	36
Y <sub>Ma</sub>	83.77	-5.16	109.32	109.44	93
L <sub>Ma</sub>	44.13	-62.66	48.24	79.09	142
C <sub>Ma</sub>	52.66	-29.13	-31.98	43.27	228
V <sub>Ma</sub>	14.15	50.3	-59.03	77.57	310
M <sub>Ma</sub>	37.37	78.64	-33.49	85.48	337
N <sub>Ma</sub>	8.58	0.0	0.0	0.0	0
W <sub>Ma</sub>	92.02	0.0	0.0	0.0	0
R <sub>CIE</sub>	39.92	58.74	27.99	65.07	25
J <sub>CIE</sub>	81.26	-2.88	71.56	71.62	92
G <sub>CIE</sub>	52.23	-42.41	13.6	44.55	162
B <sub>CIE</sub>	30.57	1.41	-46.46	46.49	272

Daten für Maximalfarbe (Ma):

$LAB^*LAB^*_{Ma}$ : 64 21 83

$LAB^*LCH^*_{Ma}$ : 64 86 76

$lab^*rgb^*_{Ma}$ : 1.0 0.75 0.0

$lab^*olv^*_{Ma}$ : 1.0 0.59 0.0

Dreiecks-Helligkeit  $i^*$

%Umfang

$u^*_{rel} = 109$

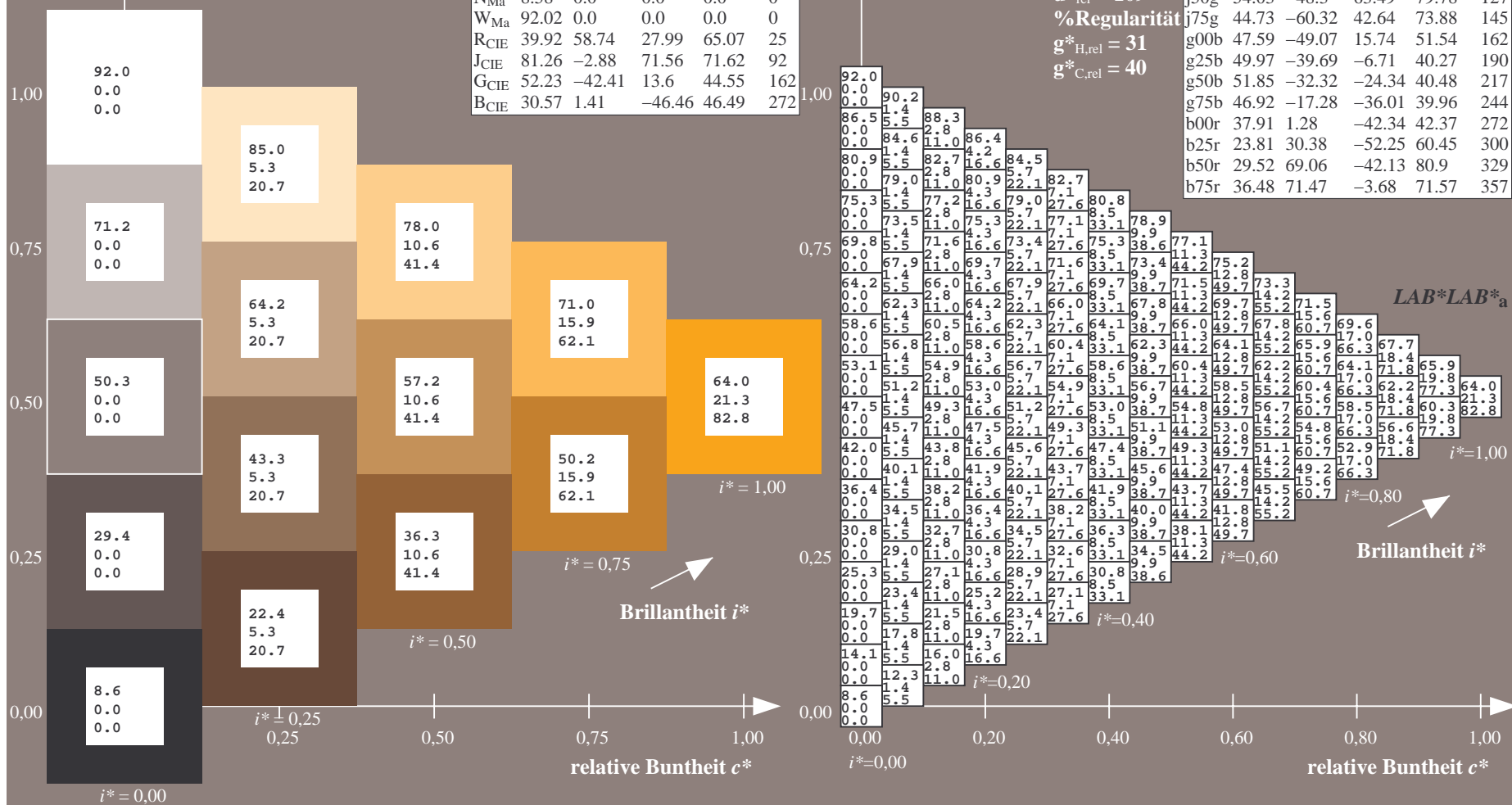
%Regularität

$g^*_{H,rel} = 31$

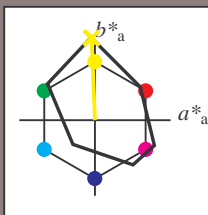
$g^*_{C,rel} = 40$

FRS09\_92aM; adaptierte CIELAB-Daten

	$L^*=L^*_a$	$a^*_a$	$b^*_a$	$C^*_{ab,a}$	$h^*_{ab,a}$
r00j	35.47	63.32	30.17	70.15	25
r25j	39.12	54.56	49.45	73.64	42
r50j	50.64	39.15	64.89	75.79	59
r75j	64.01	21.26	82.83	85.52	76
j00g	83.18	-4.37	108.53	108.62	92
j25g	66.73	-29.88	83.06	88.28	110
j50g	54.03	-48.3	63.49	79.78	127
j75g	44.73	-60.32	42.64	73.88	145
g00b	47.59	-49.07	15.74	51.54	162
g25b	49.97	-39.69	-6.71	40.27	190
g50b	51.85	-32.32	-24.34	40.48	217
g75b	46.92	-17.28	-36.01	39.96	244
b00r	37.91	1.28	-42.34	42.37	272
b25r	23.81	30.38	-52.25	60.45	300
b50r	29.52	69.06	-42.13	80.9	329
b75r	36.48	71.47	-3.68	71.57	357



Ein und Ausgabe: Farbmetrisches Drucker-Reflektiv-System FRS09\_92aM für relativen CIELAB-Buntton  $h^* = lab^*h^* = h_{ab}/360 = 92/360 = 0.256$   $u^* = j00g$   
Daten für jede Farbe:  
 $lab^*ch^*$  und  $lab^*icu^*$   
Elementar-Bunttontext:  
 $u^* = j00g$   
Kontrastreduzierungsfaktor:  
 $c_R = 1.0$   
Dreiecks-Helligkeit  $i^*$



FRS09_92aM; adaptierte CIELAB-Daten					
	$L^*=L^*_a$	$a^*_a$	$b^*_a$	$C^*_{ab,a}$	$h^*_{ab,a}$
O <sub>Ma</sub>	35.06	60.0	44.0	74.4	36
Y <sub>Ma</sub>	83.77	-5.16	109.32	109.44	93
L <sub>Ma</sub>	44.13	-62.66	48.24	79.09	142
C <sub>Ma</sub>	52.66	-29.13	-31.98	43.27	228
V <sub>Ma</sub>	14.15	50.3	-59.03	77.57	310
M <sub>Ma</sub>	37.37	78.64	-33.49	85.48	337
N <sub>Ma</sub>	8.58	0.0	0.0	0.0	0
W <sub>Ma</sub>	92.02	0.0	0.0	0.0	0
R <sub>CIE</sub>	39.92	58.74	27.99	65.07	25
J <sub>CIE</sub>	81.26	-2.88	71.56	71.62	92
G <sub>CIE</sub>	52.23	-42.41	13.6	44.55	162
B <sub>CIE</sub>	30.57	1.41	-46.46	46.49	272

Daten für Maximalfarbe (Ma):

$LAB^*LAB^*_{Ma}$ : 83 -3 109

$LAB^*LCH^*_{Ma}$ : 83 109 92

$lab^*rgb^*_{Ma}$ : 1.0 1.0 0.0

$lab^*olv^*_{Ma}$ : 1.0 0.99 0.0

Dreiecks-Helligkeit  $i^*$

%Umfang

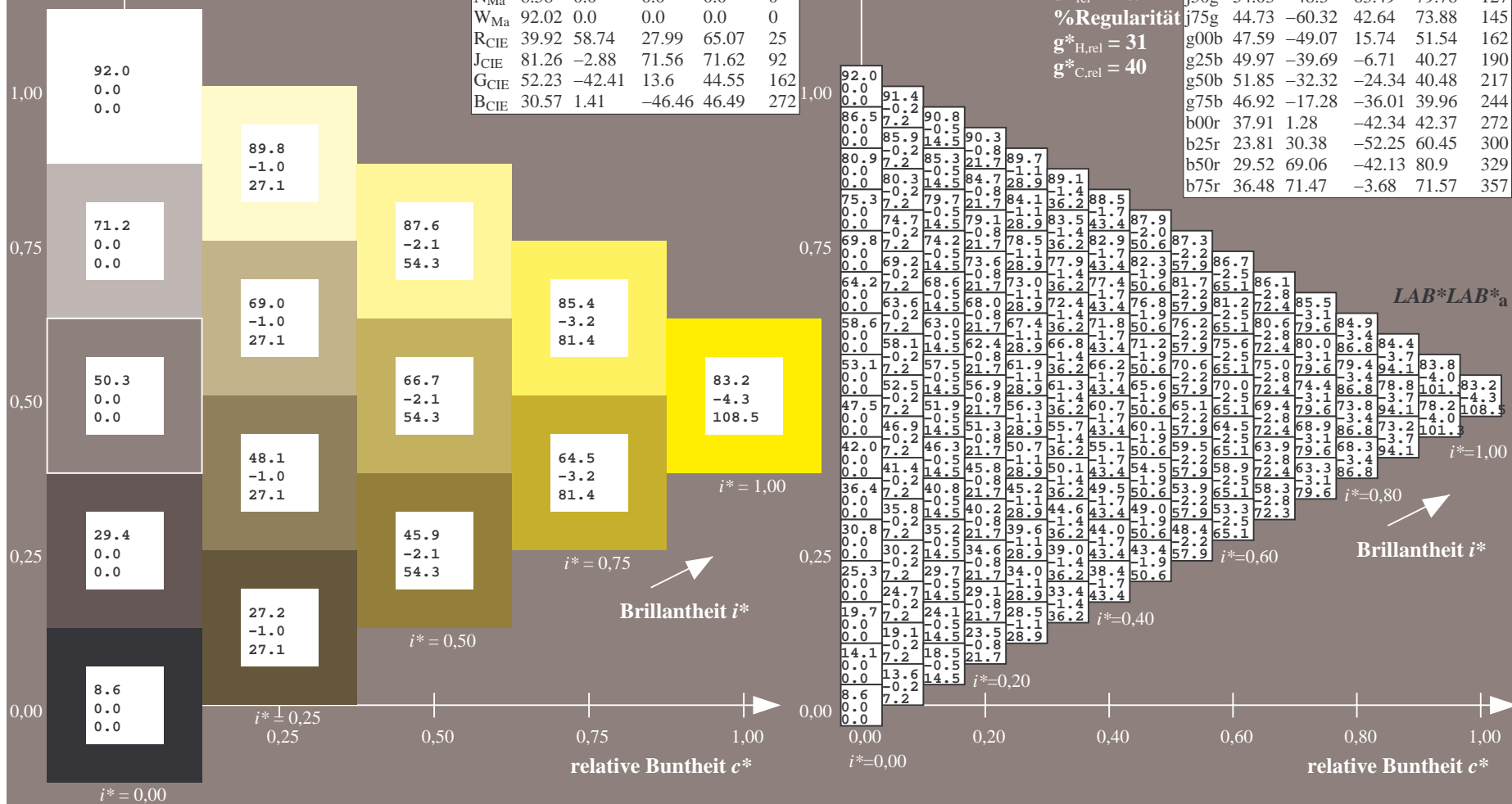
$u^*_{rel} = 109$

%Regularität

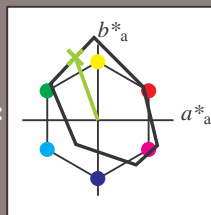
$g^*_{H,rel} = 31$

$g^*_{C,rel} = 40$

FRS09_92aM; adaptierte CIELAB-Daten					
	$L^*=L^*_a$	$a^*_a$	$b^*_a$	$C^*_{ab,a}$	$h^*_{ab,a}$
r00j	35.47	63.32	30.17	70.15	25
r25j	39.12	54.56	49.45	73.64	42
r50j	50.64	39.15	64.89	75.79	59
r75j	64.01	21.26	82.83	85.52	76
j00g	83.18	-4.37	108.53	108.62	92
j25g	66.73	-29.88	83.06	88.28	110
j50g	54.03	-48.3	63.49	79.78	127
j75g	44.73	-60.32	42.64	73.88	145
g00b	47.59	-49.07	15.74	51.54	162
g25b	49.97	-39.69	-6.71	40.27	190
g50b	51.85	-32.32	-24.34	40.48	217
g75b	46.92	-17.28	-36.01	39.96	244
b00r	37.91	1.28	-42.34	42.37	272
b25r	23.81	30.38	-52.25	60.45	300
b50r	29.52	69.06	-42.13	80.9	329
b75r	36.48	71.47	-3.68	71.57	357



Ein und Ausgabe: Farbmetrisches Drucker-Reflektiv-System FRS09\_92aM für relativen CIELAB-Buntton  $h^* = lab^*h^* = h_{ab}/360 = 110/360 = 0.305$   $u^* = j25g$   
Daten für jede Farbe:  
 $lab^*ch^*$  und  $lab^*icu^*$   
Elementar-Bunttontext:  
 $u^* = j25g$   
Kontrastreduzierungsfaktor:  
 $c_R = 1.0$   
Dreiecks-Helligkeit  $i^*$



FRS09_92aM; adaptierte CIELAB-Daten					
	$L^*=L^*_a$	$a^*_a$	$b^*_a$	$C^*_{ab,a}$	$h^*_{ab,a}$
O <sub>Ma</sub>	35.06	60.0	44.0	74.4	36
Y <sub>Ma</sub>	83.77	-5.16	109.32	109.44	93
L <sub>Ma</sub>	44.13	-62.66	48.24	79.09	142
C <sub>Ma</sub>	52.66	-29.13	-31.98	43.27	228
V <sub>Ma</sub>	14.15	50.3	-59.03	77.57	310
M <sub>Ma</sub>	37.37	78.64	-33.49	85.48	337
N <sub>Ma</sub>	8.58	0.0	0.0	0.0	0
W <sub>Ma</sub>	92.02	0.0	0.0	0.0	0
R <sub>CIE</sub>	39.92	58.74	27.99	65.07	25
J <sub>CIE</sub>	81.26	-2.88	71.56	71.62	92
G <sub>CIE</sub>	52.23	-42.41	13.6	44.55	162
B <sub>CIE</sub>	30.57	1.41	-46.46	46.49	272

Daten für Maximalfarbe (Ma):

$LAB^*LAB^*_{Ma}$ : 67 -29 83

$LAB^*LCH^*_{Ma}$ : 67 88 110

$lab^*rgb^*_{Ma}$ : 0.75 1.0 0.0

$lab^*olv^*_{Ma}$ : 0.57 1.0 0.0

Dreiecks-Helligkeit  $i^*$

%Umfang

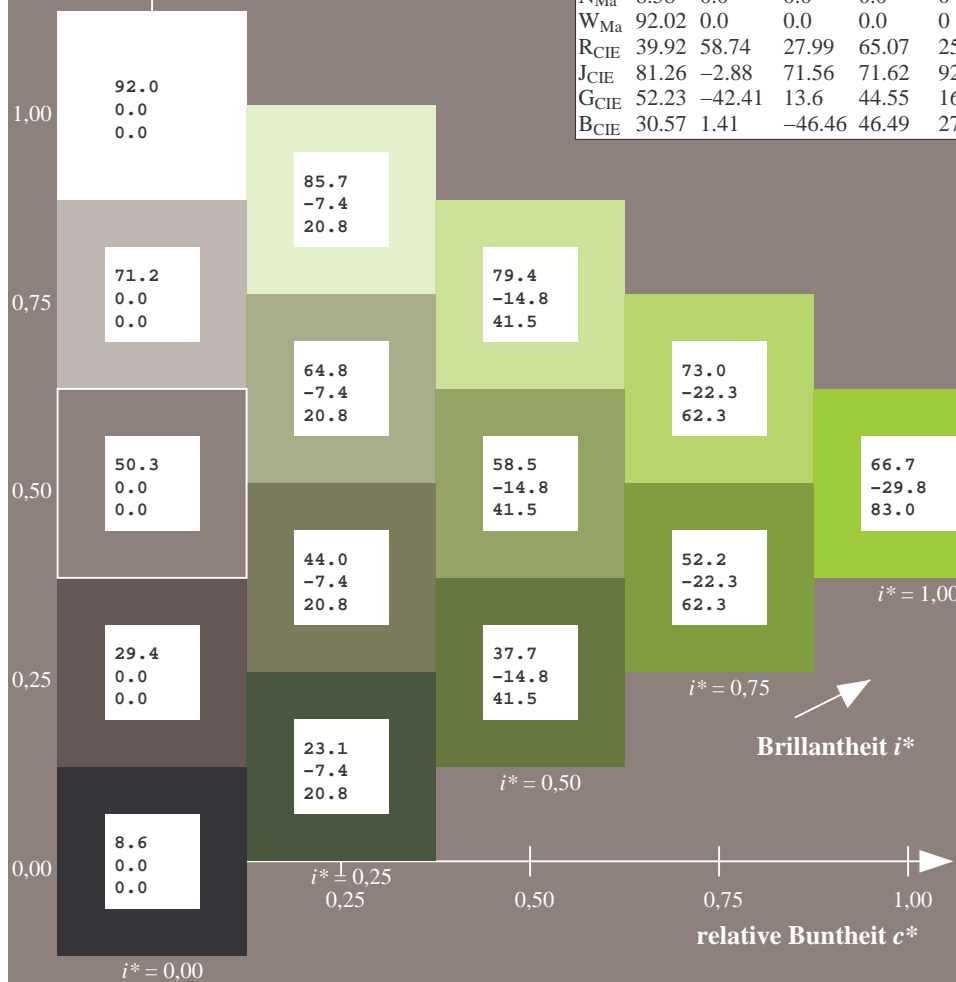
$u^*_{rel} = 109$

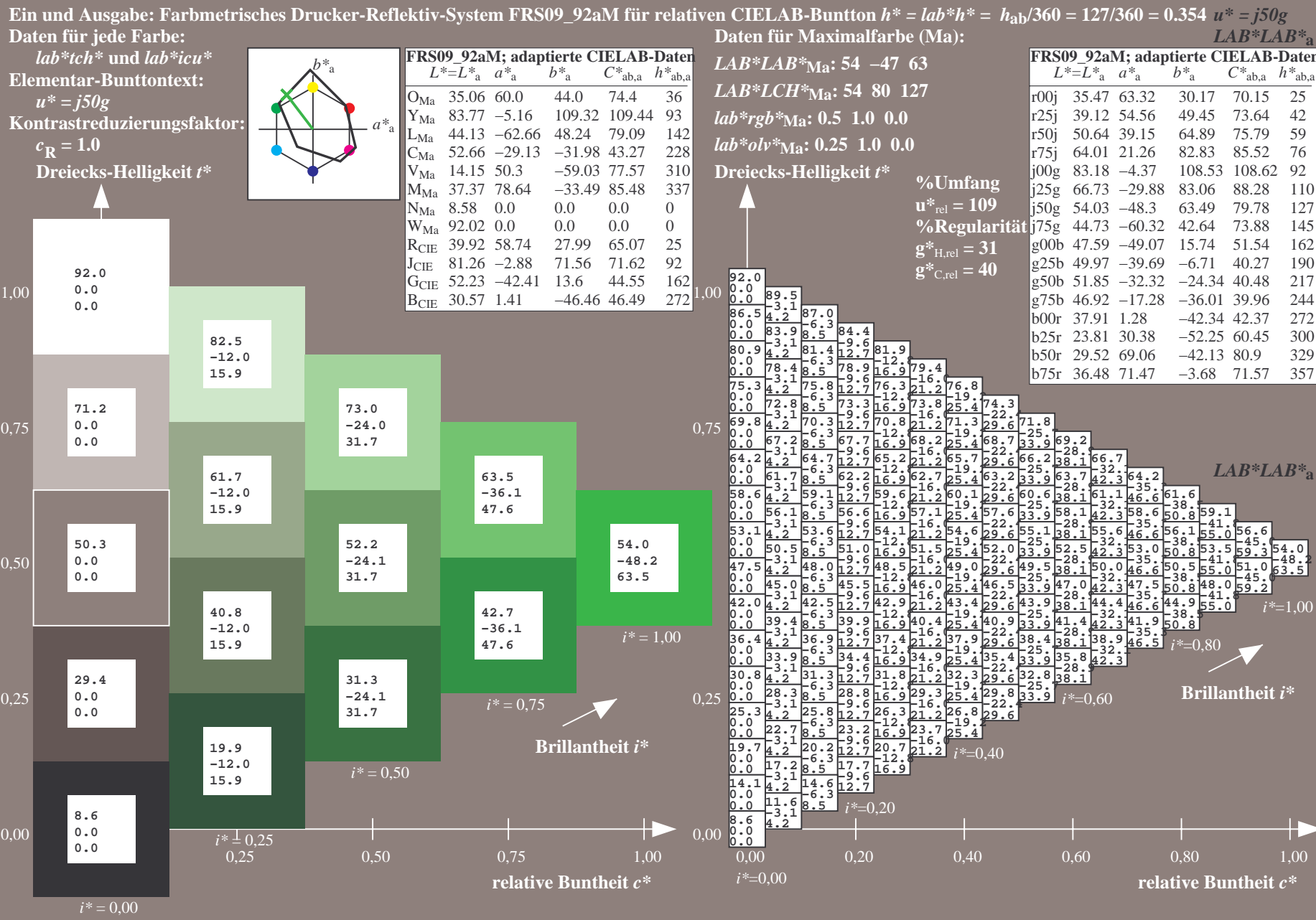
%Regularität

$g^*_{H,rel} = 31$

$g^*_{C,rel} = 40$

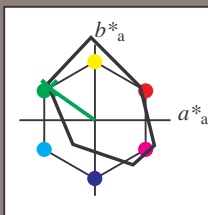
FRS09_92aM; adaptierte CIELAB-Daten					
	$L^*=L^*_a$	$a^*_a$	$b^*_a$	$C^*_{ab,a}$	$h^*_{ab,a}$
r00j	35.47	63.32	30.17	70.15	25
r25j	39.12	54.56	49.45	73.64	42
r50j	50.64	39.15	64.89	75.79	59
r75j	64.01	21.26	82.83	85.52	76
j00g	83.18	-4.37	108.53	108.62	92
j25g	66.73	-29.88	83.06	88.28	110
j50g	54.03	-48.3	63.49	79.78	127
j75g	44.73	-60.32	42.64	73.88	145
g00b	47.59	-49.07	15.74	51.54	162
g25b	49.97	-39.69	-6.71	40.27	190
g50b	51.85	-32.32	-24.34	40.48	217
g75b	46.92	-17.28	-36.01	39.96	244
b00r	37.91	1.28	-42.34	42.37	272
b25r	23.81	30.38	-52.25	60.45	300
b50r	29.52	69.06	-42.13	80.9	329
b75r	36.48	71.47	-3.68	71.57	357







Ein und Ausgabe: Farbmetrisches Drucker-Reflektiv-System FRS09\_92aM für relativen CIELAB-Buntton  $h^* = lab^*h^* = h_{ab}/360 = 145/360 = 0.402$   $u^* = j75g$   
Daten für jede Farbe:  
 $lab^*ch^*$  und  $lab^*icu^*$   
Elementar-Bunttontext:  
 $u^* = j75g$   
Kontrastreduzierungsfaktor:  
 $c_R = 1.0$   
Dreiecks-Helligkeit  $i^*$



FRS09_92aM; adaptierte CIELAB-Daten					
	$L^*=L^*_a$	$a^*_a$	$b^*_a$	$C^*_{ab,a}$	$h^*_{ab,a}$
O <sub>Ma</sub>	35.06	60.0	44.0	74.4	36
Y <sub>Ma</sub>	83.77	-5.16	109.32	109.44	93
L <sub>Ma</sub>	44.13	-62.66	48.24	79.09	142
C <sub>Ma</sub>	52.66	-29.13	-31.98	43.27	228
V <sub>Ma</sub>	14.15	50.3	-59.03	77.57	310
M <sub>Ma</sub>	37.37	78.64	-33.49	85.48	337
N <sub>Ma</sub>	8.58	0.0	0.0	0.0	0
W <sub>Ma</sub>	92.02	0.0	0.0	0.0	0
R <sub>CIE</sub>	39.92	58.74	27.99	65.07	25
J <sub>CIE</sub>	81.26	-2.88	71.56	71.62	92
G <sub>CIE</sub>	52.23	-42.41	13.6	44.55	162
B <sub>CIE</sub>	30.57	1.41	-46.46	46.49	272

Daten für Maximalfarbe (Ma):

$LAB^*LAB^*_{Ma}$ : 45 -59 43

$LAB^*LCH^*_{Ma}$ : 45 74 145

$lab^*rgb^*_{Ma}$ : 0.25 1.0 0.0

$lab^*olv^*_{Ma}$ : 0.0 1.0 0.07

Dreiecks-Helligkeit  $i^*$

%Umfang

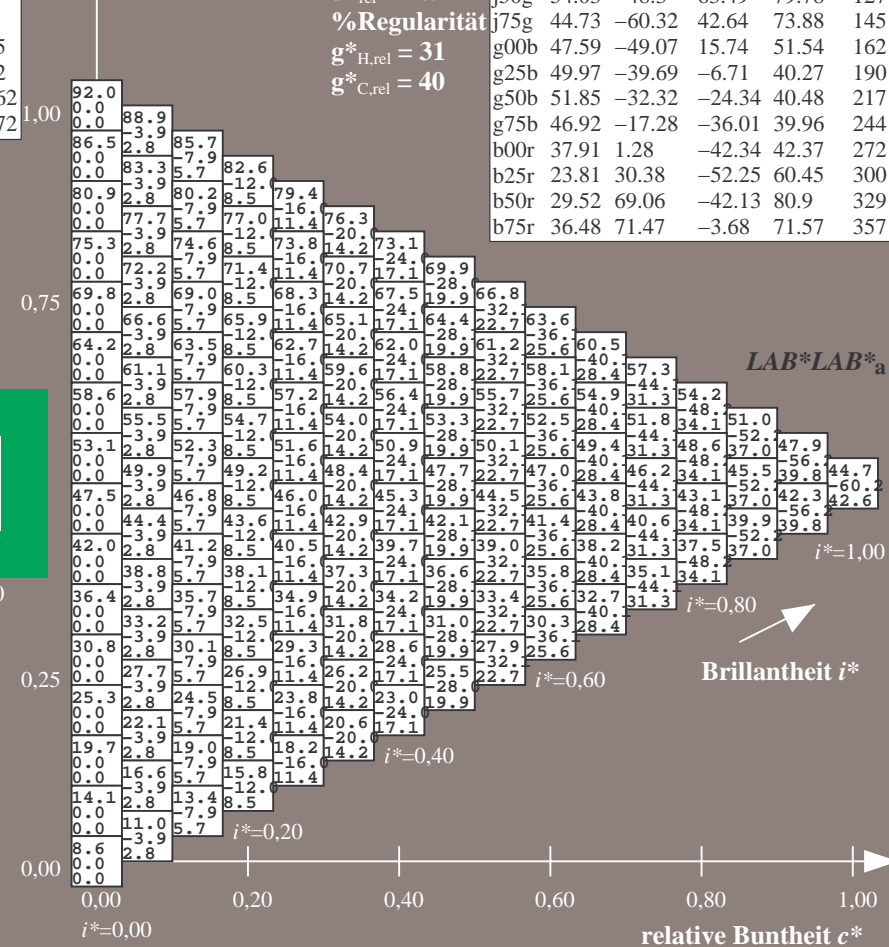
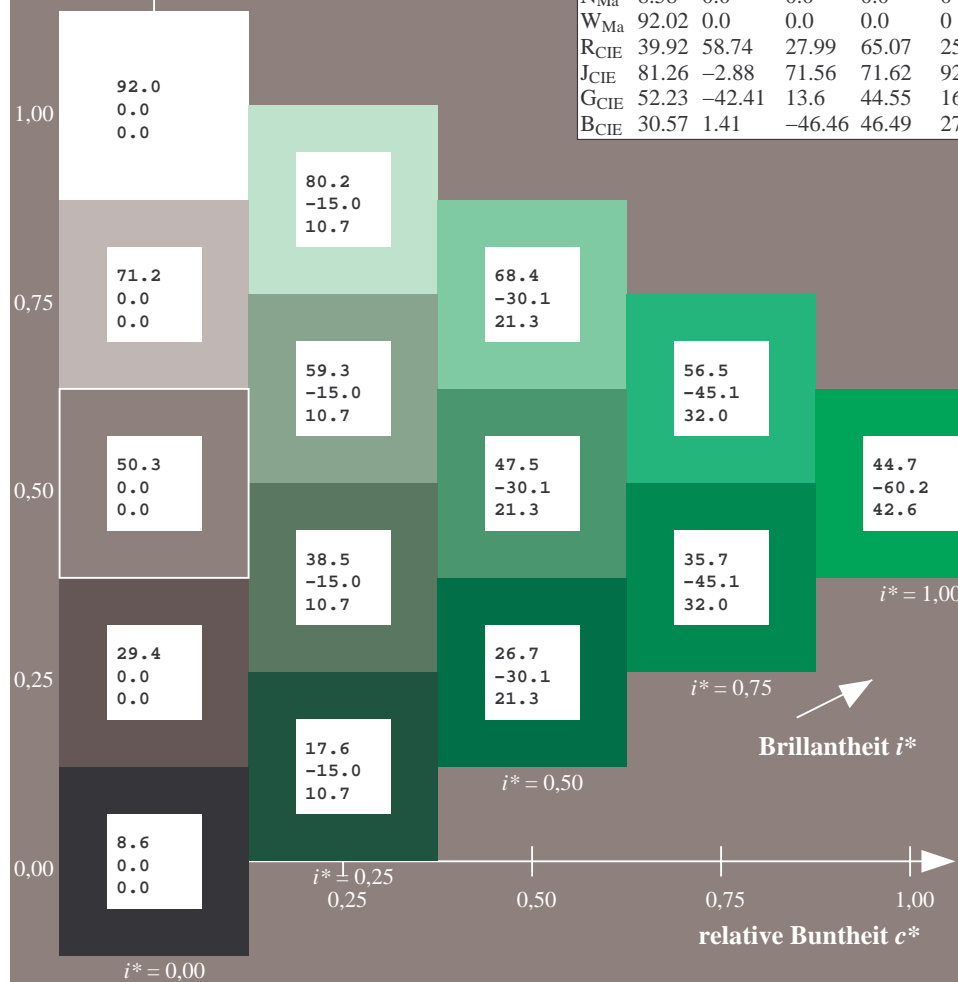
$u^*_{rel} = 109$

%Regularität

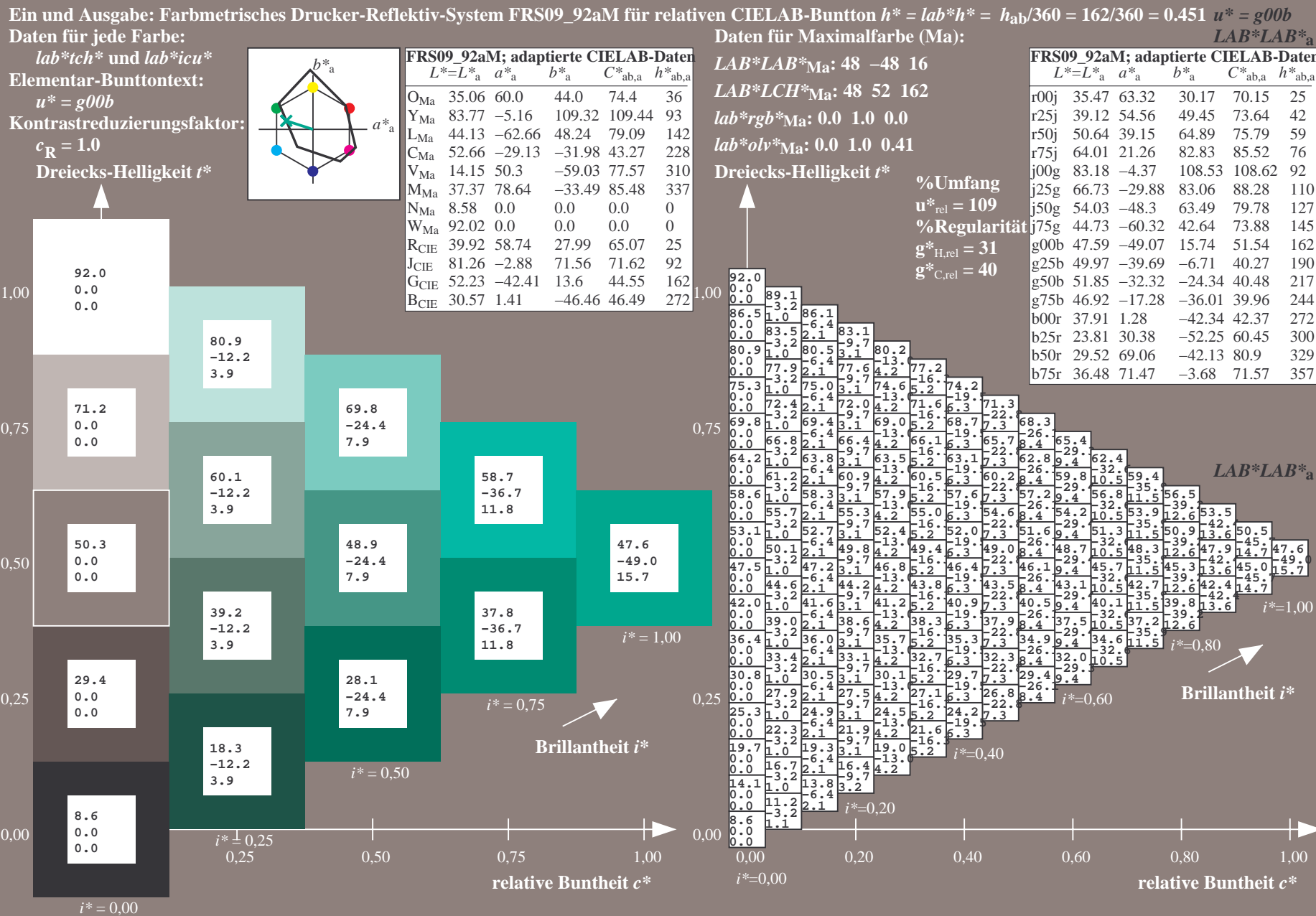
$g^*_{H,rel} = 31$

$g^*_{C,rel} = 40$

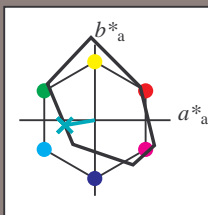
FRS09_92aM; adaptierte CIELAB-Daten					
	$L^*=L^*_a$	$a^*_a$	$b^*_a$	$C^*_{ab,a}$	$h^*_{ab,a}$
r00j	35.47	63.32	30.17	70.15	25
r25j	39.12	54.56	49.45	73.64	42
r50j	50.64	39.15	64.89	75.79	59
r75j	64.01	21.26	82.83	85.52	76
j00g	83.18	-4.37	108.53	108.62	92
j25g	66.73	-29.88	83.06	88.28	110
j50g	54.03	-48.3	63.49	79.78	127
j75g	44.73	-60.32	42.64	73.88	145
g00b	47.59	-49.07	15.74	51.54	162
g25b	49.97	-39.69	-6.71	40.27	190
g50b	51.85	-32.32	-24.34	40.48	217
g75b	46.92	-17.28	-36.01	39.96	244
b00r	37.91	1.28	-42.34	42.37	272
b25r	23.81	30.38	-52.25	60.45	300
b50r	29.52	69.06	-42.13	80.9	329
b75r	36.48	71.47	-3.68	71.57	357







Ein und Ausgabe: Farbmetrisches Drucker-Reflektiv-System FRS09\_92aM für relativen CIELAB-Buntton  $h^* = lab^*h^* = h_{ab}/360 = 190/360 = 0.527$   $u^* = g25b$   
Daten für jede Farbe:  
 $lab^*ch^*$  und  $lab^*icu^*$   
Elementar-Bunttontext:  
 $u^* = g25b$   
Kontrastreduzierungsfaktor:  
 $c_R = 1.0$   
Dreiecks-Helligkeit  $i^*$



FRS09_92aM; adaptierte CIELAB-Daten					
	$L^*=L^*_a$	$a^*_a$	$b^*_a$	$C^*_{ab,a}$	$h^*_{ab,a}$
O <sub>Ma</sub>	35.06	60.0	44.0	74.4	36
Y <sub>Ma</sub>	83.77	-5.16	109.32	109.44	93
L <sub>Ma</sub>	44.13	-62.66	48.24	79.09	142
C <sub>Ma</sub>	52.66	-29.13	-31.98	43.27	228
V <sub>Ma</sub>	14.15	50.3	-59.03	77.57	310
M <sub>Ma</sub>	37.37	78.64	-33.49	85.48	337
N <sub>Ma</sub>	8.58	0.0	0.0	0.0	0
W <sub>Ma</sub>	92.02	0.0	0.0	0.0	0
R <sub>CIE</sub>	39.92	58.74	27.99	65.07	25
J <sub>CIE</sub>	81.26	-2.88	71.56	71.62	92
G <sub>CIE</sub>	52.23	-42.41	13.6	44.55	162
B <sub>CIE</sub>	30.57	1.41	-46.46	46.49	272

Daten für Maximalfarbe (Ma):

$LAB^*LAB^*_{Ma}$ : 50 -39 -6

$LAB^*LCH^*_{Ma}$ : 50 40 190

$lab^*rgb^*_{Ma}$ : 0.0 1.0 0.5

$lab^*olv^*_{Ma}$ : 0.0 1.0 0.69

Dreiecks-Helligkeit  $i^*$

%Umfang

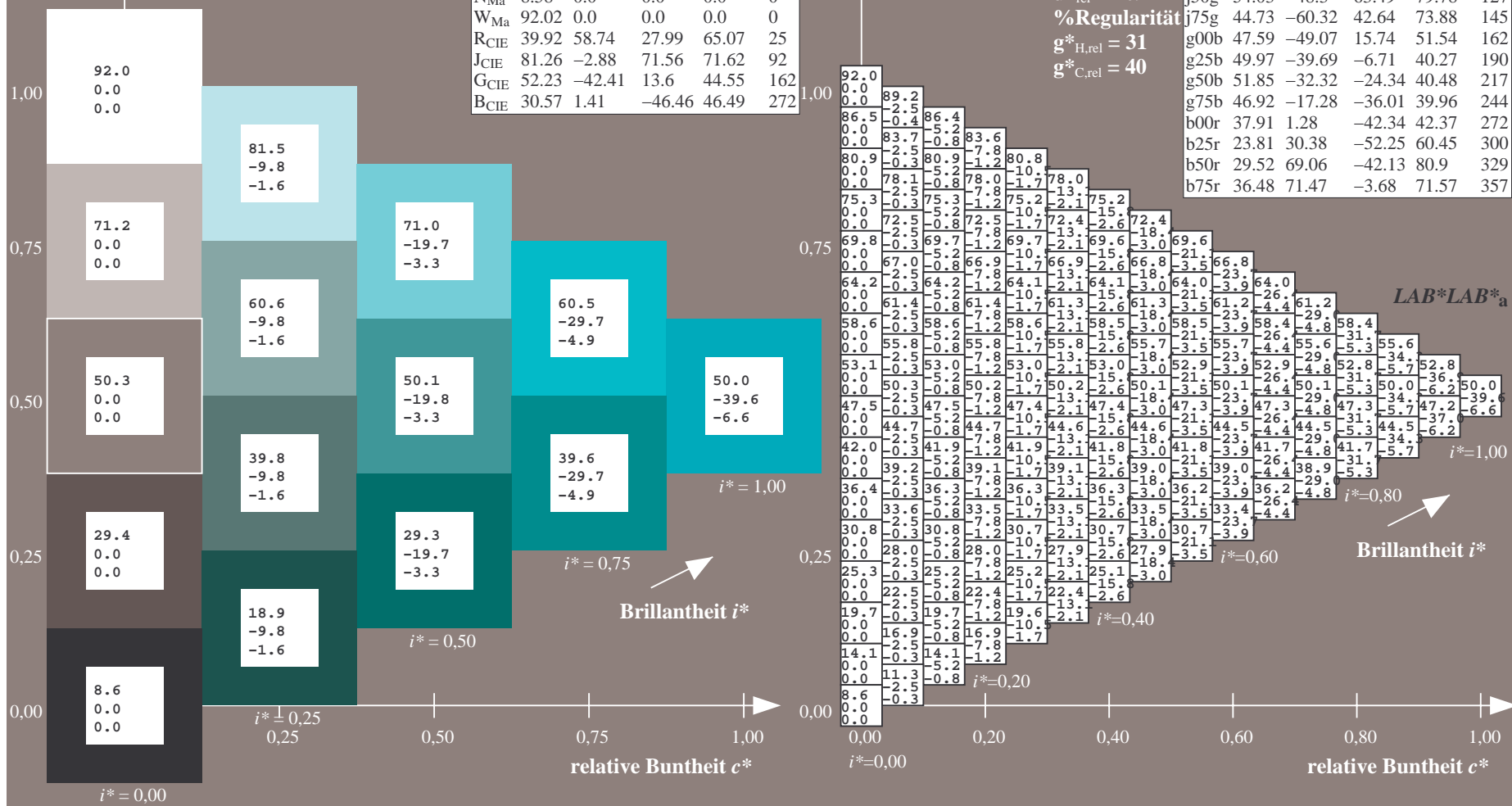
$u^*_{rel} = 109$

%Regularität

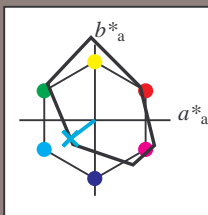
$g^*_{H,rel} = 31$

$g^*_{C,rel} = 40$

FRS09_92aM; adaptierte CIELAB-Daten					
	$L^*=L^*_a$	$a^*_a$	$b^*_a$	$C^*_{ab,a}$	$h^*_{ab,a}$
r00j	35.47	63.32	30.17	70.15	25
r25j	39.12	54.56	49.45	73.64	42
r50j	50.64	39.15	64.89	75.79	59
r75j	64.01	21.26	82.83	85.52	76
j00g	83.18	-4.37	108.53	108.62	92
j25g	66.73	-29.88	83.06	88.28	110
j50g	54.03	-48.3	63.49	79.78	127
j75g	44.73	-60.32	42.64	73.88	145
g00b	47.59	-49.07	15.74	51.54	162
g25b	49.97	-39.69	-6.71	40.27	190
g50b	51.85	-32.32	-24.34	40.48	217
g75b	46.92	-17.28	-36.01	39.96	244
b00r	37.91	1.28	-42.34	42.37	272
b25r	23.81	30.38	-52.25	60.45	300
b50r	29.52	69.06	-42.13	80.9	329
b75r	36.48	71.47	-3.68	71.57	357



Ein und Ausgabe: Farbmetrisches Drucker-Reflektiv-System FRS09\_92aM für relativen CIELAB-Buntton  $h^* = lab^*h^* = h_{ab}/360 = 217/360 = 0.603$   $u^* = g50b$   
Daten für jede Farbe:  
 $lab^*ch^*$  und  $lab^*icu^*$   
Elementar-Bunttontext:  
 $u^* = g50b$   
Kontrastreduzierungsfaktor:  
 $c_R = 1.0$   
Dreiecks-Helligkeit  $i^*$



FRS09_92aM; adaptierte CIELAB-Daten					
	$L^*=L^*_a$	$a^*_a$	$b^*_a$	$C^*_{ab,a}$	$h^*_{ab,a}$
O <sub>Ma</sub>	35.06	60.0	44.0	74.4	36
Y <sub>Ma</sub>	83.77	-5.16	109.32	109.44	93
L <sub>Ma</sub>	44.13	-62.66	48.24	79.09	142
C <sub>Ma</sub>	52.66	-29.13	-31.98	43.27	228
V <sub>Ma</sub>	14.15	50.3	-59.03	77.57	310
M <sub>Ma</sub>	37.37	78.64	-33.49	85.48	337
N <sub>Ma</sub>	8.58	0.0	0.0	0.0	0
W <sub>Ma</sub>	92.02	0.0	0.0	0.0	0
R <sub>CIE</sub>	39.92	58.74	27.99	65.07	25
J <sub>CIE</sub>	81.26	-2.88	71.56	71.62	92
G <sub>CIE</sub>	52.23	-42.41	13.6	44.55	162
B <sub>CIE</sub>	30.57	1.41	-46.46	46.49	272

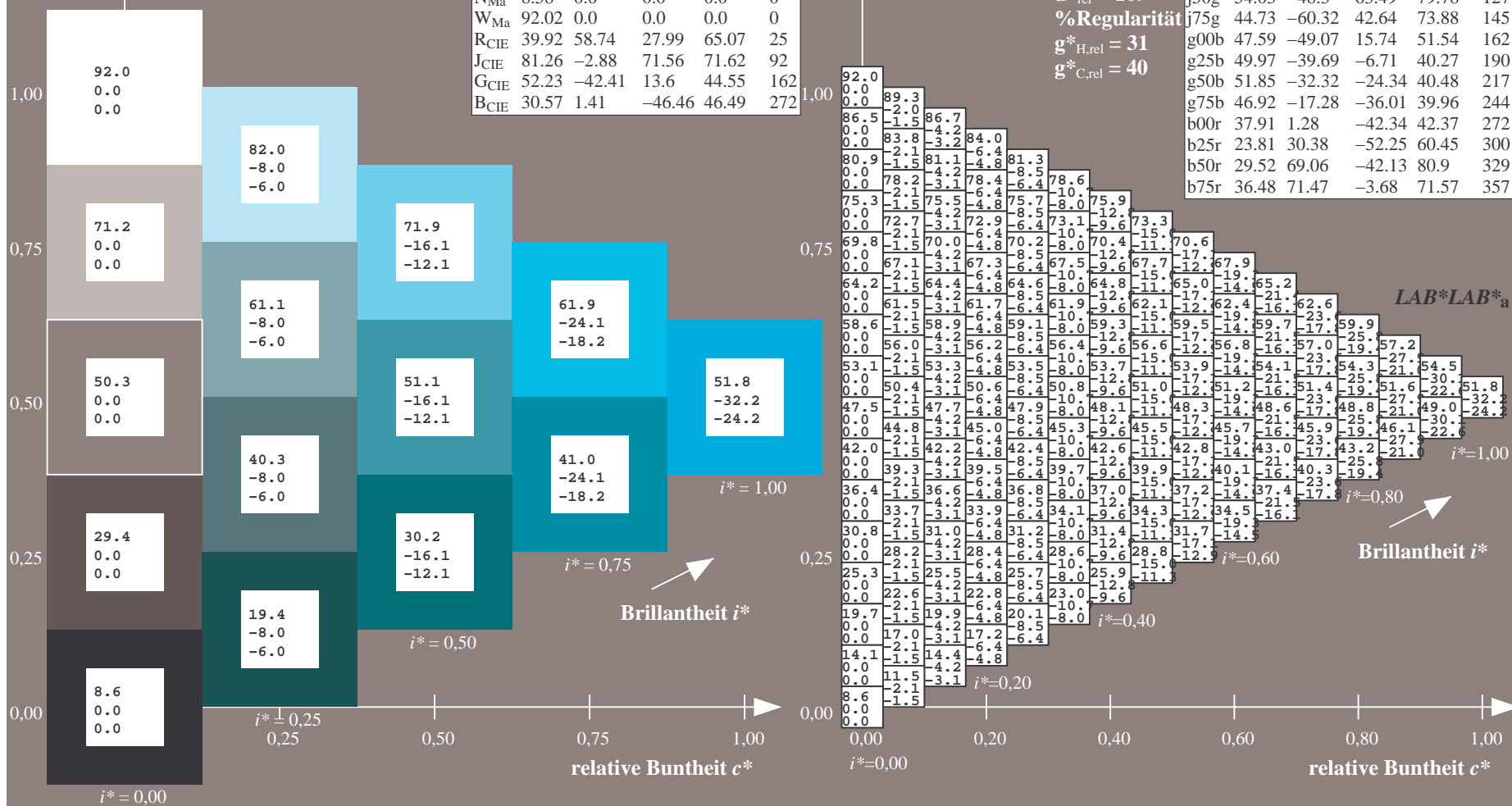
Daten für Maximalfarbe (Ma):

$LAB^*LAB^*_{Ma}$ : 52 -31 -23  
 $LAB^*LCH^*_{Ma}$ : 52 40 217  
 $lab^*rgb^*_{Ma}$ : 0.0 1.0 1.0  
 $lab^*olv^*_{Ma}$ : 0.0 1.0 0.9

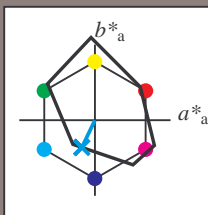
Dreiecks-Helligkeit  $i^*$

%Umfang  
 $u^*_{rel} = 109$   
%Regularität  
 $g^*_{H,rel} = 31$   
 $g^*_{C,rel} = 40$

FRS09_92aM; adaptierte CIELAB-Daten					
	$L^*=L^*_a$	$a^*_a$	$b^*_a$	$C^*_{ab,a}$	$h^*_{ab,a}$
r00j	35.47	63.32	30.17	70.15	25
r25j	39.12	54.56	49.45	73.64	42
r50j	50.64	39.15	64.89	75.79	59
r75j	64.01	21.26	82.83	85.52	76
j00g	83.18	-4.37	108.53	108.62	92
j25g	66.73	-29.88	83.06	88.28	110
j50g	54.03	-48.3	63.49	79.78	127
j75g	44.73	-60.32	42.64	73.88	145
g00b	47.59	-49.07	15.74	51.54	162
g25b	49.97	-39.69	-6.71	40.27	190
g50b	51.85	-32.32	-24.34	40.48	217
g75b	46.92	-17.28	-36.01	39.96	244
b00r	37.91	1.28	-42.34	42.37	272
b25r	23.81	30.38	-52.25	60.45	300
b50r	29.52	69.06	-42.13	80.9	329
b75r	36.48	71.47	-3.68	71.57	357



Ein und Ausgabe: Farbmetrisches Drucker-Reflektiv-System FRS09\_92aM für relativen CIELAB-Buntton  $h^* = lab^*h^* = h_{ab}/360 = 244/360 = 0.679$   $u^* = g75b$   
Daten für jede Farbe:  
 $lab^*ch^*$  und  $lab^*icu^*$   
Elementar-Bunttontext:  
 $u^* = g75b$   
Kontrastreduzierungsfaktor:  
 $c_R = 1.0$   
Dreiecks-Helligkeit  $t^*$



FRS09_92aM; adaptierte CIELAB-Daten					
	$L^*=L^*_a$	$a^*_a$	$b^*_a$	$C^*_{ab,a}$	$h^*_{ab,a}$
O <sub>Ma</sub>	35.06	60.0	44.0	74.4	36
Y <sub>Ma</sub>	83.77	-5.16	109.32	109.44	93
L <sub>Ma</sub>	44.13	-62.66	48.24	79.09	142
C <sub>Ma</sub>	52.66	-29.13	-31.98	43.27	228
V <sub>Ma</sub>	14.15	50.3	-59.03	77.57	310
M <sub>Ma</sub>	37.37	78.64	-33.49	85.48	337
N <sub>Ma</sub>	8.58	0.0	0.0	0.0	0
W <sub>Ma</sub>	92.02	0.0	0.0	0.0	0
R <sub>CIE</sub>	39.92	58.74	27.99	65.07	25
J <sub>CIE</sub>	81.26	-2.88	71.56	71.62	92
G <sub>CIE</sub>	52.23	-42.41	13.6	44.55	162
B <sub>CIE</sub>	30.57	1.41	-46.46	46.49	272

Daten für Maximalfarbe (Ma):

$LAB^*LAB^*_{Ma}$ : 47 -16 -35

$LAB^*LCH^*_{Ma}$ : 47 40 244

$lab^*rgb^*_{Ma}$ : 0.0 0.5 1.0

$lab^*olv^*_{Ma}$ : 0.0 0.85 1.0

Dreiecks-Helligkeit  $t^*$

%Umfang

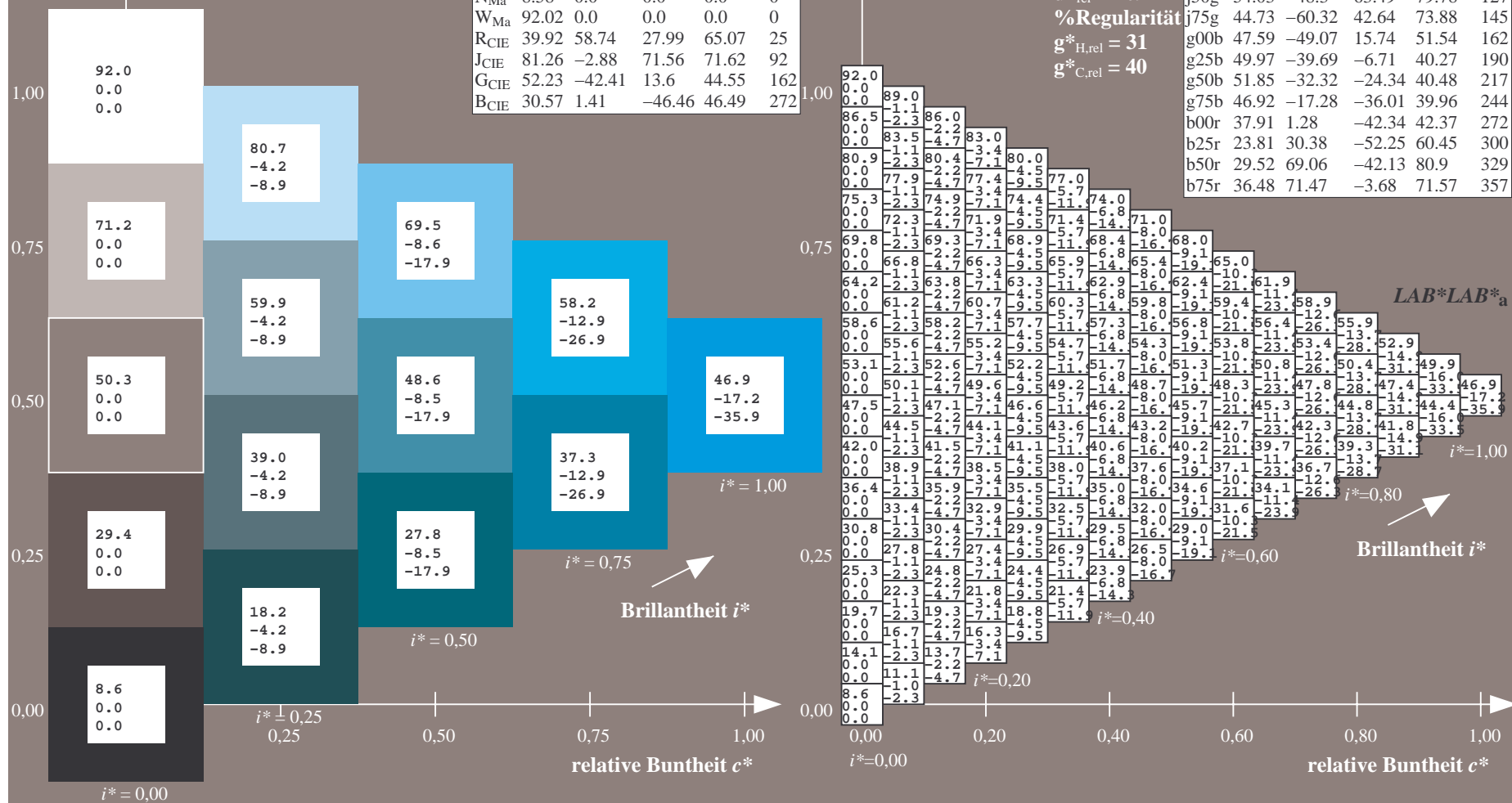
$u^*_{rel} = 109$

%Regularität

$g^*_{H,rel} = 31$

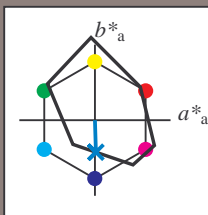
$g^*_{C,rel} = 40$

FRS09_92aM; adaptierte CIELAB-Daten					
	$L^*=L^*_a$	$a^*_a$	$b^*_a$	$C^*_{ab,a}$	$h^*_{ab,a}$
r00j	35.47	63.32	30.17	70.15	25
r25j	39.12	54.56	49.45	73.64	42
r50j	50.64	39.15	64.89	75.79	59
r75j	64.01	21.26	82.83	85.52	76
j00g	83.18	-4.37	108.53	108.62	92
j25g	66.73	-29.88	83.06	88.28	110
j50g	54.03	-48.3	63.49	79.78	127
j75g	44.73	-60.32	42.64	73.88	145
g00b	47.59	-49.07	15.74	51.54	162
g25b	49.97	-39.69	-6.71	40.27	190
g50b	51.85	-32.32	-24.34	40.48	217
g75b	46.92	-17.28	-36.01	39.96	244
b00r	37.91	1.28	-42.34	42.37	272
b25r	23.81	30.38	-52.25	60.45	300
b50r	29.52	69.06	-42.13	80.9	329
b75r	36.48	71.47	-3.68	71.57	357





Ein und Ausgabe: Farbmetrisches Drucker-Reflektiv-System FRS09\_92aM für relativen CIELAB-Buntton  $h^* = lab^*h^* = h_{ab}/360 = 272/360 = 0.755$   $u^* = b00r$   
Daten für jede Farbe:  
 $lab^*ch^*$  und  $lab^*icu^*$   
Elementar-Bunttontext:  
 $u^* = b00r$   
Kontrastreduzierungsfaktor:  
 $c_R = 1.0$   
Dreiecks-Helligkeit  $t^*$



FRS09_92aM; adaptierte CIELAB-Daten					
	$L^*=L^*_a$	$a^*_a$	$b^*_a$	$C^*_{ab,a}$	$h^*_{ab,a}$
O <sub>Ma</sub>	35.06	60.0	44.0	74.4	36
Y <sub>Ma</sub>	83.77	-5.16	109.32	109.44	93
L <sub>Ma</sub>	44.13	-62.66	48.24	79.09	142
C <sub>Ma</sub>	52.66	-29.13	-31.98	43.27	228
V <sub>Ma</sub>	14.15	50.3	-59.03	77.57	310
M <sub>Ma</sub>	37.37	78.64	-33.49	85.48	337
N <sub>Ma</sub>	8.58	0.0	0.0	0.0	0
W <sub>Ma</sub>	92.02	0.0	0.0	0.0	0
R <sub>CIE</sub>	39.92	58.74	27.99	65.07	25
J <sub>CIE</sub>	81.26	-2.88	71.56	71.62	92
G <sub>CIE</sub>	52.23	-42.41	13.6	44.55	162
B <sub>CIE</sub>	30.57	1.41	-46.46	46.49	272

Daten für Maximalfarbe (Ma):

$LAB^*LAB^*_{Ma}$ : 38 1 -41

$LAB^*LCH^*_{Ma}$ : 38 42 272

$lab^*rgb^*_{Ma}$ : 0.0 0.0 1.0

$lab^*olv^*_{Ma}$ : 0.0 0.62 1.0

Dreiecks-Helligkeit  $t^*$

%Umfang

$u^*_{rel} = 109$

%Regularität

$g^*_{H,rel} = 31$

$g^*_{C,rel} = 40$

FRS09_92aM; adaptierte CIELAB-Daten					
	$L^*=L^*_a$	$a^*_a$	$b^*_a$	$C^*_{ab,a}$	$h^*_{ab,a}$
r00j	35.47	63.32	30.17	70.15	25
r25j	39.12	54.56	49.45	73.64	42
r50j	50.64	39.15	64.89	75.79	59
r75j	64.01	21.26	82.83	85.52	76
j00g	83.18	-4.37	108.53	108.62	92
j25g	66.73	-29.88	83.06	88.28	110
j50g	54.03	-48.3	63.49	79.78	127
j75g	44.73	-60.32	42.64	73.88	145
g00b	47.59	-49.07	15.74	51.54	162
g25b	49.97	-39.69	-6.71	40.27	190
g50b	51.85	-32.32	-24.34	40.48	217
g75b	46.92	-17.28	-36.01	39.96	244
b00r	37.91	1.28	-42.34	42.37	272
b25r	23.81	30.38	-52.25	60.45	300
b50r	29.52	69.06	-42.13	80.9	329
b75r	36.48	71.47	-3.68	71.57	357



**Dieckmann-Henningkeit**



Siehe ähnliche Dateien: <http://www.ps.bam.de/Dg92/>; [www.ps.bam.de/Dg.HTM](http://www.ps.bam.de/Dg.HTM)  
Technische Information: <http://www.ps.bam.de> Version 2.1, io=1, ColSp=0

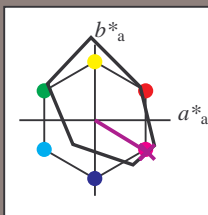
BAM-Registrierung: 20080701-Dg92/10L/L92G00NA.PS/ .TXTBAM-Material: Code=rha4ta  
- Anwendung für Beurteilung und Messung von Drucker- oder Monitorsystemen

BAM-Prüfvorlage Dg92; Farbmatrik-Systeme, Seite 69/180  
Farbreihen, 8 Datentabellen für 16 Bunntöne *r00j* bis *b75r*

Eingabe: 000n / w / nnn0 / www set...  
Ausgabe: ->cmyn5\* setcmykcolor

BAM-Registrierung: 20080701-Dg92/10L/L92G00NA.PS/ .TXTBAM-Material: Code=rha4ta  
Anwendung für Beurteilung und Messung von Druck- oder Monitorsystemen

Ein und Ausgabe: Farbmetrisches Drucker-Reflektiv-System FRS09\_92aM für relativen CIELAB-Buntton  $h^* = lab^*h^* = h_{ab}/360 = 329/360 = 0.913$   $u^* = b50r$   
Daten für jede Farbe:  
 $lab^*ch^*$  und  $lab^*icu^*$   
Elementar-Bunttontext:  
 $u^* = b50r$   
Kontrastreduzierungsfaktor:  
 $c_R = 1.0$   
Dreiecks-Helligkeit  $t^*$



FRS09_92aM; adaptierte CIELAB-Daten					
	$L^*=L_a^*$	$a_a^*$	$b_a^*$	$C^*_{ab,a}$	$h^*_{ab,a}$
O <sub>Ma</sub>	35.06	60.0	44.0	74.4	36
Y <sub>Ma</sub>	83.77	-5.16	109.32	109.44	93
L <sub>Ma</sub>	44.13	-62.66	48.24	79.09	142
C <sub>Ma</sub>	52.66	-29.13	-31.98	43.27	228
V <sub>Ma</sub>	14.15	50.3	-59.03	77.57	310
M <sub>Ma</sub>	37.37	78.64	-33.49	85.48	337
N <sub>Ma</sub>	8.58	0.0	0.0	0.0	0
W <sub>Ma</sub>	92.02	0.0	0.0	0.0	0
R <sub>CIE</sub>	39.92	58.74	27.99	65.07	25
J <sub>CIE</sub>	81.26	-2.88	71.56	71.62	92
G <sub>CIE</sub>	52.23	-42.41	13.6	44.55	162
B <sub>CIE</sub>	30.57	1.41	-46.46	46.49	272

Daten für Maximalfarbe (Ma):

$LAB^*LAB^*_{Ma}$ : 30 69 -41

$LAB^*LCH^*_{Ma}$ : 30 81 329

$lab^*rgb^*_{Ma}$ : 1.0 0.0 1.0

$lab^*olv^*_{Ma}$ : 0.66 0.0 1.0

Dreiecks-Helligkeit  $t^*$

%Umfang

$u^*_{rel} = 109$

%Regularität

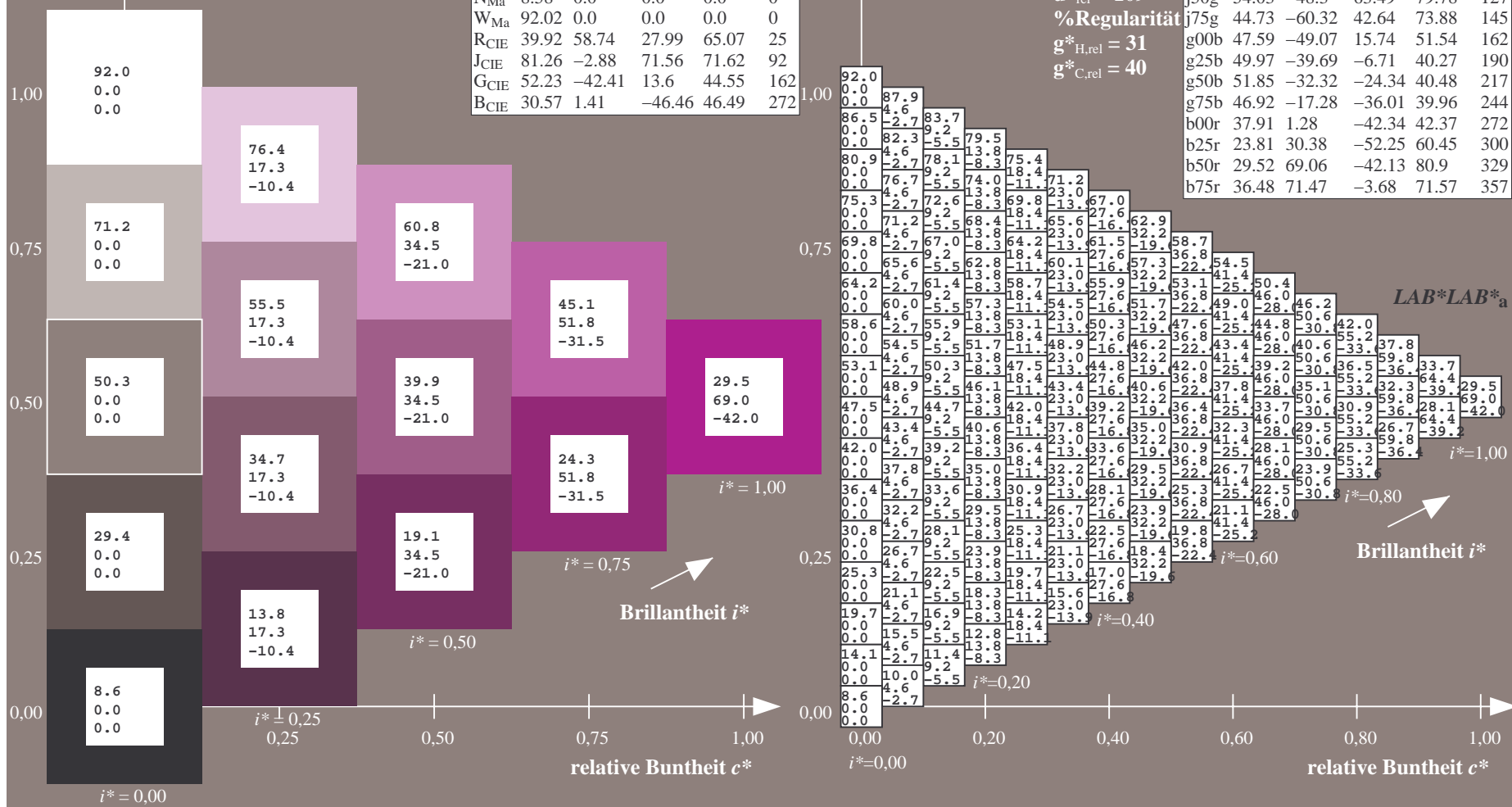
$g^*_{H,rel} = 31$

$g^*_{C,rel} = 40$

FRS09_92aM; adaptierte CIELAB-Daten					
	$L^*=L_a^*$	$a_a^*$	$b_a^*$	$C^*_{ab,a}$	$h^*_{ab,a}$
r00j	35.47	63.32	30.17	70.15	25
r25j	39.12	54.56	49.45	73.64	42
r50j	50.64	39.15	64.89	75.79	59
r75j	64.01	21.26	82.83	85.52	76
j00g	83.18	-4.37	108.53	108.62	92
j25g	66.73	-29.88	83.06	88.28	110
j50g	54.03	-48.3	63.49	79.78	127
j75g	44.73	-60.32	42.64	73.88	145
g00b	47.59	-49.07	15.74	51.54	162
g25b	49.97	-39.69	-6.71	40.27	190
g50b	51.85	-32.32	-24.34	40.48	217
g75b	46.92	-17.28	-36.01	39.96	244
b00r	37.91	1.28	-42.34	42.37	272
b25r	23.81	30.38	-52.25	60.45	300
b50r	29.52	69.06	-42.13	80.9	329
b75r	36.48	71.47	-3.68	71.57	357

Siehe ähnliche Dateien: <http://www.ps.bam.de/Dg92/>; [www.ps.bam.de/Dg92/HTM](http://www.ps.bam.de/Dg92/HTM)  
Technische Information: <http://www.ps.bam.de> Version 2.1, io=1,1, ColSpX=0

BAM-Registrierung: 20080701-Dg92/10L/L92G00NA.PS/.TXTBAM-Material: Code=rh4ta  
Anwendung für Beurteilung und Messung von Drucker- oder Monitorsystemen



Brooks Houghton



j25g	66.73	-29.88	83.06	88.28	110
------	-------	--------	-------	-------	-----



Farbreihen, 8 Datentabellen für 16 Bunttöne *r00j* bis *b75r*

Ausgabe:  $\rightarrow cmy\mathbf{n}5^* setcmy\mathbf{k}color$

Alta

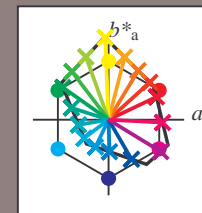
Siehe ähnliche Dateien: <http://www.ps.bam.de/Dg92/>; [www.ps.bam.de/Dg92/10L/L92G00NA.PS/.TXT](http://www.ps.bam.de/Dg92/10L/L92G00NA.PS/.TXT)  
Technische Information: [http://www.ps.bam.de/Version 2.1, io=1.1, ColSpX=0](http://www.ps.bam.de/Version%202.1,%20io=1.1,%20ColSpX=0)

	A	B	C	D	E	F	G	H	I	J	K	L	M	N	O	P	Q	R	S	T	U	V	W	X	Y	Z	a	b	c	d	e	f	g	h	i	j	k	LAB*	LAB*
01	8.6	13.0	17.5	21.9	26.4	30.8	35.2	39.7	44.1	11.9	18.0	22.4	26.9	31.3	35.8	40.2	44.6	49.1	15.2	21.3	27.4	31.8	36.3	40.7	45.2	49.6	54.0	58.4	62.8	67.3	71.7	76.2	80.6	85.1	89.5	93.9	98.4	102.8	
02	0.0	-7.7	-15.6	-23.4	-31.2	-39.1	-46.9	-54.7	-62.5	-70.3	-78.1	-85.9	-93.7	-101.5	-109.3	-117.1	-124.9	-132.7	-140.5	-148.3	-156.1	-163.9	-171.7	-179.5	-187.3	-195.1	-202.9	-210.7	-218.5	-226.3	-234.1	-241.9	-249.7	-257.5	-265.3	-273.1	-280.9	-288.7	-296.5
03	9.3	14.1	18.5	23.0	27.4	31.9	36.3	40.8	45.2	12.2	19.0	23.5	27.9	32.3	36.8	41.2	45.7	50.1	15.5	22.3	28.4	32.9	37.3	41.7	46.2	50.6	55.1	59.5	63.9	68.3	72.7	77.1	81.6	86.0	90.4	94.8	99.2	103.6	
04	6.3	-3.5	-11.4	19.2	-27.0	-34.9	-42.7	-50.5	-58.4	8.0	-7.7	-15.6	-23.4	-31.2	-39.1	-46.9	-54.7	-62.5	7.5	-0.5	-8.4	-16.2	-24.0	-31.9	-39.7	-47.5	-55.3	-63.1	-70.9	-78.7	-86.5	-94.3	-102.1	-109.9	-117.7	-125.5	-133.3	-141.1	
05	-7.3	-3.9	2.0	8.1	14.1	20.1	26.2	32.2	38.2	-4.1	0.0	6.0	12.1	18.1	24.1	30.2	36.2	42.2	1.3	5.5	13.7	19.7	25.7	31.8	37.8	43.8	49.8	-3.9	0.0	5.5	11.0	16.5	22.0	27.5	33.0	38.5	44.0		
06	10.0	14.8	19.6	24.4	28.5	32.9	37.4	41.8	46.3	12.9	19.7	24.5	29.0	33.4	37.9	42.3	46.7	51.2	15.8	22.6	29.4	33.9	38.3	42.8	47.2	51.7	56.1	60.6	65.0	69.4	73.9	78.3	82.8	87.2	91.7	96.1	100.6		
07	12.6	6.2	-7.2	-15.0	-22.8	-30.7	-38.5	-46.3	-54.1	16.1	6.3	-3.5	-11.4	-19.2	-27.0	-34.9	-42.7	-50.5	7.9	9.8	0.0	-7.7	-15.6	-23.4	-31.2	-39.1	-46.9	-54.7	-62.5	-70.3	-78.1	-85.9	-93.7	-101.5	-109.3	-117.1	-124.9		
08	-14.7	-11.3	-7.9	-1.9	4.1	10.1	16.1	22.2	28.2	-11.5	-7.3	-3.9	2.0	8.1	14.1	20.1	26.2	32.2	-8.3	-4.1	0.0	6.0	12.1	18.1	24.1	30.2	36.2	42.2	48.2	54.2	60.2	66.2	72.2	78.2	84.2	90.2	96.2		
09	10.7	15.5	20.3	25.1	29.6	34.0	38.4	42.9	47.3	13.6	20.4	25.2	30.0	34.5	38.9	43.4	47.8	52.2	16.3	23.0	30.1	34.9	39.8	44.8	49.8	54.8	59.7	64.7	69.7	74.7	79.7	84.7	89.7	94.7	99.7	104.7			
10	18.9	8.9	-0.9	-10.8	-18.7	-26.5	-34.3	-42.2	-50.0	22.4	12.6	2.6	-7.2	-15.0	-22.9	-30.7	-38.5	-46.3	16.1	6.3	-3.5	-11.4	-19.2	-27.0	-34.9	-42.7	-50.5	-58.3	-66.1	-73.9	-81.7	-89.5	-97.3	-105.1	-112.9	-120.7	-128.5		
11	-22.0	-18.7	-15.3	-11.9	-5.9	0.1	6.1	12.1	18.2	-18.8	-14.7	-11.3	-7.9	-1.9	4.1	10.1	16.1	22.2	-15.7	-11.5	-7.3	-3.9	2.0	8.1	14.1	20.1	26.2	32.2	38.2	44.2	50.2	56.2	62.2	68.2	74.2	80.2	86.2		
12	25.1	15.2	5.3	-4.5	-14.5	-25.3	-30.1	-38.0	-45.8	28.7	18.9	8.9	-0.9	-10.8	-18.7	-26.5	-34.3	-42.2	28.7	18.9	8.9	-0.9	-10.8	-18.7	-26.5	-34.3	-42.1	-50.0	-57.8	-65.6	-73.4	-81.2	-89.0	-96.8	-104.6	-112.4	-120.2		
13	-29.4	-26.0	-22.7	-19.3	-15.9	-9.9	-3.8	2.1	8.1	-26.2	-22.0	-18.7	-15.3	-11.9	-5.9	0.1	6.1	12.1	18.2	-23.0	-18.8	-14.7	-11.3	-7.9	-1.9	4.1	10.1	16.1	22.2	28.2	34.2	40.2	46.2	52.2	58.2	64.2	70.2		
14	12.1	16.9	21.7	26.5	31.3	36.1	40.9	45.7	50.5	15.0	21.8	26.6	31.4	36.2	41.1	45.9	50.7	55.4	60.2	65.0	69.8	74.6	79.4	84.2	89.0	93.8	98.6	103.4	108.2	113.0	117.8	122.6	127.4	132.2	137.0	141.8			
15	31.4	21.5	11.6	1.7	-8.2	-18.1	-25.9	-33.8	-41.6	25.2	15.2	5.3	-4.5	-14.5	-22.3	-30.1	-37.9	-45.7	28.7	18.9	8.9	-0.9	-10.8	-18.7	-26.5	-34.3	-42.1	-50.0	-57.8	-65.6	-73.4	-81.2	-89.0	-96.8	-104.6	-112.4	-120.2		
16	-36.8	-33.4	-30.0	-26.7	-23.3	-19.9	-13.9	-7.8	-1.8	33.6	29.4	26.0	22.7	19.3	15.9	12.5	9.1	5.7	2.3	-13.0	-26.2	-22.0	-18.7	-15.3	-11.9	-5.9	0.1	6.1	12.1	18.1	24.1	30.1	36.1	42.1	48.1	54.1	60.1		
17	12.8	17.6	22.4	27.2	32.0	36.8	41.6	46.4	51.2	15.7	22.5	27.3	32.1	36.9	41.7	46.5	51.3	56.1	60.9	65.7	70.5	75.3	80.1	84.9	89.7	94.5	99.3	104.1	108.9	113.7	118.5	123.3	128.1	132.9	137.7	142.5			
18	37.7	27.8	17.9	7.9	-2.0	-11.8	-21.8	-29.6	-37.4	44.3	31.4	21.1	11.6	1.6	-8.2	-16.0	-23.8	-31.6	48.8	35.0	25.2	15.2	5.2	4.6	5.1	5.6	6.1	6.6	7.1	7.6	8.1	8.6	9.1	9.6	10.1	10.6			
19	-44.2	-40.8	-37.4	-34.0	-30.7	-27.3	-23.9	-17.9	-11.8	41.0	-36.8	-33.4	-30.0	-26.7	-23.3	-19.9	-13.9	-7.8	-1.8	37.8	33.6	29.4	26.0	22.7	19.3	15.9	12.5	9.1	5.7	2.3	-13.0	-26.2	-22.0	-18.7	-15.3	-11.9	-5.9		
20	13.5	18.3	23.1	27.9	32.7	37.5	42.3	47.2	51.6	16.4	23.2	28.0	32.8	37.6	42.4	47.3	52.1	56.5	19.3	26.1	32.9	37.7	42.5	47.4	52.2	57.0	61.4	65.7	69.9	74.1	78.3	82.5	86.7	90.9	95.1	99.3			
21	44.0	34.1	24.2	14.2	4.3	-5.5	-15.5	-25.4	-33.2	47.6	37.7	27.8	17.9	7.9	-1.9	-11.8	-21.8	-29.6	41.3	31.4	21.5	11.6	1.6	-8.2	-16.1	-25.9	-35.8	-45.7	-55.6	-65.5	-75.4	-85.3	-95.2	-105.1	-115.0	-124.9			
22	-51.6	-48.2	-44.8	-41.4	-38.0	-34.6	-31.3	-27.9	-21.9	48.4	44.2	40.8	37.4	34.0	30.7	27.3	23.9	17.9	45.2	41.0	-36.8	-33.4	-30.0	-26.7	-23.3	-19.9	-13.9	-7.8	-1.8	33.6	29.4	26.0	22.6	19.2	15.8	12.4			
23	14.2	19.0	23.8	28.6	33.4	38.2	43.0	47.8	52.7	17.1	23.9	28.7	33.5	38.3	43.1	47.9	52.7	57.5	62.3	67.1	71.9	76.7	81.5	86.3	91.1	95.9	100.7	105.5	110.3	115.1	119.9	124.7	129.5	134.3	139.1	143.9			
24	50.3	40.4	30.4	20.5	10.6	0.6	-9.2	-19.1	-29.0	53.8	44.0	34.1	24.1	14.2	4.3	-5.5	-15.5	-25.4	47.4	37.7	27.8	17.9	7.9	-1.9	-11.8	-21.8	-31.7	-41.6	-51.5	-61.4	-71.3	-81.2	-91.1	-101.0	-110.9	-120.8			
25	-58.9	-55.6	-52.2	-48.8	-45.4	-42.0	-38.6	-35.3	-31.9	-55.7	-51.6	-48.2	-44.8	-41.4	-38.0	-34.6	-31.2	-27.9	-24.5	48.6	44.2	40.8	37.4	34.0	30.6	27.2	23.8	20.4	17.0	13.6	10.2	6.8	3.4	0.0	-3.4	-6.8			
26	18.5	24.6	30.7	36.8	41.7	45.7	50.1	54.6	59.0	21.8	27.9	34.0	40.1	46.2	50.6	55.1	59.5	63.9	68.3	72.7	77.1	81.5	85.9	90.3	94.7	99.1	103.5	107.9	112.3	116.7	121.1	125.5	129.9	134.3	138.7	143.1			
27	22.5	14.4	6.2	-1.8	-9.7	-17.5	-25.3	-33.2	-41.0	20.1	21.9	13.7	5.6	-2.5	-10.3	-18.2	-26.0	-33.8	31.2	47.4	63.6	79.8	95.9	112.1	128.3	144.5	160.7	176.9	193.1	209.3	225.5	241.7	257.9	274.1	290.3				
28	16.5	24.7	32.8	41.0	47.0	53.0	59.1	65.1	71.1	22.0	30.2	38.3	46.5	54.6	60.7	66.7	72.7	78.7	84.7	90.7	96.7	102.7	108.7	114.7	120.7	126.7	132.7	138.7	144.7	150.7	156.7	162.7	168.7	174.7	180.7				
29	18.8	25.6	31.7	37.8	42.3	46.7	51.1	55.6	60.0	22.1	28.9	35.0	41.1	47.2	51.6	56.1	60.5	64.9	69.3	73.7	78.1	82.5	86.9	91.3	95.7	100.1	104.5	108.9	113.3	117.7	122.1	126.5	130						



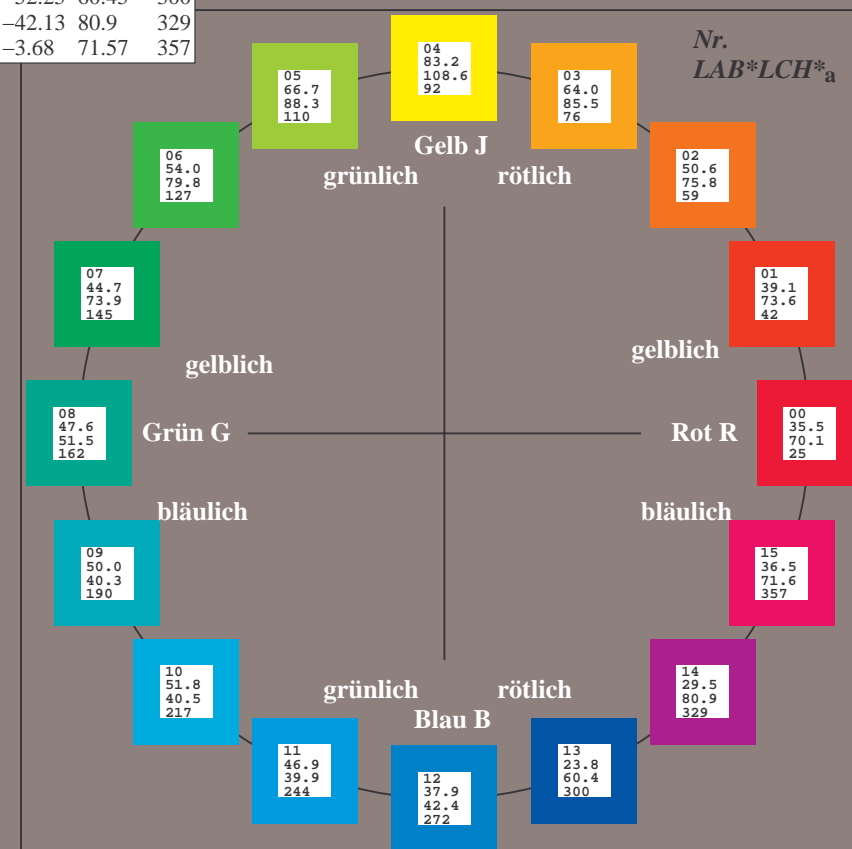
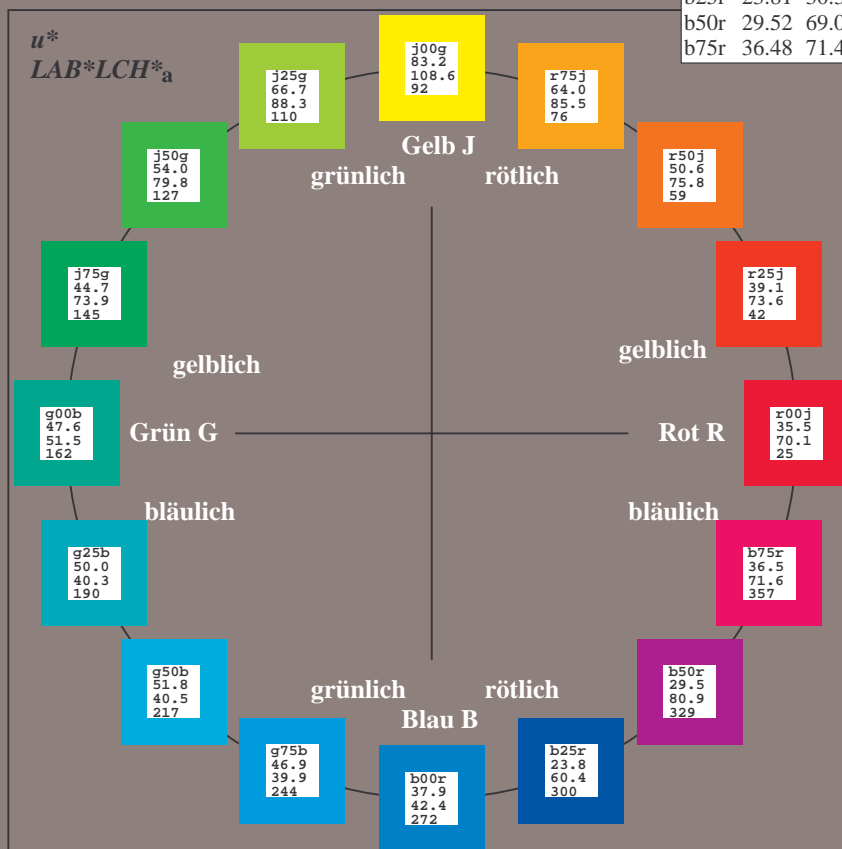
Ein und Ausgabe:  
Farbmetrisches Drucker-Reflektiv-System FRS09\_92aM  
Daten für jede Farbe:  
*lab\*<sub>1</sub>ch\* und lab\*<sub>1</sub>icu\**  
Elementar-Bunttontext:  
*u\* = 16 Buntttöne r00j, r25j, ..., b75r*  
Kontrastreduzierungsfaktor:  
 $c_R = 1.0$

FRS09_92aM; adaptierte CIELAB-Daten					
	$L^*=L^*_a$	$a^*_a$	$b^*_a$	$C^*_{ab,a}$	$h^*_{ab,a}$
r00j	35.47	63.32	30.17	70.15	25
r25j	39.12	54.56	49.45	73.64	42
r50j	50.64	39.15	64.89	75.79	59
r75j	64.01	21.26	82.83	85.52	76
j00g	83.18	-4.37	108.53	108.62	92
j25g	66.73	-29.88	83.06	88.28	110
j50g	54.03	-48.3	63.49	79.78	127
j75g	44.73	-60.32	42.64	73.88	145
g00b	47.59	-49.07	15.74	51.54	162
g25b	49.97	-39.69	-6.71	40.27	190
g50b	51.85	-32.32	-24.34	40.48	217
g75b	46.92	-17.28	-36.01	39.96	244
b00r	37.91	1.28	-42.34	42.37	272
b25r	23.81	30.38	-52.25	60.45	300
b50r	29.52	69.06	-42.13	80.9	329
b75r	36.48	71.47	-3.68	71.57	357



%Umfang  
 $u^*_{rel} = 109$   
%Regularität  
 $g^*_{H,rel} = 31$   
 $g^*_{C,rel} = 40$

FRS09_92aM; adaptierte CIELAB-Daten					
	$L^*=L^*_a$	$a^*_a$	$b^*_a$	$C^*_{ab,a}$	$h^*_{ab,a}$
OMa	35.06	60.0	44.0	74.4	36
YMa	83.77	-5.16	109.32	109.44	93
LMa	44.13	-62.66	48.24	79.09	142
CMa	52.66	-29.13	-31.98	43.27	228
VMa	14.15	50.3	-59.03	77.57	310
MMa	37.37	78.64	-33.49	85.48	337
NMa	8.58	0.0	0.0	0.0	0
WMa	92.02	0.0	0.0	0.0	0
RCIE	39.92	58.74	27.99	65.07	25
JCIE	81.26	-2.88	71.56	71.62	92
GCIE	52.23	-42.41	13.6	44.55	162
BCIE	30.57	1.41	-46.46	46.49	272





Ein und Ausgabe: Farbmetrisches Drucker-Reflektiv-System FRS09\_92aM für relativen CIELAB-Buntton  $h^* = lab^*h^* = h_{ab}/360 = 25/360 = 0.071$   $u^* = r00j$

Daten für jede Farbe:

$lab^*ch^*$  und  $lab^*icu^*$

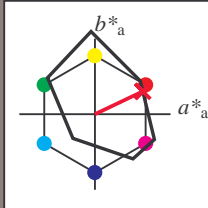
Elementar-Bunttontext:

$u^* = r00j$

Kontrastreduzierungsfaktor:

$c_R = 1.0$

Dreiecks-Helligkeit  $t^*$



FRS09_92aM; adaptierte CIELAB-Daten					
	$L^*=L^*_a$	$a^*_a$	$b^*_a$	$C^*_{ab,a}$	$h^*_{ab,a}$
O <sub>Ma</sub>	35.06	60.0	44.0	74.4	36
Y <sub>Ma</sub>	83.77	-5.16	109.32	109.44	93
L <sub>Ma</sub>	44.13	-62.66	48.24	79.09	142
C <sub>Ma</sub>	52.66	-29.13	-31.98	43.27	228
V <sub>Ma</sub>	14.15	50.3	-59.03	77.57	310
M <sub>Ma</sub>	37.37	78.64	-33.49	85.48	337
N <sub>Ma</sub>	8.58	0.0	0.0	0.0	0
W <sub>Ma</sub>	92.02	0.0	0.0	0.0	0
R <sub>CIE</sub>	39.92	58.74	27.99	65.07	25
J <sub>CIE</sub>	81.26	-2.88	71.56	71.62	92
G <sub>CIE</sub>	52.23	-42.41	13.6	44.55	162
B <sub>CIE</sub>	30.57	1.41	-46.46	46.49	272

Daten für Maximalfarbe (Ma):

$LAB^*LAB^*_{Ma}$ : 35 63 30

$LAB^*LCH^*_{Ma}$ : 35 70 25

$lab^*rgb^*_{Ma}$ : 1.0 0.0 0.0

$lab^*olv^*_{Ma}$ : 1.0 0.0 0.18

Dreiecks-Helligkeit  $t^*$

%Umfang

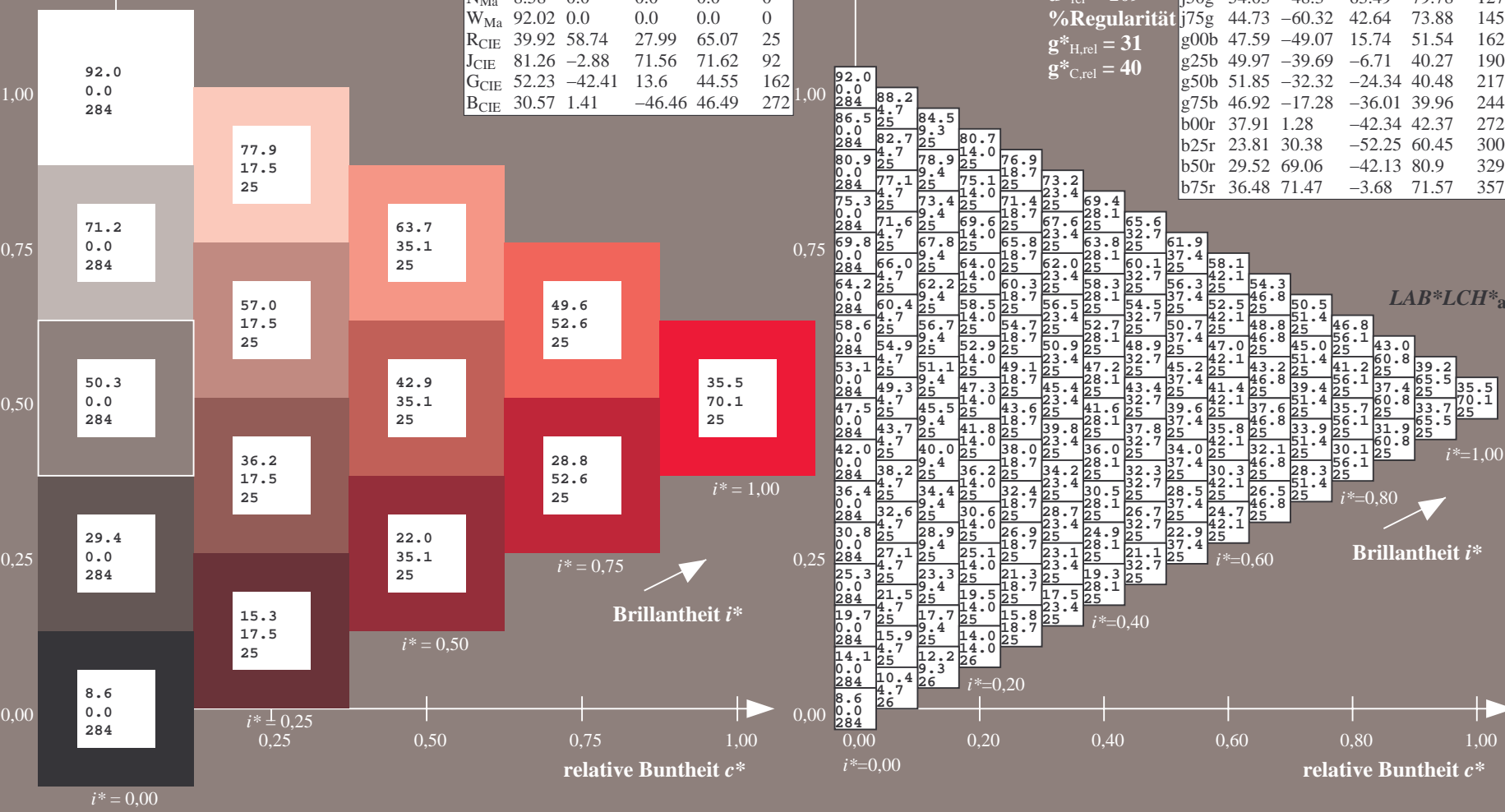
$u^*_{rel} = 109$

%Regularität

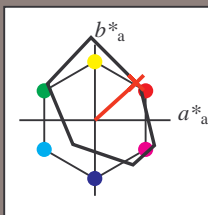
$g^*_{H,rel} = 31$

$g^*_{C,rel} = 40$

FRS09_92aM; adaptierte CIELAB-Daten					
	$L^*=L^*_a$	$a^*_a$	$b^*_a$	$C^*_{ab,a}$	$h^*_{ab,a}$
r00j	35.47	63.32	30.17	70.15	25
r25j	39.12	54.56	49.45	73.64	42
r50j	50.64	39.15	64.89	75.79	59
r75j	64.01	21.26	82.83	85.52	76
j00g	83.18	-4.37	108.53	108.62	92
j25g	66.73	-29.88	83.06	88.28	110
j50g	54.03	-48.3	63.49	79.78	127
j75g	44.73	-60.32	42.64	73.88	145
g00b	47.59	-49.07	15.74	51.54	162
g25b	49.97	-39.69	-6.71	40.27	190
g50b	51.85	-32.32	-24.34	40.48	217
g75b	46.92	-17.28	-36.01	39.96	244
b00r	37.91	1.28	-42.34	42.37	272
b25r	23.81	30.38	-52.25	60.45	300
b50r	29.52	69.06	-42.13	80.9	329
b75r	36.48	71.47	-3.68	71.57	357



Ein und Ausgabe: Farbmetrisches Drucker-Reflektiv-System FRS09\_92aM für relativen CIELAB-Buntton  $h^* = lab^*h^* = h_{ab}/360 = 42/360 = 0.117$   $u^* = r25j$   
Daten für jede Farbe:  
 $lab^*tch^*$  und  $lab^*icu^*$   
Elementar-Bunttontext:  
 $u^* = r25j$   
Kontrastreduzierungsfaktor:  
 $c_R = 1.0$   
Dreiecks-Helligkeit  $t^*$



FRS09_92aM; adaptierte CIELAB-Daten					
	$L^*=L_a^*$	$a_a^*$	$b_a^*$	$C_{ab,a}^*$	$h_{ab,a}^*$
O <sub>Ma</sub>	35.06	60.0	44.0	74.4	36
Y <sub>Ma</sub>	83.77	-5.16	109.32	109.44	93
L <sub>Ma</sub>	44.13	-62.66	48.24	79.09	142
C <sub>Ma</sub>	52.66	-29.13	-31.98	43.27	228
V <sub>Ma</sub>	14.15	50.3	-59.03	77.57	310
M <sub>Ma</sub>	37.37	78.64	-33.49	85.48	337
N <sub>Ma</sub>	8.58	0.0	0.0	0.0	0
W <sub>Ma</sub>	92.02	0.0	0.0	0.0	0
R <sub>CIE</sub>	39.92	58.74	27.99	65.07	25
J <sub>CIE</sub>	81.26	-2.88	71.56	71.62	92
G <sub>CIE</sub>	52.23	-42.41	13.6	44.55	162
B <sub>CIE</sub>	30.57	1.41	-46.46	46.49	272

Daten für Maximalfarbe (Ma):

$LAB^*LAB^*_{Ma}$ : 39 55 49

$LAB^*LCH^*_{Ma}$ : 39 74 42

$lab^*rgb^*_{Ma}$ : 1.0 0.25 0.0

$lab^*olv^*_{Ma}$ : 1.0 0.08 0.0

Dreiecks-Helligkeit  $t^*$

%Umfang

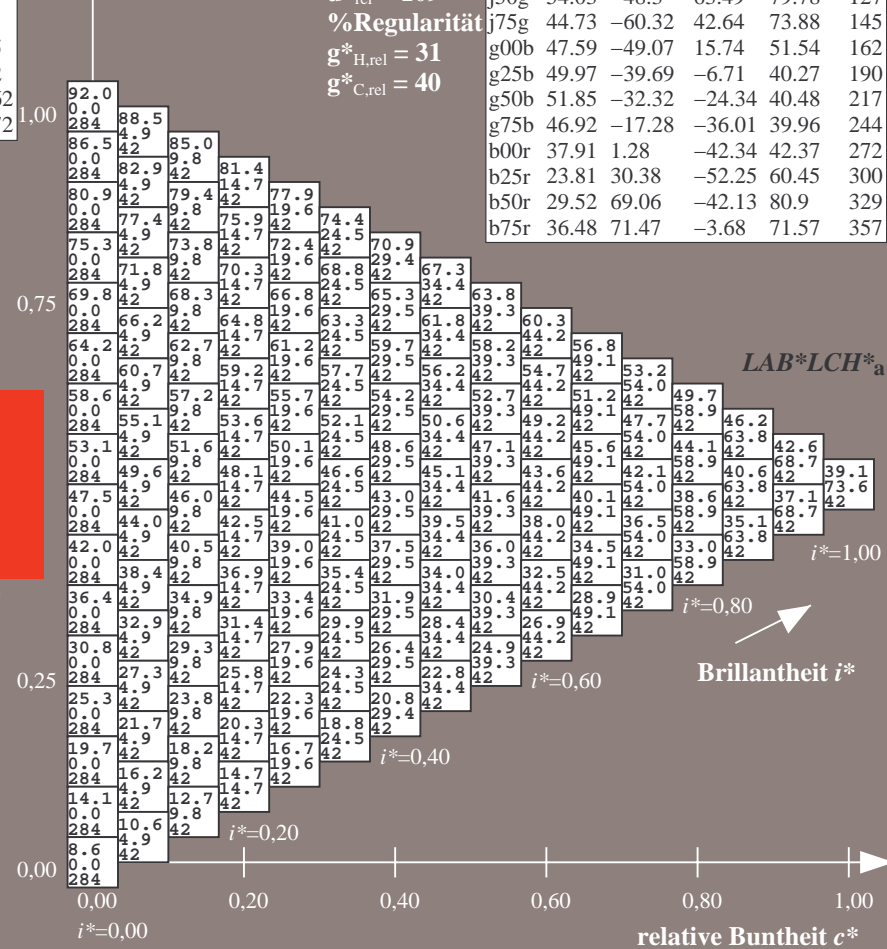
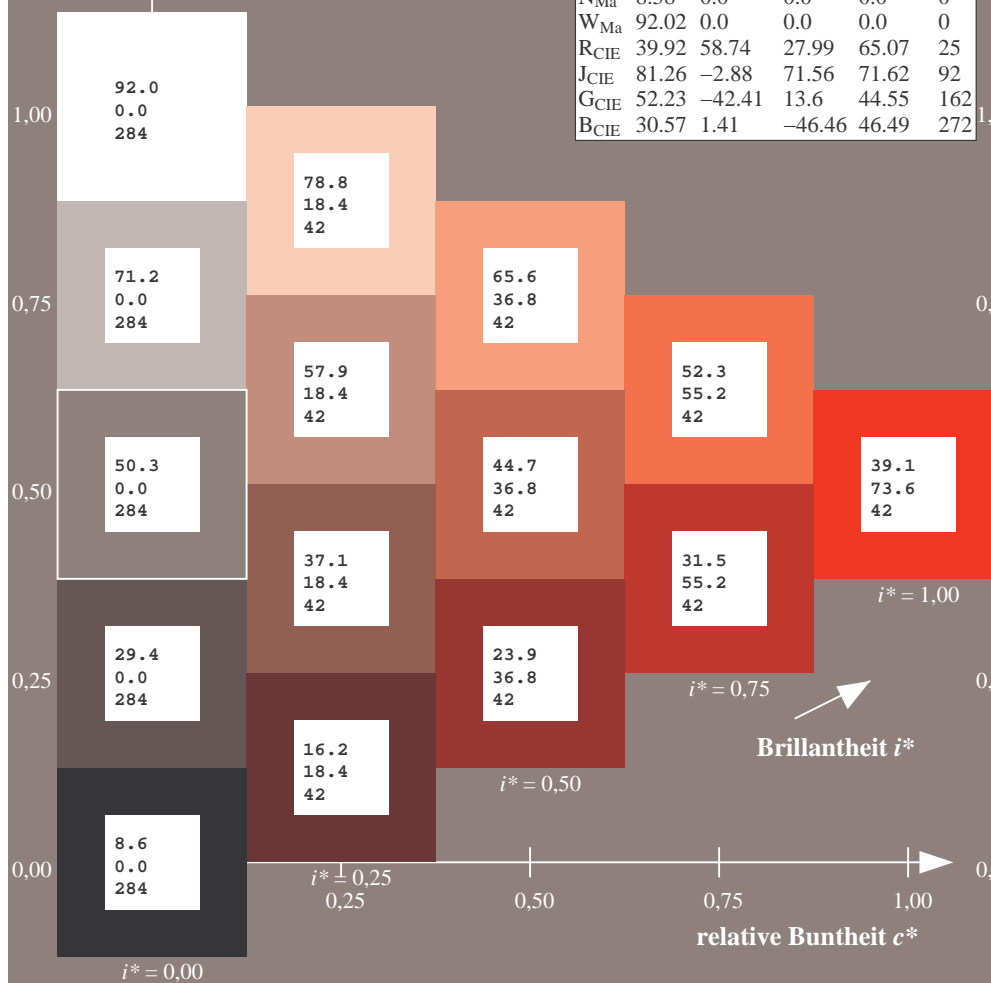
$u^*_{rel} = 109$

%Regularität

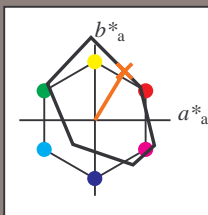
$g^*_{H,rel} = 31$

$g^*_{C,rel} = 40$

FRS09_92aM; adaptierte CIELAB-Daten					
	$L^*=L_a^*$	$a_a^*$	$b_a^*$	$C_{ab,a}^*$	$h_{ab,a}^*$
r00j	35.47	63.32	30.17	70.15	25
r25j	39.12	54.56	49.45	73.64	42
r50j	50.64	39.15	64.89	75.79	59
r75j	64.01	21.26	82.83	85.52	76
j00g	83.18	-4.37	108.53	108.62	92
j25g	66.73	-29.88	83.06	88.28	110
j50g	54.03	-48.83	63.49	79.78	127
j75g	44.73	-60.32	42.64	73.88	145
g00b	47.59	-49.07	15.74	51.54	162
g25b	49.97	-39.69	-6.71	40.27	190
g50b	51.85	-32.32	-24.34	40.48	217
g75b	46.92	-17.28	-36.01	39.96	244
b00r	37.91	1.28	-42.34	42.37	272
b25r	23.81	30.38	-52.25	60.45	300
b50r	29.52	69.06	-42.13	80.9	329
b75r	36.48	71.47	-3.68	71.57	357



Ein und Ausgabe: Farbmetrisches Drucker-Reflektiv-System FRS09\_92aM für relativen CIELAB-Buntton  $h^* = lab^*h^* = h_{ab}/360 = 59/360 = 0.164$   $u^* = r50j$   
Daten für jede Farbe:  
 $lab^*tch^*$  und  $lab^*icu^*$   
Elementar-Bunttontext:  
 $u^* = r50j$   
Kontrastreduzierungsfaktor:  
 $c_R = 1.0$   
Dreiecks-Helligkeit  $t^*$



FRS09_92aM; adaptierte CIELAB-Daten					
	$L^*=L^*_a$	$a^*_a$	$b^*_a$	$C^*_{ab,a}$	$h^*_{ab,a}$
O <sub>Ma</sub>	35.06	60.0	44.0	74.4	36
Y <sub>Ma</sub>	83.77	-5.16	109.32	109.44	93
L <sub>Ma</sub>	44.13	-62.66	48.24	79.09	142
C <sub>Ma</sub>	52.66	-29.13	-31.98	43.27	228
V <sub>Ma</sub>	14.15	50.3	-59.03	77.57	310
M <sub>Ma</sub>	37.37	78.64	-33.49	85.48	337
N <sub>Ma</sub>	8.58	0.0	0.0	0.0	0
W <sub>Ma</sub>	92.02	0.0	0.0	0.0	0
R <sub>CIE</sub>	39.92	58.74	27.99	65.07	25
J <sub>CIE</sub>	81.26	-2.88	71.56	71.62	92
G <sub>CIE</sub>	52.23	-42.41	13.6	44.55	162
B <sub>CIE</sub>	30.57	1.41	-46.46	46.49	272

Daten für Maximalfarbe (Ma):

$LAB^*LAB^*_{Ma}$ : 51 39 65

$LAB^*LCH^*_{Ma}$ : 51 76 59

$lab^*rgb^*_{Ma}$ : 1.0 0.5 0.0

$lab^*olv^*_{Ma}$ : 1.0 0.32 0.0

Dreiecks-Helligkeit  $t^*$

%Umfang

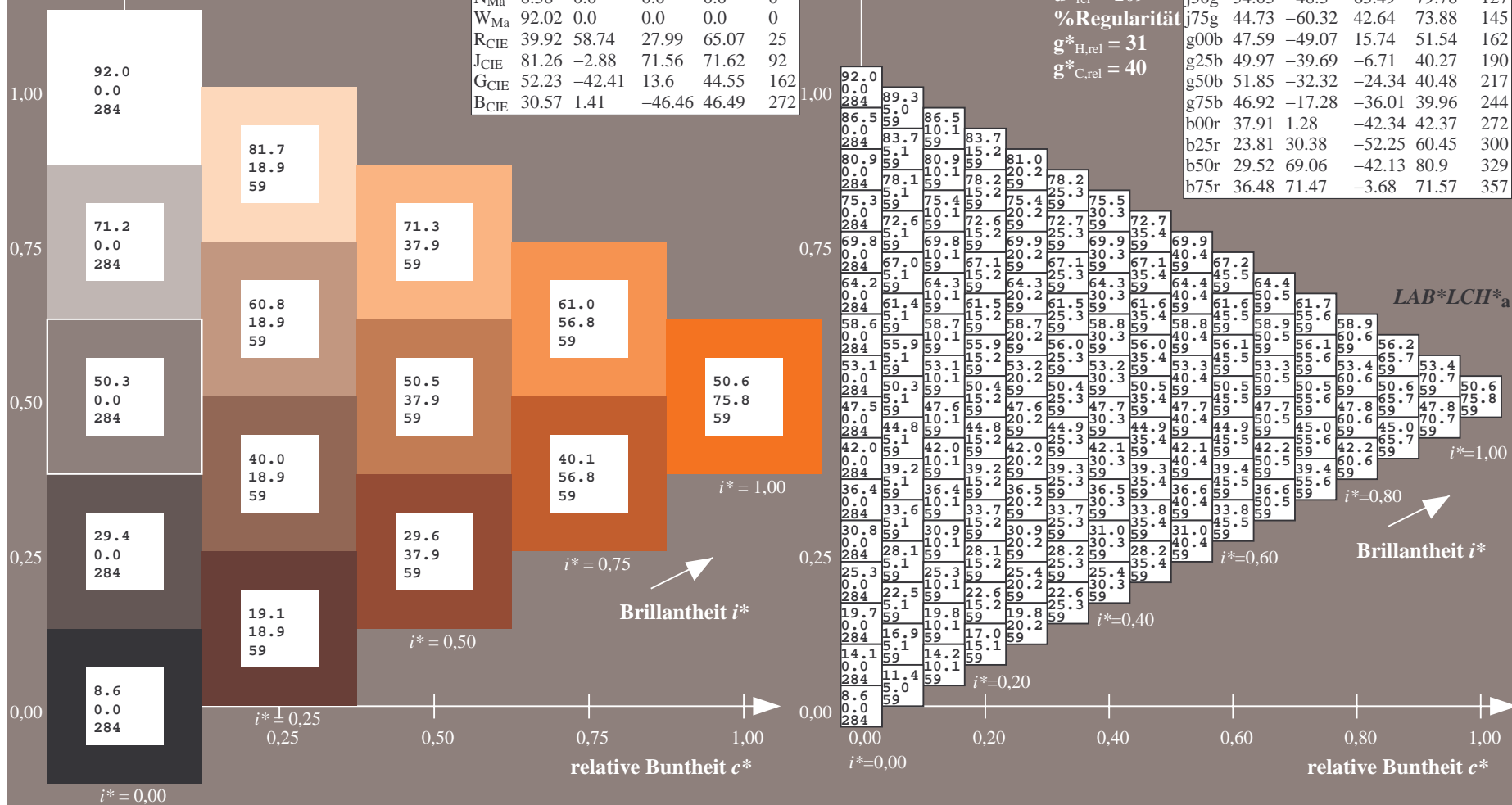
$u^*_{rel} = 109$

%Regularität

$g^*_{H,rel} = 31$

$g^*_{C,rel} = 40$

FRS09_92aM; adaptierte CIELAB-Daten					
	$L^*=L^*_a$	$a^*_a$	$b^*_a$	$C^*_{ab,a}$	$h^*_{ab,a}$
r00j	35.47	63.32	30.17	70.15	25
r25j	39.12	54.56	49.45	73.64	42
r50j	50.64	39.15	64.89	75.79	59
r75j	64.01	21.26	82.83	85.52	76
j00g	83.18	-4.37	108.53	108.62	92
j25g	66.73	-29.88	83.06	88.28	110
j50g	54.03	-48.3	63.49	79.78	127
j75g	44.73	-60.32	42.64	73.88	145
g00b	47.59	-49.07	15.74	51.54	162
g25b	49.97	-39.69	-6.71	40.27	190
g50b	51.85	-32.32	-24.34	40.48	217
g75b	46.92	-17.28	-36.01	39.96	244
b00r	37.91	1.28	-42.34	42.37	272
b25r	23.81	30.38	-52.25	60.45	300
b50r	29.52	69.06	-42.13	80.9	329
b75r	36.48	71.47	-3.68	71.57	357



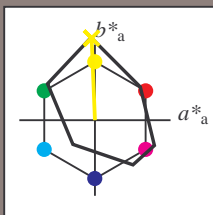
100



Ausgabe:  $\rightarrow cmyk5^*$  *setcmykcolor*



Ein und Ausgabe: Farbmetrisches Drucker-Reflektiv-System FRS09\_92aM für relativen CIELAB-Buntton  $h^* = lab^*h^* = h_{ab}/360 = 92/360 = 0.256$   $u^* = j00g$   
Daten für jede Farbe:  
 $lab^*ch^*$  und  $lab^*icu^*$   
Elementar-Bunttontext:  
 $u^* = j00g$   
Kontrastreduzierungsfaktor:  
 $c_R = 1.0$   
Dreiecks-Helligkeit  $i^*$



FRS09_92aM; adaptierte CIELAB-Daten					
	$L^*=L^*_a$	$a^*_a$	$b^*_a$	$C^*_{ab,a}$	$h^*_{ab,a}$
O <sub>Ma</sub>	35.06	60.0	44.0	74.4	36
Y <sub>Ma</sub>	83.77	-5.16	109.32	109.44	93
L <sub>Ma</sub>	44.13	-62.66	48.24	79.09	142
C <sub>Ma</sub>	52.66	-29.13	-31.98	43.27	228
V <sub>Ma</sub>	14.15	50.3	-59.03	77.57	310
M <sub>Ma</sub>	37.37	78.64	-33.49	85.48	337
N <sub>Ma</sub>	8.58	0.0	0.0	0.0	0
W <sub>Ma</sub>	92.02	0.0	0.0	0.0	0
R <sub>CIE</sub>	39.92	58.74	27.99	65.07	25
J <sub>CIE</sub>	81.26	-2.88	71.56	71.62	92
G <sub>CIE</sub>	52.23	-42.41	13.6	44.55	162
B <sub>CIE</sub>	30.57	1.41	-46.46	46.49	272

Daten für Maximalfarbe (Ma):

$LAB^*LAB^*_{Ma}$ : 83 -3 109

$LAB^*LCH^*_{Ma}$ : 83 109 92

$lab^*rgb^*_{Ma}$ : 1.0 1.0 0.0

$lab^*olv^*_{Ma}$ : 1.0 0.99 0.0

Dreiecks-Helligkeit  $i^*$

%Umfang

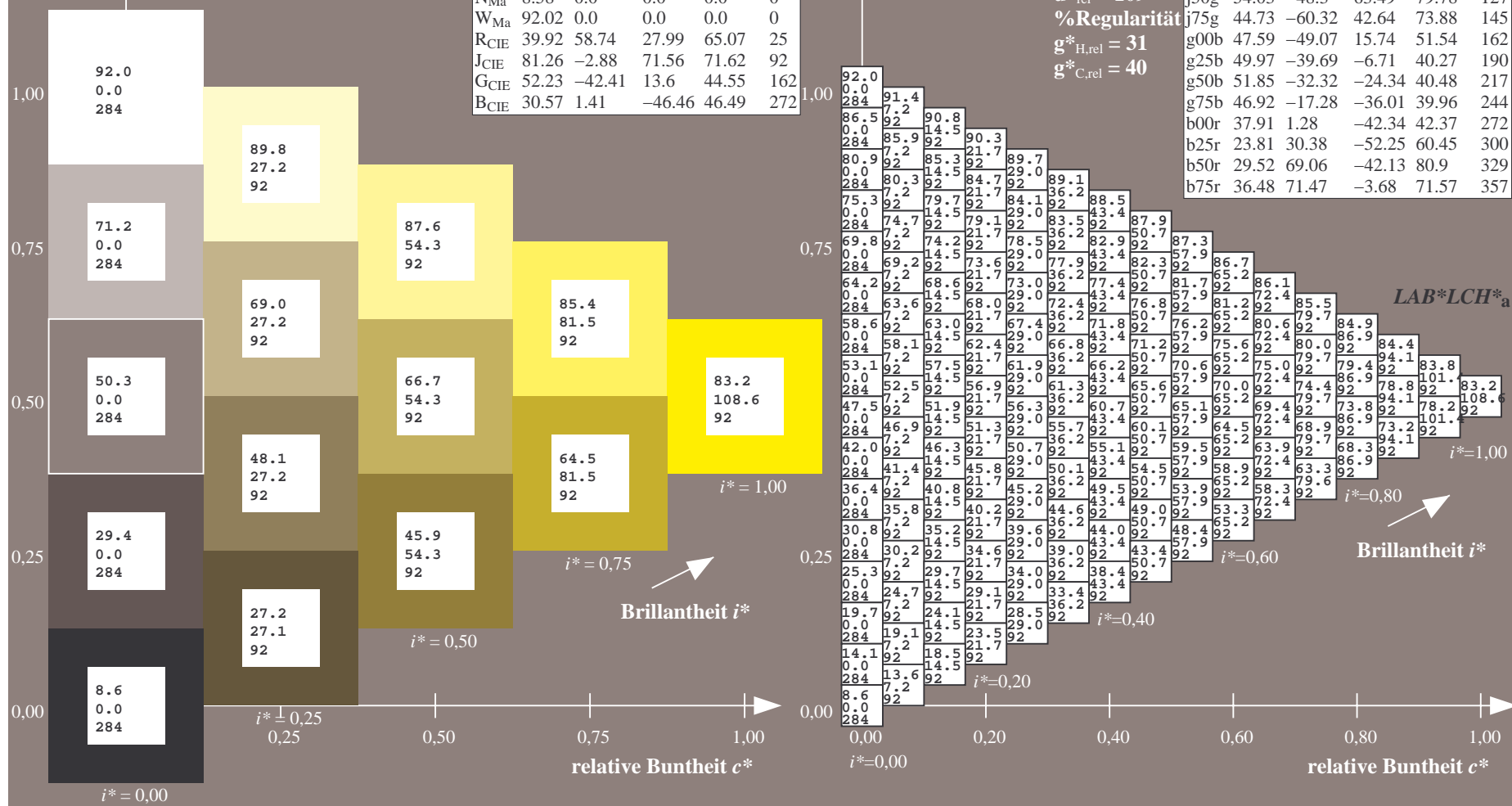
$u^*_{rel} = 109$

%Regularität

$g^*_{H,rel} = 31$

$g^*_{C,rel} = 40$

FRS09_92aM; adaptierte CIELAB-Daten					
	$L^*=L^*_a$	$a^*_a$	$b^*_a$	$C^*_{ab,a}$	$h^*_{ab,a}$
r00j	35.47	63.32	30.17	70.15	25
r25j	39.12	54.56	49.45	73.64	42
r50j	50.64	39.15	64.89	75.79	59
r75j	64.01	21.26	82.83	85.52	76
j00g	83.18	-4.37	108.53	108.62	92
j25g	66.73	-29.88	83.06	88.28	110
j50g	54.03	-48.3	63.49	79.78	127
j75g	44.73	-60.32	42.64	73.88	145
g00b	47.59	-49.07	15.74	51.54	162
g25b	49.97	-39.69	-6.71	40.27	190
g50b	51.85	-32.32	-24.34	40.48	217
g75b	46.92	-17.28	-36.01	39.96	244
b00r	37.91	1.28	-42.34	42.37	272
b25r	23.81	30.38	-52.25	60.45	300
b50r	29.52	69.06	-42.13	80.9	329
b75r	36.48	71.47	-3.68	71.57	357



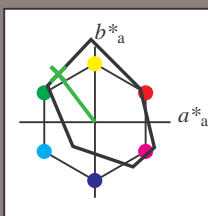


### Dreiecks-Helligkeit $t^*$



BAM-Registrierung: 20080701-Dg92/10L/L92G00NA.PS/.TXTBAM-Material: Code=rha4ta  
Anwendung für Beurteilung und Messung von Drucker- oder Monitorsystemen

Ein und Ausgabe: Farbmetri-  
Daten für jede Farbe:  
 $lab^*_{tch^*}$  und  $lab^*_{icu^*}$   
Elementar-Bunttontext:  
 $u^* = j50g$   
Kontrastreduzierungsfaktor:  
 $c_R = 1.0$   
Dreiecks-Helligkeit  $l^*$



FRS09_92aM; adaptierte CIELAB-Daten					
	$L^*=L^*_a$	$a^*_a$	$b^*_a$	$C^*_{ab,a}$	$h^*_{ab,a}$
O <sub>Ma</sub>	35.06	60.0	44.0	74.4	36
Y <sub>Ma</sub>	83.77	-5.16	109.32	109.44	93
L <sub>Ma</sub>	44.13	-62.66	48.24	79.09	142
C <sub>Ma</sub>	52.66	-29.13	-31.98	43.27	228
V <sub>Ma</sub>	14.15	50.3	-59.03	77.57	310
M <sub>Ma</sub>	37.37	78.64	-33.49	85.48	337
N <sub>Ma</sub>	8.58	0.0	0.0	0.0	0
W <sub>Ma</sub>	92.02	0.0	0.0	0.0	0
R <sub>CIE</sub>	39.92	58.74	27.99	65.07	25
J <sub>CIE</sub>	81.26	-2.88	71.56	71.62	92
G <sub>CIE</sub>	52.23	-42.41	13.6	44.55	162
B <sub>CIE</sub>	30.57	1.41	-46.46	46.49	272

### Daten für Maximalfarbe (Ma):

LAB\*LAB\*<sub>Ma</sub>: 54 -47 63  
LAB\*LCH\*<sub>Ma</sub>: 54 80 127  
lab\*rgb\*<sub>Ma</sub>: 0.5 1.0 0.0  
lab\*ol<sub>v</sub>\*<sub>Ma</sub>: 0.25 1.0 0.0

### Dreiecks-Helligkeit $t^*$

▲

**%Umfang**

$$n_{\text{rel}}^* = 109$$

**%Regular**

 $\sigma^*_{H_{\text{val}}} = 31$ 
$$\sigma_{G_{i+1}}^* = 40$$

FRS09_92aM; adaptierte CIELAB-Daten					
	$L^*_a$	$a^*_a$	$b^*_a$	$C^*_{ab,a}$	$h^*_{ab,a}$
r00j	35.47	63.32	30.17	70.15	25
r25j	39.12	54.56	49.45	73.64	42
r50j	50.64	39.15	64.89	75.79	59
r75j	64.01	21.26	82.83	85.52	76
j00g	83.18	-4.37	108.53	108.62	92
j25g	66.73	-29.88	83.06	88.28	110
j50g	54.03	-48.3	63.49	79.78	127
j75g	44.73	-60.32	42.64	73.88	145
g00b	47.59	-49.07	15.74	51.54	162
g25b	49.97	-39.69	-6.71	40.27	190
g50b	51.85	-32.32	-24.34	40.48	217
g75b	46.92	-17.28	-36.01	39.96	244
b00r	37.91	1.28	-42.34	42.37	272
b25r	23.81	30.38	-52.25	60.45	300
b50r	29.52	69.06	-42.13	80.9	329
b75r	36.48	71.47	-3.68	71.57	357

*LAB\*LCH\**<sub>a</sub>

 $i^* = 1.00$ 

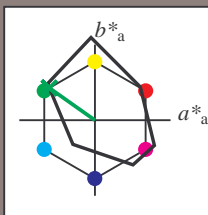
**Brillantheit  $i^*$**

BAM-Prüfvorlage Dg92; Farbmatrik-Systeme, Seite 80/180  
Farbreihen, 8 Datentabellen für 16 Bunttöne *r00j* bis *b75r*

Eingabe: 000n / w / nnn0 / www set...  
Ausgabe: ->cmyn5\* setcmykcolor

BAM-Registrierung: 20080701-Dg92/10L/L92G00NA.PS/.TXTBAM-Material: Code=rha4ta  
+ Anwendung für Beurteilung und Messung von Drucker- oder Monitorsystemen

Ein und Ausgabe: Farbmetrisches Drucker-Reflektiv-System FRS09\_92aM für relativen CIELAB-Buntton  $h^* = lab^*h^* = h_{ab}/360 = 145/360 = 0.402$   $u^* = j75g$   
Daten für jede Farbe:  
 $lab^*ch^*$  und  $lab^*icu^*$   
Elementar-Bunttontext:  
 $u^* = j75g$   
Kontrastreduzierungsfaktor:  
 $c_R = 1.0$   
Dreiecks-Helligkeit  $i^*$



FRS09_92aM; adaptierte CIELAB-Daten					
	$L^*=L^*_a$	$a^*_a$	$b^*_a$	$C^*_{ab,a}$	$h^*_{ab,a}$
O <sub>Ma</sub>	35.06	60.0	44.0	74.4	36
Y <sub>Ma</sub>	83.77	-5.16	109.32	109.44	93
L <sub>Ma</sub>	44.13	-62.66	48.24	79.09	142
C <sub>Ma</sub>	52.66	-29.13	-31.98	43.27	228
V <sub>Ma</sub>	14.15	50.3	-59.03	77.57	310
M <sub>Ma</sub>	37.37	78.64	-33.49	85.48	337
N <sub>Ma</sub>	8.58	0.0	0.0	0.0	0
W <sub>Ma</sub>	92.02	0.0	0.0	0.0	0
R <sub>CIE</sub>	39.92	58.74	27.99	65.07	25
J <sub>CIE</sub>	81.26	-2.88	71.56	71.62	92
G <sub>CIE</sub>	52.23	-42.41	13.6	44.55	162
B <sub>CIE</sub>	30.57	1.41	-46.46	46.49	272

Daten für Maximalfarbe (Ma):

$LAB^*LAB^*_{Ma}$ : 45 -59 43

$LAB^*LCH^*_{Ma}$ : 45 74 145

$lab^*rgb^*_{Ma}$ : 0.25 1.0 0.0

$lab^*olv^*_{Ma}$ : 0.0 1.0 0.07

Dreiecks-Helligkeit  $i^*$

%Umfang

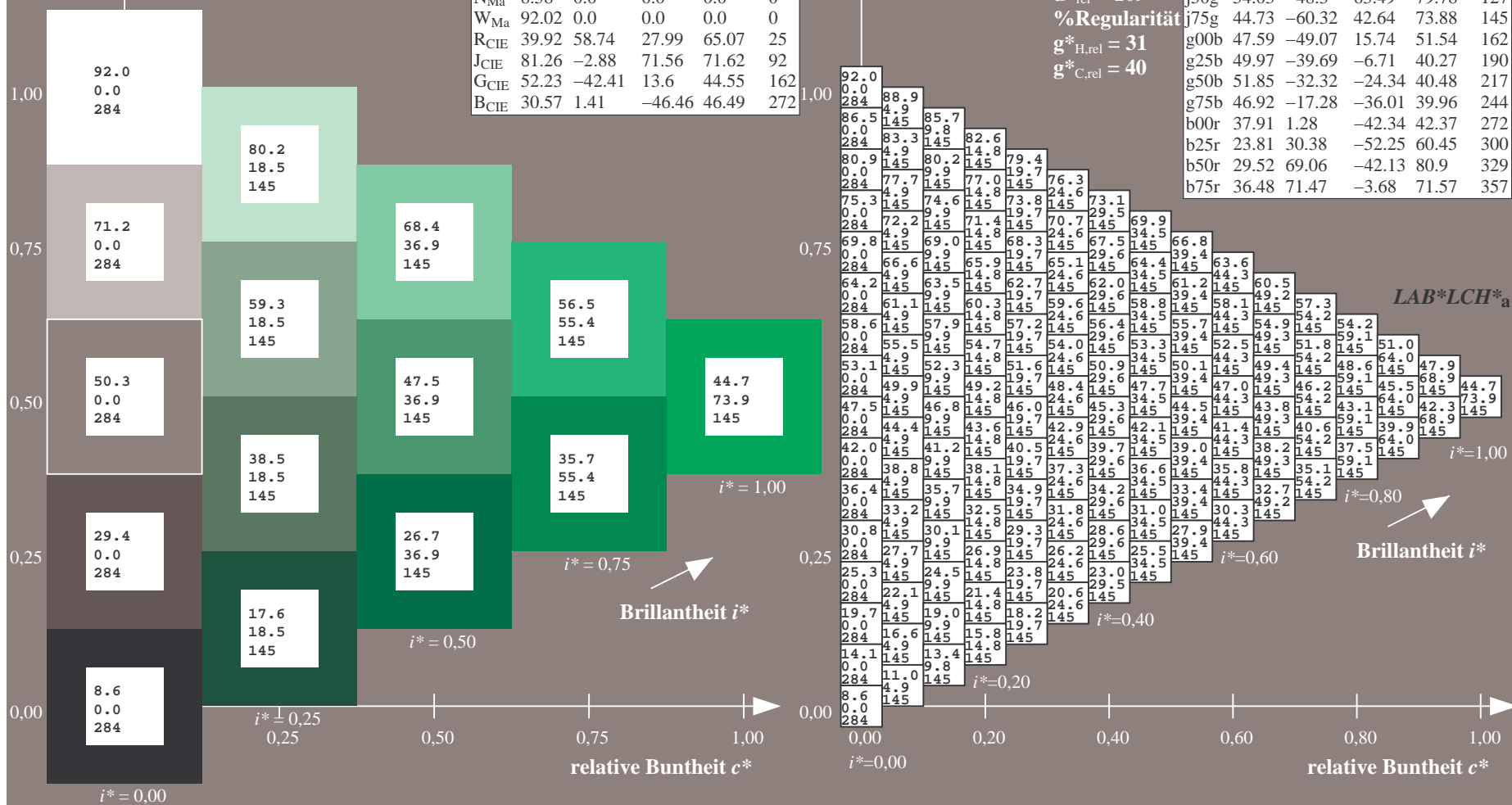
$u^*_{rel} = 109$

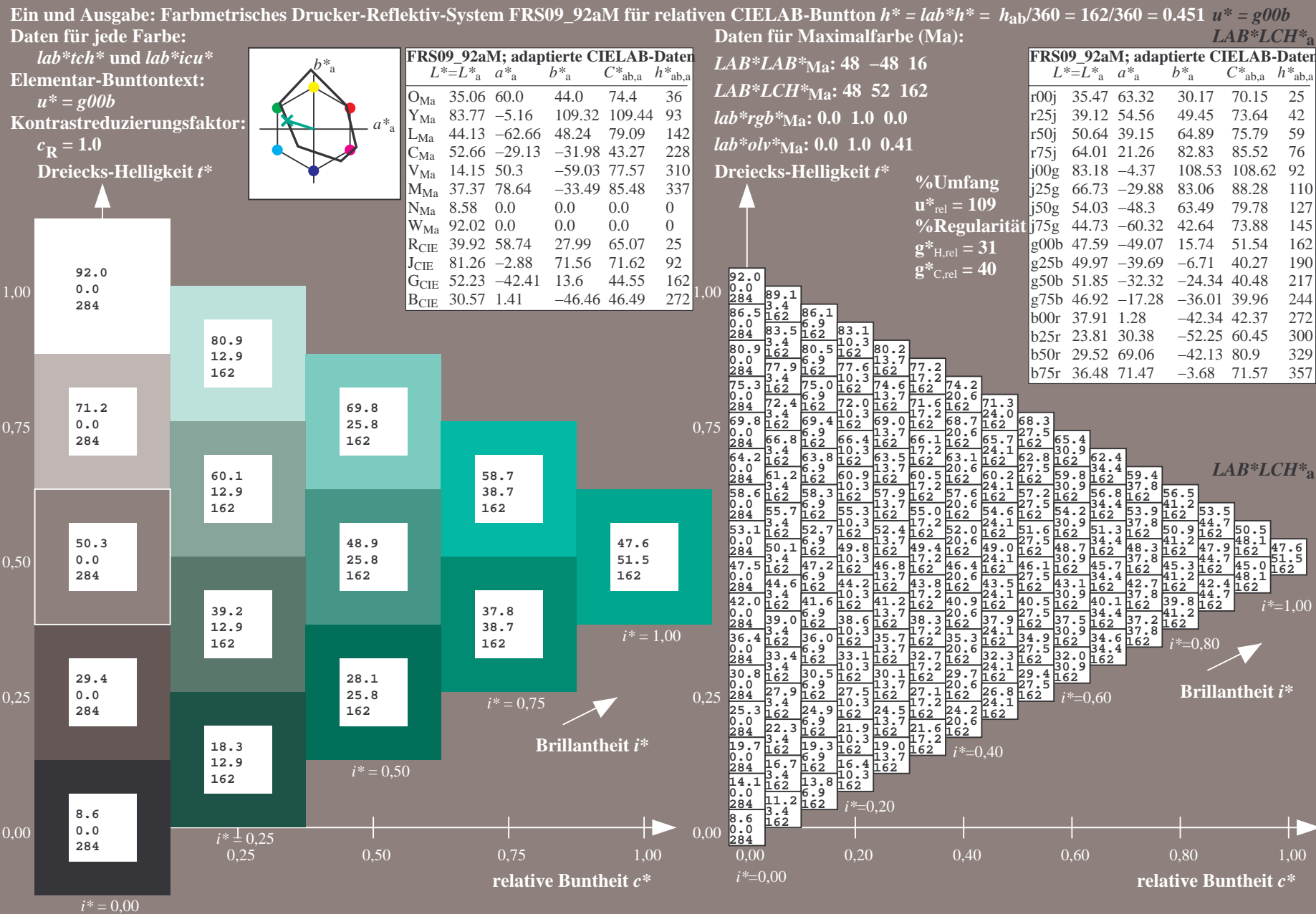
%Regularität

$g^*_{H,rel} = 31$

$g^*_{C,rel} = 40$

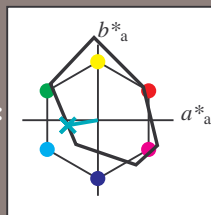
FRS09_92aM; adaptierte CIELAB-Daten					
	$L^*=L^*_a$	$a^*_a$	$b^*_a$	$C^*_{ab,a}$	$h^*_{ab,a}$
r00j	35.47	63.32	30.17	70.15	25
r25j	39.12	54.56	49.45	73.64	42
r50j	50.64	39.15	64.89	75.79	59
r75j	64.01	21.26	82.83	85.52	76
j00g	83.18	-4.37	108.53	108.62	92
j25g	66.73	-29.88	83.06	88.28	110
j50g	54.03	-48.3	63.49	79.78	127
j75g	44.73	-60.32	42.64	73.88	145
g00b	47.59	-49.07	15.74	51.54	162
g25b	49.97	-39.69	-6.71	40.27	190
g50b	51.85	-32.32	-24.34	40.48	217
g75b	46.92	-17.28	-36.01	39.96	244
b00r	37.91	1.28	-42.34	42.37	272
b25r	23.81	30.38	-52.25	60.45	300
b50r	29.52	69.06	-42.13	80.9	329
b75r	36.48	71.47	-3.68	71.57	357







Ein und Ausgabe: Farbmetrisches Drucker-Reflektiv-System FRS09\_92aM für relativen CIELAB-Buntton  $h^* = lab^*h^* = h_{ab}/360 = 190/360 = 0.527$   $u^* = g25b$   
Daten für jede Farbe:  
 $lab^*ch^*$  und  $lab^*icu^*$   
Elementar-Bunttontext:  
 $u^* = g25b$   
Kontrastreduzierungsfaktor:  
 $c_R = 1.0$   
Dreiecks-Helligkeit  $i^*$



FRS09_92aM; adaptierte CIELAB-Daten					
	$L^*=L^*_a$	$a^*_a$	$b^*_a$	$C^*_{ab,a}$	$h^*_{ab,a}$
O <sub>Ma</sub>	35.06	60.0	44.0	74.4	36
Y <sub>Ma</sub>	83.77	-5.16	109.32	109.44	93
L <sub>Ma</sub>	44.13	-62.66	48.24	79.09	142
C <sub>Ma</sub>	52.66	-29.13	-31.98	43.27	228
V <sub>Ma</sub>	14.15	50.3	-59.03	77.57	310
M <sub>Ma</sub>	37.37	78.64	-33.49	85.48	337
N <sub>Ma</sub>	8.58	0.0	0.0	0.0	0
W <sub>Ma</sub>	92.02	0.0	0.0	0.0	0
R <sub>CIE</sub>	39.92	58.74	27.99	65.07	25
J <sub>CIE</sub>	81.26	-2.88	71.56	71.62	92
G <sub>CIE</sub>	52.23	-42.41	13.6	44.55	162
B <sub>CIE</sub>	30.57	1.41	-46.46	46.49	272

Daten für Maximalfarbe (Ma):

$LAB^*LAB^*_{Ma}$ : 50 -39 -6

$LAB^*LCH^*_{Ma}$ : 50 40 190

$lab^*rgb^*_{Ma}$ : 0.0 1.0 0.5

$lab^*olv^*_{Ma}$ : 0.0 1.0 0.69

Dreiecks-Helligkeit  $i^*$

%Umfang

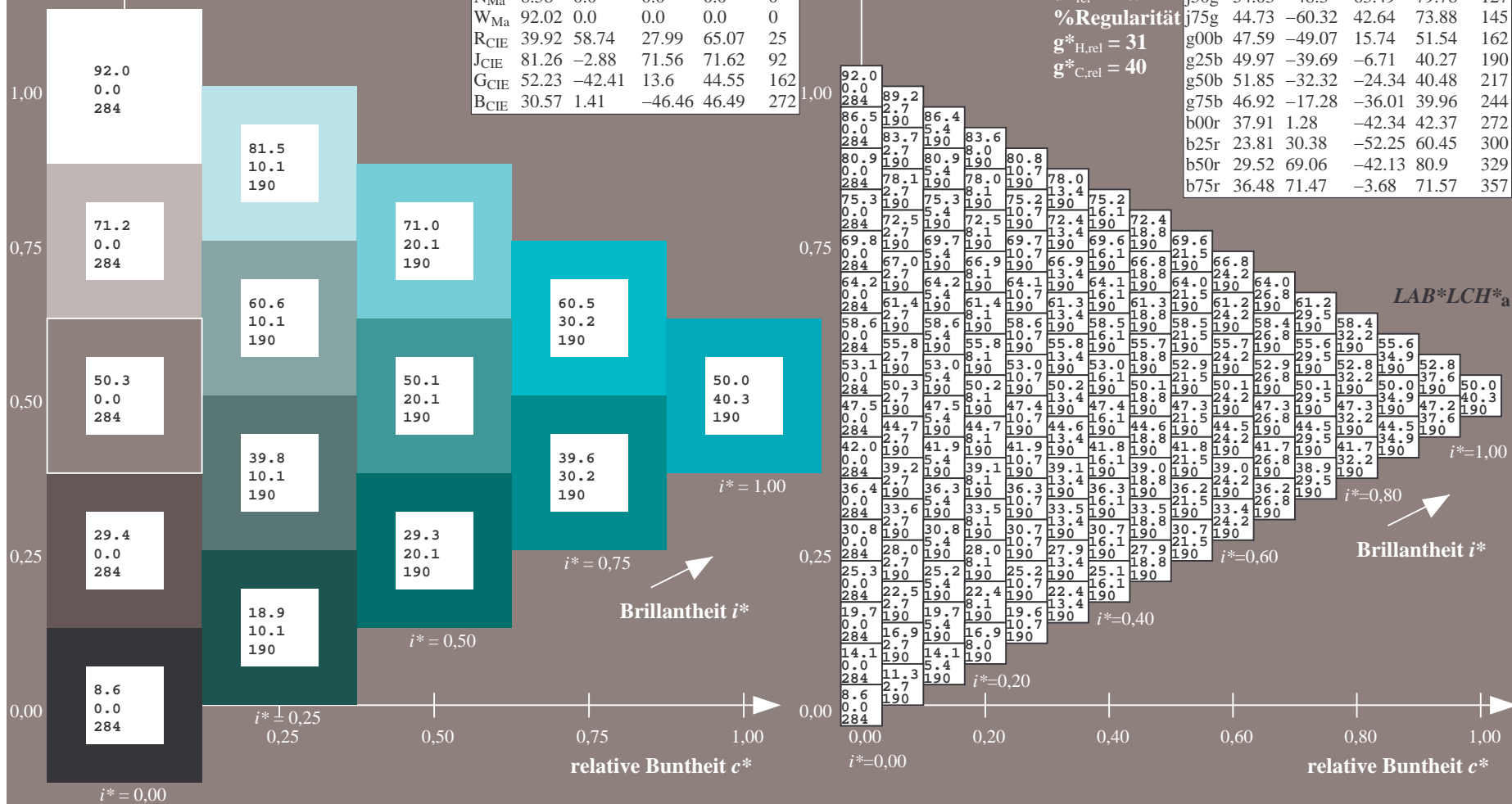
$u^*_{rel} = 109$

%Regularität

$g^*_{H,rel} = 31$

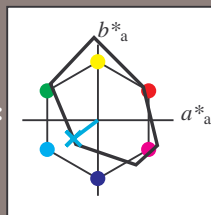
$g^*_{C,rel} = 40$

FRS09_92aM; adaptierte CIELAB-Daten					
	$L^*=L^*_a$	$a^*_a$	$b^*_a$	$C^*_{ab,a}$	$h^*_{ab,a}$
r00j	35.47	63.32	30.17	70.15	25
r25j	39.12	54.56	49.45	73.64	42
r50j	50.64	39.15	64.89	75.79	59
r75j	64.01	21.26	82.83	85.52	76
j00g	83.18	-4.37	108.53	108.62	92
j25g	66.73	-29.88	83.06	88.28	110
j50g	54.03	-48.3	63.49	79.78	127
j75g	44.73	-60.32	42.64	73.88	145
g00b	47.59	-49.07	15.74	51.54	162
g25b	49.97	-39.69	-6.71	40.27	190
g50b	51.85	-32.32	-24.34	40.48	217
g75b	46.92	-17.28	-36.01	39.96	244
b00r	37.91	1.28	-42.34	42.37	272
b25r	23.81	30.38	-52.25	60.45	300
b50r	29.52	69.06	-42.13	80.9	329
b75r	36.48	71.47	-3.68	71.57	357





Ein und Ausgabe: Farbmetrisches Drucker-Reflektiv-System FRS09\_92aM für relativen CIELAB-Buntton  $h^* = lab^*h^* = h_{ab}/360 = 217/360 = 0.603$   $u^* = g50b$   
Daten für jede Farbe:  
 $lab^*ch^*$  und  $lab^*icu^*$   
Elementar-Bunttontext:  
 $u^* = g50b$   
Kontrastreduzierungsfaktor:  
 $c_R = 1.0$   
Dreiecks-Helligkeit  $i^*$



FRS09_92aM; adaptierte CIELAB-Daten					
	$L^*=L^*_a$	$a^*_a$	$b^*_a$	$C^*_{ab,a}$	$h^*_{ab,a}$
O <sub>Ma</sub>	35.06	60.0	44.0	74.4	36
Y <sub>Ma</sub>	83.77	-5.16	109.32	109.44	93
L <sub>Ma</sub>	44.13	-62.66	48.24	79.09	142
C <sub>Ma</sub>	52.66	-29.13	-31.98	43.27	228
V <sub>Ma</sub>	14.15	50.3	-59.03	77.57	310
M <sub>Ma</sub>	37.37	78.64	-33.49	85.48	337
N <sub>Ma</sub>	8.58	0.0	0.0	0.0	0
W <sub>Ma</sub>	92.02	0.0	0.0	0.0	0
R <sub>CIE</sub>	39.92	58.74	27.99	65.07	25
J <sub>CIE</sub>	81.26	-2.88	71.56	71.62	92
G <sub>CIE</sub>	52.23	-42.41	13.6	44.55	162
B <sub>CIE</sub>	30.57	1.41	-46.46	46.49	272

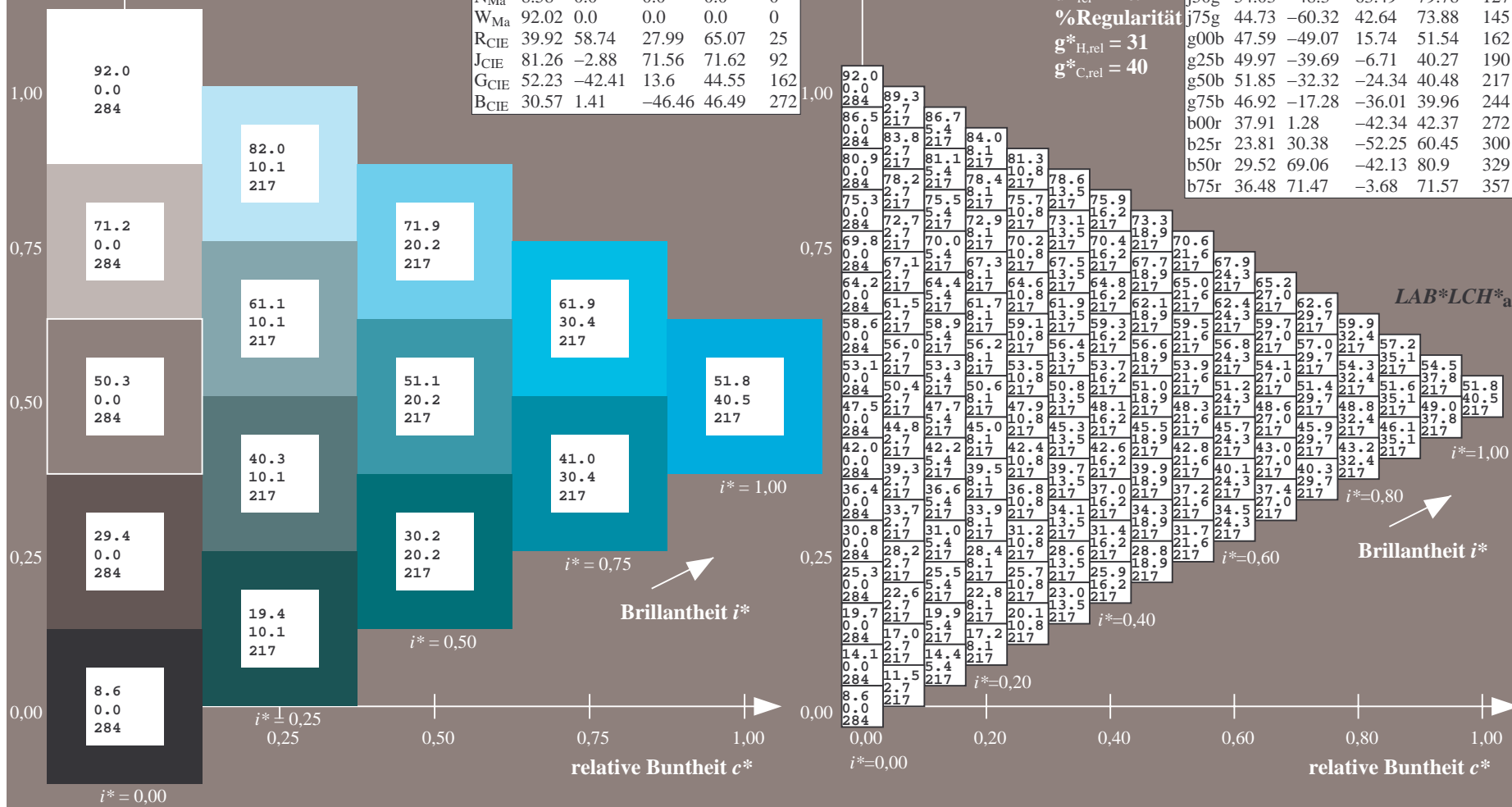
Daten für Maximalfarbe (Ma):

$LAB^*LAB^*_{Ma}$ : 52 -31 -23  
 $LAB^*LCH^*_{Ma}$ : 52 40 217  
 $lab^*rgb^*_{Ma}$ : 0.0 1.0 1.0  
 $lab^*olv^*_{Ma}$ : 0.0 1.0 0.9

Dreiecks-Helligkeit  $i^*$

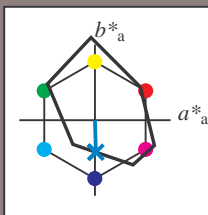
%Umfang  
 $u^*_{rel} = 109$   
%Regularität  
 $g^*_{H,rel} = 31$   
 $g^*_{C,rel} = 40$

FRS09_92aM; adaptierte CIELAB-Daten					
	$L^*=L^*_a$	$a^*_a$	$b^*_a$	$C^*_{ab,a}$	$h^*_{ab,a}$
r00j	35.47	63.32	30.17	70.15	25
r25j	39.12	54.56	49.45	73.64	42
r50j	50.64	39.15	64.89	75.79	59
r75j	64.01	21.26	82.83	85.52	76
j00g	83.18	-4.37	108.53	108.62	92
j25g	66.73	-29.88	83.06	88.28	110
j50g	54.03	-48.3	63.49	79.78	127
j75g	44.73	-60.32	42.64	73.88	145
g00b	47.59	-49.07	15.74	51.54	162
g25b	49.97	-39.69	-6.71	40.27	190
g50b	51.85	-32.32	-24.34	40.48	217
g75b	46.92	-17.28	-36.01	39.96	244
b00r	37.91	1.28	-42.34	42.37	272
b25r	23.81	30.38	-52.25	60.45	300
b50r	29.52	69.06	-42.13	80.9	329
b75r	36.48	71.47	-3.68	71.57	357





Ein und Ausgabe: Farbmetrisches Drucker-Reflektiv-System FRS09\_92aM für relativen CIELAB-Buntton  $h^* = lab^*h^* = h_{ab}/360 = 272/360 = 0.755$   $u^* = b00r$   
Daten für jede Farbe:  
 $lab^*ch^*$  und  $lab^*icu^*$   
Elementar-Bunttontext:  
 $u^* = b00r$   
Kontrastreduzierungsfaktor:  
 $c_R = 1.0$   
Dreiecks-Helligkeit  $i^*$



FRS09_92aM; adaptierte CIELAB-Daten					
	$L^*=L^*_a$	$a^*_a$	$b^*_a$	$C^*_{ab,a}$	$h^*_{ab,a}$
O <sub>Ma</sub>	35.06	60.0	44.0	74.4	36
Y <sub>Ma</sub>	83.77	-5.16	109.32	109.44	93
L <sub>Ma</sub>	44.13	-62.66	48.24	79.09	142
C <sub>Ma</sub>	52.66	-29.13	-31.98	43.27	228
V <sub>Ma</sub>	14.15	50.3	-59.03	77.57	310
M <sub>Ma</sub>	37.37	78.64	-33.49	85.48	337
N <sub>Ma</sub>	8.58	0.0	0.0	0.0	0
W <sub>Ma</sub>	92.02	0.0	0.0	0.0	0
R <sub>CIE</sub>	39.92	58.74	27.99	65.07	25
J <sub>CIE</sub>	81.26	-2.88	71.56	71.62	92
G <sub>CIE</sub>	52.23	-42.41	13.6	44.55	162
B <sub>CIE</sub>	30.57	1.41	-46.46	46.49	272

Daten für Maximalfarbe (Ma):

$LAB^*LAB^*_{Ma}$ : 38 1 -41

$LAB^*LCH^*_{Ma}$ : 38 42 272

$lab^*rgb^*_{Ma}$ : 0.0 0.0 1.0

$lab^*olv^*_{Ma}$ : 0.0 0.62 1.0

Dreiecks-Helligkeit  $i^*$

%Umfang

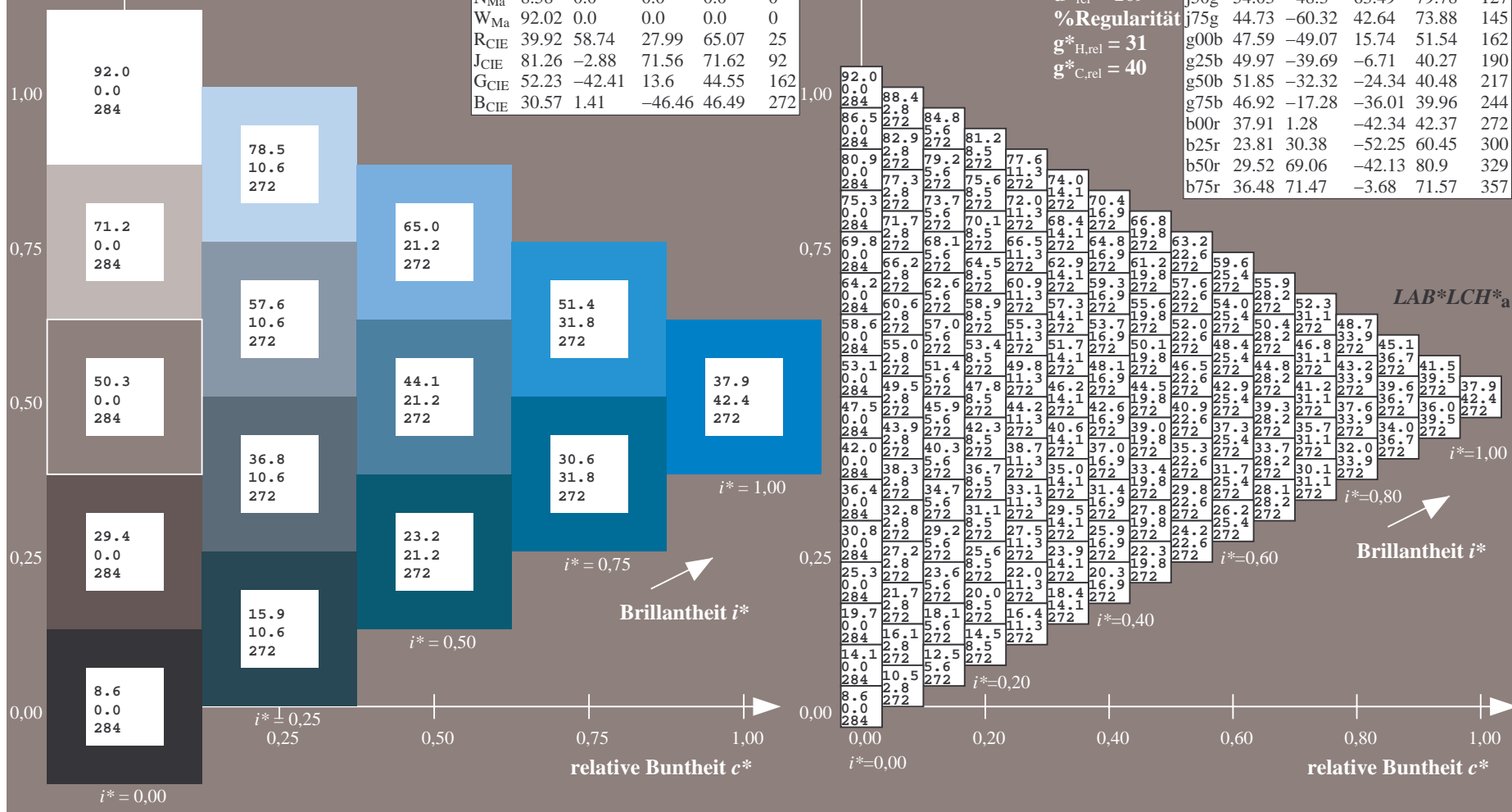
$u^*_{rel} = 109$

%Regularität

$g^*_{H,rel} = 31$

$g^*_{C,rel} = 40$

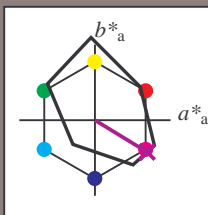
FRS09_92aM; adaptierte CIELAB-Daten					
	$L^*=L^*_a$	$a^*_a$	$b^*_a$	$C^*_{ab,a}$	$h^*_{ab,a}$
r00j	35.47	63.32	30.17	70.15	25
r25j	39.12	54.56	49.45	73.64	42
r50j	50.64	39.15	64.89	75.79	59
r75j	64.01	21.26	82.83	85.52	76
j00g	83.18	-4.37	108.53	108.62	92
j25g	66.73	-29.88	83.06	88.28	110
j50g	54.03	-48.3	63.49	79.78	127
j75g	44.73	-60.32	42.64	73.88	145
g00b	47.59	-49.07	15.74	51.54	162
g25b	49.97	-39.69	-6.71	40.27	190
g50b	51.85	-32.32	-24.34	40.48	217
g75b	46.92	-17.28	-36.01	39.96	244
b00r	37.91	1.28	-42.34	42.37	272
b25r	23.81	30.38	-52.25	60.45	300
b50r	29.52	69.06	-42.13	80.9	329
b75r	36.48	71.47	-3.68	71.57	357







Ein und Ausgabe: Farbmetrisches Drucker-Reflektiv-System FRS09\_92aM für relativen CIELAB-Buntton  $h^* = lab^*h^* = h_{ab}/360 = 329/360 = 0.913$   $u^* = b50r$   
Daten für jede Farbe:  
 $lab^*tch^*$  und  $lab^*icu^*$   
Elementar-Bunttontext:  
 $u^* = b50r$   
Kontrastreduzierungsfaktor:  
 $c_R = 1.0$   
Dreiecks-Helligkeit  $i^*$



FRS09_92aM; adaptierte CIELAB-Daten					
	$L^*=L^*_a$	$a^*_a$	$b^*_a$	$C^*_{ab,a}$	$h^*_{ab,a}$
O <sub>Ma</sub>	35.06	60.0	44.0	74.4	36
Y <sub>Ma</sub>	83.77	-5.16	109.32	109.44	93
L <sub>Ma</sub>	44.13	-62.66	48.24	79.09	142
C <sub>Ma</sub>	52.66	-29.13	-31.98	43.27	228
V <sub>Ma</sub>	14.15	50.3	-59.03	77.57	310
M <sub>Ma</sub>	37.37	78.64	-33.49	85.48	337
N <sub>Ma</sub>	8.58	0.0	0.0	0.0	0
W <sub>Ma</sub>	92.02	0.0	0.0	0.0	0
R <sub>CIE</sub>	39.92	58.74	27.99	65.07	25
J <sub>CIE</sub>	81.26	-2.88	71.56	71.62	92
G <sub>CIE</sub>	52.23	-42.41	13.6	44.55	162
B <sub>CIE</sub>	30.57	1.41	-46.46	46.49	272

Daten für Maximalfarbe (Ma):

$LAB^*LAB^*_{Ma}$ : 30 69 -41

$LAB^*LCH^*_{Ma}$ : 30 81 329

$lab^*rgb^*_{Ma}$ : 1.0 0.0 1.0

$lab^*olv^*_{Ma}$ : 0.66 0.0 1.0

Dreiecks-Helligkeit  $i^*$

%Umfang

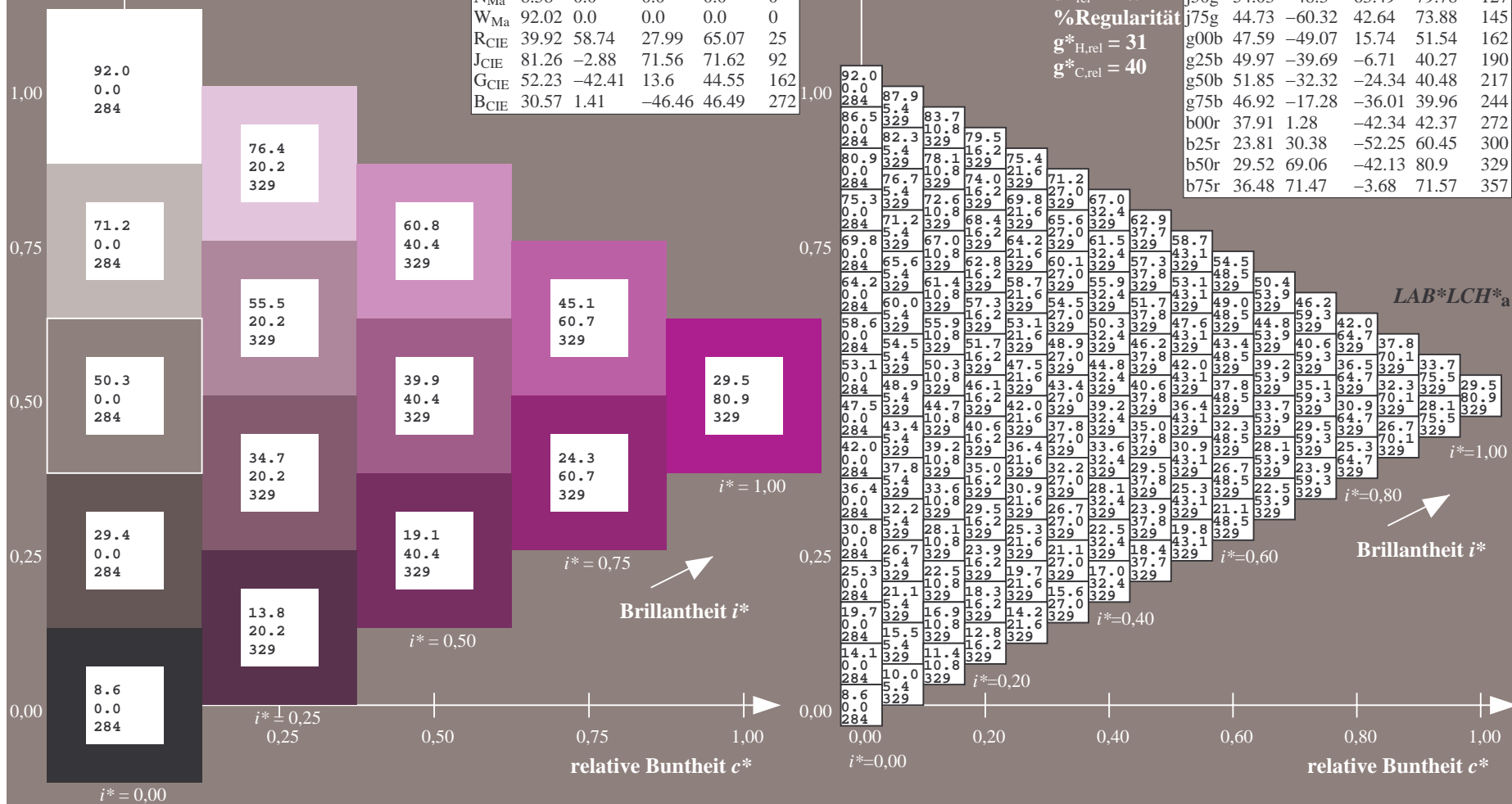
$u^*_{rel} = 109$

%Regularität

$g^*_{H,rel} = 31$

$g^*_{C,rel} = 40$

FRS09_92aM; adaptierte CIELAB-Daten					
	$L^*=L^*_a$	$a^*_a$	$b^*_a$	$C^*_{ab,a}$	$h^*_{ab,a}$
r00j	35.47	63.32	30.17	70.15	25
r25j	39.12	54.56	49.45	73.64	42
r50j	50.64	39.15	64.89	75.79	59
r75j	64.01	21.26	82.83	85.52	76
j00g	83.18	-4.37	108.53	108.62	92
j25g	66.73	-29.88	83.06	88.28	110
j50g	54.03	-48.3	63.49	79.78	127
j75g	44.73	-60.32	42.64	73.88	145
g00b	47.59	-49.07	15.74	51.54	162
g25b	49.97	-39.69	-6.71	40.27	190
g50b	51.85	-32.32	-24.34	40.48	217
g75b	46.92	-17.28	-36.01	39.96	244
b00r	37.91	1.28	-42.34	42.37	272
b25r	23.81	30.38	-52.25	60.45	300
b50r	29.52	69.06	-42.13	80.9	329
b75r	36.48	71.47	-3.68	71.57	357







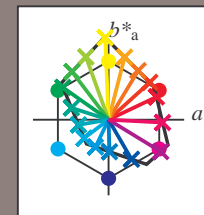
Siehe ähnliche Dateien: <http://www.ps.bam.de/Dg92/>; [www.ps.bam.de/Dg92/10L/L92G00NA.PS/.TXT](http://www.ps.bam.de/Dg92/10L/L92G00NA.PS/.TXT)  
Technische Information: [http://www.ps.bam.de/Version 2.1, io=1.1, ColSpX=0](http://www.ps.bam.de/Version%202.1,%20io=1.1,%20ColSpX=0)

	A	B	C	D	E	F	G	H	I	J	K	L	M	N	O	P	Q	R	S	T	U	V	W	X	Y	Z	a	b	c	d	e	f	g	h	i	j	k	LAB*LCH*																																																																																																																																																																																																																																																																																																																																																																																																																																																																																																																																																																																																																																																																																																																																																																																																																																																																																																																
01	8.6	13.0	17.5	21.9	26.4	30.8	35.2	39.7	44.1	11.9	18.0	22.4	26.9	31.3	35.8	40.2	44.6	49.1	53.4	57.8	62.2	66.6	71.0	75.4	79.8	84.2	88.6	93.0	97.4	101.8	106.2	110.6	115.0	119.4	123.8	128.2	132.6	137.0	141.4	145.8	150.2	154.6	159.0	163.4	167.8	172.2	176.6	181.0	185.4	189.8	194.2	198.6	203.0	207.4	211.8	216.2	220.6	225.0	229.4	233.8	238.2	242.6	247.0	251.4	255.8	260.2	264.6	269.0	273.4	277.8	282.2	286.6	291.0	295.4	299.8	304.2	308.6	313.0	317.4	321.8	326.2	330.6	335.0	339.4	343.8	348.2	352.6	357.0	361.4	365.8	370.2	374.6	379.0	383.4	387.8	392.2	396.6	401.0	405.4	409.8	414.2	418.6	423.0	427.4	431.8	436.2	440.6	445.0	449.4	453.8	458.2	462.6	467.0	471.4	475.8	480.2	484.6	489.0	493.4	497.8	502.2	506.6	511.0	515.4	519.8	524.2	528.6	533.0	537.4	541.8	546.2	550.6	555.0	559.4	563.8	568.2	572.6	577.0	581.4	585.8	590.2	594.6	599.0	603.4	607.8	612.2	616.6	621.0	625.4	629.8	634.2	638.6	643.0	647.4	651.8	656.2	660.6	665.0	669.4	673.8	678.2	682.6	687.0	691.4	695.8	700.2	704.6	709.0	713.4	717.8	722.2	726.6	731.0	735.4	739.8	744.2	748.6	753.0	757.4	761.8	766.2	770.6	775.0	779.4	783.8	788.2	792.6	797.0	801.4	805.8	810.2	814.6	819.0	823.4	827.8	832.2	836.6	841.0	845.4	849.8	854.2	858.6	863.0	867.4	871.8	876.2	880.6	885.0	889.4	893.8	898.2	902.6	907.0	911.4	915.8	920.2	924.6	929.0	933.4	937.8	942.2	946.6	951.0	955.4	959.8	964.2	968.6	973.0	977.4	981.8	986.2	990.6	995.0	999.4	1003.8	1008.2	1012.6	1017.0	1021.4	1025.8	1030.2	1034.6	1039.0	1043.4	1047.8	1052.2	1056.6	1061.0	1065.4	1069.8	1074.2	1078.6	1083.0	1087.4	1091.8	1096.2	1100.6	1105.0	1109.4	1113.8	1118.2	1122.6	1127.0	1131.4	1135.8	1140.2	1144.6	1149.0	1153.4	1157.8	1162.2	1166.6	1171.0	1175.4	1179.8	1184.2	1188.6	1193.0	1197.4	1201.8	1206.2	1210.6	1215.0	1219.4	1223.8	1228.2	1232.6	1237.0	1241.4	1245.8	1250.2	1254.6	1259.0	1263.4	1267.8	1272.2	1276.6	1281.0	1285.4	1289.8	1294.2	1298.6	1303.0	1307.4	1311.8	1316.2	1320.6	1325.0	1329.4	1333.8	1338.2	1342.6	1347.0	1351.4	1355.8	1360.2	1364.6	1369.0	1373.4	1377.8	1382.2	1386.6	1391.0	1395.4	1399.8	1404.2	1408.6	1413.0	1417.4	1421.8	1426.2	1430.6	1435.0	1439.4	1443.8	1448.2	1452.6	1457.0	1461.4	1465.8	1470.2	1474.6	1479.0	1483.4	1487.8	1492.2	1496.6	1501.0	1505.4	1509.8	1514.2	1518.6	1523.0	1527.4	1531.8	1536.2	1540.6	1545.0	1549.4	1553.8	1558.2	1562.6	1567.0	1571.4	1575.8	1580.2	1584.6	1589.0	1593.4	1597.8	1602.2	1606.6	1611.0	1615.4	1619.8	1624.2	1628.6	1633.0	1637.4	1641.8	1646.2	1650.6	1655.0	1659.4	1663.8	1668.2	1672.6	1677.0	1681.4	1685.8	1690.2	1694.6	1699.0	1703.4	1707.8	1712.2	1716.6	1721.0	1725.4	1729.8	1734.2	1738.6	1743.0	1747.4	1751.8	1756.2	1760.6	1765.0	1769.4	1773.8	1778.2	1782.6	1787.0	1791.4	1795.8	1800.2	1804.6	1809.0	1813.4	1817.8	1822.2	1826.6	1831.0	1835.4	1839.8	1844.2	1848.6	1853.0	1857.4	1861.8	1866.2	1870.6	1875.0	1879.4	1883.8	1888.2	1892.6	1897.0	1901.4	1905.8	1910.2	1914.6	1919.0	1923.4	1927.8	1932.2	1936.6	1941.0	1945.4	1949.8	1954.2	1958.6	1963.0	1967.4	1971.8	1976.2	1980.6	1985.0	1989.4	1993.8	1998.2	2002.6	2007.0	2011.4	2015.8	2020.2	2024.6	2029.0	2033.4	2037.8	2042.2	2046.6	2051.0	2055.4	2059.8	2064.2	2068.6	2073.0	2077.4	2081.8	2086.2	2090.6	2095.0	2099.4	2103.8	2108.2	2112.6	2117.0	2121.4	2125.8	2130.2	2134.6	2139.0	2143.4	2147.8	2152.2	2156.6	2161.0	2165.4	2169.8	2174.2	2178.6	2183.0	2187.4	2191.8	2196.2	2200.6	2205.0	2209.4	2213.8	2218.2	2222.6	2227.0	2231.4	2235.8	2240.2	2244.6	2249.0	2253.4	2257.8	2262.2	2266.6	2271.0	2275.4	2279.8	2284.2	2288.6	2293.0	2297.4	2301.8	2306.2	2310.6	2315.0	2319.4	2323.8	2328.2	2332.6	2337.0	2341.4	2345.8	2350.2	2354.6	2359.0	2363.4	2367.8	2372.2	2376.6	2381.0	2385.4	2389.8	2394.2	2398.6	2403.0	2407.4	2411.8	2416.2	2420.6	2425.0	2429.4	2433.8	2438.2	2442.6	2447.0	2451.4	2455.8	2460.2	2464.6	2469.0	2473.4	2477.8	2482.2	2486.6	2491.0	2495.4	2499.8	2504.2	2508.6	2513.0	2517.4	2521.8	2526.2	2530.6	2535.0	2539.4	2543.8	2548.2	2552.6	2557.0	2561.4	2565.8	2570.2	2574.6	2579.0	2583.4	2587.8	2592.2	2596.6	2601.0	2605.4	2609.8	2614.2	2618.6	2623.0	2627.4	2631.8	2636.2	2640.6	2645.0	2649.4	2653.8	2658.2	2662.6	2667.0	2671.4	2675.8	2680.2	2684.6	2689.0	2693.4	2697.8	2702.2	2706.6	2711.0	2715.4	2719.8	2724.2	2728.6	2733.0	2737.4	2741.8	2746.2	2750.6	2755.0	2759.4	2763.8	2768.2	2772.6	2777.0	2781.4	2785.8	2790.2	2794.6	2799.0	2803.4	2807.8	2812.2	2816.6	2821.0	2825.4	2829.8	2834.2	2838.6	2843.0	2847.4	2851.8	2856.2	2860.6	2865.0	2869.4	2873.8	2878.2	2882.6	2887.0	2891.4	2895.8	2899.8	2904.2	2908.6	2913.0	2917.4	2921.8	2926.2	2930.6	2935.0	2939.4	2943.8	2948.2	2952.6	2957.0	2961.4	2965.8	2970.2	2974.6	2979.0	2983.4	2987.8	2992.2	2996.6	3001.0	3005.4	3009.8	3014.2	3018.6	3023.0	3027.4	3031.8	3036.2	3040.6	3045.0	3049.4	3053.8	3058.2	3062.6	3067.0	3071.4	3075.8	3080.2	3084.6	3089.0	3093.4	3097.8	3102.2	3106.6	3111.0	3115.4	3119.8	3124.2	3128.6	3133.0	3137.4	3141.8	3146.2	3150.6	3155.0	3159.4	3163.8	3168.2	3172.6	3177.0	3181.4	3185.8	3190.2	3194.6	3199.0	3203.4	3207.8	3212.2	3216.6	3221.0	3225.4	3229.8	3234.2	3238.6	3243.0	3247.4	3251.8	3256.2	3260.6	3265.0	3269.4	3273.8	3278.2	3282.6	3287.0	3291.4	3295.8	3300.2	3304.6	3309.0	3313.4	3317.8	3322.2	3326.6	3331.0	3335.4	3339.8	3344.2	3348.6	3353.0	3357.4	3361.8	3366.2	3370.6	3375.0	3379.4	3383.8	3388.2	3392.6	3397.0	3401.4	3405.8	3410.2	3414.6	3419.0	3423.4	3427.8	3432.2	3436.6	3441.0	3445.4	3449.8	3454.2	3458.6	3463.0	3467.4	3471.8	3476.2	3480.6	3485.0	3489.4	3493.8	3498.2	3502.6	3507.0	3511.4	3515.8	3520.2	3524.6	3529.0	3533.4	3537.8	3542.2	3546.6	3551.0	3555.4	3559.8	3564.2	3568.6	3573.0	3577.4	3581.8	3586.2	3590.6	3595.0	3599.4	3603.8	3608.2	3612.6	3617.0	3621.4	3625.8	3630.2	3634.6	3639.0	3643.4	3647.8	3652.2	3656.6	3661.0	3665.4	3669.8	3674.2	3678.6	3683.0	3687.4	3691.8	3696.2	3700.6	3705.0	3709.4	3713.8	3718.2	3722.6	3727.0	3731.4	3735.8	3740.2	3744.6	3749.0	3753.4	3757.8	3762.2	3766.6	3771.0	3775.4	3779.8	3784.2	3788.6	3793.0	3797.4	3801.8	3806.2	3810.6	3815.0	3819.4	3823.8	3828.2	3832.6	3837.0	3841.4	3845.8	3850.2	3854.6	3859.0	3863.4	3867.8	3872.2	3876.6	3881.0	3885.4	3889.8	3894.2	3898.6	3903.0	3907.4	3911.8	3916.2	3920.6	3925.0	3929.4	3933.8	3938.2	3942.6	3947.0	3951.4	3955.8	3960.2	3964.6	3969.0	3973.4	3977.8	3982.2	3986.6	3991.0	3995.4	3999.8	4004.2	4008.6</

Ein und Ausgabe:  
Farbmetrisches Drucker-Reflektiv-System FRS09\_92aM  
Daten für jede Farbe:  
*lab\*tch\** und *lab\*icu\**  
Elementar-Bunttontext:  
*u\** = 16 Buntttöne *r00j*, *r25j*, ..., *b75r*  
Kontrastreduzierungsfaktor:  
 $c_R = 1.0$

FRS09\_92aM; adaptierte CIELAB-Daten

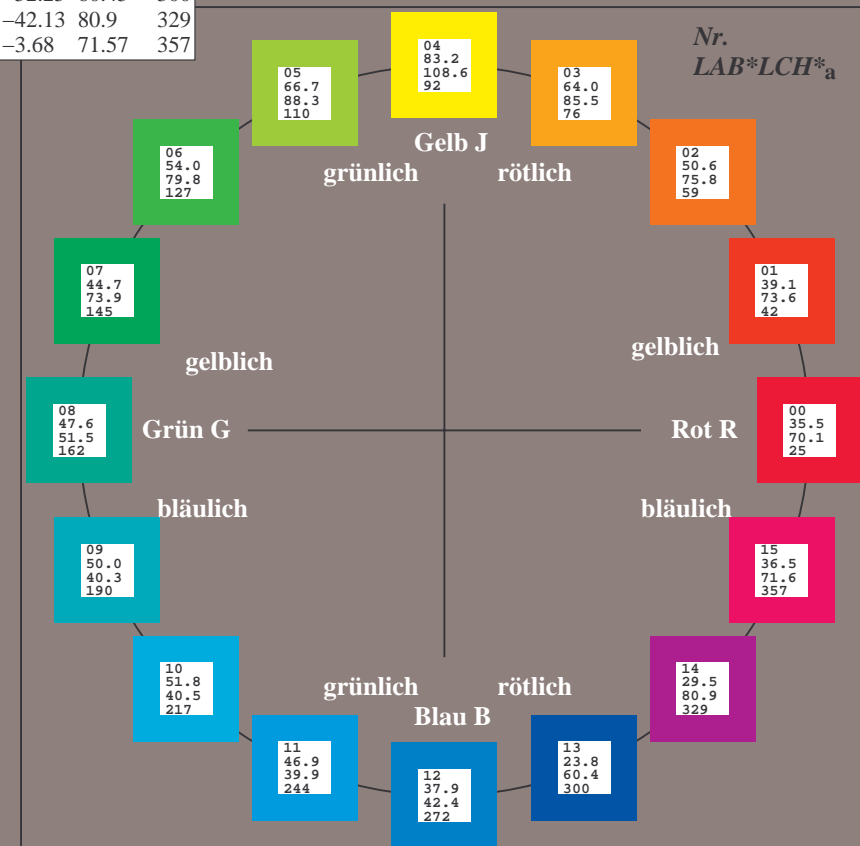
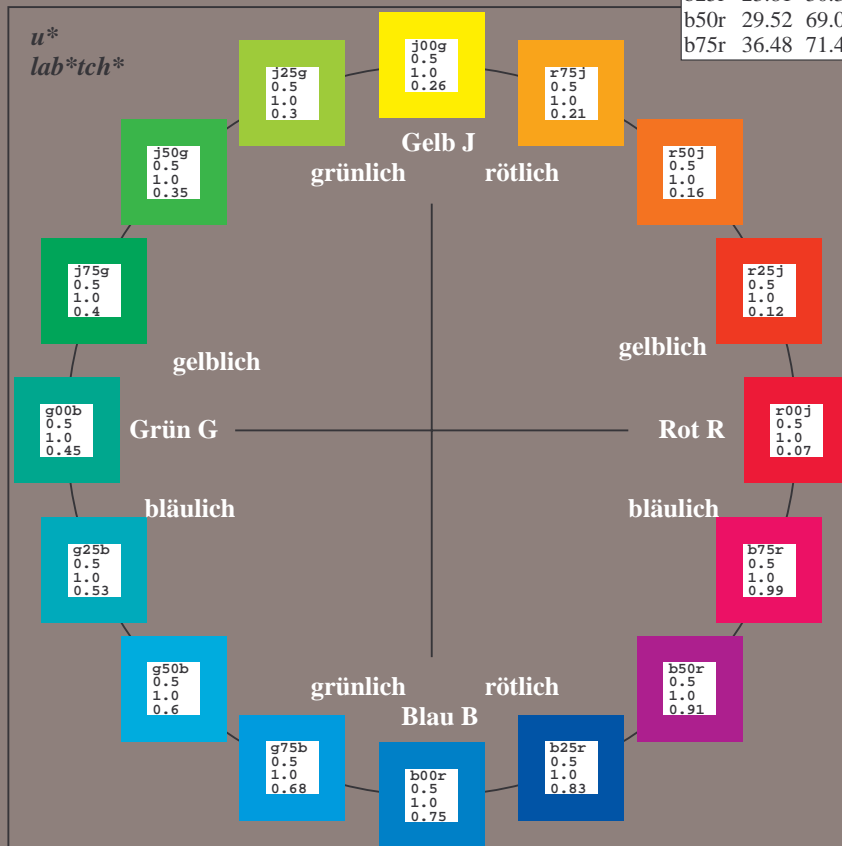
	$L^*=L^*_a$	$a^*_a$	$b^*_a$	$C^*_{ab,a}$	$h^*_{ab,a}$
r00j	35.47	63.32	30.17	70.15	25
r25j	39.12	54.56	49.45	73.64	42
r50j	50.64	39.15	64.89	75.79	59
r75j	64.01	21.26	82.83	85.52	76
j00g	83.18	-4.37	108.53	108.62	92
j25g	66.73	-29.88	83.06	88.28	110
j50g	54.03	-48.3	63.49	79.78	127
j75g	44.73	-60.32	42.64	73.88	145
g00b	47.59	-49.07	15.74	51.54	162
g25b	49.97	-39.69	-6.71	40.27	190
g50b	51.85	-32.32	-24.34	40.48	217
g75b	46.92	-17.28	-36.01	39.96	244
b00r	37.91	1.28	-42.34	42.37	272
b25r	23.81	30.38	-52.25	60.45	300
b50r	29.52	69.06	-42.13	80.9	329
b75r	36.48	71.47	-3.68	71.57	357



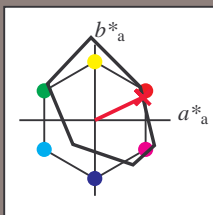
%Umfang  
 $u^*_{rel} = 109$   
%Regularität  
 $g^*_{H,rel} = 31$   
 $g^*_{C,rel} = 40$

FRS09\_92aM; adaptierte CIELAB-Daten

	$L^*=L^*_a$	$a^*_a$	$b^*_a$	$C^*_{ab,a}$	$h^*_{ab,a}$
OMa	35.06	60.0	44.0	74.4	36
YMa	83.77	-5.16	109.32	109.44	93
LMa	44.13	-62.66	48.24	79.09	142
CMa	52.66	-29.13	-31.98	43.27	228
VMa	14.15	50.3	-59.03	77.57	310
MMa	37.37	78.64	-33.49	85.48	337
NMa	8.58	0.0	0.0	0.0	0
WMa	92.02	0.0	0.0	0.0	0
RCIE	39.92	58.74	27.99	65.07	25
JCIE	81.26	-2.88	71.56	71.62	92
GCIE	52.23	-42.41	13.6	44.55	162
BCIE	30.57	1.41	-46.46	46.49	272



Ein und Ausgabe: Farbmetrisches Drucker-Reflektiv-System FRS09\_92aM für relativen CIELAB-Buntton  $h^* = lab^*h^* = h_{ab}/360 = 25/360 = 0.071$   $u^* = r00j$   
Daten für jede Farbe:  
 $lab^*tch^*$  und  $lab^*icu^*$   
Elementar-Bunttontext:  
 $u^* = r00j$   
Kontrastreduzierungsfaktor:  
 $c_R = 1.0$   
Dreiecks-Helligkeit  $i^*$



FRS09_92aM; adaptierte CIELAB-Daten					
	$L^*=L_a^*$	$a_a^*$	$b_a^*$	$C^*_{ab,a}$	$h^*_{ab,a}$
O <sub>Ma</sub>	35.06	60.0	44.0	74.4	36
Y <sub>Ma</sub>	83.77	-5.16	109.32	109.44	93
L <sub>Ma</sub>	44.13	-62.66	48.24	79.09	142
C <sub>Ma</sub>	52.66	-29.13	-31.98	43.27	228
V <sub>Ma</sub>	14.15	50.3	-59.03	77.57	310
M <sub>Ma</sub>	37.37	78.64	-33.49	85.48	337
N <sub>Ma</sub>	8.58	0.0	0.0	0.0	0
W <sub>Ma</sub>	92.02	0.0	0.0	0.0	0
R <sub>CIE</sub>	39.92	58.74	27.99	65.07	25
J <sub>CIE</sub>	81.26	-2.88	71.56	71.62	92
G <sub>CIE</sub>	52.23	-42.41	13.6	44.55	162
B <sub>CIE</sub>	30.57	1.41	-46.46	46.49	272

Daten für Maximalfarbe (Ma):

$LAB^*LAB^*_{Ma}$ : 35 63 30

$LAB^*LCH^*_{Ma}$ : 35 70 25

$lab^*rgb^*_{Ma}$ : 1.0 0.0 0.0

$lab^*olv^*_{Ma}$ : 1.0 0.0 0.18

Dreiecks-Helligkeit  $i^*$

%Umfang

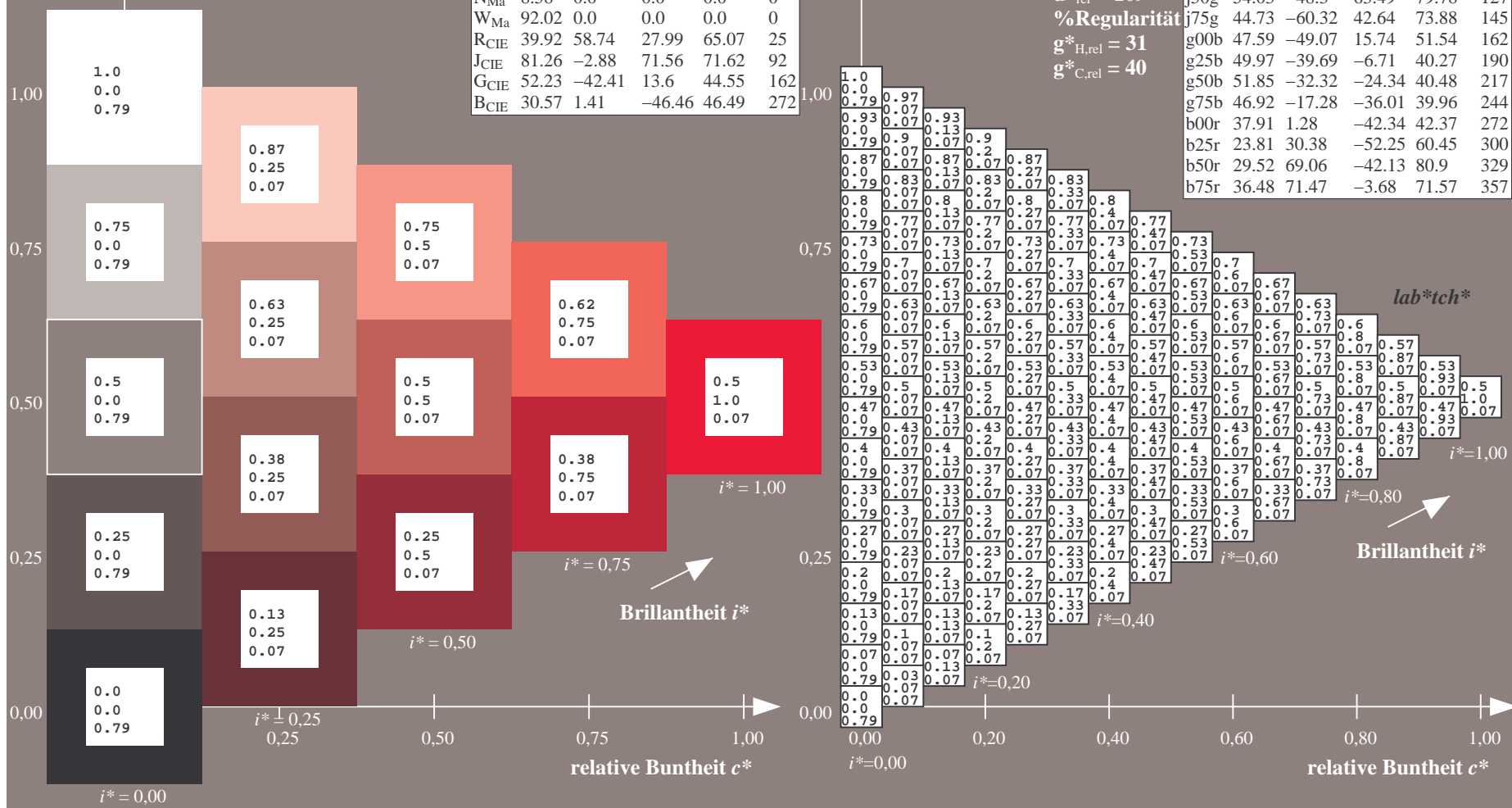
$u^*_{rel} = 109$

%Regularität

$g^*_{H,rel} = 31$

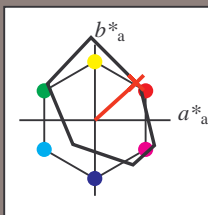
$g^*_{C,rel} = 40$

FRS09_92aM; adaptierte CIELAB-Daten					
	$L^*=L_a^*$	$a_a^*$	$b_a^*$	$C^*_{ab,a}$	$h^*_{ab,a}$
r00j	35.47	63.32	30.17	70.15	25
r25j	39.12	54.56	49.45	73.64	42
r50j	50.64	39.15	64.89	75.79	59
r75j	64.01	21.26	82.83	85.52	76
j00g	83.18	-4.37	108.53	108.62	92
j25g	66.73	-29.88	83.06	88.28	110
j50g	54.03	-48.3	63.49	79.78	127
j75g	44.73	-60.32	42.64	73.88	145
g00b	47.59	-49.07	15.74	51.54	162
g25b	49.97	-39.69	-6.71	40.27	190
g50b	51.85	-32.32	-24.34	40.48	217
g75b	46.92	-17.28	-36.01	39.96	244
b00r	37.91	1.28	-42.34	42.37	272
b25r	23.81	30.38	-52.25	60.45	300
b50r	29.52	69.06	-42.13	80.9	329
b75r	36.48	71.47	-3.68	71.57	357





Ein und Ausgabe: Farbmetrisches Drucker-Reflektiv-System FRS09\_92aM für relativen CIELAB-Buntton  $h^* = lab^*h^* = h_{ab}/360 = 42/360 = 0.117$   $u^* = r25j$   
Daten für jede Farbe:  
 $lab^*ch^*$  und  $lab^*icu^*$   
Elementar-Bunttontext:  
 $u^* = r25j$   
Kontrastreduzierungsfaktor:  
 $c_R = 1.0$   
Dreiecks-Helligkeit  $t^*$



FRS09_92aM; adaptierte CIELAB-Daten					
	$L^*=L_a^*$	$a_a^*$	$b_a^*$	$C^*_{ab,a}$	$h^*_{ab,a}$
O <sub>Ma</sub>	35.06	60.0	44.0	74.4	36
Y <sub>Ma</sub>	83.77	-5.16	109.32	109.44	93
L <sub>Ma</sub>	44.13	-62.66	48.24	79.09	142
C <sub>Ma</sub>	52.66	-29.13	-31.98	43.27	228
V <sub>Ma</sub>	14.15	50.3	-59.03	77.57	310
M <sub>Ma</sub>	37.37	78.64	-33.49	85.48	337
N <sub>Ma</sub>	8.58	0.0	0.0	0.0	0
W <sub>Ma</sub>	92.02	0.0	0.0	0.0	0
R <sub>CIE</sub>	39.92	58.74	27.99	65.07	25
J <sub>CIE</sub>	81.26	-2.88	71.56	71.62	92
G <sub>CIE</sub>	52.23	-42.41	13.6	44.55	162
B <sub>CIE</sub>	30.57	1.41	-46.46	46.49	272

Daten für Maximalfarbe (Ma):

$LAB^*LAB^*_{Ma}$ : 39 55 49

$LAB^*LCH^*_{Ma}$ : 39 74 42

$lab^*rgb^*_{Ma}$ : 1.0 0.25 0.0

$lab^*olv^*_{Ma}$ : 1.0 0.08 0.0

Dreiecks-Helligkeit  $t^*$

%Umfang

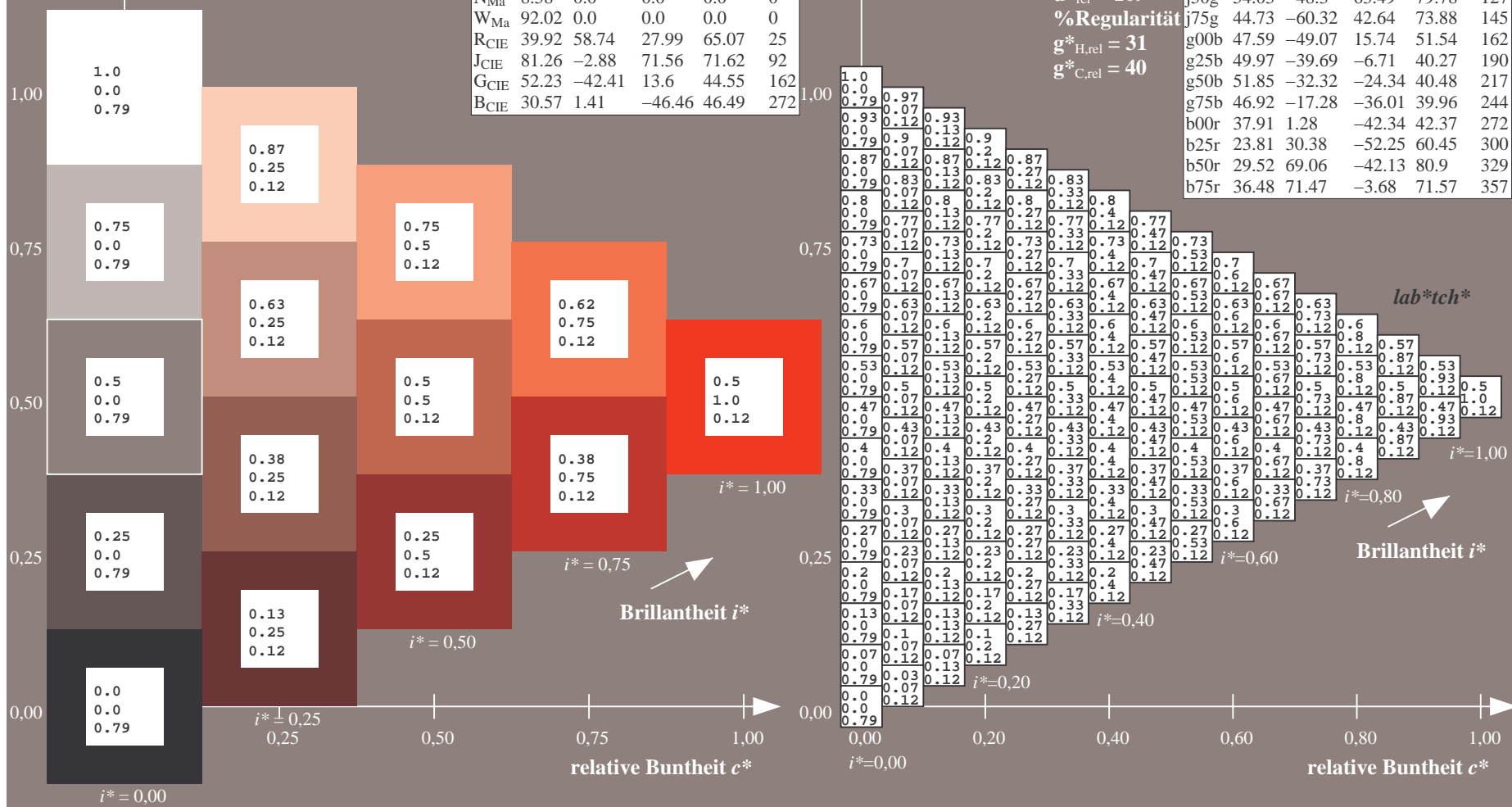
$u^*_{rel} = 109$

%Regularität

$g^*_{H,rel} = 31$

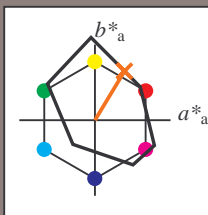
$g^*_{C,rel} = 40$

FRS09_92aM; adaptierte CIELAB-Daten					
	$L^*=L_a^*$	$a_a^*$	$b_a^*$	$C^*_{ab,a}$	$h^*_{ab,a}$
r00j	35.47	63.32	30.17	70.15	25
r25j	39.12	54.56	49.45	73.64	42
r50j	50.64	39.15	64.89	75.79	59
r75j	64.01	21.26	82.83	85.52	76
j00g	83.18	-4.37	108.53	108.62	92
j25g	66.73	-29.88	83.06	88.28	110
j50g	54.03	-48.3	63.49	79.78	127
j75g	44.73	-60.32	42.64	73.88	145
g00b	47.59	-49.07	15.74	51.54	162
g25b	49.97	-39.69	-6.71	40.27	190
g50b	51.85	-32.32	-24.34	40.48	217
g75b	46.92	-17.28	-36.01	39.96	244
b00r	37.91	1.28	-42.34	42.37	272
b25r	23.81	30.38	-52.25	60.45	300
b50r	29.52	69.06	-42.13	80.9	329
b75r	36.48	71.47	-3.68	71.57	357





Ein und Ausgabe: Farbmetrisches Drucker-Reflektiv-System FRS09\_92aM für relativen CIELAB-Buntton  $h^* = lab^*h^* = h_{ab}/360 = 59/360 = 0.164$   $u^* = r50j$   
Daten für jede Farbe:  
 $lab^*tch^*$  und  $lab^*icu^*$   
Elementar-Bunttontext:  
 $u^* = r50j$   
Kontrastreduzierungsfaktor:  
 $c_R = 1.0$   
Dreiecks-Helligkeit  $t^*$



FRS09_92aM; adaptierte CIELAB-Daten					
	$L^*=L_a^*$	$a_a^*$	$b_a^*$	$C_{ab,a}^*$	$h_{ab,a}^*$
O <sub>Ma</sub>	35.06	60.0	44.0	74.4	36
Y <sub>Ma</sub>	83.77	-5.16	109.32	109.44	93
L <sub>Ma</sub>	44.13	-62.66	48.24	79.09	142
C <sub>Ma</sub>	52.66	-29.13	-31.98	43.27	228
V <sub>Ma</sub>	14.15	50.3	-59.03	77.57	310
M <sub>Ma</sub>	37.37	78.64	-33.49	85.48	337
N <sub>Ma</sub>	8.58	0.0	0.0	0.0	0
W <sub>Ma</sub>	92.02	0.0	0.0	0.0	0
R <sub>CIE</sub>	39.92	58.74	27.99	65.07	25
J <sub>CIE</sub>	81.26	-2.88	71.56	71.62	92
G <sub>CIE</sub>	52.23	-42.41	13.6	44.55	162
B <sub>CIE</sub>	30.57	1.41	-46.46	46.49	272

Daten für Maximalfarbe (Ma):

$LAB^*LAB^*_{Ma}$ : 51 39 65

$LAB^*LCH^*_{Ma}$ : 51 76 59

$lab^*rgb^*_{Ma}$ : 1.0 0.5 0.0

$lab^*olv^*_{Ma}$ : 1.0 0.32 0.0

Dreiecks-Helligkeit  $t^*$

%Umfang

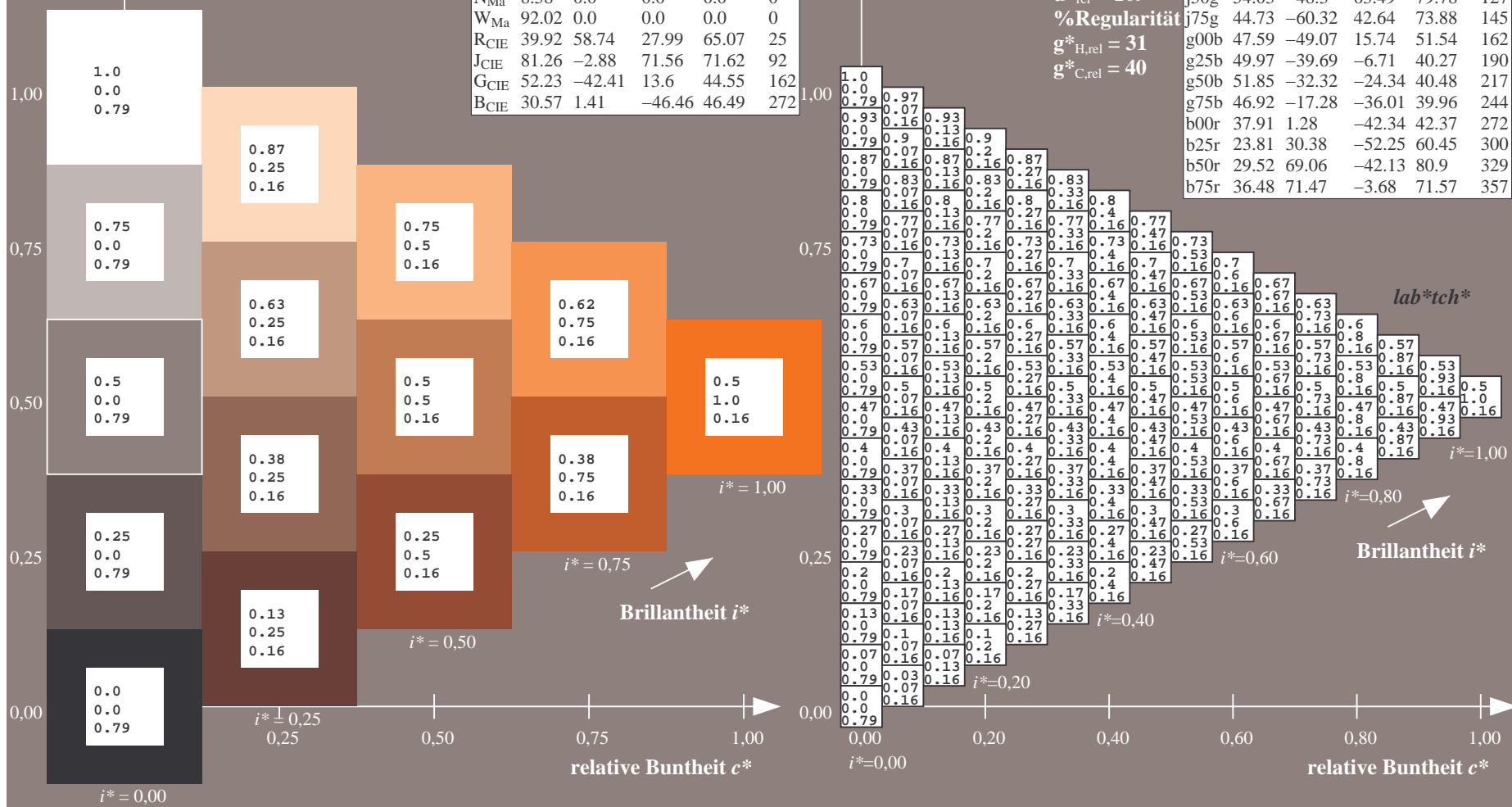
$u^*_{rel} = 109$

%Regularität

$g^*_{H,rel} = 31$

$g^*_{C,rel} = 40$

FRS09_92aM; adaptierte CIELAB-Daten					
	$L^*=L_a^*$	$a_a^*$	$b_a^*$	$C_{ab,a}^*$	$h_{ab,a}^*$
r00j	35.47	63.32	30.17	70.15	25
r25j	39.12	54.56	49.45	73.64	42
r50j	50.64	39.15	64.89	75.79	59
r75j	64.01	21.26	82.83	85.52	76
j00g	83.18	-4.37	108.53	108.62	92
j25g	66.73	-29.88	83.06	88.28	110
j50g	54.03	-48.3	63.49	79.78	127
j75g	44.73	-60.32	42.64	73.88	145
g00b	47.59	-49.07	15.74	51.54	162
g25b	49.97	-39.69	-6.71	40.27	190
g50b	51.85	-32.32	-24.34	40.48	217
g75b	46.92	-17.28	-36.01	39.96	244
b00r	37.91	1.28	-42.34	42.37	272
b25r	23.81	30.38	-52.25	60.45	300
b50r	29.52	69.06	-42.13	80.9	329
b75r	36.48	71.47	-3.68	71.57	357



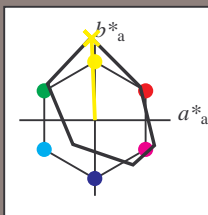
9



## Brillantheit $i^*$

Ausgabe:  $\rightarrow cmyk5^* setcmykcolor$

Ein und Ausgabe: Farbmetrisches Drucker-Reflektiv-System FRS09\_92aM für relativen CIELAB-Buntton  $h^* = lab^*h^* = h_{ab}/360 = 92/360 = 0.256$   $u^* = j00g$   
Daten für jede Farbe:  
 $lab^*tch^*$  und  $lab^*icu^*$   
Elementar-Bunttontext:  
 $u^* = j00g$   
Kontrastreduzierungsfaktor:  
 $c_R = 1.0$   
Dreiecks-Helligkeit  $i^*$



FRS09_92aM; adaptierte CIELAB-Daten					
	$L^*=L_a^*$	$a_a^*$	$b_a^*$	$C^*_{ab,a}$	$h^*_{ab,a}$
O <sub>Ma</sub>	35.06	60.0	44.0	74.4	36
Y <sub>Ma</sub>	83.77	-5.16	109.32	109.44	93
L <sub>Ma</sub>	44.13	-62.66	48.24	79.09	142
C <sub>Ma</sub>	52.66	-29.13	-31.98	43.27	228
V <sub>Ma</sub>	14.15	50.3	-59.03	77.57	310
M <sub>Ma</sub>	37.37	78.64	-33.49	85.48	337
N <sub>Ma</sub>	8.58	0.0	0.0	0.0	0
W <sub>Ma</sub>	92.02	0.0	0.0	0.0	0
R <sub>CIE</sub>	39.92	58.74	27.99	65.07	25
J <sub>CIE</sub>	81.26	-2.88	71.56	71.62	92
G <sub>CIE</sub>	52.23	-42.41	13.6	44.55	162
B <sub>CIE</sub>	30.57	1.41	-46.46	46.49	272

Daten für Maximalfarbe (Ma):

$LAB^*LAB^*_{Ma}$ : 83 -3 109

$LAB^*LCH^*_{Ma}$ : 83 109 92

$lab^*rgb^*_{Ma}$ : 1.0 1.0 0.0

$lab^*olv^*_{Ma}$ : 1.0 0.99 0.0

Dreiecks-Helligkeit  $i^*$

%Umfang

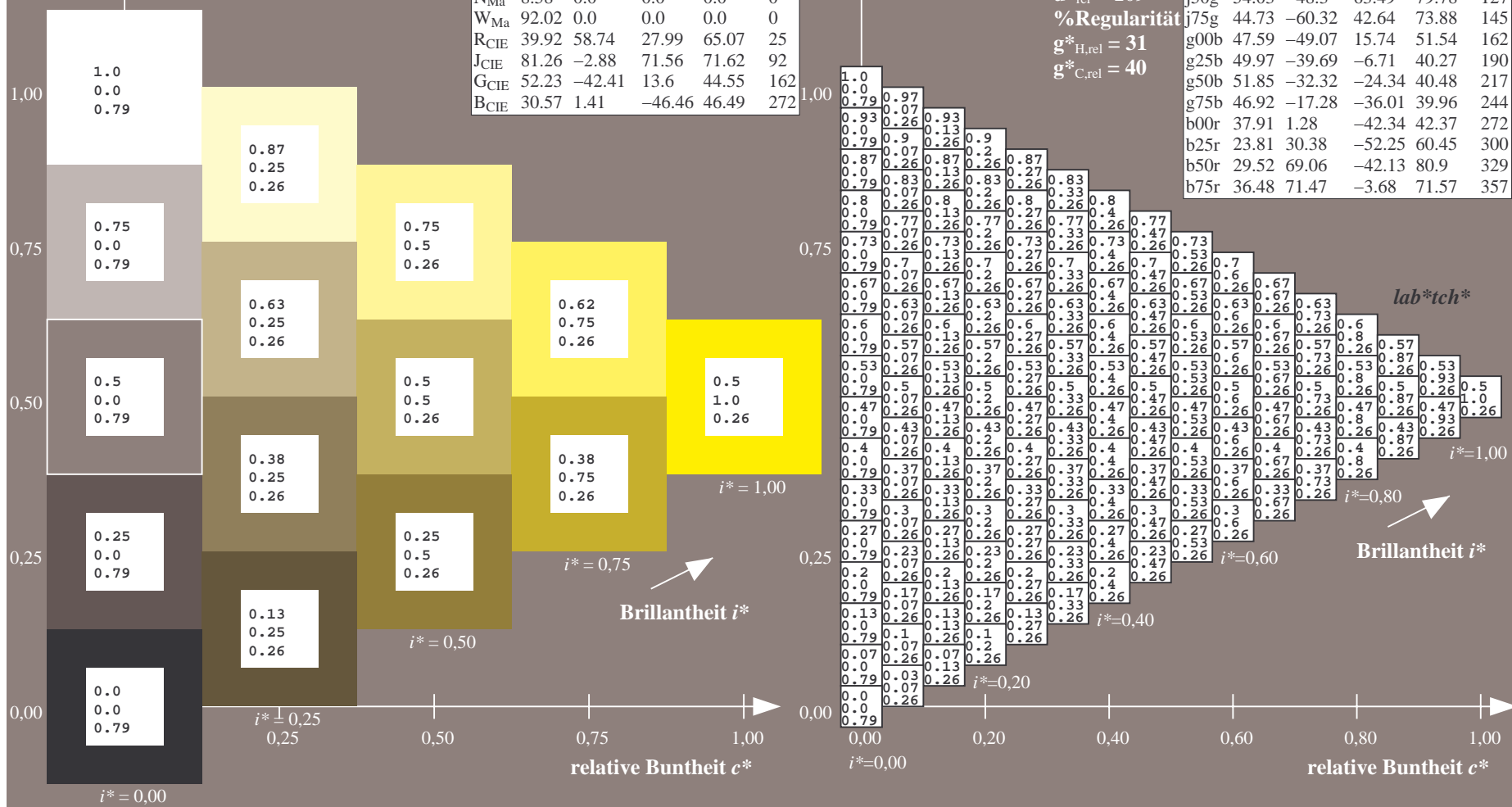
$u^*_{rel} = 109$

%Regularität

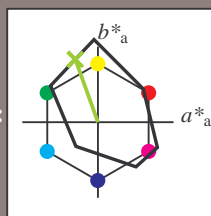
$g^*_{H,rel} = 31$

$g^*_{C,rel} = 40$

FRS09_92aM; adaptierte CIELAB-Daten					
	$L^*=L_a^*$	$a_a^*$	$b_a^*$	$C^*_{ab,a}$	$h^*_{ab,a}$
r00j	35.47	63.32	30.17	70.15	25
r25j	39.12	54.56	49.45	73.64	42
r50j	50.64	39.15	64.89	75.79	59
r75j	64.01	21.26	82.83	85.52	76
j00g	83.18	-4.37	108.53	108.62	92
j25g	66.73	-29.88	83.06	88.28	110
j50g	54.03	-48.3	63.49	79.78	127
j75g	44.73	-60.32	42.64	73.88	145
g00b	47.59	-49.07	15.74	51.54	162
g25b	49.97	-39.69	-6.71	40.27	190
g50b	51.85	-32.32	-24.34	40.48	217
g75b	46.92	-17.28	-36.01	39.96	244
b00r	37.91	1.28	-42.34	42.37	272
b25r	23.81	30.38	-52.25	60.45	300
b50r	29.52	69.06	-42.13	80.9	329
b75r	36.48	71.47	-3.68	71.57	357



Ein und Ausgabe: Farbmetrisches Drucker-Reflektiv-System FRS09\_92aM für relativen CIELAB-Buntton  $h^* = lab^*h^* = h_{ab}/360 = 110/360 = 0.305$   $u^* = j25g$   
Daten für jede Farbe:  
 $lab^*tch^*$  und  $lab^*icu^*$   
Elementar-Bunttontext:  
 $u^* = j25g$   
Kontrastreduzierungsfaktor:  
 $c_R = 1.0$   
Dreiecks-Helligkeit  $t^*$



FRS09_92aM; adaptierte CIELAB-Daten					
	$L^*=L^*_a$	$a^*_a$	$b^*_a$	$C^*_{ab,a}$	$h^*_{ab,a}$
O <sub>Ma</sub>	35.06	60.0	44.0	74.4	36
Y <sub>Ma</sub>	83.77	-5.16	109.32	109.44	93
L <sub>Ma</sub>	44.13	-62.66	48.24	79.09	142
C <sub>Ma</sub>	52.66	-29.13	-31.98	43.27	228
V <sub>Ma</sub>	14.15	50.3	-59.03	77.57	310
M <sub>Ma</sub>	37.37	78.64	-33.49	85.48	337
N <sub>Ma</sub>	8.58	0.0	0.0	0.0	0
W <sub>Ma</sub>	92.02	0.0	0.0	0.0	0
R <sub>CIE</sub>	39.92	58.74	27.99	65.07	25
J <sub>CIE</sub>	81.26	-2.88	71.56	71.62	92
G <sub>CIE</sub>	52.23	-42.41	13.6	44.55	162
B <sub>CIE</sub>	30.57	1.41	-46.46	46.49	272

Daten für Maximalfarbe (Ma):

$LAB^*LAB^*_{Ma}$ : 67 -29 83

$LAB^*LCH^*_{Ma}$ : 67 88 110

$lab^*rgb^*_{Ma}$ : 0.75 1.0 0.0

$lab^*olv^*_{Ma}$ : 0.57 1.0 0.0

Dreiecks-Helligkeit  $t^*$

%Umfang

$u^*_{rel} = 109$

%Regularität

$g^*_{H,rel} = 31$

$g^*_{C,rel} = 40$

FRS09_92aM; adaptierte CIELAB-Daten					
	$L^*=L^*_a$	$a^*_a$	$b^*_a$	$C^*_{ab,a}$	$h^*_{ab,a}$
r00j	35.47	63.32	30.17	70.15	25
r25j	39.12	54.56	49.45	73.64	42
r50j	50.64	39.15	64.89	75.79	59
r75j	64.01	21.26	82.83	85.52	76
j00g	83.18	-4.37	108.53	108.62	92
j25g	66.73	-29.88	83.06	88.28	110
j50g	54.03	-48.3	63.49	79.78	127
j75g	44.73	-60.32	42.64	73.88	145
g00b	47.59	-49.07	15.74	51.54	162
g25b	49.97	-39.69	-6.71	40.27	190
g50b	51.85	-32.32	-24.34	40.48	217
g75b	46.92	-17.28	-36.01	39.96	244
b00r	37.91	1.28	-42.34	42.37	272
b25r	23.81	30.38	-52.25	60.45	300
b50r	29.52	69.06	-42.13	80.9	329
b75r	36.48	71.47	-3.68	71.57	357

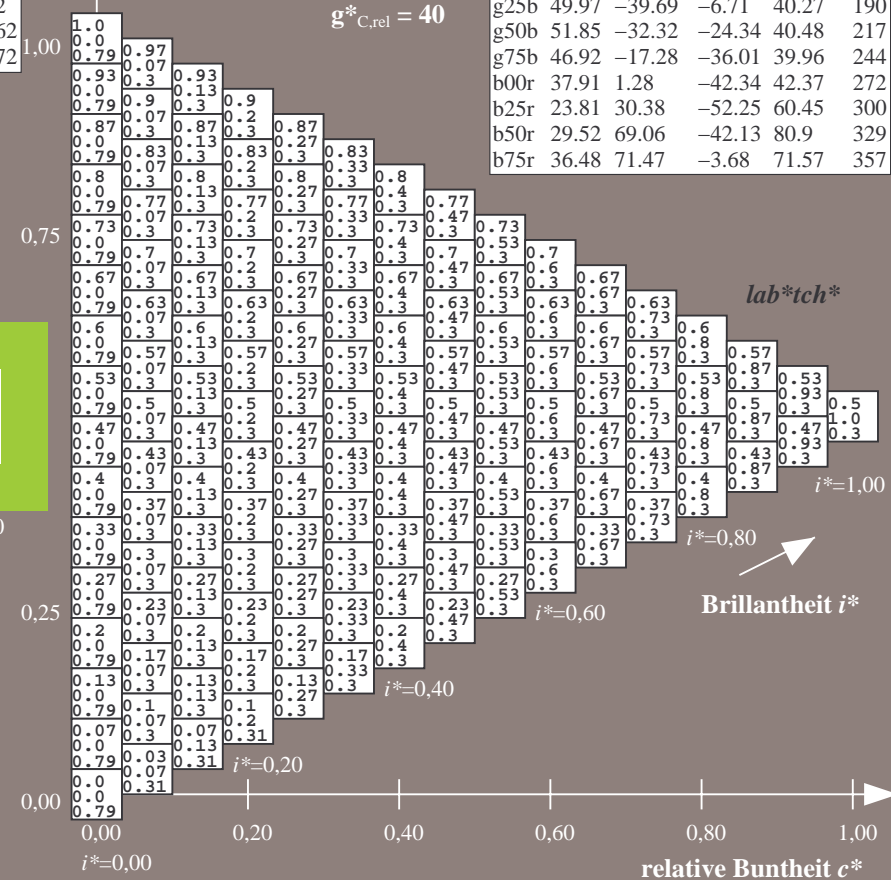
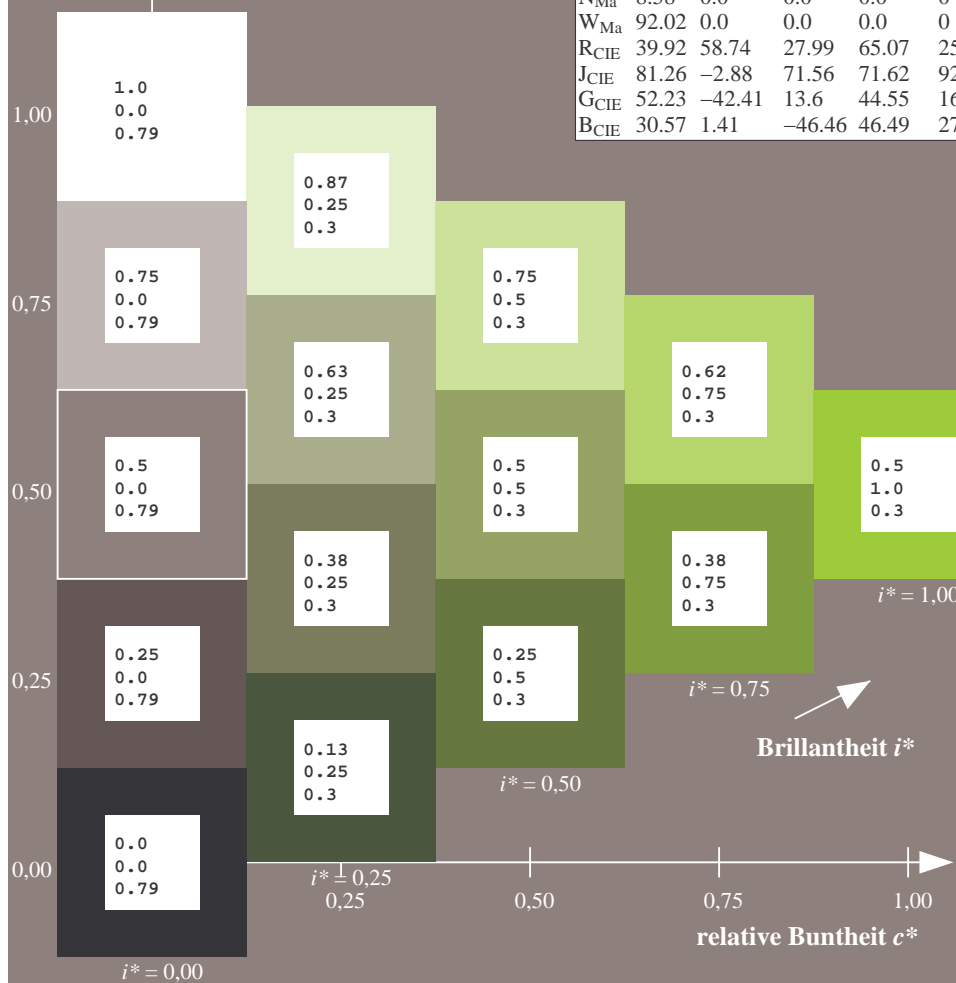




Figure 1



lab\*tch\*

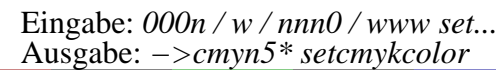
i\* = 1, 00

Brillantheit  $i^*$

i\* = 0,60

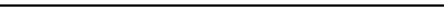
i\* = 0,80

i\* = 1,00





### Dreiecks-Helligkeit $t^*$



Siehe ähnliche Dateien: <http://www.ps.bam.de/Dg92/>; [www.ps.bam.de/Dg.HTM](http://www.ps.bam.de/Dg.HTM)  
Technische Information: <http://www.ps.bam.de> Version 2.1, io=1.1, ColSp=0

BAM-Registrierung: 20080701-Dg92/10L/L92G00NA.PS/ .TXTBAM-Material: Code=rh4ta  
Anwendung für Beurteilung und Messung von Drucker- oder Monitorsystemen

BAM-Prüfvorlage Dg92; Farbmimetrik-Systeme, Seite 99/180  
Farbreihen, 8 Datentabellen für 16 Bunttöne *r00j* bis *b75r*

Eingabe: 000n / w / nnn0 / www set...  
Ausgabe: ->cmyn5\* setcmykcolor

### Dreiecks-Helligkeit $t^*$



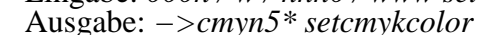
---

---

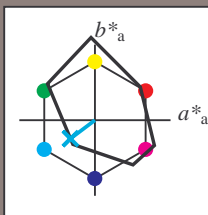
Ausgabe:  $\rightarrow cmyk5^* \text{ setcmykcolor}$

---

### Dreiecks-Helligkeit $t^*$



Ein und Ausgabe: Farbmetrisches Drucker-Reflektiv-System FRS09\_92aM für relativen CIELAB-Buntton  $h^* = lab^*h^* = h_{ab}/360 = 217/360 = 0.603$   $u^* = g50b$   
Daten für jede Farbe:  
 $lab^*ch^*$  und  $lab^*icu^*$   
Elementar-Bunttontext:  
 $u^* = g50b$   
Kontrastreduzierungsfaktor:  
 $c_R = 1.0$   
Dreiecks-Helligkeit  $i^*$



FRS09_92aM; adaptierte CIELAB-Daten					
	$L^*=L^*_a$	$a^*_a$	$b^*_a$	$C^*_{ab,a}$	$h^*_{ab,a}$
O <sub>Ma</sub>	35.06	60.0	44.0	74.4	36
Y <sub>Ma</sub>	83.77	-5.16	109.32	109.44	93
L <sub>Ma</sub>	44.13	-62.66	48.24	79.09	142
C <sub>Ma</sub>	52.66	-29.13	-31.98	43.27	228
V <sub>Ma</sub>	14.15	50.3	-59.03	77.57	310
M <sub>Ma</sub>	37.37	78.64	-33.49	85.48	337
N <sub>Ma</sub>	8.58	0.0	0.0	0.0	0
W <sub>Ma</sub>	92.02	0.0	0.0	0.0	0
R <sub>CIE</sub>	39.92	58.74	27.99	65.07	25
J <sub>CIE</sub>	81.26	-2.88	71.56	71.62	92
G <sub>CIE</sub>	52.23	-42.41	13.6	44.55	162
B <sub>CIE</sub>	30.57	1.41	-46.46	46.49	272

Daten für Maximalfarbe (Ma):

$LAB^*LAB^*_{Ma}$ : 52 -31 -23

$LAB^*LCH^*_{Ma}$ : 52 40 217

$lab^*rgb^*_{Ma}$ : 0.0 1.0 1.0

$lab^*olv^*_{Ma}$ : 0.0 1.0 0.9

Dreiecks-Helligkeit  $i^*$

%Umfang

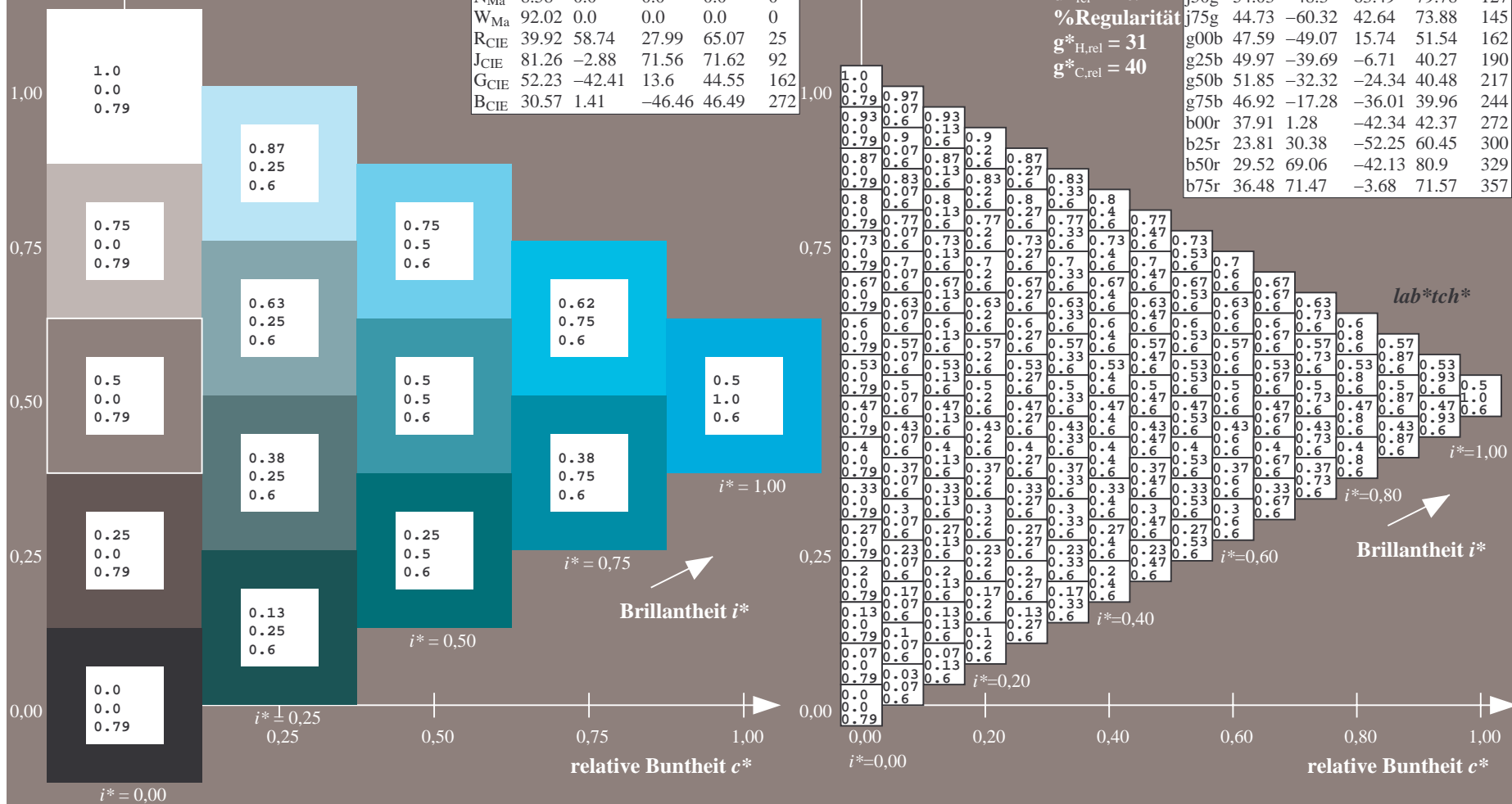
$u^*_{rel} = 109$

%Regularität

$g^*_{H,rel} = 31$

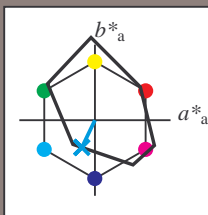
$g^*_{C,rel} = 40$

FRS09_92aM; adaptierte CIELAB-Daten					
	$L^*=L^*_a$	$a^*_a$	$b^*_a$	$C^*_{ab,a}$	$h^*_{ab,a}$
r00j	35.47	63.32	30.17	70.15	25
r25j	39.12	54.56	49.45	73.64	42
r50j	50.64	39.15	64.89	75.79	59
r75j	64.01	21.26	82.83	85.52	76
j00g	83.18	-4.37	108.53	108.62	92
j25g	66.73	-29.88	83.06	88.28	110
j50g	54.03	-48.3	63.49	79.78	127
j75g	44.73	-60.32	42.64	73.88	145
g00b	47.59	-49.07	15.74	51.54	162
g25b	49.97	-39.69	-6.71	40.27	190
g50b	51.85	-32.32	-24.34	40.48	217
g75b	46.92	-17.28	-36.01	39.96	244
b00r	37.91	1.28	-42.34	42.37	272
b25r	23.81	30.38	-52.25	60.45	300
b50r	29.52	69.06	-42.13	80.9	329
b75r	36.48	71.47	-3.68	71.57	357





Ein und Ausgabe: Farbmetrisches Drucker-Reflektiv-System FRS09\_92aM für relativen CIELAB-Buntton  $h^* = lab^*h^* = h_{ab}/360 = 244/360 = 0.679$   $u^* = g75b$   
Daten für jede Farbe:  
 $lab^*ch^*$  und  $lab^*icu^*$   
Elementar-Bunttontext:  
 $u^* = g75b$   
Kontrastreduzierungsfaktor:  
 $c_R = 1.0$   
Dreiecks-Helligkeit  $i^*$



FRS09_92aM; adaptierte CIELAB-Daten					
	$L^*=L_a^*$	$a_a^*$	$b_a^*$	$C^*_{ab,a}$	$h^*_{ab,a}$
O <sub>Ma</sub>	35.06	60.0	44.0	74.4	36
Y <sub>Ma</sub>	83.77	-5.16	109.32	109.44	93
L <sub>Ma</sub>	44.13	-62.66	48.24	79.09	142
C <sub>Ma</sub>	52.66	-29.13	-31.98	43.27	228
V <sub>Ma</sub>	14.15	50.3	-59.03	77.57	310
M <sub>Ma</sub>	37.37	78.64	-33.49	85.48	337
N <sub>Ma</sub>	8.58	0.0	0.0	0.0	0
W <sub>Ma</sub>	92.02	0.0	0.0	0.0	0
R <sub>CIE</sub>	39.92	58.74	27.99	65.07	25
J <sub>CIE</sub>	81.26	-2.88	71.56	71.62	92
G <sub>CIE</sub>	52.23	-42.41	13.6	44.55	162
B <sub>CIE</sub>	30.57	1.41	-46.46	46.49	272

Daten für Maximalfarbe (Ma):

$LAB^*LAB^*_{Ma}$ : 47 -16 -35

$LAB^*LCH^*_{Ma}$ : 47 40 244

$lab^*rgb^*_{Ma}$ : 0.0 0.5 1.0

$lab^*olv^*_{Ma}$ : 0.0 0.85 1.0

Dreiecks-Helligkeit  $i^*$

%Umfang

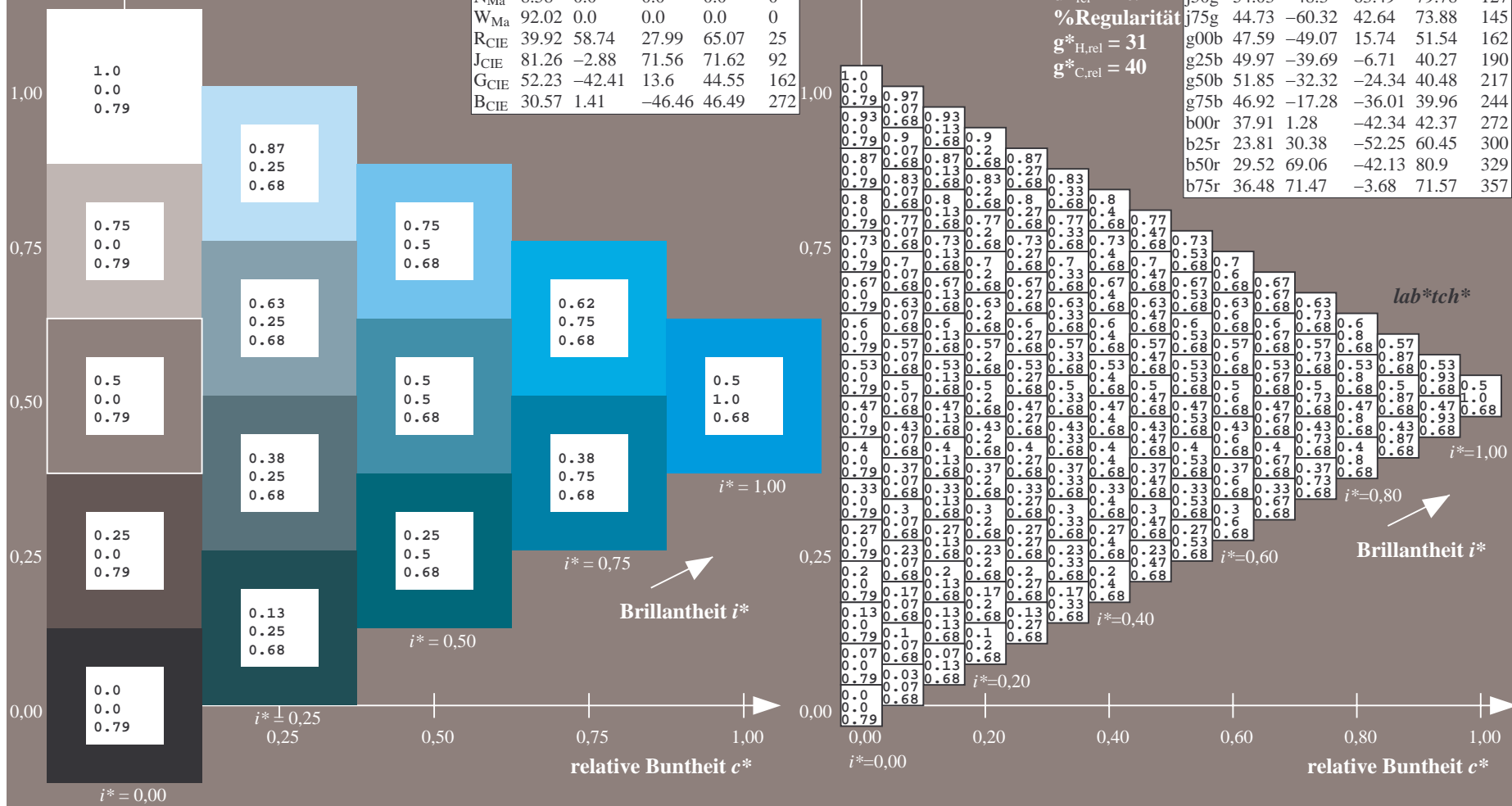
$u^*_{rel} = 109$

%Regularität

$g^*_{H,rel} = 31$

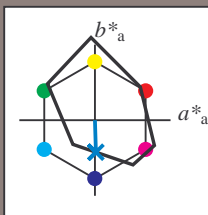
$g^*_{C,rel} = 40$

FRS09_92aM; adaptierte CIELAB-Daten					
	$L^*=L_a^*$	$a_a^*$	$b_a^*$	$C^*_{ab,a}$	$h^*_{ab,a}$
r00j	35.47	63.32	30.17	70.15	25
r25j	39.12	54.56	49.45	73.64	42
r50j	50.64	39.15	64.89	75.79	59
r75j	64.01	21.26	82.83	85.52	76
j00g	83.18	-4.37	108.53	108.62	92
j25g	66.73	-29.88	83.06	88.28	110
j50g	54.03	-48.3	63.49	79.78	127
j75g	44.73	-60.32	42.64	73.88	145
g00b	47.59	-49.07	15.74	51.54	162
g25b	49.97	-39.69	-6.71	40.27	190
g50b	51.85	-32.32	-24.34	40.48	217
g75b	46.92	-17.28	-36.01	39.96	244
b00r	37.91	1.28	-42.34	42.37	272
b25r	23.81	30.38	-52.25	60.45	300
b50r	29.52	69.06	-42.13	80.9	329
b75r	36.48	71.47	-3.68	71.57	357





Ein und Ausgabe: Farbmetrisches Drucker-Reflektiv-System FRS09\_92aM für relativen CIELAB-Buntton  $h^* = lab^*h^* = h_{ab}/360 = 272/360 = 0.755$   $u^* = b00r$   
Daten für jede Farbe:  
 $lab^*tch^*$  und  $lab^*icu^*$   
Elementar-Bunttontext:  
 $u^* = b00r$   
Kontrastreduzierungsfaktor:  
 $c_R = 1.0$   
Dreiecks-Helligkeit  $t^*$



FRS09_92aM; adaptierte CIELAB-Daten					
	$L^*=L_a^*$	$a_a^*$	$b_a^*$	$C^*_{ab,a}$	$h^*_{ab,a}$
O <sub>Ma</sub>	35.06	60.0	44.0	74.4	36
Y <sub>Ma</sub>	83.77	-5.16	109.32	109.44	93
L <sub>Ma</sub>	44.13	-62.66	48.24	79.09	142
C <sub>Ma</sub>	52.66	-29.13	-31.98	43.27	228
V <sub>Ma</sub>	14.15	50.3	-59.03	77.57	310
M <sub>Ma</sub>	37.37	78.64	-33.49	85.48	337
N <sub>Ma</sub>	8.58	0.0	0.0	0.0	0
W <sub>Ma</sub>	92.02	0.0	0.0	0.0	0
R <sub>CIE</sub>	39.92	58.74	27.99	65.07	25
J <sub>CIE</sub>	81.26	-2.88	71.56	71.62	92
G <sub>CIE</sub>	52.23	-42.41	13.6	44.55	162
B <sub>CIE</sub>	30.57	1.41	-46.46	46.49	272

Daten für Maximalfarbe (Ma):

$LAB^*LAB^*_{Ma}$ : 38 1 -41

$LAB^*LCH^*_{Ma}$ : 38 42 272

$lab^*rgb^*_{Ma}$ : 0.0 0.0 1.0

$lab^*olv^*_{Ma}$ : 0.0 0.62 1.0

Dreiecks-Helligkeit  $t^*$

%Umfang

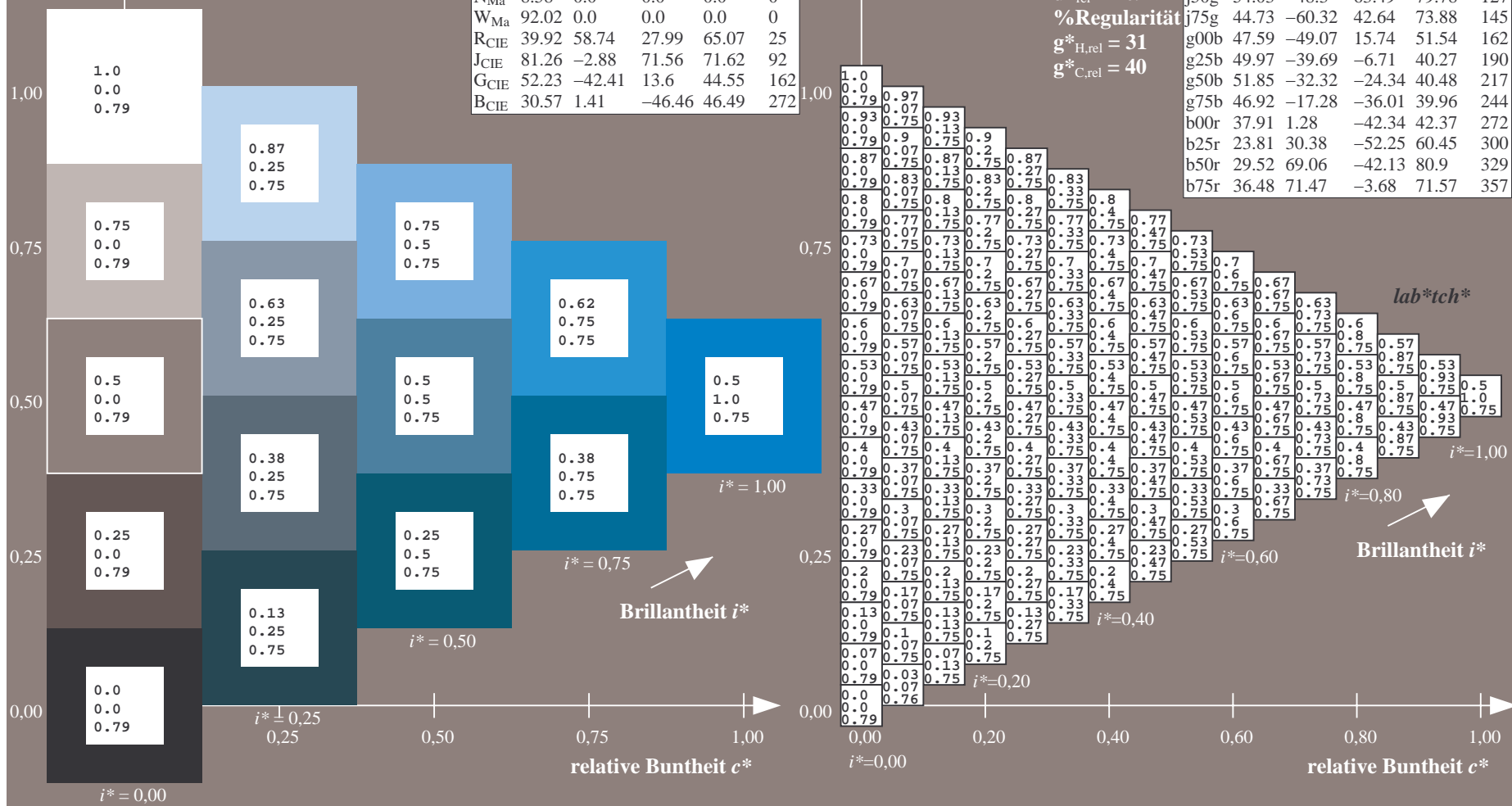
$u^*_{rel} = 109$

%Regularität

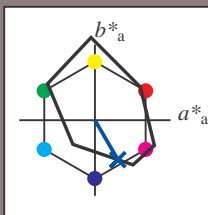
$g^*_{H,rel} = 31$

$g^*_{C,rel} = 40$

FRS09_92aM; adaptierte CIELAB-Daten					
	$L^*=L_a^*$	$a_a^*$	$b_a^*$	$C^*_{ab,a}$	$h^*_{ab,a}$
r00j	35.47	63.32	30.17	70.15	25
r25j	39.12	54.56	49.45	73.64	42
r50j	50.64	39.15	64.89	75.79	59
r75j	64.01	21.26	82.83	85.52	76
j00g	83.18	-4.37	108.53	108.62	92
j25g	66.73	-29.88	83.06	88.28	110
j50g	54.03	-48.3	63.49	79.78	127
j75g	44.73	-60.32	42.64	73.88	145
g00b	47.59	-49.07	15.74	51.54	162
g25b	49.97	-39.69	-6.71	40.27	190
g50b	51.85	-32.32	-24.34	40.48	217
g75b	46.92	-17.28	-36.01	39.96	244
b00r	37.91	1.28	-42.34	42.37	272
b25r	23.81	30.38	-52.25	60.45	300
b50r	29.52	69.06	-42.13	80.9	329
b75r	36.48	71.47	-3.68	71.57	357



Ein und Ausgabe: Farbmetrisches Drucker-Reflektiv-System FRS09\_92aM für relativen CIELAB-Buntton  $h^* = lab^*h^* = h_{ab}/360 = 300/360 = 0.834$   $u^* = b25r$   
Daten für jede Farbe:  
 $lab^*tch^*$  und  $lab^*icu^*$   
Elementar-Bunttontext:  
 $u^* = b25r$   
Kontrastreduzierungsfaktor:  
 $c_R = 1.0$   
Dreiecks-Helligkeit  $t^*$



FRS09_92aM; adaptierte CIELAB-Daten					
	$L^*=L_a^*$	$a_a^*$	$b_a^*$	$C^*_{ab,a}$	$h^*_{ab,a}$
O <sub>Ma</sub>	35.06	60.0	44.0	74.4	36
Y <sub>Ma</sub>	83.77	-5.16	109.32	109.44	93
L <sub>Ma</sub>	44.13	-62.66	48.24	79.09	142
C <sub>Ma</sub>	52.66	-29.13	-31.98	43.27	228
V <sub>Ma</sub>	14.15	50.3	-59.03	77.57	310
M <sub>Ma</sub>	37.37	78.64	-33.49	85.48	337
N <sub>Ma</sub>	8.58	0.0	0.0	0.0	0
W <sub>Ma</sub>	92.02	0.0	0.0	0.0	0
R <sub>CIE</sub>	39.92	58.74	27.99	65.07	25
J <sub>CIE</sub>	81.26	-2.88	71.56	71.62	92
G <sub>CIE</sub>	52.23	-42.41	13.6	44.55	162
B <sub>CIE</sub>	30.57	1.41	-46.46	46.49	272

Daten für Maximalfarbe (Ma):

$LAB^*LAB^*_{Ma}$ : 24 30 -51

$LAB^*LCH^*_{Ma}$ : 24 60 300

$lab^*rgb^*_{Ma}$ : 0.5 0.0 1.0

$lab^*olv^*_{Ma}$ : 0.0 0.25 1.0

Dreiecks-Helligkeit  $t^*$

%Umfang

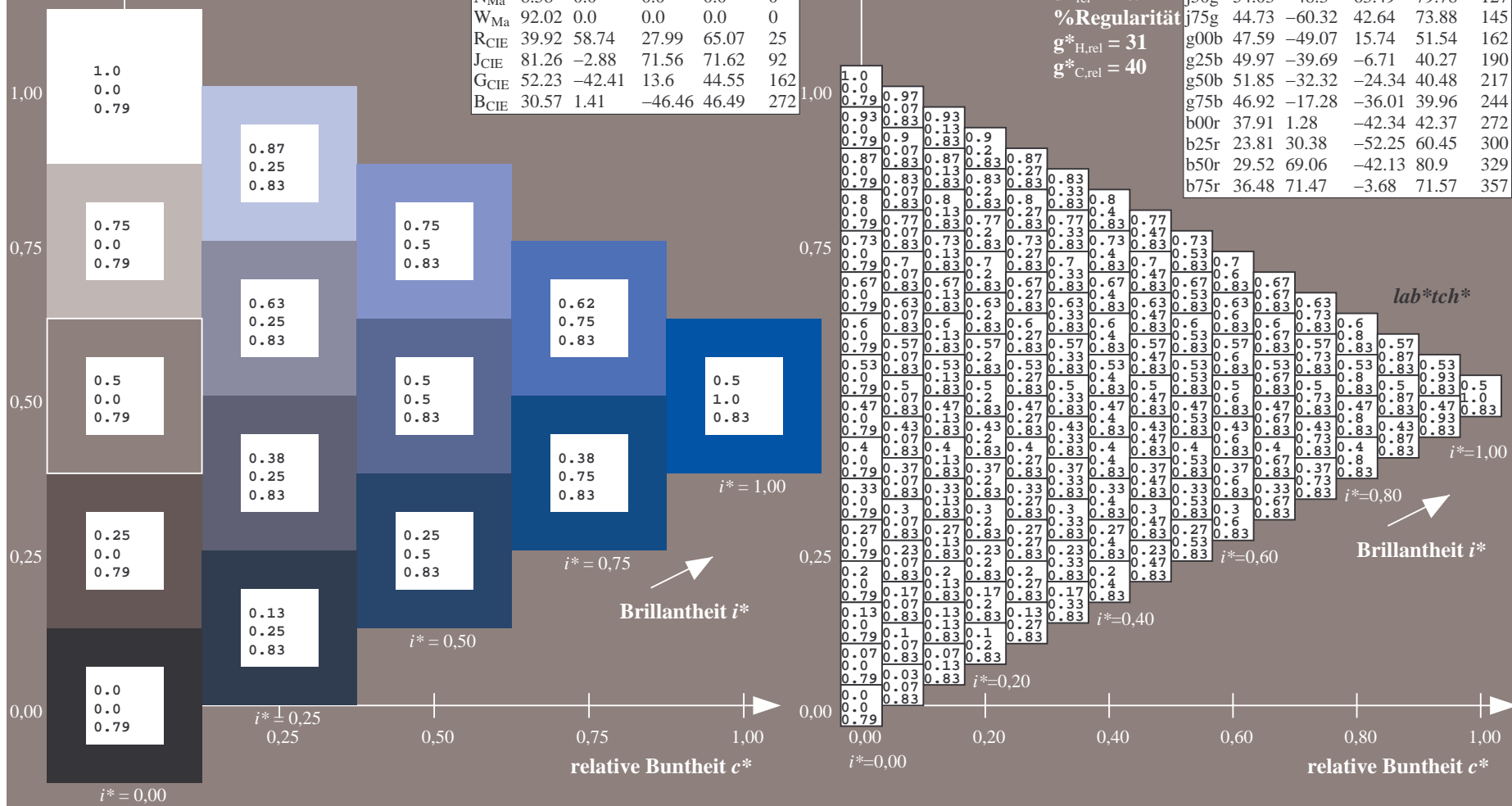
$u^*_{rel} = 109$

%Regularität

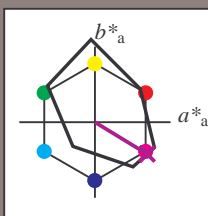
$g^*_{H,rel} = 31$

$g^*_{C,rel} = 40$

FRS09_92aM; adaptierte CIELAB-Daten					
	$L^*=L_a^*$	$a_a^*$	$b_a^*$	$C^*_{ab,a}$	$h^*_{ab,a}$
r00j	35.47	63.32	30.17	70.15	25
r25j	39.12	54.56	49.45	73.64	42
r50j	50.64	39.15	64.89	75.79	59
r75j	64.01	21.26	82.83	85.52	76
j00g	83.18	-4.37	108.53	108.62	92
j25g	66.73	-29.88	83.06	88.28	110
j50g	54.03	-48.3	63.49	79.78	127
j75g	44.73	-60.32	42.64	73.88	145
g00b	47.59	-49.07	15.74	51.54	162
g25b	49.97	-39.69	-6.71	40.27	190
g50b	51.85	-32.32	-24.34	40.48	217
g75b	46.92	-17.28	-36.01	39.96	244
b00r	37.91	1.28	-42.34	42.37	272
b25r	23.81	30.38	-52.25	60.45	300
b50r	29.52	69.06	-42.13	80.9	329
b75r	36.48	71.47	-3.68	71.57	357



Ein und Ausgabe: Farbmetrisches Drucker-Reflektiv-System FRS09\_92aM für relativen CIELAB-Buntton  $h^* = lab^*h^* = h_{ab}/360 = 329/360 = 0.913$   $u^* = b50r$   
Daten für jede Farbe:  
 $lab^*tch^*$  und  $lab^*icu^*$   
Elementar-Bunttontext:  
 $u^* = b50r$   
Kontrastreduzierungsfaktor:  
 $c_R = 1.0$   
Dreiecks-Helligkeit  $t^*$



FRS09_92aM; adaptierte CIELAB-Daten					
	$L^*=L_a^*$	$a_a^*$	$b_a^*$	$C^*_{ab,a}$	$h^*_{ab,a}$
O <sub>Ma</sub>	35.06	60.0	44.0	74.4	36
Y <sub>Ma</sub>	83.77	-5.16	109.32	109.44	93
L <sub>Ma</sub>	44.13	-62.66	48.24	79.09	142
C <sub>Ma</sub>	52.66	-29.13	-31.98	43.27	228
V <sub>Ma</sub>	14.15	50.3	-59.03	77.57	310
M <sub>Ma</sub>	37.37	78.64	-33.49	85.48	337
N <sub>Ma</sub>	8.58	0.0	0.0	0.0	0
W <sub>Ma</sub>	92.02	0.0	0.0	0.0	0
R <sub>CIE</sub>	39.92	58.74	27.99	65.07	25
J <sub>CIE</sub>	81.26	-2.88	71.56	71.62	92
G <sub>CIE</sub>	52.23	-42.41	13.6	44.55	162
B <sub>CIE</sub>	30.57	1.41	-46.46	46.49	272

Daten für Maximalfarbe (Ma):

$LAB^*LAB^*_{Ma}$ : 30 69 -41

$LAB^*LCH^*_{Ma}$ : 30 81 329

$lab^*rgb^*_{Ma}$ : 1.0 0.0 1.0

$lab^*olv^*_{Ma}$ : 0.66 0.0 1.0

Dreiecks-Helligkeit  $t^*$

%Umfang

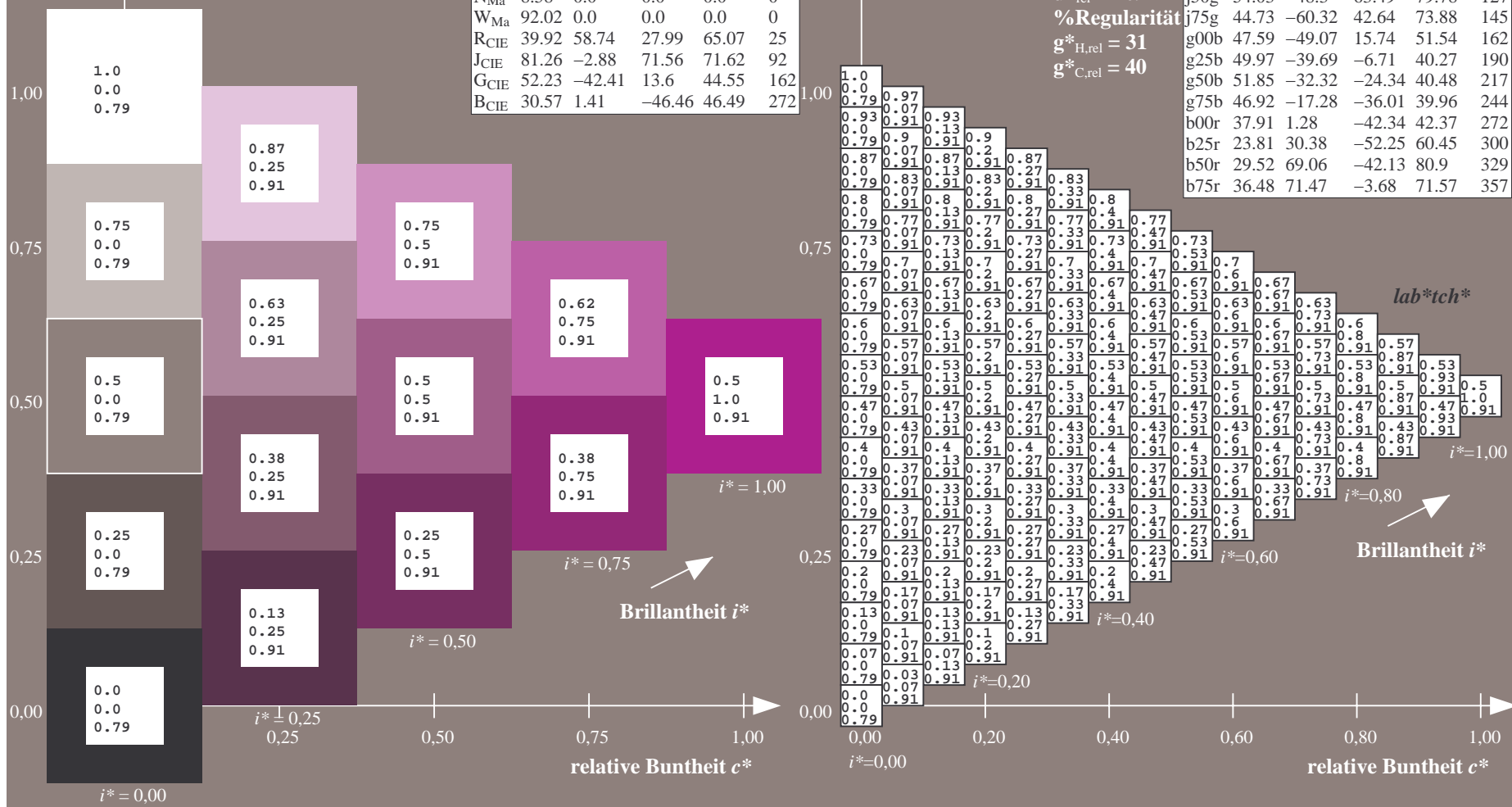
$u^*_{rel} = 109$

%Regularität

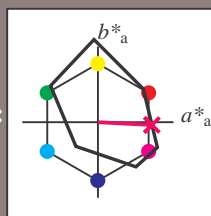
$g^*_{H,rel} = 31$

$g^*_{C,rel} = 40$

FRS09_92aM; adaptierte CIELAB-Daten					
	$L^*=L_a^*$	$a_a^*$	$b_a^*$	$C^*_{ab,a}$	$h^*_{ab,a}$
r00j	35.47	63.32	30.17	70.15	25
r25j	39.12	54.56	49.45	73.64	42
r50j	50.64	39.15	64.89	75.79	59
r75j	64.01	21.26	82.83	85.52	76
j00g	83.18	-4.37	108.53	108.62	92
j25g	66.73	-29.88	83.06	88.28	110
j50g	54.03	-48.3	63.49	79.78	127
j75g	44.73	-60.32	42.64	73.88	145
g00b	47.59	-49.07	15.74	51.54	162
g25b	49.97	-39.69	-6.71	40.27	190
g50b	51.85	-32.32	-24.34	40.48	217
g75b	46.92	-17.28	-36.01	39.96	244
b00r	37.91	1.28	-42.34	42.37	272
b25r	23.81	30.38	-52.25	60.45	300
b50r	29.52	69.06	-42.13	80.9	329
b75r	36.48	71.47	-3.68	71.57	357



Ein und Ausgabe: Farbmetrisches Drucker-Reflektiv-System FRS09\_92aM für relativen CIELAB-Buntton  $h^* = lab^*h^* = h_{ab}/360 = 357/360 = 0.992$   $u^* = b75r$   
Daten für jede Farbe:  
 $lab^*ch^*$  und  $lab^*icu^*$   
Elementar-Bunttontext:  
 $u^* = b75r$   
Kontrastreduzierungsfaktor:  
 $c_R = 1.0$   
Dreiecks-Helligkeit  $t^*$



FRS09_92aM; adaptierte CIELAB-Daten					
	$L^*=L_a^*$	$a_a^*$	$b_a^*$	$C^*_{ab,a}$	$h^*_{ab,a}$
O <sub>Ma</sub>	35.06	60.0	44.0	74.4	36
Y <sub>Ma</sub>	83.77	-5.16	109.32	109.44	93
L <sub>Ma</sub>	44.13	-62.66	48.24	79.09	142
C <sub>Ma</sub>	52.66	-29.13	-31.98	43.27	228
V <sub>Ma</sub>	14.15	50.3	-59.03	77.57	310
M <sub>Ma</sub>	37.37	78.64	-33.49	85.48	337
N <sub>Ma</sub>	8.58	0.0	0.0	0.0	0
W <sub>Ma</sub>	92.02	0.0	0.0	0.0	0
R <sub>CIE</sub>	39.92	58.74	27.99	65.07	25
J <sub>CIE</sub>	81.26	-2.88	71.56	71.62	92
G <sub>CIE</sub>	52.23	-42.41	13.6	44.55	162
B <sub>CIE</sub>	30.57	1.41	-46.46	46.49	272

Daten für Maximalfarbe (Ma):

$LAB^*LAB^*_{Ma}$ : 36 71 -3

$LAB^*LCH^*_{Ma}$ : 36 72 357

$lab^*rgb^*_{Ma}$ : 1.0 0.0 0.5

$lab^*olv^*_{Ma}$ : 1.0 0.0 0.62

Dreiecks-Helligkeit  $t^*$

%Umfang

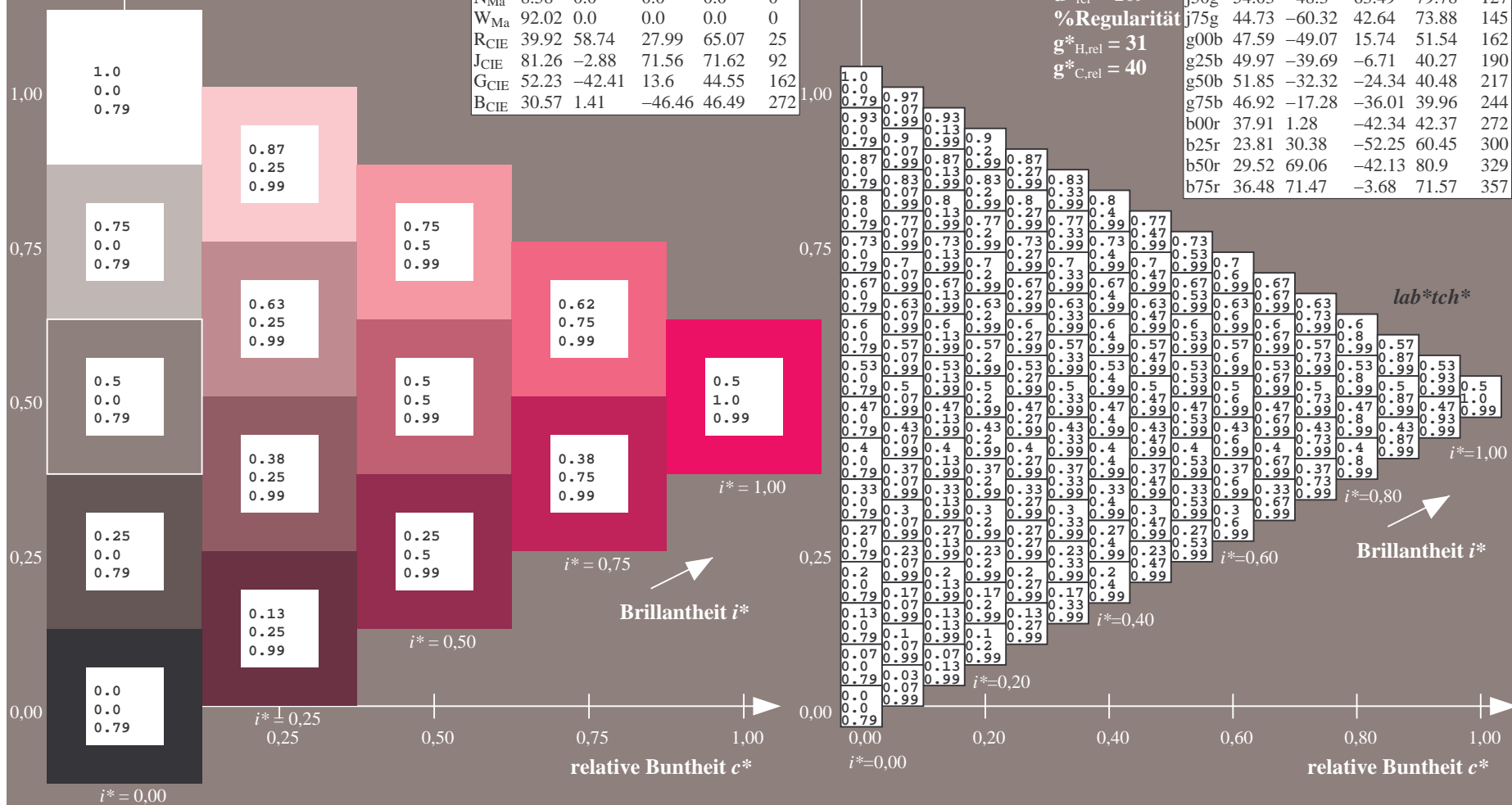
$u^*_{rel} = 109$

%Regularität

$g^*_{H,rel} = 31$

$g^*_{C,rel} = 40$

FRS09_92aM; adaptierte CIELAB-Daten					
	$L^*=L_a^*$	$a_a^*$	$b_a^*$	$C^*_{ab,a}$	$h^*_{ab,a}$
r00j	35.47	63.32	30.17	70.15	25
r25j	39.12	54.56	49.45	73.64	42
r50j	50.64	39.15	64.89	75.79	59
r75j	64.01	21.26	82.83	85.52	76
j00g	83.18	-4.37	108.53	108.62	92
j25g	66.73	-29.88	83.06	88.28	110
j50g	54.03	-48.3	63.49	79.78	127
j75g	44.73	-60.32	42.64	73.88	145
g00b	47.59	-49.07	15.74	51.54	162
g25b	49.97	-39.69	-6.71	40.27	190
g50b	51.85	-32.32	-24.34	40.48	217
g75b	46.92	-17.28	-36.01	39.96	244
b00r	37.91	1.28	-42.34	42.37	272
b25r	23.81	30.38	-52.25	60.45	300
b50r	29.52	69.06	-42.13	80.9	329
b75r	36.48	71.47	-3.68	71.57	357





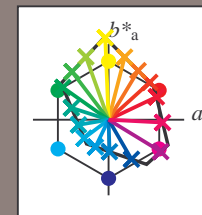
Siehe ähnliche Dateien: <http://www.ps.bam.de/Dg92/>; [www.ps.bam.de/Dg92/10L/L92G00NA.PS/.TXT](http://www.ps.bam.de/Dg92/10L/L92G00NA.PS/.TXT)  
Technische Information: <http://www.ps.bam.de/Version2.1,io=1.1,ColSpX=0>

	A	B	C	D	E	F	G	H	I	J	K	L	M	N	O	P	Q	R	S	T	U	V	W	X	Y	Z	a	b	c	d	e	f	g	h	i	j	k	lab* <i>tch*</i>			
0.0	0.0	0.06	0.13	0.19	0.25	0.31	0.38	0.44	0.5	0.06	0.06	0.13	0.19	0.25	0.31	0.38	0.44	0.5	0.13	0.13	0.13	0.19	0.25	0.31	0.38	0.44	0.5	1.0	0.94	0.87	0.81	0.75	0.69	0.62	0.56	0.5	0.0	0.0	0.0	0.0	
0.0	0.12	0.25	0.37	0.5	0.62	0.75	0.87	1.0	0.12	0.12	0.25	0.37	0.5	0.62	0.75	0.87	1.0	0.25	0.25	0.25	0.37	0.5	0.62	0.75	0.87	1.0	0.0	0.12	0.25	0.37	0.5	0.62	0.75	0.87	1.0	0.0	0.0	0.0	0.0		
0.09	0.4	0.4	0.4	0.4	0.4	0.4	0.4	0.4	0.1	0.26	0.31	0.34	0.35	0.36	0.37	0.37	0.37	0.1	0.2	0.26	0.29	0.31	0.33	0.34	0.35	0.35	0.79	0.1	0.1	0.1	0.1	0.1	0.1	0.1	0.1	0.1	0.1	0.1	0.1	0.1	
0.06	0.06	0.13	0.19	0.25	0.31	0.38	0.44	0.5	0.06	0.13	0.19	0.25	0.31	0.38	0.44	0.5	0.06	0.13	0.19	0.25	0.31	0.38	0.44	0.5	0.06	0.13	0.19	0.25	0.31	0.38	0.44	0.5	0.06	0.13	0.19	0.25	0.31	0.38	0.44	0.5	
0.12	0.12	0.25	0.37	0.5	0.62	0.75	0.87	1.0	0.12	0.12	0.25	0.37	0.5	0.63	0.75	0.87	1.0	0.25	0.25	0.25	0.37	0.5	0.63	0.75	0.87	1.0	0.12	0.25	0.37	0.5	0.63	0.75	0.87	1.0	0.12	0.25	0.37	0.5	0.0	0.0	0.0
0.86	0.63	0.47	0.44	0.42	0.42	0.41	0.41	0.41	0.94	0.79	0.4	0.4	0.4	0.4	0.4	0.4	0.4	0.01	0.1	0.26	0.31	0.34	0.35	0.36	0.37	0.37	0.63	0.79	0.1	0.1	0.1	0.1	0.1	0.1	0.1	0.1	0.1	0.1	0.1	0.1	
0.13	0.13	0.13	0.19	0.25	0.31	0.38	0.44	0.5	0.13	0.13	0.19	0.25	0.31	0.38	0.44	0.5	0.13	0.19	0.25	0.31	0.38	0.44	0.5	0.13	0.19	0.25	0.31	0.38	0.44	0.5	0.13	0.19	0.25	0.31	0.38	0.44	0.5	0.25	0.25	0.25	0.25
0.25	0.25	0.25	0.37	0.5	0.62	0.75	0.87	1.0	0.25	0.13	0.25	0.38	0.5	0.63	0.75	0.87	1.0	0.25	0.13	0.0	0.13	0.25	0.38	0.5	0.63	0.75	0.87	1.0	0.13	0.25	0.38	0.5	0.63	0.75	0.87	1.0	0.0	0.0	0.0	0.0	
0.86	0.79	0.63	0.52	0.47	0.45	0.44	0.43	0.42	0.9	0.86	0.63	0.47	0.44	0.42	0.42	0.41	0.41	0.94	0.94	0.79	0.4	0.4	0.4	0.4	0.4	0.4	0.4	0.63	0.63	0.79	0.1	0.1	0.1	0.1	0.1	0.1	0.1	0.1			
0.19	0.19	0.19	0.19	0.25	0.31	0.38	0.44	0.5	0.19	0.25	0.25	0.31	0.38	0.44	0.5	0.19	0.25	0.31	0.38	0.44	0.5	0.19	0.25	0.31	0.38	0.44	0.5	0.19	0.25	0.31	0.38	0.44	0.5	0.19	0.25	0.31	0.38	0.38	0.38		
0.37	0.37	0.37	0.5	0.62	0.75	0.87	1.0	0.37	0.25	0.25	0.25	0.37	0.5	0.63	0.75	0.87	1.0	0.37	0.25	0.13	0.13	0.25	0.38	0.5	0.63	0.75	0.87	1.0	0.13	0.25	0.38	0.5	0.62	0.75	0.87	1.0	0.0	0.0	0.0		
0.25	0.25	0.25	0.25	0.31	0.38	0.44	0.5	0.25	0.31	0.31	0.31	0.38	0.44	0.5	0.25	0.31	0.38	0.44	0.5	0.25	0.31	0.38	0.44	0.5	0.25	0.31	0.38	0.44	0.5	0.25	0.31	0.38	0.44	0.5	0.25	0.31	0.38	0.38	0.38		
0.5	0.5	0.5	0.5	0.5	0.62	0.75	0.87	1.0	0.5	0.38	0.38	0.38	0.38	0.5	0.63	0.75	0.87	1.0	0.5	0.38	0.25	0.25	0.25	0.38	0.5	0.63	0.75	0.5	0.38	0.25	0.13	0.0	0.13	0.25	0.38	0.5	0.0	0.0	0.0		
0.86	0.83	0.79	0.71	0.63	0.57	0.52	0.49	0.47	0.88	0.86	0.82	0.74	0.63	0.55	0.5	0.47	0.46	0.9	0.89	0.86	0.79	0.63	0.52	0.47	0.45	0.44	0.63	0.63	0.63	0.63	0.63	0.63	0.63	0.63	0.63	0.63	0.63	0.63	0.63		
0.31	0.31	0.31	0.31	0.31	0.31	0.38	0.44	0.5	0.31	0.38	0.38	0.38	0.38	0.38	0.44	0.5	0.56	0.31	0.38	0.44	0.44	0.44	0.44	0.44	0.44	0.44	0.5	0.56	0.62	0.69	0.63	0.56	0.5	0.44	0.38	0.31	0.25	0.19	0.63	0.63	
0.62	0.62	0.62	0.62	0.62	0.62	0.62	0.62	0.62	0.5	0.5	0.5	0.5	0.5	0.5	0.5	0.5	0.56	0.62	0.5	0.38	0.38	0.38	0.38	0.38	0.38	0.38	0.5	0.63	0.75	0.62	0.5	0.38	0.25	0.13	0.0	0.13	0.25	0.37	0.0	0.0	
0.86	0.84	0.81	0.76	0.7	0.63	0.58	0.54	0.51	0.88	0.86	0.83	0.79	0.71	0.63	0.57	0.52	0.49	0.89	0.88	0.86	0.82	0.74	0.63	0.55	0.5	0.47	0.63	0.63	0.63	0.63	0.63	0.63	0.63	0.63	0.63	0.63	0.63	0.63	0.63		
0.38	0.38	0.38	0.38	0.38	0.38	0.38	0.38	0.44	0.5	0.38	0.44	0.44	0.44	0.44	0.44	0.5	0.56	0.38	0.44	0.5	0.5	0.5	0.5	0.5	0.5	0.5	0.5	0.56	0.62	0.62	0.56	0.5	0.44	0.38	0.31	0.25	0.19	0.13	0.75	0.75	
0.75	0.75	0.75	0.75	0.75	0.75	0.75	0.75	0.87	1.0	0.75	0.63	0.63	0.63	0.63	0.63	0.63	0.75	0.87	0.75	0.63	0.5	0.5	0.5	0.5	0.5	0.5	0.5	0.56	0.75	0.63	0.5	0.38	0.25	0.13	0.0	0.13	0.25	0.0	0.0		
0.86	0.85	0.82	0.79	0.74	0.68	0.63	0.59	0.55	0.88	0.86	0.84	0.81	0.76	0.7	0.63	0.58	0.54	0.89	0.88	0.86	0.83	0.79	0.71	0.63	0.55	0.5	0.63	0.75	0.52	0.45	0.38	0.63	0.63	0.63	0.63	0.63	0.63	0.63	0.63		
0.44	0.44	0.44	0.44	0.44	0.44	0.44	0.44	0.5	0.44	0.5	0.5	0.5	0.5	0.5	0.5	0.5	0.56	0.44	0.5	0.56	0.56	0.56	0.56	0.56	0.56	0.56	0.56	0.56	0.56	0.56	0.56	0.56	0.56	0.56	0.56	0.56	0.56	0.56			
0.87	0.87	0.87	0.87	0.87	0.87	0.87	0.87	1.0	0.87	0.75	0.75	0.75	0.75	0.75	0.75	0.75	0.87	0.87	0.75	0.63	0.5	0.5	0.5	0.5	0.5	0.5	0.5	0.56	0.75	0.63	0.5	0.38	0.25	0.13	0.0	0.12	0.0	0.0			
0.86	0.85	0.83	0.8	0.77	0.72	0.68	0.63	0.59	0.87	0.86	0.85	0.82	0.79	0.74	0.68	0.63	0.59	0.88	0.88	0.86	0.84	0.81	0.76	0.7	0.63	0.58	0.53	0.47	0.4	0.38	0.63	0.63	0.63	0.63	0.63	0.63	0.63	0.63			
0.5	0.5	0.5	0.5	0.5	0.5	0.5	0.5	0.5	0.5	0.56	0.56	0.56	0.56	0.56	0.56	0.56	0.56	0.5	0.56	0.62	0.62	0.62	0.62	0.62	0.62	0.62	0.62	0.62	0.62	0.62	0.62	0.62	0.62	0.62	0.62	0.62	0.62	0.62			
0.86	0.85	0.83	0.81	0.79	0.75	0.7	0.67	0.63	0.87	0.86	0.85	0.83	0.8	0.77	0.72	0.68	0.63	0.88	0.87	0.86	0.85	0.82	0.79	0.74	0.68	0.63	0.63	0.63	0.63	0.63	0.63	0.63	0.63	0.63	0.63	0.63	0.63	0.63			
0.19	0.19	0.19	0.19	0.25	0.31	0.38	0.44	0.5	0.19	0.25	0.25	0.31	0.38	0.44	0.5	0.19	0.25	0.31	0.38	0.44	0.5	0.19	0.25	0.31	0.38	0.44	0.5	0.19	0.25	0.31	0.38	0.44	0.5	0.19	0.25	0.31	0.38	0.38	0.38		
0.37	0.37	0.37	0.5	0.62	0.75	0.87	1.0	0.37	0.25	0.25	0.25	0.37	0.5	0.63	0.75	0.87	1.0	0.37	0.25	0.13	0.13	0.25	0.38	0.5	0.63	0.75	0.87	1.0	0.13	0.25	0.38	0.5	0.62	0.75	0.87	1.0	0.0	0.0	0.0		
0.1	0.17	0.22	0.26	0.28	0.3	0.31	0.33	0.33	0.1	0.15	0.2	0.23	0.26	0.28	0.29	0.3	0.31	0.1	0.14	0.18	0.21	0.24	0.26	0.27	0.29	0.3	0.31	0.38	0.44	0.5	0.31	0.38	0.44	0.5	0.31	0.38	0.44	0.5			



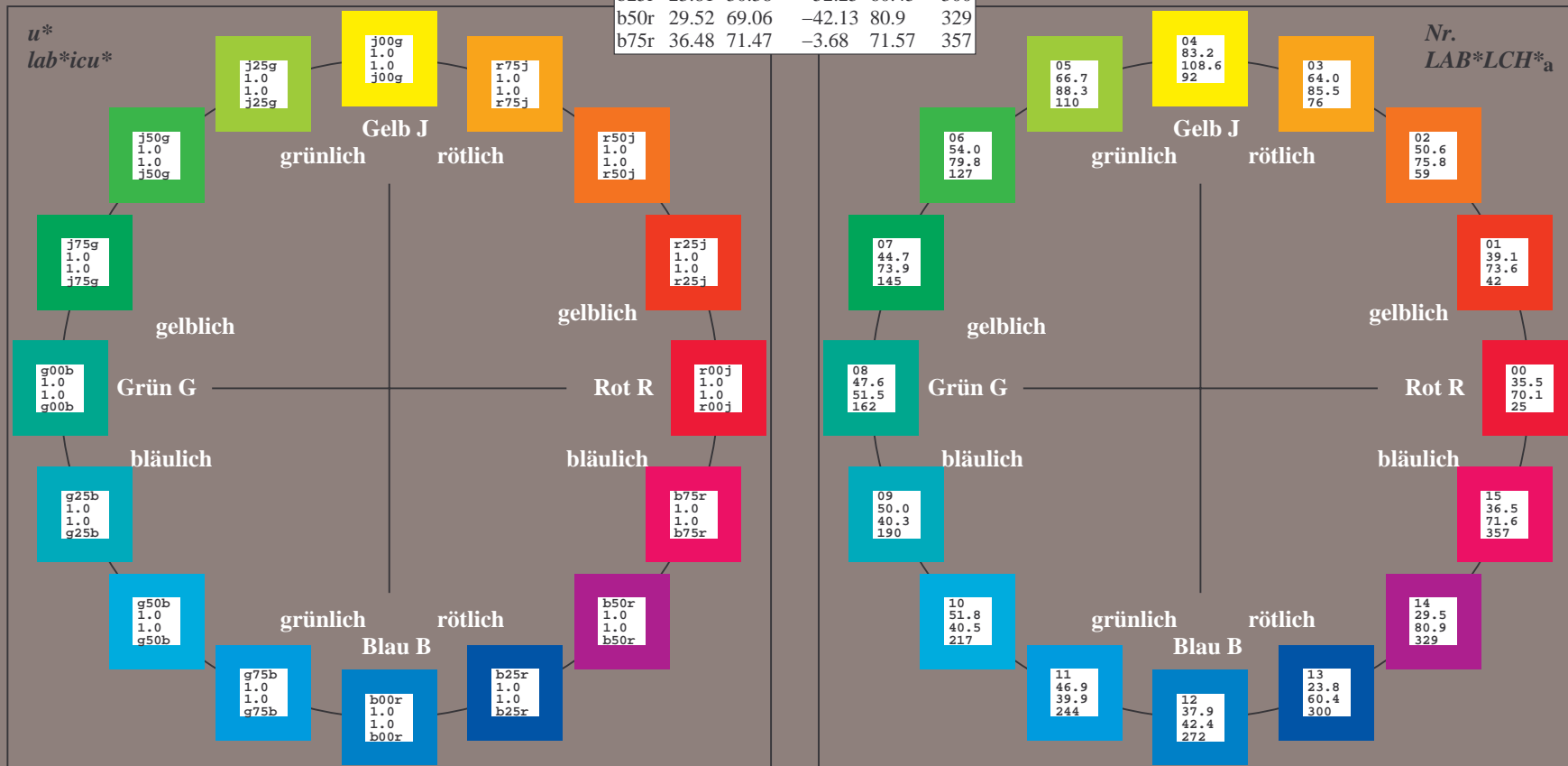
Ein und Ausgabe:  
Farbmetrisches Drucker-Reflektiv-System FRS09\_92aM  
Daten für jede Farbe:  
*lab\*<sub>ich</sub>\** und *lab\*<sub>icu</sub>\**  
Elementar-Bunttontext:  
*u\** = 16 Bunttöne *r00j*, *r25j*, ..., *b75r*  
Kontrastreduzierungsfaktor:  
*c<sub>R</sub>* = 1.0

FRS09_92aM; adaptierte CIELAB-Daten					
	<i>L*</i> = <i>L*</i> <sub>a</sub>	<i>a*</i> <sub>a</sub>	<i>b*</i> <sub>a</sub>	<i>C*</i> <sub>ab,a</sub>	<i>h*</i> <sub>ab,a</sub>
r00j	35.47	63.32	30.17	70.15	25
r25j	39.12	54.56	49.45	73.64	42
r50j	50.64	39.15	64.89	75.79	59
r75j	64.01	21.26	82.83	85.52	76
j00g	83.18	-4.37	108.53	108.62	92
j25g	66.73	-29.88	83.06	88.28	110
j50g	54.03	-48.3	63.49	79.78	127
j75g	44.73	-60.32	42.64	73.88	145
g00b	47.59	-49.07	15.74	51.54	162
g25b	49.97	-39.69	-6.71	40.27	190
g50b	51.85	-32.32	-24.34	40.48	217
g75b	46.92	-17.28	-36.01	39.96	244
b00r	37.91	1.28	-42.34	42.37	272
b25r	23.81	30.38	-52.25	60.45	300
b50r	29.52	69.06	-42.13	80.9	329
b75r	36.48	71.47	-3.68	71.57	357

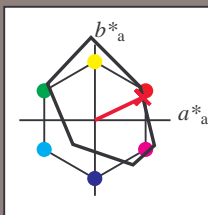


%Umfang  
*u\**<sub>rel</sub> = 109  
%Regularität  
*g\**<sub>H,rel</sub> = 31  
*g\**<sub>C,rel</sub> = 40

FRS09_92aM; adaptierte CIELAB-Daten					
	<i>L*</i> = <i>L*</i> <sub>a</sub>	<i>a*</i> <sub>a</sub>	<i>b*</i> <sub>a</sub>	<i>C*</i> <sub>ab,a</sub>	<i>h*</i> <sub>ab,a</sub>
OMa	35.06	60.0	44.0	74.4	36
YMa	83.77	-5.16	109.32	109.44	93
LMa	44.13	-62.66	48.24	79.09	142
CMa	52.66	-29.13	-31.98	43.27	228
VMa	14.15	50.3	-59.03	77.57	310
MMa	37.37	78.64	-33.49	85.48	337
NMa	8.58	0.0	0.0	0.0	0
WMa	92.02	0.0	0.0	0.0	0
RCIE	39.92	58.74	27.99	65.07	25
JCIE	81.26	-2.88	71.56	71.62	92
GCIE	52.23	-42.41	13.6	44.55	162
BCIE	30.57	1.41	-46.46	46.49	272



Ein und Ausgabe: Farbmetrisches Drucker-Reflektiv-System FRS09\_92aM für relativen CIELAB-Buntton  $h^* = lab^*h^* = h_{ab}/360 = 25/360 = 0.071$   $u^* = r00j$   
Daten für jede Farbe:  
 $lab^*ch^*$  und  $lab^*icu^*$   
Elementar-Bunttontext:  
 $u^* = r00j$   
Kontrastreduzierungsfaktor:  
 $c_R = 1.0$   
Dreiecks-Helligkeit  $i^*$



FRS09_92aM; adaptierte CIELAB-Daten					
	$L^*=L_a^*$	$a_a^*$	$b_a^*$	$C^*_{ab,a}$	$h^*_{ab,a}$
O <sub>Ma</sub>	35.06	60.0	44.0	74.4	36
Y <sub>Ma</sub>	83.77	-5.16	109.32	109.44	93
L <sub>Ma</sub>	44.13	-62.66	48.24	79.09	142
C <sub>Ma</sub>	52.66	-29.13	-31.98	43.27	228
V <sub>Ma</sub>	14.15	50.3	-59.03	77.57	310
M <sub>Ma</sub>	37.37	78.64	-33.49	85.48	337
N <sub>Ma</sub>	8.58	0.0	0.0	0.0	0
W <sub>Ma</sub>	92.02	0.0	0.0	0.0	0
R <sub>CIE</sub>	39.92	58.74	27.99	65.07	25
J <sub>CIE</sub>	81.26	-2.88	71.56	71.62	92
G <sub>CIE</sub>	52.23	-42.41	13.6	44.55	162
B <sub>CIE</sub>	30.57	1.41	-46.46	46.49	272

Daten für Maximalfarbe (Ma):

$LAB^*LAB^*_{Ma}$ : 35 63 30

$LAB^*LCH^*_{Ma}$ : 35 70 25

$lab^*rgb^*_{Ma}$ : 1.0 0.0 0.0

$lab^*olv^*_{Ma}$ : 1.0 0.0 0.18

Dreiecks-Helligkeit  $i^*$

%Umfang

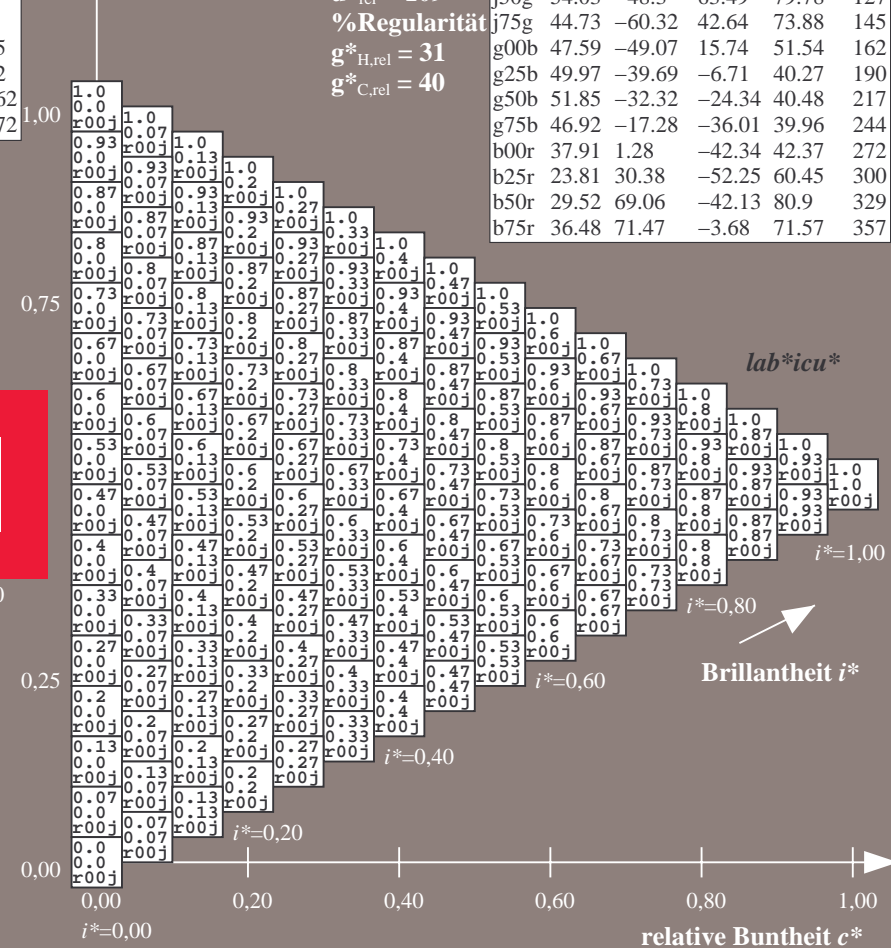
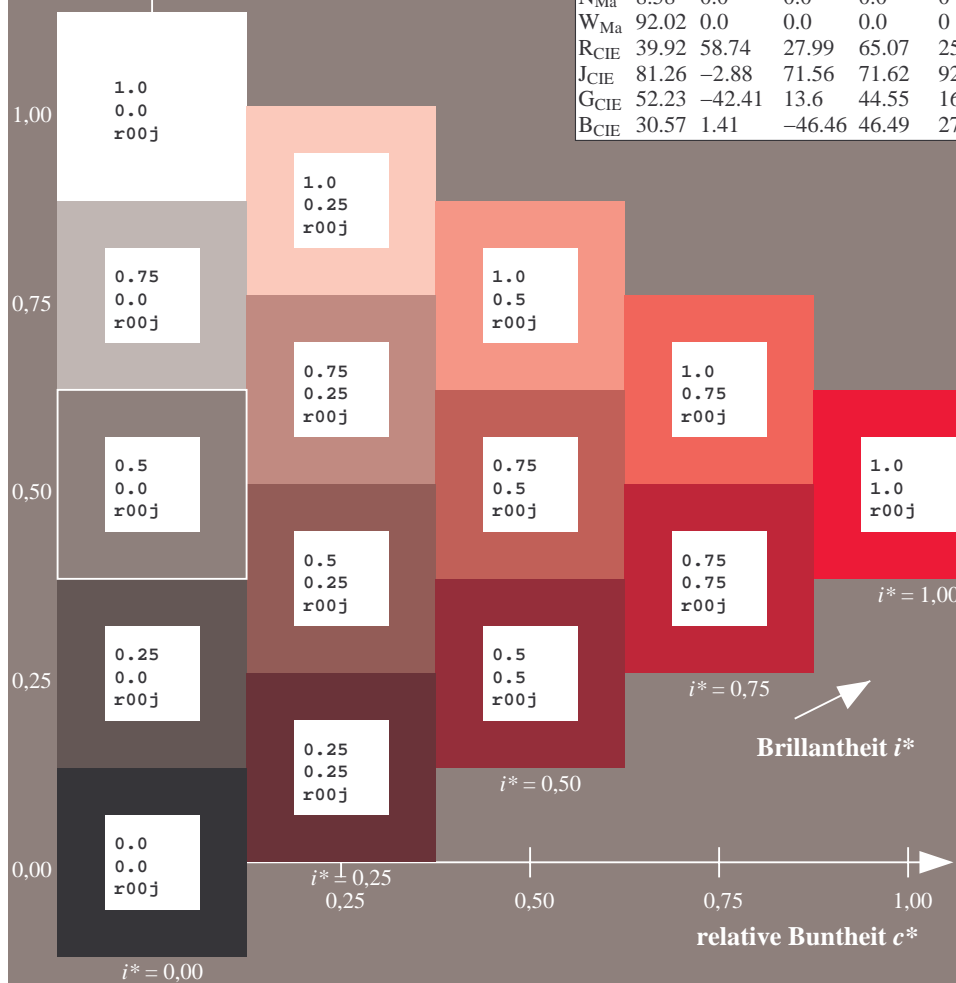
$u^*_{rel} = 109$

%Regelartigkeit

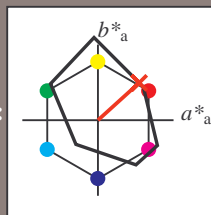
$g^*_{H,rel} = 31$

$g^*_{C,rel} = 40$

FRS09_92aM; adaptierte CIELAB-Daten					
	$L^*=L_a^*$	$a_a^*$	$b_a^*$	$C^*_{ab,a}$	$h^*_{ab,a}$
r00j	35.47	63.32	30.17	70.15	25
r25j	39.12	54.56	49.45	73.64	42
r50j	50.64	39.15	64.89	75.79	59
r75j	64.01	21.26	82.83	85.52	76
j00g	83.18	-4.37	108.53	108.62	92
j25g	66.73	-29.88	83.06	88.28	110
j50g	54.03	-48.3	63.49	79.78	127
j75g	44.73	-60.32	42.64	73.88	145
g00b	47.59	-49.07	15.74	51.54	162
g25b	49.97	-39.69	-6.71	40.27	190
g50b	51.85	-32.32	-24.34	40.48	217
g75b	46.92	-17.28	-36.01	39.96	244
b00r	37.91	1.28	-42.34	42.37	272
b25r	23.81	30.38	-52.25	60.45	300
b50r	29.52	69.06	-42.13	80.9	329
b75r	36.48	71.47	-3.68	71.57	357



Ein und Ausgabe: Farbmetrisches Drucker-Reflektiv-System FRS09\_92aM für relativen CIELAB-Buntton  $h^* = lab^*h^* = h_{ab}/360 = 42/360 = 0.117$   $u^* = r25j$   
Daten für jede Farbe:  
 $lab^*tch^*$  und  $lab^*icu^*$   
Elementar-Bunttontext:  
 $u^* = r25j$   
Kontrastreduzierungsfaktor:  
 $c_R = 1.0$   
Dreiecks-Helligkeit  $t^*$



FRS09_92aM; adaptierte CIELAB-Daten					
	$L^*=L_a^*$	$a_a^*$	$b_a^*$	$C^*_{ab,a}$	$h^*_{ab,a}$
O <sub>Ma</sub>	35.06	60.0	44.0	74.4	36
Y <sub>Ma</sub>	83.77	-5.16	109.32	109.44	93
L <sub>Ma</sub>	44.13	-62.66	48.24	79.09	142
C <sub>Ma</sub>	52.66	-29.13	-31.98	43.27	228
V <sub>Ma</sub>	14.15	50.3	-59.03	77.57	310
M <sub>Ma</sub>	37.37	78.64	-33.49	85.48	337
N <sub>Ma</sub>	8.58	0.0	0.0	0.0	0
W <sub>Ma</sub>	92.02	0.0	0.0	0.0	0
R <sub>CIE</sub>	39.92	58.74	27.99	65.07	25
J <sub>CIE</sub>	81.26	-2.88	71.56	71.62	92
G <sub>CIE</sub>	52.23	-42.41	13.6	44.55	162
B <sub>CIE</sub>	30.57	1.41	-46.46	46.49	272

Daten für Maximalfarbe (Ma):

$LAB^*LAB^*_{Ma}$ : 39 55 49

$LAB^*LCH^*_{Ma}$ : 39 74 42

$lab^*rgb^*_{Ma}$ : 1.0 0.25 0.0

$lab^*olv^*_{Ma}$ : 1.0 0.08 0.0

Dreiecks-Helligkeit  $t^*$

%Umfang

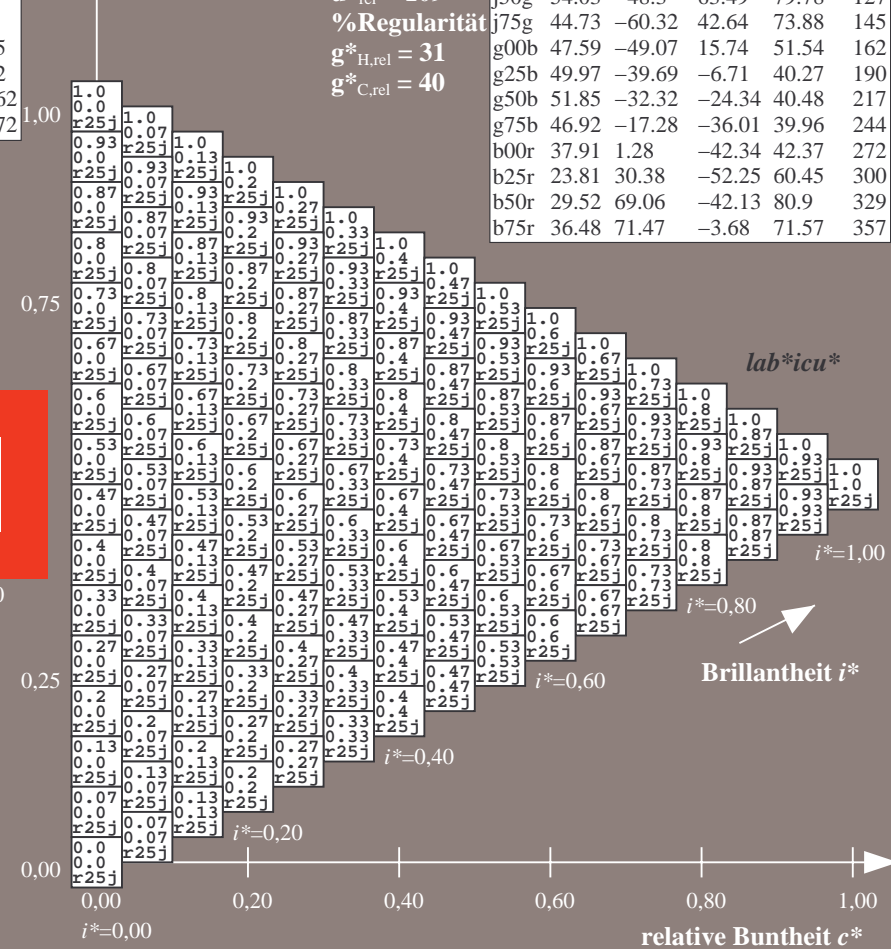
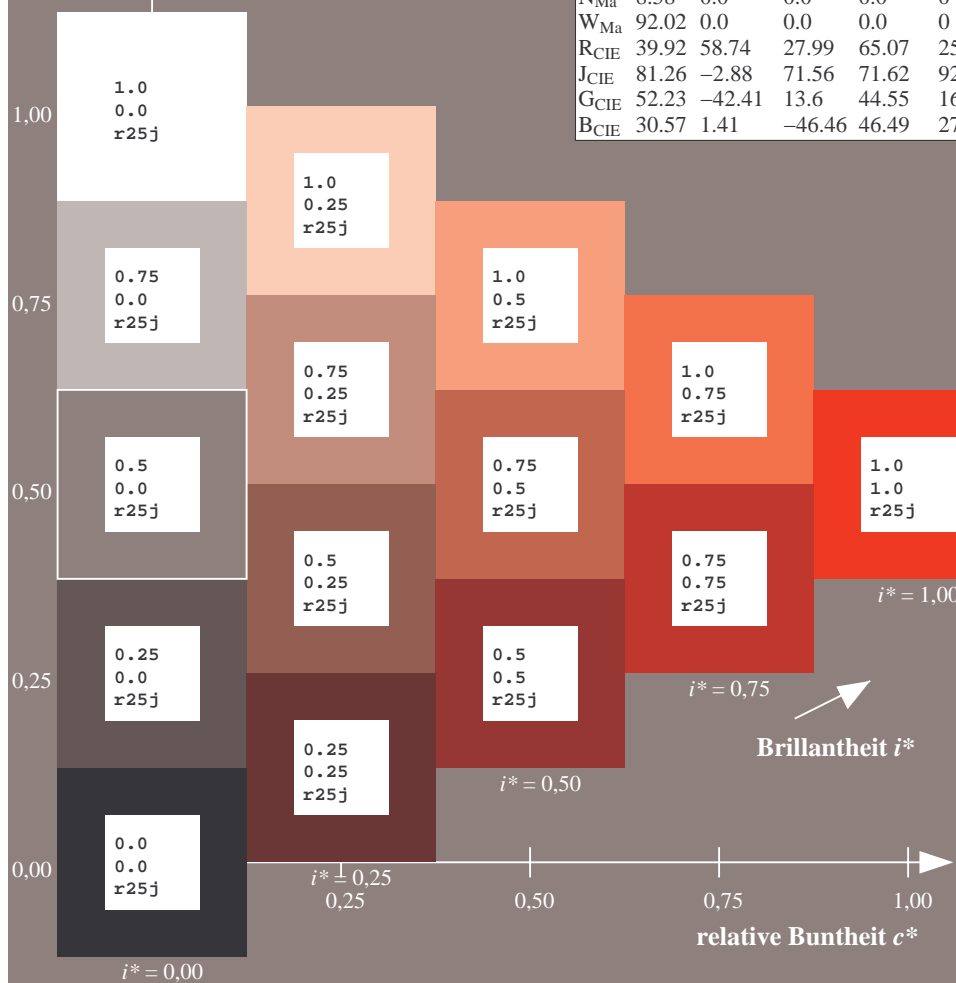
$u^*_{rel} = 109$

%Regularität

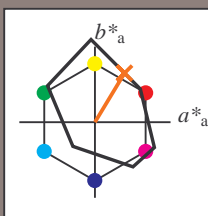
$g^*_{H,rel} = 31$

$g^*_{C,rel} = 40$

FRS09_92aM; adaptierte CIELAB-Daten					
	$L^*=L_a^*$	$a_a^*$	$b_a^*$	$C^*_{ab,a}$	$h^*_{ab,a}$
r00j	35.47	63.32	30.17	70.15	25
r25j	39.12	54.56	49.45	73.64	42
r50j	50.64	39.15	64.89	75.79	59
r75j	64.01	21.26	82.83	85.52	76
j00g	83.18	-4.37	108.53	108.62	92
j25g	66.73	-29.88	83.06	88.28	110
j50g	54.03	-48.3	63.49	79.78	127
j75g	44.73	-60.32	42.64	73.88	145
g00b	47.59	-49.07	15.74	51.54	162
g25b	49.97	-39.69	-6.71	40.27	190
g50b	51.85	-32.32	-24.34	40.48	217
g75b	46.92	-17.28	-36.01	39.96	244
b00r	37.91	1.28	-42.34	42.37	272
b25r	23.81	30.38	-52.25	60.45	300
b50r	29.52	69.06	-42.13	80.9	329
b75r	36.48	71.47	-3.68	71.57	357



Ein und Ausgabe: Farbmetrisches Drucker-Reflektiv-System FRS09\_92aM für relativen CIELAB-Buntton  $h^* = lab^*h^* = h_{ab}/360 = 59/360 = 0.164$   $u^* = r50j$   
Daten für jede Farbe:  
 $lab^*tch^*$  und  $lab^*icu^*$   
Elementar-Bunttontext:  
 $u^* = r50j$   
Kontrastreduzierungsfaktor:  
 $c_R = 1.0$   
Dreiecks-Helligkeit  $t^*$



FRS09_92aM; adaptierte CIELAB-Daten					
	$L^*=L_a^*$	$a_a^*$	$b_a^*$	$C^*_{ab,a}$	$h^*_{ab,a}$
O <sub>Ma</sub>	35.06	60.0	44.0	74.4	36
Y <sub>Ma</sub>	83.77	-5.16	109.32	109.44	93
L <sub>Ma</sub>	44.13	-62.66	48.24	79.09	142
C <sub>Ma</sub>	52.66	-29.13	-31.98	43.27	228
V <sub>Ma</sub>	14.15	50.3	-59.03	77.57	310
M <sub>Ma</sub>	37.37	78.64	-33.49	85.48	337
N <sub>Ma</sub>	8.58	0.0	0.0	0.0	0
W <sub>Ma</sub>	92.02	0.0	0.0	0.0	0
R <sub>CIE</sub>	39.92	58.74	27.99	65.07	25
J <sub>CIE</sub>	81.26	-2.88	71.56	71.62	92
G <sub>CIE</sub>	52.23	-42.41	13.6	44.55	162
B <sub>CIE</sub>	30.57	1.41	-46.46	46.49	272

Daten für Maximalfarbe (Ma):

$LAB^*LAB^*_{Ma}$ : 51 39 65

$LAB^*LCH^*_{Ma}$ : 51 76 59

$lab^*rgb^*_{Ma}$ : 1.0 0.5 0.0

$lab^*olv^*_{Ma}$ : 1.0 0.32 0.0

Dreiecks-Helligkeit  $t^*$

%Umfang

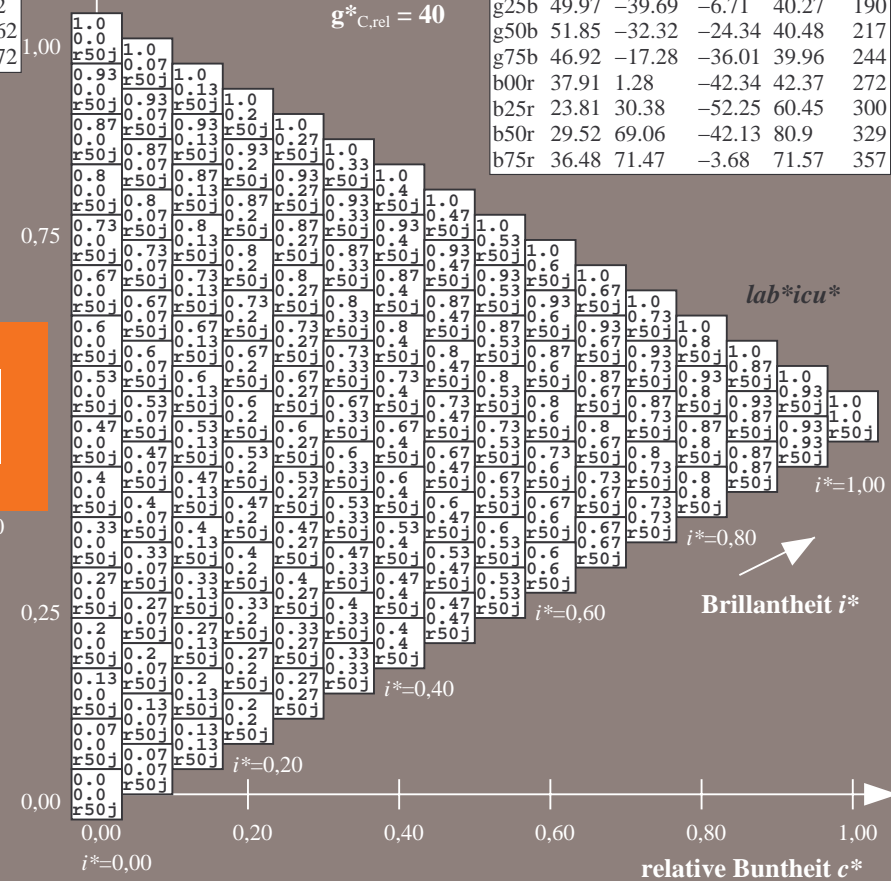
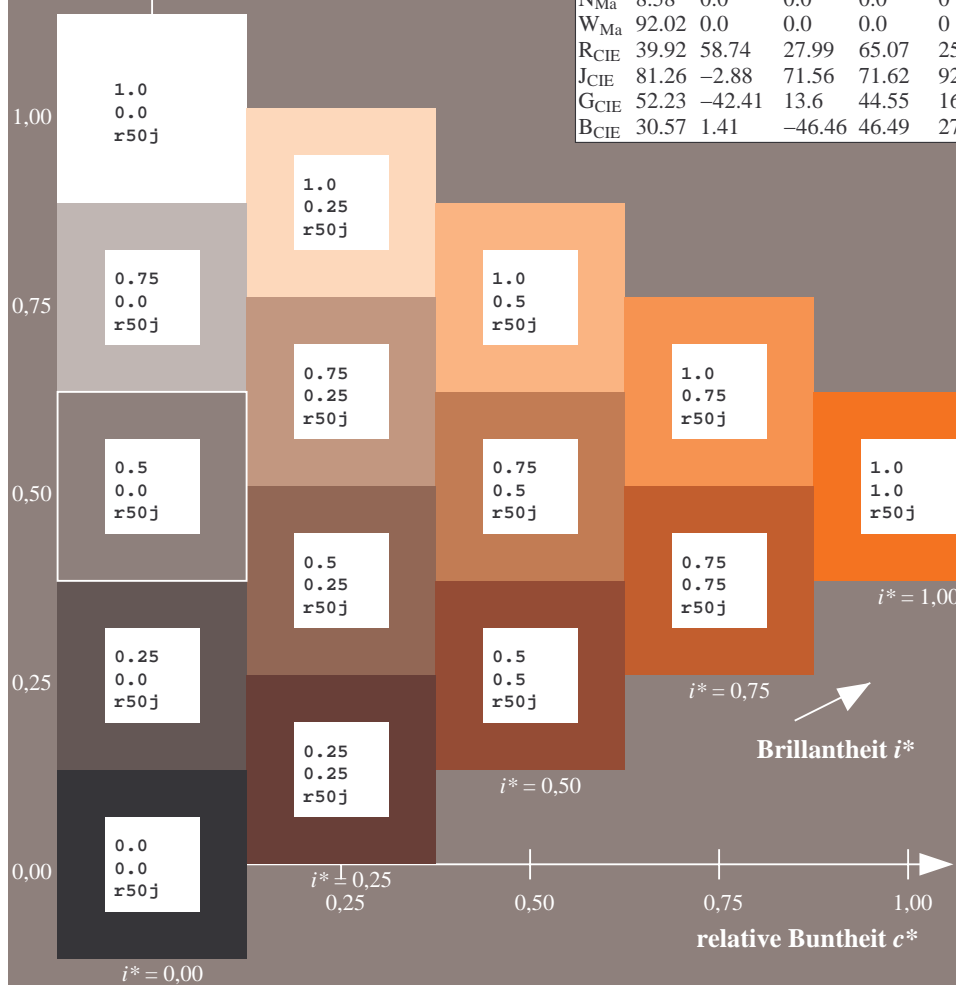
$u^*_{rel} = 109$

%Regularität

$g^*_{H,rel} = 31$

$g^*_{C,rel} = 40$

FRS09_92aM; adaptierte CIELAB-Daten					
	$L^*=L_a^*$	$a_a^*$	$b_a^*$	$C^*_{ab,a}$	$h^*_{ab,a}$
r00j	35.47	63.32	30.17	70.15	25
r25j	39.12	54.56	49.45	73.64	42
r50j	50.64	39.15	64.89	75.79	59
r75j	64.01	21.26	82.83	85.52	76
j00g	83.18	-4.37	108.53	108.62	92
j25g	66.73	-29.88	83.06	88.28	110
j50g	54.03	-48.3	63.49	79.78	127
j75g	44.73	-60.32	42.64	73.88	145
g00b	47.59	-49.07	15.74	51.54	162
g25b	49.97	-39.69	-6.71	40.27	190
g50b	51.85	-32.32	-24.34	40.48	217
g75b	46.92	-17.28	-36.01	39.96	244
b00r	37.91	1.28	-42.34	42.37	272
b25r	23.81	30.38	-52.25	60.45	300
b50r	29.52	69.06	-42.13	80.9	329
b75r	36.48	71.47	-3.68	71.57	357





Ein und Ausgabe: Farbmetrisches Drucker-Reflektiv-System FRS09\_92aM für relativen CIELAB-Buntton  $h^* = lab^*h^* = h_{ab}/360 = 76/360 = 0.21$   $u^* = r75j$   
Daten für jede Farbe:  $lab^*ch^*$  und  $lab^*icu^*$

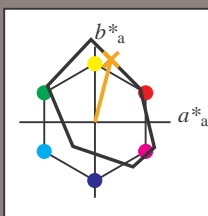
Elementar-Bunttontext:

$u^* = r75j$

Kontrastreduzierungsfaktor:

$c_R = 1.0$

Dreiecks-Helligkeit  $t^*$



FRS09_92aM; adaptierte CIELAB-Daten					
	$L^*=L^*_a$	$a^*_a$	$b^*_a$	$C^*_{ab,a}$	$h^*_{ab,a}$
O <sub>Ma</sub>	35.06	60.0	44.0	74.4	36
Y <sub>Ma</sub>	83.77	-5.16	109.32	109.44	93
L <sub>Ma</sub>	44.13	-62.66	48.24	79.09	142
C <sub>Ma</sub>	52.66	-29.13	-31.98	43.27	228
V <sub>Ma</sub>	14.15	50.3	-59.03	77.57	310
M <sub>Ma</sub>	37.37	78.64	-33.49	85.48	337
N <sub>Ma</sub>	8.58	0.0	0.0	0.0	0
W <sub>Ma</sub>	92.02	0.0	0.0	0.0	0
R <sub>CIE</sub>	39.92	58.74	27.99	65.07	25
J <sub>CIE</sub>	81.26	-2.88	71.56	71.62	92
G <sub>CIE</sub>	52.23	-42.41	13.6	44.55	162
B <sub>CIE</sub>	30.57	1.41	-46.46	46.49	272

Daten für Maximalfarbe (Ma):

$LAB^*LAB^*_{Ma}$ : 64 21 83

$LAB^*LCH^*_{Ma}$ : 64 86 76

$lab^*rgb^*_{Ma}$ : 1.0 0.75 0.0

$lab^*olv^*_{Ma}$ : 1.0 0.59 0.0

Dreiecks-Helligkeit  $t^*$

%Umfang

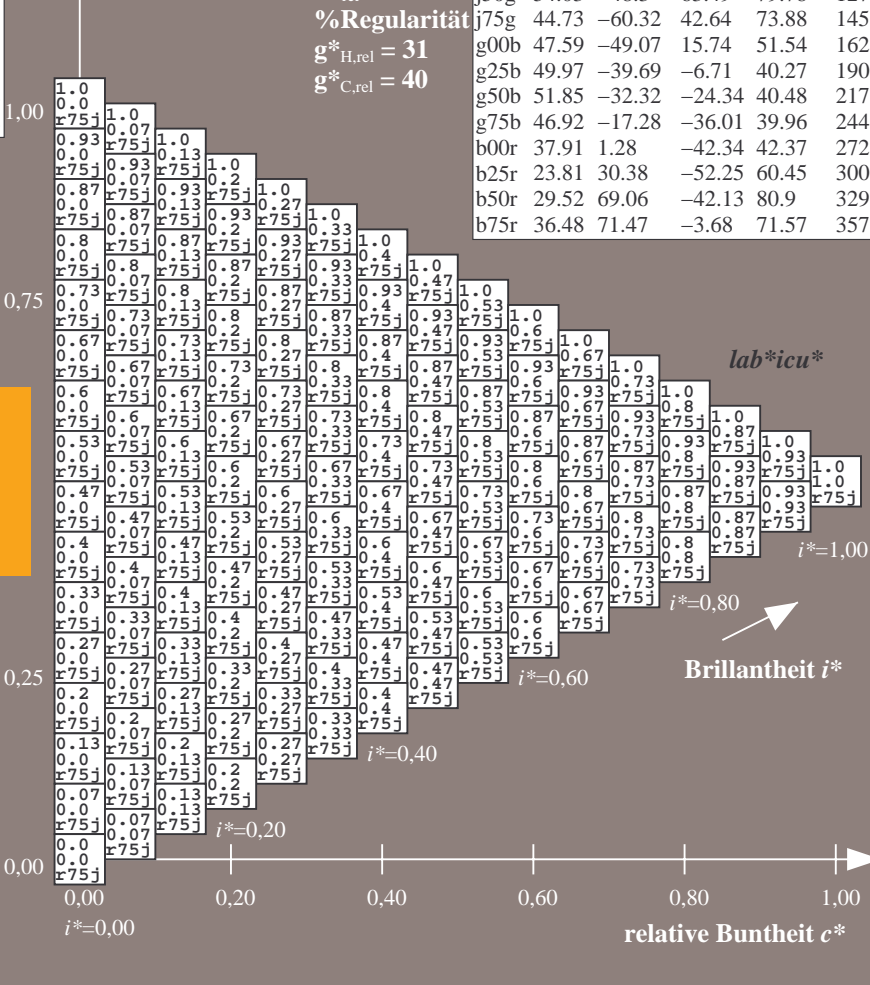
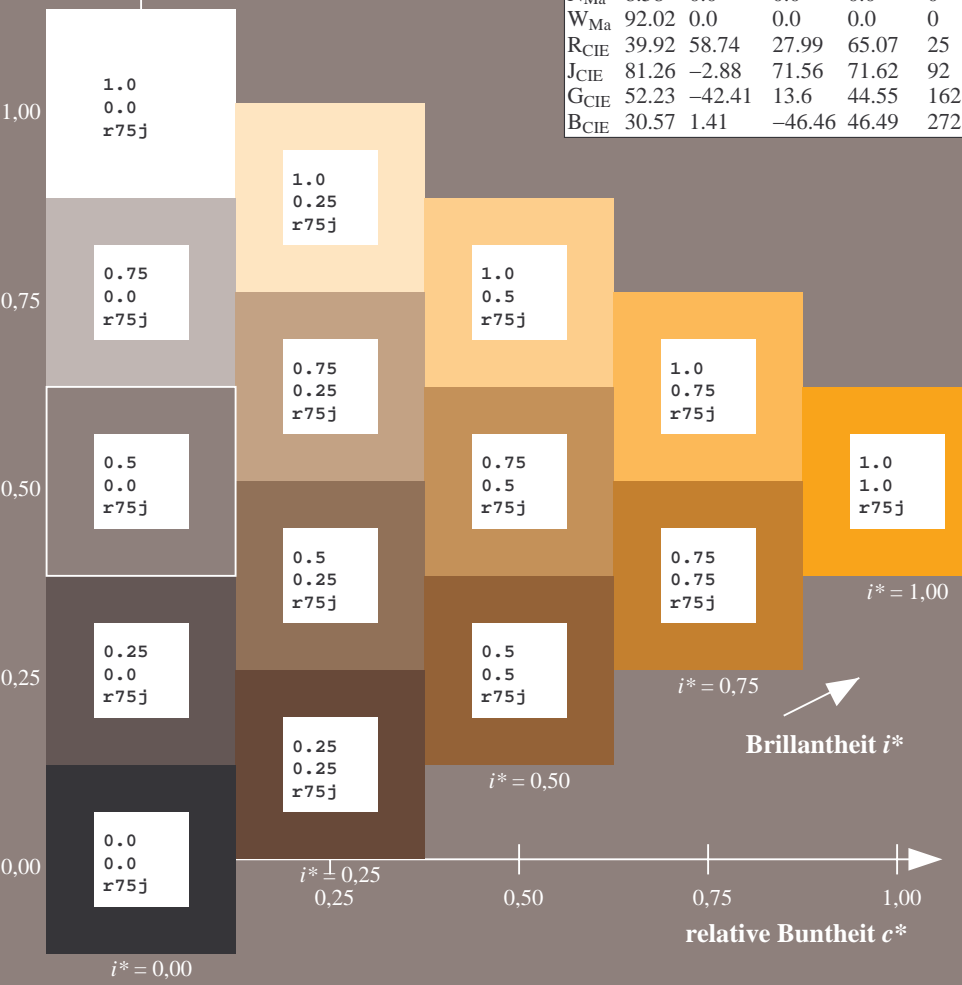
$u^*_{rel} = 109$

%Regularität

$g^*_{H,rel} = 31$

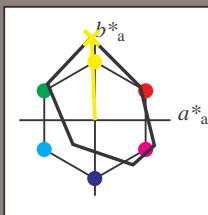
$g^*_{C,rel} = 40$

FRS09_92aM; adaptierte CIELAB-Daten					
	$L^*=L^*_a$	$a^*_a$	$b^*_a$	$C^*_{ab,a}$	$h^*_{ab,a}$
r00j	35.47	63.32	30.17	70.15	25
r25j	39.12	54.56	49.45	73.64	42
r50j	50.64	39.15	64.89	75.79	59
r75j	64.01	21.26	82.83	85.52	76
j00g	83.18	-4.37	108.53	108.62	92
j25g	66.73	-29.88	83.06	88.28	110
j50g	54.03	-48.3	63.49	79.78	127
j75g	44.73	-60.32	42.64	73.88	145
g00b	47.59	-49.07	15.74	51.54	162
g25b	49.97	-39.69	-6.71	40.27	190
g50b	51.85	-32.32	-24.34	40.48	217
g75b	46.92	-17.28	-36.01	39.96	244
b00r	37.91	1.28	-42.34	42.37	272
b25r	23.81	30.38	-52.25	60.45	300
b50r	29.52	69.06	-42.13	80.9	329
b75r	36.48	71.47	-3.68	71.57	357





Ein und Ausgabe: Farbmetrisches Drucker-Reflektiv-System FRS09\_92aM für relativen CIELAB-Buntton  $h^* = lab^*h^* = h_{ab}/360 = 92/360 = 0.256$   $u^* = j00g$   
Daten für jede Farbe:  
 $lab^*ch^*$  und  $lab^*icu^*$   
Elementar-Bunttontext:  
 $u^* = j00g$   
Kontrastreduzierungsfaktor:  
 $c_R = 1.0$   
Dreiecks-Helligkeit  $i^*$



FRS09_92aM; adaptierte CIELAB-Daten					
	$L^*=L_a^*$	$a_a^*$	$b_a^*$	$C^*_{ab,a}$	$h^*_{ab,a}$
O <sub>Ma</sub>	35.06	60.0	44.0	74.4	36
Y <sub>Ma</sub>	83.77	-5.16	109.32	109.44	93
L <sub>Ma</sub>	44.13	-62.66	48.24	79.09	142
C <sub>Ma</sub>	52.66	-29.13	-31.98	43.27	228
V <sub>Ma</sub>	14.15	50.3	-59.03	77.57	310
M <sub>Ma</sub>	37.37	78.64	-33.49	85.48	337
N <sub>Ma</sub>	8.58	0.0	0.0	0.0	0
W <sub>Ma</sub>	92.02	0.0	0.0	0.0	0
R <sub>CIE</sub>	39.92	58.74	27.99	65.07	25
J <sub>CIE</sub>	81.26	-2.88	71.56	71.62	92
G <sub>CIE</sub>	52.23	-42.41	13.6	44.55	162
B <sub>CIE</sub>	30.57	1.41	-46.46	46.49	272

Daten für Maximalfarbe (Ma):

$LAB^*LAB^*_{Ma}$ : 83 -3 109

$LAB^*LCH^*_{Ma}$ : 83 109 92

$lab^*rgb^*_{Ma}$ : 1.0 1.0 0.0

$lab^*olv^*_{Ma}$ : 1.0 0.99 0.0

Dreiecks-Helligkeit  $i^*$

%Umfang

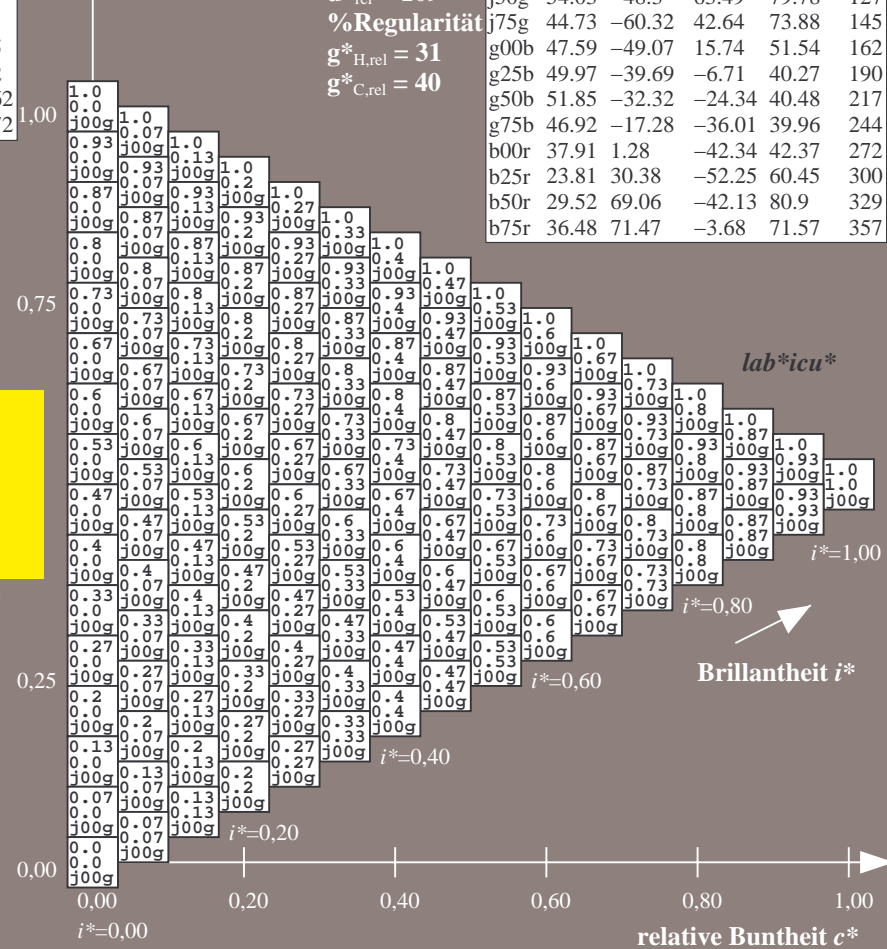
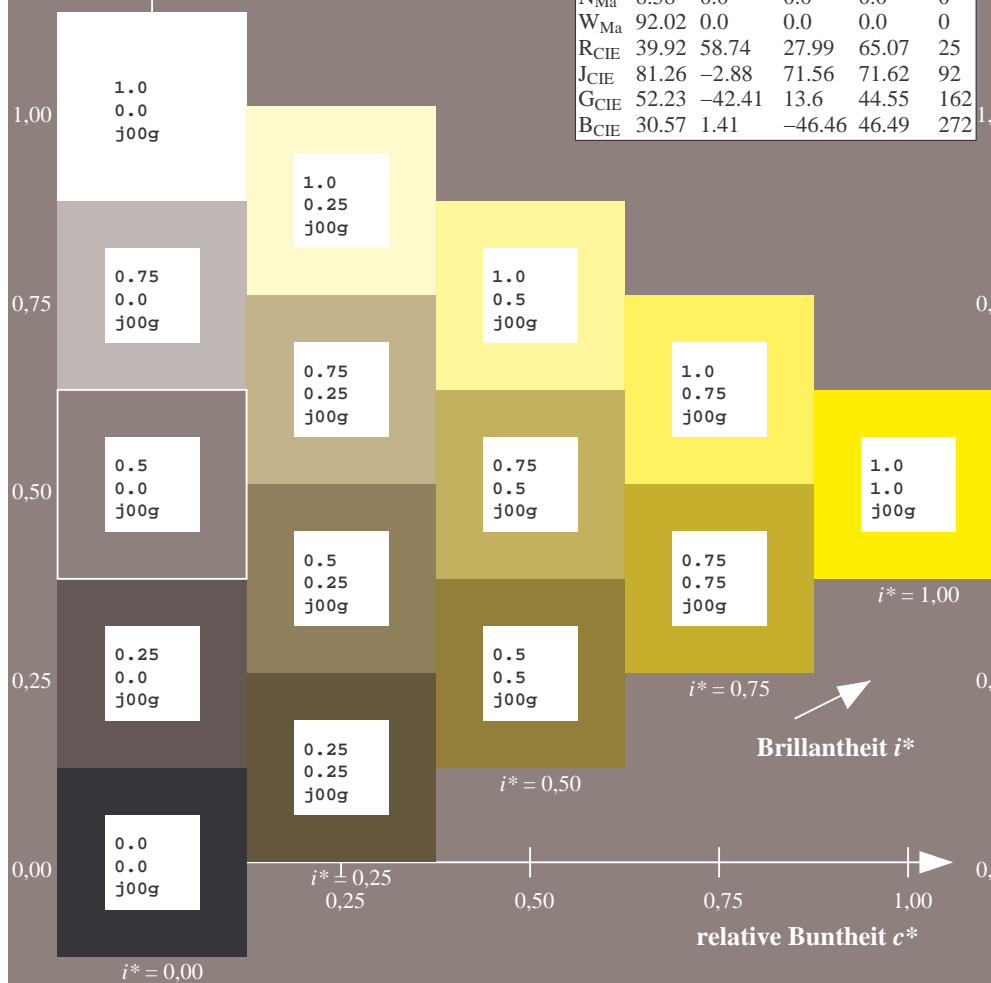
$u^*_{rel} = 109$

%Regularität

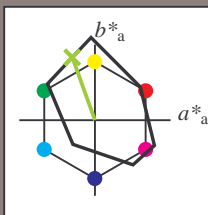
$g^*_{H,rel} = 31$

$g^*_{C,rel} = 40$

FRS09_92aM; adaptierte CIELAB-Daten					
	$L^*=L_a^*$	$a_a^*$	$b_a^*$	$C^*_{ab,a}$	$h^*_{ab,a}$
r00j	35.47	63.32	30.17	70.15	25
r25j	39.12	54.56	49.45	73.64	42
r50j	50.64	39.15	64.89	75.79	59
r75j	64.01	21.26	82.83	85.52	76
j00g	83.18	-4.37	108.53	108.62	92
j25g	66.73	-29.88	83.06	88.28	110
j50g	54.03	-48.3	63.49	79.78	127
j75g	44.73	-60.32	42.64	73.88	145
g00b	47.59	-49.07	15.74	51.54	162
g25b	49.97	-39.69	-6.71	40.27	190
g50b	51.85	-32.32	-24.34	40.48	217
g75b	46.92	-17.28	-36.01	39.96	244
b00r	37.91	1.28	-42.34	42.37	272
b25r	23.81	30.38	-52.25	60.45	300
b50r	29.52	69.06	-42.13	80.9	329
b75r	36.48	71.47	-3.68	71.57	357



Ein und Ausgabe: Farbmetrisches Drucker-Reflektiv-System FRS09\_92aM für relativen CIELAB-Buntton  $h^* = lab^*h^* = h_{ab}/360 = 110/360 = 0.305$   $u^* = j25g$   
Daten für jede Farbe:  
 $lab^*ch^*$  und  $lab^*icu^*$   
Elementar-Bunttontext:  
 $u^* = j25g$   
Kontrastreduzierungsfaktor:  
 $c_R = 1.0$   
Dreiecks-Helligkeit  $i^*$



FRS09_92aM; adaptierte CIELAB-Daten					
	$L^*=L_a^*$	$a_a^*$	$b_a^*$	$C^*_{ab,a}$	$h^*_{ab,a}$
O <sub>Ma</sub>	35.06	60.0	44.0	74.4	36
Y <sub>Ma</sub>	83.77	-5.16	109.32	109.44	93
L <sub>Ma</sub>	44.13	-62.66	48.24	79.09	142
C <sub>Ma</sub>	52.66	-29.13	-31.98	43.27	228
V <sub>Ma</sub>	14.15	50.3	-59.03	77.57	310
M <sub>Ma</sub>	37.37	78.64	-33.49	85.48	337
N <sub>Ma</sub>	8.58	0.0	0.0	0.0	0
W <sub>Ma</sub>	92.02	0.0	0.0	0.0	0
R <sub>CIE</sub>	39.92	58.74	27.99	65.07	25
J <sub>CIE</sub>	81.26	-2.88	71.56	71.62	92
G <sub>CIE</sub>	52.23	-42.41	13.6	44.55	162
B <sub>CIE</sub>	30.57	1.41	-46.46	46.49	272

Daten für Maximalfarbe (Ma):

$LAB^*LAB^*_{Ma}$ : 67 -29 83

$LAB^*LCH^*_{Ma}$ : 67 88 110

$lab^*rgb^*_{Ma}$ : 0.75 1.0 0.0

$lab^*olv^*_{Ma}$ : 0.57 1.0 0.0

Dreiecks-Helligkeit  $i^*$

%Umfang

$u^*_{rel} = 109$

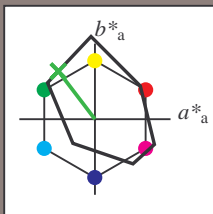
%Regularität

$g^*_{H,rel} = 31$

$g^*_{C,rel} = 40$

FRS09_92aM; adaptierte CIELAB-Daten					
	$L^*=L_a^*$	$a_a^*$	$b_a^*$	$C^*_{ab,a}$	$h^*_{ab,a}$
r00j	35.47	63.32	30.17	70.15	25
r25j	39.12	54.56	49.45	73.64	42
r50j	50.64	39.15	64.89	75.79	59
r75j	64.01	21.26	82.83	85.52	76
j00g	83.18	-4.37	108.53	108.62	92
j25g	66.73	-29.88	83.06	88.28	110
j50g	54.03	-48.3	63.49	79.78	127
j75g	44.73	-60.32	42.64	73.88	145
g00b	47.59	-49.07	15.74	51.54	162
g25b	49.97	-39.69	-6.71	40.27	190
g50b	51.85	-32.32	-24.34	40.48	217
g75b	46.92	-17.28	-36.01	39.96	244
b00r	37.91	1.28	-42.34	42.37	272
b25r	23.81	30.38	-52.25	60.45	300
b50r	29.52	69.06	-42.13	80.9	329
b75r	36.48	71.47	-3.68	71.57	357

Ein und Ausgabe: Farbmetrisches Drucker-Reflektiv-System FRS09\_92aM für relativen CIELAB-Buntton  $h^* = lab^*h^* = h_{ab}/360 = 127/360 = 0.354$   $u^* = j50g$   
Daten für jede Farbe:  
 $lab^*ch^*$  und  $lab^*icu^*$   
Elementar-Bunttontext:  
 $u^* = j50g$   
Kontrastreduzierungsfaktor:  
 $c_R = 1.0$   
Dreiecks-Helligkeit  $i^*$



FRS09_92aM; adaptierte CIELAB-Daten					
	$L^*=L^*_a$	$a^*_a$	$b^*_a$	$C^*_{ab,a}$	$h^*_{ab,a}$
O <sub>Ma</sub>	35.06	60.0	44.0	74.4	36
Y <sub>Ma</sub>	83.77	-5.16	109.32	109.44	93
L <sub>Ma</sub>	44.13	-62.66	48.24	79.09	142
C <sub>Ma</sub>	52.66	-29.13	-31.98	43.27	228
V <sub>Ma</sub>	14.15	50.3	-59.03	77.57	310
M <sub>Ma</sub>	37.37	78.64	-33.49	85.48	337
N <sub>Ma</sub>	8.58	0.0	0.0	0.0	0
W <sub>Ma</sub>	92.02	0.0	0.0	0.0	0
R <sub>CIE</sub>	39.92	58.74	27.99	65.07	25
J <sub>CIE</sub>	81.26	-2.88	71.56	71.62	92
G <sub>CIE</sub>	52.23	-42.41	13.6	44.55	162
B <sub>CIE</sub>	30.57	1.41	-46.46	46.49	272

Daten für Maximalfarbe (Ma):

$LAB^*LAB^*_{Ma}$ : 54 -47 63

$LAB^*LCH^*_{Ma}$ : 54 80 127

$lab^*rgb^*_{Ma}$ : 0.5 1.0 0.0

$lab^*olv^*_{Ma}$ : 0.25 1.0 0.0

Dreiecks-Helligkeit  $i^*$

%Umfang

$u^*_{rel} = 109$

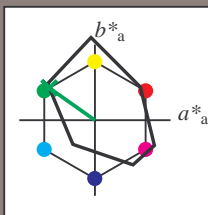
%Regelartigkeit

$g^*_{H,rel} = 31$

$g^*_{C,rel} = 40$

FRS09_92aM; adaptierte CIELAB-Daten					
	$L^*=L^*_a$	$a^*_a$	$b^*_a$	$C^*_{ab,a}$	$h^*_{ab,a}$
r00j	35.47	63.32	30.17	70.15	25
r25j	39.12	54.56	49.45	73.64	42
r50j	50.64	39.15	64.89	75.79	59
r75j	64.01	21.26	82.83	85.52	76
j00g	83.18	-4.37	108.53	108.62	92
j25g	66.73	-29.88	83.06	88.28	110
j50g	54.03	-48.3	63.49	79.78	127
j75g	44.73	-60.32	42.64	73.88	145
g00b	47.59	-49.07	15.74	51.54	162
g25b	49.97	-39.69	-6.71	40.27	190
g50b	51.85	-32.32	-24.34	40.48	217
g75b	46.92	-17.28	-36.01	39.96	244
b00r	37.91	1.28	-42.34	42.37	272
b25r	23.81	30.38	-52.25	60.45	300
b50r	29.52	69.06	-42.13	80.9	329
b75r	36.48	71.47	-3.68	71.57	357

Ein und Ausgabe: Farbmetrisches Drucker-Reflektiv-System FRS09\_92aM für relativen CIELAB-Buntton  $h^* = lab^*h^* = h_{ab}/360 = 145/360 = 0.402$   $u^* = j75g$   
Daten für jede Farbe:  
 $lab^*ch^*$  und  $lab^*icu^*$   
Elementar-Bunttontext:  
 $u^* = j75g$   
Kontrastreduzierungsfaktor:  
 $c_R = 1.0$   
Dreiecks-Helligkeit  $i^*$



FRS09_92aM; adaptierte CIELAB-Daten					
	$L^*=L^*_a$	$a^*_a$	$b^*_a$	$C^*_{ab,a}$	$h^*_{ab,a}$
O <sub>Ma</sub>	35.06	60.0	44.0	74.4	36
Y <sub>Ma</sub>	83.77	-5.16	109.32	109.44	93
L <sub>Ma</sub>	44.13	-62.66	48.24	79.09	142
C <sub>Ma</sub>	52.66	-29.13	-31.98	43.27	228
V <sub>Ma</sub>	14.15	50.3	-59.03	77.57	310
M <sub>Ma</sub>	37.37	78.64	-33.49	85.48	337
N <sub>Ma</sub>	8.58	0.0	0.0	0.0	0
W <sub>Ma</sub>	92.02	0.0	0.0	0.0	0
R <sub>CIE</sub>	39.92	58.74	27.99	65.07	25
J <sub>CIE</sub>	81.26	-2.88	71.56	71.62	92
G <sub>CIE</sub>	52.23	-42.41	13.6	44.55	162
B <sub>CIE</sub>	30.57	1.41	-46.46	46.49	272

Daten für Maximalfarbe (Ma):

$LAB^*LAB^*_{Ma}$ : 45 -59 43

$LAB^*LCH^*_{Ma}$ : 45 74 145

$lab^*rgb^*_{Ma}$ : 0.25 1.0 0.0

$lab^*olv^*_{Ma}$ : 0.0 1.0 0.07

Dreiecks-Helligkeit  $i^*$

%Umfang

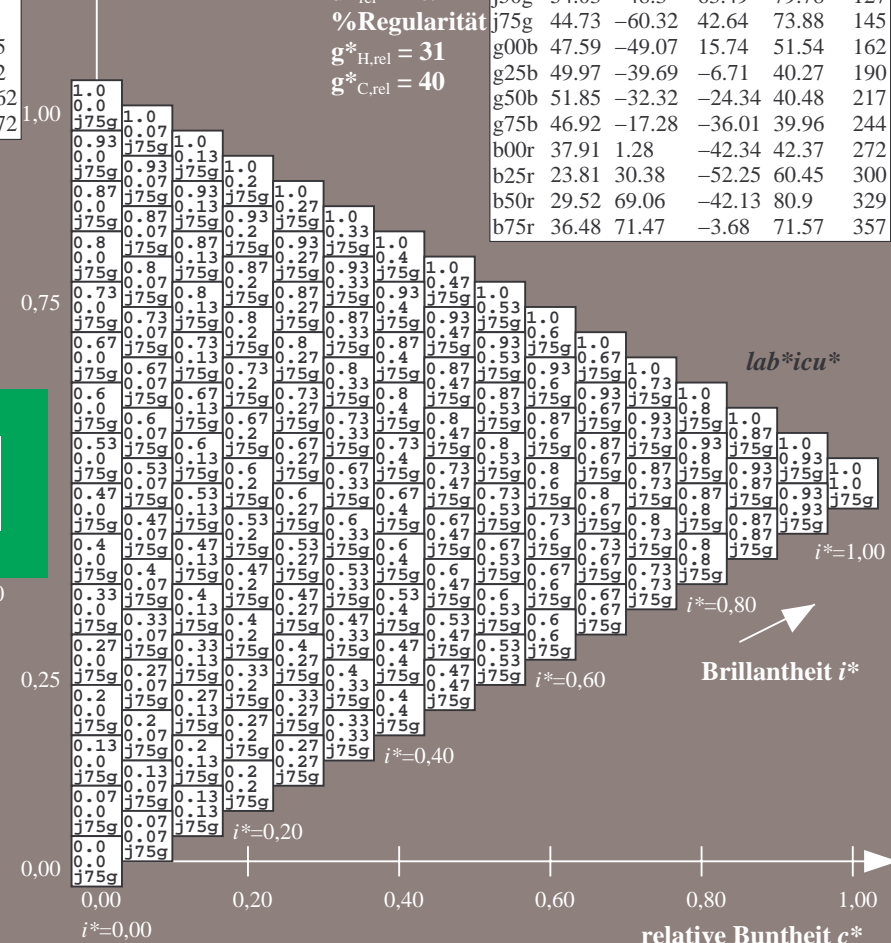
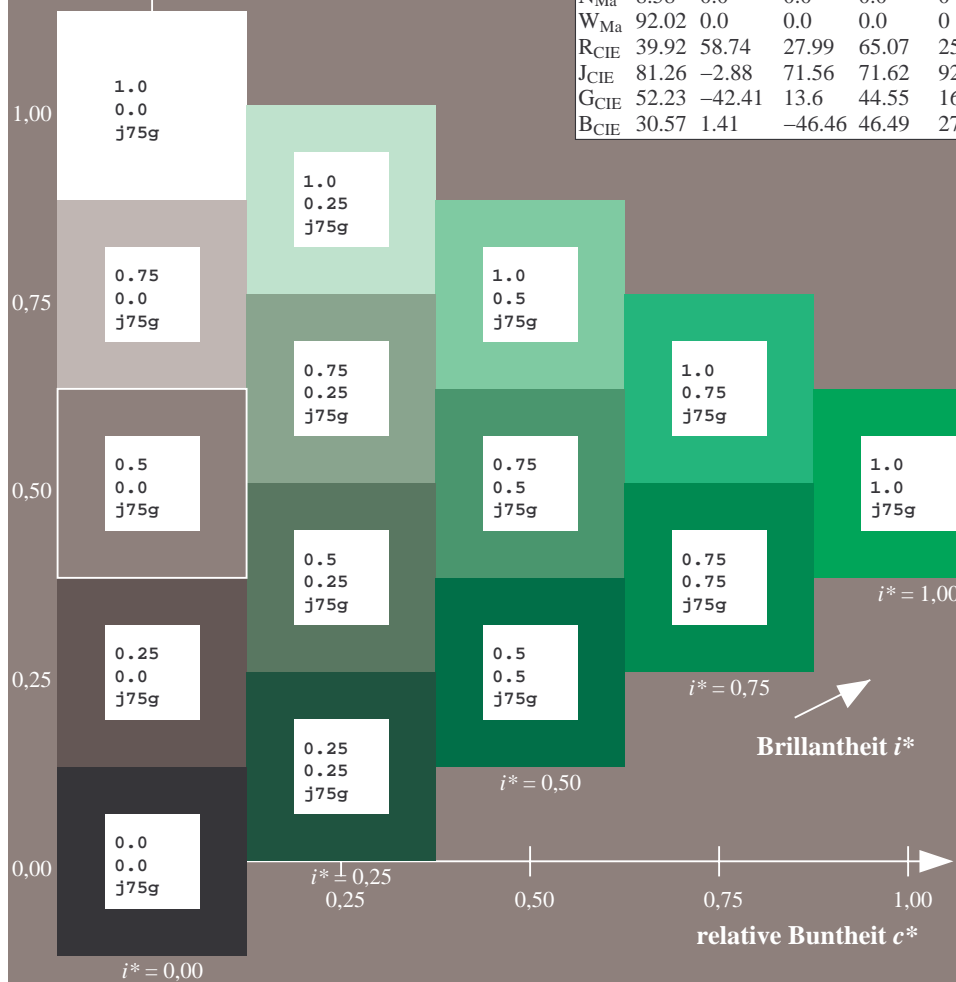
$u^*_{rel} = 109$

%Regularität

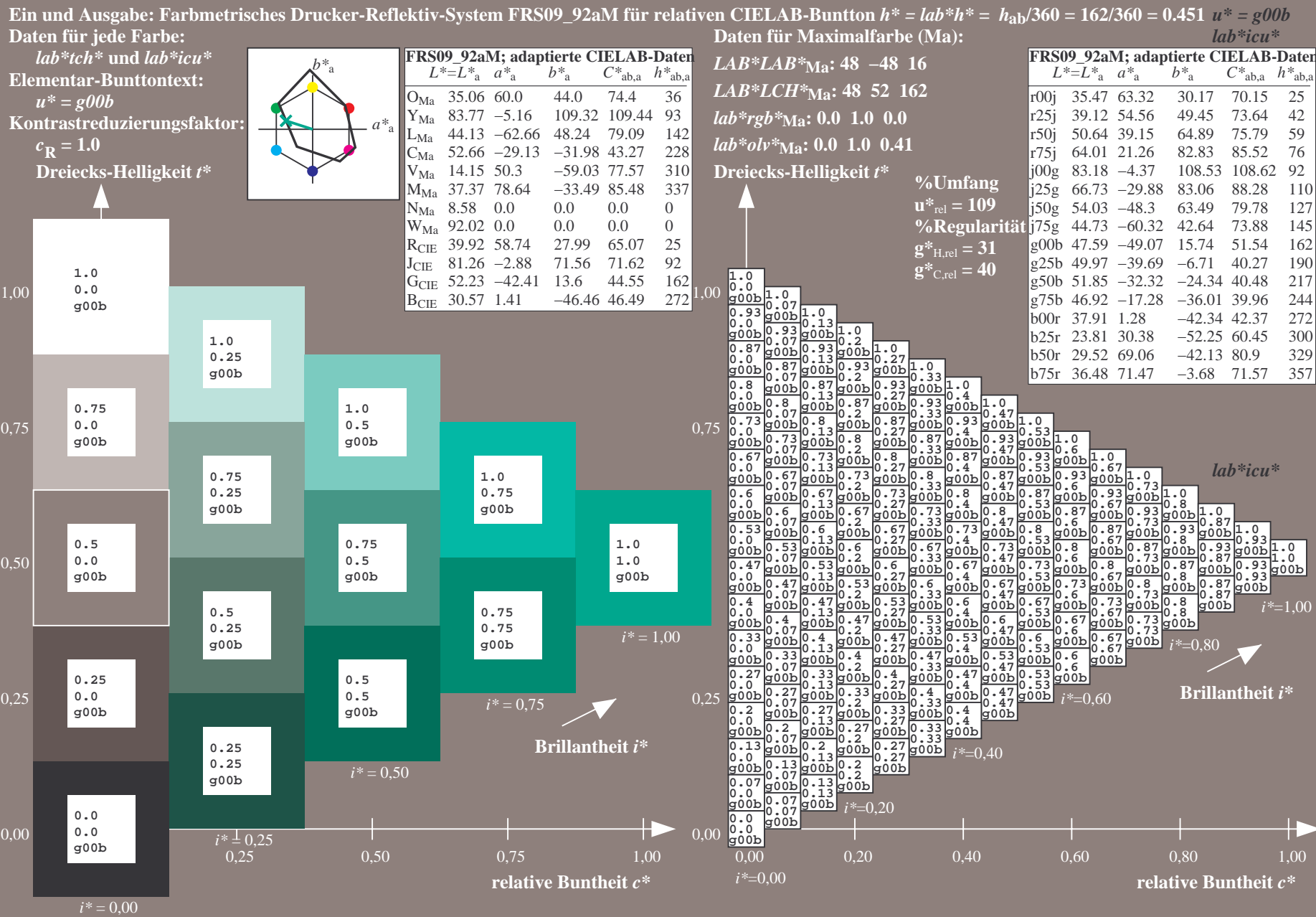
$g^*_{H,rel} = 31$

$g^*_{C,rel} = 40$

FRS09_92aM; adaptierte CIELAB-Daten					
	$L^*=L^*_a$	$a^*_a$	$b^*_a$	$C^*_{ab,a}$	$h^*_{ab,a}$
r00j	35.47	63.32	30.17	70.15	25
r25j	39.12	54.56	49.45	73.64	42
r50j	50.64	39.15	64.89	75.79	59
r75j	64.01	21.26	82.83	85.52	76
j00g	83.18	-4.37	108.53	108.62	92
j25g	66.73	-29.88	83.06	88.28	110
j50g	54.03	-48.3	63.49	79.78	127
j75g	44.73	-60.32	42.64	73.88	145
g00b	47.59	-49.07	15.74	51.54	162
g25b	49.97	-39.69	-6.71	40.27	190
g50b	51.85	-32.32	-24.34	40.48	217
g75b	46.92	-17.28	-36.01	39.96	244
b00r	37.91	1.28	-42.34	42.37	272
b25r	23.81	30.38	-52.25	60.45	300
b50r	29.52	69.06	-42.13	80.9	329
b75r	36.48	71.47	-3.68	71.57	357

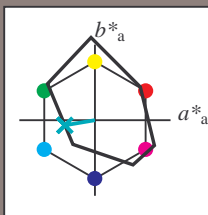








Ein und Ausgabe: Farbmetrisches Drucker-Reflektiv-System FRS09\_92aM für relativen CIELAB-Buntton  $h^* = lab^*h^* = h_{ab}/360 = 190/360 = 0.527$   $u^* = g25b$   
Daten für jede Farbe:  
 $lab^*ch^*$  und  $lab^*icu^*$   
Elementar-Bunttontext:  
 $u^* = g25b$   
Kontrastreduzierungsfaktor:  
 $c_R = 1.0$   
Dreiecks-Helligkeit  $i^*$



FRS09_92aM; adaptierte CIELAB-Daten					
	$L^*=L^*_a$	$a^*_a$	$b^*_a$	$C^*_{ab,a}$	$h^*_{ab,a}$
O <sub>Ma</sub>	35.06	60.0	44.0	74.4	36
Y <sub>Ma</sub>	83.77	-5.16	109.32	109.44	93
L <sub>Ma</sub>	44.13	-62.66	48.24	79.09	142
C <sub>Ma</sub>	52.66	-29.13	-31.98	43.27	228
V <sub>Ma</sub>	14.15	50.3	-59.03	77.57	310
M <sub>Ma</sub>	37.37	78.64	-33.49	85.48	337
N <sub>Ma</sub>	8.58	0.0	0.0	0.0	0
W <sub>Ma</sub>	92.02	0.0	0.0	0.0	0
R <sub>CIE</sub>	39.92	58.74	27.99	65.07	25
J <sub>CIE</sub>	81.26	-2.88	71.56	71.62	92
G <sub>CIE</sub>	52.23	-42.41	13.6	44.55	162
B <sub>CIE</sub>	30.57	1.41	-46.46	46.49	272

Daten für Maximalfarbe (Ma):

$LAB^*LAB^*_{Ma}$ : 50 -39 -6

$LAB^*LCH^*_{Ma}$ : 50 40 190

$lab^*rgb^*_{Ma}$ : 0.0 1.0 0.5

$lab^*olv^*_{Ma}$ : 0.0 1.0 0.69

Dreiecks-Helligkeit  $i^*$

%Umfang

$u^*_{rel} = 109$

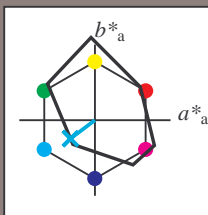
%Regularität

$g^*_{H,rel} = 31$

$g^*_{C,rel} = 40$

FRS09_92aM; adaptierte CIELAB-Daten					
	$L^*=L^*_a$	$a^*_a$	$b^*_a$	$C^*_{ab,a}$	$h^*_{ab,a}$
r00j	35.47	63.32	30.17	70.15	25
r25j	39.12	54.56	49.45	73.64	42
r50j	50.64	39.15	64.89	75.79	59
r75j	64.01	21.26	82.83	85.52	76
j00g	83.18	-4.37	108.53	108.62	92
j25g	66.73	-29.88	83.06	88.28	110
j50g	54.03	-48.3	63.49	79.78	127
j75g	44.73	-60.32	42.64	73.88	145
g00b	47.59	-49.07	15.74	51.54	162
g25b	49.97	-39.69	-6.71	40.27	190
g50b	51.85	-32.32	-24.34	40.48	217
g75b	46.92	-17.28	-36.01	39.96	244
b00r	37.91	1.28	-42.34	42.37	272
b25r	23.81	30.38	-52.25	60.45	300
b50r	29.52	69.06	-42.13	80.9	329
b75r	36.48	71.47	-3.68	71.57	357

Ein und Ausgabe: Farbmetrisches Drucker-Reflektiv-System FRS09\_92aM für relativen CIELAB-Buntton  $h^* = lab^*h^* = h_{ab}/360 = 217/360 = 0.603$   $u^* = g50b$   
Daten für jede Farbe:  
 $lab^*ch^*$  und  $lab^*icu^*$   
Elementar-Bunttontext:  
 $u^* = g50b$   
Kontrastreduzierungsfaktor:  
 $c_R = 1.0$   
Dreiecks-Helligkeit  $t^*$



FRS09_92aM; adaptierte CIELAB-Daten					
	$L^*=L_a^*$	$a_a^*$	$b_a^*$	$C^*_{ab,a}$	$h^*_{ab,a}$
O <sub>Ma</sub>	35.06	60.0	44.0	74.4	36
Y <sub>Ma</sub>	83.77	-5.16	109.32	109.44	93
L <sub>Ma</sub>	44.13	-62.66	48.24	79.09	142
C <sub>Ma</sub>	52.66	-29.13	-31.98	43.27	228
V <sub>Ma</sub>	14.15	50.3	-59.03	77.57	310
M <sub>Ma</sub>	37.37	78.64	-33.49	85.48	337
N <sub>Ma</sub>	8.58	0.0	0.0	0.0	0
W <sub>Ma</sub>	92.02	0.0	0.0	0.0	0
R <sub>CIE</sub>	39.92	58.74	27.99	65.07	25
J <sub>CIE</sub>	81.26	-2.88	71.56	71.62	92
G <sub>CIE</sub>	52.23	-42.41	13.6	44.55	162
B <sub>CIE</sub>	30.57	1.41	-46.46	46.49	272

Daten für Maximalfarbe (Ma):

$LAB^*LAB^*_{Ma}$ : 52 -31 -23

$LAB^*LCH^*_{Ma}$ : 52 40 217

$lab^*rgb^*_{Ma}$ : 0.0 1.0 1.0

$lab^*olv^*_{Ma}$ : 0.0 1.0 0.9

Dreiecks-Helligkeit  $t^*$

%Umfang

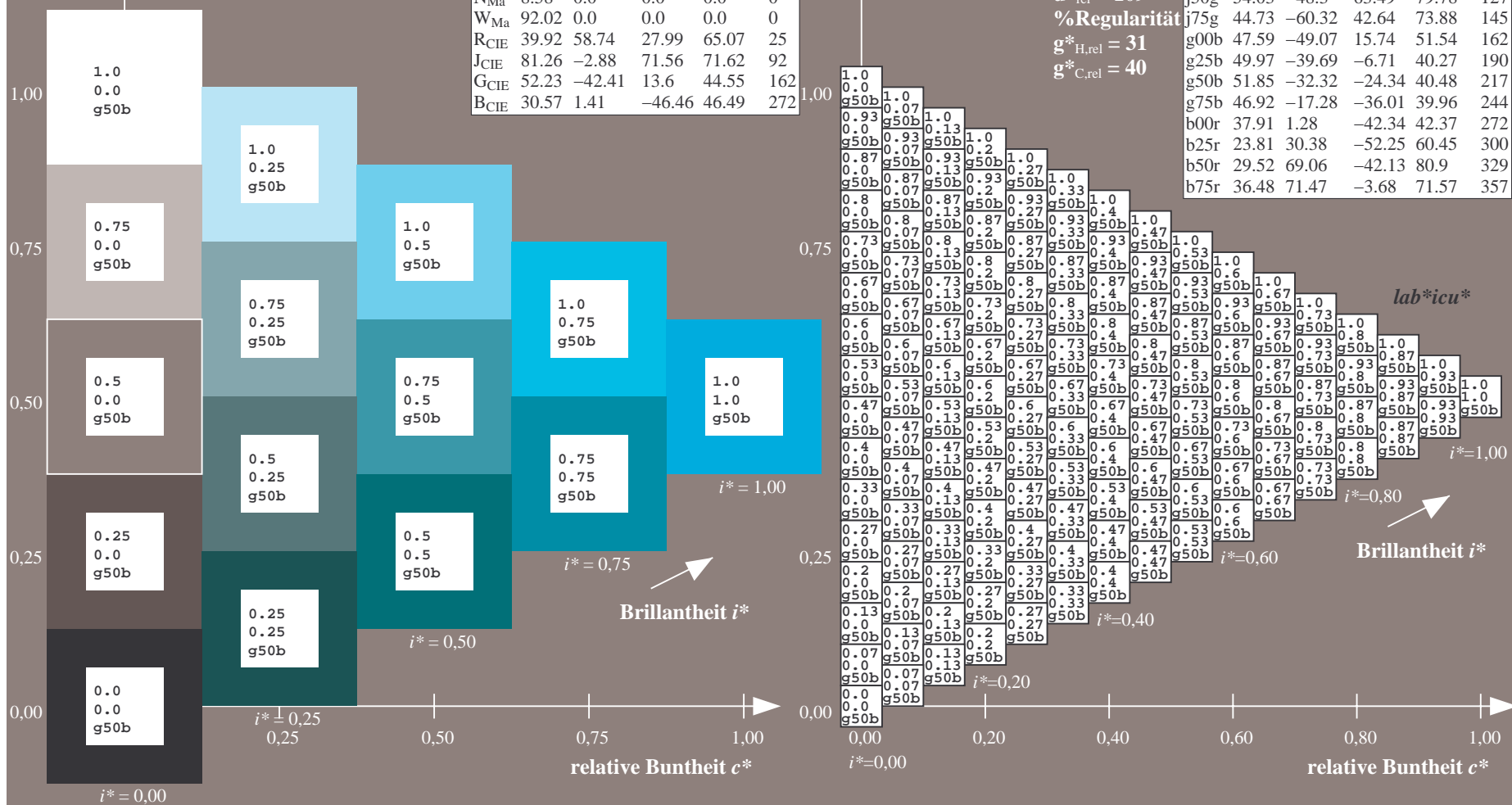
$u^*_{rel} = 109$

%Regularität

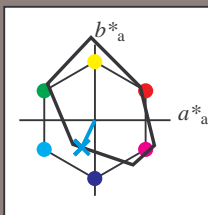
$g^*_{H,rel} = 31$

$g^*_{C,rel} = 40$

FRS09_92aM; adaptierte CIELAB-Daten					
	$L^*=L_a^*$	$a_a^*$	$b_a^*$	$C^*_{ab,a}$	$h^*_{ab,a}$
r00j	35.47	63.32	30.17	70.15	25
r25j	39.12	54.56	49.45	73.64	42
r50j	50.64	39.15	64.89	75.79	59
r75j	64.01	21.26	82.83	85.52	76
j00g	83.18	-4.37	108.53	108.62	92
j25g	66.73	-29.88	83.06	88.28	110
j50g	54.03	-48.3	63.49	79.78	127
j75g	44.73	-60.32	42.64	73.88	145
g00b	47.59	-49.07	15.74	51.54	162
g25b	49.97	-39.69	-6.71	40.27	190
g50b	51.85	-32.32	-24.34	40.48	217
g75b	46.92	-17.28	-36.01	39.96	244
b00r	37.91	1.28	-42.34	42.37	272
b25r	23.81	30.38	-52.25	60.45	300
b50r	29.52	69.06	-42.13	80.9	329
b75r	36.48	71.47	-3.68	71.57	357



Ein und Ausgabe: Farbmetrisches Drucker-Reflektiv-System FRS09\_92aM für relativen CIELAB-Buntton  $h^* = lab^*h^* = h_{ab}/360 = 244/360 = 0.679$   $u^* = g75b$   
Daten für jede Farbe:  
 $lab^*ch^*$  und  $lab^*icu^*$   
Elementar-Bunttontext:  
 $u^* = g75b$   
Kontrastreduzierungsfaktor:  
 $c_R = 1.0$   
Dreiecks-Helligkeit  $i^*$



FRS09_92aM; adaptierte CIELAB-Daten					
	$L^*=L^*_a$	$a^*_a$	$b^*_a$	$C^*_{ab,a}$	$h^*_{ab,a}$
O <sub>Ma</sub>	35.06	60.0	44.0	74.4	36
Y <sub>Ma</sub>	83.77	-5.16	109.32	109.44	93
L <sub>Ma</sub>	44.13	-62.66	48.24	79.09	142
C <sub>Ma</sub>	52.66	-29.13	-31.98	43.27	228
V <sub>Ma</sub>	14.15	50.3	-59.03	77.57	310
M <sub>Ma</sub>	37.37	78.64	-33.49	85.48	337
N <sub>Ma</sub>	8.58	0.0	0.0	0.0	0
W <sub>Ma</sub>	92.02	0.0	0.0	0.0	0
R <sub>CIE</sub>	39.92	58.74	27.99	65.07	25
J <sub>CIE</sub>	81.26	-2.88	71.56	71.62	92
G <sub>CIE</sub>	52.23	-42.41	13.6	44.55	162
B <sub>CIE</sub>	30.57	1.41	-46.46	46.49	272

Daten für Maximalfarbe (Ma):

$LAB^*LAB^*_{Ma}$ : 47 -16 -35

$LAB^*LCH^*_{Ma}$ : 47 40 244

$lab^*rgb^*_{Ma}$ : 0.0 0.5 1.0

$lab^*olv^*_{Ma}$ : 0.0 0.85 1.0

Dreiecks-Helligkeit  $i^*$

%Umfang

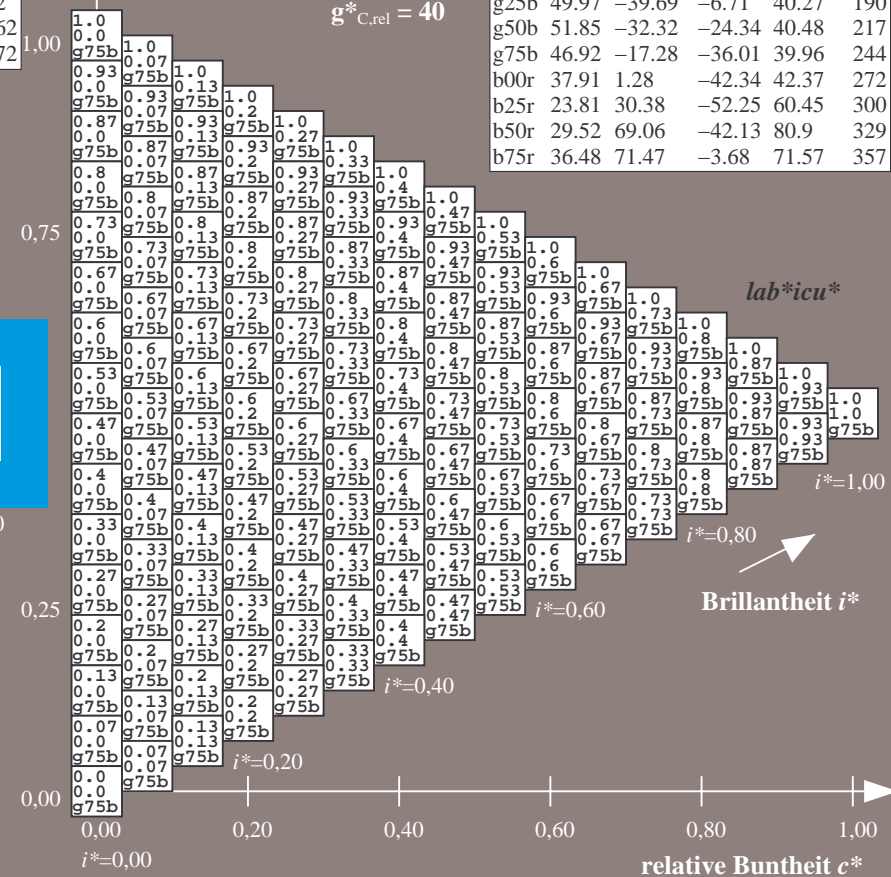
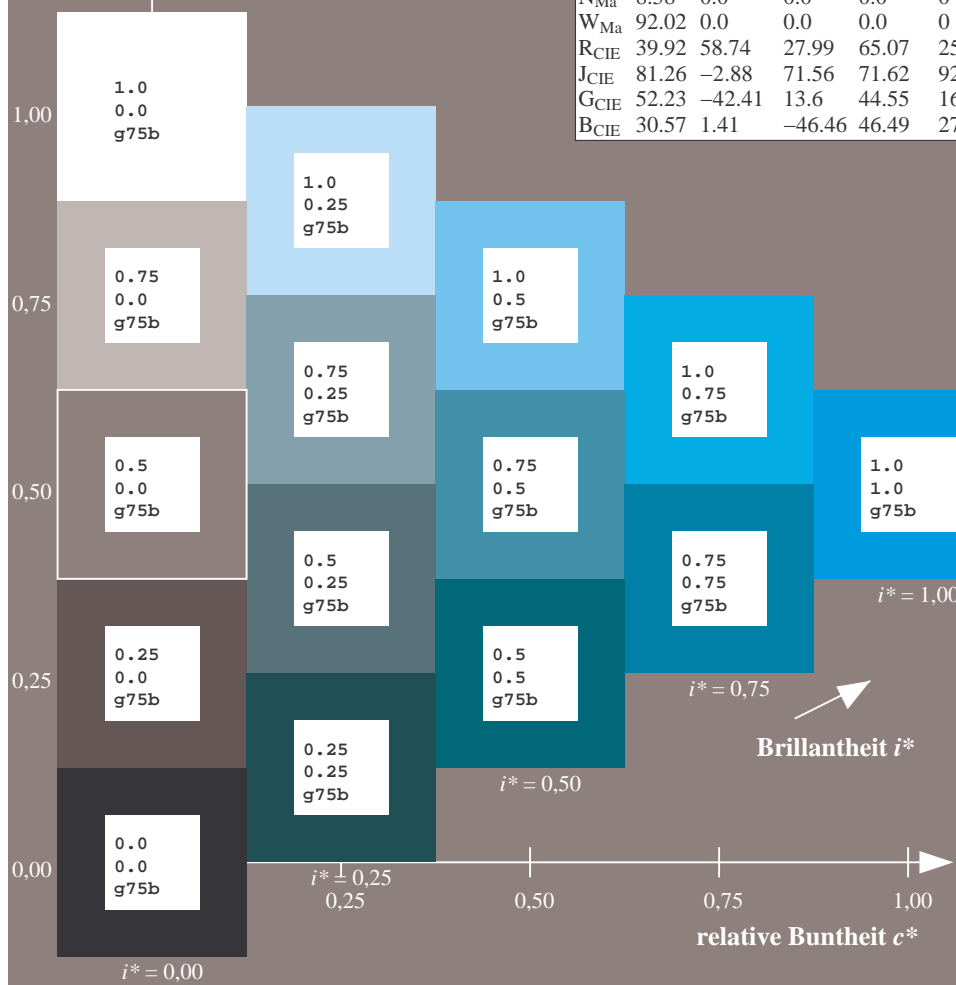
$u^*_{rel} = 109$

%Regularität

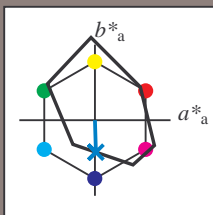
$g^*_{H,rel} = 31$

$g^*_{C,rel} = 40$

FRS09_92aM; adaptierte CIELAB-Daten					
	$L^*=L^*_a$	$a^*_a$	$b^*_a$	$C^*_{ab,a}$	$h^*_{ab,a}$
r00j	35.47	63.32	30.17	70.15	25
r25j	39.12	54.56	49.45	73.64	42
r50j	50.64	39.15	64.89	75.79	59
r75j	64.01	21.26	82.83	85.52	76
j00g	83.18	-4.37	108.53	108.62	92
j25g	66.73	-29.88	83.06	88.28	110
j50g	54.03	-48.3	63.49	79.78	127
j75g	44.73	-60.32	42.64	73.88	145
g00b	47.59	-49.07	15.74	51.54	162
g25b	49.97	-39.69	-6.71	40.27	190
g50b	51.85	-32.32	-24.34	40.48	217
g75b	46.92	-17.28	-36.01	39.96	244
b00r	37.91	1.28	-42.34	42.37	272
b25r	23.81	30.38	-52.25	60.45	300
b50r	29.52	69.06	-42.13	80.9	329
b75r	36.48	71.47	-3.68	71.57	357



Ein und Ausgabe: Farbmimetrisches Drucker-Reflektiv-System FRS09\_92aM für relativen CIELAB-Buntton  $h^* = lab^*h^* = h_{ab}/360 = 272/360 = 0.755$   $u^* = b00r$   
Daten für jede Farbe:  
 $lab^*ch^*$  und  $lab^*icu^*$   
Elementar-Bunttonstext:  
 $u^* = b00r$   
Kontrastreduzierungsfaktor:  
 $c_R = 1.0$   
Dreiecks-Helligkeit  $t^*$



FRS09_92aM; adaptierte CIELAB-Daten					
	$L^*=L^*_a$	$a^*_a$	$b^*_a$	$C^*_{ab,a}$	$h^*_{ab,a}$
O <sub>Ma</sub>	35.06	60.0	44.0	74.4	36
Y <sub>Ma</sub>	83.77	-5.16	109.32	109.44	93
L <sub>Ma</sub>	44.13	-62.66	48.24	79.09	142
C <sub>Ma</sub>	52.66	-29.13	-31.98	43.27	228
V <sub>Ma</sub>	14.15	50.3	-59.03	77.57	310
M <sub>Ma</sub>	37.37	78.64	-33.49	85.48	337
N <sub>Ma</sub>	8.58	0.0	0.0	0.0	0
W <sub>Ma</sub>	92.02	0.0	0.0	0.0	0
R <sub>CIE</sub>	39.92	58.74	27.99	65.07	25
J <sub>CIE</sub>	81.26	-2.88	71.56	71.62	92
G <sub>CIE</sub>	52.23	-42.41	13.6	44.55	162
B <sub>CIE</sub>	30.57	1.41	-46.46	46.49	272

Daten für Maximalfarbe (Ma):

$LAB^*LAB^*_{Ma}$ : 38 1 -41

$LAB^*LCH^*_{Ma}$ : 38 42 272

$lab^*rgb^*_{Ma}$ : 0.0 0.0 1.0

$lab^*olv^*_{Ma}$ : 0.0 0.62 1.0

Dreiecks-Helligkeit  $t^*$

%Umfang

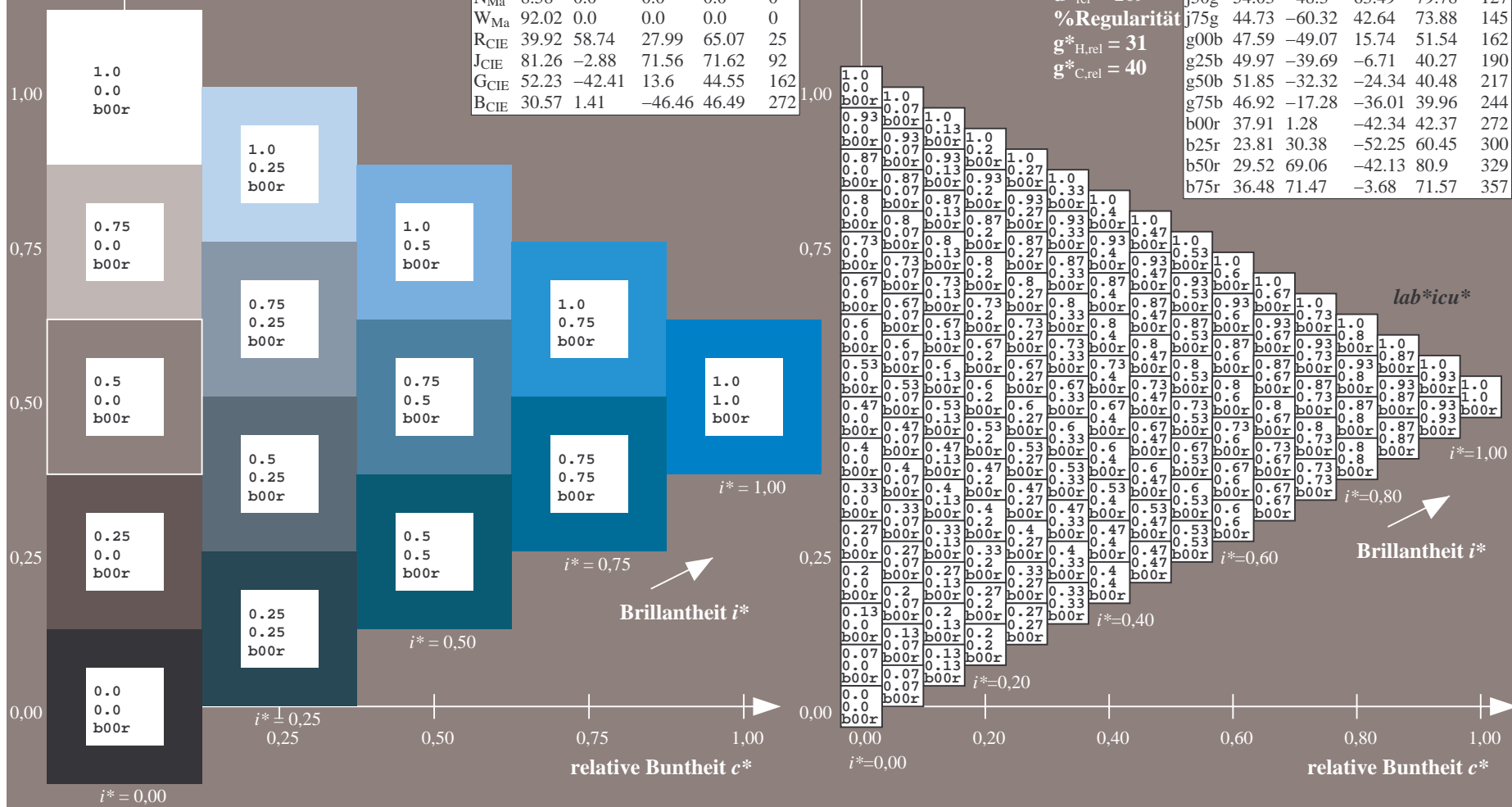
$u^*_{rel} = 109$

%Regularität

$g^*_{H,rel} = 31$

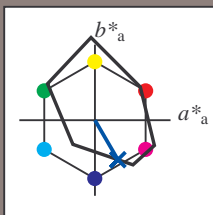
$g^*_{C,rel} = 40$

FRS09_92aM; adaptierte CIELAB-Daten					
	$L^*=L^*_a$	$a^*_a$	$b^*_a$	$C^*_{ab,a}$	$h^*_{ab,a}$
r00j	35.47	63.32	30.17	70.15	25
r25j	39.12	54.56	49.45	73.64	42
r50j	50.64	39.15	64.89	75.79	59
r75j	64.01	21.26	82.83	85.52	76
j00g	83.18	-4.37	108.53	108.62	92
j25g	66.73	-29.88	83.06	88.28	110
j50g	54.03	-48.3	63.49	79.78	127
j75g	44.73	-60.32	42.64	73.88	145
g00b	47.59	-49.07	15.74	51.54	162
g25b	49.97	-39.69	-6.71	40.27	190
g50b	51.85	-32.32	-24.34	40.48	217
g75b	46.92	-17.28	-36.01	39.96	244
b00r	37.91	1.28	-42.34	42.37	272
b25r	23.81	30.38	-52.25	60.45	300
b50r	29.52	69.06	-42.13	80.9	329
b75r	36.48	71.47	-3.68	71.57	357





Ein und Ausgabe: Farbmetrisches Drucker-Reflektiv-System FRS09\_92aM für relativen CIELAB-Buntton  $h^* = lab^*h^* = h_{ab}/360 = 300/360 = 0.834$   $u^* = b25r$   
Daten für jede Farbe:  
 $lab^*ch^*$  und  $lab^*icu^*$   
Elementar-Bunttontext:  
 $u^* = b25r$   
Kontrastreduzierungsfaktor:  
 $c_R = 1.0$   
Dreiecks-Helligkeit  $t^*$



FRS09_92aM; adaptierte CIELAB-Daten					
	$L^*=L_a^*$	$a_a^*$	$b_a^*$	$C^*_{ab,a}$	$h^*_{ab,a}$
OMa	35.06	60.0	44.0	74.4	36
YMa	83.77	-5.16	109.32	109.44	93
LMa	44.13	-62.66	48.24	79.09	142
CMa	52.66	-29.13	-31.98	43.27	228
VMa	14.15	50.3	-59.03	77.57	310
MMa	37.37	78.64	-33.49	85.48	337
NMa	8.58	0.0	0.0	0.0	0
WMa	92.02	0.0	0.0	0.0	0
R_CIE	39.92	58.74	27.99	65.07	25
J_CIE	81.26	-2.88	71.56	71.62	92
G_CIE	52.23	-42.41	13.6	44.55	162
B_CIE	30.57	1.41	-46.46	46.49	272

Daten für Maximalfarbe (Ma):

$LAB^*LAB^*_{Ma}$ : 24 30 -51

$LAB^*LCH^*_{Ma}$ : 24 60 300

$lab^*rgb^*_{Ma}$ : 0.5 0.0 1.0

$lab^*olv^*_{Ma}$ : 0.0 0.25 1.0

Dreiecks-Helligkeit  $t^*$

%Umfang

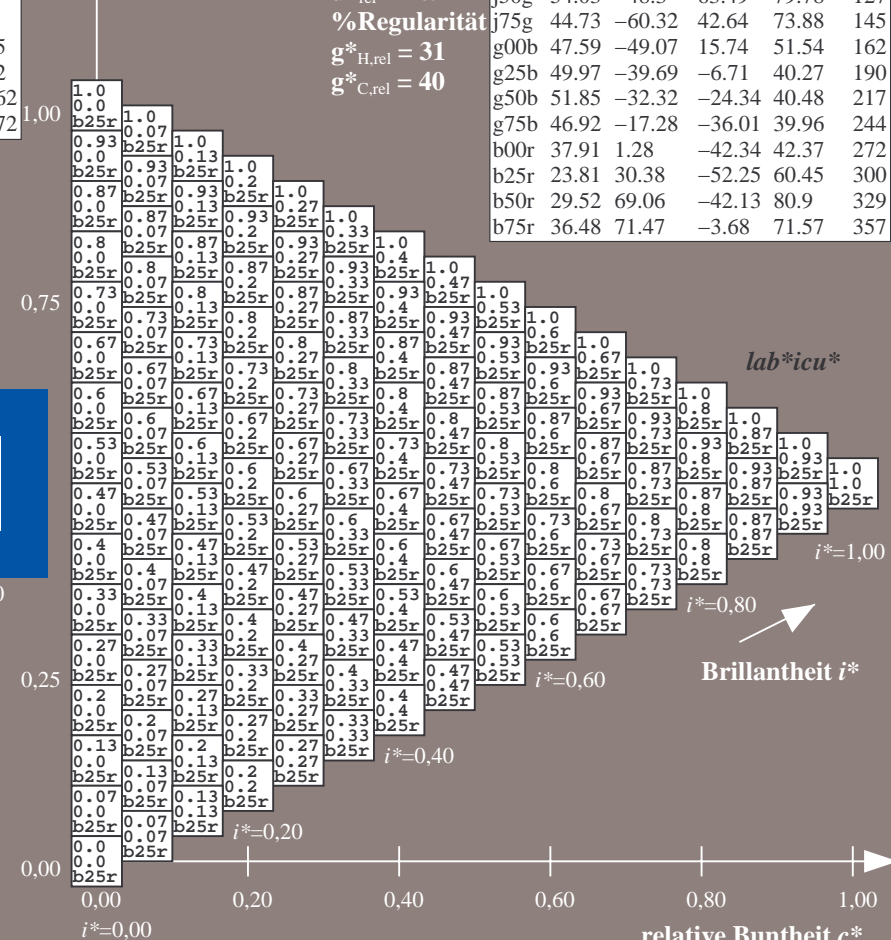
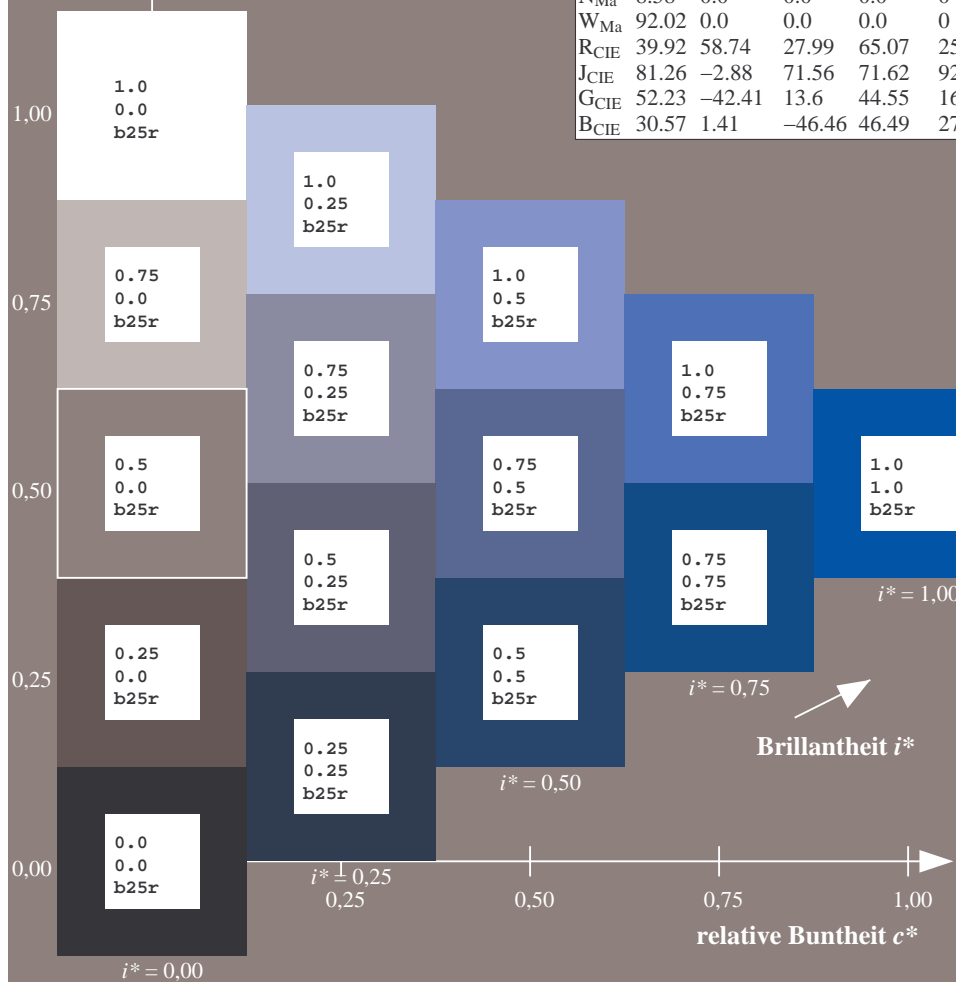
$u^*_{rel} = 109$

%Regelartigkeit

$g^*_{H,rel} = 31$

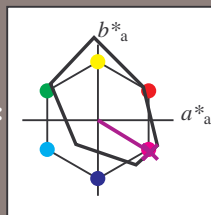
$g^*_{C,rel} = 40$

FRS09_92aM; adaptierte CIELAB-Daten					
	$L^*=L_a^*$	$a_a^*$	$b_a^*$	$C^*_{ab,a}$	$h^*_{ab,a}$
r00j	35.47	63.32	30.17	70.15	25
r25j	39.12	54.56	49.45	73.64	42
r50j	50.64	39.15	64.89	75.79	59
r75j	64.01	21.26	82.83	85.52	76
j00g	83.18	-4.37	108.53	108.62	92
j25g	66.73	-29.88	83.06	88.28	110
j50g	54.03	-48.3	63.49	79.78	127
j75g	44.73	-60.32	42.64	73.88	145
g00b	47.59	-49.07	15.74	51.54	162
g25b	49.97	-39.69	-6.71	40.27	190
g50b	51.85	-32.32	-24.34	40.48	217
g75b	46.92	-17.28	-36.01	39.96	244
b00r	37.91	1.28	-42.34	42.37	272
b25r	23.81	30.38	-52.25	60.45	300
b50r	29.52	69.06	-42.13	80.9	329
b75r	36.48	71.47	-3.68	71.57	357





Ein und Ausgabe: Farbmetrisches Drucker-Reflektiv-System FRS09\_92aM für relativen CIELAB-Buntton  $h^* = lab^*h^* = h_{ab}/360 = 329/360 = 0.913$   $u^* = b50r$   
Daten für jede Farbe:  
 $lab^*ch^*$  und  $lab^*icu^*$   
Elementar-Bunttontext:  
 $u^* = b50r$   
Kontrastreduzierungsfaktor:  
 $c_R = 1.0$   
Dreiecks-Helligkeit  $t^*$



FRS09_92aM; adaptierte CIELAB-Daten					
	$L^*=L_a^*$	$a_a^*$	$b_a^*$	$C^*_{ab,a}$	$h^*_{ab,a}$
O <sub>Ma</sub>	35.06	60.0	44.0	74.4	36
Y <sub>Ma</sub>	83.77	-5.16	109.32	109.44	93
L <sub>Ma</sub>	44.13	-62.66	48.24	79.09	142
C <sub>Ma</sub>	52.66	-29.13	-31.98	43.27	228
V <sub>Ma</sub>	14.15	50.3	-59.03	77.57	310
M <sub>Ma</sub>	37.37	78.64	-33.49	85.48	337
N <sub>Ma</sub>	8.58	0.0	0.0	0.0	0
W <sub>Ma</sub>	92.02	0.0	0.0	0.0	0
R <sub>CIE</sub>	39.92	58.74	27.99	65.07	25
J <sub>CIE</sub>	81.26	-2.88	71.56	71.62	92
G <sub>CIE</sub>	52.23	-42.41	13.6	44.55	162
B <sub>CIE</sub>	30.57	1.41	-46.46	46.49	272

Daten für Maximalfarbe (Ma):

$LAB^*LAB^*_{Ma}$ : 30 69 -41

$LAB^*LCH^*_{Ma}$ : 30 81 329

$lab^*rgb^*_{Ma}$ : 1.0 0.0 1.0

$lab^*olv^*_{Ma}$ : 0.66 0.0 1.0

Dreiecks-Helligkeit  $t^*$

%Umfang

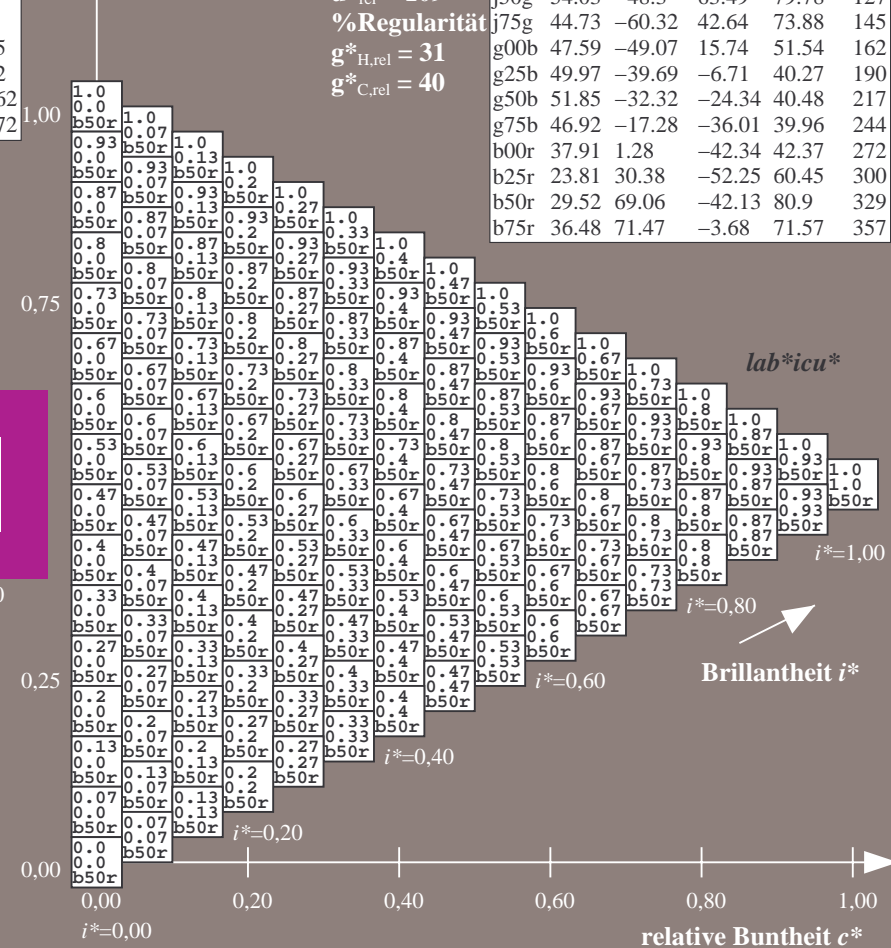
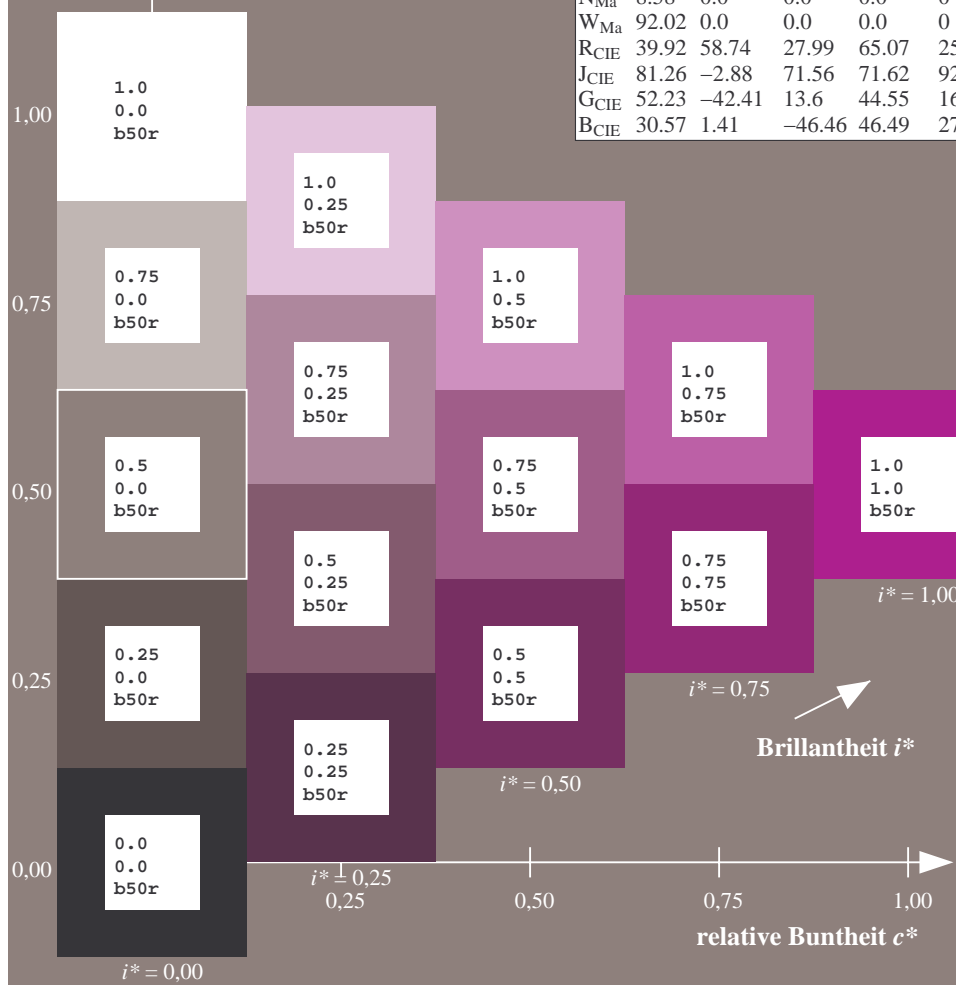
$u^*_{rel} = 109$

%Regelartigkeit

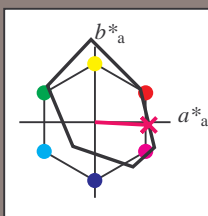
$g^*_{H,rel} = 31$

$g^*_{C,rel} = 40$

FRS09_92aM; adaptierte CIELAB-Daten					
	$L^*=L_a^*$	$a_a^*$	$b_a^*$	$C^*_{ab,a}$	$h^*_{ab,a}$
r00j	35.47	63.32	30.17	70.15	25
r25j	39.12	54.56	49.45	73.64	42
r50j	50.64	39.15	64.89	75.79	59
r75j	64.01	21.26	82.83	85.52	76
j00g	83.18	-4.37	108.53	108.62	92
j25g	66.73	-29.88	83.06	88.28	110
j50g	54.03	-48.3	63.49	79.78	127
j75g	44.73	-60.32	42.64	73.88	145
g00b	47.59	-49.07	15.74	51.54	162
g25b	49.97	-39.69	-6.71	40.27	190
g50b	51.85	-32.32	-24.34	40.48	217
g75b	46.92	-17.28	-36.01	39.96	244
b00r	37.91	1.28	-42.34	42.37	272
b25r	23.81	30.38	-52.25	60.45	300
b50r	29.52	69.06	-42.13	80.9	329
b75r	36.48	71.47	-3.68	71.57	357



Ein und Ausgabe: Farbmetrisches Drucker-Reflektiv-System FRS09\_92aM für relativen CIELAB-Buntton  $h^* = lab^*h^* = h_{ab}/360 = 357/360 = 0.992$   $u^* = b75r$   
Daten für jede Farbe:  
 $lab^*ch^*$  und  $lab^*icu^*$   
Elementar-Bunttontext:  
 $u^* = b75r$   
Kontrastreduzierungsfaktor:  
 $c_R = 1.0$   
Dreiecks-Helligkeit  $i^*$



FRS09_92aM; adaptierte CIELAB-Daten					
	$L^*=L_a^*$	$a_a^*$	$b_a^*$	$C_{ab,a}^*$	$h_{ab,a}^*$
O <sub>Ma</sub>	35.06	60.0	44.0	74.4	36
Y <sub>Ma</sub>	83.77	-5.16	109.32	109.44	93
L <sub>Ma</sub>	44.13	-62.66	48.24	79.09	142
C <sub>Ma</sub>	52.66	-29.13	-31.98	43.27	228
V <sub>Ma</sub>	14.15	50.3	-59.03	77.57	310
M <sub>Ma</sub>	37.37	78.64	-33.49	85.48	337
N <sub>Ma</sub>	8.58	0.0	0.0	0.0	0
W <sub>Ma</sub>	92.02	0.0	0.0	0.0	0
R <sub>CIE</sub>	39.92	58.74	27.99	65.07	25
J <sub>CIE</sub>	81.26	-2.88	71.56	71.62	92
G <sub>CIE</sub>	52.23	-42.41	13.6	44.55	162
B <sub>CIE</sub>	30.57	1.41	-46.46	46.49	272

Daten für Maximalfarbe (Ma):

$LAB^*LAB^*_{Ma}$ : 36 71 -3

$LAB^*LCH^*_{Ma}$ : 36 72 357

$lab^*rgb^*_{Ma}$ : 1.0 0.0 0.5

$lab^*olv^*_{Ma}$ : 1.0 0.0 0.62

Dreiecks-Helligkeit  $i^*$

%Umfang

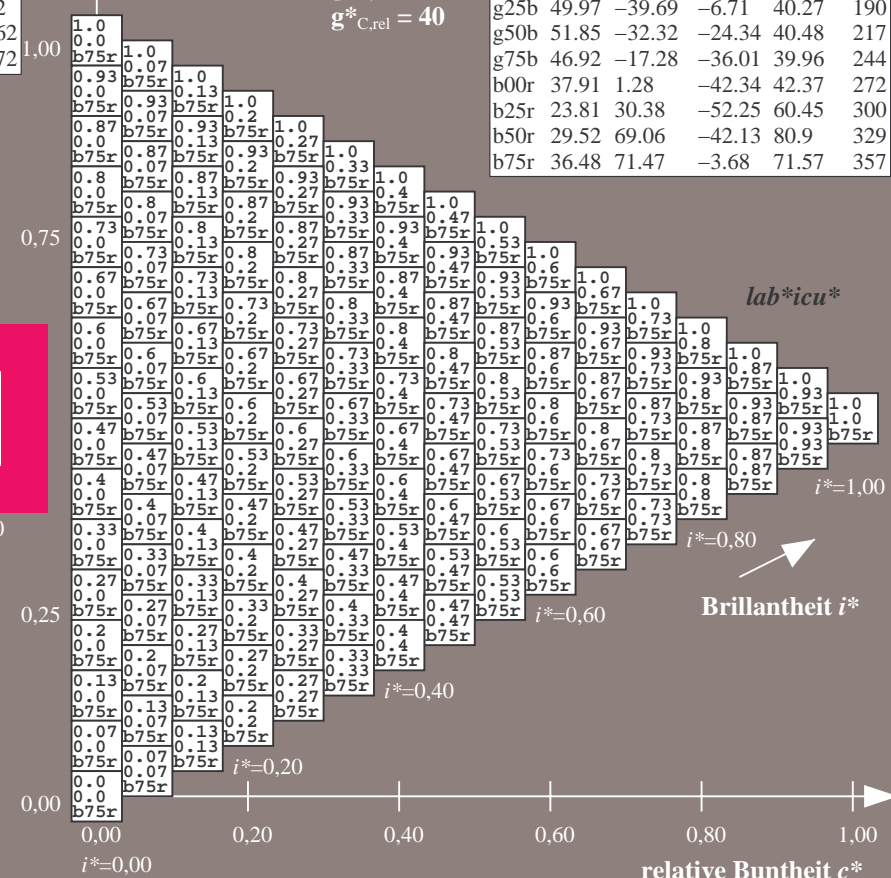
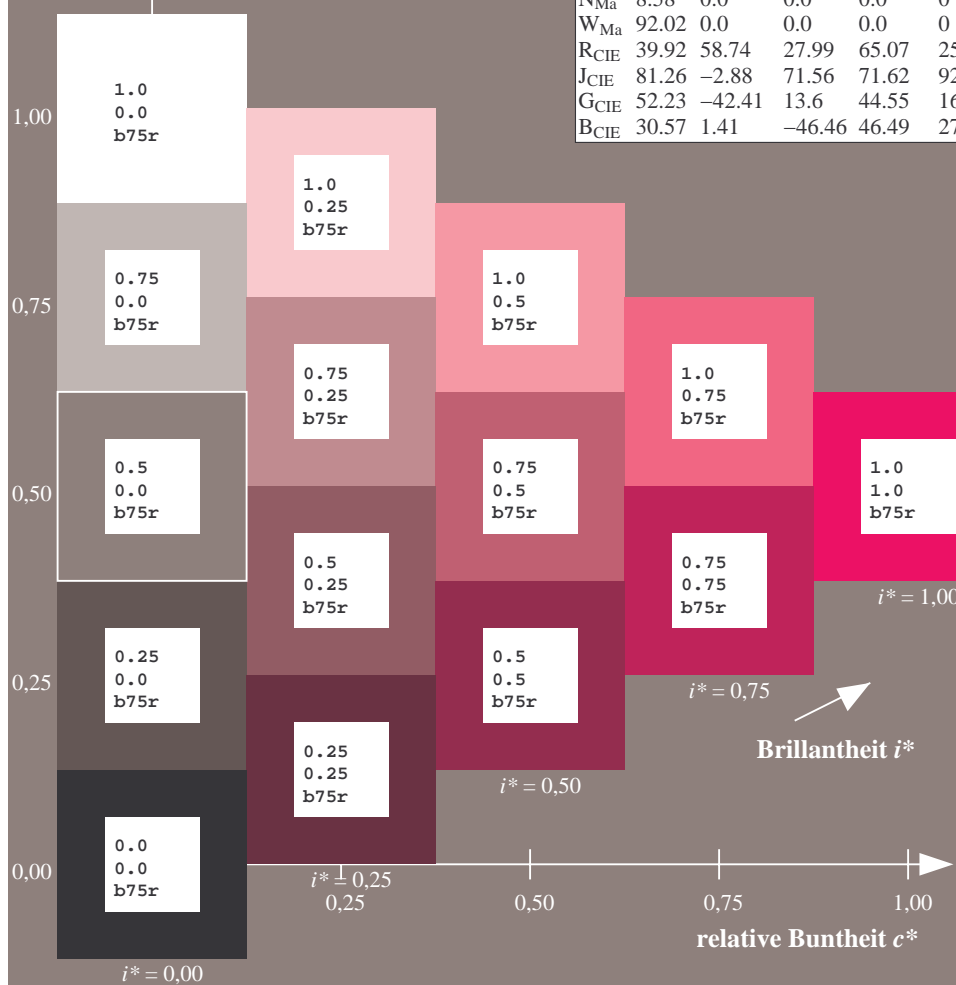
$u^*_{rel} = 109$

%Regularität

$g^*_{H,rel} = 31$

$g^*_{C,rel} = 40$

FRS09_92aM; adaptierte CIELAB-Daten					
	$L^*=L_a^*$	$a_a^*$	$b_a^*$	$C_{ab,a}^*$	$h_{ab,a}^*$
r00j	35.47	63.32	30.17	70.15	25
r25j	39.12	54.56	49.45	73.64	42
r50j	50.64	39.15	64.89	75.79	59
r75j	64.01	21.26	82.83	85.52	76
j00g	83.18	-4.37	108.53	108.62	92
j25g	66.73	-29.88	83.06	88.28	110
j50g	54.03	-48.3	63.49	79.78	127
j75g	44.73	-60.32	42.64	73.88	145
g00b	47.59	-49.07	15.74	51.54	162
g25b	49.97	-39.69	-6.71	40.27	190
g50b	51.85	-32.32	-24.34	40.48	217
g75b	46.92	-17.28	-36.01	39.96	244
b00r	37.91	1.28	-42.34	42.37	272
b25r	23.81	30.38	-52.25	60.45	300
b50r	29.52	69.06	-42.13	80.9	329
b75r	36.48	71.47	-3.68	71.57	357



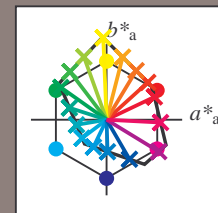
Siehe ähnliche Dateien: <http://www.ps.bam.de/Dg92/>; [www.ps.bam.de/Dg.HTM](http://www.ps.bam.de/Dg.HTM)  
Technische Information: <http://www.ps.bam.de> Version 2.1, io=1, ColSp=0

ANWENDUNG FÜR BEURTEILUNG UND MESSUNG VON DRUCKER- ODER MONITORSYSTEMEN  
BAM-REGISTRIERUNG: 20080701-Dg92/10/L92G00NA.PS/ 1X1BAM-Material: Code=rna4ta

	A	B	C	D	E	F	G	H	I	J	K	L	M	N	O	P	Q	R	S	T	U	V	W	X	Y	Z	a	b	c	d	e	f	g	h	i	j	k	lab*icu*						
01	0.0	0.13	0.25	0.38	0.5	0.63	0.75	0.88	1.0	0.13	0.13	0.25	0.38	0.5	0.63	0.75	0.88	1.0	0.25	0.25	0.38	0.5	0.63	0.75	0.88	1.0	0.25	0.38	0.5	0.63	0.75	0.88	1.0	1.0	1.0	1.0	1.0	1.0	0.0	0.0	0.0			
	b10r	b10r	j70g	j70g	j70g	j70g	j70g	j70g	j70g	r15j	j10g	j29g	j42g	j49g	j53g	j56g	j58g	j60g	r15j	r61j	j60g	j18g	j29g	j37g	j42g	j46g	j49g	b10r	b10r	b10r	r15j	r15j	r15j	r15j	r15j	r15j	r15j	b10r	b10r	b10r	b10r			
02	0.13	0.13	0.25	0.38	0.5	0.63	0.75	0.88	1.0	0.13	0.13	0.25	0.38	0.5	0.63	0.75	0.88	1.0	0.25	0.25	0.25	0.38	0.5	0.63	0.75	0.88	1.0	0.12	0.0	0.88	0.88	0.88	0.88	0.88	0.88	0.88	0.13	0.13	0.13	0.13				
	b33r	g59b	g06b	j92g	j85g	j81g	j79g	j78g	j77g	b56r	b10r	j70g	j70g	j70g	j70g	j70g	j70g	j70g	b80r	r15j	j00g	j29g	j42g	j49g	j53g	j56g	j58g	g59b	b10r	r15j	r15j	r15j	r15j	r15j	r15j	r15j	r15j	r15j	b10r	b10r	b10r	b10r		
03	0.25	0.25	0.25	0.38	0.5	0.63	0.75	0.88	1.0	0.25	0.25	0.25	0.38	0.5	0.63	0.75	0.88	1.0	0.25	0.25	0.25	0.38	0.5	0.63	0.75	0.88	1.0	0.10	0.88	0.75	0.75	0.75	0.75	0.75	0.75	0.75	0.75	0.25	0.25	0.25	0.25			
	b33r	b09r	g59b	g22b	g06b	j98g	j92g	j88g	j85g	b45r	b33r	g59b	g06b	j92g	j85g	j81g	j79g	j78g	b56r	b56r	b10r	j70g	j70g	j70g	j70g	j70g	j70g	g59b	b10r	r15j	r15j	r15j	r15j	r15j	r15j	r15j	r15j	r15j	b10r	b10r	b10r	b10r		
04	0.38	0.38	0.38	0.38	0.5	0.63	0.75	0.88	1.0	0.38	0.38	0.38	0.38	0.5	0.63	0.75	0.88	1.0	0.38	0.38	0.38	0.38	0.5	0.63	0.75	0.88	1.0	0.10	0.88	0.75	0.63	0.63	0.63	0.63	0.63	0.63	0.38	0.38	0.38	0.38				
	b33r	b20r	g94b	g59b	g33r	j13g	j25g	j35g	j39g	b66r	b56r	g59b	g22b	g06b	j98g	j92g	j88g	j85r	b45r	b45r	b33r	g59b	g06b	j92g	j85g	j81g	j79g	g59b	b10r	r15j	r15j	r15j	r15j	r15j	r15j	r15j	r15j	r15j	b10r	b10r	b10r	b10r		
05	0.5	0.5	0.5	0.5	0.5	0.62	0.75	0.87	1.0	0.5	0.5	0.5	0.5	0.5	0.5	0.5	0.5	0.5	0.5	0.5	0.5	0.5	0.5	0.5	0.5	0.5	0.5	0.5	0.5	0.5	0.5	0.5	0.5	0.5	0.5	0.5	0.5	0.5	0.0	0.0	0.0			
	b33r	b24r	b09r	g85b	g59b	g37b	g22b	j13b	g06b	b39r	b33r	b20r	g94b	g59b	g32b	j15b	g06b	g01b	b45r	b41r	b33r	b09r	g59b	g22b	g06b	j98g	j92g	g59b	g59b	g59b	g59b	b10r	r15j	r15j	r15j	r15j	r15j	r15j	b10r	b10r	b10r	b10r		
06	0.63	0.63	0.63	0.63	0.63	0.63	0.75	0.88	1.0	0.63	0.63	0.63	0.63	0.63	0.63	0.63	0.75	0.88	1.0	0.63	0.63	0.63	0.63	0.63	0.75	0.88	1.0	0.10	0.88	0.75	0.63	0.5	0.38	0.38	0.38	0.38	0.63	0.63	0.63	0.63				
	b33r	b26r	b16r	b10r	j79b	j59b	g41b	g27b	j81b	b38r	b33r	b24r	b09r	g85b	g59b	j37g	g22b	j13b	b43r	b39r	b33r	b20r	g94b	g59b	g32b	j15b	j06b	g59b	g59b	g59b	g59b	b10r	r15j	r15j	r15j	r15j	r15j	r15j	b10r	b10r	b10r	b10r		
07	0.75	0.75	0.75	0.75	0.75	0.75	0.75	0.88	1.0	0.75	0.75	0.75	0.75	0.75	0.75	0.75	0.88	1.0	0.75	0.75	0.75	0.75	0.75	0.75	0.75	0.75	0.75	0.75	0.75	0.75	0.75	0.75	0.75	0.75	0.75	0.75	0.75	0.75	0.75	0.75				
	b33r	b28r	b20r	b09r	g94b	j76b	g59b	g44b	g32b	b37r	b33r	b26r	b16r	b01r	g79b	g59b	g41b	g27b	b41r	b38r	b33r	b24r	b09r	g85b	g59b	g37b	g22b	g59b	g59b	g59b	g59b	g59b	g59b	b10r	r15j	r15j	r15j	r15j	r15j	b10r	b10r	b10r	b10r	
08	0.88	0.88	0.88	0.88	0.88	0.88	0.88	0.88	1.0	0.88	0.88	0.88	0.88	0.88	0.88	0.88	0.88	1.0	0.88	0.88	0.88	0.88	0.88	0.88	0.88	0.88	0.88	1.0	0.10	0.88	0.75	0.63	0.5	0.38	0.25	0.13	0.13	0.88	0.88	0.88	0.88			
	b33r	b28r	b20r	b09r	g94b	j76b	g59b	g44b	g32b	b37r	b33r	b26r	b16r	b01r	g79b	g59b	g41b	g27b	b41r	b38r	b33r	b24r	b09r	g85b	g59b	g37b	g22b	g59b	g59b	g59b	g59b	g59b	g59b	g59b	g59b	g59b	b10r	r15j	r15j	r15j	b10r	b10r	b10r	b10r
09	1.0	1.0	1.0	1.0	1.0	1.0	1.0	1.0	1.0	1.0	1.0	1.0	1.0	1.0	1.0	1.0	1.0	1.0	1.0	1.0	1.0	1.0	1.0	1.0	1.0	1.0	1.0	1.0	1.0	1.0	1.0	1.0	1.0	1.0	1.0	1.0	1.0	1.0	1.0	1.0				
	b33r	b29r	b24r	b18r	b09r	g98b	g85b	g71b	g59b	b36r	b33r	b29r	b23r	b14r	b04r	g89b	g73b	g59b	b39r	b37r	b33r	b28r	b20r	b09r	g94b	g76b	g59b	g59b	g59b	g59b	g59b	g59b	g59b	g59b	g59b	g59b	b10r	b10r	b10r	b10r	b10r			
10	0.38	0.38	0.38	0.38	0.5	0.63	0.75	0.88	1.0	0.5	0.5	0.5	0.5	0.5	0.5	0.63	0.75	0.88	1.0	0.63	0.63	0.63	0.63	0.63	0.75	0.88	1.0	0.10	0.88	0.75	0.63	0.5	0.38	0.25	0.13	0.0	0.0	0.0	0.0					
	r15j	r15j	r15j	r15j	r15j	j29g	j29g	j29g	j39g	j39g	r61j	r61j	r61j	r61j	r61j	r61j	r61j	r61j	r61j	r61j	r61j	r61j	r61j	r61j	r61j	r61j	r61j	r61j	r61j	r61j	r61j	r61j	r61j	r61j	r61j	r61j	r61j	r61j	r61j	r61j	r61j			
11	0.38	0.38	0.38	0.38	0.5	0.63	0.75	0.88	1.0	0.5	0.5	0.5	0.5	0.5	0.5	0.63	0.75	0.88	1.0	0.63	0.63	0.63	0.63	0.63	0.75	0.88	1.0	0.10	0.88	0.75	0.63	0.5	0.38	0.25	0.13	0.0	0.0	0.0	0.0					
	b90r	r15j	r66j	j00g	j18g	j29g	j37g	j42g	j46g	b94r	r15j	r50j	j79j	j00g	j13g	j22g	j29g	j35g	b97r	r15j	r42j	r66j	r85j	j00g	j00g	j18g	j24g	b33r	b10r	j00g	j00g	j00g	j00g	j00g	j00g	j00g	j00g	j00g	j00g	j00g	j00g	j00g		
12	0.38	0.38	0.38	0.38	0.5	0.63	0.75	0.88	1.0	0.5	0.5	0.5	0.5	0.5	0.5	0.63	0.75	0.88	1.0	0.63	0.63	0.63	0.63	0.63	0.75	0.88	1.0	0.10	0.88	0.75	0.63	0.5	0.38	0.25	0.13	0.0	0.0	0.0	0.0					
	b71r	b80r	r15j	j00g	j29g	j42g	j49g	j53g	j56g	b80r	b90r	r15j	r66j	j00g	j18g	j29g	j37g	j42g	b86r	b49r	r15j	r50j	j79j	j00g	j13g	j22g	j29g	b33r	b33r	b10r	j00g	j00g	j00g	j00g	j00g	j00g	j00g	j00g	j00g	j00g	j00g			
13	0.38	0.38	0.38	0.38	0.5	0.63	0.75	0.88	1.0	0.5	0.5	0.5	0.5	0.5	0.5	0.63	0.75	0.88	1.0	0.63	0.63	0.63	0.63	0.63	0.75	0.88	1.0	0.10	0.88	0.75	0.63	0.5	0.38	0.25	0.13	0.0	0.0	0.0	0.0					
	b56r	b65r	b56r	b10r	j70g	j70g	j70g	j70g	j70g	b67r	b17r	b80r	r15j	j00g	j29g	j42g	j49g	j53g	b57r	b80r	b90r	r15j	r66j	j00g	j18g	j29g	j37g	b33r	b33r	b10r	j00g	j00g	j00g	j00g	j00g	j00g	j00g	j00g	j00g	j00g	j00g	j00g		
14	0.5	0.5	0.5	0.5	0.5	0.63	0.75	0.88	1.0	0.5	0.5	0.5	0.5	0.5	0.5	0.63	0.75	0.88	1.0	0.63	0.63	0.63	0.63	0.63	0.75	0.88	1.0	0.10	0.88	0.75	0.63	0.5	0.5	0.5	0.5	0.5	0.5	0.27	0.27	0.27	0.27			
	b51r	b49r	b45r	b33r	g59b	g06b	j92g	j85g	j81g	b56r	b56r	b56r	b10r	j70g	j70g	j70g	j70g	j70g	b65r	b67r	b71r	b80r	r15j	j00g	j29g	j42g	j49g	b33r	b33r	b33r	b33r	b10r	j00g	j00g	j00g	j00g	j00g	j00g	j00g	j00g	j00g	j00g		
15	0.63	0.63	0.63	0.63	0.63	0.63	0.75	0.88	1.0	0.63	0.63	0.63	0.63	0.63	0.63	0.63	0.75	0.88	1.0	0.63	0.63	0.63	0.63	0.63	0.75	0.88	1.0	0.10	0.88	0.75	0.63	0.5	0.38	0.38	0.38	0.38	0.33	0.33	0.33	0.33				
	b48r	b45r	b41r	b33r	b09r	g59b	g22b	g06b	j98g	b52r	b51r	b49r	b45r	b33r	g59b	g06b	j92g	j85g	b56r	b56r	b56r	b10r	j70g	j70g	j70g	j70g	j70g	b10r	j70g	j70g	b33r	b33r	b33r	b33r	b10r	j00g	j00g	j00g	j00g	j00g	j00g	j00g		
16	0.75	0.75	0.75	0.75	0.75	0.75	0.75	0.88	1.0	0.75	0.75	0.75	0.75	0.75	0.75	0.75	0.88	1.0	0.75	0.75	0.75	0.75	0.75	0.75	0.75	0.75	0.75	0.75	0.75	0.75	0.75	0.75	0.75	0.75	0.75	0.75	0.75	0.75	0.75	0.75				
	b75r	b65r	b57r	b57r	b38r	b38r	b38r	b38r	b38r	b57r	b57r	b57r	b57r	b57r	b57r	b57r	b57r	b57r	b57r	b57r	b57r	b57r	b57r	b57r	b57r	b57r	b57r	b57r	b57r	b57r	b57r	b57r	b57r	b57r	b57r	b57r	b57r	b57r	b57r	b57r	b57r			
17	0.88	0.88	0.88	0.88	0.88	0.88	0.88	0.88	1.0	0.88	0.88	0.88	0.88	0.88	0.88	0.88	0.88	1.0	0.88	0.88	0.88	0.88	0.88	0.88	0.88	0.88	0.88	1.0	0.10	0.88	0.75	0.63	0.5	0.38	0.25	0.13	0.13	0.47	0.47	0.47	0.47			
	b44r	b41r	b38r	b33r	b24r	b09r	g85b	g59b	g37b	b47r	b45r	b43r	b39r	b33r	b20r	g94b	g59b	g32b	b50r	b49r	b48r	b45r	b41r	b33r	b09r	g59b	g22b	b33r	b33r	b33r	b33r	b33r	b33r	b33r	b33r	b33r	b33r	b33r	b33r	b33r	b33r			
18	1.0	1.0	1.0	1.0	1.0	1.0	1.0	1.0	1.0	1.0	1.0	1.0	1.0	1.0																														

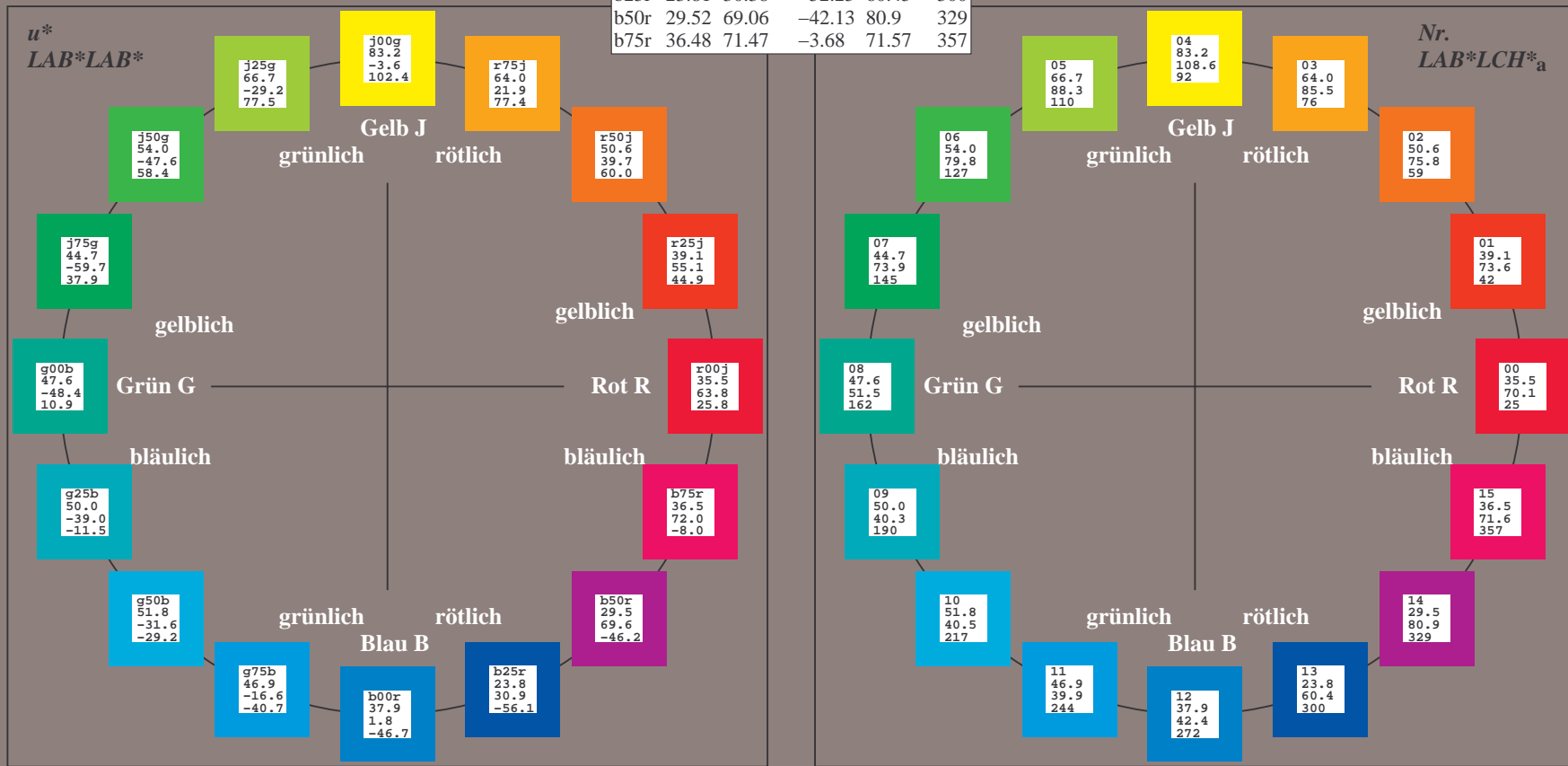
Ein und Ausgabe:  
Farbmetrisches Drucker-Reflektiv-System FRS09\_92aM  
Daten für jede Farbe:  
*lab\*<sub>tch</sub>\** und *lab\*<sub>icu</sub>\**  
Elementar-Bunntontext:  
*u\** = 16 Bunttöne *r00j*, *r25j*, ..., *b75r*  
Kontrastreduzierungsfaktor:  
 $c_R = 1.0$

FRS09_92aM; adaptierte CIELAB-Daten					
	$L^*_a$	$a^*_a$	$b^*_a$	$C^*_{ab,a}$	$h^*_{ab,a}$
r00j	35.47	63.32	30.17	70.15	25
r25j	39.12	54.56	49.45	73.64	42
r50j	50.64	39.15	64.89	75.79	59
r75j	64.01	21.26	82.83	85.52	76
j00g	83.18	-4.37	108.53	108.62	92
j25g	66.73	-29.88	83.06	88.28	110
j50g	54.03	-48.3	63.49	79.78	127
j75g	44.73	-60.32	42.64	73.88	145
g00b	47.59	-49.07	15.74	51.54	162
g25b	49.97	-39.69	-6.71	40.27	190
g50b	51.85	-32.32	-24.34	40.48	217
g75b	46.92	-17.28	-36.01	39.96	244
b00r	37.91	1.28	-42.34	42.37	272
b25r	23.81	30.38	-52.25	60.45	300
b50r	29.52	69.06	-42.13	80.9	329
b75r	36.48	71.47	-3.68	71.57	357



%Umfang  
 $u^*_{rel} = 109$   
%Regularität  
 $g^*_{H,rel} = 31$   
 $g^*_{C,rel} = 40$

FRS09_92M; CIELAB-Daten					
	$L^*=L^*$	$a^*$	$b^*$	$C^*_{ab}$	$h^*_{ab}$
O <sub>M</sub>	35.06	60.53	39.66	72.37	33
Y <sub>M</sub>	83.77	-4.49	103.15	103.25	92
L <sub>M</sub>	44.13	-62.1	43.56	75.86	145
C <sub>M</sub>	52.66	-28.55	-36.98	46.73	232
V <sub>M</sub>	14.15	50.78	-62.59	80.61	309
M <sub>M</sub>	37.37	79.18	-37.92	87.8	334
N <sub>M</sub>	8.58	0.46	-3.34	3.38	278
W <sub>M</sub>	92.02	0.69	-6.47	6.52	276
R <sub>CIE</sub>	39.92	58.74	27.99	65.07	25
J <sub>CIE</sub>	81.26	-2.88	71.56	71.62	92
G <sub>CIE</sub>	52.23	-42.41	13.6	44.55	162
B <sub>CIE</sub>	30.57	1.41	-46.46	46.49	272





Ein und Ausgabe: Farbmetrisches Drucker-Reflektiv-System FRS09\_92aM für relativen CIELAB-Buntton  $h^* = lab^*h^* = h_{ab}/360 = 25/360 = 0.071$   $u^* = r00j$

Daten für jede Farbe:

$lab^*ch^*$  und  $lab^*icu^*$

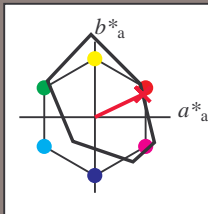
Elementar-Bunttontext:

$u^* = r00j$

Kontrastreduzierungsfaktor:

$c_R = 1.0$

Dreiecks-Helligkeit  $i^*$



FRS09_92M; CIELAB-Daten					
	$L^*=L^*$	$a^*$	$b^*$	$C^*_{ab}$	$h^*_{ab}$
O <sub>M</sub>	35.06	60.53	39.66	72.37	33
Y <sub>M</sub>	83.77	-4.49	103.15	103.25	92
L <sub>M</sub>	44.13	-62.1	43.56	75.86	145
C <sub>M</sub>	52.66	-28.55	-36.98	46.73	232
V <sub>M</sub>	14.15	50.78	-62.59	80.61	309
M <sub>M</sub>	37.37	79.18	-37.92	87.8	334
N <sub>M</sub>	8.58	0.46	-3.34	3.38	278
W <sub>M</sub>	92.02	0.69	-6.47	6.52	276
R <sub>CIE</sub>	39.92	58.74	27.99	65.07	25
J <sub>CIE</sub>	81.26	-2.88	71.56	71.62	92
G <sub>CIE</sub>	52.23	-42.41	13.6	44.55	162
B <sub>CIE</sub>	30.57	1.41	-46.46	46.49	272

Daten für Maximalfarbe (Ma):

$LAB^*LAB^*_{Ma}$ : 35 63 30

$LAB^*LCH^*_{Ma}$ : 35 70 25

$lab^*rgb^*_{Ma}$ : 1.0 0.0 0.0

$lab^*olv^*_{Ma}$ : 1.0 0.0 0.18

Dreiecks-Helligkeit  $i^*$

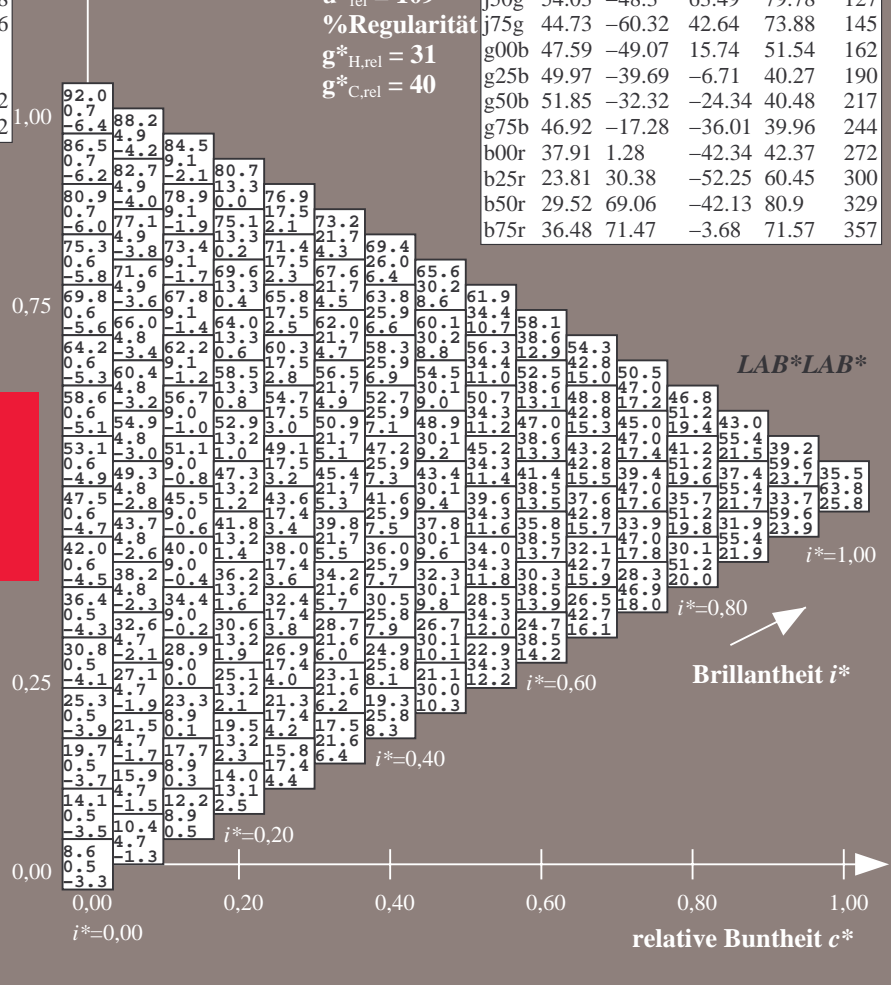
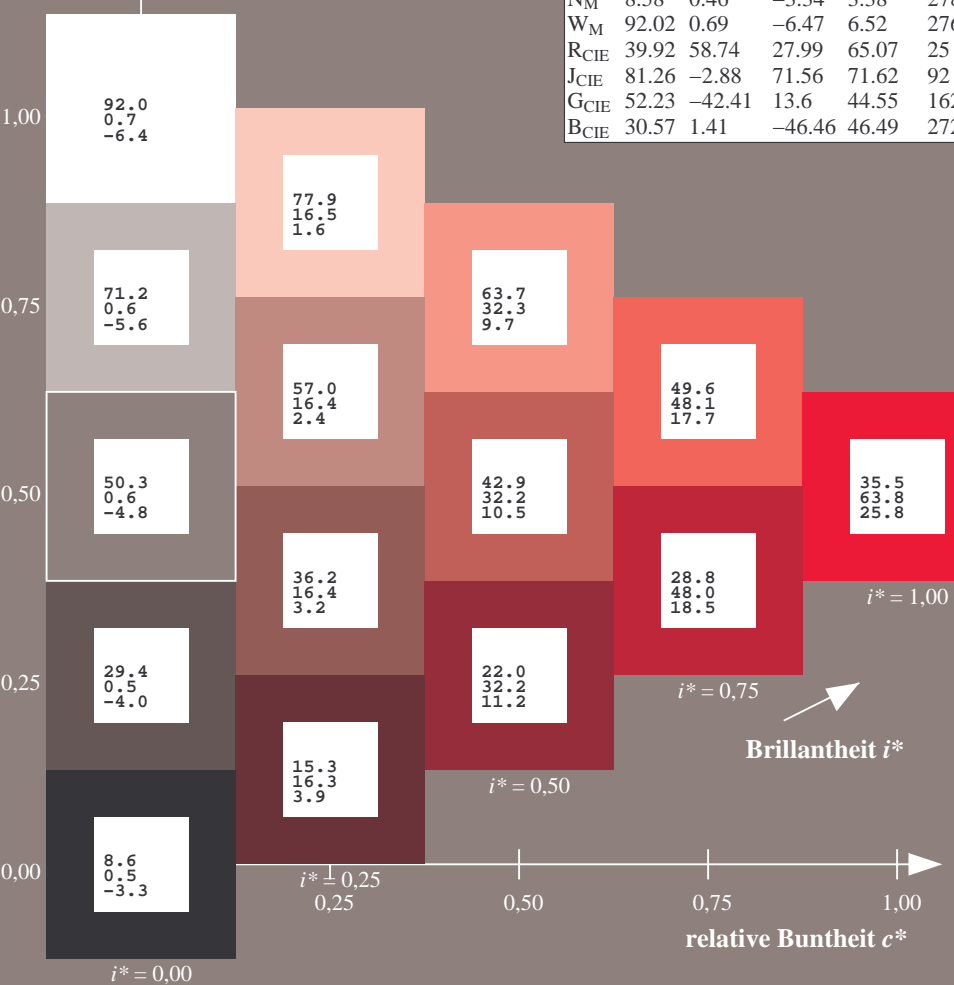
%Umfang

$u^*_{rel} = 109$

%Regularität

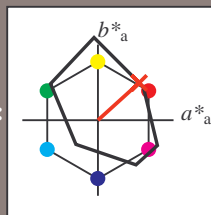
$g^*_{H,rel} = 31$

$g^*_{C,rel} = 40$





Ein und Ausgabe: Farbmetrisches Drucker-Reflektiv-System FRS09\_92aM für relativen CIELAB-Buntton  $h^* = lab^*h^* = h_{ab}/360 = 42/360 = 0.117$   $u^* = r25j$   
Daten für jede Farbe:  
 $lab^*tch^*$  und  $lab^*icu^*$   
Elementar-Bunttontext:  
 $u^* = r25j$   
Kontrastreduzierungsfaktor:  
 $c_R = 1.0$   
Dreiecks-Helligkeit  $t^*$



FRS09_92M; CIELAB-Daten					
	$L^*=L^*$	$a^*$	$b^*$	$C^*_{ab}$	$h^*_{ab}$
O <sub>M</sub>	35.06	60.53	39.66	72.37	33
Y <sub>M</sub>	83.77	-4.49	103.15	103.25	92
L <sub>M</sub>	44.13	-62.1	43.56	75.86	145
C <sub>M</sub>	52.66	-28.55	-36.98	46.73	232
V <sub>M</sub>	14.15	50.78	-62.59	80.61	309
M <sub>M</sub>	37.37	79.18	-37.92	87.8	334
N <sub>M</sub>	8.58	0.46	-3.34	3.38	278
W <sub>M</sub>	92.02	0.69	-6.47	6.52	276
R <sub>CIE</sub>	39.92	58.74	27.99	65.07	25
J <sub>CIE</sub>	81.26	-2.88	71.56	71.62	92
G <sub>CIE</sub>	52.23	-42.41	13.6	44.55	162
B <sub>CIE</sub>	30.57	1.41	-46.46	46.49	272

Daten für Maximalfarbe (Ma):

$LAB^*LAB^*_{Ma}$ : 39 55 49

$LAB^*LCH^*_{Ma}$ : 39 74 42

$lab^*rgb^*_{Ma}$ : 1.0 0.25 0.0

$lab^*olv^*_{Ma}$ : 1.0 0.08 0.0

Dreiecks-Helligkeit  $t^*$

%Umfang

$u^*_{rel} = 109$

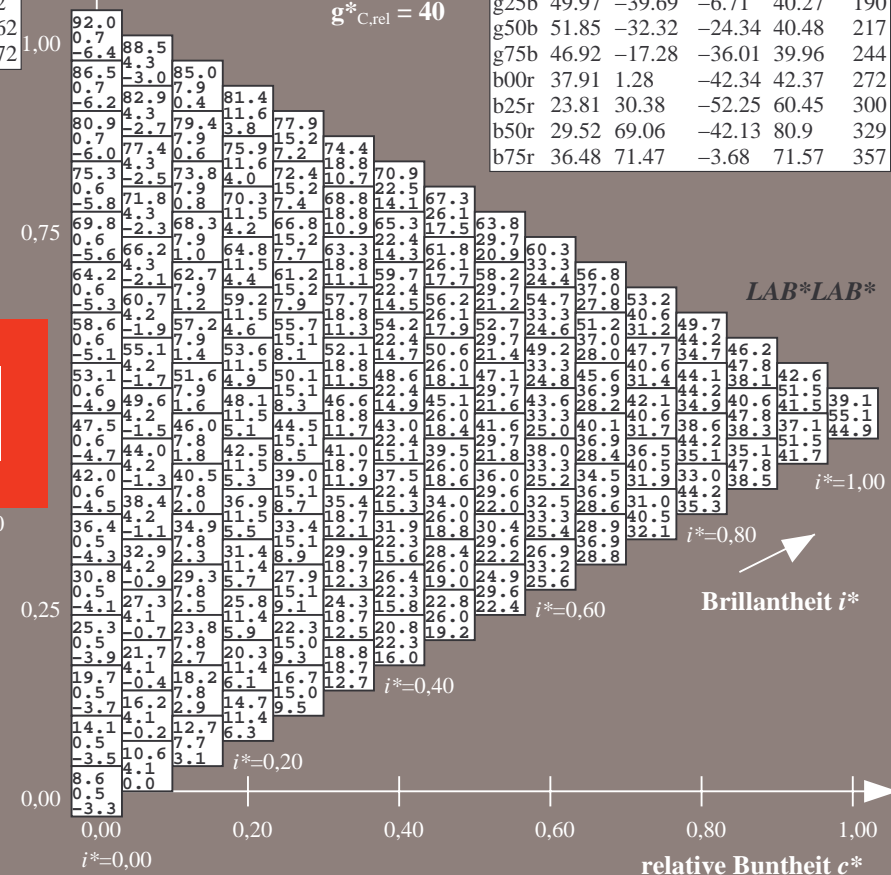
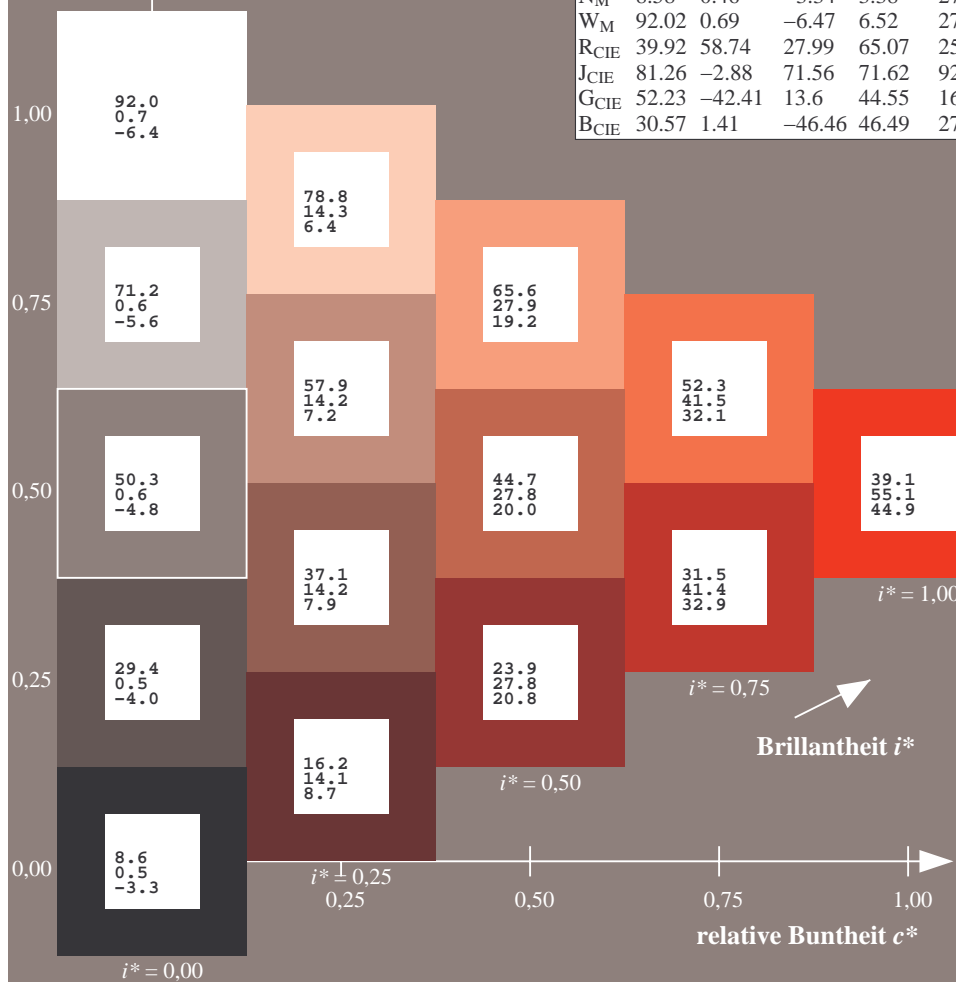
%Regularität

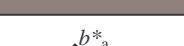
$g^*_{H,rel} = 31$

$g^*_{C,rel} = 40$

FRS09\_92aM; adaptierte CIELAB-Daten

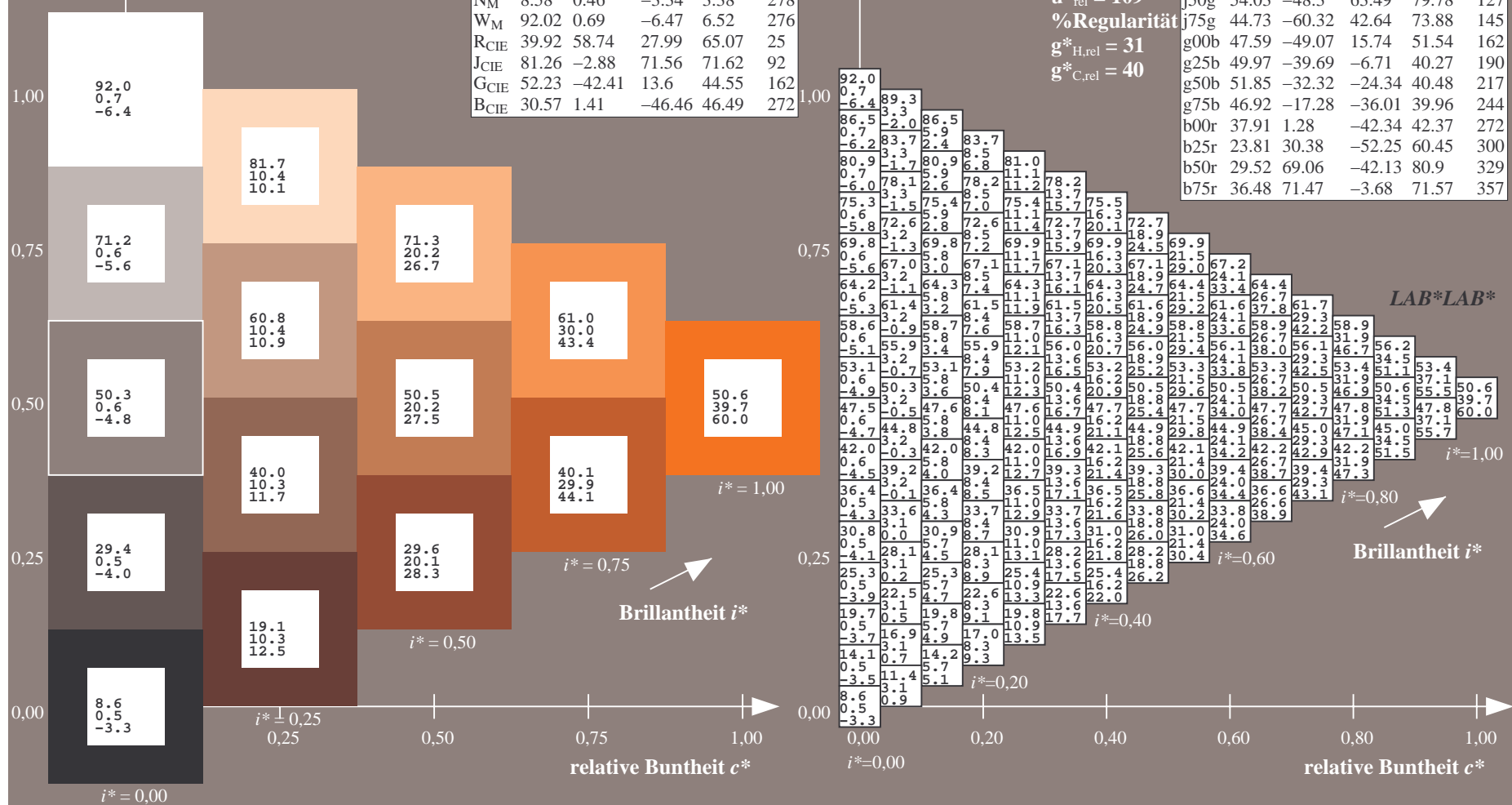
	$L^*=L^*_a$	$a^*_a$	$b^*_a$	$C^*_{ab,a}$	$h^*_{ab,a}$
r00j	35.47	63.32	30.17	70.15	25
r25j	39.12	54.56	49.45	73.64	42
r50j	50.64	39.15	64.89	75.79	59
r75j	64.01	21.26	82.83	85.52	76
j00g	83.18	-4.37	108.53	108.62	92
j25g	66.73	-29.88	83.06	88.28	110
j50g	54.03	-48.3	63.49	79.78	127
j75g	44.73	-60.32	42.64	73.88	145
g00b	47.59	-49.07	15.74	51.54	162
g25b	49.97	-39.69	-6.71	40.27	190
g50b	51.85	-32.32	-24.34	40.48	217
g75b	46.92	-17.28	-36.01	39.96	244
b00r	37.91	1.28	-42.34	42.37	272
b25r	23.81	30.38	-52.25	60.45	300
b50r	29.52	69.06	-42.13	80.9	329
b75r	36.48	71.47	-3.68	71.57	357



<p>Ein und Ausgabe: Farbmetrisches Drucker-Reflektiv-System FRS09_92aM für relativen CIELAB-Buntton <math>h^* = \text{lab}^*h^* = h_{ab}/360 = 59/360 = 0.164</math> <math>u^* = r50j</math></p> <p>Daten für jede Farbe:</p> <p><math>\text{lab}^*tch^*</math> und <math>\text{lab}^*icu^*</math></p> <p>Elementar-Bunttonstext:</p> <p><math>u^* = r50j</math></p> <p>Kontrastreduzierungsfaktor:</p> <p><math>c_R = 1.0</math></p> <p>Dreiecks-Helligkeit <math>t^*</math></p>			<p><b>FRS09_92M; CIELAB-Daten</b></p> <table border="1"> <thead> <tr> <th></th> <th><math>L^*=L^*</math></th> <th><math>a^*</math></th> <th><math>b^*</math></th> <th><math>C^*_{ab}</math></th> <th><math>h^*_{ab}</math></th> </tr> </thead> <tbody> <tr> <td><math>O_M</math></td> <td>35.06</td> <td>60.53</td> <td>39.66</td> <td>72.37</td> <td>33</td> </tr> <tr> <td><math>Y_M</math></td> <td>83.77</td> <td>-4.49</td> <td>103.15</td> <td>103.25</td> <td>92</td> </tr> <tr> <td><math>L_M</math></td> <td>44.13</td> <td>-62.1</td> <td>43.56</td> <td>75.86</td> <td>145</td> </tr> <tr> <td><math>C_M</math></td> <td>52.66</td> <td>-28.55</td> <td>-36.98</td> <td>46.73</td> <td>232</td> </tr> <tr> <td><math>V_M</math></td> <td>14.15</td> <td>50.78</td> <td>-62.59</td> <td>80.61</td> <td>309</td> </tr> </tbody> </table>		$L^*=L^*$	$a^*$	$b^*$	$C^*_{ab}$	$h^*_{ab}$	$O_M$	35.06	60.53	39.66	72.37	33	$Y_M$	83.77	-4.49	103.15	103.25	92	$L_M$	44.13	-62.1	43.56	75.86	145	$C_M$	52.66	-28.55	-36.98	46.73	232	$V_M$	14.15	50.78	-62.59	80.61	309	<p>Daten für Maximalfarbe (Ma):</p> <p><math>\text{LAB}^*\text{LAB}^*_{Ma}: 51 \ 39 \ 65</math></p> <p><math>\text{LAB}^*\text{LCH}^*_{Ma}: 51 \ 76 \ 59</math></p> <p><math>\text{lab}^*\text{rgb}^*_{Ma}: 1.0 \ 0.5 \ 0.0</math></p> <p><math>\text{lab}^*\text{olv}^*_{Ma}: 1.0 \ 0.32 \ 0.0</math></p> <p>Dreiecks-Helligkeit <math>t^*</math></p> <p>% Umfang</p>	<p><b>FRS09_92aM; adaptierte CIELAB-Daten</b></p> <table border="1"> <thead> <tr> <th></th> <th><math>L^*=L^*_a</math></th> <th><math>a^*_a</math></th> <th><math>b^*_a</math></th> <th><math>C^*_{ab,a}</math></th> <th><math>h^*_{ab,a}</math></th> </tr> </thead> <tbody> <tr> <td>r00j</td> <td>35.47</td> <td>63.32</td> <td>30.17</td> <td>70.15</td> <td>25</td> </tr> <tr> <td>r25j</td> <td>39.12</td> <td>54.56</td> <td>49.45</td> <td>73.64</td> <td>42</td> </tr> <tr> <td>r50j</td> <td>50.64</td> <td>39.15</td> <td>64.89</td> <td>75.79</td> <td>59</td> </tr> <tr> <td>r75j</td> <td>64.01</td> <td>21.26</td> <td>82.83</td> <td>85.52</td> <td>76</td> </tr> <tr> <td>j00g</td> <td>83.18</td> <td>-4.37</td> <td>108.53</td> <td>108.62</td> <td>92</td> </tr> </tbody> </table>		$L^*=L^*_a$	$a^*_a$	$b^*_a$	$C^*_{ab,a}$	$h^*_{ab,a}$	r00j	35.47	63.32	30.17	70.15	25	r25j	39.12	54.56	49.45	73.64	42	r50j	50.64	39.15	64.89	75.79	59	r75j	64.01	21.26	82.83	85.52	76	j00g	83.18	-4.37	108.53	108.62	92
	$L^*=L^*$	$a^*$	$b^*$	$C^*_{ab}$	$h^*_{ab}$																																																																								
$O_M$	35.06	60.53	39.66	72.37	33																																																																								
$Y_M$	83.77	-4.49	103.15	103.25	92																																																																								
$L_M$	44.13	-62.1	43.56	75.86	145																																																																								
$C_M$	52.66	-28.55	-36.98	46.73	232																																																																								
$V_M$	14.15	50.78	-62.59	80.61	309																																																																								
	$L^*=L^*_a$	$a^*_a$	$b^*_a$	$C^*_{ab,a}$	$h^*_{ab,a}$																																																																								
r00j	35.47	63.32	30.17	70.15	25																																																																								
r25j	39.12	54.56	49.45	73.64	42																																																																								
r50j	50.64	39.15	64.89	75.79	59																																																																								
r75j	64.01	21.26	82.83	85.52	76																																																																								
j00g	83.18	-4.37	108.53	108.62	92																																																																								

	$L^*$	$a^*$	$b^*$	$C^*_{ab}$	$h^*_{ab}$
$O_M$	35.06	60.53	39.66	72.37	33
$Y_M$	83.77	-4.49	103.15	103.25	92
$L_M$	44.13	-62.1	43.56	75.86	143
$C_M$	52.66	-28.55	-36.98	46.73	232
$V_M$	14.15	50.78	-62.59	80.61	309
$M_M$	37.37	79.18	-37.92	87.8	334
$N_M$	8.58	0.46	-3.34	3.38	278
$W_M$	92.02	0.69	-6.47	6.52	276
$R_{CIE}$	39.92	58.74	27.99	65.07	25
$J_{CIE}$	81.26	-2.88	71.56	71.62	92
$G_{CIE}$	52.23	-42.41	13.6	44.55	162
$B_{CIE}$	30.57	1.41	-46.46	46.49	272

FRS09_92aM; adaptierte CIELAB-Daten						
	$L^*_a$	$a^*_a$	$b^*_a$	$C^*_{ab,a}$	$h^*_{ab,a}$	
r00j	35.47	63.32	30.17	70.15		25
r25j	39.12	54.56	49.45	73.64		42
r50j	50.64	39.15	64.89	75.79		59
r75j	64.01	21.26	82.83	85.52		76
j00g	83.18	-4.37	108.53	108.62		92
j25g	66.73	-29.88	83.06	88.28		110
j50g	54.03	-48.3	63.49	79.78		127
j75g	44.73	-60.32	42.64	73.88		145
g00b	47.59	-49.07	15.74	51.54		162
g25b	49.97	-39.69	-6.71	40.27		190
g50b	51.85	-32.32	-24.34	40.48		217
g75b	46.92	-17.28	-36.01	39.96		244
b00r	37.91	1.28	-42.34	42.37		272
b25r	23.81	30.38	-52.25	60.45		300
b50r	29.52	69.06	-42.13	80.9		329
b75r	36.48	71.47	-3.68	71.57		357



Ein und Ausgabe: Farbmetrisches Drucker-Reflektiv-System FRS09\_92aM für relativen CIELAB-Buntton  $h^* = lab^*h^* = h_{ab}/360 = 76/360 = 0.21$   $u^* = r75j$

Daten für jede Farbe:

$lab^*ch^*$  und  $lab^*icu^*$

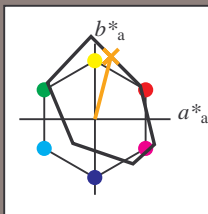
Elementar-Bunttontext:

$u^* = r75j$

Kontrastreduzierungsfaktor:

$c_R = 1.0$

Dreiecks-Helligkeit  $i^*$



FRS09_92M; CIELAB-Daten					
	$L^*=L^*$	$a^*$	$b^*$	$C^*_{ab}$	$h^*_{ab}$
O <sub>M</sub>	35.06	60.53	39.66	72.37	33
Y <sub>M</sub>	83.77	-4.49	103.15	103.25	92
L <sub>M</sub>	44.13	-62.1	43.56	75.86	145
C <sub>M</sub>	52.66	-28.55	-36.98	46.73	232
V <sub>M</sub>	14.15	50.78	-62.59	80.61	309
M <sub>M</sub>	37.37	79.18	-37.92	87.8	334
N <sub>M</sub>	8.58	0.46	-3.34	3.38	278
W <sub>M</sub>	92.02	0.69	-6.47	6.52	276
R <sub>CIE</sub>	39.92	58.74	27.99	65.07	25
J <sub>CIE</sub>	81.26	-2.88	71.56	71.62	92
G <sub>CIE</sub>	52.23	-42.41	13.6	44.55	162
B <sub>CIE</sub>	30.57	1.41	-46.46	46.49	272

Daten für Maximalfarbe (Ma):

$LAB^*LAB^*_{Ma}$ : 64 21 83

$LAB^*LCH^*_{Ma}$ : 64 86 76

$lab^*rgb^*_{Ma}$ : 1.0 0.75 0.0

$lab^*olv^*_{Ma}$ : 1.0 0.59 0.0

Dreiecks-Helligkeit  $i^*$

%Umfang

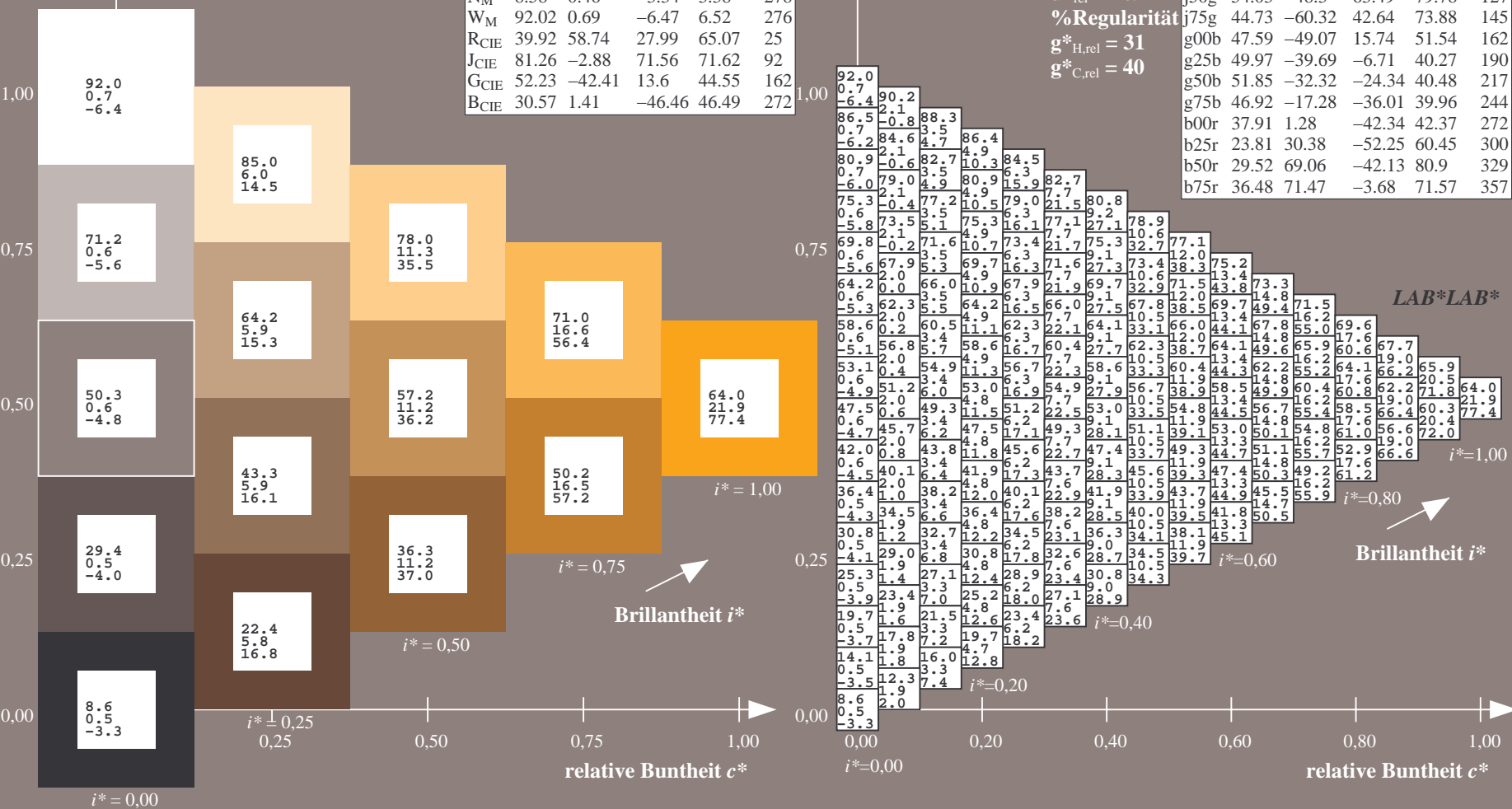
$u^*_{rel} = 109$

%Regularität

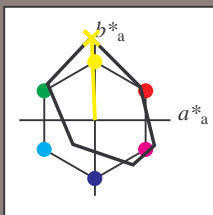
$g^*_{H,rel} = 31$

$g^*_{C,rel} = 40$

FRS09_92aM; adaptierte CIELAB-Daten					
	$L^*=L^*_a$	$a^*_a$	$b^*_a$	$C^*_{ab,a}$	$h^*_{ab,a}$
r00j	35.47	63.32	30.17	70.15	25
r25j	39.12	54.56	49.45	73.64	42
r50j	50.64	39.15	64.89	75.79	59
r75j	64.01	21.26	82.83	85.52	76
j00g	83.18	-4.37	108.53	108.62	92
j25g	66.73	-29.88	83.06	88.28	110
j50g	54.03	-48.3	63.49	79.78	127
j75g	44.73	-60.32	42.64	73.88	145
g00b	47.59	-49.07	15.74	51.54	162
g25b	49.97	-39.69	-6.71	40.27	190
g50b	51.85	-32.32	-24.34	40.48	217
g75b	46.92	-17.28	-36.01	39.96	244
b00r	37.91	1.28	-42.34	42.37	272
b25r	23.81	30.38	-52.25	60.45	300
b50r	29.52	69.06	-42.13	80.9	329
b75r	36.48	71.47	-3.68	71.57	357



Ein und Ausgabe: Farbmetrisches Drucker-Reflektiv-System FRS09\_92aM für relativen CIELAB-Buntton  $h^* = lab^*h^* = h_{ab}/360 = 92/360 = 0.256$   $u^* = j00g$   
Daten für jede Farbe:  
 $lab^*ch^*$  und  $lab^*icu^*$   
Elementar-Bunttontext:  
 $u^* = j00g$   
Kontrastreduzierungsfaktor:  
 $c_R = 1.0$   
Dreiecks-Helligkeit  $i^*$



FRS09_92M; CIELAB-Daten					
	$L^*=L^*$	$a^*$	$b^*$	$C^*_{ab}$	$h^*_{ab}$
O <sub>M</sub>	35.06	60.53	39.66	72.37	33
Y <sub>M</sub>	83.77	-4.49	103.15	103.25	92
L <sub>M</sub>	44.13	-62.1	43.56	75.86	145
C <sub>M</sub>	52.66	-28.55	-36.98	46.73	232
V <sub>M</sub>	14.15	50.78	-62.59	80.61	309
M <sub>M</sub>	37.37	79.18	-37.92	87.8	334
N <sub>M</sub>	8.58	0.46	-3.34	3.38	278
W <sub>M</sub>	92.02	0.69	-6.47	6.52	276
R <sub>CIE</sub>	39.92	58.74	27.99	65.07	25
J <sub>CIE</sub>	81.26	-2.88	71.56	71.62	92
G <sub>CIE</sub>	52.23	-42.41	13.6	44.55	162
B <sub>CIE</sub>	30.57	1.41	-46.46	46.49	272

Daten für Maximalfarbe (Ma):

$LAB^*LAB^*_{Ma}$ : 83 -3 109

$LAB^*LCH^*_{Ma}$ : 83 109 92

$lab^*rgb^*_{Ma}$ : 1.0 1.0 0.0

$lab^*olv^*_{Ma}$ : 1.0 0.99 0.0

Dreiecks-Helligkeit  $i^*$

%Umfang

$u^*_{rel} = 109$

%Regularität

$g^*_{H,rel} = 31$

$g^*_{C,rel} = 40$

FRS09\_92aM; adaptierte CIELAB-Daten

	$L^*=L^*_a$	$a^*_a$	$b^*_a$	$C^*_{ab,a}$	$h^*_{ab,a}$
r00j	35.47	63.32	30.17	70.15	25
r25j	39.12	54.56	49.45	73.64	42
r50j	50.64	39.15	64.89	75.79	59
r75j	64.01	21.26	82.83	85.52	76
j00g	83.18	-4.37	108.53	108.62	92
j25g	66.73	-29.88	83.06	88.28	110
j50g	54.03	-48.3	63.49	79.78	127
j75g	44.73	-60.32	42.64	73.88	145
g00b	47.59	-49.07	15.74	51.54	162
g25b	49.97	-39.69	-6.71	40.27	190
g50b	51.85	-32.32	-24.34	40.48	217
g75b	46.92	-17.28	-36.01	39.96	244
b00r	37.91	1.28	-42.34	42.37	272
b25r	23.81	30.38	-52.25	60.45	300
b50r	29.52	69.06	-42.13	80.9	329
b75r	36.48	71.47	-3.68	71.57	357



100

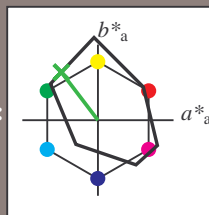


b75r	36.48	71.47	-3.68	71.57	357
------	-------	-------	-------	-------	-----





Ein und Ausgabe: Farbmetrisches Drucker-Reflektiv-System FRS09\_92aM für relativen CIELAB-Buntton  $h^* = lab^*h^* = h_{ab}/360 = 127/360 = 0.354$   $u^* = j50g$   
Daten für jede Farbe:  
 $lab^*ch^*$  und  $lab^*icu^*$   
Elementar-Bunttontext:  
 $u^* = j50g$   
Kontrastreduzierungsfaktor:  
 $c_R = 1.0$   
Dreiecks-Helligkeit  $i^*$



FRS09_92M; CIELAB-Daten					
	$L^*=L^*$	$a^*$	$b^*$	$C^*_{ab}$	$h^*_{ab}$
O <sub>M</sub>	35.06	60.53	39.66	72.37	33
Y <sub>M</sub>	83.77	-4.49	103.15	103.25	92
L <sub>M</sub>	44.13	-62.1	43.56	75.86	145
C <sub>M</sub>	52.66	-28.55	-36.98	46.73	232
V <sub>M</sub>	14.15	50.78	-62.59	80.61	309
M <sub>M</sub>	37.37	79.18	-37.92	87.8	334
N <sub>M</sub>	8.58	0.46	-3.34	3.38	278
W <sub>M</sub>	92.02	0.69	-6.47	6.52	276
R <sub>CIE</sub>	39.92	58.74	27.99	65.07	25
J <sub>CIE</sub>	81.26	-2.88	71.56	71.62	92
G <sub>CIE</sub>	52.23	-42.41	13.6	44.55	162
B <sub>CIE</sub>	30.57	1.41	-46.46	46.49	272

Daten für Maximalfarbe (Ma):

$LAB^*LAB^*_{Ma}$ : 54 -47 63

$LAB^*LCH^*_{Ma}$ : 54 80 127

$lab^*rgb^*_{Ma}$ : 0.5 1.0 0.0

$lab^*olv^*_{Ma}$ : 0.25 1.0 0.0

Dreiecks-Helligkeit  $i^*$

%Umfang

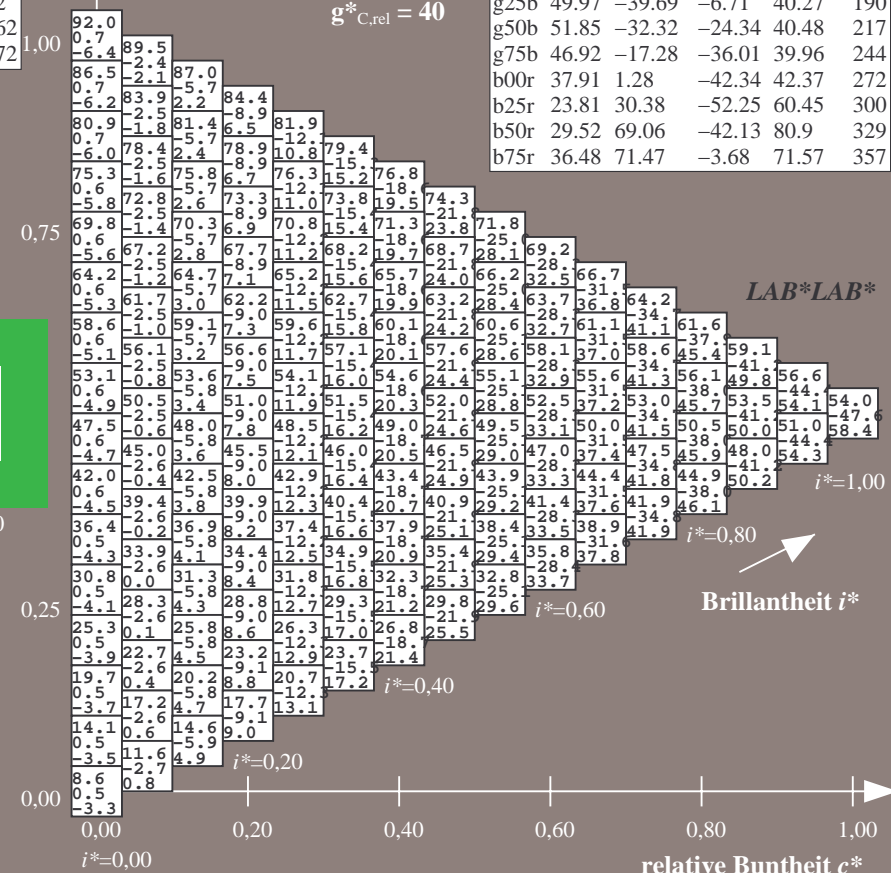
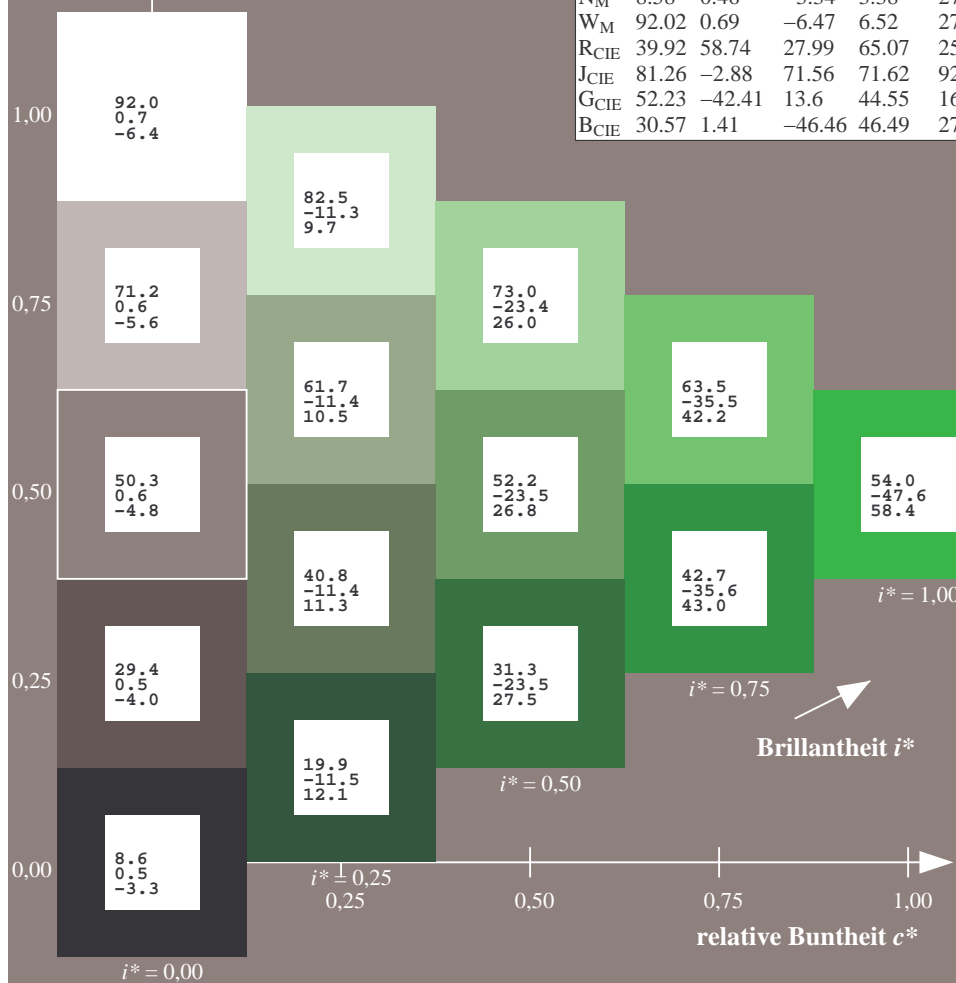
$u^*_{rel} = 109$

%Regularität

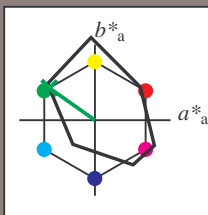
$g^*_{H,rel} = 31$

$g^*_{C,rel} = 40$

FRS09_92aM; adaptierte CIELAB-Daten					
	$L^*=L^*_a$	$a^*_a$	$b^*_a$	$C^*_{ab,a}$	$h^*_{ab,a}$
r00j	35.47	63.32	30.17	70.15	25
r25j	39.12	54.56	49.45	73.64	42
r50j	50.64	39.15	64.89	75.79	59
r75j	64.01	21.26	82.83	85.52	76
j00g	83.18	-4.37	108.53	108.62	92
j25g	66.73	-29.88	83.06	88.28	110
j50g	54.03	-48.3	63.49	79.78	127
j75g	44.73	-60.32	42.64	73.88	145
g00b	47.59	-49.07	15.74	51.54	162
g25b	49.97	-39.69	-6.71	40.27	190
g50b	51.85	-32.32	-24.34	40.48	217
g75b	46.92	-17.28	-36.01	39.96	244
b00r	37.91	1.28	-42.34	42.37	272
b25r	23.81	30.38	-52.25	60.45	300
b50r	29.52	69.06	-42.13	80.9	329
b75r	36.48	71.47	-3.68	71.57	357



Ein und Ausgabe: Farbmetrisches Drucker-Reflektiv-System FRS09\_92aM für relativen CIELAB-Buntton  $h^* = lab^*h^* = h_{ab}/360 = 145/360 = 0.402$   $u^* = j75g$   
Daten für jede Farbe:  
 $lab^*tch^*$  und  $lab^*icu^*$   
Elementar-Bunttontext:  
 $u^* = j75g$   
Kontrastreduzierungsfaktor:  
 $c_R = 1.0$   
Dreiecks-Helligkeit  $i^*$



FRS09_92M; CIELAB-Daten					
	$L^*=L^*$	$a^*$	$b^*$	$C^*_{ab}$	$h^*_{ab}$
O <sub>M</sub>	35.06	60.53	39.66	72.37	33
Y <sub>M</sub>	83.77	-4.49	103.15	103.25	92
L <sub>M</sub>	44.13	-62.1	43.56	75.86	145
C <sub>M</sub>	52.66	-28.55	-36.98	46.73	232
V <sub>M</sub>	14.15	50.78	-62.59	80.61	309
M <sub>M</sub>	37.37	79.18	-37.92	87.8	334
N <sub>M</sub>	8.58	0.46	-3.34	3.38	278
W <sub>M</sub>	92.02	0.69	-6.47	6.52	276
R <sub>CIE</sub>	39.92	58.74	27.99	65.07	25
J <sub>CIE</sub>	81.26	-2.88	71.56	71.62	92
G <sub>CIE</sub>	52.23	-42.41	13.6	44.55	162
B <sub>CIE</sub>	30.57	1.41	-46.46	46.49	272

Daten für Maximalfarbe (Ma):

$LAB^*LAB^*_{Ma}$ : 45 -59 43

$LAB^*LCH^*_{Ma}$ : 45 74 145

$lab^*rgb^*_{Ma}$ : 0.25 1.0 0.0

$lab^*olv^*_{Ma}$ : 0.0 1.0 0.07

Dreiecks-Helligkeit  $i^*$

%Umfang

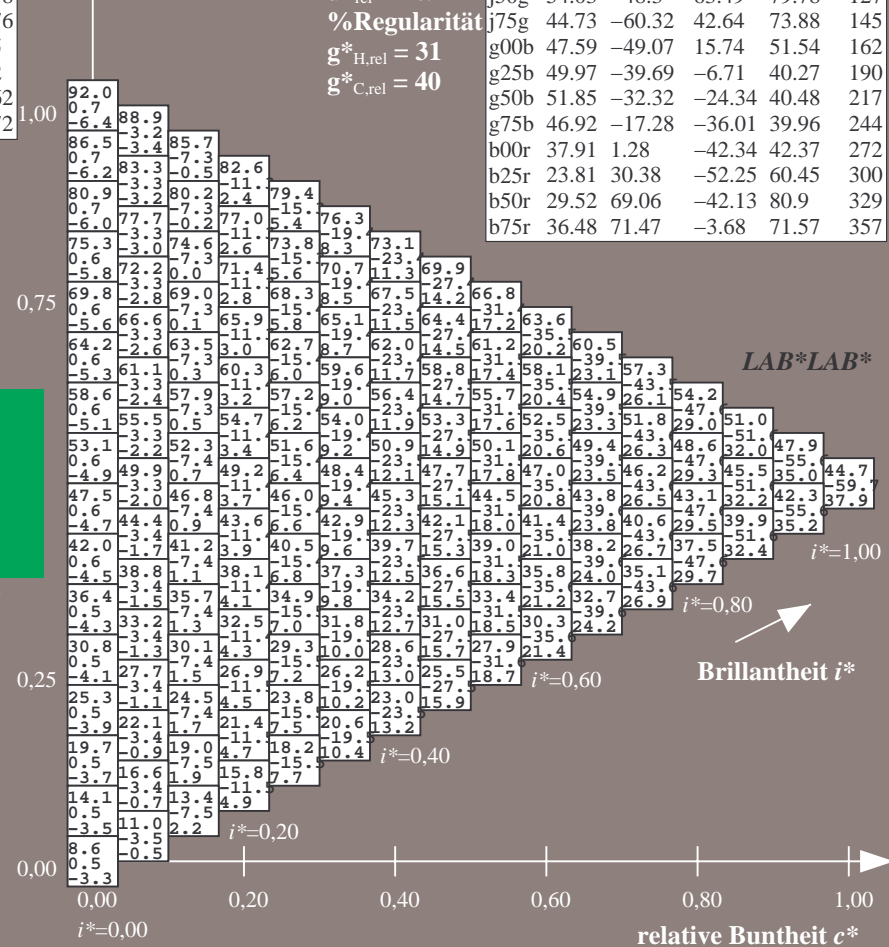
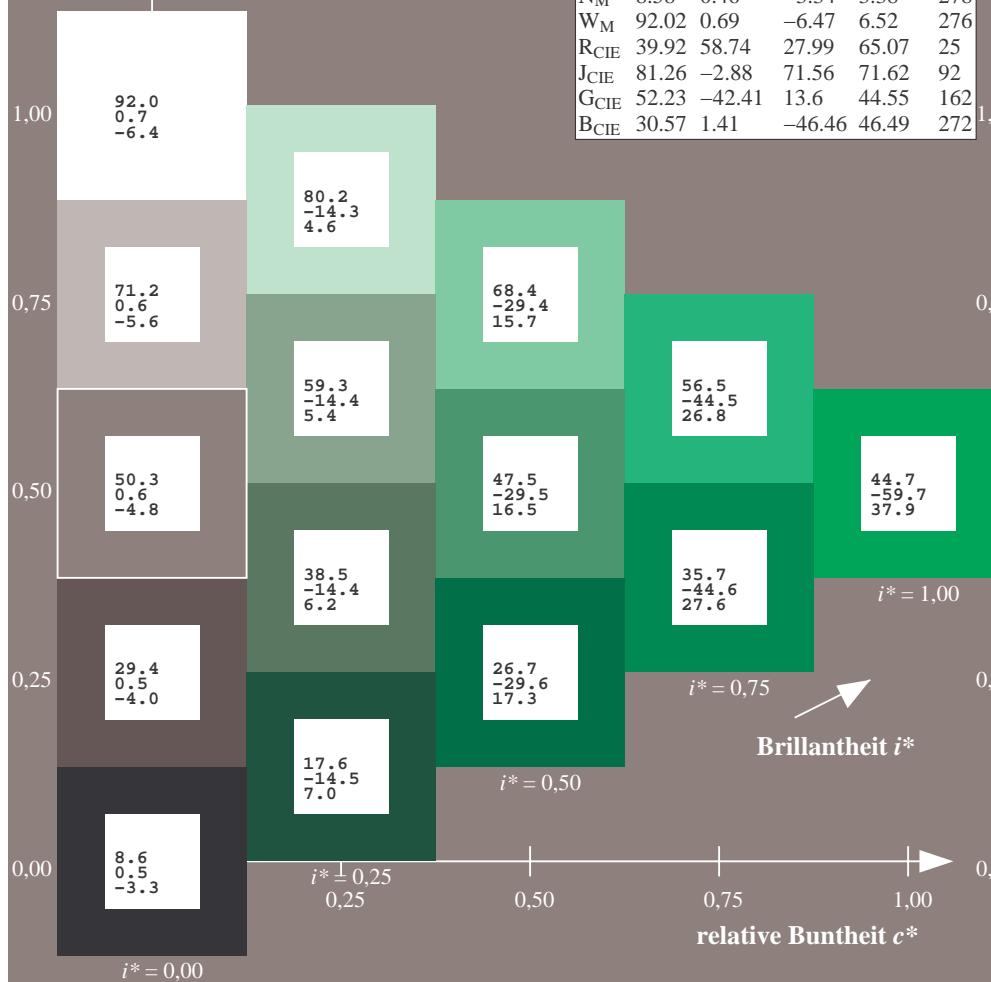
$u^*_{rel} = 109$

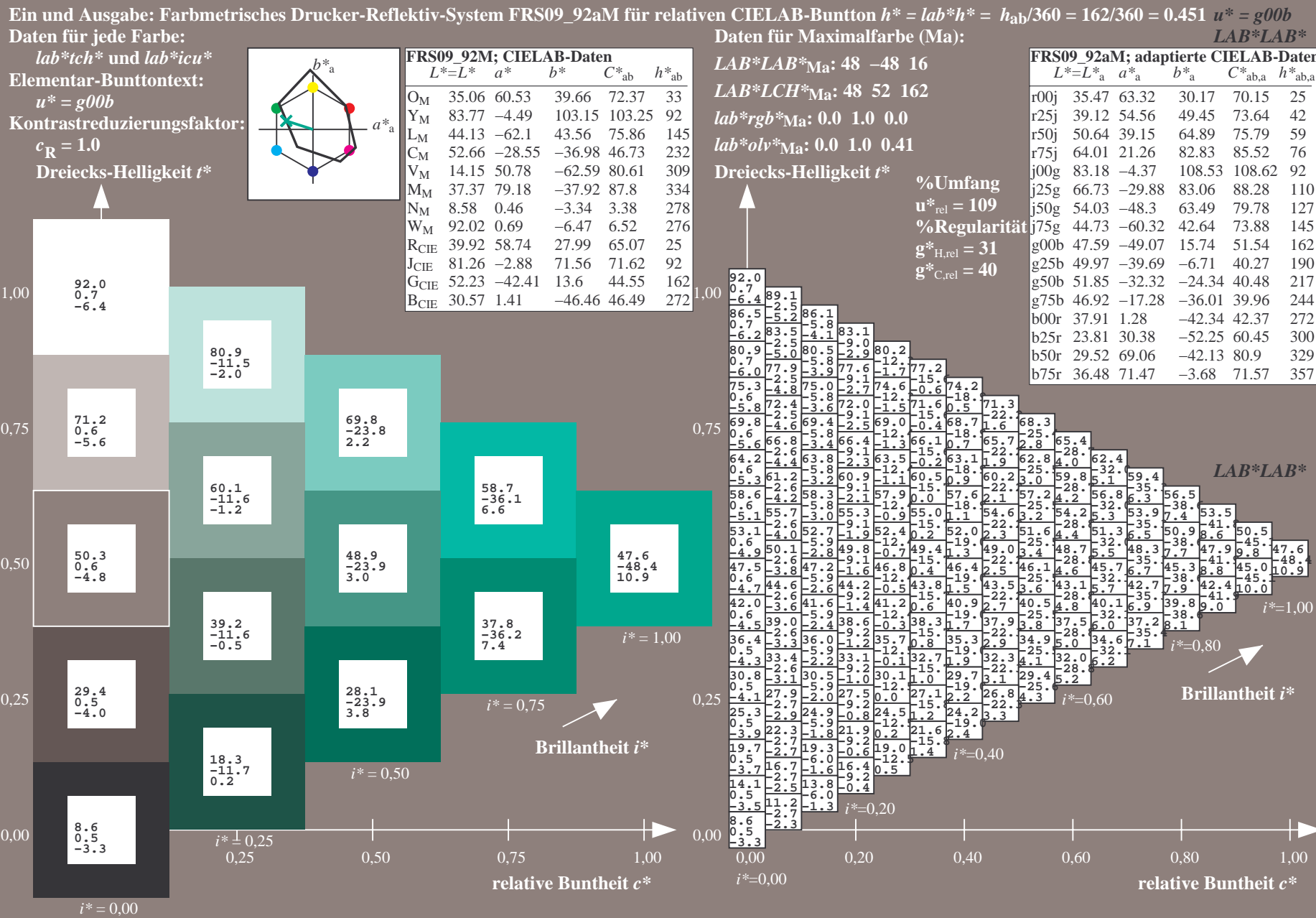
%Regularität

$g^*_{H,rel} = 31$

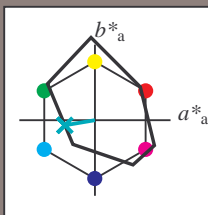
$g^*_{C,rel} = 40$

FRS09_92aM; adaptierte CIELAB-Daten					
	$L^*=L^*_a$	$a^*_a$	$b^*_a$	$C^*_{ab,a}$	$h^*_{ab,a}$
r00j	35.47	63.32	30.17	70.15	25
r25j	39.12	54.56	49.45	73.64	42
r50j	50.64	39.15	64.89	75.79	59
r75j	64.01	21.26	82.83	85.52	76
j00g	83.18	-4.37	108.53	108.62	92
j25g	66.73	-29.88	83.06	88.28	110
j50g	54.03	-48.3	63.49	79.78	127
j75g	44.73	-60.32	42.64	73.88	145
g00b	47.59	-49.07	15.74	51.54	162
g25b	49.97	-39.69	-6.71	40.27	190
g50b	51.85	-32.32	-24.34	40.48	217
g75b	46.92	-17.28	-36.01	39.96	244
b00r	37.91	1.28	-42.34	42.37	272
b25r	23.81	30.38	-52.25	60.45	300
b50r	29.52	69.06	-42.13	80.9	329
b75r	36.48	71.47	-3.68	71.57	357





Ein und Ausgabe: Farbmetrisches Drucker-Reflektiv-System FRS09\_92aM für relativen CIELAB-Buntton  $h^* = lab^*h^* = h_{ab}/360 = 190/360 = 0.527$   $u^* = g25b$   
Daten für jede Farbe:  
 $lab^*tch^*$  und  $lab^*icu^*$   
Elementar-Bunttontext:  
 $u^* = g25b$   
Kontrastreduzierungsfaktor:  
 $c_R = 1.0$   
Dreiecks-Helligkeit  $t^*$



FRS09_92M; CIELAB-Daten					
	$L^*=L^*$	$a^*$	$b^*$	$C^*_{ab}$	$h^*_{ab}$
O <sub>M</sub>	35.06	60.53	39.66	72.37	33
Y <sub>M</sub>	83.77	-4.49	103.15	103.25	92
L <sub>M</sub>	44.13	-62.1	43.56	75.86	145
C <sub>M</sub>	52.66	-28.55	-36.98	46.73	232
V <sub>M</sub>	14.15	50.78	-62.59	80.61	309
M <sub>M</sub>	37.37	79.18	-37.92	87.8	334
N <sub>M</sub>	8.58	0.46	-3.34	3.38	278
W <sub>M</sub>	92.02	0.69	-6.47	6.52	276
R <sub>CIE</sub>	39.92	58.74	27.99	65.07	25
J <sub>CIE</sub>	81.26	-2.88	71.56	71.62	92
G <sub>CIE</sub>	52.23	-42.41	13.6	44.55	162
B <sub>CIE</sub>	30.57	1.41	-46.46	46.49	272

Daten für Maximalfarbe (Ma):

$LAB^*LAB^*_{Ma}$ : 50 -39 -6

$LAB^*LCH^*_{Ma}$ : 50 40 190

$lab^*rgb^*_{Ma}$ : 0.0 1.0 0.5

$lab^*olv^*_{Ma}$ : 0.0 1.0 0.69

Dreiecks-Helligkeit  $t^*$

%Umfang

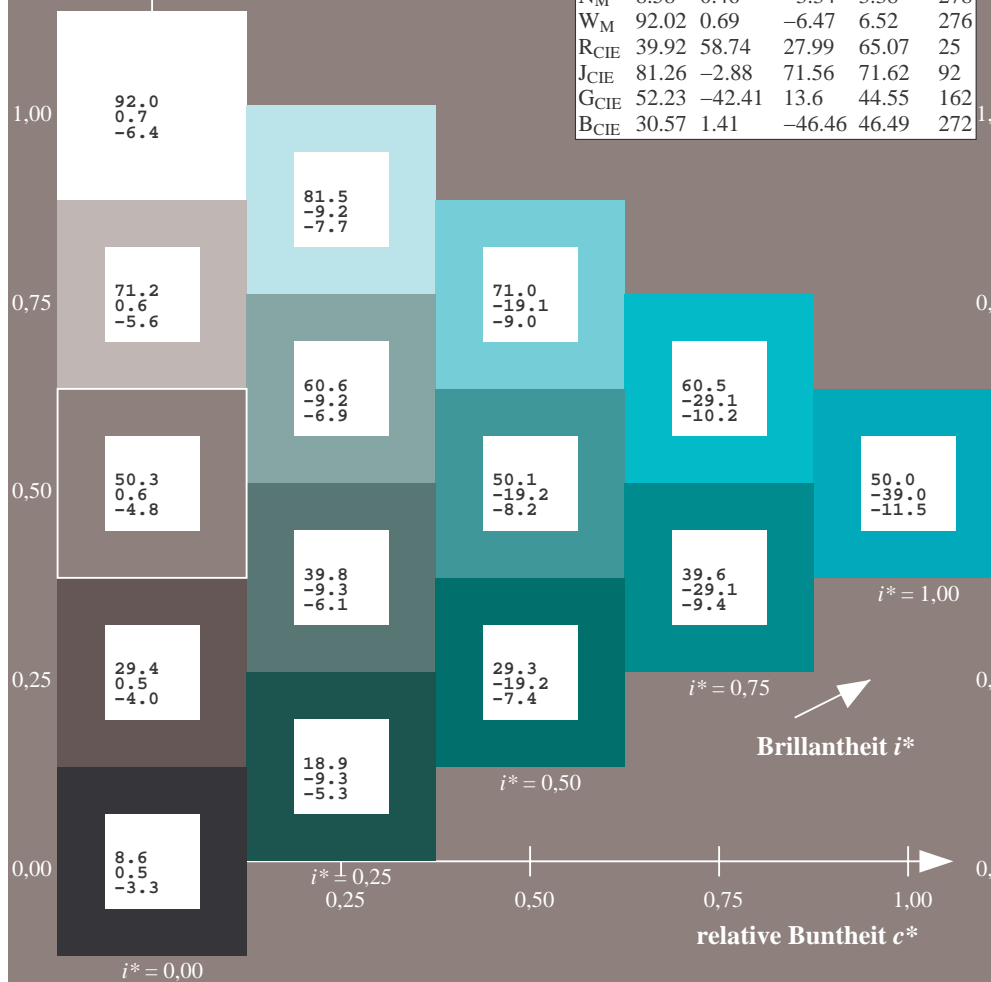
$u^*_{rel} = 109$

%Regularität

$g^*_{H,rel} = 31$

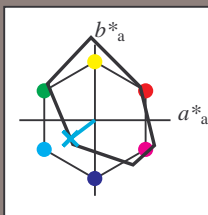
$g^*_{C,rel} = 40$

FRS09_92aM; adaptierte CIELAB-Daten					
	$L^*=L^*_a$	$a^*_a$	$b^*_a$	$C^*_{ab,a}$	$h^*_{ab,a}$
r00j	35.47	63.32	30.17	70.15	25
r25j	39.12	54.56	49.45	73.64	42
r50j	50.64	39.15	64.89	75.79	59
r75j	64.01	21.26	82.83	85.52	76
j00g	83.18	-4.37	108.53	108.62	92
j25g	66.73	-29.88	83.06	88.28	110
j50g	54.03	-48.3	63.49	79.78	127
j75g	44.73	-60.32	42.64	73.88	145
g00b	47.59	-49.07	15.74	51.54	162
g25b	49.97	-39.69	-6.71	40.27	190
g50b	51.85	-32.32	-24.34	40.48	217
g75b	46.92	-17.28	-36.01	39.96	244
b00r	37.91	1.28	-42.34	42.37	272
b25r	23.81	30.38	-52.25	60.45	300
b50r	29.52	69.06	-42.13	80.9	329
b75r	36.48	71.47	-3.68	71.57	357





Ein und Ausgabe: Farbmetrisches Drucker-Reflektiv-System FRS09\_92aM für relativen CIELAB-Buntton  $h^* = lab^*h^* = h_{ab}/360 = 217/360 = 0.603$   $u^* = g50b$   
Daten für jede Farbe:  
 $lab^*ch^*$  und  $lab^*icu^*$   
Elementar-Bunttontext:  
 $u^* = g50b$   
Kontrastreduzierungsfaktor:  
 $c_R = 1.0$   
Dreiecks-Helligkeit  $i^*$



FRS09_92M; CIELAB-Daten					
	$L^*=L^*$	$a^*$	$b^*$	$C^*_{ab}$	$h^*_{ab}$
O <sub>M</sub>	35.06	60.53	39.66	72.37	33
Y <sub>M</sub>	83.77	-4.49	103.15	103.25	92
L <sub>M</sub>	44.13	-62.1	43.56	75.86	145
C <sub>M</sub>	52.66	-28.55	-36.98	46.73	232
V <sub>M</sub>	14.15	50.78	-62.59	80.61	309
M <sub>M</sub>	37.37	79.18	-37.92	87.8	334
N <sub>M</sub>	8.58	0.46	-3.34	3.38	278
W <sub>M</sub>	92.02	0.69	-6.47	6.52	276
R <sub>CIE</sub>	39.92	58.74	27.99	65.07	25
J <sub>CIE</sub>	81.26	-2.88	71.56	71.62	92
G <sub>CIE</sub>	52.23	-42.41	13.6	44.55	162
B <sub>CIE</sub>	30.57	1.41	-46.46	46.49	272

Daten für Maximalfarbe (Ma):

$LAB^*LAB^*_{Ma}$ : 52 -31 -23

$LAB^*LCH^*_{Ma}$ : 52 40 217

$lab^*rgb^*_{Ma}$ : 0.0 1.0 1.0

$lab^*olv^*_{Ma}$ : 0.0 1.0 0.9

Dreiecks-Helligkeit  $i^*$

%Umfang

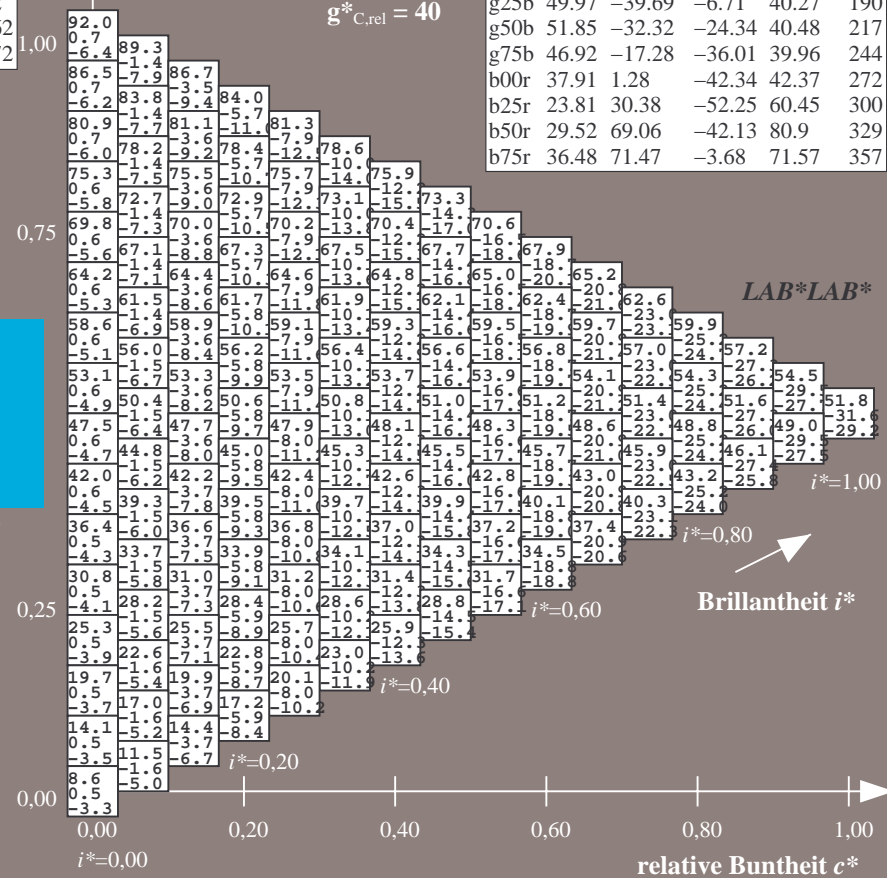
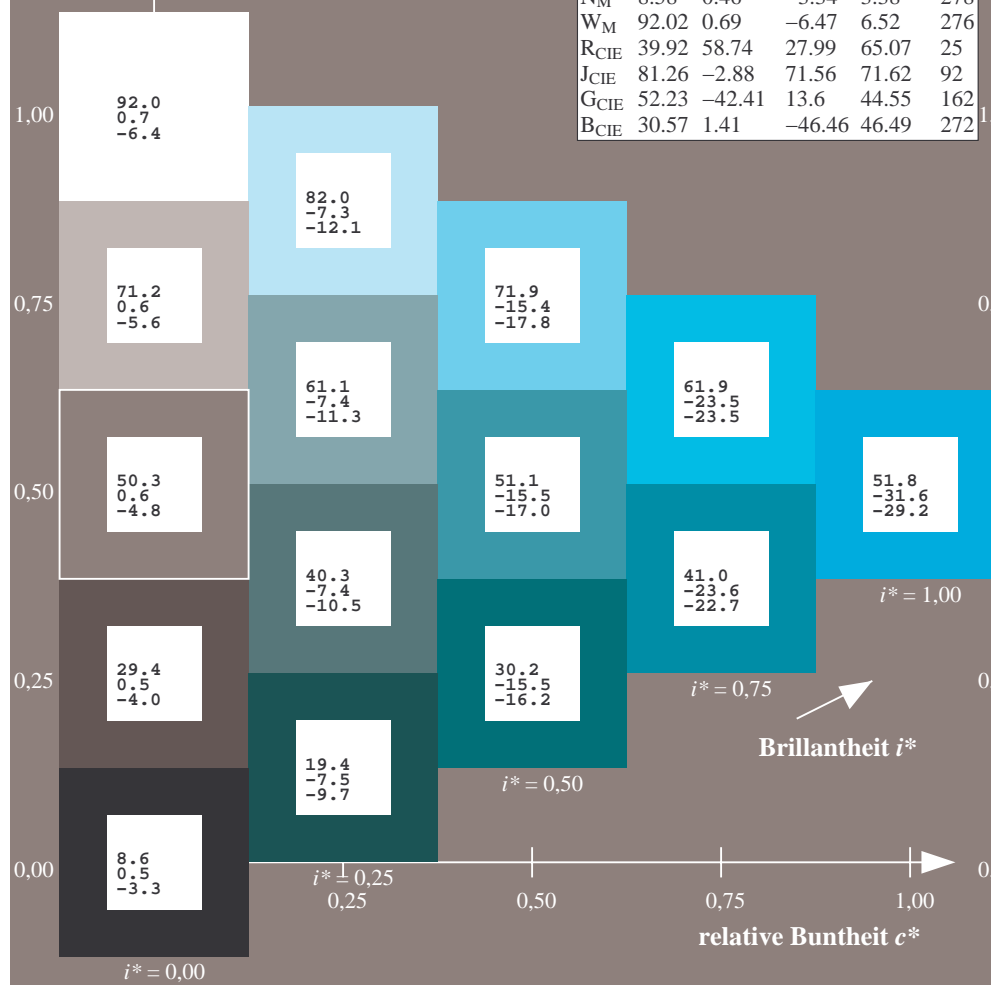
$u^*_{rel} = 109$

%Regularität

$g^*_{H,rel} = 31$

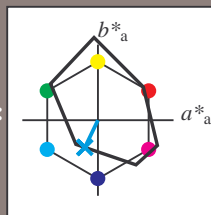
$g^*_{C,rel} = 40$

FRS09_92aM; adaptierte CIELAB-Daten					
	$L^*=L^*_a$	$a^*_a$	$b^*_a$	$C^*_{ab,a}$	$h^*_{ab,a}$
r00j	35.47	63.32	30.17	70.15	25
r25j	39.12	54.56	49.45	73.64	42
r50j	50.64	39.15	64.89	75.79	59
r75j	64.01	21.26	82.83	85.52	76
j00g	83.18	-4.37	108.53	108.62	92
j25g	66.73	-29.88	83.06	88.28	110
j50g	54.03	-48.3	63.49	79.78	127
j75g	44.73	-60.32	42.64	73.88	145
g00b	47.59	-49.07	15.74	51.54	162
g25b	49.97	-39.69	-6.71	40.27	190
g50b	51.85	-32.32	-24.34	40.48	217
g75b	46.92	-17.28	-36.01	39.96	244
b00r	37.91	1.28	-42.34	42.37	272
b25r	23.81	30.38	-52.25	60.45	300
b50r	29.52	69.06	-42.13	80.9	329
b75r	36.48	71.47	-3.68	71.57	357





Ein und Ausgabe: Farbmetrisches Drucker-Reflektiv-System FRS09\_92aM für relativen CIELAB-Buntton  $h^* = lab^*h^* = h_{ab}/360 = 244/360 = 0.679$   $u^* = g75b$   
Daten für jede Farbe:  
 $lab^*ch^*$  und  $lab^*icu^*$   
Elementar-Bunttontext:  
 $u^* = g75b$   
Kontrastreduzierungsfaktor:  
 $c_R = 1.0$   
Dreiecks-Helligkeit  $i^*$



FRS09_92M; CIELAB-Daten					
	$L^*=L^*$	$a^*$	$b^*$	$C^*_{ab}$	$h^*_{ab}$
O <sub>M</sub>	35.06	60.53	39.66	72.37	33
Y <sub>M</sub>	83.77	-4.49	103.15	103.25	92
L <sub>M</sub>	44.13	-62.1	43.56	75.86	145
C <sub>M</sub>	52.66	-28.55	-36.98	46.73	232
V <sub>M</sub>	14.15	50.78	-62.59	80.61	309
M <sub>M</sub>	37.37	79.18	-37.92	87.8	334
N <sub>M</sub>	8.58	0.46	-3.34	3.38	278
W <sub>M</sub>	92.02	0.69	-6.47	6.52	276
R <sub>CIE</sub>	39.92	58.74	27.99	65.07	25
J <sub>CIE</sub>	81.26	-2.88	71.56	71.62	92
G <sub>CIE</sub>	52.23	-42.41	13.6	44.55	162
B <sub>CIE</sub>	30.57	1.41	-46.46	46.49	272

Daten für Maximalfarbe (Ma):

$LAB^*LAB^*_{Ma}$ : 47 -16 -35

$LAB^*LCH^*_{Ma}$ : 47 40 244

$lab^*rgb^*_{Ma}$ : 0.0 0.5 1.0

$lab^*olv^*_{Ma}$ : 0.0 0.85 1.0

Dreiecks-Helligkeit  $i^*$

%Umfang

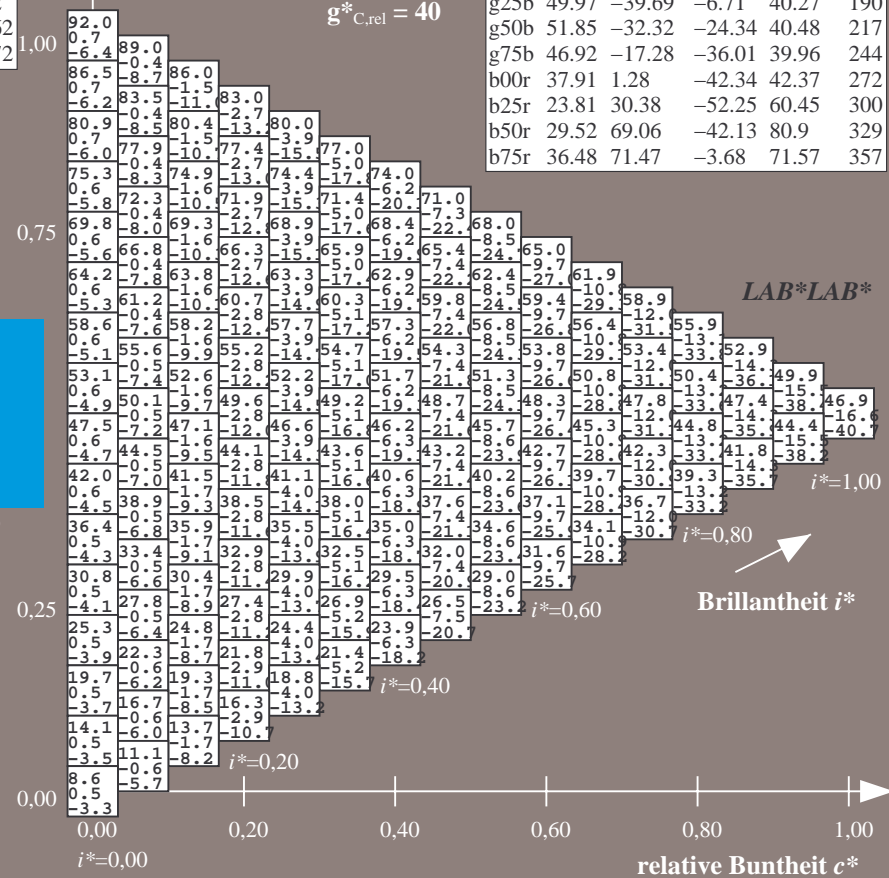
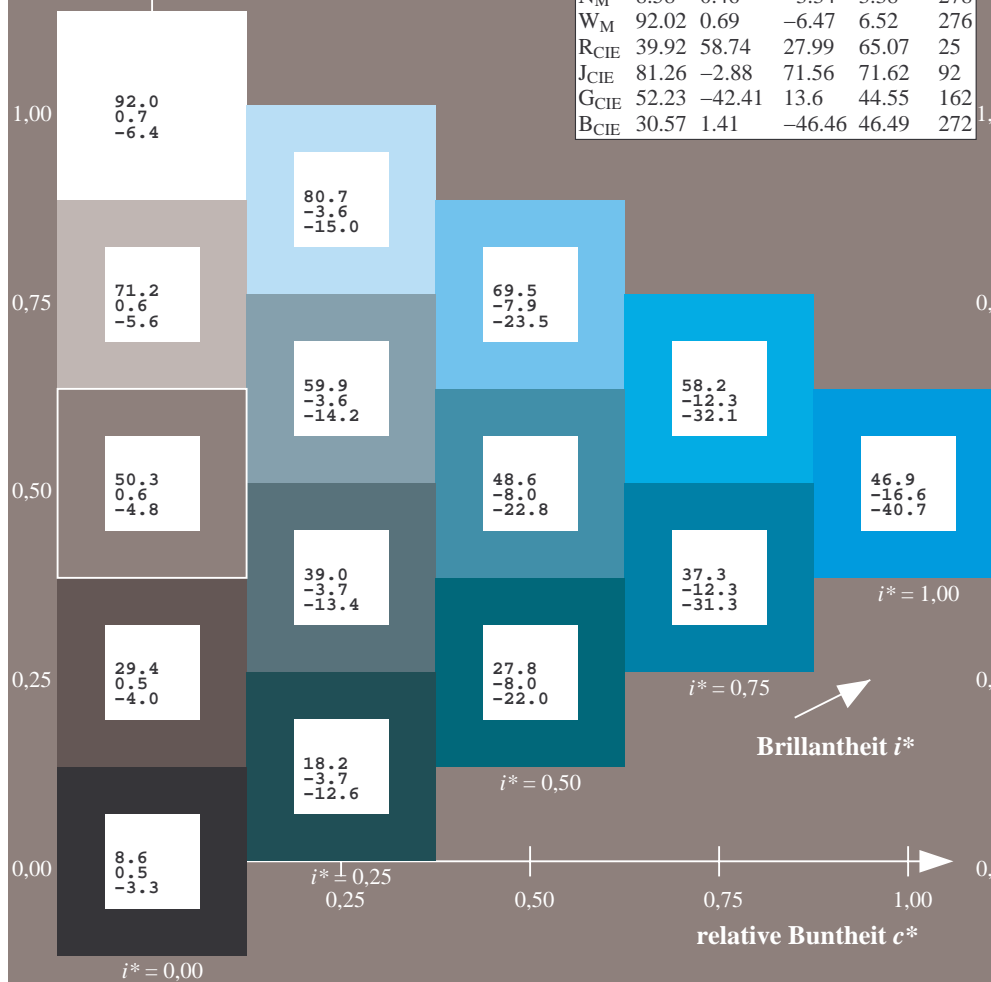
$u^*_{rel} = 109$

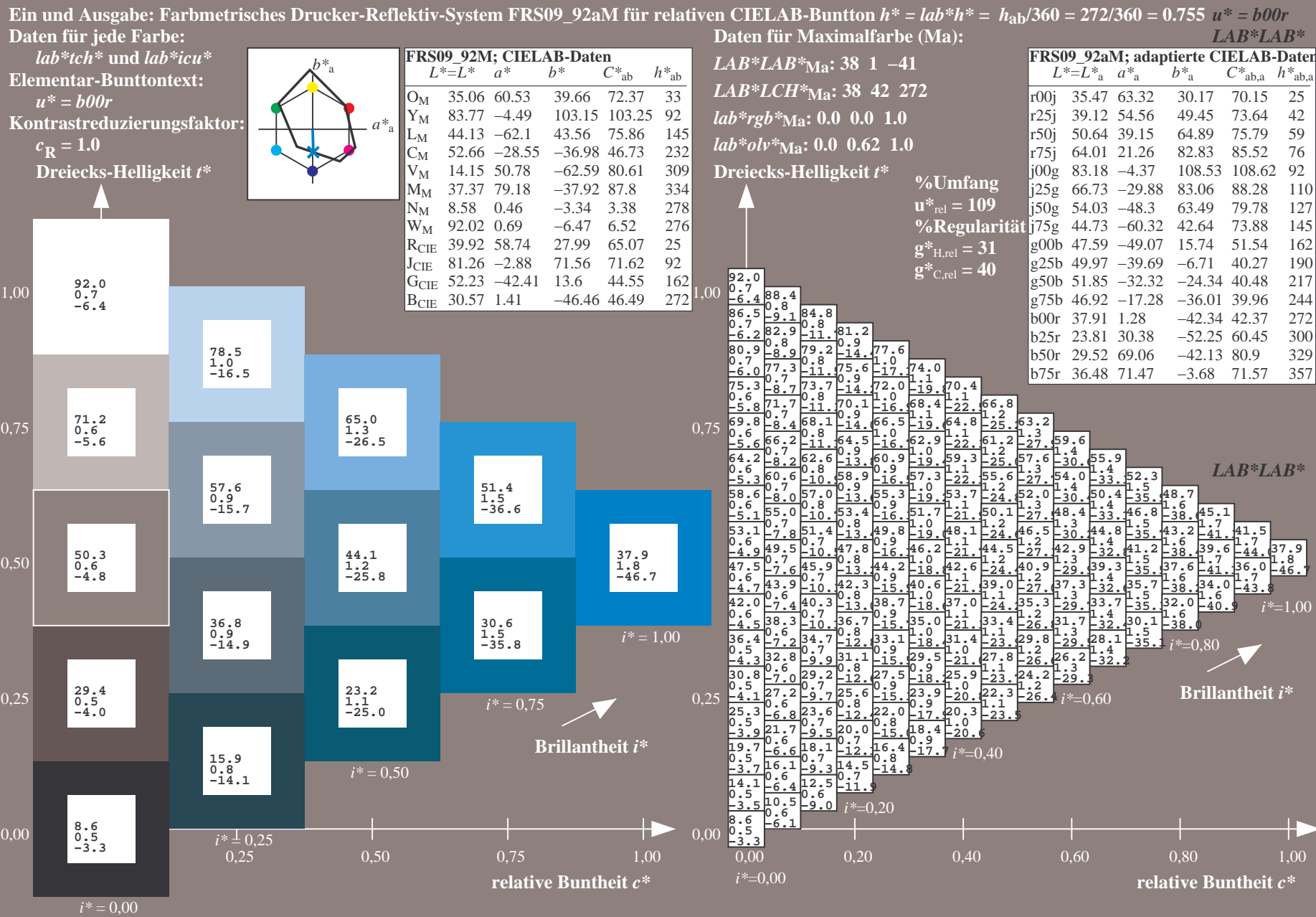
%Regularität

$g^*_{H,rel} = 31$

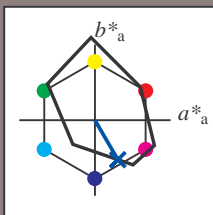
$g^*_{C,rel} = 40$

FRS09_92aM; adaptierte CIELAB-Daten					
	$L^*=L^*_a$	$a^*_a$	$b^*_a$	$C^*_{ab,a}$	$h^*_{ab,a}$
r00j	35.47	63.32	30.17	70.15	25
r25j	39.12	54.56	49.45	73.64	42
r50j	50.64	39.15	64.89	75.79	59
r75j	64.01	21.26	82.83	85.52	76
j00g	83.18	-4.37	108.53	108.62	92
j25g	66.73	-29.88	83.06	88.28	110
j50g	54.03	-48.3	63.49	79.78	127
j75g	44.73	-60.32	42.64	73.88	145
g00b	47.59	-49.07	15.74	51.54	162
g25b	49.97	-39.69	-6.71	40.27	190
g50b	51.85	-32.32	-24.34	40.48	217
g75b	46.92	-17.28	-36.01	39.96	244
b00r	37.91	1.28	-42.34	42.37	272
b25r	23.81	30.38	-52.25	60.45	300
b50r	29.52	69.06	-42.13	80.9	329
b75r	36.48	71.47	-3.68	71.57	357





Ein und Ausgabe: Farbmetrisches Drucker-Reflektiv-System FRS09\_92aM für relativen CIELAB-Buntton  $h^* = lab^*h^* = h_{ab}/360 = 300/360 = 0.834$   $u^* = b25r$   
Daten für jede Farbe:  
 $lab^*ch^*$  und  $lab^*icu^*$   
Elementar-Bunttontext:  
 $u^* = b25r$   
Kontrastreduzierungsfaktor:  
 $c_R = 1.0$   
Dreiecks-Helligkeit  $i^*$



FRS09_92M; CIELAB-Daten					
	$L^*=L^*$	$a^*$	$b^*$	$C^*_{ab}$	$h^*_{ab}$
O <sub>M</sub>	35.06	60.53	39.66	72.37	33
Y <sub>M</sub>	83.77	-4.49	103.15	103.25	92
L <sub>M</sub>	44.13	-62.1	43.56	75.86	145
C <sub>M</sub>	52.66	-28.55	-36.98	46.73	232
V <sub>M</sub>	14.15	50.78	-62.59	80.61	309
M <sub>M</sub>	37.37	79.18	-37.92	87.8	334
N <sub>M</sub>	8.58	0.46	-3.34	3.38	278
W <sub>M</sub>	92.02	0.69	-6.47	6.52	276
R <sub>CIE</sub>	39.92	58.74	27.99	65.07	25
J <sub>CIE</sub>	81.26	-2.88	71.56	71.62	92
G <sub>CIE</sub>	52.23	-42.41	13.6	44.55	162
B <sub>CIE</sub>	30.57	1.41	-46.46	46.49	272

Daten für Maximalfarbe (Ma):

$LAB^*LAB^*_{Ma}$ : 24 30 -51

$LAB^*LCH^*_{Ma}$ : 24 60 300

$lab^*rgb^*_{Ma}$ : 0.5 0.0 1.0

$lab^*olv^*_{Ma}$ : 0.0 0.25 1.0

Dreiecks-Helligkeit  $i^*$

%Umfang

$u^*_{rel} = 109$

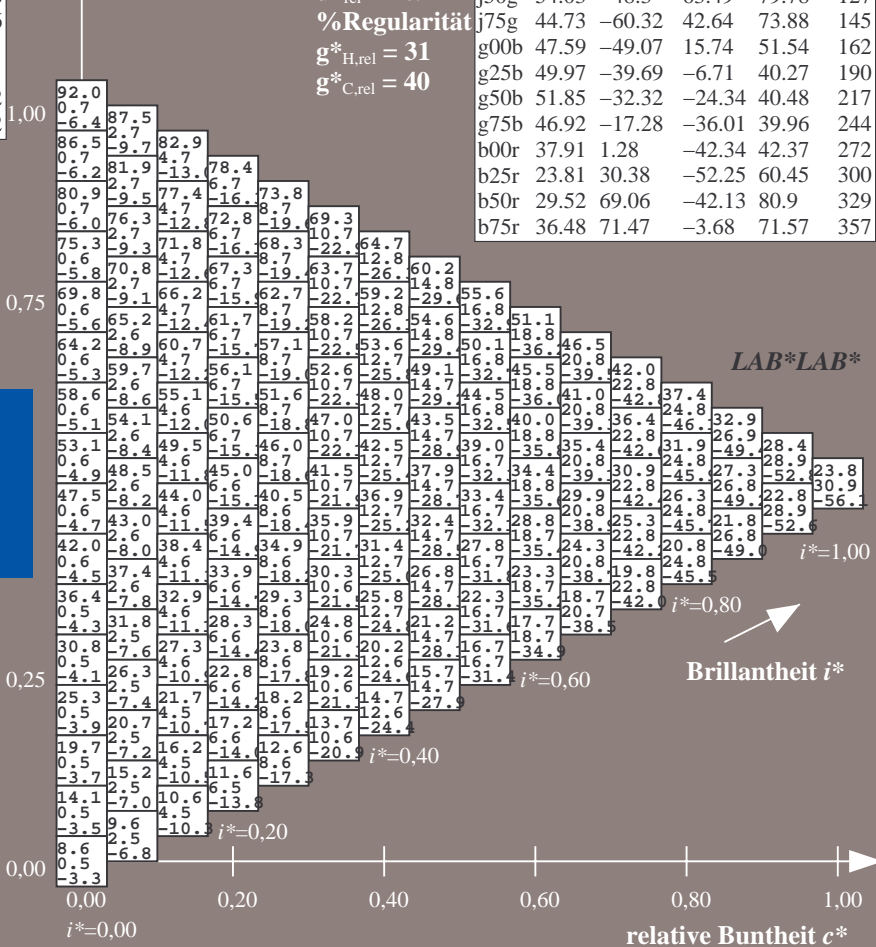
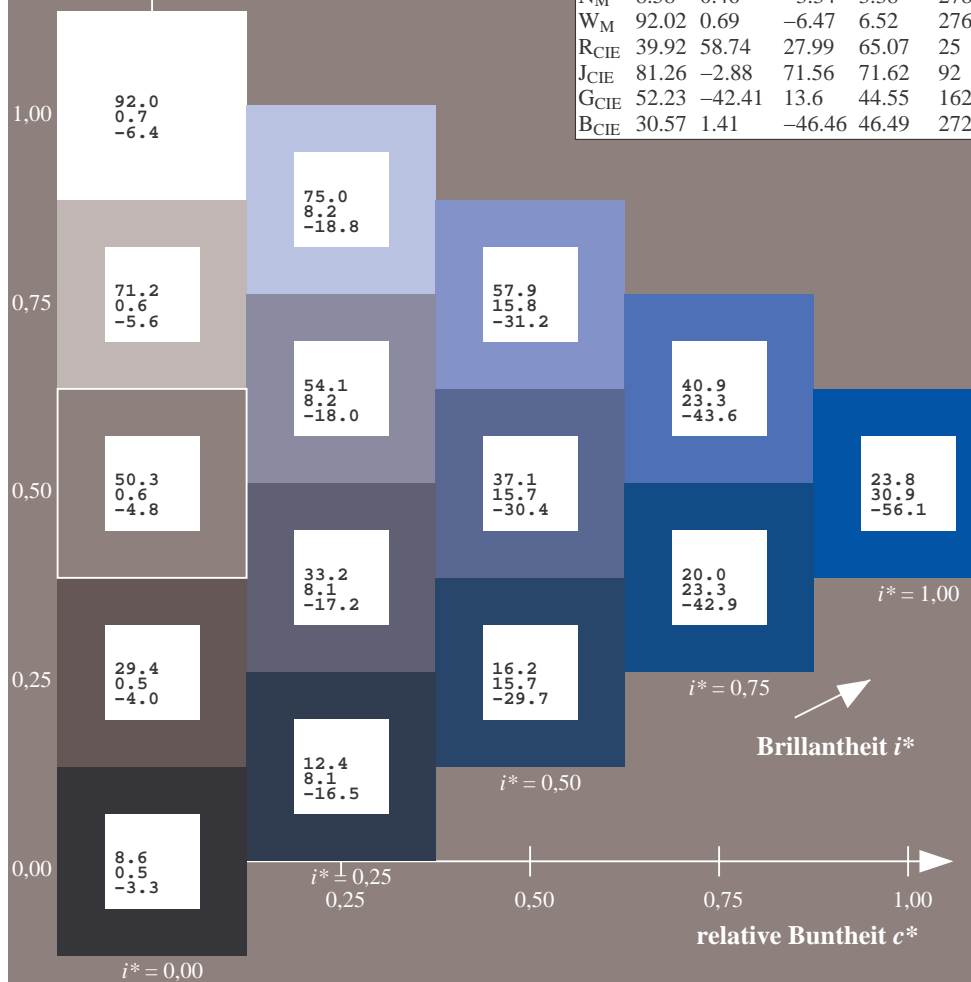
%Regularität

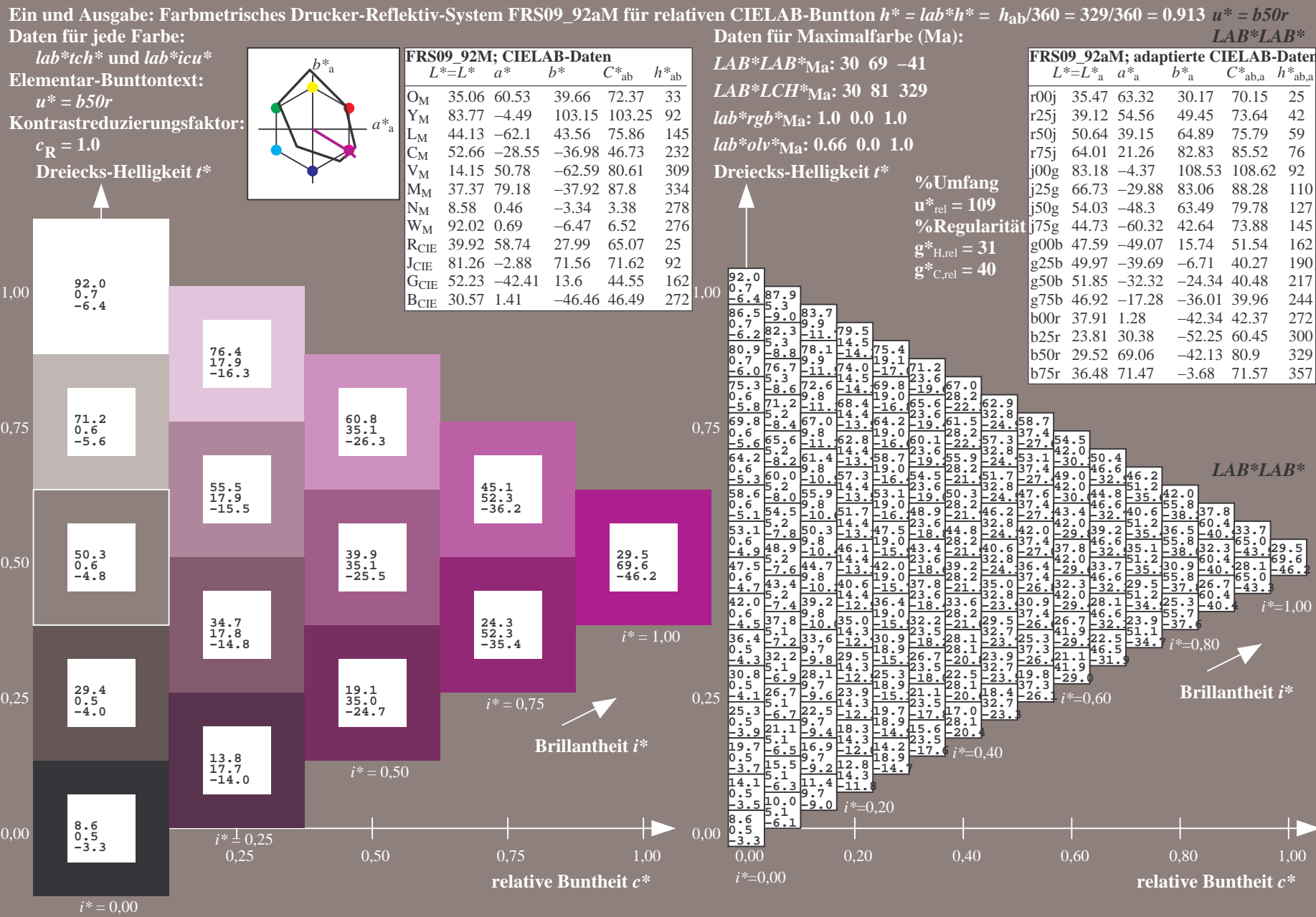
$g^*_{H,rel} = 31$

$g^*_{C,rel} = 40$

FRS09\_92aM; adaptierte CIELAB-Daten

	$L^*=L^*_a$	$a^*_a$	$b^*_a$	$C^*_{ab,a}$	$h^*_{ab,a}$
r00j	35.47	63.32	30.17	70.15	25
r25j	39.12	54.56	49.45	73.64	42
r50j	50.64	39.15	64.89	75.79	59
r75j	64.01	21.26	82.83	85.52	76
j00g	83.18	-4.37	108.53	108.62	92
j25g	66.73	-29.88	83.06	88.28	110
j50g	54.03	-48.3	63.49	79.78	127
j75g	44.73	-60.32	42.64	73.88	145
g00b	47.59	-49.07	15.74	51.54	162
g25b	49.97	-39.69	-6.71	40.27	190
g50b	51.85	-32.32	-24.34	40.48	217
g75b	46.92	-17.28	-36.01	39.96	244
b00r	37.91	1.28	-42.34	42.37	272
b25r	23.81	30.38	-52.25	60.45	300
b50r	29.52	69.06	-42.13	80.9	329
b75r	36.48	71.47	-3.68	71.57	357







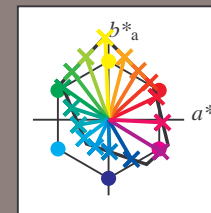


Siehe ähnliche Dateien: <http://www.ps.bam.de/Dg92/>; [www.ps.bam.de/Dg92/10L/L92G00NA.PS/.TXT](http://www.ps.bam.de/Dg92/10L/L92G00NA.PS/.TXT)  
Technische Information: <http://www.ps.bam.de/Version 2.1, io=1.1, ColSpX=0>

	A	B	C	D	E	F	G	H	I	J	K	L	M	N	O	P	Q	R	S	T	U	V	W	X	Y	Z	a	b	c	d	e	f	g	h	i	j	k	LAB*LAB*		
01	8.6	13.0	17.5	21.9	26.4	30.8	35.2	39.7	44.1	48.5	52.9	57.3	61.7	66.1	70.5	74.9	79.3	83.7	88.1	92.5	96.9	101.3	105.7	110.1	114.5	118.9	123.3	127.7	132.1	136.5	140.9	145.3	149.7	154.1	158.5	162.9	167.3	171.7	176.1	180.5
	0.5	-7.3	-15.1	-22.9	-30.7	-38.5	-46.4	-54.2	-62.0	-69.8	-77.6	-85.4	-93.2	-101.0	-108.8	-116.6	-124.4	-132.2	-140.0	-147.8	-155.6	-163.4	-171.2	-179.0	-186.8	-194.6	-202.4	-210.2	-218.0	-225.8	-233.6	-241.4	-249.2	-257.0	-264.8	-272.6	-280.4	-288.2	-296.0	-303.8
	-3.3	2.5	8.4	14.3	20.1	26.0	31.9	37.7	43.6	49.5	55.4	61.3	67.2	73.1	79.0	84.9	90.8	96.7	102.6	108.5	114.4	120.3	126.2	132.1	138.0	143.9	149.8	155.7	161.6	167.5	173.4	179.3	185.2	191.1	197.0	202.9	208.8	214.7	220.6	226.5
02	9.3	14.1	18.5	23.0	27.4	31.8	36.3	40.8	45.2	49.7	54.1	58.6	63.0	67.5	71.9	76.4	80.8	85.3	89.7	94.2	98.6	103.1	107.5	112.0	116.4	120.9	125.3	129.8	134.2	138.7	143.1	147.6	152.0	156.5	160.9	165.4	169.8	174.3	178.7	183.1
	6.7	-3.1	-10.9	-18.7	-26.5	-34.3	-42.2	-50.0	-57.8	-65.6	-73.4	-81.2	-89.0	-96.8	-104.6	-112.4	-120.2	-128.0	-135.8	-143.6	-151.4	-159.2	-167.0	-174.8	-182.6	-190.4	-198.2	-206.0	-213.8	-221.6	-229.4	-237.2	-245.0	-252.8	-260.6	-268.4	-276.2	-284.0	-291.8	-299.6
	-10.7	7.5	-1.6	4.2	10.0	15.9	21.8	27.6	33.5	-7.6	-3.7	2.1	8.0	13.9	19.7	25.6	31.4	37.3	-2.2	1.6	9.6	15.4	21.3	27.2	33.0	38.9	44.7	-10.2	-6.0	-0.2	5.4	11.2	17.0	22.7	28.5	34.3	-3.7	-3.7	-3.7	-3.7
03	10.0	14.8	19.6	24.0	28.5	32.9	37.3	41.8	46.3	12.9	19.7	24.5	29.0	33.4	37.9	42.3	46.7	51.2	15.8	22.6	29.4	33.9	38.3	42.8	47.2	51.7	56.1	82.2	76.7	71.2	64.0	56.9	49.8	42.7	35.6	28.4	29.4	29.4	29.4	
	13.0	3.1	-6.7	-14.5	-22.3	-30.2	-38.0	-45.8	-53.6	6.8	-3.0	-10.9	-18.7	-26.5	-34.3	-42.1	-50.0	-57.8	10.3	0.5	-7.2	-15.0	-22.8	-30.7	-38.5	-46.3	-54.1	-61.9	-69.7	-77.5	-85.3	-93.1	-100.9	-108.7	-116.5	-124.3	-132.1	-139.9	-147.7	
	-18.1	-14.9	-11.7	-8.5	0.0	5.8	11.7	17.6	23.4	-15.0	-11.0	-7.8	-2.0	3.8	9.6	15.5	21.4	27.2	-11.9	-8.0	-4.0	1.7	7.6	13.5	19.3	25.2	31.0	-14.0	-9.8	-5.6	0.1	5.8	11.6	17.4	23.1	28.9	34.7	40.5	46.3	52.1
04	10.7	15.5	20.3	25.1	29.6	34.0	38.4	42.9	47.3	13.6	20.4	25.2	30.0	34.8	39.6	43.4	47.8	52.2	16.5	23.3	30.1	34.9	39.4	43.8	48.2	52.7	57.2	77.3	71.8	66.2	60.7	53.6	46.5	39.4	32.3	25.1	39.9	39.9	39.9	
	19.3	9.4	-0.4	-10.3	-18.1	-26.0	-33.8	-41.6	-49.4	-57.2	-65.0	-72.8	-80.6	-88.4	-96.2	-104.0	-111.8	-119.6	-127.4	-135.2	-143.0	-150.8	-158.6	-166.4	-174.2	-182.0	-189.8	-197.6	-205.4	-213.2	-221.0	-228.8	-236.6	-244.4	-252.2	-260.0	-267.8	-275.6	-283.4	
	-25.5	-22.3	-19.1	-15.9	-12.7	-9.5	-6.3	-3.1	0.1	3.3	6.5	9.7	12.9	16.1	19.3	22.5	25.7	28.9	32.1	35.3	38.5	41.7	44.9	48.1	51.3	54.5	57.7	60.9	64.1	67.3	70.5	73.7	76.9	80.1	83.3	86.5	89.7	92.9	96.1	
05	11.4	16.2	21.0	25.8	30.6	35.4	40.2	45.0	49.8	44.4	48.4	53.2	58.0	62.8	67.6	72.4	77.2	82.0	86.8	91.6	96.4	101.2	106.0	110.8	115.6	120.4	125.2	130.0	134.8	139.6	144.4	149.2	154.0	158.8	163.6	168.4	173.2	178.0	182.8	187.6
	25.6	15.7	5.8	-4.0	-13.9	-23.8	-33.7	-43.6	-53.5	45.2	29.9	14.6	0.4	4.8	9.3	13.8	18.3	22.8	27.3	31.8	36.3	40.8	45.3	49.8	54.3	58.8	63.3	67.8	72.3	76.8	81.3	85.8	90.3	94.8	99.3	103.8	108.3	112.8	117.3	
	-32.9	-29.7	-26.5	-23.3	-20.1	-16.9	-13.7	-10.5	-7.3	-29.8	-25.9	-22.7	-19.5	-16.3	-13.0	-4.5	1.2	1.7	-26.7	-22.8	-18.8	-15.6	-12.4	-9.6	-0.7	5.0	10.9	-21.6	-17.4	-13.2	-9.0	-4.8	0.9	6.6	12.4	18.2	-4.8	-4.8	-4.8	
06	12.1	16.9	21.7	26.5	31.3	36.1	40.9	45.7	50.5	45.9	50.5	55.1	59.8	64.4	69.0	73.6	78.2	82.8	87.4	92.0	96.6	101.2	105.8	110.4	115.0	119.6	124.2	128.8	133.4	138.0	142.6	147.2	151.8	156.4	161.0	165.6	170.2	174.8	179.4	184.0
	31.9	22.0	12.1	2.2	-7.7	-17.6	-25.4	-33.2	-41.0	35.5	15.7	5.8	-4.0	-13.9	-21.7	-29.6	-37.4	-45.3	29.2	19.4	9.5	-0.3	-13.0	-20.9	-28.8	-36.7	-44.6	-52.5	-60.4	-68.3	-76.2	-84.1	-92.0	-100.0	-107.9	-115.8	-123.7	-131.6	-139.5	
	-40.3	-37.1	-33.9	-30.7	-27.5	-24.3	-21.1	-17.9	-14.8	-12.5	-6.7	-3.7	-2.2	33.0	-21.0	-26.9	-32.7	-38.5	-44.3	-50.1	-55.9	-61.7	-67.5	-73.3	-79.1	-84.9	-90.7	-96.5	-102.3	-108.1	-113.9	-119.7	-125.5	-131.3	-137.1	-142.9	-148.7	-154.5	-160.3	
07	12.8	17.6	22.4	27.2	32.0	36.8	41.6	46.4	51.2	77.2	72.7	68.2	63.7	59.2	54.7	50.2	45.7	41.2	36.7	32.2	27.7	23.2	18.7	14.2	9.7	5.2	0.7	-3.8	-9.3	-14.8	-20.3	-25.8	-31.3	-36.8	-42.3	-47.8	-53.3	-58.8	-64.3	-69.8
	28.2	28.3	18.4	8.5	-1.4	-11.3	-21.2	-29.0	-36.8	15.1	7.3	22.0	12.1	2.2	-7.6	-17.5	-25.4	-33.2	35.5	25.7	15.8	5.8	-4.0	-13.9	-21.7	-29.5	-37.3	-45.1	-52.9	-60.7	-68.5	-76.3	-84.1	-91.9	-99.7	-107.5	-115.3	-123.1	-130.9	
	-47.7	-44.5	-41.3	-38.1	-34.9	-31.7	-28.5	-25.3	-22.1	-16.8	-14.6	-12.4	-10.2	-8.0	-5.8	-3.6	-1.4	0.8	-27.3	-23.1	-18.9	-14.7	-10.5	-6.3	-2.1	20.9	-15.0	-9.1	-29.3	-25.1	-20.9	-16.6	-12.4	-8.2	-4.0	1.6	7.4	-5.6	-5.6	-5.6
08	13.5	18.3	23.1	27.9	32.7	37.5	42.3	47.2	52.0	56.8	61.6	66.4	71.2	76.0	80.8	85.6	90.4	95.2	100.0	104.8	109.6	114.4	119.2	124.0	128.8	133.6	138.4	143.2	148.0	152.8	157.6	162.4	167.2	172.0	176.8	181.6	186.4	191.2	196.0	200.8
	44.5	34.6	24.7	14.7	4.8	-5.0	-14.9	-24.8	-32.6	38.2	28.3	18.4	8.5	-1.3	-11.3	-21.2	-29.0	51.6	41.8	32.0	22.2	12.1	2.2	-7.6	-17.5	-25.3	-33.1	-40.9	-48.7	-56.5	-64.3	-72.1	-79.9	-87.7	-95.5	-103.3	-111.1	-118.9	-126.7	
	-55.1	-51.9	-48.7	-45.5	-42.3	-39.1	-35.9	-32.7	-29.5	-26.3	-23.1	-19.9	-16.7	-13.5	-10.3	-7.1	-3.9	-0.7	2.5	5.3	8.1	10.9	13.7	16.5	19.3	22.1	24.9	27.7	30.5	33.3	36.1	38.9	41.7	44.5	47.3	50.1	52.9	55.7	58.5	
09	14.2	19.0	23.8	28.6	33.4	38.2	43.0	47.8	52.6	77.7	73.1	68.5	63.9	59.3	54.7	50.1	45.5	40.9	36.3	31.7	27.1	22.5	17.9	13.3	8.7	4.1	-0.5	-5.9	-11.3	-16.7	-22.1	-27.5	-32.9	-38.3	-43.7	-49.1	-54.5	-59.9	-65.3	-70.7
	50.8	40.9	30.9	21.0	11.1	1.2	-8.6	-18.5	-28.4	34.5	24.6	14.7	4.8	4.8	-5.0	-14.9	-24.8	28.7	18.8	8.9	38.3	28.3	18.4	8.5	-1.3	-11.2	-21.1	-28.5	-35.9	-43.3	-50.7	-58.1	-65.5	-72.9	-80.3	-87.7	-95.1	-102.5	-109.9	
	-62.5	-59.3	-56.1	-52.9	-49.7	-46.5	-43.3	-40.1	-36.9	-33.7	-30.5	-27.3	-24.1	-20.9	-17.7	-14.5	-11.3	-8.1	-4.9	-1.7	1.5	4.3	7.1	9.9	12.7	15.5	18.3	21.1	23.9	2										

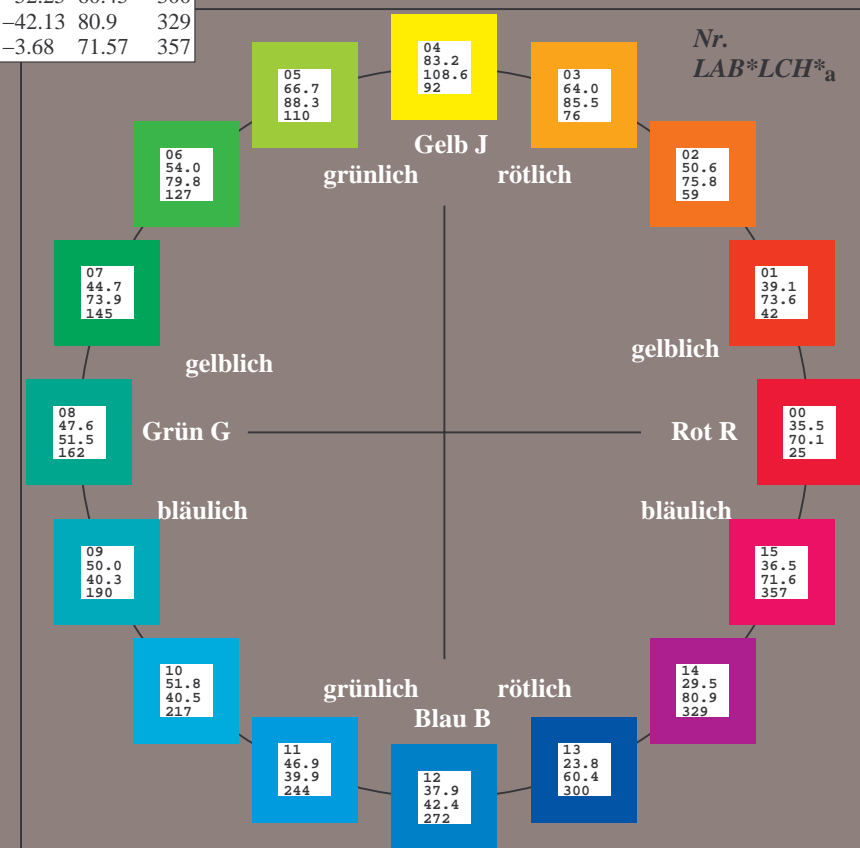
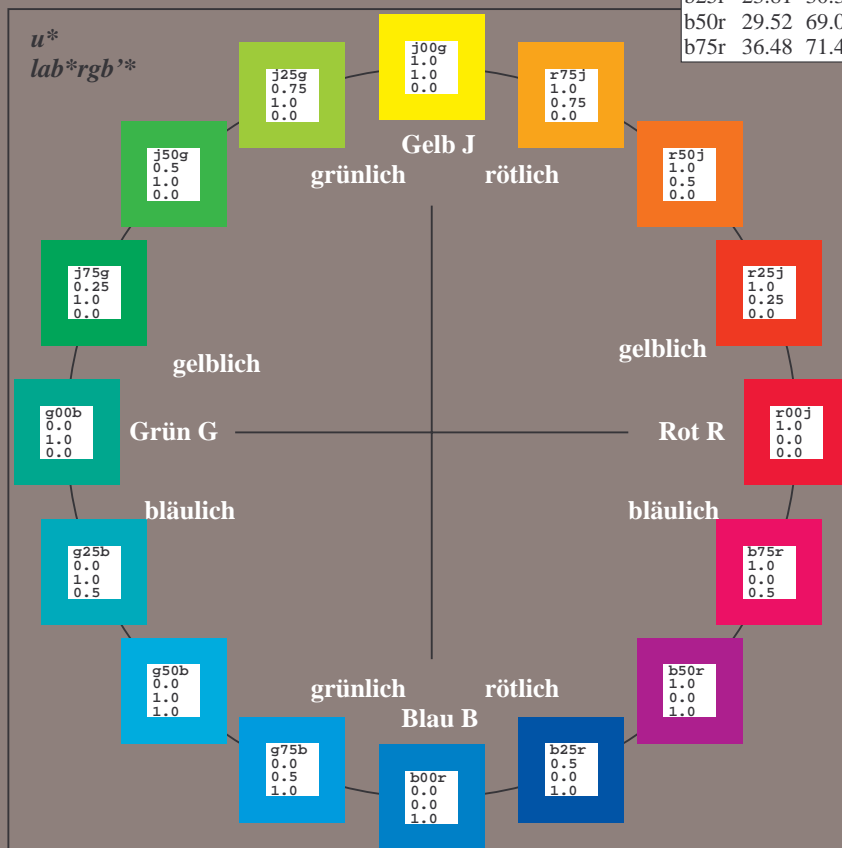
Ein und Ausgabe:  
Farbmetrisches Drucker-Reflektiv-System FRS09\_92aM  
Daten für jede Farbe:  
*lab\*<sub>rch</sub>\** und *lab\*<sub>icu</sub>\**  
Elementar-Bunntontext:  
*u\** = 16 Bunttöne *r00j*, *r25j*, ..., *b75r*  
Kontrastreduzierungsfaktor:  
*c<sub>R</sub>* = 1.0

FRS09_92aM; adaptierte CIELAB-Daten					
	<i>L*</i> = <i>L*</i> <sub>a</sub>	<i>a*</i> <sub>a</sub>	<i>b*</i> <sub>a</sub>	<i>C*</i> <sub>ab,a</sub>	<i>h*</i> <sub>ab,a</sub>
r00j	35.47	63.32	30.17	70.15	25
r25j	39.12	54.56	49.45	73.64	42
r50j	50.64	39.15	64.89	75.79	59
r75j	64.01	21.26	82.83	85.52	76
j00g	83.18	-4.37	108.53	108.62	92
j25g	66.73	-29.88	83.06	88.28	110
j50g	54.03	-48.3	63.49	79.78	127
j75g	44.73	-60.32	42.64	73.88	145
g00b	47.59	-49.07	15.74	51.54	162
g25b	49.97	-39.69	-6.71	40.27	190
g50b	51.85	-32.32	-24.34	40.48	217
g75b	46.92	-17.28	-36.01	39.96	244
b00r	37.91	1.28	-42.34	42.37	272
b25r	23.81	30.38	-52.25	60.45	300
b50r	29.52	69.06	-42.13	80.9	329
b75r	36.48	71.47	-3.68	71.57	357



%Umfang  
*u\**<sub>rel</sub> = 109  
%Regularität  
*g\**<sub>H,rel</sub> = 31  
*g\**<sub>C,rel</sub> = 40

FRS09_92aM; CIELAB-Daten					
	<i>L*</i> = <i>L*</i>	<i>a*</i>	<i>b*</i>	<i>C*</i> <sub>ab</sub>	<i>h*</i> <sub>ab</sub>
O <sub>M</sub>	35.06	60.53	39.66	72.37	33
Y <sub>M</sub>	83.77	-4.49	103.15	103.25	92
L <sub>M</sub>	44.13	-62.1	43.56	75.86	145
C <sub>M</sub>	52.66	-28.55	-36.98	46.73	232
V <sub>M</sub>	14.15	50.78	-62.59	80.61	309
M <sub>M</sub>	37.37	79.18	-37.92	87.8	334
N <sub>M</sub>	8.58	0.46	-3.34	3.38	278
W <sub>M</sub>	92.02	0.69	-6.47	6.52	276
R <sub>CIE</sub>	39.92	58.74	27.99	65.07	25
J <sub>CIE</sub>	81.26	-2.88	71.56	71.62	92
G <sub>CIE</sub>	52.23	-42.41	13.6	44.55	162
B <sub>CIE</sub>	30.57	1.41	-46.46	46.49	272



Ein und Ausgabe: Farbmetrisches Drucker-Reflektiv-System FRS09\_92aM für relativen CIELAB-Buntton  $h^* = lab^*h^* = h_{ab}/360 = 25/360 = 0.071$   $u^* = r00j$

Daten für jede Farbe:

$lab^*ch^*$  und  $lab^*icu^*$

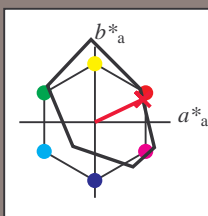
Elementar-Bunttontext:

$u^* = r00j$

Kontrastreduzierungsfaktor:

$c_R = 1.0$

Dreiecks-Helligkeit  $i^*$



FRS09_92aM; CIELAB-Daten					
	$L^*=L^*$	$a^*$	$b^*$	$C^*_{ab}$	$h^*_{ab}$
O <sub>M</sub>	35.06	60.53	39.66	72.37	33
Y <sub>M</sub>	83.77	-4.49	103.15	103.25	92
L <sub>M</sub>	44.13	-62.1	43.56	75.86	145
C <sub>M</sub>	52.66	-28.55	-36.98	46.73	232
V <sub>M</sub>	14.15	50.78	-62.59	80.61	309
M <sub>M</sub>	37.37	79.18	-37.92	87.8	334
N <sub>M</sub>	8.58	0.46	-3.34	3.38	278
W <sub>M</sub>	92.02	0.69	-6.47	6.52	276
R <sub>CIE</sub>	39.92	58.74	27.99	65.07	25
J <sub>CIE</sub>	81.26	-2.88	71.56	71.62	92
G <sub>CIE</sub>	52.23	-42.41	13.6	44.55	162
B <sub>CIE</sub>	30.57	1.41	-46.46	46.49	272

Daten für Maximalfarbe (Ma):

$LAB^*LAB^*_{Ma}$ : 35 63 30

$LAB^*LCH^*_{Ma}$ : 35 70 25

$lab^*rgb^*_{Ma}$ : 1.0 0.0 0.0

$lab^*olv^*_{Ma}$ : 1.0 0.0 0.18

Dreiecks-Helligkeit  $i^*$

%Umfang

$u^*_{rel} = 109$

%Regularität

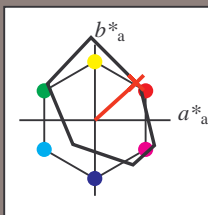
$g^*_{H,rel} = 31$

$g^*_{C,rel} = 40$

FRS09_92aM; adaptierte CIELAB-Daten					
	$L^*=L^*_a$	$a^*_a$	$b^*_a$	$C^*_{ab,a}$	$h^*_{ab,a}$
r00j	35.47	63.32	30.17	70.15	25
r25j	39.12	54.56	49.45	73.64	42
r50j	50.64	39.15	64.89	75.79	59
r75j	64.01	21.26	82.83	85.52	76
j00g	83.18	-4.37	108.53	108.62	92
j25g	66.73	-29.88	83.06	88.28	110
j50g	54.03	-48.3	63.49	79.78	127
j75g	44.73	-60.32	42.64	73.88	145
g00b	47.59	-49.07	15.74	51.54	162
g25b	49.97	-39.69	-6.71	40.27	190
g50b	51.85	-32.32	-24.34	40.48	217
g75b	46.92	-17.28	-36.01	39.96	244
b00r	37.91	1.28	-42.34	42.37	272
b25r	23.81	30.38	-52.25	60.45	300
b50r	29.52	69.06	-42.13	80.9	329
b75r	36.48	71.47	-3.68	71.57	357



Ein und Ausgabe: Farbmetrisches Drucker-Reflektiv-System FRS09\_92aM für relativen CIELAB-Buntton  $h^* = lab^*h^* = h_{ab}/360 = 42/360 = 0.117$   $u^* = r25j$   
Daten für jede Farbe:  
 $lab^*ch^*$  und  $lab^*icu^*$   
Elementar-Bunttontext:  
 $u^* = r25j$   
Kontrastreduzierungsfaktor:  
 $c_R = 1.0$   
Dreiecks-Helligkeit  $t^*$



FRS09_92aM; CIELAB-Daten					
	$L^*=L^*$	$a^*$	$b^*$	$C^*_{ab}$	$h^*_{ab}$
O <sub>M</sub>	35.06	60.53	39.66	72.37	33
Y <sub>M</sub>	83.77	-4.49	103.15	103.25	92
L <sub>M</sub>	44.13	-62.1	43.56	75.86	145
C <sub>M</sub>	52.66	-28.55	-36.98	46.73	232
V <sub>M</sub>	14.15	50.78	-62.59	80.61	309
M <sub>M</sub>	37.37	79.18	-37.92	87.8	334
N <sub>M</sub>	8.58	0.46	-3.34	3.38	278
W <sub>M</sub>	92.02	0.69	-6.47	6.52	276
R <sub>CIE</sub>	39.92	58.74	27.99	65.07	25
J <sub>CIE</sub>	81.26	-2.88	71.56	71.62	92
G <sub>CIE</sub>	52.23	-42.41	13.6	44.55	162
B <sub>CIE</sub>	30.57	1.41	-46.46	46.49	272

Daten für Maximalfarbe (Ma):

$LAB^*LAB^*_{Ma}$ : 39 55 49

$LAB^*LCH^*_{Ma}$ : 39 74 42

$lab^*rgb^*_{Ma}$ : 1.0 0.25 0.0

$lab^*olv^*_{Ma}$ : 1.0 0.08 0.0

Dreiecks-Helligkeit  $t^*$

%Umfang

$u^*_{rel} = 109$

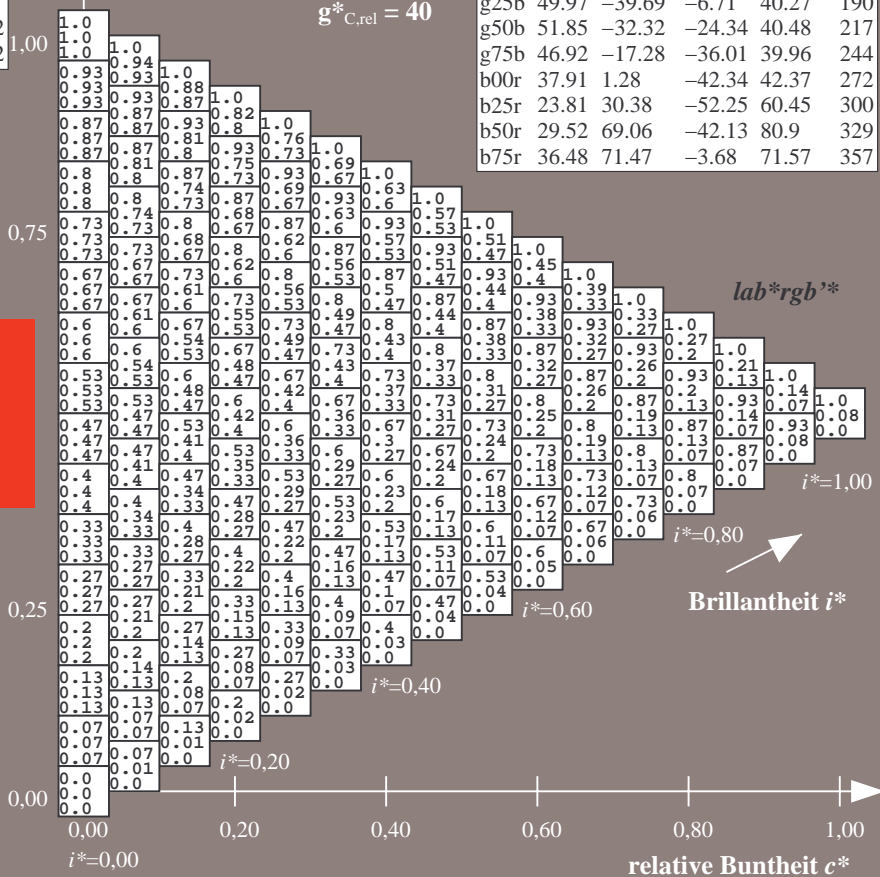
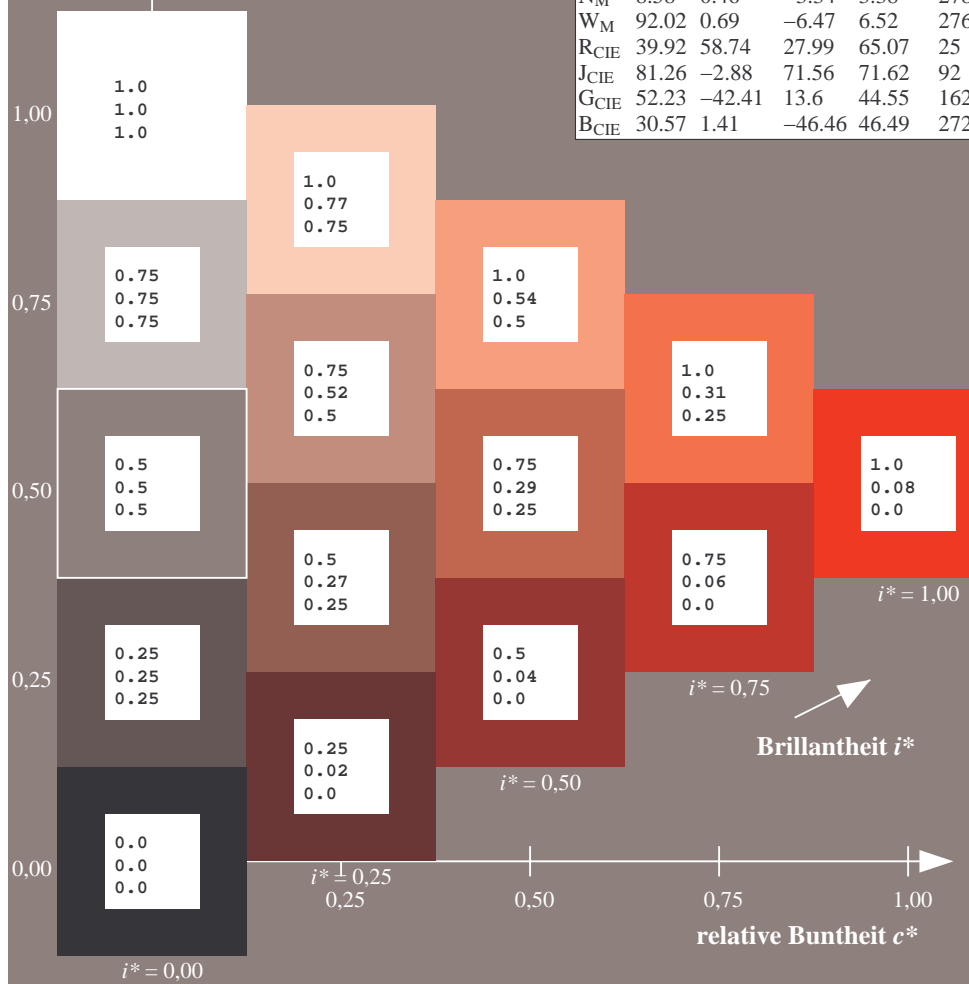
%Regularität

$g^*_{H,rel} = 31$

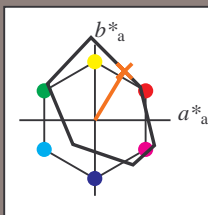
$g^*_{C,rel} = 40$

FRS09_92aM; adaptierte CIELAB-Daten					
	$L^*=L^*_a$	$a^*_a$	$b^*_a$	$C^*_{ab,a}$	$h^*_{ab,a}$
r00j	35.47	63.32	30.17	70.15	25
r25j	39.12	54.56	49.45	73.64	42
r50j	50.64	39.15	64.89	75.79	59
r75j	64.01	21.26	82.83	85.52	76
j00g	83.18	-4.37	108.53	108.62	92
j25g	66.73	-29.88	83.06	88.28	110
j50g	54.03	-48.3	63.49	79.78	127
j75g	44.73	-60.32	42.64	73.88	145
g00b	47.59	-49.07	15.74	51.54	162
g25b	49.97	-39.69	-6.71	40.27	190
g50b	51.85	-32.32	-24.34	40.48	217
g75b	46.92	-17.28	-36.01	39.96	244
b00r	37.91	1.28	-42.34	42.37	272
b25r	23.81	30.38	-52.25	60.45	300
b50r	29.52	69.06	-42.13	80.9	329
b75r	36.48	71.47	-3.68	71.57	357

$lab^*rgb^*$					
r00j	1.0	0.25	0.0		
r25j	0.93	0.33	0.0		
r50j	0.87	0.41	0.0		
r75j	0.81	0.49	0.0		
j00g	0.75	0.57	0.0		
j25g	0.69	0.65	0.0		
j50g	0.63	0.73	0.0		
j75g	0.57	0.81	0.0		
g00b	0.51	0.89	0.0		
g25b	0.45	0.97	0.0		
g50b	0.4	1.0	0.0		
g75b	0.35	1.0	0.0		
b00r	0.3	1.0	0.0		
b25r	0.25	1.0	0.0		
b50r	0.2	1.0	0.0		
b75r	0.15	1.0	0.0		



Ein und Ausgabe: Farbmetrisches Drucker-Reflektiv-System FRS09\_92aM für relativen CIELAB-Buntton  $h^* = lab^*h^* = h_{ab}/360 = 59/360 = 0.164$   $u^* = r50j$   
Daten für jede Farbe:  
 $lab^*ch^*$  und  $lab^*icu^*$   
Elementar-Bunttontext:  
 $u^* = r50j$   
Kontrastreduzierungsfaktor:  
 $c_R = 1.0$   
Dreiecks-Helligkeit  $i^*$



FRS09_92aM; CIELAB-Daten					
	$L^*=L^*$	$a^*$	$b^*$	$C^*_{ab}$	$h^*_{ab}$
O <sub>M</sub>	35.06	60.53	39.66	72.37	33
Y <sub>M</sub>	83.77	-4.49	103.15	103.25	92
L <sub>M</sub>	44.13	-62.1	43.56	75.86	145
C <sub>M</sub>	52.66	-28.55	-36.98	46.73	232
V <sub>M</sub>	14.15	50.78	-62.59	80.61	309
M <sub>M</sub>	37.37	79.18	-37.92	87.8	334
N <sub>M</sub>	8.58	0.46	-3.34	3.38	278
W <sub>M</sub>	92.02	0.69	-6.47	6.52	276
R <sub>CIE</sub>	39.92	58.74	27.99	65.07	25
J <sub>CIE</sub>	81.26	-2.88	71.56	71.62	92
G <sub>CIE</sub>	52.23	-42.41	13.6	44.55	162
B <sub>CIE</sub>	30.57	1.41	-46.46	46.49	272

Daten für Maximalfarbe (Ma):

$LAB^*LAB^*_{Ma}$ : 51 39 65

$LAB^*LCH^*_{Ma}$ : 51 76 59

$lab^*rgb^*_{Ma}$ : 1.0 0.5 0.0

$lab^*olv^*_{Ma}$ : 1.0 0.32 0.0

Dreiecks-Helligkeit  $i^*$

%Umfang

$u^*_{rel} = 109$

%Regularität

$g^*_{H,rel} = 31$

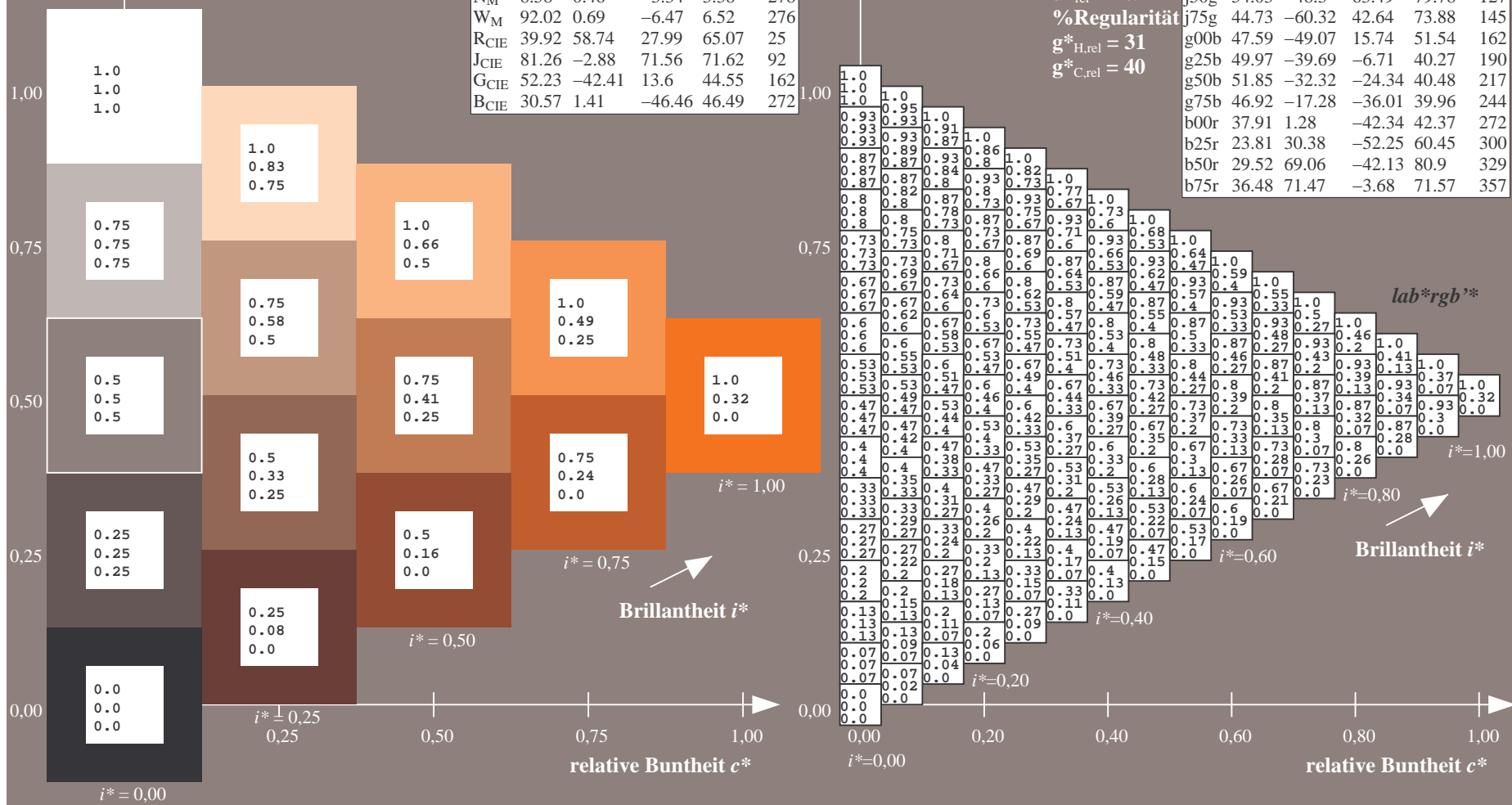
$g^*_{C,rel} = 40$

FRS09\_92aM; adaptierte CIELAB-Daten

	$L^*=L^*_a$	$a^*_a$	$b^*_a$	$C^*_{ab,a}$	$h^*_{ab,a}$
r00j	35.47	63.32	30.17	70.15	25
r25j	39.12	54.56	49.45	73.64	42
r50j	50.64	39.15	64.89	75.79	59
r75j	64.01	21.26	82.83	85.52	76
j00g	83.18	-4.37	108.53	108.62	92
j25g	66.73	-29.88	83.06	88.28	110
j50g	54.03	-48.3	63.49	79.78	127
j75g	44.73	-60.32	42.64	73.88	145
g00b	47.59	-49.07	15.74	51.54	162
g25b	49.97	-39.69	-6.71	40.27	190
g50b	51.85	-32.32	-24.34	40.48	217
g75b	46.92	-17.28	-36.01	39.96	244
b00r	37.91	1.28	-42.34	42.37	272
b25r	23.81	30.38	-52.25	60.45	300
b50r	29.52	69.06	-42.13	80.9	329
b75r	36.48	71.47	-3.68	71.57	357

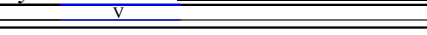
Siehe ähnliche Dateien: <http://www.ps.bam.de/Dg92/>; [www.ps.bam.de/Dg92/10L/L92G00NA.PS/.TXT](http://www.ps.bam.de/Dg92/10L/L92G00NA.PS/.TXT)  
Technische Information: <http://www.ps.bam.de> Version 2.1, io=1,1, ColSpx=0

BAM-Registrierung: 20080701-Dg92/10L/L92G00NA.PS/.TXTBAM-Material: Code=rh4ta  
Anwendung für Beurteilung und Messung von Drucker- oder Monitorsystemen



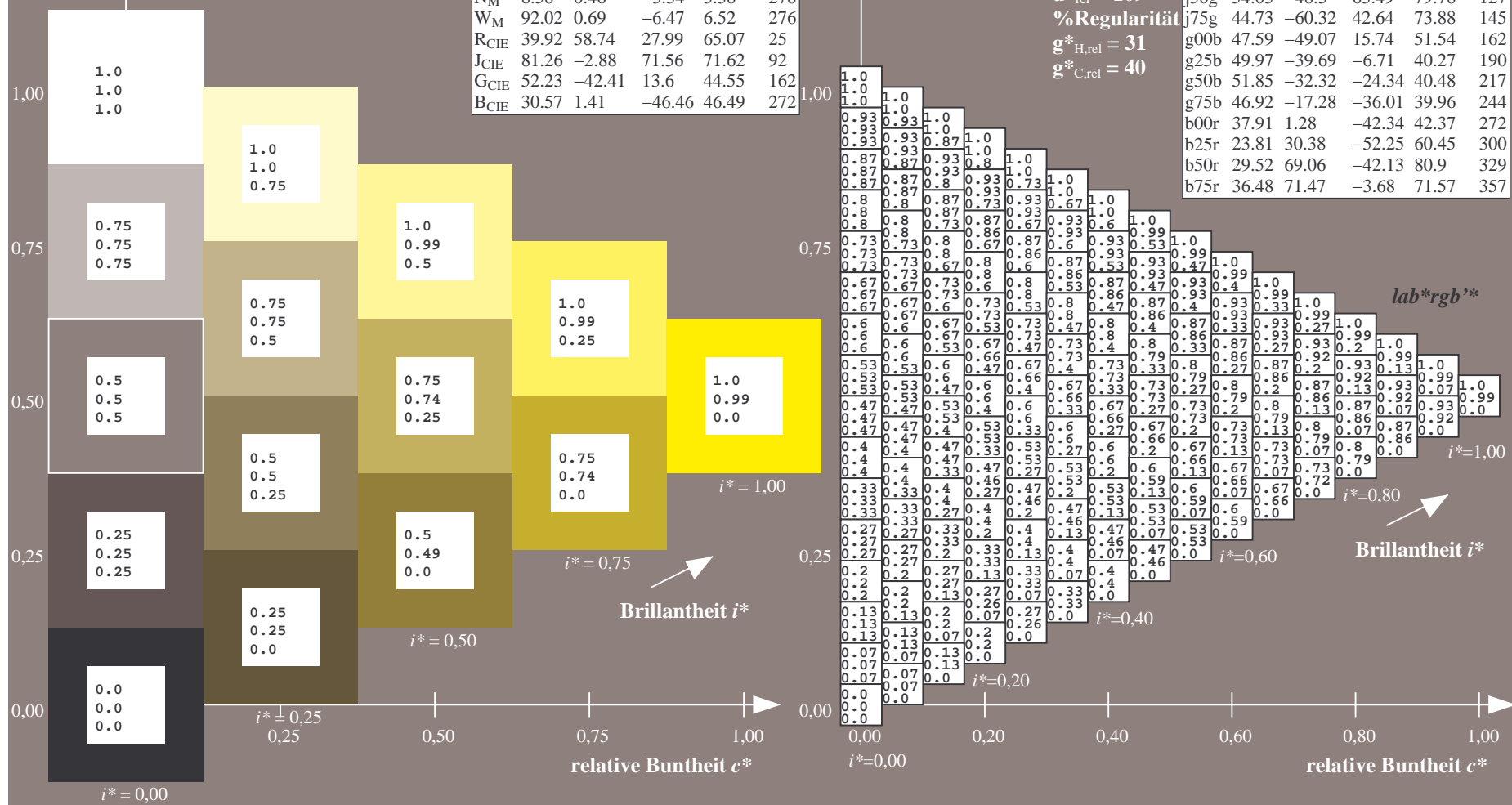
BAM-Registrierung: 20080701-Dg92/10L/L92G00NA.PS/ .TXTBAM-Material: Code=rhdata - Anwendung für Beurteilung und Messung von Drucker- oder Monitorsystemen

100



Siehe ähnliche Dateien: <http://www.ps.bam.de/Dg92/>; [www.ps.bam.de/Dg.HTM](http://www.ps.bam.de/Dg.HTM)  
Technische Information: <http://www.ps.bam.de> Version 2.1, io=1, ColSp=0

BAM-Registrierung: 20080701-Dg92/10L/L92G00NA.PS/.TXTBAM-Material: Code=rha4ta  
Anwendung für Beurteilung und Messung von Drucker- oder Monitorsystemen

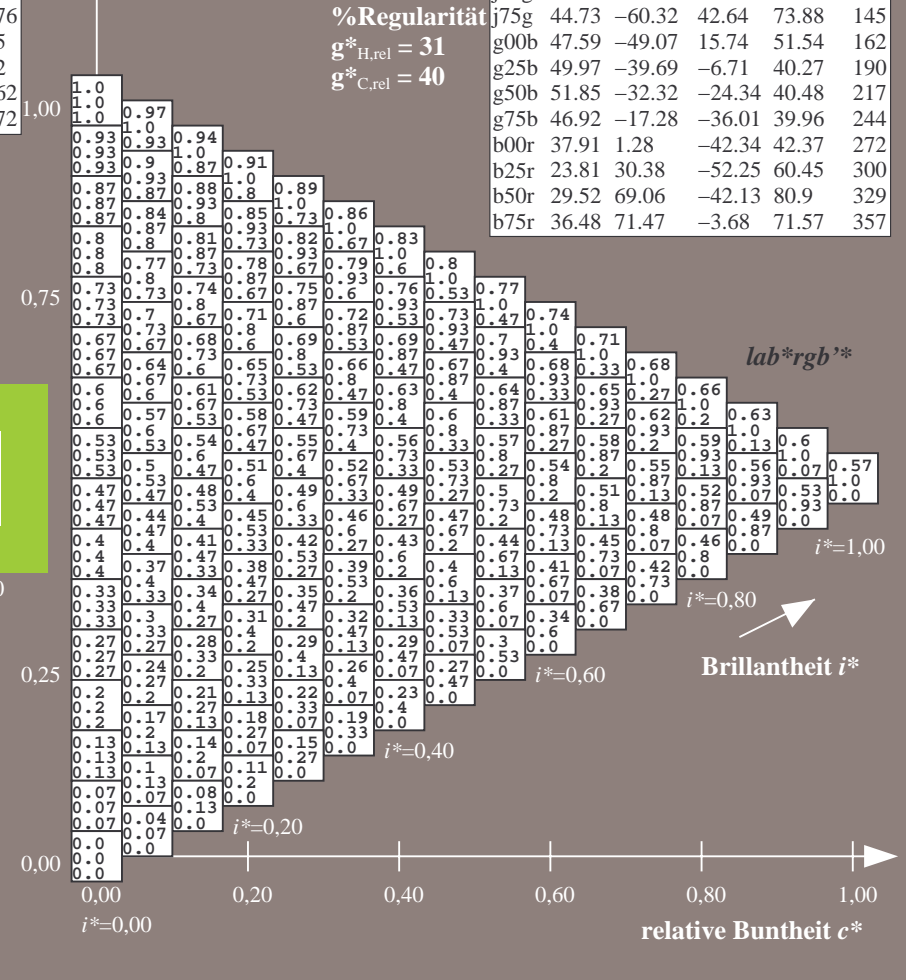




### Dreiecks-Helligkeit $t^*$



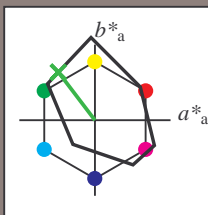
### Dreiecks-Helligkeit $t^*$

$$g^*_{C,rel} = 40$$


Ausgabe:  $\rightarrow cmy\mathbf{n}5^* setcmykcolor$

BAM-Registrierung: 20080701-Dg92/10L/L92G00NA.PS/ .TXTBAM-Material: Code=rha4ta  
Anwendung für Beurteilung und Messung von Drucker- oder Monitorsystemen

Ein und Ausgabe: Farbmetrisches Drucker-Reflektiv-System FRS09\_92aM für relativen CIELAB-Buntton  $h^* = lab^*h^* = h_{ab}/360 = 127/360 = 0.354$   $u^* = j50g$   
Daten für jede Farbe:  
 $lab^*ch^*$  und  $lab^*icu^*$   
Elementar-Bunttontext:  
 $u^* = j50g$   
Kontrastreduzierungsfaktor:  
 $c_R = 1.0$   
Dreiecks-Helligkeit  $i^*$



FRS09_92aM; CIELAB-Daten					
	$L^*=L^*$	$a^*$	$b^*$	$C^*_{ab}$	$h^*_{ab}$
O <sub>M</sub>	35.06	60.53	39.66	72.37	33
Y <sub>M</sub>	83.77	-4.49	103.15	103.25	92
L <sub>M</sub>	44.13	-62.1	43.56	75.86	145
C <sub>M</sub>	52.66	-28.55	-36.98	46.73	232
V <sub>M</sub>	14.15	50.78	-62.59	80.61	309
M <sub>M</sub>	37.37	79.18	-37.92	87.8	334
N <sub>M</sub>	8.58	0.46	-3.34	3.38	278
W <sub>M</sub>	92.02	0.69	-6.47	6.52	276
R <sub>CIE</sub>	39.92	58.74	27.99	65.07	25
J <sub>CIE</sub>	81.26	-2.88	71.56	71.62	92
G <sub>CIE</sub>	52.23	-42.41	13.6	44.55	162
B <sub>CIE</sub>	30.57	1.41	-46.46	46.49	272

Daten für Maximalfarbe (Ma):

$LAB^*LAB^*_{Ma}$ : 54 -47 63

$LAB^*LCH^*_{Ma}$ : 54 80 127

$lab^*rgb^*_{Ma}$ : 0.5 1.0 0.0

$lab^*olv^*_{Ma}$ : 0.25 1.0 0.0

Dreiecks-Helligkeit  $i^*$

%Umfang

$u^*_{rel} = 109$

%Regularität

$g^*_{H,rel} = 31$

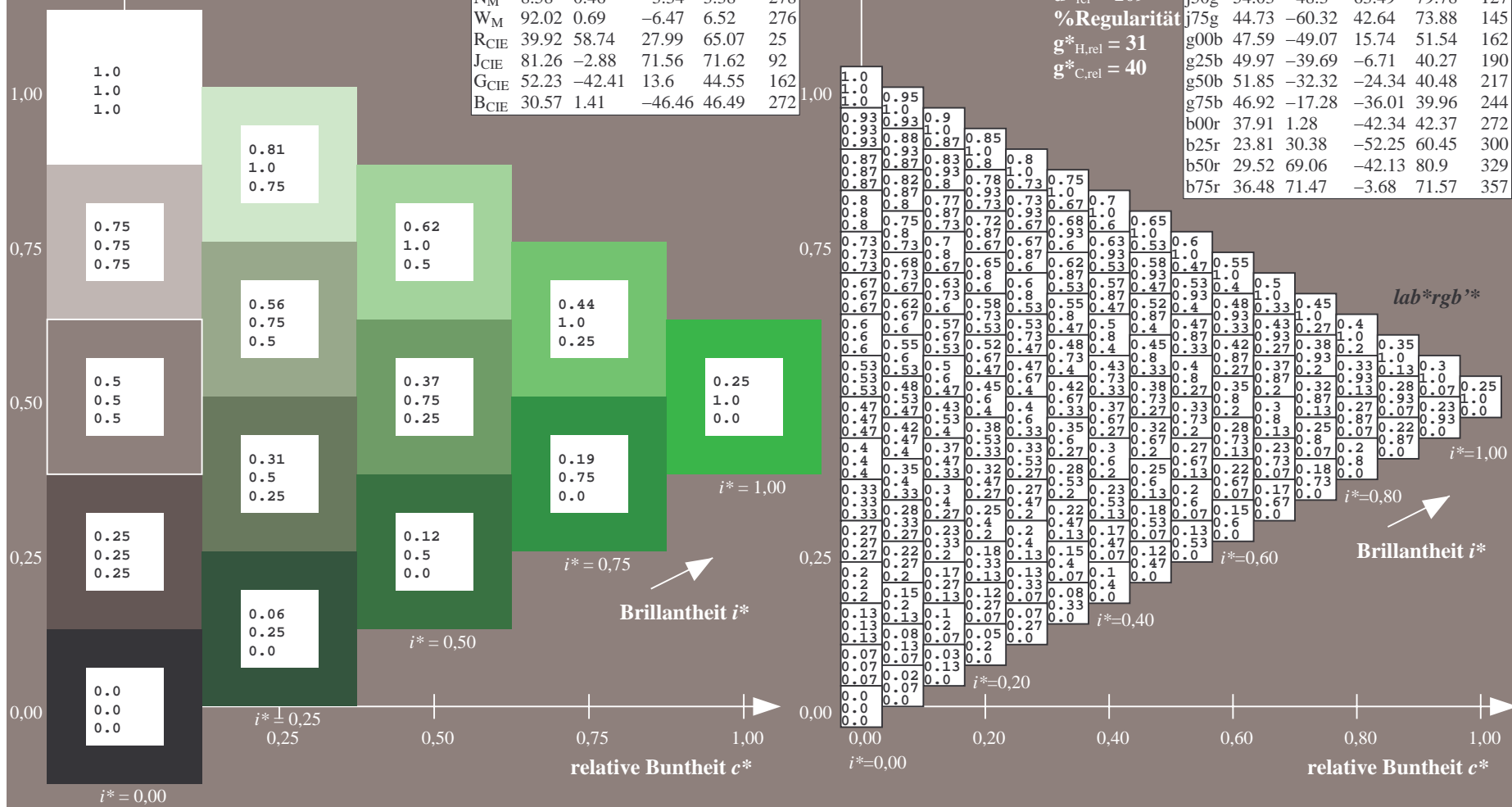
$g^*_{C,rel} = 40$

FRS09\_92aM; adaptierte CIELAB-Daten

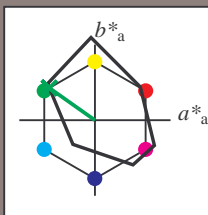
	$L^*=L^*_a$	$a^*_a$	$b^*_a$	$C^*_{ab,a}$	$h^*_{ab,a}$
r00j	35.47	63.32	30.17	70.15	25
r25j	39.12	54.56	49.45	73.64	42
r50j	50.64	39.15	64.89	75.79	59
r75j	64.01	21.26	82.83	85.52	76
j00g	83.18	-4.37	108.53	108.62	92
j25g	66.73	-29.88	83.06	88.28	110
j50g	54.03	-48.3	63.49	79.78	127
j75g	44.73	-60.32	42.64	73.88	145
g00b	47.59	-49.07	15.74	51.54	162
g25b	49.97	-39.69	-6.71	40.27	190
g50b	51.85	-32.32	-24.34	40.48	217
g75b	46.92	-17.28	-36.01	39.96	244
b00r	37.91	1.28	-42.34	42.37	272
b25r	23.81	30.38	-52.25	60.45	300
b50r	29.52	69.06	-42.13	80.9	329
b75r	36.48	71.47	-3.68	71.57	357

Siehe ähnliche Dateien: <http://www.ps.bam.de/Dg92/>; [www.ps.bam.de/Dg92/10L/L92G00NA.PS/.TXT](http://www.ps.bam.de/Dg92/10L/L92G00NA.PS/.TXT)  
Technische Information: <http://www.ps.bam.de> Version 2.1, io=1,1, ColSpx=0

BAM-Registrierung: 20080701-Dg92/10L/L92G00NA.PS/.TXTBAM-Material: Code=rh4ta  
Anwendung für Beurteilung und Messung von Drucker- oder Monitorsystemen



Ein und Ausgabe: Farbmetrisches Drucker-Reflektiv-System FRS09\_92aM für relativen CIELAB-Buntton  $h^* = lab^*h^* = h_{ab}/360 = 145/360 = 0.402$   $u^* = j75g$   
Daten für jede Farbe:  
 $lab^*ch^*$  und  $lab^*icu^*$   
Elementar-Bunttontext:  
 $u^* = j75g$   
Kontrastreduzierungsfaktor:  
 $c_R = 1.0$   
Dreiecks-Helligkeit  $i^*$



FRS09_92aM; CIELAB-Daten					
	$L^*=L^*$	$a^*$	$b^*$	$C^*_{ab}$	$h^*_{ab}$
O <sub>M</sub>	35.06	60.53	39.66	72.37	33
Y <sub>M</sub>	83.77	-4.49	103.15	103.25	92
L <sub>M</sub>	44.13	-62.1	43.56	75.86	145
C <sub>M</sub>	52.66	-28.55	-36.98	46.73	232
V <sub>M</sub>	14.15	50.78	-62.59	80.61	309
M <sub>M</sub>	37.37	79.18	-37.92	87.8	334
N <sub>M</sub>	8.58	0.46	-3.34	3.38	278
W <sub>M</sub>	92.02	0.69	-6.47	6.52	276
R <sub>CIE</sub>	39.92	58.74	27.99	65.07	25
J <sub>CIE</sub>	81.26	-2.88	71.56	71.62	92
G <sub>CIE</sub>	52.23	-42.41	13.6	44.55	162
B <sub>CIE</sub>	30.57	1.41	-46.46	46.49	272

Daten für Maximalfarbe (Ma):

$LAB^*LAB^*_{Ma}$ : 45 -59 43

$LAB^*LCH^*_{Ma}$ : 45 74 145

$lab^*rgb^*_{Ma}$ : 0.25 1.0 0.0

$lab^*olv^*_{Ma}$ : 0.0 1.0 0.07

Dreiecks-Helligkeit  $i^*$

%Umfang

$u^*_{rel} = 109$

%Regularität

$g^*_{H,rel} = 31$

$g^*_{C,rel} = 40$

FRS09\_92aM; adaptierte CIELAB-Daten

	$L^*=L^*_a$	$a^*_a$	$b^*_a$	$C^*_{ab,a}$	$h^*_{ab,a}$
r00j	35.47	63.32	30.17	70.15	25
r25j	39.12	54.56	49.45	73.64	42
r50j	50.64	39.15	64.89	75.79	59
r75j	64.01	21.26	82.83	85.52	76
j00g	83.18	-4.37	108.53	108.62	92
j25g	66.73	-29.88	83.06	88.28	110
j50g	54.03	-48.3	63.49	79.78	127
j75g	44.73	-60.32	42.64	73.88	145
g00b	47.59	-49.07	15.74	51.54	162
g25b	49.97	-39.69	-6.71	40.27	190
g50b	51.85	-32.32	-24.34	40.48	217
g75b	46.92	-17.28	-36.01	39.96	244
b00r	37.91	1.28	-42.34	42.37	272
b25r	23.81	30.38	-52.25	60.45	300
b50r	29.52	69.06	-42.13	80.9	329
b75r	36.48	71.47	-3.68	71.57	357

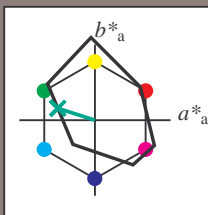
$lab^*rgb^*$					
	$lab^*r$	$lab^*g$	$lab^*b$	$i^*$	$c^*$
0.0	0.0	0.0	0.0	0.0	0.0
0.25	0.25	0.0	0.0	0.25	0.25
0.5	0.5	0.0	0.0	0.5	0.5
0.75	0.75	0.0	0.0	0.75	0.75
1.0	1.0	0.0	0.0	1.0	1.0

$lab^*rgb^*$					
	$lab^*r$	$lab^*g$	$lab^*b$	$i^*$	$c^*$
0.0	0.0	0.0	0.0	0.0	0.0
0.25	0.25	0.0	0.0	0.25	0.25
0.5	0.5	0.0	0.0	0.5	0.5
0.75	0.75	0.0	0.0	0.75	0.75
1.0	1.0	0.0	0.0	1.0	1.0

$lab^*rgb^*$					
	$lab^*r$	$lab^*g$	$lab^*b$	$i^*$	$c^*$
0.0	0.0	0.0	0.0	0.0	0.0
0.25	0.25	0.0	0.0	0.25	0.25
0.5	0.5	0.0	0.0	0.5	0.5
0.75	0.75	0.0	0.0	0.75	0.75
1.0	1.0	0.0	0.0	1.0	1.0

$lab^*rgb^*$					
	$lab^*r$	$lab^*g$	$lab^*b$	$i^*$	$c^*$
0.0	0.0	0.0	0.0	0.0	0.0
0.25	0.25	0.0	0.0	0.25	0.25
0.5	0.5	0.0	0.0	0.5	0.5
0.75	0.75	0.0	0.0	0.75	0.75
1.0	1.0	0.0	0.0	1.0	1.0

Ein und Ausgabe: Farbmetrisches Drucker-Reflektiv-System FRS09\_92aM für relativen CIELAB-Buntton  $h^* = lab^*h^* = h_{ab}/360 = 162/360 = 0.451$   $u^* = g00b$   
Daten für jede Farbe:  
 $lab^*ch^*$  und  $lab^*icu^*$   
Elementar-Bunttontext:  
 $u^* = g00b$   
Kontrastreduzierungsfaktor:  
 $c_R = 1.0$   
Dreiecks-Helligkeit  $i^*$



FRS09_92aM; CIELAB-Daten					
	$L^*=L^*$	$a^*$	$b^*$	$C^*_{ab}$	$h^*_{ab}$
O <sub>M</sub>	35.06	60.53	39.66	72.37	33
Y <sub>M</sub>	83.77	-4.49	103.15	103.25	92
L <sub>M</sub>	44.13	-62.1	43.56	75.86	145
C <sub>M</sub>	52.66	-28.55	-36.98	46.73	232
V <sub>M</sub>	14.15	50.78	-62.59	80.61	309
M <sub>M</sub>	37.37	79.18	-37.92	87.8	334
N <sub>M</sub>	8.58	0.46	-3.34	3.38	278
W <sub>M</sub>	92.02	0.69	-6.47	6.52	276
R <sub>CIE</sub>	39.92	58.74	27.99	65.07	25
J <sub>CIE</sub>	81.26	-2.88	71.56	71.62	92
G <sub>CIE</sub>	52.23	-42.41	13.6	44.55	162
B <sub>CIE</sub>	30.57	1.41	-46.46	46.49	272

Daten für Maximalfarbe (Ma):

$LAB^*LAB^*_{Ma}$ : 48 -48 16

$LAB^*LCH^*_{Ma}$ : 48 52 162

$lab^*rgb^*_{Ma}$ : 0.0 1.0 0.0

$lab^*olv^*_{Ma}$ : 0.0 1.0 0.41

Dreiecks-Helligkeit  $i^*$

%Umfang

$u^*_{rel} = 109$

%Regularität

$g^*_{H,rel} = 31$

$g^*_{C,rel} = 40$

FRS09\_92aM; adaptierte CIELAB-Daten

	$L^*=L^*_a$	$a^*_a$	$b^*_a$	$C^*_{ab,a}$	$h^*_{ab,a}$
r00j	35.47	63.32	30.17	70.15	25
r25j	39.12	54.56	49.45	73.64	42
r50j	50.64	39.15	64.89	75.79	59
r75j	64.01	21.26	82.83	85.52	76
j00g	83.18	-4.37	108.53	108.62	92
j25g	66.73	-29.88	83.06	88.28	110
j50g	54.03	-48.3	63.49	79.78	127
j75g	44.73	-60.32	42.64	73.88	145
g00b	47.59	-49.07	15.74	51.54	162
g25b	49.97	-39.69	-6.71	40.27	190
g50b	51.85	-32.32	-24.34	40.48	217
g75b	46.92	-17.28	-36.01	39.96	244
b00r	37.91	1.28	-42.34	42.37	272
b25r	23.81	30.38	-52.25	60.45	300
b50r	29.52	69.06	-42.13	80.9	329
b75r	36.48	71.47	-3.68	71.57	357

$lab^*rgb^*$					
	$lab^*r$	$lab^*g$	$lab^*b$	$i^*$	$c^*$
0.0	0.0	0.0	0.0	0.0	0.0
0.1	0.1	0.1	0.1	0.1	0.1
0.2	0.2	0.2	0.2	0.2	0.2
0.3	0.3	0.3	0.3	0.3	0.3
0.4	0.4	0.4	0.4	0.4	0.4
0.5	0.5	0.5	0.5	0.5	0.5
0.6	0.6	0.6	0.6	0.6	0.6
0.7	0.7	0.7	0.7	0.7	0.7
0.8	0.8	0.8	0.8	0.8	0.8
0.9	0.9	0.9	0.9	0.9	0.9
1.0	1.0	1.0	1.0	1.0	1.0



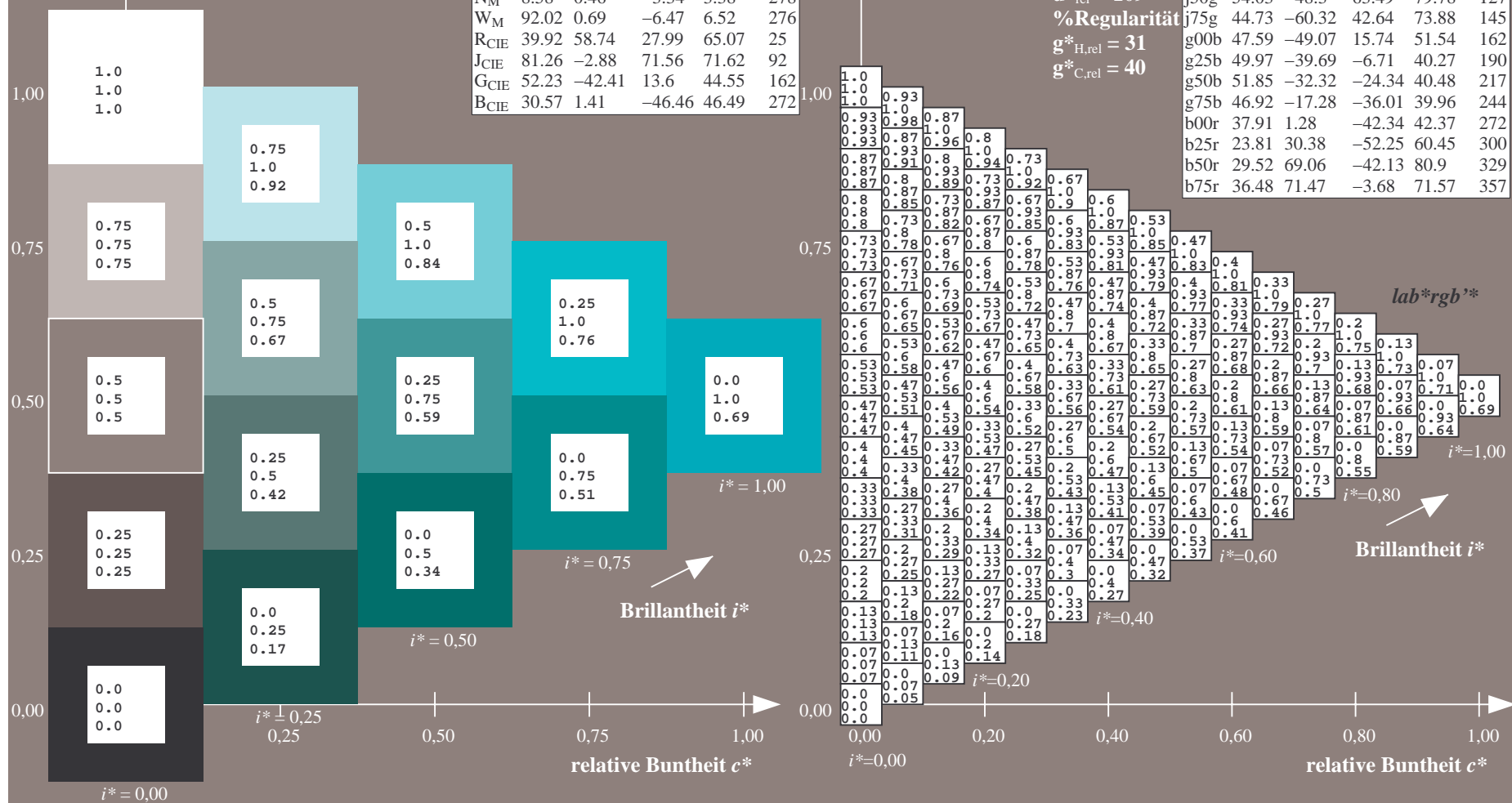
100



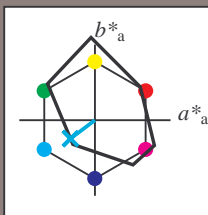
\_\_\_\_\_

Siehe ähnliche Dateien: <http://www.ps.bam.de/Dg92/>; [www.ps.bam.de/Dg.HTM](http://www.ps.bam.de/Dg.HTM)  
Technische Information: <http://www.ps.bam.de> Version 2.1, io=1, ColSp=0

BAM-Registrierung: 20080701-Dg92/10L/L92G00NA.PS/.TXTBAM-Material: Code=rha4ta  
Anwendung für Beurteilung und Messung von Drucker- oder Monitorsystemen



Ein und Ausgabe: Farbmetrisches Drucker-Reflektiv-System FRS09\_92aM für relativen CIELAB-Buntton  $h^* = lab^*h^* = h_{ab}/360 = 217/360 = 0.603$   $u^* = g50b$   
Daten für jede Farbe:  
 $lab^*ch^*$  und  $lab^*icu^*$   
Elementar-Bunttontext:  
 $u^* = g50b$   
Kontrastreduzierungsfaktor:  
 $c_R = 1.0$   
Dreiecks-Helligkeit  $i^*$



FRS09_92aM; CIELAB-Daten					
	$L^*=L^*$	$a^*$	$b^*$	$C^*_{ab}$	$h^*_{ab}$
O <sub>M</sub>	35.06	60.53	39.66	72.37	33
Y <sub>M</sub>	83.77	-4.49	103.15	103.25	92
L <sub>M</sub>	44.13	-62.1	43.56	75.86	145
C <sub>M</sub>	52.66	-28.55	-36.98	46.73	232
V <sub>M</sub>	14.15	50.78	-62.59	80.61	309
M <sub>M</sub>	37.37	79.18	-37.92	87.8	334
N <sub>M</sub>	8.58	0.46	-3.34	3.38	278
W <sub>M</sub>	92.02	0.69	-6.47	6.52	276
R <sub>CIE</sub>	39.92	58.74	27.99	65.07	25
J <sub>CIE</sub>	81.26	-2.88	71.56	71.62	92
G <sub>CIE</sub>	52.23	-42.41	13.6	44.55	162
B <sub>CIE</sub>	30.57	1.41	-46.46	46.49	272

Daten für Maximalfarbe (Ma):

$LAB^*LAB^*_{Ma}$ : 52 -31 -23

$LAB^*LCH^*_{Ma}$ : 52 40 217

$lab^*rgb^*_{Ma}$ : 0.0 1.0 1.0

$lab^*olv^*_{Ma}$ : 0.0 1.0 0.9

Dreiecks-Helligkeit  $i^*$

%Umfang

$u^*_{rel} = 109$

%Regularität

$g^*_{H,rel} = 31$

$g^*_{C,rel} = 40$

FRS09\_92aM; adaptierte CIELAB-Daten

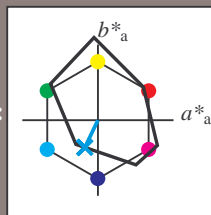
	$L^*=L^*_a$	$a^*_a$	$b^*_a$	$C^*_{ab,a}$	$h^*_{ab,a}$
r00j	35.47	63.32	30.17	70.15	25
r25j	39.12	54.56	49.45	73.64	42
r50j	50.64	39.15	64.89	75.79	59
r75j	64.01	21.26	82.83	85.52	76
j00g	83.18	-4.37	108.53	108.62	92
j25g	66.73	-29.88	83.06	88.28	110
j50g	54.03	-48.3	63.49	79.78	127
j75g	44.73	-60.32	42.64	73.88	145
g00b	47.59	-49.07	15.74	51.54	162
g25b	49.97	-39.69	-6.71	40.27	190
g50b	51.85	-32.32	-24.34	40.48	217
g75b	46.92	-17.28	-36.01	39.96	244
b00r	37.91	1.28	-42.34	42.37	272
b25r	23.81	30.38	-52.25	60.45	300
b50r	29.52	69.06	-42.13	80.9	329
b75r	36.48	71.47	-3.68	71.57	357

$lab^*rgb^*$

	$i^*$	$i^*$	$i^*$	$i^*$	$i^*$
r00j	1.0	0.93	0.87	0.8	0.73
r25j	0.93	0.99	0.93	0.87	0.8
r50j	0.87	0.93	0.87	0.8	0.73
r75j	0.8	0.87	0.8	0.73	0.67
j00g	0.73	0.8	0.73	0.67	0.6
j25g	0.67	0.73	0.67	0.6	0.53
j50g	0.6	0.67	0.6	0.53	0.47
j75g	0.53	0.6	0.53	0.47	0.4
g00b	0.47	0.53	0.47	0.4	0.33
g25b	0.4	0.47	0.4	0.33	0.27
g50b	0.33	0.4	0.33	0.27	0.2
g75b	0.27	0.33	0.27	0.2	0.13
b00r	0.2	0.27	0.2	0.13	0.07
b25r	0.13	0.2	0.13	0.07	0.0
b50r	0.07	0.13	0.07	0.0	0.0
b75r	0.0	0.07	0.0	0.0	0.0

relative Buntheit  $c^*$

Ein und Ausgabe: Farbmetrisches Drucker-Reflektiv-System FRS09\_92aM für relativen CIELAB-Buntton  $h^* = lab^*h^* = h_{ab}/360 = 244/360 = 0.679$   $u^* = g75b$   
Daten für jede Farbe:  
 $lab^*tch^*$  und  $lab^*icu^*$   
Elementar-Bunttontext:  
 $u^* = g75b$   
Kontrastreduzierungsfaktor:  
 $c_R = 1.0$   
Dreiecks-Helligkeit  $t^*$



FRS09_92aM; CIELAB-Daten					
	$L^*=L^*$	$a^*$	$b^*$	$C^*_{ab}$	$h^*_{ab}$
O <sub>M</sub>	35.06	60.53	39.66	72.37	33
Y <sub>M</sub>	83.77	-4.49	103.15	103.25	92
L <sub>M</sub>	44.13	-62.1	43.56	75.86	145
C <sub>M</sub>	52.66	-28.55	-36.98	46.73	232
V <sub>M</sub>	14.15	50.78	-62.59	80.61	309
M <sub>M</sub>	37.37	79.18	-37.92	87.8	334
N <sub>M</sub>	8.58	0.46	-3.34	3.38	278
W <sub>M</sub>	92.02	0.69	-6.47	6.52	276
R <sub>CIE</sub>	39.92	58.74	27.99	65.07	25
J <sub>CIE</sub>	81.26	-2.88	71.56	71.62	92
G <sub>CIE</sub>	52.23	-42.41	13.6	44.55	162
B <sub>CIE</sub>	30.57	1.41	-46.46	46.49	272

Daten für Maximalfarbe (Ma):

$LAB^*LAB^*_{Ma}$ : 47 -16 -35

$LAB^*LCH^*_{Ma}$ : 47 40 244

$lab^*rgb^*_{Ma}$ : 0.0 0.5 1.0

$lab^*olv^*_{Ma}$ : 0.0 0.85 1.0

Dreiecks-Helligkeit  $t^*$

%Umfang

$u^*_{rel} = 109$

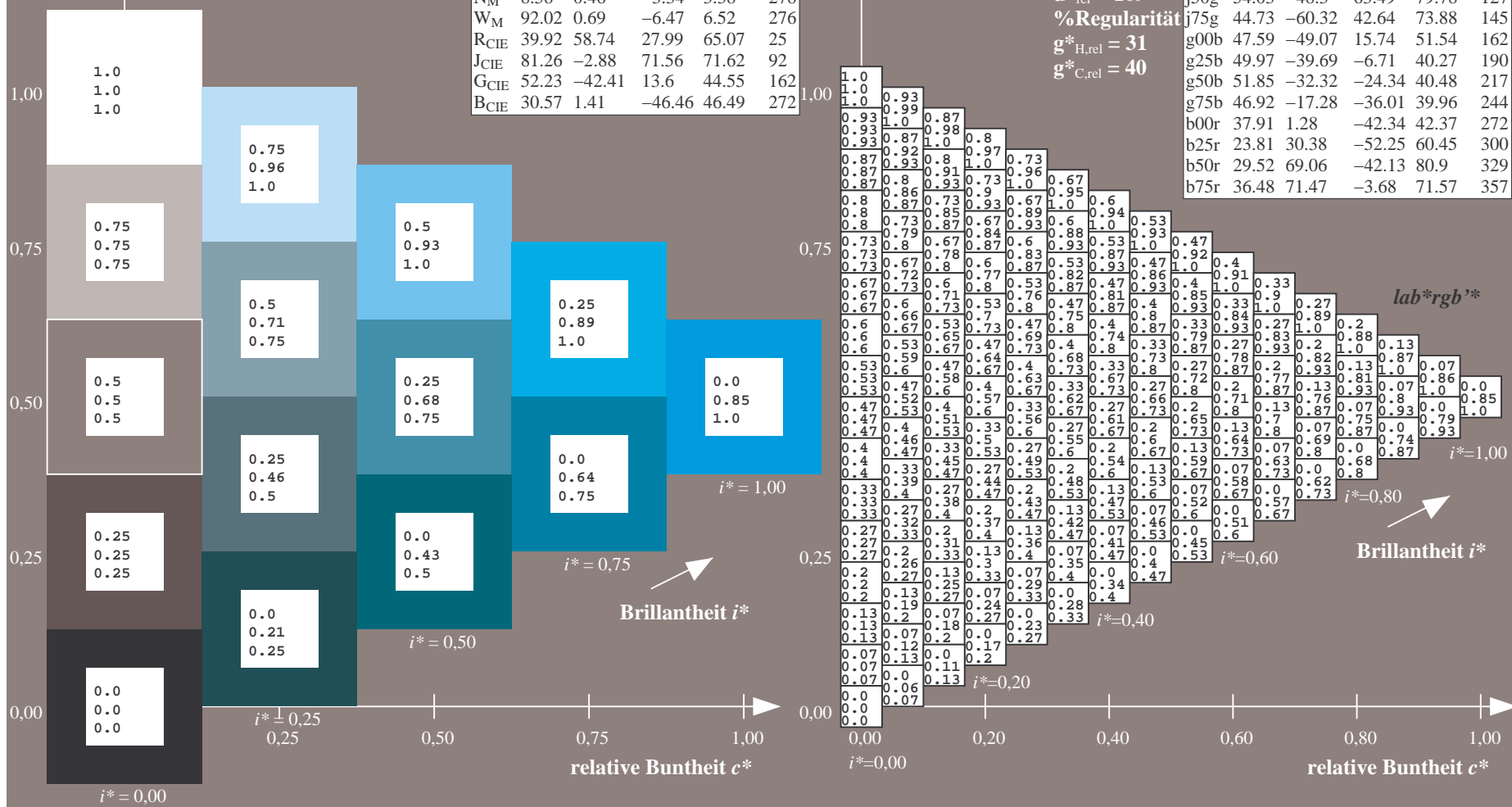
%Regularität

$g^*_{H,rel} = 31$

$g^*_{C,rel} = 40$

FRS09\_92aM; adaptierte CIELAB-Daten

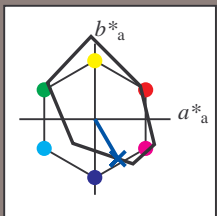
	$L^*=L^*_a$	$a^*_a$	$b^*_a$	$C^*_{ab,a}$	$h^*_{ab,a}$
r00j	35.47	63.32	30.17	70.15	25
r25j	39.12	54.56	49.45	73.64	42
r50j	50.64	39.15	64.89	75.79	59
r75j	64.01	21.26	82.83	85.52	76
j00g	83.18	-4.37	108.53	108.62	92
j25g	66.73	-29.88	83.06	88.28	110
j50g	54.03	-48.3	63.49	79.78	127
j75g	44.73	-60.32	42.64	73.88	145
g00b	47.59	-49.07	15.74	51.54	162
g25b	49.97	-39.69	-6.71	40.27	190
g50b	51.85	-32.32	-24.34	40.48	217
g75b	46.92	-17.28	-36.01	39.96	244
b00r	37.91	1.28	-42.34	42.37	272
b25r	23.81	30.38	-52.25	60.45	300
b50r	29.52	69.06	-42.13	80.9	329
b75r	36.48	71.47	-3.68	71.57	357



BAM-Registrierung: 20080701-Dg92/10L/L92G00NA.PS/ .TXTBAM-Material: Code=rha4ta



Ein und Ausgabe: Farbmetrisches Drucker-Reflektiv-System FRS09\_92aM für relativen CIELAB-Buntton  $h^* = lab^*h^* = h_{ab}/360 = 300/360 = 0.834$   $u^* = b25r$   
Daten für jede Farbe:  
 $lab^*ch^*$  und  $lab^*icu^*$   
Elementar-Bunttontext:  
 $u^* = b25r$   
Kontrastreduzierungsfaktor:  
 $c_R = 1.0$   
Dreiecks-Helligkeit  $i^*$



FRS09_92aM; CIELAB-Daten					
	$L^*=L^*$	$a^*$	$b^*$	$C^*_{ab}$	$h^*_{ab}$
O <sub>M</sub>	35.06	60.53	39.66	72.37	33
Y <sub>M</sub>	83.77	-4.49	103.15	103.25	92
L <sub>M</sub>	44.13	-62.1	43.56	75.86	145
C <sub>M</sub>	52.66	-28.55	-36.98	46.73	232
V <sub>M</sub>	14.15	50.78	-62.59	80.61	309
M <sub>M</sub>	37.37	79.18	-37.92	87.8	334
N <sub>M</sub>	8.58	0.46	-3.34	3.38	278
W <sub>M</sub>	92.02	0.69	-6.47	6.52	276
R <sub>CIE</sub>	39.92	58.74	27.99	65.07	25
J <sub>CIE</sub>	81.26	-2.88	71.56	71.62	92
G <sub>CIE</sub>	52.23	-42.41	13.6	44.55	162
B <sub>CIE</sub>	30.57	1.41	-46.46	46.49	272

Daten für Maximalfarbe (Ma):

$LAB^*LAB^*_{Ma}$ : 24 30 -51

$LAB^*LCH^*_{Ma}$ : 24 60 300

$lab^*rgb^*_{Ma}$ : 0.5 0.0 1.0

$lab^*olv^*_{Ma}$ : 0.0 0.25 1.0

Dreiecks-Helligkeit  $i^*$

%Umfang

$u^*_{rel} = 109$

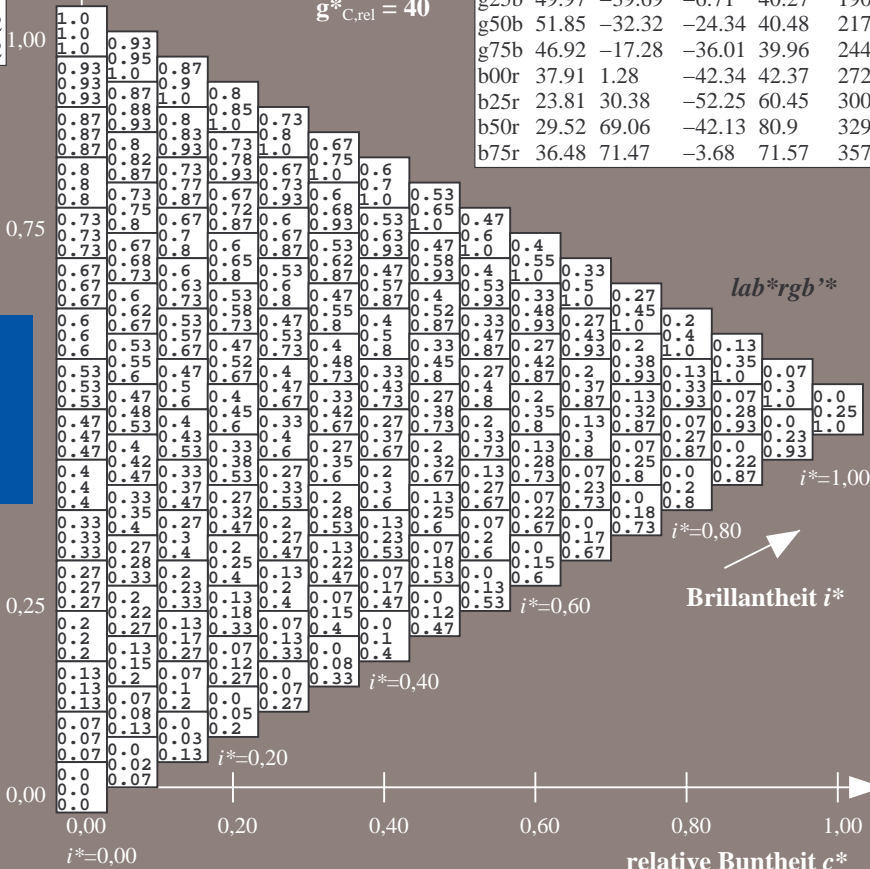
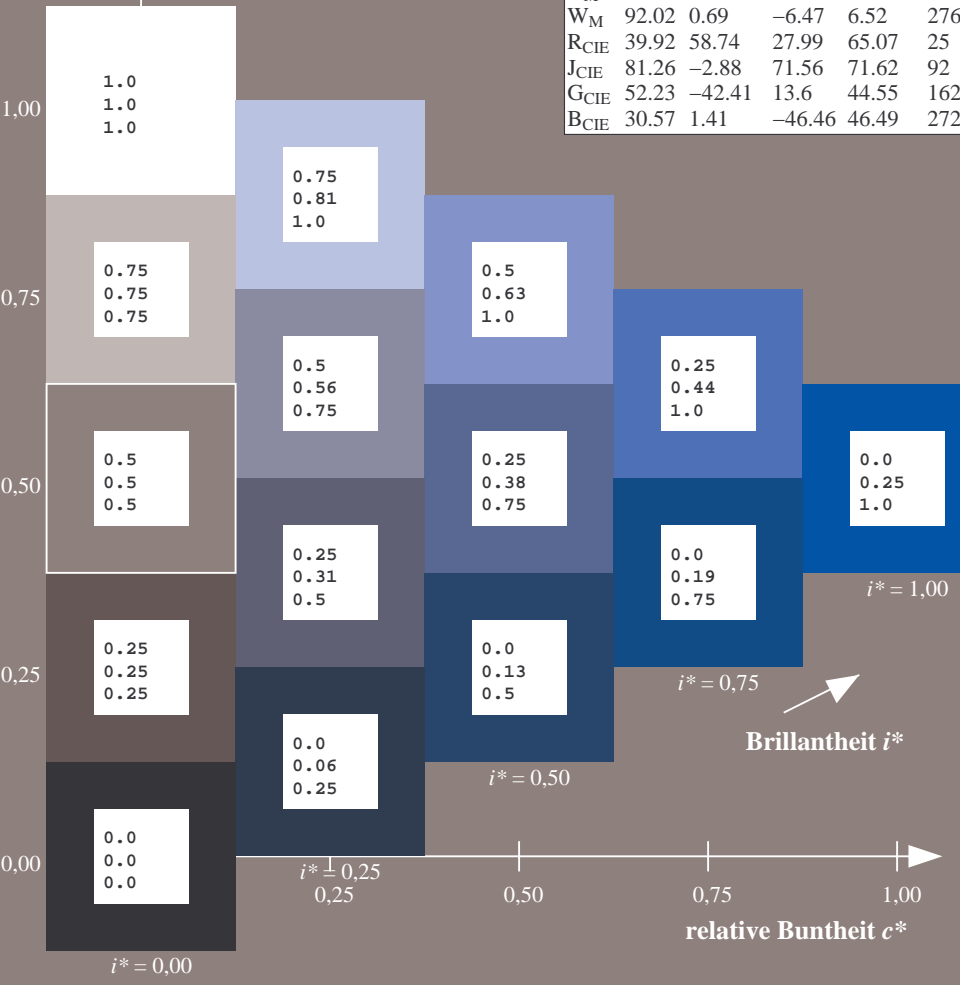
%Regularität

$g^*_{H,rel} = 31$

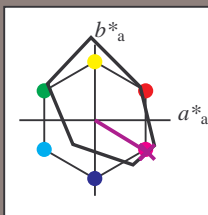
$g^*_{C,rel} = 40$

FRS09\_92aM; adaptierte CIELAB-Daten

	$L^*=L^*_a$	$a^*_a$	$b^*_a$	$C^*_{ab,a}$	$h^*_{ab,a}$
r00j	35.47	63.32	30.17	70.15	25
r25j	39.12	54.56	49.45	73.64	42
r50j	50.64	39.15	64.89	75.79	59
r75j	64.01	21.26	82.83	85.52	76
j00g	83.18	-4.37	108.53	108.62	92
j25g	66.73	-29.88	83.06	88.28	110
j50g	54.03	-48.3	63.49	79.78	127
j75g	44.73	-60.32	42.64	73.88	145
g00b	47.59	-49.07	15.74	51.54	162
g25b	49.97	-39.69	-6.71	40.27	190
g50b	51.85	-32.32	-24.34	40.48	217
g75b	46.92	-17.28	-36.01	39.96	244
b00r	37.91	1.28	-42.34	42.37	272
b25r	23.81	30.38	-52.25	60.45	300
b50r	29.52	69.06	-42.13	80.9	329
b75r	36.48	71.47	-3.68	71.57	357



Ein und Ausgabe: Farbmetrisches Drucker-Reflektiv-System FRS09\_92aM für relativen CIELAB-Buntton  $h^* = lab^*h^* = h_{ab}/360 = 329/360 = 0.913$   $u^* = b50r$   
Daten für jede Farbe:  
 $lab^*ch^*$  und  $lab^*icu^*$   
Elementar-Bunttontext:  
 $u^* = b50r$   
Kontrastreduzierungsfaktor:  
 $c_R = 1.0$   
Dreiecks-Helligkeit  $i^*$



FRS09_92aM; CIELAB-Daten					
	$L^*=L^*$	$a^*$	$b^*$	$C^*_{ab}$	$h^*_{ab}$
O <sub>M</sub>	35.06	60.53	39.66	72.37	33
Y <sub>M</sub>	83.77	-4.49	103.15	103.25	92
L <sub>M</sub>	44.13	-62.1	43.56	75.86	145
C <sub>M</sub>	52.66	-28.55	-36.98	46.73	232
V <sub>M</sub>	14.15	50.78	-62.59	80.61	309
M <sub>M</sub>	37.37	79.18	-37.92	87.8	334
N <sub>M</sub>	8.58	0.46	-3.34	3.38	278
W <sub>M</sub>	92.02	0.69	-6.47	6.52	276
R <sub>CIE</sub>	39.92	58.74	27.99	65.07	25
J <sub>CIE</sub>	81.26	-2.88	71.56	71.62	92
G <sub>CIE</sub>	52.23	-42.41	13.6	44.55	162
B <sub>CIE</sub>	30.57	1.41	-46.46	46.49	272

Daten für Maximalfarbe (Ma):

$LAB^*LAB^*_{Ma}$ : 30 69 -41

$LAB^*LCH^*_{Ma}$ : 30 81 329

$lab^*rgb^*_{Ma}$ : 1.0 0.0 1.0

$lab^*olv^*_{Ma}$ : 0.66 0.0 1.0

Dreiecks-Helligkeit  $i^*$

%Umfang

$u^*_{rel} = 109$

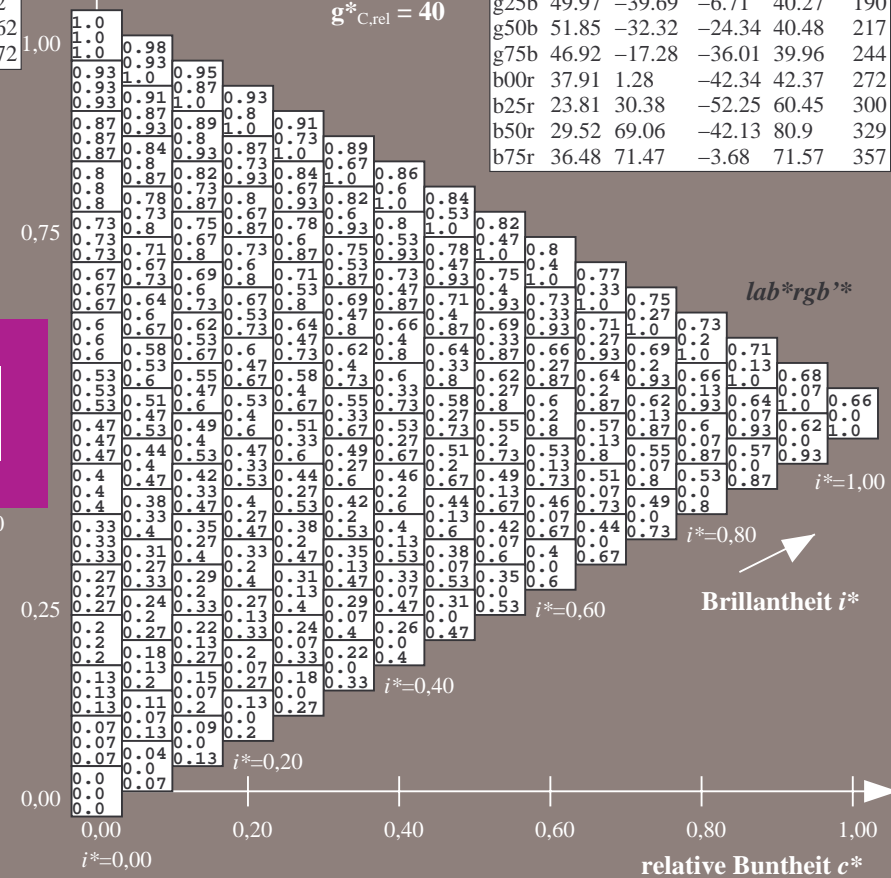
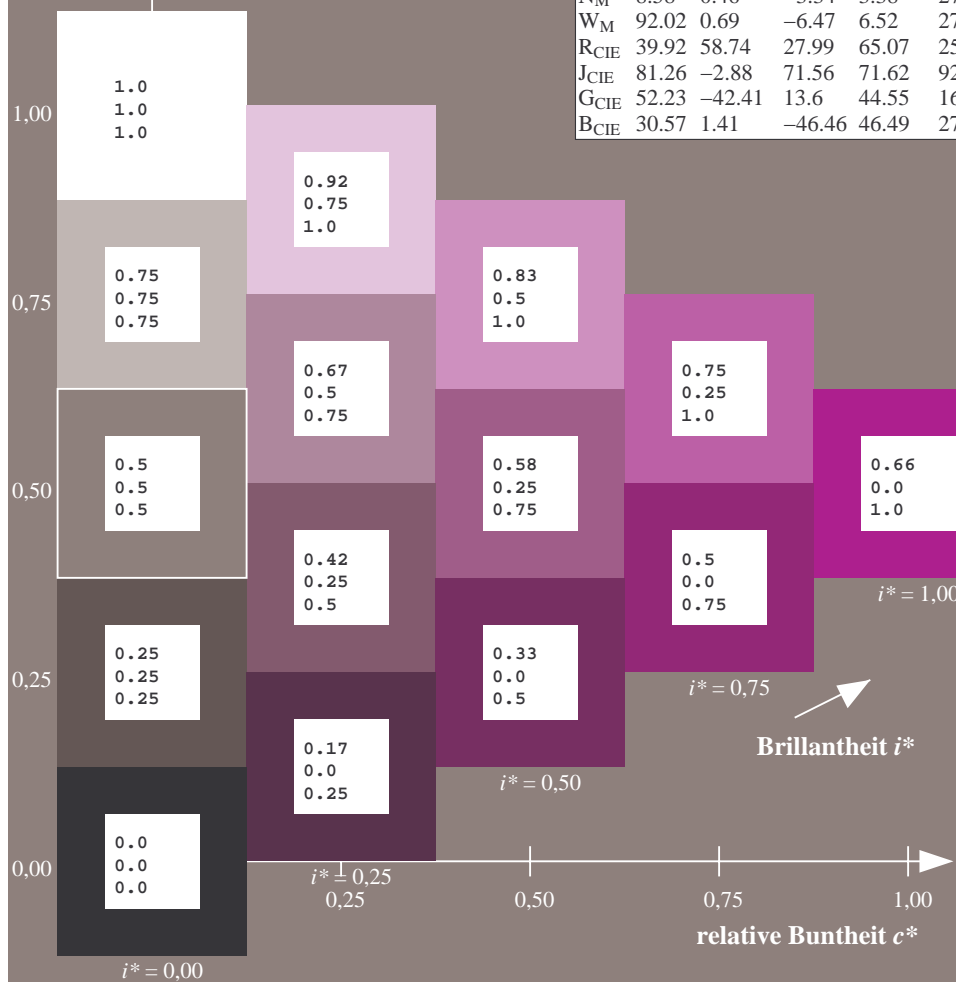
%Regularität

$g^*_{H,rel} = 31$

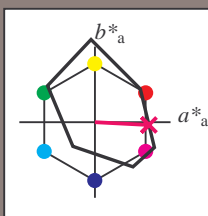
$g^*_{C,rel} = 40$

FRS09\_92aM; adaptierte CIELAB-Daten

	$L^*=L^*_a$	$a^*_a$	$b^*_a$	$C^*_{ab,a}$	$h^*_{ab,a}$
r00j	35.47	63.32	30.17	70.15	25
r25j	39.12	54.56	49.45	73.64	42
r50j	50.64	39.15	64.89	75.79	59
r75j	64.01	21.26	82.83	85.52	76
j00g	83.18	-4.37	108.53	108.62	92
j25g	66.73	-29.88	83.06	88.28	110
j50g	54.03	-48.3	63.49	79.78	127
j75g	44.73	-60.32	42.64	73.88	145
g00b	47.59	-49.07	15.74	51.54	162
g25b	49.97	-39.69	-6.71	40.27	190
g50b	51.85	-32.32	-24.34	40.48	217
g75b	46.92	-17.28	-36.01	39.96	244
b00r	37.91	1.28	-42.34	42.37	272
b25r	23.81	30.38	-52.25	60.45	300
b50r	29.52	69.06	-42.13	80.9	329
b75r	36.48	71.47	-3.68	71.57	357



Ein und Ausgabe: Farbmetrisches Drucker-Reflektiv-System FRS09\_92aM für relativen CIELAB-Buntton  $h^* = lab^*h^* = h_{ab}/360 = 357/360 = 0.992$   $u^* = b75r$   
Daten für jede Farbe:  
 $lab^*ch^*$  und  $lab^*icu^*$   
Elementar-Bunttontext:  
 $u^* = b75r$   
Kontrastreduzierungsfaktor:  
 $c_R = 1.0$   
Dreiecks-Helligkeit  $i^*$



FRS09_92aM; CIELAB-Daten					
	$L^*=L^*$	$a^*$	$b^*$	$C^*_{ab}$	$h^*_{ab}$
O <sub>M</sub>	35.06	60.53	39.66	72.37	33
Y <sub>M</sub>	83.77	-4.49	103.15	103.25	92
L <sub>M</sub>	44.13	-62.1	43.56	75.86	145
C <sub>M</sub>	52.66	-28.55	-36.98	46.73	232
V <sub>M</sub>	14.15	50.78	-62.59	80.61	309
M <sub>M</sub>	37.37	79.18	-37.92	87.8	334
N <sub>M</sub>	8.58	0.46	-3.34	3.38	278
W <sub>M</sub>	92.02	0.69	-6.47	6.52	276
R <sub>CIE</sub>	39.92	58.74	27.99	65.07	25
J <sub>CIE</sub>	81.26	-2.88	71.56	71.62	92
G <sub>CIE</sub>	52.23	-42.41	13.6	44.55	162
B <sub>CIE</sub>	30.57	1.41	-46.46	46.49	272

Daten für Maximalfarbe (Ma):

$LAB^*LAB^*_{Ma}$ : 36 71 -3

$LAB^*LCH^*_{Ma}$ : 36 72 357

$lab^*rgb^*_{Ma}$ : 1.0 0.0 0.5

$lab^*olv^*_{Ma}$ : 1.0 0.0 0.62

Dreiecks-Helligkeit  $i^*$

%Umfang

$u^*_{rel} = 109$

%Regularität

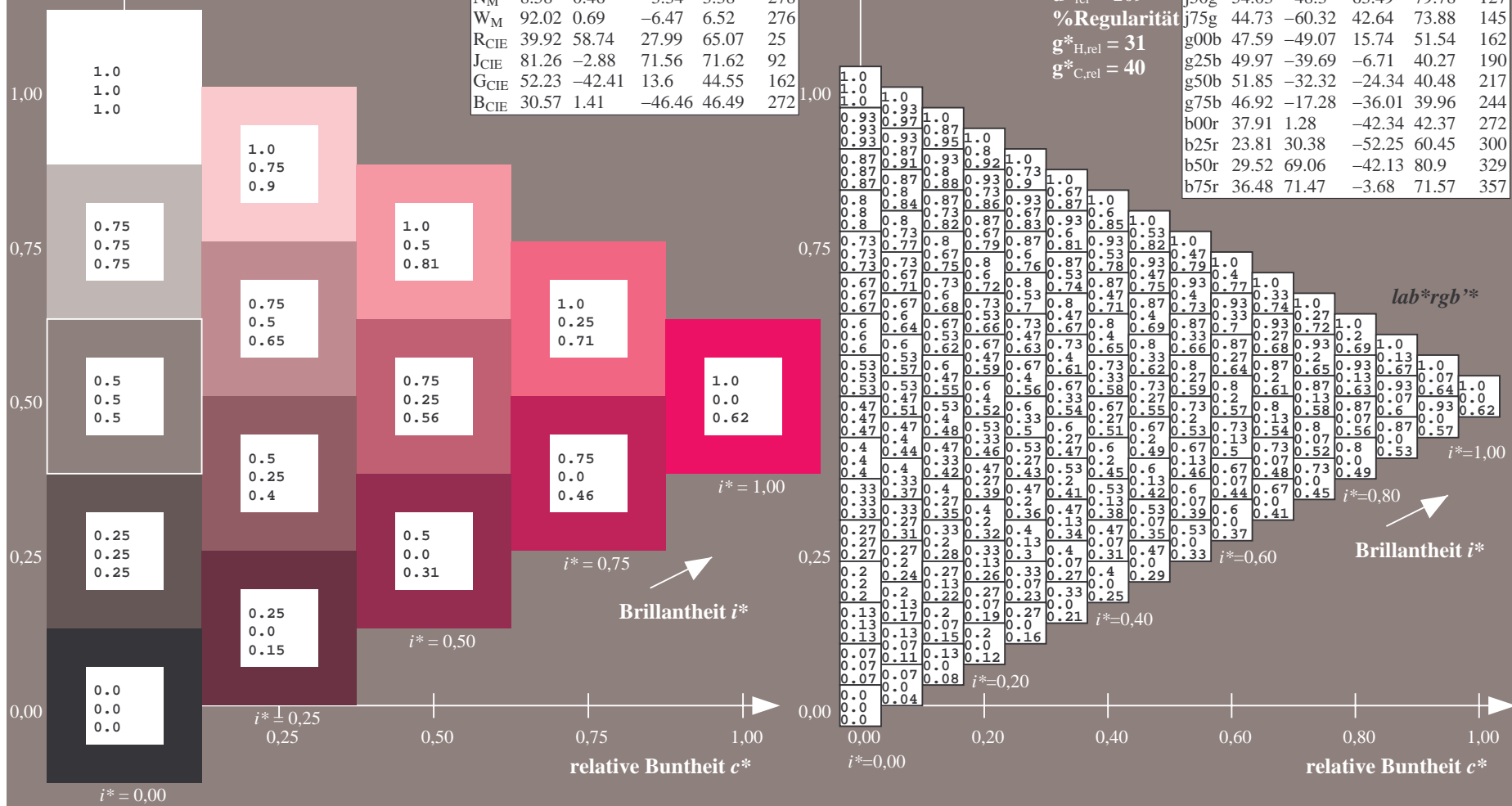
$g^*_{H,rel} = 31$

$g^*_{C,rel} = 40$

FRS09_92aM; adaptierte CIELAB-Daten					
	$L^*=L^*_a$	$a^*_a$	$b^*_a$	$C^*_{ab,a}$	$h^*_{ab,a}$
r00j	35.47	63.32	30.17	70.15	25
r25j	39.12	54.56	49.45	73.64	42
r50j	50.64	39.15	64.89	75.79	59
r75j	64.01	21.26	82.83	85.52	76
j00g	83.18	-4.37	108.53	108.62	92
j25g	66.73	-29.88	83.06	88.28	110
j50g	54.03	-48.3	63.49	79.78	127
j75g	44.73	-60.32	42.64	73.88	145
g00b	47.59	-49.07	15.74	51.54	162
g25b	49.97	-39.69	-6.71	40.27	190
g50b	51.85	-32.32	-24.34	40.48	217
g75b	46.92	-17.28	-36.01	39.96	244
b00r	37.91	1.28	-42.34	42.37	272
b25r	23.81	30.38	-52.25	60.45	300
b50r	29.52	69.06	-42.13	80.9	329
b75r	36.48	71.47	-3.68	71.57	357

Siehe ähnliche Dateien: <http://www.ps.bam.de/Dg92/>; [www.ps.bam.de/Dg92/10L/L92G00NA.PS/.TXT](http://www.ps.bam.de/Dg92/10L/L92G00NA.PS/.TXT)  
Technische Information: <http://www.ps.bam.de> Version 2.1, io=1,1, ColSpX=0

BAM-Registrierung: 20080701-Dg92/10L/L92G00NA.PS/.TXTBAM-Material: Code=rh4ta  
Anwendung für Beurteilung und Messung von Drucker- oder Monitorsystemen



Siehe ähnliche Dateien: <http://www.ps.bam.de/Dg92/>; [www.ps.bam.de/Dg92/10L/L92G00NA.PS/.TXT](http://www.ps.bam.de/Dg92/10L/L92G00NA.PS/.TXT)  
Technische Information: <http://www.ps.bam.de/Version2.1,io=1.1,ColSpX=0>

	A	B	C	D	E	F	G	H	I	J	K	L	M	N	O	P	Q	R	S	T	U	V	W	X	Y	Z	a	b	c	d	e	f	g	h	i	j	k	lab*rgb**							
01	0.0	0.0	0.0	0.0	0.0	0.0	0.0	0.0	0.0	0.0	0.13	0.13	0.13	0.13	0.13	0.13	0.13	0.13	0.25	0.25	0.25	0.25	0.25	0.25	0.25	0.25	0.25	0.25	0.25	1.0	1.0	1.0	1.0	1.0	1.0	1.0	1.0	1.0	1.0	0.0	0.0	0.0	0.0		
	0.0	0.13	0.25	0.38	0.5	0.63	0.75	0.88	1.0	0.0	0.13	0.25	0.38	0.5	0.63	0.75	0.88	1.0	0.0	0.13	0.25	0.38	0.5	0.63	0.75	0.88	1.0	1.0	0.88	0.75	0.63	0.5	0.38	0.25	0.13	0.0	0.0	0.0	0.0	0.0	0.0	0.0	0.0		
	0.0	0.0	0.0	0.0	0.0	0.0	0.0	0.0	0.0	0.0	0.0	0.0	0.0	0.0	0.0	0.0	0.0	0.0	0.0	0.0	0.0	0.0	0.0	0.0	0.0	0.0	0.0	0.0	0.0	0.88	0.88	0.88	0.88	0.88	0.88	0.88	0.88	0.88	0.88	0.13	0.13	0.13	0.13		
02	0.0	0.13	0.25	0.38	0.5	0.63	0.75	0.88	1.0	0.0	0.13	0.25	0.38	0.5	0.63	0.75	0.88	1.0	0.0	0.13	0.25	0.38	0.5	0.63	0.75	0.88	1.0	1.0	0.88	0.75	0.63	0.5	0.38	0.25	0.13	0.0	0.0	0.13	0.13	0.13	0.13	0.13	0.13	0.13	0.13
	0.13	0.13	0.13	0.13	0.13	0.13	0.13	0.13	0.13	0.13	0.13	0.13	0.13	0.13	0.13	0.13	0.13	0.13	0.13	0.13	0.13	0.13	0.13	0.13	0.13	0.13	0.13	0.13	0.13	0.88	0.88	0.88	0.88	0.88	0.88	0.88	0.88	0.88	0.88	0.13	0.13	0.13	0.13		
	0.0	0.0	0.0	0.0	0.0	0.0	0.0	0.0	0.0	0.0	0.13	0.13	0.13	0.13	0.13	0.13	0.13	0.13	0.25	0.25	0.25	0.25	0.25	0.25	0.25	0.25	0.25	0.25	0.25	0.88	0.88	0.88	0.88	0.88	0.88	0.88	0.88	0.88	0.88	0.13	0.13	0.13	0.13		
03	0.0	0.13	0.25	0.38	0.5	0.63	0.75	0.88	1.0	0.0	0.13	0.25	0.38	0.5	0.63	0.75	0.88	1.0	0.0	0.13	0.25	0.38	0.5	0.63	0.75	0.88	1.0	1.0	0.88	0.75	0.63	0.5	0.38	0.25	0.13	0.0	0.0	0.25	0.25	0.25	0.25	0.25	0.25	0.25	0.25
	0.25	0.25	0.25	0.25	0.25	0.25	0.25	0.25	0.25	0.25	0.25	0.25	0.25	0.25	0.25	0.25	0.25	0.25	0.25	0.25	0.25	0.25	0.25	0.25	0.25	0.25	0.25	0.25	0.25	0.75	0.75	0.75	0.75	0.75	0.75	0.75	0.75	0.75	0.75	0.25	0.25	0.25	0.25		
	0.0	0.0	0.0	0.0	0.0	0.0	0.0	0.0	0.0	0.0	0.13	0.13	0.13	0.13	0.13	0.13	0.13	0.13	0.25	0.25	0.25	0.25	0.25	0.25	0.25	0.25	0.25	0.25	0.25	0.63	0.63	0.63	0.63	0.63	0.63	0.63	0.63	0.63	0.63	0.38	0.38	0.38	0.38		
04	0.0	0.13	0.25	0.38	0.5	0.63	0.75	0.88	1.0	0.0	0.13	0.25	0.38	0.5	0.63	0.75	0.88	1.0	0.0	0.13	0.25	0.38	0.5	0.63	0.75	0.88	1.0	1.0	0.88	0.75	0.63	0.5	0.38	0.25	0.13	0.0	0.0	0.38	0.38	0.38	0.38	0.38	0.38	0.38	0.38
	0.38	0.38	0.38	0.38	0.38	0.38	0.38	0.38	0.38	0.38	0.38	0.38	0.38	0.38	0.38	0.38	0.38	0.38	0.38	0.38	0.38	0.38	0.38	0.38	0.38	0.38	0.38	0.38	0.38	0.88	0.88	0.88	0.88	0.88	0.88	0.88	0.88	0.88	0.88	0.38	0.38	0.38	0.38		
	0.0	0.13	0.25	0.38	0.5	0.63	0.75	0.88	1.0	0.0	0.13	0.25	0.38	0.5	0.63	0.75	0.88	1.0	0.0	0.13	0.25	0.38	0.5	0.63	0.75	0.88	1.0	1.0	0.88	0.75	0.63	0.5	0.38	0.25	0.13	0.0	0.0	0.38	0.38	0.38	0.38	0.38	0.38	0.38	0.38
05	0.0	0.13	0.25	0.38	0.5	0.63	0.75	0.88	1.0	0.0	0.13	0.25	0.38	0.5	0.63	0.75	0.88	1.0	0.0	0.13	0.25	0.38	0.5	0.63	0.75	0.88	1.0	1.0	0.88	0.75	0.63	0.5	0.38	0.25	0.13	0.0	0.0	0.5	0.5	0.5	0.5	0.5	0.5	0.5	0.5
	0.5	0.5	0.5	0.5	0.5	0.5	0.5	0.5	0.5	0.5	0.5	0.5	0.5	0.5	0.5	0.5	0.5	0.5	0.5	0.5	0.5	0.5	0.5	0.5	0.5	0.5	0.5	0.5	0.5	1.0	0.88	0.75	0.63	0.5	0.38	0.25	0.13	0.0	0.0	0.5	0.5	0.5	0.5		
	0.0	0.0	0.0	0.0	0.0	0.0	0.0	0.0	0.0	0.0	0.13	0.13	0.13	0.13	0.13	0.13	0.13	0.13	0.25	0.25	0.25	0.25	0.25	0.25	0.25	0.25	0.25	0.25	0.25	0.38	0.38	0.38	0.38	0.38	0.38	0.38	0.38	0.38	0.38	0.63	0.63	0.63	0.63		
06	0.0	0.13	0.25	0.38	0.5	0.63	0.75	0.88	1.0	0.0	0.13	0.25	0.38	0.5	0.63	0.75	0.88	1.0	0.0	0.13	0.25	0.38	0.5	0.63	0.75	0.88	1.0	1.0	0.88	0.75	0.63	0.5	0.38	0.25	0.13	0.0	0.0	0.63	0.63	0.63	0.63	0.63	0.63	0.63	0.63
	0.63	0.63	0.63	0.63	0.63	0.63	0.63	0.63	0.63	0.63	0.63	0.63	0.63	0.63	0.63	0.63	0.63	0.63	0.63	0.63	0.63	0.63	0.63	0.63	0.63	0.63	0.63	0.63	0.63	1.0	0.88	0.75	0.63	0.5	0.38	0.25	0.13	0.0	0.0	0.63	0.63	0.63	0.63		
	0.0	0.0	0.0	0.0	0.0	0.0	0.0	0.0	0.0	0.0	0.13	0.13	0.13	0.13	0.13	0.13	0.13	0.13	0.25	0.25	0.25	0.25	0.25	0.25	0.25	0.25	0.25	0.25	0.25	0.25	0.38	0.38	0.38	0.38	0.38	0.38	0.38	0.38	0.38	0.38	0.63	0.63	0.63	0.63	
07	0.0	0.13	0.25	0.38	0.5	0.63	0.75	0.88	1.0	0.0	0.13	0.25	0.38	0.5	0.63	0.75	0.88	1.0	0.0	0.13	0.25	0.38	0.5	0.63	0.75	0.88	1.0	1.0	0.88	0.75	0.63	0.5	0.38	0.25	0.13	0.0	0.0	0.63	0.63	0.63	0.63	0.63	0.63	0.63	0.63
	0.75	0.75	0.75	0.75	0.75	0.75	0.75	0.75	0.75	0.75	0.75	0.75	0.75	0.75	0.75	0.75	0.75	0.75	0.75	0.75	0.75	0.75	0.75	0.75	0.75	0.75	0.75	0.75	0.75	1.0	0.88	0.75	0.63	0.5	0.38	0.25	0.13	0.0	0.0	0.75	0.75	0.75	0.75		
	0.0	0.0	0.0	0.0	0.0	0.0	0.0	0.0	0.0	0.0	0.13	0.13	0.13	0.13	0.13	0.13	0.13	0.13	0.25	0.25	0.25	0.25	0.25	0.25	0.25	0.25	0.25	0.25	0.25	0.25	0.38	0.38	0.38	0.38	0.38	0.38	0.38	0.38	0.38	0.38	0.75	0.75	0.75	0.75	
08	0.0	0.13	0.25	0.38	0.5	0.63	0.75	0.88	1.0	0.0	0.13	0.25	0.38	0.5	0.63	0.75	0.88	1.0	0.0	0.13	0.25	0.38	0.5	0.63	0.75	0.88	1.0	1.0	0.88	0.75	0.63	0.5	0.38	0.25	0.13	0.0	0.0	0.88	0.88	0.88	0.88	0.88	0.88	0.88	0.88
	0.88	0.88	0.88	0.88	0.88	0.88	0.88	0.88	0.88	0.88	0.88	0.88	0.88	0.88	0.88	0.88	0.88	0.88	0.88	0.88	0.88	0.88	0.88	0.88	0.88	0.88	0.88	0.88	0.88	1.0	0.88	0.75	0.63	0.5	0.38	0.25	0.13	0.0	0.0	0.88	0.88	0.88	0.88		
	0.0	0.0	0.0	0.0	0.0	0.0	0.0	0.0	0.0	0.0	0.13	0.13	0.13	0.13	0.13	0.13	0.13	0.13	0.25	0.25	0.25	0.25	0.25	0.25	0.25	0.25	0.25	0.25	0.25	0.0	0.0	0.0	0.0	0.0	0.0	0.0	0.0	0.0	0.0	1.0	1.0	1.0	1.0		
09	0.0	0.13	0.25	0.38	0.5	0.63	0.75	0.88	1.0	0.0	0.13	0.25	0.38	0.5	0.63	0.75	0.88	1.0	0.0	0.13	0.25	0.38	0.5	0.63	0.75	0.88	1.0	1.0	0.88	0.75	0.63	0.5	0.38	0.25	0.13	0.0	0.0	1.0	1.0	1.0	1.0	1.0	1.0	1.0	1.0
	1.0	1.0	1.0	1.0	1.0	1.0	1.0	1.0	1.0	1.0	1.0	1.0	1.0	1.0	1.0	1.0	1.0	1.0	1.0	1.0	1.0	1.0	1.0	1.0	1.0	1.0	1.0	1.0	1.0	1.0	0.88	0.75	0.63	0.5	0.38	0.25	0.13	0.0	0.0	1.0	1.0	1.0	1.0		
	0.38	0.38	0.38	0.38	0.38	0.38	0.38	0.38	0.38	0.38	0.5	0.5	0.5	0.5	0.5	0.5	0.5	0.5	0.63	0.63	0.63	0.63	0.63	0.63	0.63	0.63	0.63	0.63	0.63	1.0	1.0	1.0	1.0	1.0	1.0	1.0	1.0	1.0	1.0	0.0	0.0	0.0	0.0		
10	0.0	0.13	0.25	0.38	0.5	0.63	0.75	0.88	1.0	0.0	0.13	0.25	0.38	0.5	0.63	0.75	0.88	1.0	0.0	0.13	0.25	0.38	0.5	0.63	0.75	0.88	1.0	1.0	0.88	0.75	0.63	0.5	0.38	0.25	0.13	0.0	0.0	1.0	1.0	1.0	1.0	1.0	1.0	1.0	1.0
	0.38	0.38	0.38	0.38	0.38	0.38	0.38	0.38	0.38	0.38	0.5																																		

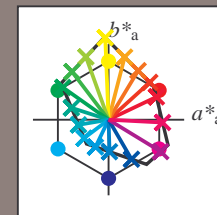
BAM-Registrierung: 20080701-Dg92/10L/L92G00NA.PS/.TXT  
Anwendung für Beurteilung und Messung von Drucker- oder Monitorsystemen

Code=th4ta



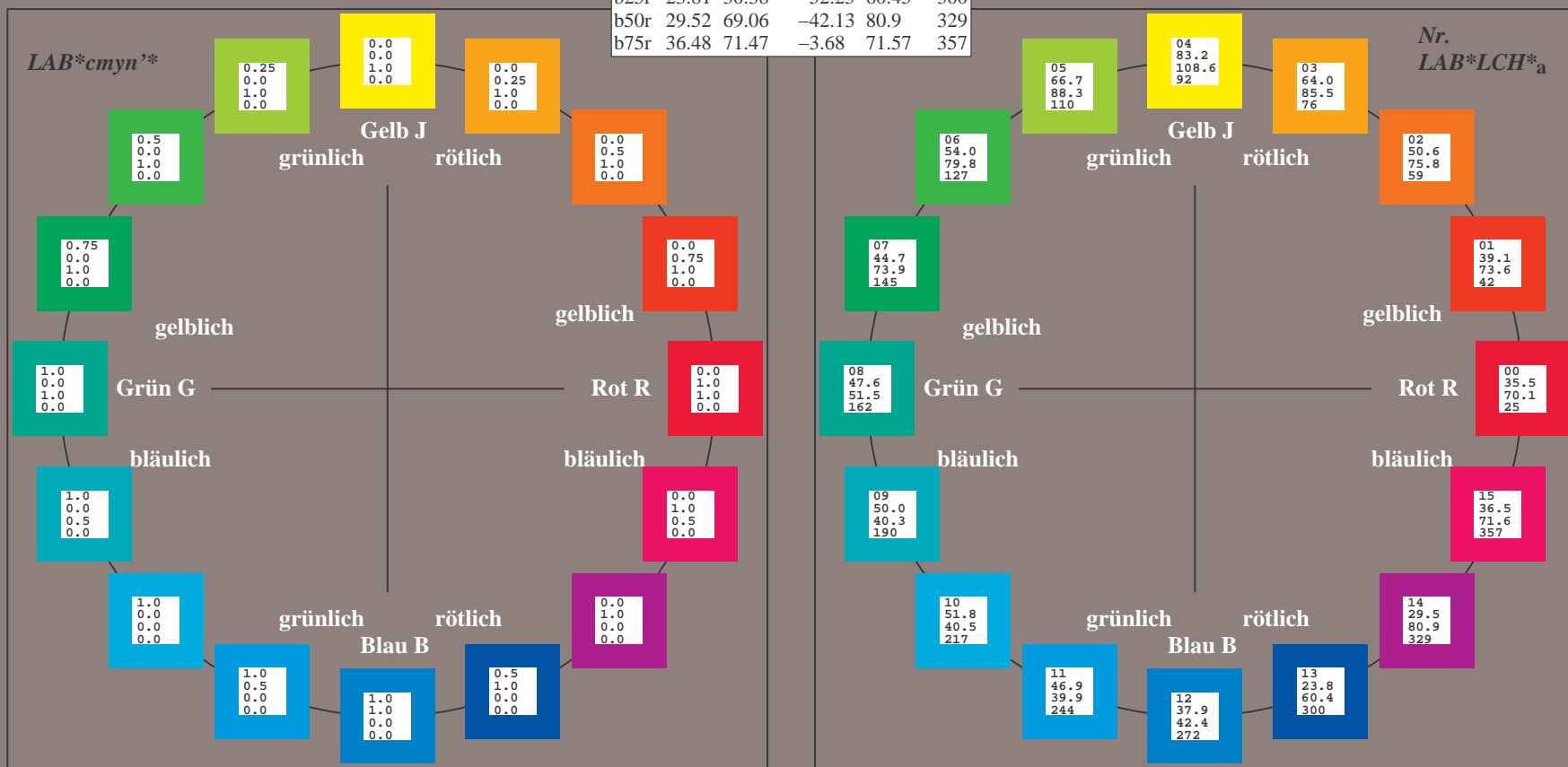
Ein und Ausgabe:  
Farbmetrisches Drucker-Reflektiv-System FRS09\_92aM  
Daten für jede Farbe:  
*lab\*<sub>rch</sub>\** und *lab\*<sub>icu</sub>\**  
Elementar-Bunttontext:  
*u\** = 16 Buntttöne *r00j*, *r25j*, ..., *b75r*  
Kontrastreduzierungsfaktor:  
 $c_R = 1.0$

FRS09_92aM; adaptierte CIELAB-Daten					
	$L^*=L^*_a$	$a^*_a$	$b^*_a$	$C^*_{ab,a}$	$h^*_{ab,a}$
r00j	35.47	63.32	30.17	70.15	25
r25j	39.12	54.56	49.45	73.64	42
r50j	50.64	39.15	64.89	75.79	59
r75j	64.01	21.26	82.83	85.52	76
j00g	83.18	-4.37	108.53	108.62	92
j25g	66.73	-29.88	83.06	88.28	110
j50g	54.03	-48.3	63.49	79.78	127
j75g	44.73	-60.32	42.64	73.88	145
g00b	47.59	-49.07	15.74	51.54	162
g25b	49.97	-39.69	-6.71	40.27	190
g50b	51.85	-32.32	-24.34	40.48	217
g75b	46.92	-17.28	-36.01	39.96	244
b00r	37.91	1.28	-42.34	42.37	272
b25r	23.81	30.38	-52.25	60.45	300
b50r	29.52	69.06	-42.13	80.9	329
b75r	36.48	71.47	-3.68	71.57	357

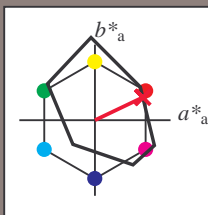


%Umfang  
 $u^*_{rel} = 109$   
%Regularität  
 $g^*_{H,rel} = 31$   
 $g^*_{C,rel} = 40$

FRS09_92aM; CIELAB-Daten					
	$L^*=L^*_a$	$a^*_a$	$b^*_a$	$C^*_{ab}$	$h^*_{ab}$
O <sub>M</sub>	35.06	60.53	39.66	72.37	33
Y <sub>M</sub>	83.77	-4.49	103.15	103.25	92
L <sub>M</sub>	44.13	-62.1	43.56	75.86	145
C <sub>M</sub>	52.66	-28.55	-36.98	46.73	232
V <sub>M</sub>	14.15	50.78	-62.59	80.61	309
M <sub>M</sub>	37.37	79.18	-37.92	87.8	334
N <sub>M</sub>	8.58	0.46	-3.34	3.38	278
W <sub>M</sub>	92.02	0.69	-6.47	6.52	276
R <sub>CIE</sub>	39.92	58.74	27.99	65.07	25
J <sub>CIE</sub>	81.26	-2.88	71.56	71.62	92
G <sub>CIE</sub>	52.23	-42.41	13.6	44.55	162
B <sub>CIE</sub>	30.57	1.41	-46.46	46.49	272



Ein und Ausgabe: Farbmetri-  
Daten für jede Farbe:  
 $lab^*_{tch^*}$  und  $lab^*_{icu^*}$   
Elementar-Bunttontext:  
 $u^* = r00j$   
Kontrastreduzierungsfaktor:  
 $c_R = 1.0$   
Dreiecks-Helligkeit  $l^*$



FRS09_92aM; CIELAB-Daten					
	$L^*_{*L^*}$	$a^*$	$b^*$	$C^*_{ab}$	$h^*_{ab}$
O <sub>M</sub>	35.06	60.53	39.66	72.37	33
Y <sub>M</sub>	83.77	-4.49	103.15	103.25	92
L <sub>M</sub>	44.13	-62.1	43.56	75.86	145
C <sub>M</sub>	52.66	-28.55	-36.98	46.73	232
V <sub>M</sub>	14.15	50.78	-62.59	80.61	309
M <sub>M</sub>	37.37	79.18	-37.92	87.8	334
N <sub>M</sub>	8.58	0.46	-3.34	3.38	278
W <sub>M</sub>	92.02	0.69	-6.47	6.52	276
R <sub>CIE</sub>	39.92	58.74	27.99	65.07	25
J <sub>CIE</sub>	81.26	-2.88	71.56	71.62	92
G <sub>CIE</sub>	52.23	-42.41	13.6	44.55	162
B <sub>CIE</sub>	30.57	1.41	-46.46	46.49	272

### Daten für Maximalfarbe (Ma):

***LAB\*LAB\****<sub>Ma</sub>: 35 63 30

**LAB\*LCH\*Ma: 35 70 25**

*lab\*rgb\*\_Ma: 1.0 0.0 0.0*

*lab\*olv\**M<sub>a</sub>: 1.0 0.0 0.18

### Dreiecks-Helligkeit $t^*$

100

## %Umfang

$$\mathbf{u}_{\text{rel}}^* = 109$$

**%Regular:**

$$g_{H,rel}^* = 51$$

FRS09_92aM; adaptierte CIELAB-Daten						
	$L^*_a$	$a^*_a$	$b^*_a$	$C^*_{ab,a}$	$h^*_{ab,a}$	
r00j	35.47	63.32	30.17	70.15	25	
r25j	39.12	54.56	49.45	73.64	42	
r50j	50.64	39.15	64.89	75.79	59	
r75j	64.01	21.26	82.83	85.52	76	
j00g	83.18	-4.37	108.53	108.62	92	
j25g	66.73	-29.88	83.06	88.28	110	
j50g	54.03	-48.3	63.49	79.78	127	
j75g	44.73	-60.32	42.64	73.88	145	
g00b	47.59	-49.07	15.74	51.54	162	
g25b	49.97	-39.69	-6.71	40.27	190	
g50b	51.85	-32.32	-24.34	40.48	217	
g75b	46.92	-17.28	-36.01	39.96	244	
b00r	37.91	1.28	-42.34	42.37	272	
b25r	23.81	30.38	-52.25	60.45	300	
b50r	29.52	69.06	-42.13	80.9	329	
b75r	36.48	71.47	-3.68	71.57	357	

*LAB\*cmyn'\**

$$i^*=1,00$$

**Brillantheit  $i^*$**

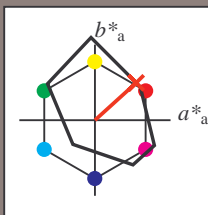
relative Buntheit  $c^*$ 

BAM-Prüfvorlage Dg92; Farbmeter-Systeme, Seite 164/180  
Farbreihen, 8 Datentabellen für 16 Bunttöne *r00j* bis *b75r*

Eingabe: 000n / w / nnn0 / www set...  
Ausgabe: ->cmyn5\* setcmykcolor

BAM-Registrierung: 20080701-Dg92/10L/L92G00NA.PS/.TXTBAM-Material: Code=rha4ta  
+ Anwendung für Beurteilung und Messung von Drucker- oder Monitorsystemen

Ein und Ausgabe: Farbmetrisches Drucker-Reflektiv-System FRS09\_92aM für relativen CIELAB-Buntton  $h^* = lab^*h^* = h_{ab}/360 = 42/360 = 0.117$   $u^* = r25j$   
Daten für jede Farbe:  
 $lab^*ch^*$  und  $lab^*icu^*$   
Elementar-Bunttontext:  
 $u^* = r25j$   
Kontrastreduzierungsfaktor:  
 $c_R = 1.0$   
Dreiecks-Helligkeit  $i^*$



FRS09_92aM; CIELAB-Daten					
	$L^*=L^*$	$a^*$	$b^*$	$C^*_{ab}$	$h^*_{ab}$
O <sub>M</sub>	35.06	60.53	39.66	72.37	33
Y <sub>M</sub>	83.77	-4.49	103.15	103.25	92
L <sub>M</sub>	44.13	-62.1	43.56	75.86	145
C <sub>M</sub>	52.66	-28.55	-36.98	46.73	232
V <sub>M</sub>	14.15	50.78	-62.59	80.61	309
M <sub>M</sub>	37.37	79.18	-37.92	87.8	334
N <sub>M</sub>	8.58	0.46	-3.34	3.38	278
W <sub>M</sub>	92.02	0.69	-6.47	6.52	276
R <sub>CIE</sub>	39.92	58.74	27.99	65.07	25
J <sub>CIE</sub>	81.26	-2.88	71.56	71.62	92
G <sub>CIE</sub>	52.23	-42.41	13.6	44.55	162
B <sub>CIE</sub>	30.57	1.41	-46.46	46.49	272

Daten für Maximalfarbe (Ma):

$LAB^*LAB^*_{Ma}$ : 39 55 49

$LAB^*LCH^*_{Ma}$ : 39 74 42

$lab^*rgb^*_{Ma}$ : 1.0 0.25 0.0

$lab^*olv^*_{Ma}$ : 1.0 0.08 0.0

Dreiecks-Helligkeit  $i^*$

%Umfang

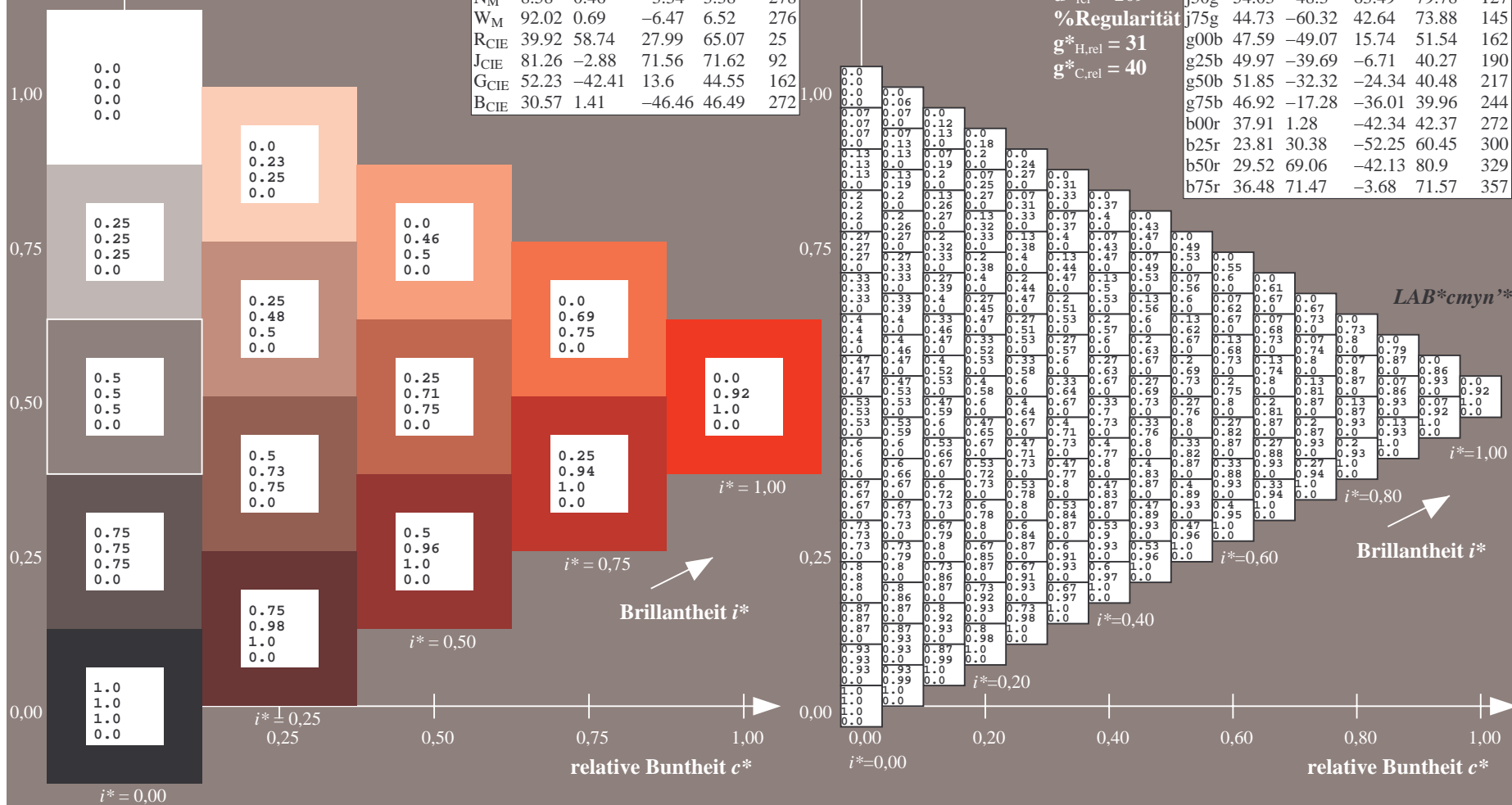
$u^*_{rel} = 109$

%Regularität

$g^*_{H,rel} = 31$

$g^*_{C,rel} = 40$

FRS09_92aM; adaptierte CIELAB-Daten					
	$L^*=L^*_a$	$a^*_a$	$b^*_a$	$C^*_{ab,a}$	$h^*_{ab,a}$
r00j	35.47	63.32	30.17	70.15	25
r25j	39.12	54.56	49.45	73.64	42
r50j	50.64	39.15	64.89	75.79	59
r75j	64.01	21.26	82.83	85.52	76
j00g	83.18	-4.37	108.53	108.62	92
j25g	66.73	-29.88	83.06	88.28	110
j50g	54.03	-48.3	63.49	79.78	127
j75g	44.73	-60.32	42.64	73.88	145
g00b	47.59	-49.07	15.74	51.54	162
g25b	49.97	-39.69	-6.71	40.27	190
g50b	51.85	-32.32	-24.34	40.48	217
g75b	46.92	-17.28	-36.01	39.96	244
b00r	37.91	1.28	-42.34	42.37	272
b25r	23.81	30.38	-52.25	60.45	300
b50r	29.52	69.06	-42.13	80.9	329
b75r	36.48	71.47	-3.68	71.57	357

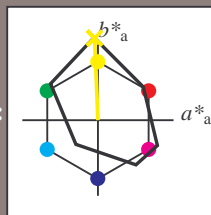






BAM-Registrierung: 20080701-Dg92/10L/L92G00NA.PS/ .TXTBAM-Material: Code=rha4ta  
- Anwendung für Beurteilung und Messung von Drucker- oder Monitorsystemen

Ein und Ausgabe: Farbmetri-  
Daten für jede Farbe:  
 $lab^*_{tch^*}$  und  $lab^*_{icu^*}$   
Elementar-Bunttontext:  
 $u^* = j00g$   
Kontrastreduzierungsfaktor:  
 $c_R = 1.0$   
Dreiecks-Helligkeit  $l^*$



FRS09_92aM; CIELAB-Daten					
	$L^*_{*L^*}$	$a^*$	$b^*$	$C^*_{ab}$	$h^*_{ab}$
O <sub>M</sub>	35.06	60.53	39.66	72.37	33
Y <sub>M</sub>	83.77	-4.49	103.15	103.25	92
L <sub>M</sub>	44.13	-62.1	43.56	75.86	145
C <sub>M</sub>	52.66	-28.55	-36.98	46.73	232
V <sub>M</sub>	14.15	50.78	-62.59	80.61	309
M <sub>M</sub>	37.37	79.18	-37.92	87.8	334
N <sub>M</sub>	8.58	0.46	-3.34	3.38	278
W <sub>M</sub>	92.02	0.69	-6.47	6.52	276
R <sub>CIE</sub>	39.92	58.74	27.99	65.07	25
J <sub>CIE</sub>	81.26	-2.88	71.56	71.62	92
G <sub>CIE</sub>	52.23	-42.41	13.6	44.55	162
B <sub>CIE</sub>	30.57	1.41	-46.46	46.49	272

### Daten für Maximalfarbe (Ma):

**LAB\*LAB\*Ma: 83 -3 109**

**LAB\*LCH\*Ma: 83 109 92**

***lab\*rgb\*\_Ma: 1.0 1.0 0.0***

*lab\*olv\**Ma: 1.0 0.99 0.0

### Dreiecks-Helligkeit $t^*$

▲

## %Umfang

$$\mathbf{u}_{\text{rel}}^* = 109$$

**%Regular:**

$$g^*_{H,rel} = 31$$

FRS09_92aM; adaptierte CIELAB-Daten					
	$L^*_a$	$a^*_a$	$b^*_a$	$C^*_{ab,a}$	$h^*_{ab,a}$
r00j	35.47	63.32	30.17	70.15	25
r25j	39.12	54.56	49.45	73.64	42
r50j	50.64	39.15	64.89	75.79	59
r75j	64.01	21.26	82.83	85.52	76
j00g	83.18	-4.37	108.53	108.62	92
j25g	66.73	-29.88	83.06	88.28	110
j50g	54.03	-48.3	63.49	79.78	127
j75g	44.73	-60.32	42.64	73.88	145
g00b	47.59	-49.07	15.74	51.54	162
g25b	49.97	-39.69	-6.71	40.27	190
g50b	51.85	-32.32	-24.34	40.48	217
g75b	46.92	-17.28	-36.01	39.96	244
b00r	37.91	1.28	-42.34	42.37	272
b25r	23.81	30.38	-52.25	60.45	300
b50r	29.52	69.06	-42.13	80.9	329
b75r	36.48	71.47	-3.68	71.57	357

*LAB\*cmyn'\**

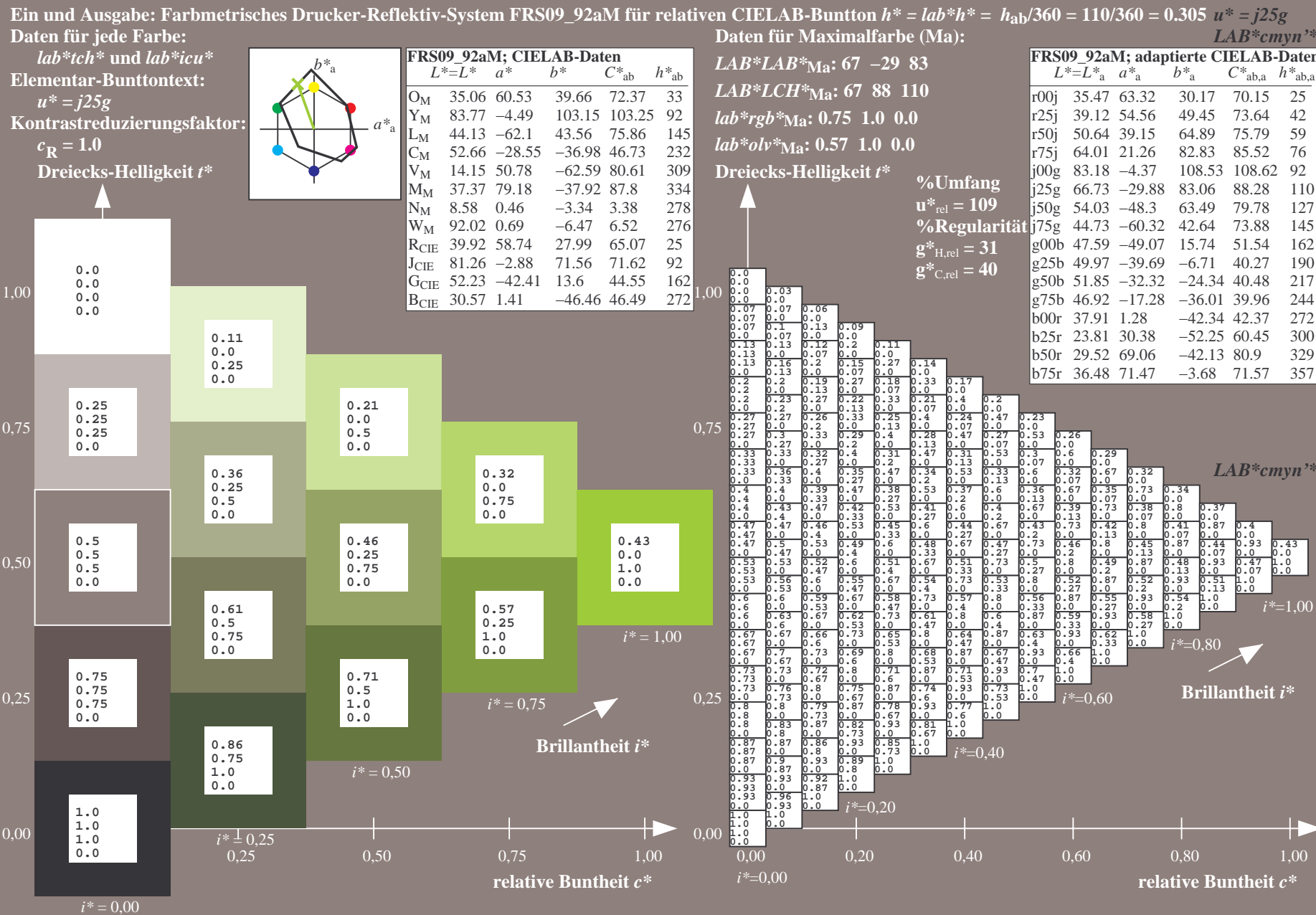
$$i^*=1,00$$
Brillantheit  $i^*$ relative Buntheit  $c^*$ 

BAM-Prüfvorlage Dg92; Farbmimetrik-Systeme, Seite 168/180  
Farbreihen, 8 Datentabellen für 16 Bunttöne *r00j* bis *b75r*

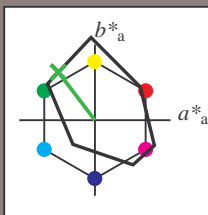
Eingabe: 000n / w / nnn0 / www set...  
Ausgabe: ->cmyn5\* setcmykcolor

Siehe ähnliche Dateien: <http://www.ps.bam.de/Dg92/>; [www.ps.bam.de/Dg.HTM](http://www.ps.bam.de/Dg.HTM)  
Technische Information: <http://www.ps.bam.de> Version 2.1, io=1,1, ColSp=0

BAM-Registrierung: 20080701-Dg92/10L/L92G00NA.PS/ .TXTBAM-Material: Code=rha4ta



Ein und Ausgabe: Farbmetrisches Drucker-Reflektiv-System FRS09\_92aM für relativen CIELAB-Buntton  $h^* = lab^*h^* = h_{ab}/360 = 127/360 = 0.354$   $u^* = j50g$   
Daten für jede Farbe:  
 $lab^*ch^*$  und  $lab^*icu^*$   
Elementar-Bunttontext:  
 $u^* = j50g$   
Kontrastreduzierungsfaktor:  
 $c_R = 1.0$   
Dreiecks-Helligkeit  $i^*$



FRS09_92aM; CIELAB-Daten					
	$L^*=L^*$	$a^*$	$b^*$	$C^*_{ab}$	$h^*_{ab}$
O <sub>M</sub>	35.06	60.53	39.66	72.37	33
Y <sub>M</sub>	83.77	-4.49	103.15	103.25	92
L <sub>M</sub>	44.13	-62.1	43.56	75.86	145
C <sub>M</sub>	52.66	-28.55	-36.98	46.73	232
V <sub>M</sub>	14.15	50.78	-62.59	80.61	309
M <sub>M</sub>	37.37	79.18	-37.92	87.8	334
N <sub>M</sub>	8.58	0.46	-3.34	3.38	278
W <sub>M</sub>	92.02	0.69	-6.47	6.52	276
R <sub>CIE</sub>	39.92	58.74	27.99	65.07	25
J <sub>CIE</sub>	81.26	-2.88	71.56	71.62	92
G <sub>CIE</sub>	52.23	-42.41	13.6	44.55	162
B <sub>CIE</sub>	30.57	1.41	-46.46	46.49	272

Daten für Maximalfarbe (Ma):

$LAB^*LAB^*_{Ma}$ : 54 -47 63

$LAB^*LCH^*_{Ma}$ : 54 80 127

$lab^*rgb^*_{Ma}$ : 0.5 1.0 0.0

$lab^*olv^*_{Ma}$ : 0.25 1.0 0.0

Dreiecks-Helligkeit  $i^*$

%Umfang

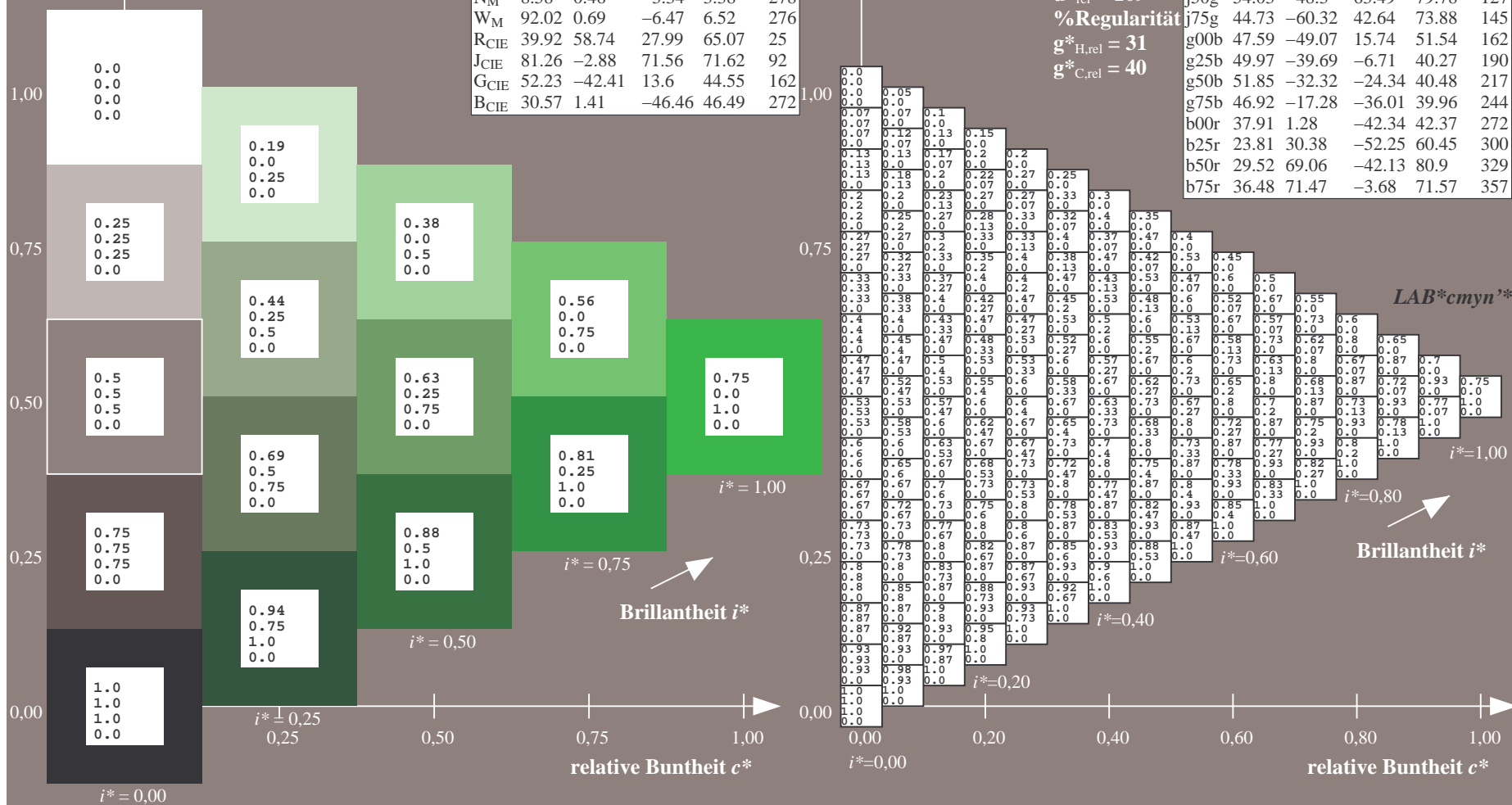
$u^*_{rel} = 109$

%Regularität

$g^*_{H,rel} = 31$

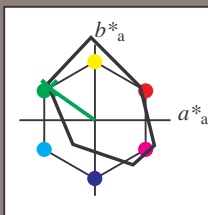
$g^*_{C,rel} = 40$

FRS09_92aM; adaptierte CIELAB-Daten					
	$L^*=L^*_a$	$a^*_a$	$b^*_a$	$C^*_{ab,a}$	$h^*_{ab,a}$
r00j	35.47	63.32	30.17	70.15	25
r25j	39.12	54.56	49.45	73.64	42
r50j	50.64	39.15	64.89	75.79	59
r75j	64.01	21.26	82.83	85.52	76
j00g	83.18	-4.37	108.53	108.62	92
j25g	66.73	-29.88	83.06	88.28	110
j50g	54.03	-48.3	63.49	79.78	127
j75g	44.73	-60.32	42.64	73.88	145
g00b	47.59	-49.07	15.74	51.54	162
g25b	49.97	-39.69	-6.71	40.27	190
g50b	51.85	-32.32	-24.34	40.48	217
g75b	46.92	-17.28	-36.01	39.96	244
b00r	37.91	1.28	-42.34	42.37	272
b25r	23.81	30.38	-52.25	60.45	300
b50r	29.52	69.06	-42.13	80.9	329
b75r	36.48	71.47	-3.68	71.57	357





Ein und Ausgabe: Farbmetrisches Drucker-Reflektiv-System FRS09\_92aM für relativen CIELAB-Buntton  $h^* = lab^*h^* = h_{ab}/360 = 145/360 = 0.402$   $u^* = j75g$   
Daten für jede Farbe:  
 $lab^*ch^*$  und  $lab^*icu^*$   
Elementar-Bunttontext:  
 $u^* = j75g$   
Kontrastreduzierungsfaktor:  
 $c_R = 1.0$   
Dreiecks-Helligkeit  $i^*$



FRS09_92aM; CIELAB-Daten					
	$L^*=L^*$	$a^*$	$b^*$	$C^*_{ab}$	$h^*_{ab}$
O <sub>M</sub>	35.06	60.53	39.66	72.37	33
Y <sub>M</sub>	83.77	-4.49	103.15	103.25	92
L <sub>M</sub>	44.13	-62.1	43.56	75.86	145
C <sub>M</sub>	52.66	-28.55	-36.98	46.73	232
V <sub>M</sub>	14.15	50.78	-62.59	80.61	309
M <sub>M</sub>	37.37	79.18	-37.92	87.8	334
N <sub>M</sub>	8.58	0.46	-3.34	3.38	278
W <sub>M</sub>	92.02	0.69	-6.47	6.52	276
R <sub>CIE</sub>	39.92	58.74	27.99	65.07	25
J <sub>CIE</sub>	81.26	-2.88	71.56	71.62	92
G <sub>CIE</sub>	52.23	-42.41	13.6	44.55	162
B <sub>CIE</sub>	30.57	1.41	-46.46	46.49	272

Daten für Maximalfarbe (Ma):

$LAB^*LAB^*_{Ma}$ : 45 -59 43

$LAB^*LCH^*_{Ma}$ : 45 74 145

$lab^*rgb^*_{Ma}$ : 0.25 1.0 0.0

$lab^*olv^*_{Ma}$ : 0.0 1.0 0.07

Dreiecks-Helligkeit  $i^*$

%Umfang

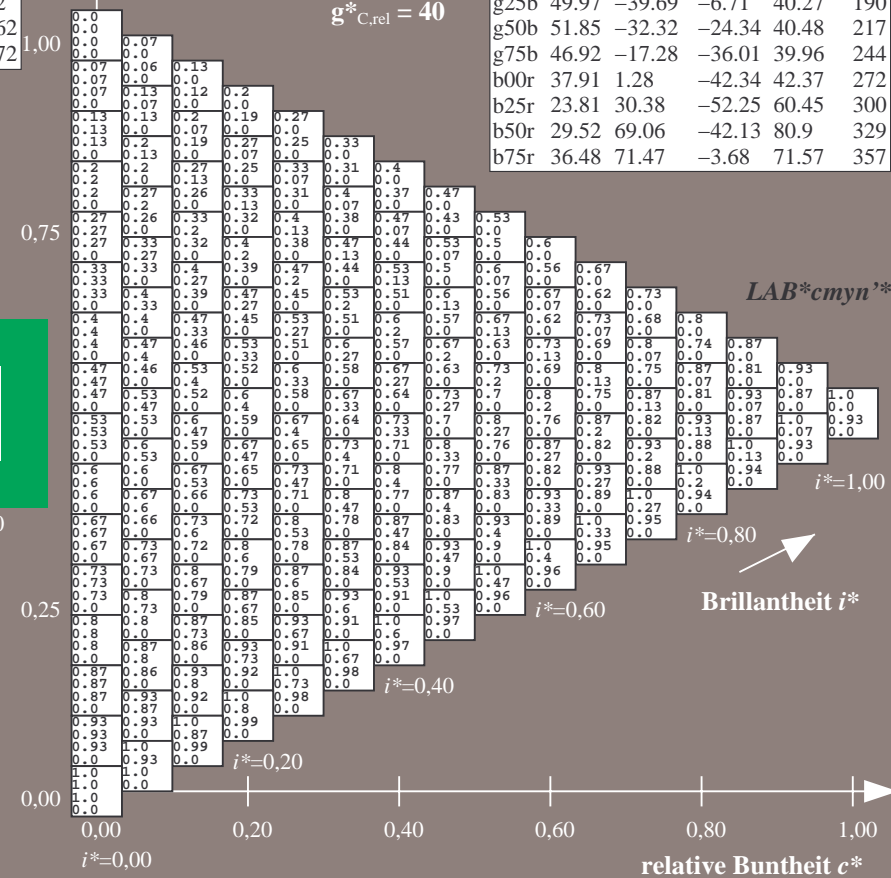
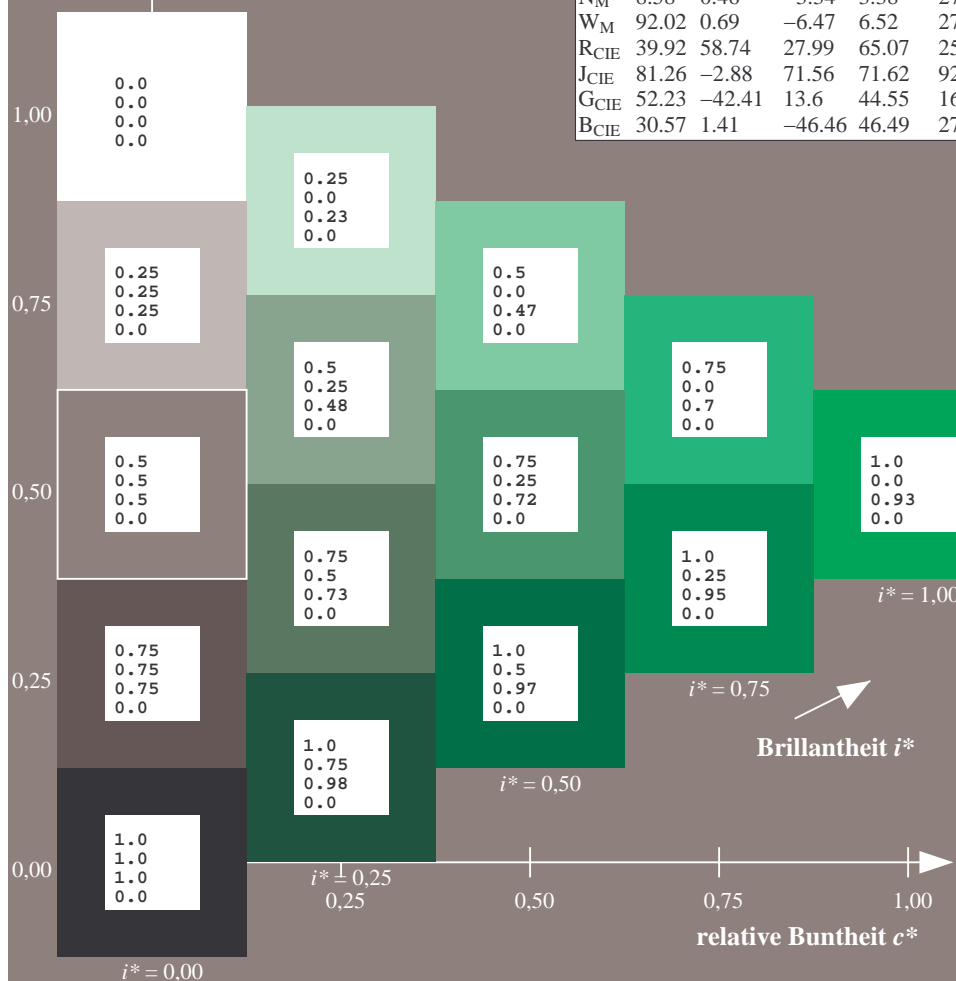
$u^*_{rel} = 109$

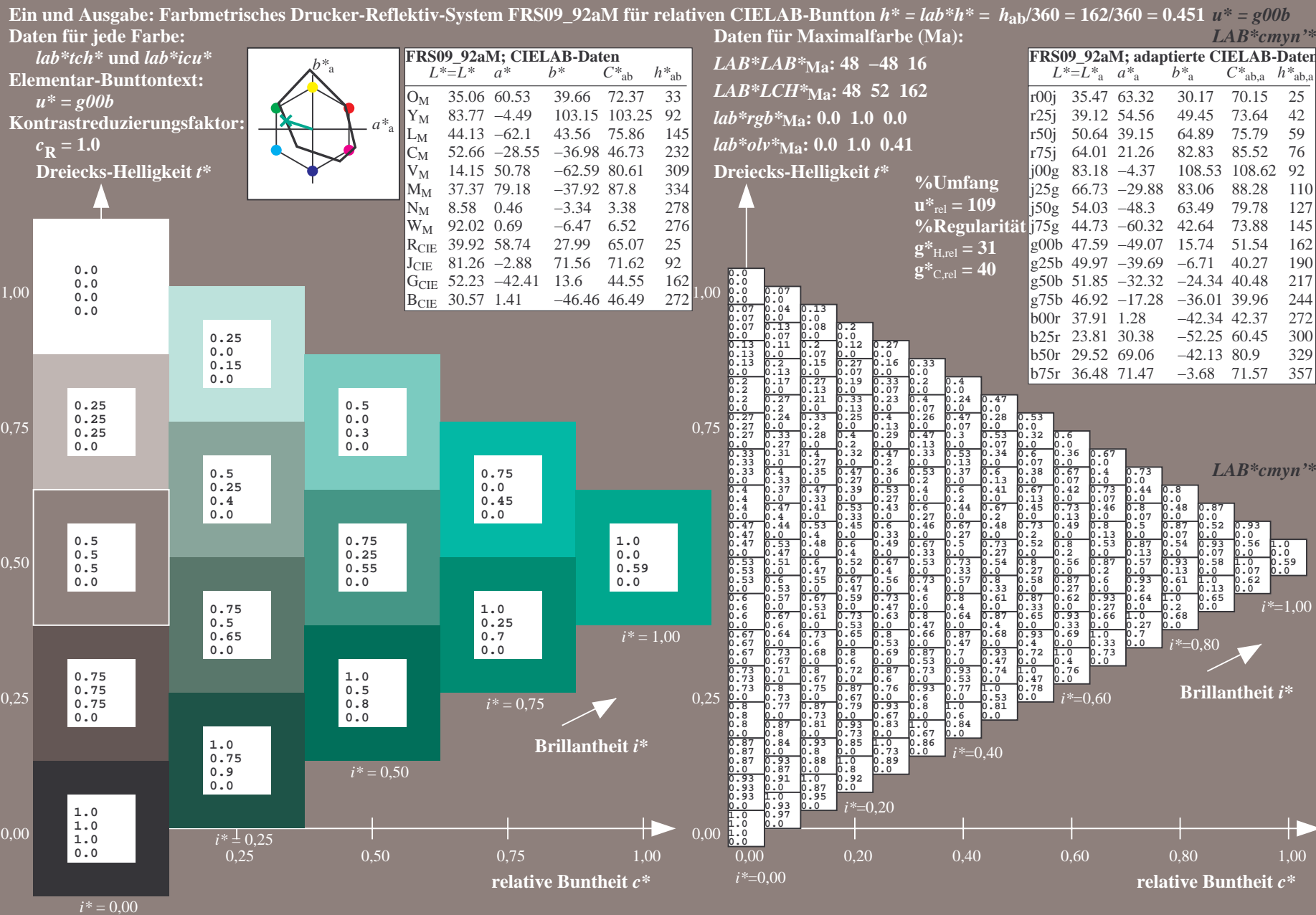
%Regularität

$g^*_{H,rel} = 31$

$g^*_{C,rel} = 40$

FRS09_92aM; adaptierte CIELAB-Daten					
	$L^*=L^*_a$	$a^*_a$	$b^*_a$	$C^*_{ab,a}$	$h^*_{ab,a}$
r00j	35.47	63.32	30.17	70.15	25
r25j	39.12	54.56	49.45	73.64	42
r50j	50.64	39.15	64.89	75.79	59
r75j	64.01	21.26	82.83	85.52	76
j00g	83.18	-4.37	108.53	108.62	92
j25g	66.73	-29.88	83.06	88.28	110
j50g	54.03	-48.3	63.49	79.78	127
j75g	44.73	-60.32	42.64	73.88	145
g00b	47.59	-49.07	15.74	51.54	162
g25b	49.97	-39.69	-6.71	40.27	190
g50b	51.85	-32.32	-24.34	40.48	217
g75b	46.92	-17.28	-36.01	39.96	244
b00r	37.91	1.28	-42.34	42.37	272
b25r	23.81	30.38	-52.25	60.45	300
b50r	29.52	69.06	-42.13	80.9	329
b75r	36.48	71.47	-3.68	71.57	357





Ein und Ausgabe: Farbmétrisches Drucker-Reflektiv-System FRS09\_92aM für relativen CIELAB-Buntton  $h^* = \frac{lab^*}{h^*} = \frac{h_{ab}}{360} = \frac{190}{360} = 0.527$   $u^* = g25b$

### Daten für jede Farbe:

*lab\*tch\** und *lab\*icu\**

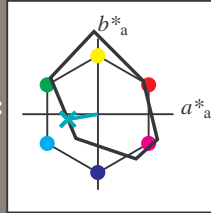
### Elementar-Bunttontext:

$$u^* = g25b$$

### Kontrastreduzierungsfaktor:

 $c_R = 1.0$ 

### Dreiecks-Helligkeit $t^*$



FRS09_92aM; CIELAB-Daten						
	$L^*$	$a^*$	$b^*$	$C^*_{ab}$	$h^*_{ab}$	
O <sub>M</sub>	35.06	60.53	39.66	72.37	33	
Y <sub>M</sub>	83.77	-4.49	103.15	103.25	92	
L <sub>M</sub>	44.13	-62.1	43.56	75.86	143	
C <sub>M</sub>	52.66	-28.55	-36.98	46.73	233	
V <sub>M</sub>	14.15	50.78	-62.59	80.61	309	
M <sub>M</sub>	37.37	79.18	-37.92	87.8	334	
N <sub>M</sub>	8.58	0.46	-3.34	3.38	278	
W <sub>M</sub>	92.02	0.69	-6.47	6.52	276	
R <sub>CIE</sub>	39.92	58.74	27.99	65.07	25	
J <sub>CIE</sub>	81.26	-2.88	71.56	71.62	92	
G <sub>CIE</sub>	52.23	-42.41	13.6	44.55	162	
B <sub>CIE</sub>	30.57	1.41	-46.46	46.49	272	

### Daten für Maximalfarbe (Ma):

*LAB\*LAB*\*M<sub>a</sub>: 50 -39 -6

**LAR\*LCH\* $\tau$  : 50 40 100**

LAB LCH Ma: 50 40 1

*lab\*rgb*\*Ma: 0.0 1.0 0.5

*lab\*olv\**<sub>Ma</sub>: 0.0 1.0 0.69

### Dreiecks-Helligkeit $t^*$

100

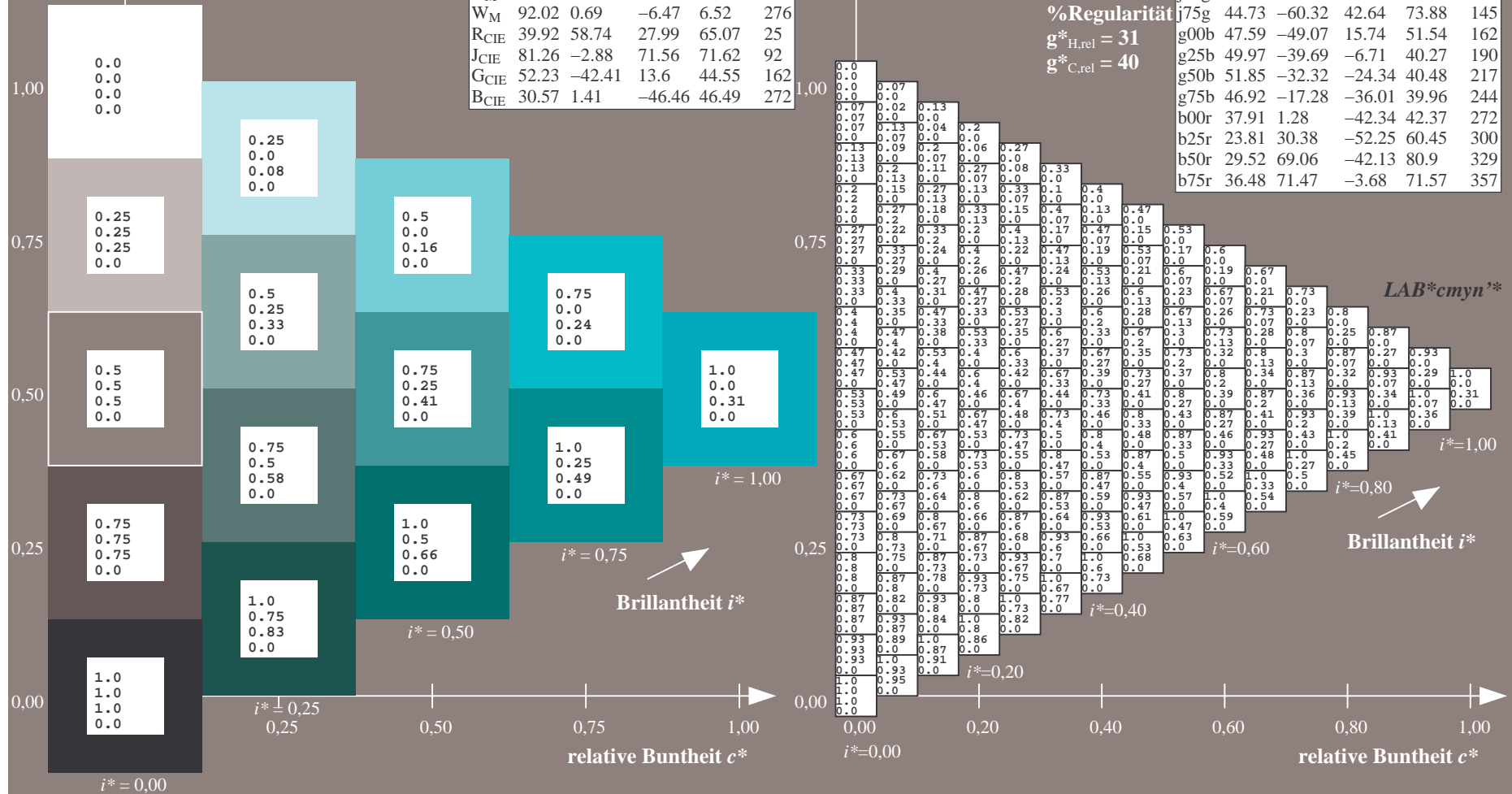
## %Umfang

$$\mathbf{u}_{\text{rel}}^* = 109$$

**%Regular:**

$$g^*_{H,rel} = 31$$
$$g^*_{C,rel} = 40$$

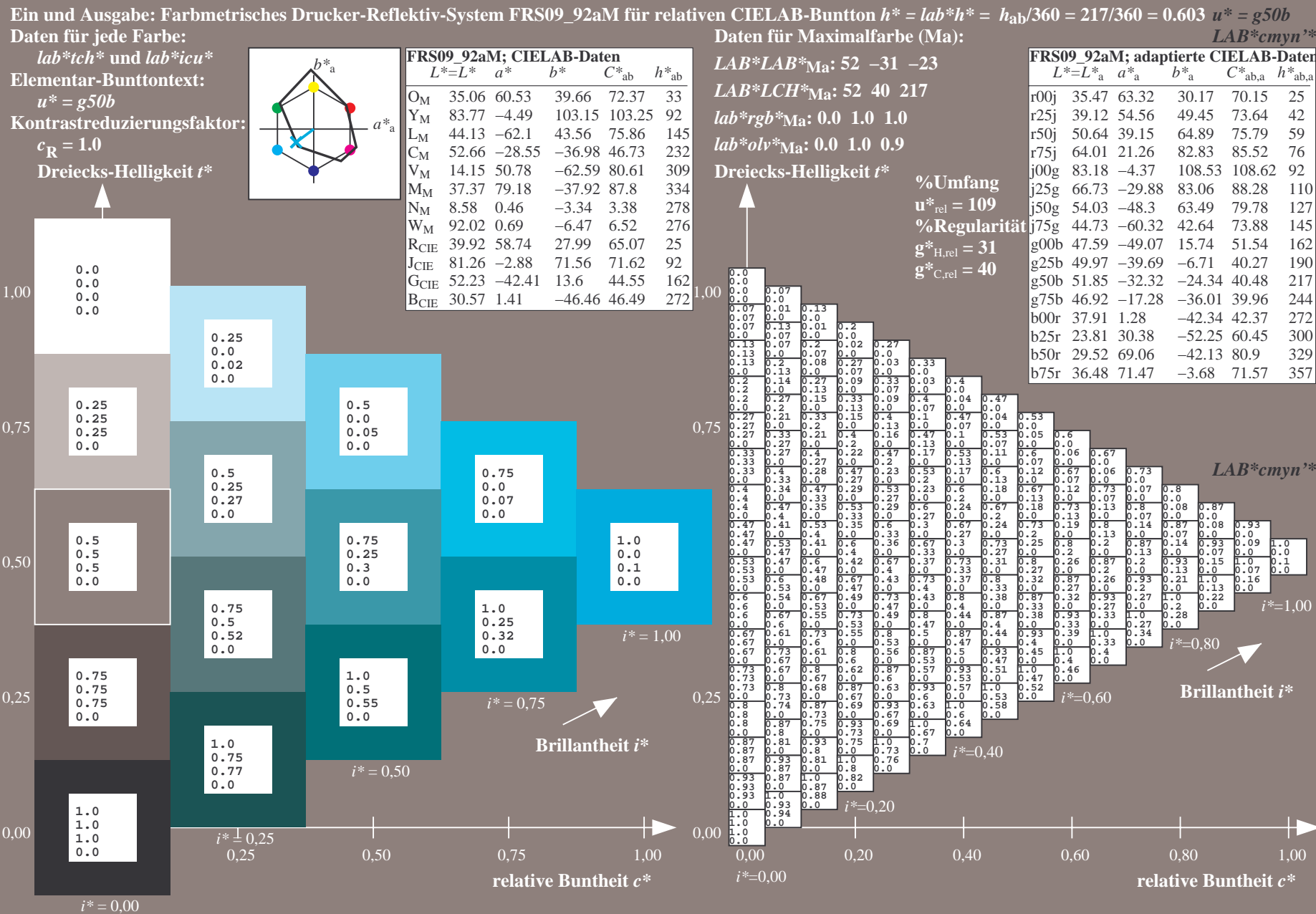
FRS09_92aM; adaptierte CIELAB-Daten						
	$L^*_{ab}$	$a^*_{ab}$	$b^*_{ab}$	$C^*_{ab,a}$	$h^*_{ab,a}$	
r00j	35.47	63.32	30.17	70.15		25
r25j	39.12	54.56	49.45	73.64		42
r50j	50.64	39.15	64.89	75.79		59
r75j	64.01	21.26	82.83	85.52		76
j00g	83.18	-4.37	108.53	108.62		92
j25g	66.73	-29.88	83.06	88.28		110
j50g	54.03	-48.3	63.49	79.78		127
j75g	44.73	-60.32	42.64	73.88		145
g00b	47.59	-49.07	15.74	51.54		162
g25b	49.97	-39.69	-6.71	40.27		190
g50b	51.85	-32.32	-24.34	40.48		217
g75b	46.92	-17.28	-36.01	39.96		244
b00r	37.91	1.28	-42.34	42.37		272
b25r	23.81	30.38	-52.25	60.45		300
b50r	29.52	69.06	-42.13	80.9		329
b75r	36.48	71.47	-3.68	71.57		357



BAM-Prüfvorlage Dg92; Farbmatrik-Systeme, Seite 173/180  
Farbreihen, 8 Datentabellen für 16 Bunttöne *r00j* bis *b75r*

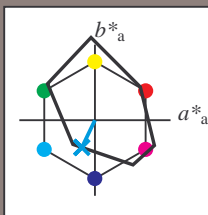
Eingabe: 000n / w / nnn0 / www set...  
Ausgabe: ->cmyn5\* setcmykcolor

BAM-Registrierung: 20080701-Dg92/10L/L92G00NA.PS/ .TXTBAM-Material: Code=rha4ta  
- Anwendung für Beurteilung und Messung von Drucker- oder Monitorsystemen





Ein und Ausgabe: Farbmetrisches Drucker-Reflektiv-System FRS09\_92aM für relativen CIELAB-Buntton  $h^* = lab^*h^* = h_{ab}/360 = 244/360 = 0.679$   $u^* = g75b$   
Daten für jede Farbe:  
 $lab^*ch^*$  und  $lab^*icu^*$   
Elementar-Bunttontext:  
 $u^* = g75b$   
Kontrastreduzierungsfaktor:  
 $c_R = 1.0$   
Dreiecks-Helligkeit  $i^*$



FRS09_92aM; CIELAB-Daten					
	$L^*=L^*$	$a^*$	$b^*$	$C^*_{ab}$	$h^*_{ab}$
O <sub>M</sub>	35.06	60.53	39.66	72.37	33
Y <sub>M</sub>	83.77	-4.49	103.15	103.25	92
L <sub>M</sub>	44.13	-62.1	43.56	75.86	145
C <sub>M</sub>	52.66	-28.55	-36.98	46.73	232
V <sub>M</sub>	14.15	50.78	-62.59	80.61	309
M <sub>M</sub>	37.37	79.18	-37.92	87.8	334
N <sub>M</sub>	8.58	0.46	-3.34	3.38	278
W <sub>M</sub>	92.02	0.69	-6.47	6.52	276
R <sub>CIE</sub>	39.92	58.74	27.99	65.07	25
J <sub>CIE</sub>	81.26	-2.88	71.56	71.62	92
G <sub>CIE</sub>	52.23	-42.41	13.6	44.55	162
B <sub>CIE</sub>	30.57	1.41	-46.46	46.49	272

Daten für Maximalfarbe (Ma):

$LAB^*LAB^*_{Ma}$ : 47 -16 -35

$LAB^*LCH^*_{Ma}$ : 47 40 244

$lab^*rgb^*_{Ma}$ : 0.0 0.5 1.0

$lab^*olv^*_{Ma}$ : 0.0 0.85 1.0

Dreiecks-Helligkeit  $i^*$

%Umfang

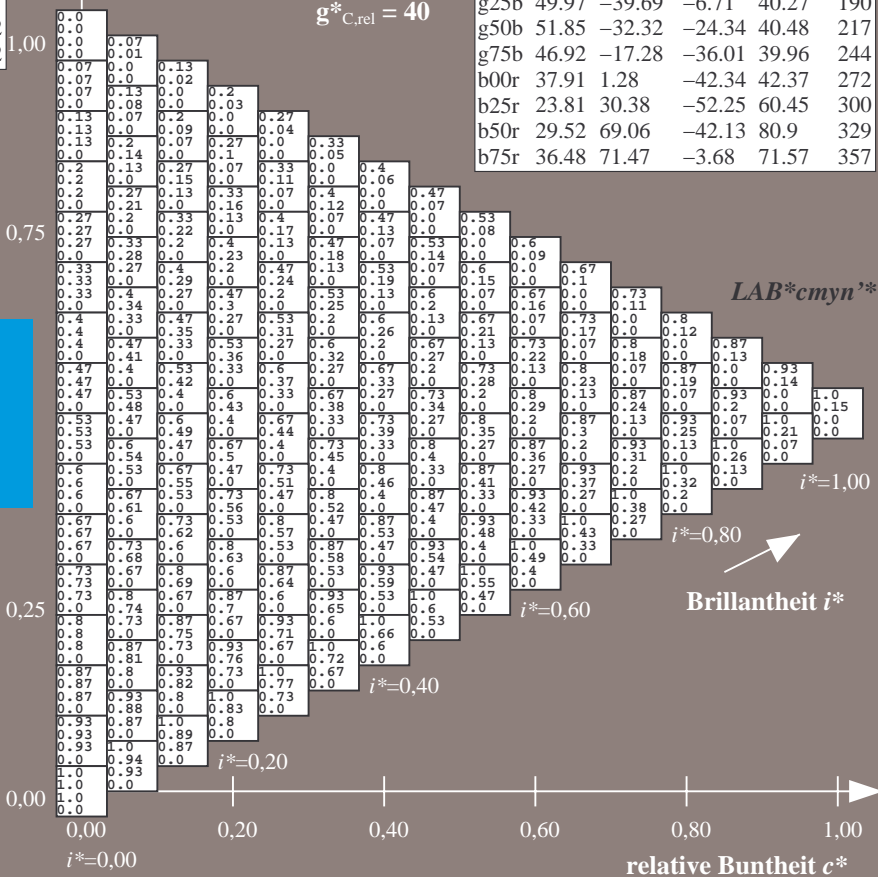
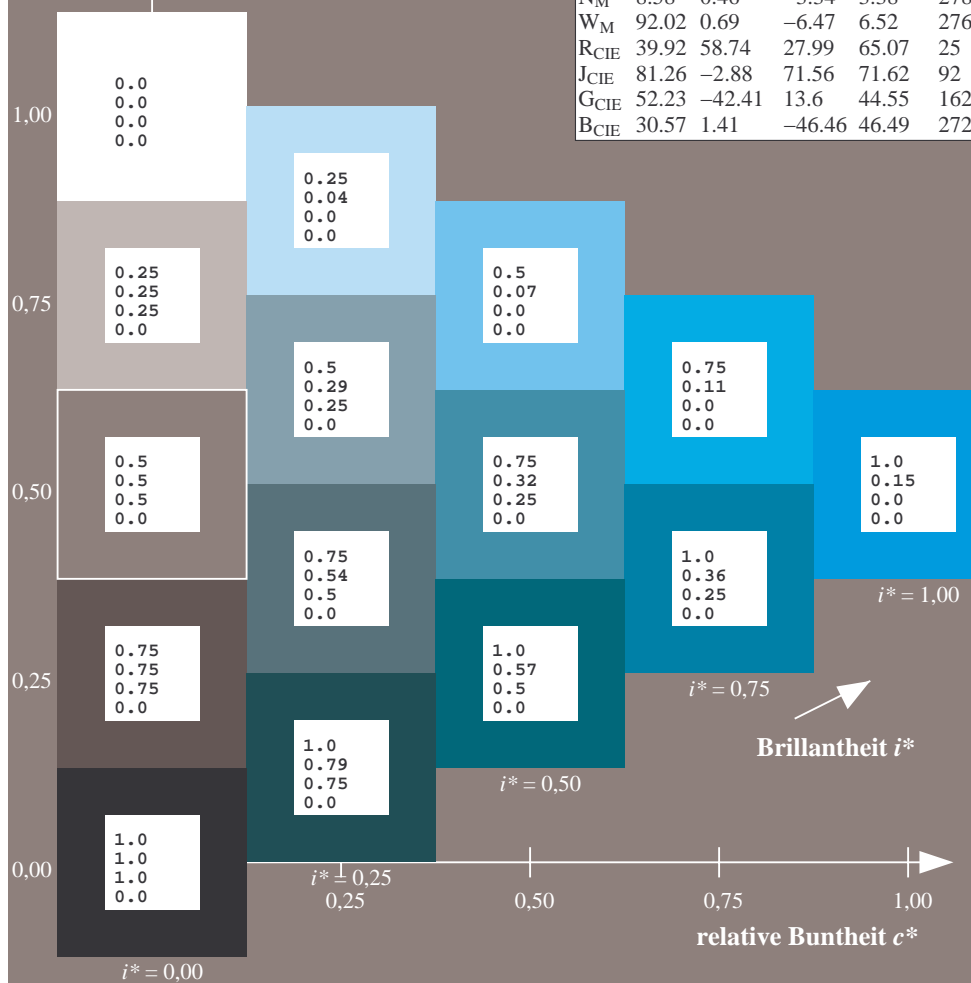
$u^*_{rel} = 109$

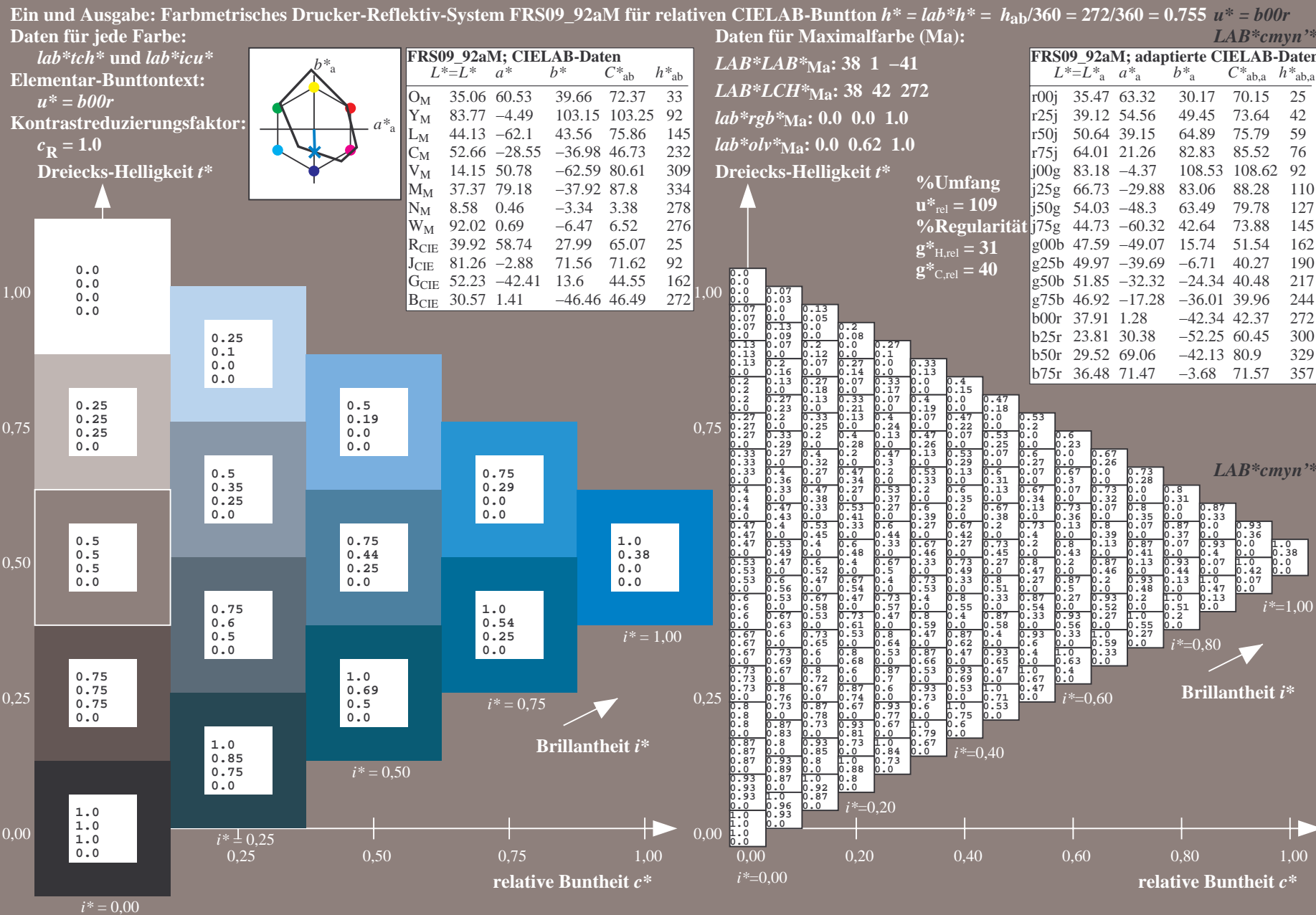
%Regularität

$g^*_{H,rel} = 31$

$g^*_{C,rel} = 40$

FRS09_92aM; adaptierte CIELAB-Daten					
	$L^*=L^*_a$	$a^*_a$	$b^*_a$	$C^*_{ab,a}$	$h^*_{ab,a}$
r00j	35.47	63.32	30.17	70.15	25
r25j	39.12	54.56	49.45	73.64	42
r50j	50.64	39.15	64.89	75.79	59
r75j	64.01	21.26	82.83	85.52	76
j00g	83.18	-4.37	108.53	108.62	92
j25g	66.73	-29.88	83.06	88.28	110
j50g	54.03	-48.3	63.49	79.78	127
j75g	44.73	-60.32	42.64	73.88	145
g00b	47.59	-49.07	15.74	51.54	162
g25b	49.97	-39.69	-6.71	40.27	190
g50b	51.85	-32.32	-24.34	40.48	217
g75b	46.92	-17.28	-36.01	39.96	244
b00r	37.91	1.28	-42.34	42.37	272
b25r	23.81	30.38	-52.25	60.45	300
b50r	29.52	69.06	-42.13	80.9	329
b75r	36.48	71.47	-3.68	71.57	357





**Ein und Ausgabe: Farbmétrisches Drucker-Reflektiv-System FRS09\_92aM für relativen CIELAB-Buntton  $h^* = lab^*h^* = h_{ab}/360 = 300/360 = 0.834$   $u^* = b25r$**

### Daten für jede Farbe:

*lab\*tch\** und *lab\*icu\**

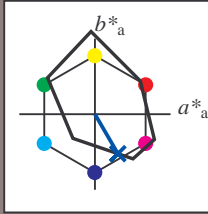
### Elementar-Bunttontext:

$$u^* = b25r$$

## Kontrastreduzierungsfaktor:

 $c_R = 1.0$ 

### Dreiecks-Helligkeit $t^*$



	$L^*_{\text{CIE}}$	$a^*_{\text{CIE}}$	$b^*_{\text{CIE}}$	$C^*_{\text{ab}}$	$h^*_{\text{ab}}$
O <sub>M</sub>	35.06	60.53	39.66	72.37	33
Y <sub>M</sub>	83.77	-4.49	103.15	103.25	92
L <sub>M</sub>	44.13	-62.1	43.56	75.86	145
C <sub>M</sub>	52.66	-28.55	-36.98	46.73	232
V <sub>M</sub>	14.15	50.78	-62.59	80.61	309
M <sub>M</sub>	37.37	79.18	-37.92	87.8	334
N <sub>M</sub>	8.58	0.46	-3.34	3.38	278
W <sub>M</sub>	92.02	0.69	-6.47	6.52	276
R <sub>CIE</sub>	39.92	58.74	27.99	65.07	25
J <sub>CIE</sub>	81.26	-2.88	71.56	71.62	92
G <sub>CIE</sub>	52.23	-42.41	13.6	44.55	162
B <sub>CIE</sub>	30.57	1.41	-46.46	46.49	272

### Daten für Maximalfarbe (Ma):

*LAB\*LAB*\**M*<sub>a</sub>: 24 30 -51

**LAP\*LCH\* : 24 60 300**

LAB LCH Ma: 24 00 30  
Lab: Lab: 6 7 8 9 10

*lab\*rgb*\*Ma: 0.5 0.0 1.0

*lab\*olv\****Ma**: 0.0 0.25 1.0

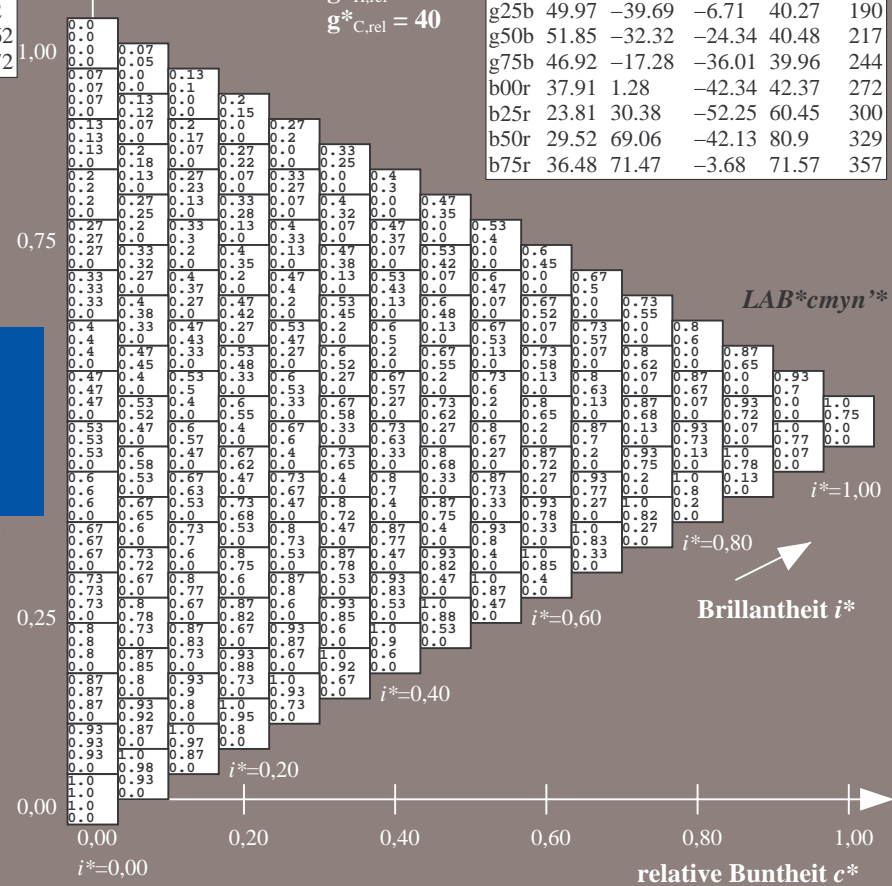
Dreiecks-Helligkeit  $t^*$ 

0

## %Umfang

$$\mathbf{u}_{\text{rel}}^* = 109$$

**%Regular**

$$g^*_{H,rel} = 31$$
$$\mathbf{g}_{\text{C,rel}}^* = 40$$


*LAB\*cmvη'*\*

$$i^*=1,00$$

Brillantheit i\*

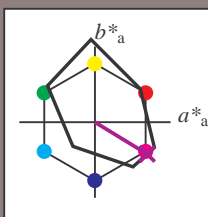
relative Buntheit  $c^*$ 

BAM-Prüfvorlage Dg92; Farbmeter-Systeme, Seite 177/180  
Farbreihen, 8 Datentabellen für 16 Bunttöne *r00j* bis *b75r*

Eingabe: 000n / w / nnn0 / www set...  
Ausgabe: ->cmyn5\* setcmykcolor

BAM-Registrierung: 20080701-Dg92/10L/L92G00NA.PS/ .TXTBAM-Material: Code=rh4ta  
Anwendung für Beurteilung und Messung von Drucker- oder Monitorsystemen

Ein und Ausgabe: Farbmetrisches Drucker-Reflektiv-System FRS09\_92aM für relativen CIELAB-Buntton  $h^* = lab^*h^* = h_{ab}/360 = 329/360 = 0.913$   $u^* = b50r$   
Daten für jede Farbe:  
 $lab^*tch^*$  und  $lab^*icu^*$   
Elementar-Bunttontext:  
 $u^* = b50r$   
Kontrastreduzierungsfaktor:  
 $c_R = 1.0$   
Dreiecks-Helligkeit  $t^*$



FRS09_92aM; CIELAB-Daten					
	$L^*=L^*$	$a^*$	$b^*$	$C^*_{ab}$	$h^*_{ab}$
O <sub>M</sub>	35.06	60.53	39.66	72.37	33
Y <sub>M</sub>	83.77	-4.49	103.15	103.25	92
L <sub>M</sub>	44.13	-62.1	43.56	75.86	145
C <sub>M</sub>	52.66	-28.55	-36.98	46.73	232
V <sub>M</sub>	14.15	50.78	-62.59	80.61	309
M <sub>M</sub>	37.37	79.18	-37.92	87.8	334
N <sub>M</sub>	8.58	0.46	-3.34	3.38	278
W <sub>M</sub>	92.02	0.69	-6.47	6.52	276
R <sub>CIE</sub>	39.92	58.74	27.99	65.07	25
J <sub>CIE</sub>	81.26	-2.88	71.56	71.62	92
G <sub>CIE</sub>	52.23	-42.41	13.6	44.55	162
B <sub>CIE</sub>	30.57	1.41	-46.46	46.49	272

Daten für Maximalfarbe (Ma):

$LAB^*LAB^*_{Ma}$ : 30 69 -41

$LAB^*LCH^*_{Ma}$ : 30 81 329

$lab^*rgb^*_{Ma}$ : 1.0 0.0 1.0

$lab^*olv^*_{Ma}$ : 0.66 0.0 1.0

Dreiecks-Helligkeit  $t^*$

%Umfang

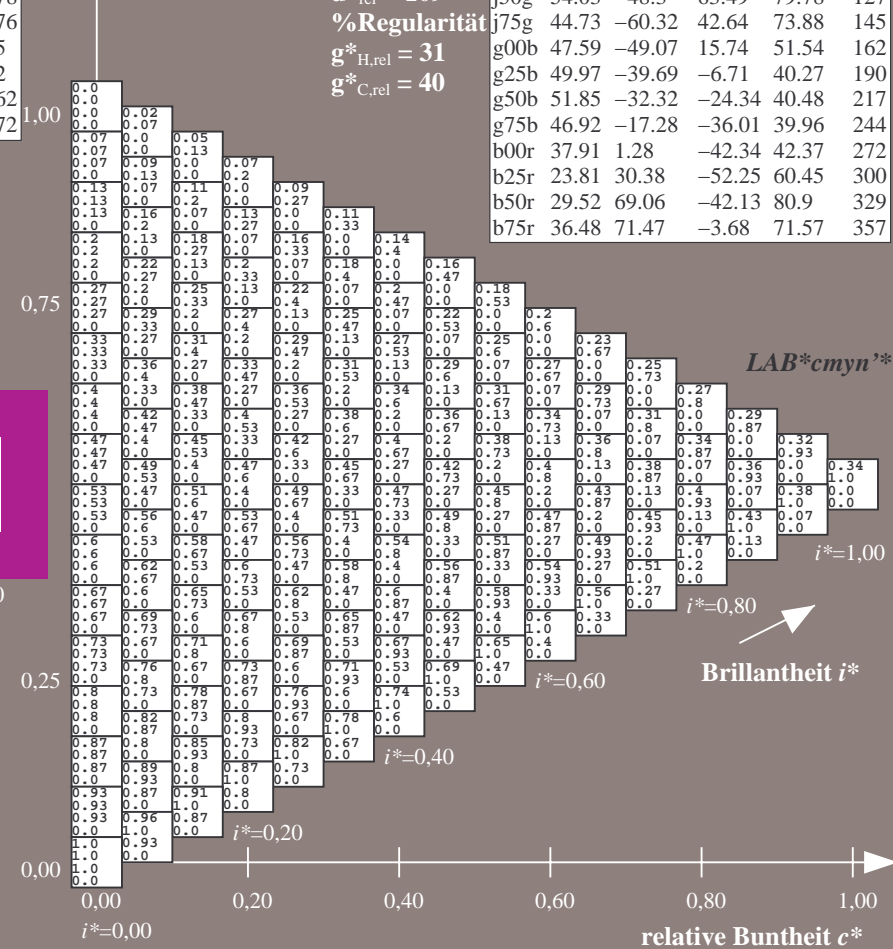
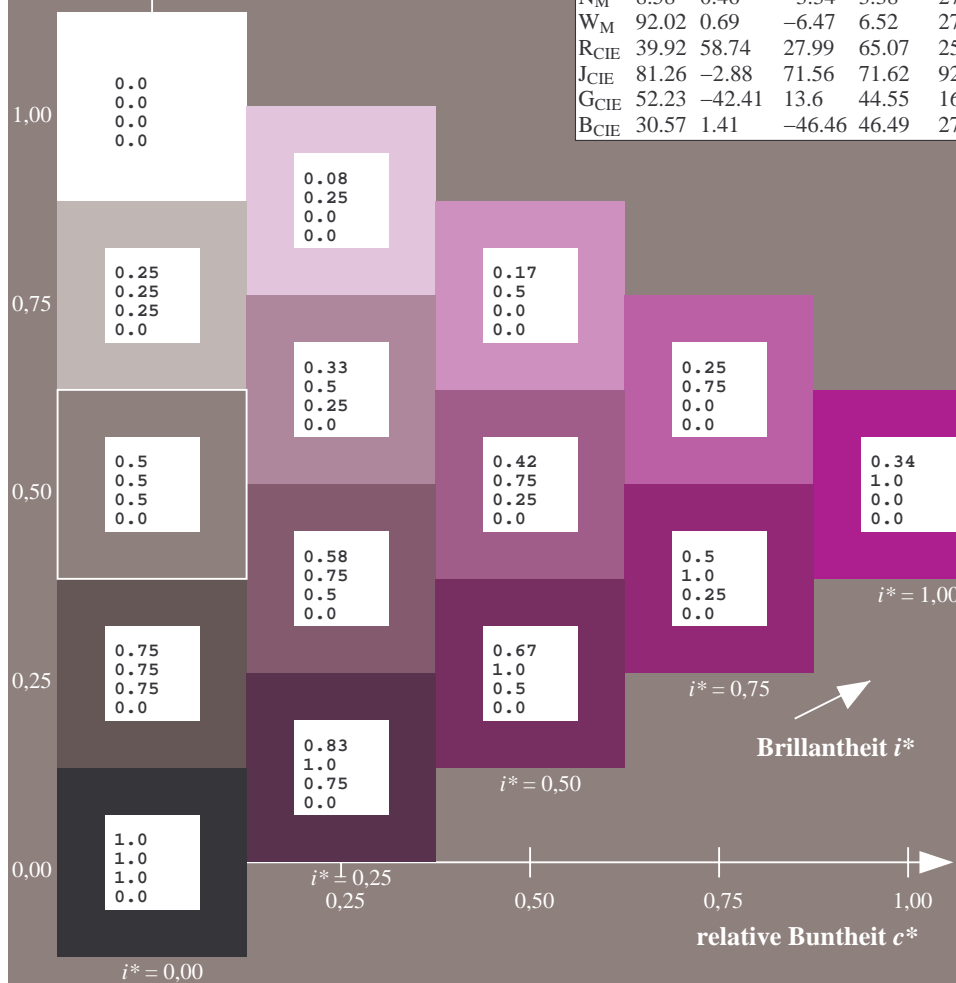
$u^*_{rel} = 109$

%Regularität

$g^*_{H,rel} = 31$

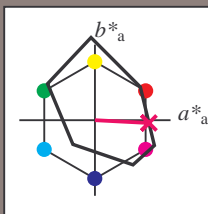
$g^*_{C,rel} = 40$

FRS09_92aM; adaptierte CIELAB-Daten					
	$L^*=L^*_a$	$a^*_a$	$b^*_a$	$C^*_{ab,a}$	$h^*_{ab,a}$
r00j	35.47	63.32	30.17	70.15	25
r25j	39.12	54.56	49.45	73.64	42
r50j	50.64	39.15	64.89	75.79	59
r75j	64.01	21.26	82.83	85.52	76
j00g	83.18	-4.37	108.53	108.62	92
j25g	66.73	-29.88	83.06	88.28	110
j50g	54.03	-48.3	63.49	79.78	127
j75g	44.73	-60.32	42.64	73.88	145
g00b	47.59	-49.07	15.74	51.54	162
g25b	49.97	-39.69	-6.71	40.27	190
g50b	51.85	-32.32	-24.34	40.48	217
g75b	46.92	-17.28	-36.01	39.96	244
b00r	37.91	1.28	-42.34	42.37	272
b25r	23.81	30.38	-52.25	60.45	300
b50r	29.52	69.06	-42.13	80.9	329
b75r	36.48	71.47	-3.68	71.57	357





Ein und Ausgabe: Farbmetrisches Drucker-Reflektiv-System FRS09\_92aM für relativen CIELAB-Buntton  $h^* = lab^*h^* = h_{ab}/360 = 357/360 = 0.992$   $u^* = b75r$   
Daten für jede Farbe:  
 $lab^*ch^*$  und  $lab^*icu^*$   
Elementar-Bunttontext:  
 $u^* = b75r$   
Kontrastreduzierungsfaktor:  
 $c_R = 1.0$   
Dreiecks-Helligkeit  $i^*$



FRS09_92aM; CIELAB-Daten					
	$L^*=L^*$	$a^*$	$b^*$	$C^*_{ab}$	$h^*_{ab}$
O <sub>M</sub>	35.06	60.53	39.66	72.37	33
Y <sub>M</sub>	83.77	-4.49	103.15	103.25	92
L <sub>M</sub>	44.13	-62.1	43.56	75.86	145
C <sub>M</sub>	52.66	-28.55	-36.98	46.73	232
V <sub>M</sub>	14.15	50.78	-62.59	80.61	309
M <sub>M</sub>	37.37	79.18	-37.92	87.8	334
N <sub>M</sub>	8.58	0.46	-3.34	3.38	278
W <sub>M</sub>	92.02	0.69	-6.47	6.52	276
R <sub>CIE</sub>	39.92	58.74	27.99	65.07	25
J <sub>CIE</sub>	81.26	-2.88	71.56	71.62	92
G <sub>CIE</sub>	52.23	-42.41	13.6	44.55	162
B <sub>CIE</sub>	30.57	1.41	-46.46	46.49	272

Daten für Maximalfarbe (Ma):

$LAB^*LAB^*_{Ma}$ : 36 71 -3

$LAB^*LCH^*_{Ma}$ : 36 72 357

$lab^*rgb^*_{Ma}$ : 1.0 0.0 0.5

$lab^*olv^*_{Ma}$ : 1.0 0.0 0.62

Dreiecks-Helligkeit  $i^*$

%Umfang

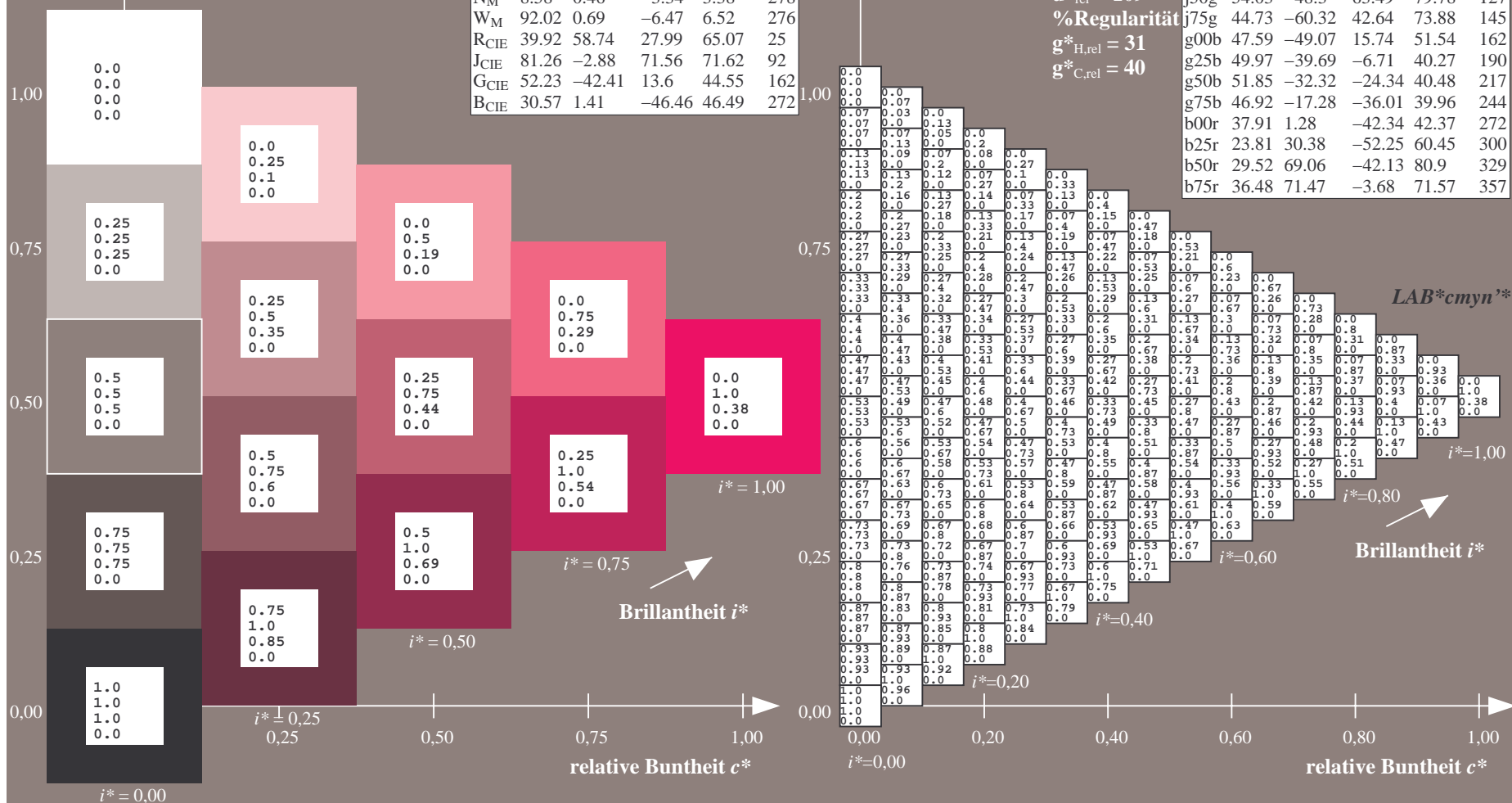
$u^*_{rel} = 109$

%Regularität

$g^*_{H,rel} = 31$

$g^*_{C,rel} = 40$

FRS09_92aM; adaptierte CIELAB-Daten					
	$L^*=L^*_a$	$a^*_a$	$b^*_a$	$C^*_{ab,a}$	$h^*_{ab,a}$
r00j	35.47	63.32	30.17	70.15	25
r25j	39.12	54.56	49.45	73.64	42
r50j	50.64	39.15	64.89	75.79	59
r75j	64.01	21.26	82.83	85.52	76
j00g	83.18	-4.37	108.53	108.62	92
j25g	66.73	-29.88	83.06	88.28	110
j50g	54.03	-48.3	63.49	79.78	127
j75g	44.73	-60.32	42.64	73.88	145
g00b	47.59	-49.07	15.74	51.54	162
g25b	49.97	-39.69	-6.71	40.27	190
g50b	51.85	-32.32	-24.34	40.48	217
g75b	46.92	-17.28	-36.01	39.96	244
b00r	37.91	1.28	-42.34	42.37	272
b25r	23.81	30.38	-52.25	60.45	300
b50r	29.52	69.06	-42.13	80.9	329
b75r	36.48	71.47	-3.68	71.57	357



[illegible]